

(19)



**Евразийское
патентное
ведомство**

(11) **043309**

(13) **B1**

(12) ОПИСАНИЕ ИЗОБРЕТЕНИЯ К ЕВРАЗИЙСКОМУ ПАТЕНТУ

(45) Дата публикации и выдачи патента
2023.05.12

(51) Int. Cl. **C07K 16/28** (2006.01)
C07K 16/30 (2006.01)

(21) Номер заявки
201891749

(22) Дата подачи заявки
2017.02.02

(54) БИСПЕЦИФИЧЕСКИЕ КОНСТРУКЦИИ АНТИТЕЛ, ВОВЛЕКАЮЩИЕ Т-КЛЕТКИ

(31) **62/290,861**

(32) **2016.02.03**

(33) **US**

(43) **2019.01.31**

(86) **PCT/EP2017/052212**

(87) **WO 2017/134140 2017.08.10**

(71)(73) Заявитель и патентовладелец:
**ЭМДЖЕН РИСЕРЧ (МЮНИК) ГМБХ
(DE)**

(56) WO-A2-2012088461
WO-A1-2014138449
WO-A1-2013026837
WO-A1-2014114800
WO-A2-2008143954
WO-A2-2008119567
EP-A1-2647707
US-A1-2011293579
US-A1-2017037130
US-A1-2017029512

(72) Изобретатель:
**Раум Тобиас, Мюнц Маркус, Брзи
Йоханнес, Куфер Петер, Хоффманн
Патрик, Фридрих Маттиас, Раттель
Бенно, Богнер Памела, Вольф
Андреас, Помпе Корнелиус (DE)**

(74) Представитель:
Медведев В.Н. (RU)

(57) В изобретении предложены биспецифические конструкции антител со специфической модальностью Fc, характеризующиеся содержанием первого домена, связывающегося с антигеном-мишенью клеточной поверхности, второго домена, связывающегося с внеклеточным эпитопом цепи CD3ε человека и/или Масаса (макака), и третьего домена, который является специфической модальностью Fc. Кроме того, в изобретении предложен полинуклеотид, кодирующий конструкцию антитела, вектор, содержащий этот полинуклеотид, клетки-хозяева, экспрессирующие указанную конструкцию, и содержащая вышеуказанное фармацевтическая композиция.

B1

043309

043309

B1

Уровень техники

Биспецифические молекулы, такие как конструкции антител ViTE® (биспецифическая молекула, вовлекающая Т-клетки), представляют собой рекомбинантные белковые конструкции, состоящие из двух гибко связанных полученных из антител связывающих доменов. Один связывающий домен конструкций антител ViTE® является специфическим в отношении выбранного опухолеассоциированного поверхностного антигена на клетках-мишенях; второй связывающий домен является специфическим в отношении CD3 - субъединицы комплекса Т-клеточного рецептора на Т-клетках. По своей конкретной структуре конструкции антител ViTE® исключительно подходят для временного соединения Т-клеток с клетками-мишенями и, в то же время, для того, чтобы эффективно активировать характерный для Т-клеток цитолитический потенциал против клеток-мишеней. Важной дополнительной разработкой первого поколения конструкций антител ViTE® (смотрите WO 99/54440 и WO 2005/040220), вошедших в клиническую практику в виде AMG 103 и AMG 110, было предоставление биспецифических конструкций антител, связывающихся с независимым от окружения эпитопом в N-конце цепи CD3ε (WO 2008/119567). Конструкции антител ViTE®, связывающиеся с этим выбранным эпитопом, не только демонстрируют межвидовую специфичность в отношении цепи CD3ε человека и *Callithrix jacchus*, *Saguinus oedipus* или *Saimiri sciureus*, но также, благодаря распознаванию этого конкретного эпитопа вместо ранее описанных эпитопов связывающих CD3 компонентов в биспецифических молекулах, вовлекающих Т-клетки, не активирует Т-клетки неспецифическим образом в той же степени, которая наблюдается для предыдущего поколения антител, вовлекающих Т-клетки. Это снижение активации Т-клеток было связано с меньшим или сниженным перераспределением Т-клеток у пациентов, причем последнее было определено как риск возникновения побочных явлений.

Описанные в WO 2008/119567 конструкции антител, вероятно, подвержены быстрому выведению из организма; следовательно, хотя они способны быстро достигать большинства частей тела, быстро производятся и легки в обращении, их *in vivo* применения могут быть ограничены их кратковременным присутствием *in vivo*. Вследствие короткого *in vivo* времени полужизни этой небольшой одноцепочечной молекулы для достижения терапевтического действия использовали длительное введение путем продолжительной внутривенной инфузии. Однако такие продолжительные внутривенные инфузии считаются неудобными для пациентов и, следовательно, в случае более удобных альтернативных лечебных подходов, препятствуют выбору соединения, которое продемонстрировало большую эффективность в лечении соответствующего заболевания. Следовательно, в данной области техники существует потребность в биспецифических терапевтических средствах, которые сохраняют аналогичную терапевтическую эффективность, которые имеют формат, обеспечивающий простое производство, и которые имеют благоприятные фармакокинетические свойства, включая большее время полужизни.

Повышенное время полужизни в целом полезно в *in vivo* применениях иммуноглобулинов, в особенности антител, и конкретно фрагментов антител небольшого размера. Описанные в данной области техники подходы для достижения такого эффекта включают слияние небольшой биспецифической конструкции антитела с более крупными белками, которые предпочтительно не препятствуют терапевтическому действию конструкции антитела ViTE®. Примеры таких дополнительных разработок биспецифических молекул, вовлекающих Т-клетки, включают биспецифические Fc-молекулы, например, описанные в US 2014/0302037, US 2014/0308285, WO 2014/144722, WO 2014/151910 и WO 2015/048272. Альтернативной стратегией является применение ЧСА, слитого с биспецифической молекулой или простое слияние связывающих пептидов человеческого альбумина (см., например, WO 2013/128027, WO 2014/140358).

Краткое описание сущности изобретения

Все описанные в данной области техники продлевающие время полужизни форматы (HLE-форматы (от англ. "half-life extending")) биспецифических молекул, вовлекающих Т-клетки, которые включают гетеро-Fc (также обозначаемый как hetFc или гетеродимерный Fc, hFc) формат и слияние человеческого сывороточного альбумина (также обозначаемого HSA или hALB), имеют индивидуальные недостатки, такие как неспецифическая активация Т-клеток, активация комплемента, нестабильность или фармакокинетический профиль, который не соответствует необходимому продлению времени полужизни молекул. Следовательно, целью данного изобретения является обеспечение продлевающего время полужизни формата биспецифических молекул, вовлекающих Т-клетки, в котором устранен по меньшей мере один и, конечно, предпочтительно более одного этих индивидуальных недостатков, наблюдаемых для молекул существующего уровня техники. Соответственно, в данном изобретении предложены биспецифические конструкции антител со специфической модальностью Fc, характеризующиеся содержанием первого домена, связывающегося с антигеном-мишенью клеточной поверхности, второго домена, связывающегося с внеклеточным эпитопом цепи CD3ε человека и/или *Macaca* (макака), и третьего домена, который является специфической модальностью Fc. Кроме того, в изобретении предложены полинуклеотид, кодирующий конструкцию антитела, вектор, содержащий этот полинуклеотид, клетки-хозяева, экспрессирующие конструкцию, и содержащая вышеуказанное фармацевтическая композиция.

Описание фигур

Фиг. 1: на фиг. 1a изображена диаграмма одного варианта реализации конструкции антитела согласно изобретению. На фиг. 1b изображена конструкция антитела с гетеродимерным Fc, а на фиг. 1c изображена конструкция X-тела, описанная в данной области техники. Указанные заряженные пары внесены для усиления гетеродимеризации. На фиг. 1d изображен продукт слияния конструкции антитела с человеческим сывороточным альбумином (HSA или hALB).

Фиг. 2: оценка мишень-независимой активации Т-клеток конструкциями антител HLE BiTE® с мезотелином (MS). 2(a) конструкция антитела согласно изобретению в 48 ч анализе активации человеческими МКПК (3х); серийные разведения HLE BiTE® (начиная с 20 нМ; 1:5, 7х+контроль); без или с блокированием FcR [10 мг/мл huIgG (Kiovog, Baxter)]; FACS-измерение экспрессии CD69 и CD25 [не показано] на Т-клетках CD4⁺, CD8⁺. 2(b) гетеро-Fc конструкция антитела в 48 ч анализе активации человеческими МКПК и МКПК с отсутствием клеток CD14⁺/CD33⁺ (3х); серийные разведения HLE BiTE® (начиная с 20 нМ; 1:5, 7х+контроль); FACS-измерение экспрессии CD69 и CD25 [не показано] на Т-клетках CD4⁺, CD8⁺.

Фиг. 3: оценка мишень-независимой активации Т-клеток конструкциями антител HLE BiTE®. 3(a) конструкция антитела CDH19 согласно изобретению в 48 ч анализе активации человеческими МКПК (3х); серийные разведения HLE BiTE® (начиная с 20 нМ; 1:5, 7х+контроль); без или с блокированием FcR [10 мг/мл huIgG (Kiovog, Baxter)]; FACS-измерение экспрессии CD69 и CD25 [не показано] на Т-клетках CD4⁺, CD8⁺. 3(b) гетеро-Fc конструкция антитела CDH19 в 48 ч анализе активации человеческими МКПК и МКПК с отсутствием клеток CD14⁺/CD33⁺ (3х); серийные разведения HLE BiTE® (начиная с 20 нМ; 1:5, 7х+контроль); FACS-измерение экспрессии CD69 и CD25 [не показано] на Т-клетках CD4⁺, CD8⁺. 3(c) конструкция X-тело CDH19 в 48 ч анализе активации человеческими МКПК и МКПК с отсутствием клеток CD14⁺/CD33⁺ (3х); серийные разведения HLE BiTE® (начиная с 20 нМ; 1:5, 7х+контроль); FACS-измерение экспрессии CD69 и CD25 [не показано] на Т-клетках CD4⁺, CD8⁺; 3(d)-3(aa) выделенные МКПК от трех разных здоровых доноров-людей в течение 48 ч культивировали с возрастающими концентрациями биспецифических HLE-конструкций антител, специфических в отношении различных антигенов-мишеней. Экспрессию маркера активации CD69 на Т-клетках CD4⁺ и CD8⁺ определяли методом анализа проточной цитометрии, используя конъюгированное с PE-Cy7 mab, специфическое в отношении CD69.

Фиг. 4: связывание комплемента C1q Fc-слитыми конструкциями антител BiTE®. Fc-слитые конструкции антител BiTE® (одноцепочечный Fc BiTE® (треугольники), гетеро-Fc BiTE® (квадраты), каноническое BiTE® (круги)) наносили на планшет Maxisorp (в серийных разведениях) перед инкубацией с объединенной человеческой сывороткой и инкубацией с поликлональным мышинным антителом против человеческого CC1q, визуализируемым козым антимышиным Fc-AP конъюгатом.

Фиг. 5: средние ФК-профили четырех разных пар слитых конструкций антител BiTE®-HLE после введения одной дозы яванским макакам. В целях сравнения сывороточные концентрации нормализованы в отношении дозы к 15 мкг/кг и указаны в нмолях.

Фиг. 6: средние ФК-профили девяти разных конструкций антител BiTE®, каждая из которых слита с продлевающим время полужизни компонентом scFc. В целях сравнения сывороточные концентрации нормализованы в отношении дозы к 15 мкг/кг и указаны в нмолях.

Фиг. 7: биспецифические scFc-варианты D9F (SEQ ID NO: 1453), T2G (SEQ ID NO: 1454), D3L (SEQ ID NO: 1455), T7I (SEQ ID NO: 1456) и K6C (SEQ ID NO: 1457). Предпочтительная конструкция антитела согласно данному изобретению приведена в SEQ ID NO: 1453.

Фиг. 8: определение методом поверхностного плазмонного резонанса (ППР) связывания с человеческим FcRn. Каждую из конструкций D9F, T2G, D3L, T7I и K6C исследовали в отношении их способности к связыванию с человеческим FcRn в ППР (Biacore) экспериментах. Максимальное связывание во время фазы инъекции измеряли для всех конструкций в соответствующих единицах ответа (ЕО), эквивалентных увеличению молекулярной массы на покрытом FcRn чипе CM5 вследствие наличия связанной конструкции. Все конструкции измеряли в дубликатах. Средние значения двойного определения приведены на фиг. 8А и 8В.

Фиг. 9: каждую из конструкций D9F, T2G, D3L, T7I и K6C и человеческое IgG1-каппа антитело MT201 исследовали в отношении их способности к связыванию с человеческим FcRn в ППР (Biacore) экспериментах. Максимальное связывание во время инъекционной фазы измеряли для всех конструкций в соответствующих единицах ответа (ЕО), эквивалентных увеличению молекулярной массы на покрытом FcRn чипе CM5 вследствие наличия связанной конструкции. Все конструкции измеряли в дубликатах. Приведены средние значения двойного определения, включая планки погрешностей, указывающие стандартное отклонение.

Подробное описание изобретения

Кроме существенного продления времени полужизни биспецифических конструкций антител согласно изобретению, слияние специфической модальности Fc, т.е. третьего домена в соответствии с данным изобретением, также отвечает за неожиданное существенное воздействие на первый и второй связывающий домен конструкции антитела согласно изобретению. Таким образом, тогда как другие продлевающие время полужизни модальности конструкций антител, вовлекающих Т-клетки, демонстрируют индивидуальные предпочтительные черты, выбор представленной специфической модальности Fc позволяет обеспечивать биспецифические молекулы, которые, демонстрируют широкий спектр предпочтительных характеристик функционального молекулярного формата и, следовательно, делают возможной разработку перспективных фармацевтических композиций.

Таким образом, в данном изобретении предложена конструкция антитела, содержащая по меньшей мере три домена, при этом

первый домен связывается с антигеном-мишенью клеточной поверхности,

второй домен связывается с внеклеточным эпитопом цепи CD3ε человека и/или Масаса; и

третий домен содержит два полипептидных мономера, каждый из которых содержит шарнирный домен, домен СН2 и домен СН3, причем указанные два полипептидных мономера слиты друг с другом посредством пептидного линкера.

Термин "конструкция антитела" относится к молекуле, чья структура и/или функция основаны на структуре и/или функции антитела, например, полноразмерной или цельной молекулы иммуноглобулина, и/или получены из переменных доменов тяжелой цепи (VH) и/или переменных доменов легкой цепи (VL) антитела или его фрагмента. Следовательно, конструкция антитела способна связываться со своей специфической мишенью или антигеном. Кроме того, связывающий домен конструкции антитела в соответствии с изобретением содержит минимальные структурные требования антитела, которые обеспечивают связывание мишени. Это минимальное требование может, например, определяться наличием по меньшей мере трех CDR легкой цепи (т.е. CDR1, CDR2 и CDR3 VL-области) и/или трех CDR тяжелой цепи (т.е. CDR1, CDR2 и CDR3 VH-области), предпочтительно всех шести CDR. Альтернативным подходом для определения минимальных структурных требований антитела является определение эпитопа антитела в пределах структуры специфической мишени, соответственно, белкового домена белка-мишени, составляющего область эпитопа (кластер эпитопа), или путем указания специфического антитела, конкурирующего за эпитоп определенного антитела. Антитела, на которых основаны конструкции в соответствии с изобретением, включают, например, моноклональные, рекомбинантные, химерные, деиммунизированные, гуманизированные и человеческие антитела.

Связывающий домен конструкции антитела в соответствии с изобретением может, например, содержать вышеуказанные группы CDR. Предпочтительно CDR находятся в каркасной области переменной области легкой цепи (VL) антитела и переменной области тяжелой цепи (VH) антитела; однако оно не обязательно содержит их обе. Fd-фрагменты, например, имеют две VH-области и часто сохраняют в некоторой мере антигенсвязывающую функцию интактного антигенсвязывающего домена. Дополнительные примеры формата фрагментов антител, вариантов антител или связывающих доменов включают (1) фрагмент Fab, моновалентный фрагмент, содержащий домены VL, VH, CL и CH1; (2) фрагмент F(ab')₂, бивалентный фрагмент, содержащий два фрагмента Fab, связанные дисульфидным мостиком в шарнирной области; (3) фрагмент Fd, содержащий два домена VH и домен CH1; (4) фрагмент Fv, содержащий домены VL и VH одного плеча антитела, (5) фрагмент dAb (Ward et al., (1989) Nature 341:544-546), который содержит домен VH; (6) выделенную определяющую комплементарность область (CDR) и (7) одноцепочечный Fv (scFv), причем последний является предпочтительным (например, полученным из scFV-библиотеки). Примеры вариантов реализации конструкций антител в соответствии с изобретением описаны, например, в WO 00/006605, WO 2005/040220, WO 2008/119567, WO 2010/037838, WO 2013/026837, WO 2013/026833, US 2014/0308285, US 2014/0302037, WO 2014/144722, WO 2014/151910 и WO 2015/048272.

Также в рамках определения "связывающий домен" или "домен, который связывает" находятся фрагменты полноразмерных антител, такие как VH, VHH, VL, (sd)Ab, Fv, Fd, Fab, Fab', F(ab')₂ или "rIgG" ("полуантитело"). Конструкции антител в соответствии с изобретением также могут содержать модифицированные фрагменты антител, также называемые вариантами антител, такие как scFv, di-scFv или bi(s)-scFv, scFv-Fc, scFv-молиния, scFab, Fab₂, Fab₃, диатела, одноцепочечные диатела, тандемные диатела (Tandab's), тандемные di-scFv, тандемные tri-scFv, "мультидела", такие как триатела или тетратела, и однодоменные антитела, такие как нанотела или антитела с одним переменным доменом, содержащие только один переменный домен, который может быть VHH, VH или VL, которые специфически связывают антиген или эпитоп независимо от других V-областей или доменов.

В контексте данного документа термины "одноцепочечный Fv", "одноцепочечные антитела" или "scFv" относятся к содержащим одну полипептидную цепь фрагментам антител, которые содержат переменные области как из тяжелой, так и из легкой цепей, но в которых отсутствуют константные области. В общем случае одноцепочечное антитело дополнительно содержит полипептидный линкер между VH- и VL-доменами, который обеспечивает возможность образования необходимой структуры, кото-

рая позволяет связывать антиген. Одноцепочечные антитела подробно обсуждаются Pluckthun в *The Pharmacology of Monoclonal Antibodies*, vol. 113, Rosenberg and Moore eds. Springer-Verlag, New York, pp. 269-315 (1994). Известны различные способы создания одноцепочечных антител, включая описанные в патентах США № 4694778 и 5260203; публикации заявки на международный патент № WO 88/01649; Bird (1988) *Science* 242:423-442; Huston et al. (1988) *Proc. Natl. Acad. Sci. USA* 85:5879-5883; Ward et al. (1989) *Nature* 334:54454; Skerra et al. (1988) *Science* 242:1038-1041. В конкретных вариантах реализации одноцепочечные антитела также могут быть биспецифическими, мультиспецифическими, человеческими и/или гуманизированными и/или синтетическими.

Кроме того, определение термина "конструкция антитела" включает моновалентные, бивалентные и поливалентные/мультивалентные конструкции и, следовательно, биспецифические конструкции, специфически связывающиеся только с двумя антигенными структурами, а также полиспецифические/мультиспецифические конструкции, которые специфически связывают более двух антигенных структур, например, три, четыре или более, посредством разных связывающих доменов. Более того, определение термина "конструкция антитела" включает молекулы, состоящие из только одной полипептидной цепи, а также молекулы, состоящие из более чем одной полипептидной цепи, причем цепи могут быть идентичными (гомодимеры, гомотримеры или гомоолигомеры) или разными (гетеродимеры, гетротримеры или гетероолигомеры). Примеры определенных выше антител и их вариантов или производных описаны, помимо прочего, в Harlow and Lane, *Antibodies a laboratory manual*, CSHL Press (1988) and *Using Antibodies: a laboratory manual*, CSHL Press (1999), Kontermann and Dübel, *Antibody Engineering*, Springer, 2nd ed. 2010 и Little, *Recombinant Antibodies for Immunotherapy*, Cambridge University Press 2009.

В контексте данного документа термин "биспецифический" относится к конструкции антитела, которая является "по меньшей мере биспецифической", т.е. содержит по меньшей мере первый связывающий домен и второй связывающий домен, причем первый связывающий домен связывается с одним антигеном или мишенью (в данном случае: антигеном-мишенью клеточной поверхности), а второй связывающий домен связывается с другим антигеном или мишенью (в данном случае: CD3). Соответственно, конструкции антител в соответствии с изобретением имеют специфичность в отношении по меньшей мере двух разных антигенов или мишеней. Например, первый домен предпочтительно не связывается с внеклеточным эпитопом CD3ε одного или более видов, описанных в данном документе. Термин "антиген-мишень клеточной поверхности" относится к антигенной структуре, экспрессируемой клеткой, которая находится на клеточной поверхности, т.е. доступна для описанной в данном документе конструкции антитела. Он может являться белком, предпочтительно внеклеточной частью белка, или углеводной структурой, предпочтительно углеводной структурой белка, такой как гликопротеин. Предпочтительно он является опухолевым антигеном. Термин "биспецифическая конструкция антитела" согласно изобретению также включает мультиспецифические конструкции антител, такие как триспецифические конструкции антител, содержащие три связывающих домена, или конструкции, имеющие более трех (например, четыре, пять...) специфичностей.

Учитывая, что конструкции антител в соответствии с изобретением являются (по меньшей мере) биспецифическими, они не присутствуют в природе и заметно отличаются от продуктов природного происхождения. Следовательно, "биспецифическая" конструкция антитела или иммуноглобулина представляет собой искусственное гибридное антитело или иммуноглобулин, имеющее по меньшей мере два разных связывающих участка с разной специфичностью. Биспецифические конструкции антител можно получать различными способами, включая слияние гибридом или связывание фрагментов Fab'. Смотрите, например, Songsivilai & Lachmann, *Clin. Exp. Immunol.* 79:315-321 (1990).

По меньшей мере два связывающих домена и переменные домены (VH/VL) конструкции антитела согласно данному изобретению могут содержать или не содержать пептидные линкеры (спейсерные пептиды). Термин "пептидный линкер" в соответствии с данным изобретением включает аминокислотную последовательность, посредством которой связаны между собой аминокислотные последовательности одного (переменного и/или связывающего) домена и другого (переменного и/или связывающего) домена конструкции антитела. Пептидные линкеры также можно использовать для слияния третьего домена с другими доменами конструкции антитела согласно изобретению. Важной технической характеристикой такого пептидного линкера является то, что у него отсутствует полимеризационная активность. К подходящим пептидным линкерам относятся описанные в патентах США 4751180 и 4935233 или WO 88/09344. Пептидные линкеры также можно использовать для присоединения других доменов или модулей или областей (таких как продлевающие время полужизни домены) к конструкции антитела согласно изобретению.

Конструкции антител согласно изобретению предпочтительно являются "in vitro созданными конструкциями антител". Этот термин относится к конструкции антитела в соответствии с вышеприведенным определением, в которой вся или часть переменной области (например, по меньшей мере одна CDR) создана посредством отбора в неиммунной клетке, например, in vitro фагового дисплея, белкового чипа или любого другого способа, в котором кандидатные последовательности можно исследовать в отношении их способности связываться с антигеном. Предпочтительно этот термин исключает последовательности, созданные исключительно путем геномной перестройки в иммунной клетке животного. "Ре-

комбинантное антитело" представляет собой антитело, созданное посредством применения технологии рекомбинантных ДНК или генетической инженерии.

В контексте данного документа термин "моноклональное антитело" (mAb) или моноклональная конструкция антитела относится к антителу, полученному из популяции по существу гомогенных антител, т.е. отдельные антитела, составляющие популяцию являются идентичными за исключением возможных природных мутаций и/или посттрансляционных модификаций (например, изомеризации, амидирования), которые могут присутствовать в незначительных количествах. Моноклональные антитела являются высокоспецифическими, будучи направленными против одного антигенного участка или детерминанты на антигене, в противоположность препаратам традиционных (поликлональных) антител, которые, как правило, содержат разные антитела, направленные против разных детерминант (или эпитопов). Кроме своей специфичности, преимуществом моноклональных антител является то, что их синтезируют с помощью гибридомной культуры, следовательно, они не содержат примесей других иммуноглобулинов. Обстоятельство "моноклональное" указывает на характер антитела, как полученного из по существу гомогенной популяции антител, и его не следует воспринимать, как требующее получения антитела каким-либо конкретным способом.

Для получения препарата моноклональных антител можно использовать любой способ, обеспечивающий получение антител с помощью стабильных культур клеточных линий. Например, предназначенные для применения моноклональные антитела можно создавать методом гибридомы, впервые описанным Koehler et al., *Nature*, 256: 495 (1975), или можно создавать методами рекомбинантных ДНК (см., например, патент США № 4816567). Примеры дополнительных методик для получения человеческих моноклональных антител включают методику триомы, методику человеческой В-клеточной гибридомы (Kozbor, *Immunology Today* 4 (1983), 72) и методику ВЭБ-гибридомы (Cole et al., *Monoclonal Antibodies and Cancer Therapy*, Alan R. Liss, Inc. (1985), 77-96).

После этого можно проводить скрининг гибридом стандартными методами, таким как иммуноферментный анализ (ИФА) и анализ методом поверхностного плазмонного резонанса (BIAcore™), для выявления одной или более гибридом, которые вырабатывают антитело, которое специфически связывается с конкретным антигеном. В качестве иммуногена можно использовать любую форму соответствующего антигена, например, рекомбинантный антиген, природные формы, любые их варианты или фрагменты, а также их антигенные пептиды. Поверхностный плазмонный резонанс, применяемый в системе BIAcore, можно использовать для повышения активности фаговых антител, которые связываются с эпитопом антигена-мишени клеточной, поверхности (Schier, *Human Antibodies Hybridomas* 7 (1996), 97-105; Malmberg, *J. Immunol. Methods* 183 (1995), 7-13).

Другой типовой метод получения моноклональных антител включает скрининг библиотек белковой экспрессии, например, библиотек фагового дисплея или рибосомного дисплея. Фаговый дисплей описан, например, в Ladner et al., патенте США № 5223409; Smith (1985) *Science* 228:1315-1317, Clackson et al., *Nature*, 352: 624-628 (1991) и Marks et al., *J. Mol. Biol.*, 222: 581-597 (1991).

Кроме применения дисплейных библиотек соответствующий антиген можно использовать для иммунизации отличного от человека животного, например, грызуна (такого как мышь, хомяк, кролик или крыса). В одном варианте реализации изобретения отличное от человека животное содержит по меньшей мере часть гена человеческого иммуноглобулина. Например, можно сконструировать мышинные штаммы с дефицитом выработки мышинового антитела с крупными фрагментами локусов человеческого Ig (иммуноглобулина). Используя технологию гибридомы, можно получать и проводить отбор антиген-специфических моноклональных антител, полученных из генов с необходимой специфичностью. Смотрите, например, XENOMOUSE™, Green et al. (1994) *Nature Genetics* 7:13-21, US 2003-0070185, WO 96/34096 и WO 96/33735.

Моноклональное антитело также можно получить от отличного от человека животного, а затем модифицировать, например, гуманизировать, деиммунизировать, сделать химерными и т.д., используя известную в данной области техники технологию рекомбинантных ДНК. Примеры модифицированных конструкций антител включают гуманизированные варианты нечеловеческих антител, антитела "с созревшей аффинностью" (см., например, Hawkins et al. *J. Mol. Biol.* 254, 889-896 (1992) и Lowman et al., *Biochemistry* 30, 10832-10837 (1991)) и мутантные антитела с измененной(ыми) эффекторной(ыми) функцией(ями) (см., например, патент США 5648260, Kontermann and Dübel (2010), loc. cit. и Little (2009), loc. cit.).

В иммунологии созревание аффинности - это процесс, посредством которого В-клетки вырабатывают антитела с повышенной аффинностью в отношении антигена во время иммунного ответа. При повторном воздействии такого же антигена организм-хозяин будет вырабатывать антитела со все большей аффинностью. Как и природный прототип, *in vitro* созревание аффинности основано на принципах мутации и отбора. *In vitro* созревание аффинности успешно применяли для оптимизации антител, конструкций антител и фрагментов антител. Случайные мутации внутри CDR вводят, используя облучение, химические мутагены или ПЦР с внесением ошибок. Кроме того, генетическое разнообразие можно повышать путем перестановки цепей. Два или три цикла мутации и отбора с применением дисплейных мето-

дов, таких как фаговый дисплей, обычно приводят к получению фрагментов антител с аффинностью в узком наномолярном диапазоне.

Предпочтительный тип вариации конструкций антител с аминокислотными заменами включает замещение одного или более остатков гипервариабельной области родительского антитела (например, гуманизированного или человеческого антитела). В общем случае полученные в результате варианты, отобранные для дополнительной разработки, должны иметь улучшенные биологические свойства относительно родительского антитела, из которого они получены. Удобный путь создания таких заместительных вариантов включает созревание аффинности с применением фагового дисплея. Вкратце, мутируют несколько участков гипервариабельной области (например, 6-7 участков) для создания всех возможных аминокислотных замен в каждом участке. Созданные таким образом варианты антител отображаются моновалентным образом из частиц нитевидного фага в виде продуктов слияния с продуктом гена III M13, упакованных в каждой частице. Затем проводят скрининг отображенных фагом вариантов в отношении их биологической активности (например, аффинности связывания), как описано в данном документе. Чтобы определить кандидатные участки гипервариабельной области для проведения модификации, можно проводить аланин-сканирующий мутагенез для определения остатков гипервариабельной области, которые вносят существенный вклад в связывание антигена. В альтернативном или дополнительном варианте может быть полезно проанализировать кристаллическую структуру комплекса антиген-антитело для определения точек контакта между связывающим доменом и, например, человеческим антигеном-мишенью клеточной поверхности. Такие контактные остатки и соседние остатки являются кандидатами для проведения замен в соответствии с применяемыми в данном документе методиками. После создания таких вариантов панель вариантов подвергают описанному в данном документе скринингу, а антитела с превосходящими свойствами в одном или более релевантном анализе отбирают для дополнительной разработки.

Моноклональные антитела и конструкции антител согласно данному изобретению включают, в частности, "химерные" антитела (иммуноглобулины), в которых часть тяжелой и/или легкой цепи идентична или гомологична с соответствующими последовательностями в антителах, полученных от конкретного вида или принадлежащих конкретному классу или подклассу антител, тогда как остаток цепи(ей) идентичен или гомологичен соответствующим последовательностям в антителах, полученных от другого вида или принадлежащих другому классу или подклассу антител, а также фрагменты таких антител, в том случае, если они проявляют необходимую биологическую активность (патент США № 4816567; Morrison et al., Proc. Natl. Acad. Sci. USA, 81: 6851-6855 (1984)). Представляющие в данном случае интерес химерные антитела включают "приматизированные" антитела, содержащие антигенсвязывающие последовательности вариабельного домена, полученные от отличного от человека примата (например, марьышки Старого Света, обезьяны и т.д.), и человеческие последовательности константной области. Было описано множество подходов для создания химерных антител. Смотрите, например, Morrison et al., Proc. Natl. Acad. Sci. U.S.A. 81:6851, 1985; Takeda et al., Nature 314:452, 1985, Cabilly et al., U.S. Patent No. 4,816,567; Boss et al., патент США № 4816397; Tanaguchi et al., EP 0171496; EP 0173494; и GB 2177096.

Антитело, конструкцию антитела, фрагмент антитела или вариант антитела также можно модифицировать путем специального удаления человеческих Т-клеточных эпитопов (метод, называемый "деиммунизацией") способами, описанными, например, в WO 98/52976 или WO 00/34317. Вкратце, вариабельные домены тяжелой и легкой цепи антитела можно проанализировать в отношении наличия пептидов, которые связываются с ГКГС класса II; эти пептиды представляют потенциальные Т-клеточные эпитопы (по определению в WO 98/52976 и WO 00/34317). Для выявления потенциальных Т-клеточных эпитопов можно применять подход компьютерного моделирования, называемый "пептидным протягиванием", и, дополнительно, можно проводить поиск по базе данных пептидов, связывающих человеческий ГКГС класса II, в отношении мотивов, присутствующих в последовательностях VH и VL, как описано в WO 98/52976 и WO 00/34317. Эти мотивы связываются с любым из 18 основных DR-аллотипов ГКГС класса II и, таким образом, составляют потенциальные Т-клеточные эпитопы. Выявленные потенциальные Т-клеточные эпитопы можно устранить посредством замены небольшого количества аминокислотных остатков в вариабельных доменах или, предпочтительно, посредством одиночных аминокислотных замен. Как правило, осуществляют консервативные замены. Часто, но не исключительно, может использоваться аминокислота, обычно присутствующая в данной позиции в последовательностях антител человеческой зародышевой линии. Последовательности человеческой зародышевой линии описаны, например, в Tomlinson, et al. (1992) J. Mol. Biol. 227:776-798; Cook, G.P. et al. (1995) Immunol. Today Vol. 16 (5): 237-242; и Tomlinson et al. (1995) EMBO J. 14: 14:4628-4638. Директория V BASE представляет исчерпывающую директорию последовательностей вариабельных областей человеческого иммуноглобулина (составлена Tomlinson, L.A. et al. MRC Centre for Protein Engineering, Cambridge, UK). Эти последовательности можно использовать в качестве источника человеческих последовательностей, например, каркасных областей или CDR. Также можно использовать консенсусные человеческие каркасные области, например, описанные в патенте США № 6300064.

"Гуманизированные" антитела, конструкции антител, их варианты или фрагменты (такие как Fv,

Fab, Fab', F(ab')₂ или другие антигенсвязывающие подпоследовательности антител) представляют собой антитела или иммуноглобулины большей частью человеческих последовательностей, которые содержат(а) минимальную(ые) последовательность(и), полученную(ые) из нечеловеческого иммуноглобулина. Большой частью гуманизированные антитела являются человеческими иммуноглобулинами (реципиентное антитело), в которых остатки из гипервариабельной области (также CDR) реципиента замещены остатками из гипервариабельной области нечеловеческого (например, грызуна) вида (донорское антитело), такого как мышь, крыса, хомяк или кролик, имеющими необходимую специфичность, аффинность и емкость. В некоторых случаях остатки Fv каркасной области (FR) человеческого иммуноглобулина замещены соответствующими нечеловеческими остатками. Кроме того, в контексте данного документа "гуманизированные антитела" также могут содержать остатки, не присущие ни реципиентному антителу, ни донорскому антителу. Эти модификации проводят для дополнительного улучшения и оптимизации характеристик антитела. Гуманизированное антитело также может содержать по меньшей мере часть константной области иммуноглобулина (Fc), как правило, из человеческого иммуноглобулина. Дополнительные подробности смотрите в Jones et al., *Nature*, 321: 522-525 (1986); Reichmann et al., *Nature*, 332: 323-329 (1988); и Presta, *Curr. Opin. Struct. Biol.*, 2: 593-596 (1992).

Гуманизированные антитела или их фрагменты можно создавать, замещая последовательности вариабельного домена Fv, которые не принимают прямого участия в связывании антигена, эквивалентными последовательностями из человеческих вариабельных доменов Fv. Типовые способы создания гуманизированных антител или их фрагментов предложены в Morrison (1985) *Science* 229:1202-1207; в Oi et al. (1986) *BioTechniques* 4:214; и в US 5585089; US 5693761; US 5693762; US 5859205; и US 6407213. Эти способы включают выделение, обработку и экспрессию нуклеотидных последовательностей, которые кодируют все или часть вариабельных доменов Fv иммуноглобулина из по меньшей мере одной из тяжелой или легкой цепи. Такие нуклеиновые кислоты можно получить из гибридомы, вырабатывающей антитело против заданной мишени, как описано выше, а также из других источников. Затем рекомбинантную ДНК, кодирующую молекулу гуманизированного антитела, можно клонировать в соответствующий экспрессионный вектор.

Гуманизированные антитела также можно получать, используя трансгенных животных, таких как мыши, которые экспрессируют гены человеческой тяжелой и легкой цепи, но не способны экспрессировать эндогенные гены тяжелой и легкой цепи мышинового иммуноглобулина. Winter описывает типовой способ прививания CDR, который можно использовать для получения описанных в данном документе гуманизированных антител (патент США № 5225539). Все CDR конкретного человеческого антитела могут быть замещены по меньшей мере частью нечеловеческой CDR или только некоторые CDR могут быть замещены нечеловеческими CDR. Необходимо лишь заменить то количество CDR, которое требуется для связывания гуманизированного антитела с заданным антигеном.

Гуманизированное антитело можно оптимизировать путем внесения консервативных замен, замен консенсусной последовательности, замен зародышевой линии и/или обратных мутаций. Такие измененные молекулы иммуноглобулина можно создавать с помощью любой из нескольких методик, известных в данной области техники (например, Teng et al., *Proc. Natl. Acad. Sci. U.S.A.*, 80: 7308-7312, 1983; Kozbor et al., *Immunology Today*, 4: 7279, 1983; Olsson et al., *Meth. Enzymol.*, 92: 3-16, 1982, и EP 239 400).

Термин "человеческое антитело", "человеческая конструкция антитела" и "человеческий связывающий домен" включает антитела, конструкции антител и связывающие домены, имеющие области антитела, такие как вариабельные и константные области или домены, которые по существу соответствуют известным в данной области техники последовательностям иммуноглобулина человеческой зародышевой линии, включая, например, описанные в Kabat et al. (1991) (*loc. cit.*). Человеческие антитела, конструкции антител или связывающие домены согласно изобретению могут содержать аминокислотные остатки, не кодируемые последовательностями иммуноглобулина человеческой зародышевой линии (например, мутации, внесенные посредством случайного или сайт-специфического мутагенеза *in vitro* или посредством соматической мутации *in vivo*), например, в CDR, и, в частности, в CDR3. Человеческие антитела, конструкции антител или связывающие домены могут содержать по меньшей мере одну, две, три, четыре, пять или более позиций, замещенных аминокислотным остатком, не кодируемым последовательностью иммуноглобулина человеческой зародышевой линии. При этом в контексте данного документа определение человеческих антител, конструкций антител и связывающих доменов также подразумевает "полностью человеческие антитела", которые содержат только искусственно и/или генетически не измененные человеческие последовательности антител, такие как те, которые можно получить, используя технологии или системы, такие как Xenomouse. Предпочтительно "полностью человеческое антитело" не содержит аминокислотные остатки, не кодируемые последовательностями иммуноглобулина человеческой зародышевой линии.

В некоторых вариантах реализации конструкции антител согласно изобретению являются "выделенными" или "по существу чистыми" конструкциями антител. При употреблении для описания представленных в данном документе конструкций антител "выделенная" или "по существу чистая" обозначает конструкцию антитела, которая была определена, отделена и/или изолирована от компонента среды, в которой она вырабатывается. Предпочтительно конструкция антитела не связана или по существу не свя-

зана со всеми другими компонентами из среды, в которой она вырабатывается. Примесные компоненты среды, в которой происходит выработка, такие как остаются от рекомбинантных трансфицированных клеток, представляют собой материалы, которые, как правило, мешают диагностическому или терапевтическому применению полипептида, и могут включать ферменты, гормоны и другие белковые или небелковые растворенные вещества. Конструкции антител могут, например, составлять по меньшей мере около 5% или по меньшей мере около 50% по массе от общего белка в данном образце. Понятно, что выделенный белок может составлять от 5 до 99,9% по массе от общего содержания белка в зависимости от обстоятельств. Полипептид можно получать в существенно большей концентрации посредством применения индуцибельного промотора или промотора высокой экспрессии так, чтобы он производился на повышенном концентрационном уровне. Данное определение включает получение конструкции антитела в широком ряде организмов и/или клеток-хозяев, которые известны в данной области техники. В предпочтительных вариантах реализации изобретения конструкцию антитела очищают (1) до степени, достаточной для получения по меньшей мере 15 остатков N-концевой или внутренней аминокислотной последовательности, используя секвенатор с вращающимся стаканом, или (2) до гомогенности по ДСН-ПААГ в невосстановительных или восстановительных условиях с применением окрашивания голубым кумасси или, предпочтительно, серебром. При этом обычно конструкцию антитела получают с помощью по меньшей мере одного этапа очистки.

Термин "связывающий домен" в связи с данным изобретением характеризует домен, который (специфически) связывает/взаимодействует с/распознает данный эпитоп-мишень или данный участок-мишень на молекулах-мишенях (антигенах), например, CD33 и CD3 соответственно. Структура и функция первого связывающего домена (распознающего CD33) и предпочтительно также структура и/или функция второго связывающего домена (распознающего CD3) основаны на структуре и/или функции антитела, например, полноразмерной или цельной молекулы иммуноглобулина, и/или получены из переменных доменов тяжелой цепи (VH) и/или переменных доменов легкой цепи (VL) антитела или его фрагмента. Предпочтительно первый связывающий домен характеризуется наличием трех CDR легкой цепи (т.е. CDR1, CDR2 и CDR3 VL-области) и/или трех CDR тяжелой цепи (т.е. CDR1, CDR2 и CDR3 VH-области). Второй связывающий домен предпочтительно также содержит минимальные структурные требования антитела, которые обеспечивают связывание мишени. Более предпочтительно второй связывающий домен содержит по меньшей мере три CDR легкой цепи (т.е. CDR1, CDR2 и CDR3 VL-области) и/или три CDR тяжелой цепи (т.е. CDR1, CDR2 и CDR3 VH-области). Подразумевается, что первый и/или второй связывающий домен производят или получают методами фагового дисплея или скрининга библиотек, а не путем прививания последовательностей CDR из предсуществующего (моноклонального) антитела в каркас.

В соответствии с данным изобретением связывающие домены имеют форму одного или более полипептидов. Такие полипептиды могут содержать белковые части и небелковые части (например, химические линкеры или химические перекрестно-сшивающие агенты, такие как глутаральдегид). Белки (включая их фрагменты, предпочтительно биологически активные фрагменты, и пептиды, обычно имеющие менее 30 аминокислот) содержат две или более аминокислоты, соединенные друг с другом ковалентной пептидной связью (что приводит к получению цепи из аминокислот).

В контексте данного документа термин "полипептид" описывает группу молекул, которая обычно состоит из более чем 30 аминокислот. Полипептиды могут дополнительно образовывать мультимеры, такие как димеры, тримеры и высшие олигомеры, т.е. состоящие из более чем одной полипептидной молекулы. Полипептидные молекулы, образующие такие димеры, тримеры и т.д., могут быть идентичными или неидентичными. Соответствующие структуры высшего порядка таких мультимеров, соответственно, называются гомо- или гетеродимерами, гомо- или гетеротримерами и т.д. Примером гетеромультимера является молекула антитела, которая в своей природной форме состоит из двух идентичных легких полипептидных цепей и двух идентичных тяжелых полипептидных цепей. Термины "пептид", "полипептид" и "белок" также относятся в модифицированном естественным образом пептидам/полипептидам/белкам, в которых модификация обусловлена, например, посттрансляционными модификациями, такими как гликозилирование, ацетилирование, фосфорилирование и тому подобное. В контексте данного документа "пептид", "полипептид" или "белок" также могут быть химически модифицированными, например, пэгилрованными. Такие модификации хорошо известны в данной области техники и описаны ниже в данном документе.

Предпочтительно связывающий домен, который связывается с антигеном-мишенью клеточной поверхности, и/или связывающий домен, который связывается с CD3ε, является/являются человеческими связывающими доменами. Антитела и конструкции антител, содержащие по меньшей мере один человеческий связывающий домен, позволяют избежать некоторых проблем, связанных с антителами или конструкциями антител, которые обладают нечеловеческими, например, принадлежащими грызуну (например, мышши, крысе, хомяку или кролику), переменными и/или константными областями. Присутствие таких белков из организма грызуна может приводить к быстрому выведению антител или конструкций антител или может приводить к генерации иммунного ответа против антитела или конструкции антитела у пациента. Чтобы избежать применения полученных от грызунов антител или конструкций антител,

можно создавать человеческие или полностью человеческие антитела/конструкции антител путем внесения в организм грызуна функции человеческого антитела так, чтобы у грызуна вырабатывались полностью человеческие антитела.

Возможность клонировать и восстанавливать человеческие локусы размером порядка миллиона пар оснований в YAC и вносить их в мышиную зародышевую линию обеспечивает эффективный подход для изучения функциональных компонентов очень больших или грубо картированных локусов, а также для создания полезных моделей человеческих заболеваний. Кроме того применение такой технологии для замещения мышинных локусов их человеческими эквивалентами может обеспечить уникальную информацию об экспрессии и регулировании человеческих генных продуктов во время развития, их взаимодействии с другими системами и их роли в индукции и прогрессировании заболеваний.

Важным практическим применением такой стратегии является "гуманизация" мышинной гуморальной иммунной системы. Внесение локусов человеческого иммуноглобулина (Ig) в организм мышей, у которых были инактивированы эндогенные гены Ig, обеспечивает возможность для изучения механизмов, лежащих в основе программируемой экспрессии и сборки антител, а также их роли в развитии В-клеток. Кроме того, такая стратегия может обеспечить идеальный источник для получения полностью человеческих моноклональных антител (mAb) - ключевой точки в направлении выполнения обещания создания терапии на основе антител для человеческих заболеваний. Ожидается, что полностью человеческие антитела или конструкции антител сведут к минимуму иммуногенные и аллергические ответы, свойственные мышинным или полученным от мышей mAb, и, следовательно, повысят эффективность и безопасность вводимых антител/конструкций антител. Можно ожидать, что применение полностью человеческих антител или конструкций антител обеспечит существенное преимущество в лечении хронических и рецидивных человеческих заболеваний, таких как воспаление, аутоиммунность и рак, при которых требуются повторные введения соединений.

Один подход в направлении этой цели состоял в конструировании мышинных штаммов с дефицитом выработки мышинных антител с большими фрагментами локусов человеческого Ig в ожидании, что такие мыши будут вырабатывать широкий репертуар человеческих антител в отсутствие мышинных антител. Большие фрагменты человеческого Ig должны сохранять широкое разнообразие варьируемых генов, а также надлежащее регулирование выработки и экспрессии антитела. При применении мышинного аппарата для расширения разнообразия и отбора антител и отсутствии иммунологической толерантности к человеческим белкам, воспроизведенный репертуар человеческих антител в этих мышинных штаммах должен привести к получению высокоаффинных антител против представляющего интерес антигена, включая человеческие антигены. Используя технологию гибридомы, можно легко получать и проводить отбор антиген-специфических человеческих mAb с необходимой специфичностью. Эта общая стратегия была продемонстрирована в связи с созданием первых мышинных штаммов XenoMouse (смотрите Green et al. *Nature Genetics* 7:13-21 (1994)). Были сконструированы штаммы XenoMouse с дрожжевыми искусственными хромосомами (YAC), содержащими фрагменты размером 245 т.п.о. и 190 т.п.о. конфигурации зародышевой линии человеческого локуса тяжелой цепи и локуса каппа легкой цепи соответственно, которые содержали внутренние последовательности варьируемой и константной области. Содержащие человеческий Ig YAC, оказались совместимыми с мышинной системой в отношении как перестройки, так и экспрессии антител, и были способны замещать инактивированные гены мышинного Ig. Это было продемонстрировано их способностью индуцировать развитие В-клеток, вырабатывать человеческий репертуар взрослого типа полностью человеческих антител и генерировать антиген-специфические человеческие mAb. Эти результаты также позволяют предположить, что внесение больших частей локусов человеческого Ig, содержащих большее количество V-генов, дополнительных регуляторных элементов и константных областей человеческого Ig, может воспроизводить по существу полный репертуар, характерный для человеческого гуморального ответа на инфекцию и иммунизацию. Работа Green et al. Была недавно расширена до внесения более чем приблизительно 80% человеческого репертуара антител путем внесения фрагментов YAC размером порядка миллиона пар оснований конфигурации зародышевой линии человеческого локуса тяжелой цепи и локуса каппа легкой цепи соответственно. Смотрите Mendez et al. *Nature Genetics* 15:146-156 (1997) и заявку на патент США, серийный № 08/759620.

Получение мышей XenoMouse дополнительно обсуждается и описывается в заявках на патент США, серийный № 07/466 008, серийный № 07/610 515, серийный № 07/919 297, серийный № 07/922 649, серийный № 08/031 801, серийный № 08/112 848, серийный № 08/234 145, серийный № 08/376 279, серийный № 08/430 938, серийный № 08/464 584, серийный № 08/464 582, серийный № 08/463 191, серийный № 08/462 837, серийный № 08/486 853, серийный № 08/486 857, серийный № 08/486 859, серийный № 08/462 513, серийный № 08/724 752, и серийный № 08/759 620; и патентах США № 6162963; 6150584; 6114598; 6075181 и 5,939598, и патентах Японии № 3 068 180 B2, 3 068 506 B2 и 3 068 507 B2. Смотрите также Mendez et al. *Nature Genetics* 15:146-156 (1997) и Green and Jakobovits J. *Exp. Med.* 188:483-495 (1998), EP 0 463 151 B1, WO 94/02602, WO 96/34096, WO 98/24893, WO 00/76310 и WO 03/47336.

В альтернативном подходе другие, включая GenPharm International, Inc., использовали подход "минолокуса". В подходе минолокуса локус экзогенного Ig имитируют путем включения кусочков (отдель-

ных генов) из локуса Ig. Таким образом, один или более генов VH, один или более генов DH, один или более генов JH, мю константная область и вторая константная область (предпочтительно гамма константная область) образуют конструкцию для вставки в организм животного. Этот подход описан в патенте США № 5545807 авторства Surani et al. и патентах США № 5545806; 5625825; 5625126; 5633425; 5661016; 5770429; 5789650; 5814318; 5877397; 5874299; и 6255458, каждый авторства Lonberg и Kay, патентах США № 5591669 и 6023010 авторства Krimpenfort и Berns, патентах США № 5612205; 5721367; и 5789215 авторства Berns et al., и патенте США № 5643763 авторства Choi и Dunn, и заявке на патент США от GenPharm International, серийный № 07/574 748, серийный № 07/575 962, серийный № 07/810 279, серийный № 07/853 408, серийный № 07/904 068, серийный № 07/990 860, серийный № 08/053 131, серийный № 08/096 762, серийный № 08/155 301, серийный № 08/161 739, серийный № 08/165 699, серийный № 08/209 741. Также смотрите EP 0 546 073 B1, WO 92/03918, WO 92/22645, WO 92/22647, WO 92/22670, WO 93/12227, WO 94/00569, WO 94/25585, WO 96/14436, WO 97/13852 и WO 98/24884 и патент США № 5981175. Смотрите также Taylor et al. (1992), Chen et al. (1993), Tuailon et al. (1993), Choi et al. (1993), Lonberg et al. (1994), Taylor et al. (1994) и Tuailon et al. (1995), Fishwild et al. (1996).

Kirin также продемонстрировал создание человеческих антител с применением мышей, которым были внесены большие куски хромосом или целые хромосомы посредством микроклеточной инфузии. Смотрите заявки на Европейский патент № 773 288 и 843 961. Xenex Biosciences разрабатывают технологию для потенциального создания человеческих антител. В этой технологии мышей ТКИД восстанавливают с помощью человеческих лимфатических клеток, например, В- и/или Т-клеток. Затем мышей иммунизируют антигеном и они могут генерировать иммунный ответ против этого антигена. Смотрите патенты США № 5476996; 5698767 и 5958765.

Ответы человеческого антимышиного антитела (НАМА) привели данную отрасль к созданию химерных или иным образом гуманизированных антител. При этом ожидается, что будут наблюдаться ответы некоторых человеческих анти-химерных антител (НАСА), в частности, при постоянном или многодозовом применении антитела. Таким образом, было бы желательно предоставить конструкции антител, содержащие человеческий связывающий домен против антигена-мишени клеточной поверхности и человеческий связывающий домен против CD3ε, чтобы опровергнуть сомнения относительно и/или результаты ответов НАМА или НАСА.

Термины "(специфически) связывается с", "(специфически) распознает", "(специфически) направлен на" и "(специфически) реагирует с" означают в соответствии с этим изобретением, что связывающий домен взаимодействует или специфически взаимодействует с данным эпитопом или данным участком-мишенью на молекулах-мишенях (антигенах), в данном случае: антигене-мишени клеточной поверхности и CD3ε соответственно.

Термин "эпитоп" относится к участку на антигене, с которым специфически связывается связывающий домен, такой как антитело или иммуноглобулин, или производное, фрагмент или вариант антитела или иммуноглобулина. "Эпитоп" является антигенным и, следовательно, в данном документе термин эпитоп иногда называется "антигенной структурой" или "антигенной детерминантой". Таким образом, связывающий домен является "участком взаимодействия с антигеном". Также подразумевается, что указанное связывание/взаимодействие определяет "специфическое распознавание".

"Эпитопы" могут быть образованы как смежными аминокислотами, так и не смежными аминокислотами, расположенными рядом в результате сворачивания белка в третичную структуру. "Линейный эпитоп" представляет собой эпитоп, в котором первичная аминокислотная последовательность содержит распознаваемый эпитоп. Линейный эпитоп, как правило, содержит по меньшей мере 3 или по меньшей мере 4, и чаще по меньшей мере 5 или по меньшей мере 6, или по меньшей мере 7, например, от около 8 до около 10 аминокислот в уникальной последовательности.

"Конформационный эпитоп", в противоположность линейному эпитопу, представляет собой эпитоп, в котором первичная последовательность аминокислот, составляющих эпитоп, не является единственным определяющим компонентом распознаваемого эпитопа (например, эпитоп, в котором первичная последовательность аминокислот не обязательно распознается связывающим доменом). Как правило, конформационный эпитоп содержит большее количество аминокислот по сравнению с линейным эпитопом. В отношении распознавания конформационных эпитопов связывающий домен распознает трехмерную структуру антигена, предпочтительно пептид или белок или его фрагмент (в контексте данного изобретения антигенная структура для одного из связывающих доменов содержится в рамках целевого белка антигена клеточной поверхности). Например, когда молекула белка сворачивается с образованием трехмерной структуры, определенные аминокислоты и/или полипептидный скелет, образующие конформационный эпитоп, оказываются расположены рядом, что делает возможным распознавание эпитопа антителом. Способы определения конформации эпитопов включают, но не ограничиваются этим, рентгеноструктурную кристаллографию, спектроскопию на основе двухмерного ядерного магнитного резонанса (2D-ЯМР) и спектроскопию на основе сайт-направленных спиновых меток и электронного парамагнитного резонанса (ЭПР).

Способ картирования эпитопов описан следующим образом: Когда область (непрерывный участок

аминокислот) в белке человеческого антигена-мишени клеточной поверхности заменяют/замещают соответствующей областью антигена-мишени клеточной поверхности, не принадлежащего человеку и примату (например, мышинного антигена-мишени клеточной поверхности, хотя допускаются также и другие, такие как куриные, крысиные, хомячьи, кроличьи и т.д.), ожидается, что произойдет снижение в связывании связывающего домена, если связывающий домен не является перекрестно реагирующим в отношении применяемого антигена-мишени клеточной поверхности, не принадлежащего человеку и примату. Указанное снижение предпочтительно составляет по меньшей мере 10, 20, 30, 40 или 50%; более предпочтительно по меньшей мере 60, 70 или 80%, и наиболее предпочтительно 90, 95 или даже 100% по сравнению со связыванием с соответствующей областью в белке человеческого антигена-мишени клеточной поверхности, причем связывание с соответствующим белком человеческого антигена-мишени клеточной поверхности устанавливается как 100%. Подразумевается, что вышеуказанные химерные структуры человеческий антиген-мишень клеточной поверхности/нечеловеческий антиген-мишень клеточной поверхности экспрессируются в клетках СНО. Также подразумевается, что химерные структуры человеческий антиген-мишень клеточной поверхности/нечеловеческий антиген-мишень клеточной поверхности слиты с трансмембранным доменом и/или цитоплазматическим доменом отличного мембраносвязанного белка, такого как ЕpСAM.

В альтернативном или дополнительном способе картирования эпитопов можно создавать несколько усеченных версий внеклеточного домена человеческого антигена-мишени клеточной поверхности, чтобы определить конкретную область, которая распознается связывающим доменом. В этих усеченных версиях поэтапно удаляют разные внеклеточные домены/субдомены или области антигена-мишени клеточной поверхности, начиная с N-конца. Подразумевается, что усеченные версии антигена-мишени клеточной поверхности можно экспрессировать в клетках СНО. Также подразумевается, что усеченные версии антигена-мишени клеточной поверхности можно сливать с трансмембранным доменом и/или цитоплазматическим доменом отличного мембраносвязанного белка, такого как ЕpСAM. Также подразумевается, что усеченные версии антигена-мишени клеточной поверхности могут включать домен сигнального пептида в N-конце, например, сигнальный пептид, полученный из сигнального пептида тяжелой цепи мышинного IgG. Дополнительно подразумевается, что усеченные версии антигена-мишени клеточной поверхности могут включать домен v5 в N-конце (после сигнального пептида), который позволяет подтвердить их правильную экспрессию на клеточной поверхности. Ожидается, что снижение или прекращение связывания будет наблюдаться для тех усеченных версий антигена-мишени клеточной поверхности, которые больше не включают область антигена-мишени клеточной поверхности, распознаваемую связывающим доменом. Снижение связывания предпочтительно составляет по меньшей мере 10, 20, 30, 40, 50%; более предпочтительно по меньшей мере 60, 70, 80%, и наиболее предпочтительно 90, 95 или даже 100%, причем связывание с полным белком человеческого антигена-мишени клеточной поверхности (или его внеклеточной областью или доменом) устанавливается как 100.

Дополнительным способом определения вклада конкретного остатка антигена-мишени клеточной поверхности в распознавание конструкцией антитела или связывающим доменом является аланиновое сканирование (см., например, Morrison KL & Weiss GA. *Cur Opin Chem Biol.* 2001 Jun; 5(3):302-7), в котором каждый предназначенный для анализа остаток замещают аланином, например, посредством сайт-направленного мутагенеза. Аланин используют из-за его необъемной, химически инертной, метильной функциональной группы, которая при этом имитирует вторичную структуру, которой обладают многие другие аминокислоты. Иногда можно использовать объемные аминокислоты, такие как валин или изолейцин, в случаях, когда необходимо сохранение размера мутированного остатка. Аланиновое сканирование является проверенной технологией, которую используют уже долгое время.

Взаимодействие между связывающим доменом и эпитопом или областью, содержащей эпитоп, означает, что связывающий домен демонстрирует приемлемую аффинность в отношении эпитопа/области, содержащей эпитоп, в конкретном белке или антигене (в данном случае: антигене-мишени клеточной поверхности и CD3 соответственно) и, в общем случае, не демонстрирует существенную реактивность с белками или антигенами, отличными от антигена-мишени клеточной поверхности и CD3. "Приемлемая аффинность" включает связывание с аффинностью около 10^{-6} М (КД) или выше. Предпочтительно связывание считается специфическим, когда аффинность связывания составляет от около 10^{-12} до 10^{-8} М, от 10^{-12} до 10^{-9} М, от 10^{-12} до 10^{-10} М, от 10^{-11} до 10^{-8} М, предпочтительно от около 10^{-11} до 10^{-9} М. Вступает ли специфически связывающий домен в реакцию или связывается ли с мишенью, можно легко проверить, помимо прочего, сравнивая реакцию указанного связывающего домена с целевым белком или антигеном с реакцией указанного связывающего домена с белками или антигенами, отличными от антигена-мишени клеточной поверхности или CD3. Предпочтительно связывающий домен согласно изобретению практически или по существу не связывается с белками или антигенами, отличными от антигена-мишени клеточной поверхности или CD3 (т.е. первый связывающий домен не способен связываться с белками, отличными от антигена-мишени клеточной поверхности, а второй связывающий домен не способен связываться с белками, отличными от CD3). Подразумеваемой характеристикой конструкций антител в соответствии с данным изобретением является то, что они имеют превосходящие характеристики аффинности по сравнению с другими HLE-форматами. Следовательно, такая превосходящая аффинность пред-

полагает продленное время полужизни *in vivo*. Большое время полужизни конструкций антител в соответствии с данным изобретением может снизить длительность и частоту введения, что, как правило, влияет на улучшение соблюдения пациентом режима лечения. Это является исключительно важным, так как конструкции антител согласно данному изобретению являются исключительно полезными для сильно ослабленных или даже полиморбидных раковых пациентов.

Термин "практически/по существу не связывает" или "не способен связываться" означает, что связывающий домен согласно данному изобретению не связывает белок или антиген, отличный от антигена-мишени клеточной поверхности или CD3, т.е. не демонстрирует реактивность более 30%, предпочтительно не более 20%, предпочтительнее не более 10%, в частности, предпочтительно не более 9, 8, 7, 6 или 5% с белками или антигенами, отличными от антигена-мишени клеточной поверхности или CD3, причем связывание с антигеном-мишенью клеточной поверхности или CD3 соответственно установлено как 100%.

Считается, что на специфическое связывание влияют конкретные мотивы в аминокислотной последовательности связывающего домена и антигена. Таким образом, связывание достигается в результате их первичной, вторичной и/или третичной структуры, а также в результате вторичных модификаций указанных структур. Специфическое взаимодействие участка взаимодействия с антигеном с его специфическим антигеном может приводить к простому связыванию указанного участка с антигеном. Более того, специфическое взаимодействие участка взаимодействия с антигеном с его специфическим антигеном может в альтернативном или дополнительном варианте приводить к инициации сигнала, например, вследствие индукции изменения конформации антигена, олигомеризации антигена и т.д.

Термин "вариабельный" относится к частям доменов антитела или иммуноглобулина, которые демонстрируют вариабельность в последовательности и которые вовлечены в определение специфичности и аффинности связывания конкретного антитела (т.е. "вариабельный(е) домен(ы)"). Спаривание вместе вариабельной тяжелой цепи (VH) и вариабельной легкой цепи (VL) приводит к образованию одного антигенсвязывающего участка.

Вариабельность неравномерно распределена между вариабельными доменами антител; она сконцентрирована в субдоменах каждой из вариабельных областей тяжелой и легкой цепи. Эти субдомены называются "гипервариабельными областями" или "определяющими комплементарность областями" (CDR). Более консервативные (т.е. не гипервариабельные) части вариабельных доменов называются "каркасными" областями (FRM или FR) и обеспечивают каркас для шести CDR в трехмерном пространстве с образованием антигенсвязывающей поверхности. Каждый из вариабельных доменов тяжелой и легкой цепей природного происхождения содержит четыре FRM-области (FR1, FR2, FR3 и FR4), принимающие большей частью β -складчатую конфигурацию, соединенные тремя гипервариабельными областями, которые образуют петли, соединяющие, и в некоторых случаях образующие часть β -складчатой структуры. Гипервариабельные области в каждой цепи удерживаются вместе в непосредственной близости FRM и вместе с гипервариабельными областями из другой цепи вносят свой вклад в образование антигенсвязывающего участка (смотрите Kabat et al., loc. cit.).

Термины "CDR" и множественная форма "CDR" относятся к определяющим комплементарность областям, из которых три обуславливают характер связывания вариабельной области легкой цепи (CDR-L1, CDR-L2 и CDR-L3) и три обуславливают характер связывания вариабельной области тяжелой цепи (CDR-H1, CDR-H2 и CDR-H3). CDR содержат большинство остатков, отвечающих за специфическое взаимодействие антитела с антигеном и, следовательно, вносят свой вклад в функциональную активность молекулы антитела: они являются основными детерминантами специфичности к антигену.

Точное определение границ и размеров CDR является предметом разных классификаций и систем нумерации. Следовательно, CDR могут быть обозначены в соответствии с определениями Kabat, Chothia, контактными или любыми другими определениями границ, включая описанную в данном документе систему нумерации. Несмотря на отличающиеся границы каждая из этих систем имеет некоторую степень перекрытия в том, что составляет так называемые "гипервариабельные области" в пределах вариабельных последовательностей. Следовательно, определения CDR в соответствии с этими системами могут отличаться по длине и граничным участкам по отношению к прилегающей каркасной области. Смотрите, например, Kabat (подход на основании межвидовой вариабельности последовательностей), Chothia (подход на основании кристаллографических исследований комплексов антиген-антитело), и/или MacCallum (Kabat et al., loc. cit.; Chothia et al., J. Mol. Biol., 1987, 196: 901-917; и MacCallum et al., J. Mol. Biol., 1996, 262: 732). Еще одним стандартом для характеристики антигенсвязывающего участка является определение AbM, применяемое в программном обеспечении для моделирования антител Oxford Molecular's AbM. Смотрите, например, Protein Sequence and Structure Analysis of Antibody Variable Domains. В: Antibody Engineering Lab Manual (Ed.: Duebel, S. and Rontermann, R., Springer-Verlag, Heidelberg). В случае если две методики идентификации остатков определяют остатки перекрывающихся, но не идентичных областей, их можно комбинировать для определения гибридной CDR. При этом предпочтительной является нумерация в соответствии с так называемой системой Kabat.

Как правило, CDR образуют петлевую структуру, которая может быть классифицирована как кано-

ническая структура. Термин "каноническая структура" относится к основной конформации цепи, которую принимают антигенсвязывающие (CDR) петли. По результатам сравнительных структурных исследований было обнаружено, что пять из шести антигенсвязывающих петель имеют только ограниченный набор доступных конформаций. Каждую каноническую структуру можно охарактеризовать по углу кручения полипептидного скелета. Следовательно, соответствующие петли среди антител могут иметь очень сходные трехмерные структуры, несмотря на высокую аминокислотную вариабельность в большинстве частей петель (Chothia and Lesk, *J. Mol. Biol.*, 1987, 196: 901; Chothia et al., *Nature*, 1989, 342: 877; Martin and Thornton, *J. Mol. Biol.*, 1996, 263: 800). Кроме того, существует взаимосвязь между принимаемой петлей структурой и окружающими ее аминокислотными последовательностями. Конформация конкретного канонического класса определяется длиной петли и аминокислотными остатками, находящимися в ключевых позициях в пределах петель, а также в пределах консервативной каркасной области (т.е. за пределами петли). Отнесение к конкретному каноническому классу, следовательно, можно проводить на основании присутствия этих ключевых аминокислотных остатков.

Термин "каноническая структура" также может включать факторы, связанные с линейной последовательностью антитела, например, каталогизированные Kabat (Kabat et al., loc. cit.). Схема (система) нумерации Kabat является широко распространенным стандартом нумерации аминокислотных остатков вариабельного домена антитела последовательным образом и является предпочтительной схемой, применяемой в данном изобретении, что также упоминается в другом месте данного документа. Для определения канонической структуры антитела также можно использовать дополнительные структурные факторы. Например, те отличия, которые не полностью отображены в нумерации Kabat, можно описать с помощью системы нумерации Chothia et al. и/или выявить с помощью других методик, например, кристаллографии и двух- или трехмерного компьютерного моделирования.

Соответственно, заданную последовательность антитела можно отнести к каноническому классу, что позволяет, помимо прочего, идентифицировать соответствующие шасси-последовательности (например, на основании необходимости включать разнообразные канонические структуры в библиотеку). Нумерация аминокислотных последовательностей антител по Kabat и структурные факторы, описанные Chothia et al., loc. cit., и их значения для конструирования канонических аспектов структуры антитела описаны в литературе. Субъединичные структуры и трехмерные конфигурации разных классов иммуноглобулинов хорошо известны в данной области техники. Обзор структуры антител можно посмотреть в *Antibodies: A Laboratory Manual*, Cold Spring Harbor Laboratory, eds. Harlow et al., 1988.

CDR3 легкой цепи и в особенности CDR3 тяжелой цепи могут составлять наиболее важные детерминанты в связывании антигена в пределах вариабельных областей легкой и тяжелой цепи. В некоторых конструкциях антител CDR3 тяжелой цепи составляет основную площадь контакта между антигеном и антителом. *In vitro* схемы отбора, в которых варьируется только CDR3, можно использовать, чтобы варьировать связывающие свойства антитела или чтобы определить, какие остатки вносят вклад в связывание антигена. Следовательно, CDR3, как правило, является наибольшим источником молекулярного разнообразия в пределах связывающего участка антитела. Например, H3 может иметь длину всего в два аминокислотных остатка или более 26 аминокислот.

В классическом полноразмерном иммуноглобулине каждая легкая (L) цепь связана с тяжелой (H) одной ковалентной дисульфидной связью, тогда как две H-цепи связаны друг с другом одной или более дисульфидными связями в зависимости от изотипа H-цепи. Домен CH, расположенный наиболее близко к VH, обычно обозначается как CH1. Константные ("C") домены непосредственно не вовлечены в связывание антигена, но проявляют различные эффекторные функции, такие как антителозависимая клеточно-опосредованная цитотоксичность и активация комплемента. Fc-область антитела находится в пределах константных доменов тяжелой цепи и, например, способна взаимодействовать с расположенными на поверхности Fc-рецепторами.

Последовательность генов антитела после сборки и соматической мутации сильно варьируется и по оценкам эти варьированные гены кодируют 10^{10} разных молекул антител (*Immunoglobulin Genes*, 2nd ed., eds. Jonio et al., Academic Press, San Diego, CA, 1995). Соответственно, иммунная система обеспечивает некоторый репертуар иммуноглобулинов. Термин "репертуар" относится к по меньшей мере одной нуклеотидной последовательности, целиком или частично полученной из по меньшей мере одной последовательности, кодирующей по меньшей мере один иммуноглобулин. Последовательность(и) можно получать путем перестройки *in vivo* V, D и J сегментов тяжелых цепей и V и J сегментов легких цепей. В альтернативном варианте последовательность(и) можно получать из клетки в ответ на которую происходит перестройка, например, *in vitro* стимуляция. В альтернативном варианте часть или всю (все) последовательность(и) можно получать посредством сплайсинга ДНК, синтеза нуклеотидов, мутагенеза и других способов, смотрите, например, патент США 5565332. Репертуар может включать только одну последовательность или может включать множество последовательностей, включая находящиеся в генетически разнообразной коллекции.

В связи с этим изобретением термин "Fc-часть" или "Fc-мономер" означает полипептид, содержащий по меньшей мере один домен, имеющий функцию домена CH2, и по меньшей мере один домен, имеющий функцию домена CH3 молекулы иммуноглобулина. Как очевидно из термина "Fc-мономер",

полипептид, содержащий эти домены СН, является "полипептидным мономером". Fc-мономер может представлять собой полипептид, содержащий по меньшей мере фрагмент константной области иммуноглобулина за исключением первого домена константной области тяжелой цепи иммуноглобулина (СН1), но сохраняющий по меньшей мере функциональную часть одного домена СН2 и функциональную часть одного домена СН3, причем домен СН2 является аминоконцевым по отношению к домену СН3. В предпочтительном аспекте этого определения Fc-мономер может представлять собой полипептидную константную область, содержащую часть шарнирной области Ig-Fc, область СН2 и область СН3, причем шарнирная область является аминоконцевой по отношению к домену СН2. Подразумевается, что шарнирная область согласно данному изобретению стимулирует димеризацию. Такие молекулы Fc-полипептидов можно получать, например и без ограничения, путем расщепления папаино области иммуноглобулина (конечно, приводящего к получению димера из двух Fc-полипептидов). В другом аспекте этого определения Fc-мономер может представлять собой полипептидную область, содержащую часть области СН2 и области СН3. Такие молекулы Fc-полипептидов можно получать, например и без ограничения, путем расщепления пепсином молекулы иммуноглобулина. В одном варианте реализации изобретения полипептидная последовательность Fc-мономера по существу аналогична последовательности Fc-полипептида: Fc-области IgG₁, Fc-области IgG₂, Fc-области IgG₃, Fc-области IgG₄, Fc-области IgM, Fc-области IgA, Fc-области IgD и Fc-области IgE. (Смотрите, например, Padlan, *Molecular Immunology*, 31(3), 169-217 (1993)). Вследствие наличия некоторой вариации между иммуноглобулинами и исключительно для ясности Fc-мономер относится к последним двум доменам константной области тяжелой цепи иммуноглобулина IgA, IgD и IgG и последним трем доменам константной области тяжелой цепи иммуноглобулина IgE и IgM. Как упоминалось, Fc-мономер также может содержать гибкую шарнирную область, расположенную N-терминально к этим доменам. В случае IgA и IgM Fc-мономер может содержать J-цепь. В случае IgG Fc-часть содержит домены иммуноглобулина СН2 и СН3 и шарнирную область между первыми двумя доменами и СН2. Хотя границы Fc-части могут варьироваться, пример Fc-части тяжелой цепи человеческого IgG, содержащей функциональную шарнирную область, домен СН2 и СН3, может, например, по определению содержать остатки от D231 (шарнирного домена - соответствующего D234 в табл. 1, ниже) до P476, соответственно L476 (в случае IgG₄), карбокси-конца домена СН3, где нумерация приведена в соответствии с Kabat. Две Fc-части или два Fc-мономера, слитые друг с другом посредством пептидного линкера, определяют третий домен конструкции антитела согласно изобретению, который также может быть определен как домен scFc.

В одном варианте реализации изобретения подразумевается, что описанный в данном документе домен scFc, соответственно Fc-мономеры, слитые друг с другом, находятся только в третьем домене конструкции антитела.

В соответствии с данным изобретением шарнирную область IgG можно определить по аналогии, используя нумерацию Kabat, как показано в табл. 1. В соответствии с вышесказанным подразумевается, что шарнирный домен/шарнирная область согласно данному изобретению содержит аминокислотные остатки, соответствующие участку последовательности IgG₁ от D234 до P243 в соответствии с нумерацией Kabat. Аналогично, подразумевается, что шарнирный домен/шарнирная область согласно данному изобретению содержит или состоит из шарнирной последовательности IgG1 DKTHTCPPCP (SEQ ID NO: 1449) (соответствующей участку от D234 до P243, как показано в табл. 1, ниже, также подразумеваются вариации указанной последовательности, при условии, что шарнирная область продолжает стимулировать димеризацию). В предпочтительном варианте реализации изобретения участок гликозилирования в позиции 314 по Kabat доменов СН2 в третьем домене конструкции антитела удален посредством замены N314X, где X представляет собой любую аминокислоту за исключением Q. Указанная замена предпочтительно представляет собой замену N314G. В более предпочтительном варианте реализации изобретения указанный домен СН2 дополнительно содержит следующие замены (позиции в соответствии с Kabat): V321C и R309C (эти замены вносят внутримономерный цистеиновый дисульфидный мостик в позициях 309 и 321 по Kabat).

Также подразумевается, что третий домен конструкции антитела согласно изобретению содержит или состоит из, в порядке от аминоконца к карбокси-концу: DKTHTCPPCP (SEQ ID NO: 1449) (т.е. шарнирная область) -СН2-СН3-линкер- DKTHTCPPCP (SEQ ID NO: 1449) (т.е. шарнирная область) -СН2-СН3. Пептидный линкер в вышеуказанной конструкции антитела в предпочтительном варианте реализации характеризуется аминокислотной последовательностью Gly-Gly-Gly-Gly-Ser, т.е. Gly₄Ser (SEQ ID NO: 1), или ее полимерами, т.е. (Gly₄Ser)_x, где x представляет собой целое число, равное 5 или более (например, 5, 6, 7, 8 и т.д. или более), причем предпочтительным вариантом является 6 ((Gly₄Ser)₆). Указанная конструкция может дополнительно содержать вышеуказанные замены N314X, предпочтительно N314G, и/или дополнительные замены V321C и R309C. В предпочтительном варианте реализации конструкций антител согласно изобретению, определенных ранее, подразумевается, что второй домен связывается с внеклеточным эпитопом цепи CD3ε человека и/или Macasa.

Таблица 1

Нумерация аминокислотных остатков шарнирной области по Kabat		
Нумерация IMGT для шарнирной области	Аминокислотная трансляция IgG ₁	Нумерация Kabat
1	(E)	226
2	P	227
3	K	228
4	S	232
5	C	233
6	D	234
7	K	235
8	T	236
9	H	237
10	T	238
11	C	239
12	P	240
13	P	241
14	C	242
15	P	243

В дополнительных вариантах реализации данного изобретения шарнирный домен/шарнирная область содержит или состоит из шарнирной последовательности подтипа IgG₂ ERKCCVECPSP (SEQ ID NO: 1450), последовательности подтипа IgG₃ ELKTPLDTTHTCPRCP (SEQ ID NO: 1451) или ELKTPLDGTTHTCPRCP (SEQ ID NO: 1458) и/или последовательности подтипа IgG₄ ESKYGPPCPSP (SEQ ID NO: 1452). Шарнирная последовательность подтипа IgG₁ может быть следующей: EPKSCDKTHTCPPSP (как показано в табл. 1 и SEQ ID NO: 1459).

Таким образом, эти основные шарнирные области также подразумеваются в контексте данного изобретения.

Положение и последовательность домена CH2 IgG и домена CD3 IgG можно определить по аналогии, используя нумерацию Kabat, как показано в табл. 2:

Таблица 2

Нумерация аминокислотных остатков области CH2 и CH3 IgG по Kabat				
Подтип IgG	ак трансляция CH2	Нумерация CH2 по Kabat	ак трансляция CH3	Нумерация CH3 по Kabat
IgG ₁	APL... ...KAK	244... ...360	GQP.....PGK	361... ...478
IgG ₂	APP... ...KTK	244... ...360	GQP.....PGK	361... ...478
IgG ₃	APL... ...KTK	244... ...360	GQP.....PGK	361... ...478
IgG ₄	APL... ...KAK	244... ...360	GQP.....LGK	361... ...478

В одном варианте реализации изобретения выделенные жирным аминокислотные остатки в домене CH3 первого или обоих Fc-мономеров удалены.

Пептидный линкер, посредством которого полипептидные мономеры ("Fc-часть" или "Fc-мономер") третьего домена слиты друг с другом, предпочтительно содержит по меньшей мере 25 аминокислотных остатков (25, 26, 27, 28, 29, 30 и т.д.). Более предпочтительно этот пептидный линкер содержит по меньшей мере 30 аминокислотных остатков (30, 31, 32, 33, 34, 35 и т.д.). Также предпочтительно, чтобы линкер содержал до 40 аминокислотных остатков, более предпочтительно до 35 аминокислотных остатков, наиболее предпочтительно точно 30 аминокислотных остатков. В предпочтительном варианте реализации такой пептидный линкер характеризуется аминокислотной последовательностью Gly-Gly-

Gly-Gly-Ser, т.е. Gly₄Ser (SEQ ID NO: 1), или ее полимерами, т.е. (Gly₄Ser)_x, где x представляет собой целое число, равное 5 или более (например, 6, 7 или 8). Предпочтительно целое число равно 6 или 7, более предпочтительно целое число равно 6.

В случае, если линкер используется для слияния первого домена со вторым доменом или первого или второго домена с третьим доменом, этот линкер предпочтительно имеет длину и последовательность, достаточную, чтобы гарантировать, что каждый из первого и второго доменов может независимо от другого сохранять свою специфичность дифференциального связывания. В случае пептидных линкеров, которые соединяют по меньшей мере два связывающих домена (или два переменных домена) в конструкции антитела согласно изобретению, предпочтительными являются пептидные линкеры, которые содержат всего несколько аминокислотных остатков, например, 12 аминокислотных остатков. Таким образом, предпочтительными являются пептидные линкеры из 12, 11, 10, 9, 8, 7, 6 или 5 аминокислотных остатков. Подразумеваемый пептидный линкер с менее чем 5 аминокислотами содержит 4, 3, 2 или одну аминокислоту, причем предпочтительными являются Gly-богатые линкеры. Предпочтительный вариант реализации пептидного линкера для слияния первого и второго домена приведен в SEQ ID NO: 1. Предпочтительный вариант реализации пептидного линкера для слияния второго и третьего домена представляет собой (Gly)₄-линкер, соответственно G₄-линкер.

В особенности предпочтительной "единственной" аминокислотой в контексте вышеописанного "пептидного линкера" является Gly. Соответственно, указанный пептидный линкер может состоять из единственной аминокислоты Gly. В предпочтительном варианте реализации изобретения пептидный линкер характеризуется аминокислотной последовательностью Gly-Gly-Gly-Gly-Ser, т.е. Gly₄Ser (SEQ ID NO: 1), или ее полимерами, т.е. (Gly₄Ser)_x, где x представляет собой целое число, равное 1 или более (например, 2 или 3). Предпочтительные линкеры приведены в SEQ ID NO: от 1 до 12. Характеристики указанного пептидного линкера, которые включают отсутствие стимуляции образования вторичных структур, известны в данной области техники и описаны, например, в Dall'Acqua et al. (Biochem. (1998) 37, 9266-9273), Cheadle et al. (Mol Immunol (1992) 29, 21-30) и Raag and Whitlow (FASEB (1995) 9(1), 73-80). Предпочтительными являются пептидные линкеры, которые, помимо прочего, не стимулируют образование каких-либо вторичных структур. Связь указанных доменов друг с другом можно обеспечить, например, посредством генетической инженерии, как описано в примерах. Способы получения слитых и функционально связанных биспецифических одноцепочечных конструкций и их экспрессии в клетках млекопитающих или бактериях хорошо известны в данной области техники (например, WO 99/54440 или Sambrook et al., Molecular Cloning: A Laboratory Manual, Cold Spring Harbor Laboratory Press, Cold Spring Harbor, New York, 2001).

В предпочтительном варианте реализации конструкции антитела согласно данному изобретению первый и второй домен образуют конструкцию антитела в формате, выбранном из группы, состоящей из (scFv)₂, scFv-однодоменного mAb, диатела и олигомеров любого из этих форматов.

В соответствии с особенно предпочтительным вариантом реализации изобретения и как описано в прилагающихся примерах, первый и второй домены конструкции антитела согласно изобретению представляют собой "биспецифическую одноцепочечную конструкцию антитела", более предпочтительно биспецифический "одноцепочечный Fv" (scFv). Хотя два домена Fv-фрагмента, VL и VH, кодируются отдельными генами, их можно соединить, используя рекомбинантные способы, синтетическим линкером, - как было ранее описано в данном документе - который обеспечивает возможность их получения в виде одной белковой цепи, в которой области VL и VH спарены с образованием моновалентной молекулы; смотрите, например, Huston et al. (1988) Proc. Natl. Acad. Sci USA 85:5879-5883). Эти фрагменты антител получают, используя традиционные методики, известные специалистам в данной области техники, и оценивают фрагменты в отношении функции таким же образом, что и полноразмерные антитела. Следовательно, одноцепочечный переменный фрагмент (scFv) представляет собой слитый белок переменной области тяжелой цепи (VH) и легкой цепи (VL) иммуноглобулинов, обычно соединенных коротким линкерным пептидом длиной от около десяти до около 25 аминокислот, предпочтительно от около 15 до 20 аминокислот. Обычно линкер насыщен глицином для гибкости, а также серином или треонином для растворимости и может соединять N-конец VH с C-концом VL, или наоборот. Этот белок сохраняет специфичность оригинального иммуноглобулина, несмотря на удаление константных областей и внесение линкера.

Биспецифические одноцепочечные конструкции антител известны в данной области техники и описаны в WO 99/54440, Mack, J. Immunol. (1997), 158, 3965-3970, Mack, PNAS, (1995), 92, 7021-7025, Kufner, Cancer Immunol. Immunother., (1997), 45, 193-197, Löffler, Blood, (2000), 95, 6, 2098-2103, Brühl, Immunol., (2001), 166, 2420-2426, Kipriyanov, J. Mol. Biol., (1999), 293, 41-56. Методики для получения одноцепочечных антител (см., помимо прочего, патент США 4946778, Kontermann and Dübel (2010), loc. cit. и Little (2009), loc. cit.) можно адаптировать для получения одноцепочечных конструкций антител, специфически распознающих выбранную(ые) мишень(и).

Бивалентные (также называемые дивалентными) или биспецифические одноцепочечные переменные фрагменты (bi-scFv или di-scFv, имеющие формат (scFv)₂ можно сконструировать путем связывания двух молекул scFv (например, линкерами, как было описано ранее). Если эти две молекулы scFv имеют

одинаковую специфичность связывания, получаемая в результате молекула (scFv)₂ предпочтительно будет называться бивалентной (т.е. она имеет две валентности в отношении одного эпитопа-мишени). Если две молекулы scFv имеют разную специфичность связывания, получаемая в результате молекула (scFv)₂ предпочтительно будет называться биспецифической. Связывание можно осуществлять путем получения одной пептидной цепи с двумя областями VH и двумя областями VL, что приводит к получению тандемных scFv (см., например, Kufer P. et al., (2004) Trends in Biotechnology 22(5):238-244). Другой возможностью является создание молекул scFv с линкерными пептидами, которые являются слишком короткими для того, чтобы удерживать вместе две переменные области (например, около пяти аминокислот), что принуждает scFv к димеризации. Этот тип известен как диатела (см., например, Hollinger, Philipp et al., (July 1993) Proceedings of the National Academy of Sciences of the United States of America 90(14):6444-8).

В соответствии с этим изобретением любой из первого, второго или первый и второй домены могут составлять однодоменное антитело, соответственно переменный домен или по меньшей мере часть CDR однодоменного антитела. Однодоменные антитела содержат только один (мономерный) переменный домен антитела, который способен избирательно связываться с конкретным антигеном, независимо от других V-областей или доменов. Первые однодоменные антитела были сконструированы из содержащих только тяжелые цепи антител, обнаруживаемых у верблюжьих, и называются V_HN-фрагментами. Хрящевые рыбы также имеют содержащие только тяжелые цепи антитела (IgNAR), из которых можно получать однодоменные антитела, называемые V_{NAR}-фрагментами. Альтернативный подход состоит в разбиении димерных переменных доменов из обычных иммуноглобулинов, например, принадлежащих человеку или грызуну, на мономеры, получая, таким образом, VH или VL в виде однодоменного Ab. Хотя на данный момент большинство исследований относительно однодоменных антител базируются на переменных доменах тяжелой цепи, также было показано, что нанотела, полученные из легких цепей, специфически связываются с эпитопами-мишенями. Примеры однодоменных антител называются sdAb, нанотелами или антителами, содержащими один переменный домен.

Следовательно, однодоменное (mAb)₂ представляет собой моноклональную конструкцию антитела, состоящую из (по меньшей мере) двух однодоменных моноклональных антител, которые по отдельности выбраны из группы, включающей V_H, V_L, V_HN и V_{NAR}. Линкер предпочтительно имеет форму пептидного линкера. Аналогично, "scFv-однодоменное mAb" представляет собой моноклональную конструкцию антитела, состоящую из по меньшей мере одного описанного выше однодоменного антитела и одной описанной выше молекулы scFv. Снова, линкер предпочтительно имеет форму пептидного линкера.

Конкурирует ли конструкция антитела за связывание с другой заданной конструкцией антитела, можно определить в конкурентном анализе, таком как конкурентный ИФА или клеточный конкурентный анализ. Также можно использовать покрытые авидином микрочастицы (гранулы). Аналогично с покрытием авидином планшета ИФА, при проведении реакции с биотинилированным белком каждую из этих гранул можно использовать в качестве субстрата для проведения анализа. Антиген наносят на гранулу, а затем предварительно наносят первое антитело. Добавляют второе антитело и определяют наличие какого-либо дополнительного связывания. Возможные средства для регистрации данных включают проточную цитометрию.

Т-клетки или Т-лимфоциты являются типом лимфоцитов (которые сами по себе являются типом белых кровяных телец), который играет основную роль в клеточноопосредованном иммунитете. Существует несколько подгрупп Т-клеток, каждая из которых имеет отличную функцию. Т-клетки можно отличить от других лимфоцитов, таких как В-клетки и НК-клетки, по присутствию Т-клеточного рецептора (ТКР) на клеточной поверхности. ТКР отвечает за распознавание антигенов, связанных с молекулами главного комплекса гистосовместимости (ГКГС), и состоит из двух разных белковых цепей. В 95% Т-клеток ТКР состоит из альфа (α) и бета (β) цепи. Когда ТКР вступает в контакт с антигенным пептидом и ГКГС (комплексом пептид/ГКГС), происходит активация Т-лимфоцита посредством серии биохимических событий, опосредованных ассоциированными ферментами, ко-рецепторами, специализированными адапторными молекулами и активированными или высвобожденными транскрипционными факторами.

Комплекс CD3-рецептора представляет собой белковый комплекс и состоит из четырех цепей. У млекопитающих комплекс содержит CD3γ (гамма) цепь, CD3δ (дельта) цепь и две CD3ε (эпсилон) цепи. Эти цепи связываются с Т-клеточным рецептором (ТРК) и так называемой ζ (дзета) цепью с образованием комплекса Т-клеточного рецептора и CD3 и генерацией сигнала активации в Т-лимфоцитах. Цепи CD3γ (гамма), CD3δ (дельта) и CD3ε (эпсилон) являются высокородственными белками клеточной поверхности суперсемейства иммуноглобулинов, содержащие один внеклеточный домен иммуноглобулина. Внутриклеточные хвосты молекул CD3 содержат один консервативный мотив, известный как иммунорецепторный тирозинный активирующий мотив или, сокращенно, ITAM, который является важным для сигнальных возможностей ТРК. Молекула CD3 эпсилон представляет собой полипептид, который у людей кодируется геном CD3E, который находится в хромосоме 11. Наиболее предпочтительный эпитоп CD3 эпсилон находится в пределах аминокислотных остатков 1-27 внеклеточного домена человеческого CD3 эпсилон. Подразумевается, что конструкции антител в соответствии с данным изобретением, как правило и преимущественно, меньше демонстрируют неспецифическую активацию Т-клеток, которая

является нежелательной в специфической иммунотерапии. Это приводит к снижению риска возникновения побочных явлений.

Перенаправленный лизис клеток-мишеней посредством привлечения Т-клеток мультиспецифической, по меньшей мере биспецифической конструкцией антитела включает образование цитолитического синапса и доставку перфорина и гранзимов. Привлеченные Т-клетки способны серийно осуществлять лизис клеток-мишеней и на них не влияют механизмы уклонения от иммунологического надзора, создающие помехи для процессинга и презентации пептидных антигенов или клональной дифференцировки Т-клеток; смотрите, например, WO 2007/042261.

Цитотоксичность, опосредованную конструкциями антител согласно изобретению, можно определять различными путями. Эффекторными клетками могут представлять собой, например, обогащенные (человеческие) CD8-положительные Т-клетки или нестимулированные (человеческие) мононуклеарные клетки периферической крови (МКПК). Если клетки-мишени происходят от или экспрессируются у макаков или трансфицированы антигеном-мишенью клеточной поверхности макака, который связывается первым доменом, эффекторные клетки также должны происходить от макака, например, линии Т-клеток макака, например, 4119LnPx. Клетки-мишени должны экспрессировать (по меньшей мере внеклеточный домен) антигена-мишени клеточной поверхности, например, антигена-мишени клеточной поверхности человека или макака. Клетки-мишени могут представлять собой линию клеток (такую как CHO), стабильно или временно трансфицированную антигеном-мишенью клеточной поверхности, например, антигеном-мишенью клеточной поверхности человека или макака. В альтернативном варианте клетки-мишени могут представлять собой положительную в отношении антигена-мишени клеточной поверхности линию клеток с естественной экспрессией. Обычно ожидается, что значения EC_{50} будут ниже в случае линий клеток-мишеней, экспрессирующих более высокие уровни антигена-мишени клеточной поверхности на клеточной поверхности. Соотношение между эффекторными клетками и клетками-мишенями (Э:М) обычно составляет около 10:1, но также может варьироваться. Цитотоксическую активность биспецифических конструкций антител к антигену-мишени клеточной поверхности и CD3 можно определить в анализе высвобождения ^{51}Cr (время инкубации - около 18 ч) или в анализе цитотоксичности на основе FACS (время инкубации - около 48 ч). Также возможны модификации времени инкубации (цитотоксической реакции) в анализе. Другие способы определения цитотоксичности хорошо известны специалистам и включают МТТ- или МТС-анализ, методы анализа на основе АТФ, включая биOLUMИнесцентный анализ, анализ с сульфородамино В (SRB), анализ WST, клоногенный анализ и технологию ECIS.

Цитотоксическую активность, опосредованную биспецифическими конструкциями антител к антигену-мишени клеточной поверхности и CD3 согласно данному изобретению, предпочтительно определяют в клеточном анализе цитотоксичности. Ее также можно определять в анализе высвобождения ^{51}Cr . Ее представляет значение EC_{50} , которое соответствует полумаксимальной эффективной концентрации (концентрации конструкции антитела, которая индуцирует цитотоксический ответ посередине между исходным и максимальным уровнем). Предпочтительно значение EC_{50} биспецифических конструкций антител к антигену-мишени клеточной поверхности и CD3 составляет ≤ 5000 пМ или ≤ 4000 пМ, более предпочтительно ≤ 3000 пМ или ≤ 2000 пМ, даже более предпочтительно ≤ 1000 пМ или ≤ 500 пМ, даже более предпочтительно ≤ 400 пМ или ≤ 300 пМ, даже более предпочтительно ≤ 200 пМ, даже более предпочтительно ≤ 100 пМ, даже более предпочтительно ≤ 50 пМ, даже более предпочтительно ≤ 20 пМ или ≤ 10 пМ и наиболее предпочтительно ≤ 5 пМ.

Вышеприведенные значения EC_{50} можно определить в разных анализах. Специалисту известно, что можно ожидать, что значение EC_{50} будет ниже, когда в качестве эффекторных клеток используют стимулированные/обогащенные Т-клетки CD8⁺, по сравнению с нестимулированными МКПК. Кроме того, можно ожидать, что значения EC_{50} будут ниже, когда клетки-мишени экспрессируют большое количество антигена-мишени клеточной поверхности по сравнению с низким уровнем экспрессии мишеней. Например, когда в качестве эффекторных клеток используют стимулированные/обогащенные Т-клетки CD8⁺ (и в качестве клеток-мишеней используют трансфицированные антигеном-мишенью клеточной поверхности клетки, такие как клетки CHO, или положительные в отношении антигена-мишени клеточной поверхности человеческие клеточные линии), значение EC_{50} биспецифической конструкции антитела к антигену-мишени клеточной поверхности и CD3 предпочтительно составляет ≤ 1000 пМ, более предпочтительно ≤ 500 пМ, даже более предпочтительно ≤ 250 пМ, даже более предпочтительно ≤ 100 пМ, даже более предпочтительно ≤ 50 пМ, даже более предпочтительно ≤ 10 пМ и наиболее предпочтительно ≤ 5 пМ. Когда в качестве эффекторных клеток используют человеческие МКПК, значение EC_{50} биспецифической конструкции антитела к антигену-мишени клеточной поверхности и CD3 предпочтительно составляет ≤ 5000 пМ или ≤ 4000 пМ (в частности, когда клетками-мишенями являются положительные в отношении антигена-мишени клеточной поверхности человеческие клеточные линии), более предпочтительно ≤ 2000 пМ (в частности, когда клетками-мишенями являются трансфицированные антигеном-мишенью клеточной поверхности клетки, такие как клетки CHO), более предпочтительно ≤ 1000 пМ или ≤ 500 пМ, даже более предпочтительно ≤ 200 пМ, даже более предпочтительно ≤ 150 пМ, даже более

предпочтительно ≤ 100 пМ и наиболее предпочтительно ≤ 50 пМ или меньше. Когда в качестве эффекторных клеток используют линию Т-клеток макака, такую как LpPx4119, а трансфицированную антигеном-мишенью клеточной поверхности макака линию клеток, таких как клетки СНО, используют в качестве линии клеток-мишеней, значение EC_{50} биспецифической конструкции антитела к антигену-мишени клеточной поверхности и CD3 предпочтительно составляет ≤ 2000 пМ или ≤ 1500 пМ, более предпочтительно ≤ 1000 пМ или ≤ 500 пМ, даже более предпочтительно ≤ 300 пМ или ≤ 250 пМ, даже более предпочтительно ≤ 100 пМ и наиболее предпочтительно ≤ 50 пМ.

Предпочтительно биспецифические конструкции антител к антигену-мишени клеточной поверхности и CD3 согласно данному изобретению не индуцируют/не опосредуют лизис или практически не индуцируют/не опосредуют лизис отрицательных в отношении антигена-мишени клеточной поверхности клеток, таких как клетки СНО. Термин "не индуцирует лизис", "практически не индуцирует лизис", "не опосредует лизис" или "практически не опосредует лизис" означает, что конструкция антитела согласно данному изобретению не индуцирует или не опосредует лизис более чем 30%, предпочтительно не более 20%, предпочтительнее не более 10%, в особенности предпочтительно не более 9, 8, 7, 6 или 5% отрицательных в отношении антигена-мишени клеточной поверхности клеток, при этом лизис положительной в отношении антигена-мишени клеточной поверхности человеческой клеточной линии установлен как 100%. Это обычно соответствует концентрациям конструкции антитела до 500 нМ. Специалисту известно, как определить клеточный лизис без лишних усилий. Кроме того, в данном описании приведены конкретные инструкции для определения клеточного лизиса.

Разница между цитотоксической активностью мономерной и димерной изоформы отдельных биспецифических конструкций антител к антигену-мишени клеточной поверхности и CD3 называется "разностью в активности". Эту разность в активности можно рассчитать, например, как отношение между значениями EC_{50} мономерной и димерной формы молекулы. Разность в активности биспецифических конструкций антител к антигену-мишени клеточной поверхности и CD3 согласно данному изобретению предпочтительно составляет ≤ 5 , более предпочтительно ≤ 4 , даже более предпочтительно ≤ 3 , даже более предпочтительно ≤ 2 и наиболее предпочтительно ≤ 1 .

Первый и/или второй (или любой дополнительный) связывающий домен конструкции антитела согласно изобретению предпочтительно отличается межвидовой специфичностью для представителей приматов из класса млекопитающих. Отличающиеся межвидовой специфичностью CD3-связывающие домены описаны, например, в WO 2008/119567. В соответствии с одним вариантом реализации изобретения первый и/или второй связывающий домен, помимо связывания с человеческим антигеном-мишенью клеточной поверхности и человеческим CD3 соответственно, также связывается с антигеном-мишенью клеточной поверхности/CD3 приматов, включая (но не ограничиваясь этим) приматов Нового Света (таких как *Callithrix jacchus*, *Saguinus Oedipus* или *Saimiri sciureus*), приматов Старого Света (таких как бабуины и макаки), гиббонов и отличных от человека *homininae*.

В одном варианте реализации конструкции антитела согласно изобретению первый домен связывается с антигеном-мишенью клеточной поверхности человека и дополнительно связывается с антигеном-мишенью клеточной поверхности макака, таким как антиген-мишень клеточной поверхности *Macaques fascicularis*, и более предпочтительно с антигеном-мишенью клеточной поверхности макака, экспрессируемым на поверхности клеток макака. Аффинность первого домена в отношении антигена-мишени клеточной поверхности макака предпочтительно составляет ≤ 15 нМ, более предпочтительно ≤ 10 нМ, даже более предпочтительно ≤ 5 нМ, даже более предпочтительно ≤ 1 нМ, даже более предпочтительно $\leq 0,5$ нМ, даже более предпочтительно $\leq 0,1$ нМ и наиболее предпочтительно $\leq 0,05$ нМ или даже $\leq 0,01$ нМ.

Предпочтительно разность в аффинности конструкций антител в соответствии с изобретением в отношении связывания антигена-мишени клеточной поверхности макака по сравнению с антигеном-мишенью клеточной поверхности человека [антиген-мишень клеточной поверхности ма: антиген-мишень клеточной поверхности hu] (определяемая, например, в анализе *BiaCore* или анализе Скэтчарда) составляет < 100 , предпочтительно < 20 , более предпочтительно < 15 , предпочтительнее < 10 , даже более предпочтительно < 8 , более предпочтительно < 6 и наиболее предпочтительно < 2 . Предпочтительные диапазоны разности в аффинности конструкций антител в соответствии с изобретением в отношении связывания антигена-мишени клеточной поверхности макака по сравнению с антигеном-мишенью клеточной поверхности человека составляют от 0,1 до 20, более предпочтительно от 0,2 до 10, даже более предпочтительно от 0,3 до 6, даже более предпочтительно от 0,5 до 3 или от 0,5 до 2,5 и наиболее предпочтительно от 0,5 до 2 или от 0,6 до 2.

Второй (связывающий) домен конструкции антитела согласно изобретению связывается с CD3 эпсилон человека и/или CD3 эпсилон *Macaques*. В предпочтительном варианте реализации изобретения второй домен дополнительно связывается с CD3 эпсилон *Callithrix jacchus*, *Saguinus Oedipus* или *Saimiri sciureus*. *Callithrix jacchus* и *Saguinus oedipus* являются приматами нового Света, принадлежащими к семейству *Callitrichidae*, тогда как *Saimiri sciureus* является приматом Нового Света, принадлежащим семейству *Cebidae*.

Для конструкции антитела согласно данному изобретению предпочтительно, чтобы второй домен,

который связывается с внеклеточным эпитопом CD3 человека и/или Масаса, содержал VL-область, содержащую CDR-L1, CDR-L2 и CDR-L3, выбранные из:

(a) CDR-L1, приведенной в SEQ ID NO: 27 в WO 2008/119567, CDR-L2, приведенной в SEQ ID NO: 28 в WO 2008/119567, и CDR-L3, приведенной в SEQ ID NO: 29 в WO 2008/119567;

(b) CDR-L1, приведенной в SEQ ID NO: 117 в WO 2008/119567, CDR-L2, приведенной в SEQ ID NO: 118 в WO 2008/119567, и CDR-L3, приведенной в SEQ ID NO: 119 в WO 2008/119567; и

(c) CDR-L1, приведенной в SEQ ID NO: 153 в WO 2008/119567, CDR-L2, приведенной в SEQ ID NO: 154 в WO 2008/119567, и CDR-L3, приведенной в SEQ ID NO: 155 в WO 2008/119567.

Также в предпочтительном варианте реализации конструкции антитела согласно данному изобретению предпочтительно второй домен, который связывается с внеклеточным эпитопом CD3 человека и/или Масаса, содержит VH-область, содержащую CDR-H1, CDR-H2 и CDR-H3, выбранные из:

(a) CDR-H1, приведенной в SEQ ID NO: 12 в WO 2008/119567, CDR-H2, приведенной в SEQ ID NO: 13 в WO 2008/119567, и CDR-H3, приведенной в SEQ ID NO: 14 в WO 2008/119567;

(b) CDR-H1, приведенной в SEQ ID NO: 30 в WO 2008/119567, CDR-H2, приведенной в SEQ ID NO: 31 в WO 2008/119567, и CDR-H3, приведенной в SEQ ID NO: 32 в WO 2008/119567;

(c) CDR-H1, приведенной в SEQ ID NO: 48 в WO 2008/119567, CDR-H2, приведенной в SEQ ID NO: 49 в WO 2008/119567, и CDR-H3, приведенной в SEQ ID NO: 50 в WO 2008/119567;

(d) CDR-H1, приведенной в SEQ ID NO: 66 в WO 2008/119567, CDR-H2, приведенной в SEQ ID NO: 67 в WO 2008/119567, и CDR-H3, приведенной в SEQ ID NO: 68 в WO 2008/119567;

(e) CDR-H1, приведенной в SEQ ID NO: 84 в WO 2008/119567, CDR-H2, приведенной в SEQ ID NO: 85 в WO 2008/119567, и CDR-H3, приведенной в SEQ ID NO: 86 в WO 2008/119567;

(f) CDR-H1, приведенной в SEQ ID NO: 102 в WO 2008/119567, CDR-H2, приведенной в SEQ ID NO: 103 в WO 2008/119567, и CDR-H3, приведенной в SEQ ID NO: 104 в WO 2008/119567;

(g) CDR-H1, приведенной в SEQ ID NO: 120 в WO 2008/119567, CDR-H2, приведенной в SEQ ID NO: 121 в WO 2008/119567, и CDR-H3, приведенной в SEQ ID NO: 122 в WO 2008/119567;

(h) CDR-H1, приведенной в SEQ ID NO: 138 в WO 2008/119567, CDR-H2, приведенной в SEQ ID NO: 139 в WO 2008/119567, и CDR-H3, приведенной в SEQ ID NO: 140 в WO 2008/119567;

(i) CDR-H1, приведенной в SEQ ID NO: 156 в WO 2008/119567, CDR-H2, приведенной в SEQ ID NO: 157 в WO 2008/119567, и CDR-H3, приведенной в SEQ ID NO: 158 в WO 2008/119567; и

(j) CDR-H1, приведенной в SEQ ID NO: 174 в WO 2008/119567, CDR-H2, приведенной в SEQ ID NO: 175 в WO 2008/119567, и CDR-H3, приведенной в SEQ ID NO: 176 в WO 2008/119567.

В предпочтительном варианте реализации конструкции антитела согласно изобретению описанные выше три группы VL CDR комбинируют с описанными выше десятью группами VH CDR в рамках второго связывающего домена для получения (30) групп, каждая из которых содержит CDR-L 1-3 и CDR-H 1-3.

Для конструкции антитела согласно данному изобретению предпочтительно, чтобы второй домен, который связывается с CD3, содержал VL-область, выбранную из группы, состоящей из VL-областей, приведенных в SEQ ID NO: 17, 21, 35, 39, 53, 57, 71, 75, 89, 93, 107, 111, 125, 129, 143, 147, 161, 165, 179 или 183 в WO 2008/119567, или приведенной в SEQ ID NO: 13.

Также предпочтительно, чтобы второй домен, который связывается с CD3, содержал VH-область, выбранную из группы, состоящей из VH-областей, приведенных в SEQ ID NO: 15, 19, 33, 37, 51, 55, 69, 73, 87, 91, 105, 109, 123, 127, 141, 145, 159, 163, 177 или 181 в WO 2008/119567, или приведенной в SEQ ID NO: 14.

Более предпочтительно конструкция антитела согласно данному изобретению характеризуется вторым доменом, который связывается с CD3, содержащим VL-область и VH-область, выбранные из группы, состоящей из:

(a) VL-области, приведенной в SEQ ID NO: 17 или 21 в WO 2008/119567, и VH-области, приведенной в SEQ ID NO: 15 или 19 в WO 2008/119567;

(b) VL-области, приведенной в SEQ ID NO: 35 или 39 в WO 2008/119567, и VH-области, приведенной в SEQ ID NO: 33 или 37 в WO 2008/119567;

(c) VL-области, приведенной в SEQ ID NO: 53 или 57 в WO 2008/119567, и VH-области, приведенной в SEQ ID NO: 51 или 55 в WO 2008/119567;

(d) VL-области, приведенной в SEQ ID NO: 71 или 75 в WO 2008/119567, и VH-области, приведенной в SEQ ID NO: 69 или 73 в WO 2008/119567;

(e) VL-области, приведенной в SEQ ID NO: 89 или 93 в WO 2008/119567, и VH-области, приведенной в SEQ ID NO: 87 или 91 в WO 2008/119567;

(f) VL-области, приведенной в SEQ ID NO: 107 или 111 в WO 2008/119567, и VH-области, приведенной в SEQ ID NO: 105 или 109 в WO 2008/119567;

(g) VL-области, приведенной в SEQ ID NO: 125 или 129 в WO 2008/119567, и VH-области, приведенной в SEQ ID NO: 123 или 127 в WO 2008/119567;

(h) VL-области, приведенной в SEQ ID NO: 143 или 147 в WO 2008/119567, и VH-области, приведенной в SEQ ID NO: 141 или 145 в WO 2008/119567;

(i) VL-области, приведенной в SEQ ID NO: 161 или 165 в WO 2008/119567, и VH-области, приведенной в SEQ ID NO: 159 или 163 в WO 2008/119567; и

(j) VL-области, приведенной в SEQ ID NO: 179 или 183 в WO 2008/119567, и VH-области, приведенной в SEQ ID NO: 177 или 181 в WO 2008/119567.

Также в связи с конструкцией антитела согласно данному изобретению предпочтительно, чтобы второй домен, который связывается с CD3, содержал VL-область, приведенную в SEQ ID NO: 13, и VH-область, приведенную в SEQ ID NO: 14.

В соответствии с предпочтительным вариантом конструкции антитела согласно данному изобретению первый и/или второй домен имеют следующий формат. Пары VH-областей и VL-областей имеют формат одноцепочечного антитела (scFv). VH- и VL-области расположены в порядке VH-VL или VL-VH. Предпочтительно, чтобы VH-область была расположена N-терминально по отношению к линкерной последовательности, а VL-область была расположена C-терминально по отношению к линкерной последовательности.

Предпочтительный вариант описанной выше конструкции антитела согласно данному изобретению характеризуется вторым доменом, который связывается с CD3, содержащим аминокислотную последовательность, выбранную из группы, состоящей из SEQ ID NO: 23, 25, 41, 43, 59, 61, 77, 79, 95, 97, 113, 115, 131, 133, 149, 151, 167, 169, 185 или 187 из WO 2008/119567, или приведенной в SEQ ID NO: 15.

Ковалентные модификации конструкций антител также включены в объем этого изобретения и в целом, но не всегда, проводятся после трансляции. Например, несколько типов ковалентных модификаций конструкции антитела вносят в молекулу посредством проведения реакции между конкретными аминокислотными остатками конструкции антитела с органическим дериватирующим агентом, который способен вступать в реакцию с избранными боковыми цепями N- или C-концевых остатков.

Остатки цистеинила наиболее часто приводят в реакцию с α -галоацетатами (и соответствующими аминами), такими как хлоруксусная кислота или хлорацетамид, чтобы получить карбоксиметильные или карбоксиамидометильные производные. Остатки цистеинила также дериватируют путем проведения реакции с бромтрифторацетоном, α -бром- β -(5-имидозоил) пропионовой кислотой, хлорацетилфосфатом, N-алкилмалеимидами, 3-нитро-2-пиридилдисульфидом, метил-2-пиридилдисульфидом, п-хлорртутьбензоатом, 2-хлорртуть-4-нитрофенолом или хлор-7-нитробензо-2-окса-1,3-диазолом.

Остатки гистидила дериватируют путем проведения реакции с диэтилпирокрбонатом при pH 5,5-7,0, так как этот агент является относительно специфическим в отношении боковой цепи гистидила. Также используют пара-бромфенацилбромид; реакцию предпочтительно проводят в 0,1 М какодилате натрия при pH 6,0. Остатки лизинила и аминоконцевые остатки приводят в реакцию с янтарным ангидридом или ангидридами других карбоновых кислот. Дериватизация этими агентами приводит к изменению заряда остатков лизинила на противоположный. Другие подходящие агенты для дериватизации альфа-амино-содержащих остатков включают сложные имидозфиры, такие как пиколинимидат; пиридоксальфосфат; пиридоксаль; хлорборгидрид; тринитробензенсульфоновую кислоту; O-метилизомочевину; 2,4-пентандион; и катализируемую трансаминазой реакцию с глиоксилатом.

Остатки аргинила модифицируют путем проведения реакции с одним из нескольких традиционных реагентов, среди которых фенилглиоксаль, 2,3-бутандион, 1,2-циклогександион и нингидрин. Для дериватизации остатков аргинина требуется, чтобы реакция проводилась в щелочных условиях из-за высоко значения pKa функциональной группы гуанидина. Кроме того, эти реагенты могут вступать в реакцию с группами лизина, а также epsilon-аминогруппой аргинина.

Можно осуществлять специфическую модификацию остатков тирозила, при этом особенный интерес представляет внесение спектральных меток в остатки тирозила путем проведения реакции с ароматическими соединениями диазония или тетранитрометаном. Наиболее часто используют N-ацетилимидизол и тетранитрометан для получения молекул O-ацетилтирозилла и 3-нитро производных соответственно. Остатки тирозила йодируют, используя ^{125}I или ^{131}I , чтобы получить меченые белки для применения в радиоиммуноанализе, при этом подходит описанный выше метод с применением хлорамина Т.

Карбоксильные боковые группы (аспартильные или глутамильные) избирательно модифицируют путем проведения реакции с карбодимидами ($\text{R}'\text{-N}=\text{C}=\text{N}-\text{R}'$), где R и R' представляют собой необязательно разные алкильные группы, такие как 1-циклогексил-3-(2-морфолинил-4-этил)карбодимид или 1-этил-3-(4-азониа-4,4-диметилпентил)карбодимид. Кроме того, аспартильные и глутамильные остатки преобразуют в аспарагинильные и глутаминильные остатки путем проведения реакции с ионами аммония.

Дериватизацию бифункциональными агентами используют для перекрестного сшивания конструкций антител согласно данному изобретению с нерастворимой в воде иммобилизирующей матрицей или поверхностью для применения в различных способах. Обычно применяемые перекрестно-сшивающие агенты включают, например, 1,1-бис(диазоацетил)-2-фенилэтан, глутаральдегид, сложные N-гидроксисукцинимидные эфиры, например, сложные эфиры с 4-азидосалициловой кислотой, гомобифункциональные сложные имидозфиры, включая дисукцинимидиловые сложные эфиры, такие как 3,3'-

дитиобис(сукцинимидилпропионат), и бифункциональные малеимиды, такие как бис-N-малеимидо-1,8-октан. Дериватирующие агенты, такие как метил-3-[(п-азидофенил)дитио]пропиоимидат, позволяют получать фотоактивируемые промежуточные соединения, которые способны образовывать перекрестные связи в присутствии света. В альтернативном варианте для иммобилизации белков применяют реактивные нерастворимые в воде матрицы, такие как активируемые цианогенбромидом углеводы, и реактивные субстраты, описанные в патентах США № 3969287; 3691016; 4195128; 4247642; 4229537 и 4330440.

Остатки глутамила и аспарагина часто деаминируют до соответствующих остатков глутамила и аспаргила соответственно. В альтернативном варианте эти остатки деаминируют в умеренных кислых условиях. Любая форма этих остатков попадает в объем этого изобретения.

Другие модификации включают гидроксирование пролина и лизина, фосфорилирование гидроксильных групп остатков серила или треонила, метилирование α -амино-групп боковых цепей лизина, аргинина и гистидина (Т. Е. Creighton, *Proteins: Structure and Molecular Properties*, W. H. Freeman & Co., San Francisco, 1983, pp. 79-86), ацетилирование N-концевого амина и амидирование любой C-концевой карбоксильной группы.

Другой тип ковалентной модификации конструкций антител, включенный в объем этого изобретения, включает изменение профиля гликозилирования белка. Как известно в данной области техники, профили гликозилирования могут зависеть как от последовательности белка (например, наличия или отсутствия конкретных аминокислотных остатков гликозилирования, что обсуждается ниже), так и от клетки-хозяина или организма, в которых вырабатывается белок. Конкретные экспрессионные системы обсуждаются ниже.

Гликозилирование полипептидов, как правило, бывает N-связанным или O-связанным. N-связанное гликозилирование относится к присоединению углеводного компонента к боковой цепи остатка аспарагина. Трипептидные последовательности аспарагин-X-серин и аспарагин-X-треонин, где X является любой аминокислотой за исключение пролина, представляют собой последовательности распознавания для ферментативного присоединения углеводного компонента к боковой цепи аспарагина. Таким образом, наличие любой из этих трипептидных последовательностей в полипептиде создает потенциальный участок гликозилирования. O-связанное гликозилирование относится к присоединению одного из Сахаров N-ацетилгалактозамина, галактозы или ксилозы к гидроксиаминокислоте, наиболее часто серину или треонину, хотя также можно использовать 5-гидроксипролин или 5-гидроксилизин.

Добавление участков гликозилирования в конструкцию антитела удобно осуществлять путем изменения аминокислотной последовательности так, чтобы она содержала одну или более из вышеописанных трипептидных последовательностей (для участков N-связанного гликозилирования). Изменение также можно проводить путем добавления или замены одним или более остатками серина или треонина в стартовой последовательности (для участков O-связанного гликозилирования). Для удобства аминокислотную последовательность конструкции антитела предпочтительно изменяют посредством изменений на уровне ДНК, в частности, мутируя ДНК, кодирующую полипептид, в предварительно выбранных основаниях, так чтобы создать кодоны, которые будут транслироваться в необходимые аминокислоты.

Другим средством повышения числа углеводных компонентов на конструкции антитела является химическое или ферментативное сопряжение гликозидов с белком. Преимущество этих процедур состоит в том, что для них не требуется выработка белка в клетке-хозяине, в которой существует возможность для N- и O-связанного гликозилирования. В зависимости от применяемого способа сопряжения сахар (а) можно присоединять к (а) аргинину и гистидину, (b) свободным карбоксильным группам, (c) свободным сульфгидрильным группам, таким как в цистеине, (d) свободным гидроксильным группам, таким как в серине, треонине или гидроксипролине, (e) ароматическим остаткам, таким как в фенилаланине, тирозине или триптофане, или (f) амидной группе глутамина. Эти способы описаны в WO 87/05330 и в *Aplin and Wriston, 1981, CRC Crit. Rev. Biochem.*, pp. 259-306.

Удаление углеводных компонентов, присутствующих в исходной конструкции антитела, можно осуществлять химическим или ферментативным способом. Для химического дегликозилирования необходимо воздействие на белок соединения трифторметансульфоновой кислоты или эквивалентного соединения. Такая обработка приводит к отщеплению большинства или всех Сахаров за исключением связующего сахара (N-ацетилглюкозамина или N-ацетилгалактозамина), при этом оставляя полипептид нетронутым. Химическое дегликозилирование описано в *Hakimuddin et al., 1987, Arch. Biochem. Biophys.* 259:52 и в *Edge et al., 1981, Anal. Biochem.* 118:131. Ферментативное отщепление углеводных компонентов на полипептидах можно обеспечить путем применения различных эндо- и экзогликозидаз, как описано в *Thotakura et al., 1987, Meth. Enzymol.* 138:350. Гликозилирование в потенциальных участках гликозилирования можно предотвратить путем применения соединения туникамицина, как описано в *Duskin et al., 1982, J. Biol. Chem.* 257:3105. Туникамицин блокирует образование связей белок-N-гликозид.

Другие модификации конструкции антитела также предусмотрены в данном документе. Например, другой тип ковалентной модификации конструкции антитела включает связывание конструкции антитела с различными небелковыми полимерами, включая, но не ограничиваясь этим, различные полиолы, такие как полиэтиленгликоль, полипропиленгликоль, полиоксисилкилены или сополимеры полиэтиленгликоля и полипропиленгликоля, так, как это описано в патентах США № 4640835; 4496689; 4301144;

4670417; 4791192 или 4179337. Кроме того, как известно в данной области техники, можно проводить аминокислотные замены в различных позициях в конструкции антитела, например, чтобы облегчить добавление полимеров, таких как ПЭГ.

В некоторых вариантах реализации изобретения ковалентная модификация конструкций антител согласно изобретению включает добавление одной или более меток. Метящая группа может быть сопряжена с конструкцией антитела посредством спейсерных ножек различной длины для снижения потенциального стерического несоответствия. В данной области техники известны различные способы мечения белков, которые можно применять при осуществлении данного изобретения. Термин "метка" или "метящая группа" относится к любой выявляемой метке. В общем случае метки делятся на множество классов в зависимости от метода анализа, в котором предполагается их выявление; следующие примеры включают, но не ограничиваются этим:

- a) изотопные метки, которые могут представляться собой радиоактивные или тяжелые изотопы, такие как радиоизотопы или радионуклиды (например, ^3H , ^{14}C , ^{15}N , ^{35}S , ^{89}Zr , ^{90}Y , ^{99}Tc , ^{111}In , ^{125}I , ^{131}I);
- b) магнитные метки (например, магнитные частицы);
- c) редокс-активные компоненты;
- d) оптические красители (включая, но не ограничиваясь этим, хромофоры, люминофоры и флуорофоры), такие как флуоресцентные группы (например, ФИТЦ, родамин, люминофоры на основе комплексов лантанидов), хемилюминесцентные группы и флуорофоры, которые могут представлять собой как "низкомолекулярные" флуорофоры, так и белковые флуорофоры;
- e) ферментативные группы (например, пероксидазу хрена, β -галактозидазу, люциферазу, щелочную фосфатазу);
- f) биотинилированные группы;
- g) предопределенные полипептидные эпитопы, распознаваемые вторичным репортером (например, парные последовательности лейциновых молний, участки связывания для вторичных антител, металл-связывающие домены, эпитопные метки и т.д.).

Под "флуоресцентной меткой" подразумевается любая молекула, которую можно выявить благодаря свойственным ей флуоресцентным свойствам. Подходящие флуоресцентные метки включают, но не ограничиваются этим, флуоресцеин, родамин, тетраметилродамин, эозин, эритрозин, кумарин, метилкумарин, пирен, малахитовый зеленый, стильбен, желтый люцифер, голубой каскад J, Техасский красный, IAEDANS, EDANS, BODIPY FL, LC Red 640, Cy 5, Cy 5.5, LC Red 705, зеленый Орегон, красители Alexa-Fluor (Alexa Fluor 350, Alexa Fluor 430, Alexa Fluor 488, Alexa Fluor 546, Alexa Fluor 568, Alexa Fluor 594, Alexa Fluor 633, Alexa Fluor 660, Alexa Fluor 680), голубой каскад, желтый каскад и R-фикоэритрин (PE) (Molecular Probes, Eugene, OR), ФИТЦ, родамин и Техасский красный (Pierce, Rockford, IL), Cy5, Cy5.5, Cy7 (Amersham Life Science, Pittsburgh, PA). Подходящие оптические красители, включая флуорофоры, описаны в Molecular Probes Handbook by Richard P. Haugland.

Подходящие белковые флуоресцентные метки также включают, но не ограничиваются этим, зеленый флуоресцентный белок, включая виды ЗФБ Renilla, Ptilosarcus или Aequorea (Chalfie et al., 1994, Science 263:802-805), УЗФБ (Clontech Laboratories, Inc., номер доступа Genbank U55762), синий флуоресцентный белок (BFP, Quantum Biotechnologies, Inc. 1801 de Maisonneuve Blvd. West, 8th Floor, Montreal, Quebec, Canada НЗН 1J9; Stauber, 1998, Biotechniques 24:462-471; Heim et al., 1996, Curr. Biol. 6:178-182), усиленный желтый флуоресцентный белок (УЖФБ, Clontech Laboratories, Inc.), люциферазу (Ichiki et al., 1993, J. Immunol. 150:5408-5417), β -галактозидазу (Nolan et al., 1988, Proc. Natl. Acad. Sci. U.S.A. 85:2603-2607) и Renilla (WO 92/15673, WO 95/07463, WO 98/14605, WO 98/26277, WO 99/49019, патенты США № 5292658; 5418155; 5683888; 5741668; 5777079; 5804387; 5874304; 5876995; 5925558).

Конструкция антитела согласно изобретению также может содержать дополнительные домены, которые, например, помогают при выделении молекулы или имеют отношение к адаптированному фармакокинетическому профилю молекулы. Домены, которые помогают при выделении конструкции антитела, могут быть выбраны из пептидных мотивов или вторично внесенных компонентов, которые могут быть захвачены в способе выделения, например, в колонке для выделения. Неограничивающие варианты реализации таких дополнительных доменов включают пептидные мотивы, известные как Мус-метка, НАТ-метка, НА-метка, ТАР-метка, GST-метка, хитин-связывающий домен (CBD-метка), мальтоза-связывающий домен (МВР-метка), Flag-метка, Strep-метка и ее варианты (например, StrepII-метка) и His-метка. Описанные в данном документе конструкции антител, характеризуемые определенными CDR, могут содержать домен His-метки, который в общем случае известен как повтор последовательных остатков His в аминокислотной последовательности молекулы, предпочтительно из пяти, и более предпочтительно из шести остатков His (гекса-гистидин). His-метка может быть расположена, например, в N-или C-конце конструкции антитела, предпочтительно она располагается в C-конце. Наиболее предпочтительно гекса-гистидиновая метка (НННННН) (SEQ ID NO: 16) связана посредством пептидной связи с C-концом конструкции антитела в соответствии с изобретением. Кроме того, с поли-гистидиновой меткой можно комбинировать конъюгатную систему ПЛГК-ПЭГ-ПЛГК для применений с замедленным высвобождением и улучшения фармакокинетического профиля.

Также предполагаются модификации аминокислотных последовательностей описанных в данном документе конструкций антител. Например, может требоваться улучшение аффинности связывания и/или других биологических свойств конструкции антитела. Варианты аминокислотных последовательностей конструкций антител получают, внося соответствующие нуклеотидные изменения в нуклеиновые кислоты конструкций антител, или путем пептидного синтеза. Все описанные ниже модификации аминокислотных последовательностей должны приводить к получению конструкции антитела, которая сохраняет необходимую биологическую активность (связывание с антигеном-мишенью клеточной поверхности и с CD3) немодифицированной родительской молекулы.

Термин "аминокислота" или "аминокислотный остаток", как правило, относится к аминокислоте, имеющей известное в данной области техники определение, такой как аминокислота, выбранная из группы, состоящей из: аланина (Ala или A); аргинина (Arg или R); аспарагина (Asn или N); аспарагиновой кислоты (Asp или D); цистеина (Cys или C); глутамина (Gln или Q); глутаминовой кислоты (Glu или E); глицина (Gly или G); гистидина (His или H); изолейцина (Ile или I); лейцина (Leu или L); лизина (Lys или K); метионина (Met или M); фенилаланина (Phe или F); пролина (Pro или P); серина (Ser или S); треонина (Thr или T); триптофана (Trp или W); тирозина (Tyr или Y); и валина (Val или V), хотя модифицированные, синтетические или редкие аминокислоты можно использовать в случае необходимости. В общем случае аминокислоты можно разделить на группы, имеющие неполярную боковую цепь (например, Ala, Cys, Ile, Leu, Met, Phe, Pro, Val); отрицательно заряженную боковую цепь (например, Asp, Glu); положительно заряженную боковую цепь (например, Arg, His, Lys); или незаряженную полярную боковую цепь (например, Asn, Cys, Gln, Gly, His, Met, Phe, Ser, Thr, Trp и Tyr).

Аминокислоты модификации включают, например, делеции из и/или вставки в, и/или замены остатков в пределах аминокислотных последовательностей конструкций антител. Для получения конечной конструкции осуществляют любую комбинацию из делеции, вставки и замены, при условии, что конечная конструкция обладает необходимыми характеристиками. Аминокислотные изменения также могут менять посттрансляционные процессы конструкций антител, такие как изменение числа или позиции участков гликозилирования.

Например, можно проводить вставку, замену или делецию 1, 2, 3, 4, 5 или 6 аминокислот в каждой из CDR (конечно, в зависимости от их длины), тогда как в каждой из FR можно проводить вставку, замену или делецию 1, 2, 3, 4, 5, 6, 7, 8, 9, 10, 11, 12, 13, 14, 15, 16, 17, 18, 19, 20 или 25 аминокислот. Предпочтительно вставки аминокислотной последовательности в конструкцию антитела включают аминокислоты и/или карбокси-концевые слияния длиной в диапазоне 1, 2, 3, 4, 5, 6, 7, 8, 9 или 10 остатков в полипептидах, содержащих сто или более остатков, а также вставки одного или нескольких аминокислотных остатков внутри последовательности. Соответствующие модификации также можно проводить в пределах третьего домена конструкции антитела согласно изобретению. Инсерционный вариант конструкции антитела согласно изобретению включает слияние фермента с N-концом или с C-концом конструкции антитела или слияние с полипептидом.

Представляющие наибольший интерес для заместительного мутагенеза остатки включают (не ограничиваясь этим) CDR тяжелой и/или легкой цепи, в частности, гипервариабельные области, но также предполагаются изменения FR в тяжелой и/или легкой цепи. Замены предпочтительно представляют собой консервативные замены, описанные в данном документе. Предпочтительно можно проводить замену 1, 2, 3, 4, 5, 6, 7, 8, 9 или 10 аминокислот в CDR, тогда как в каркасных областях (FR) можно проводить замену 1, 2, 3, 4, 5, 6, 7, 8, 9, 10, 11, 12, 13, 14, 15, 16, 17, 18, 19, 20 или 25 аминокислот, в зависимости от длины CDR или FR. Например, если последовательность CDR включает в себя 6 аминокислот, подразумевается возможность замены одной, двух или трех из этих аминокислот. Аналогично, если последовательность CDR включает в себя 15 аминокислот, подразумевается возможность замены одной, двух, трех, четырех, пяти или шести из этих аминокислот.

Полезный способ идентификации определенных остатков или областей конструкций антител, которые являются предпочтительными участками для мутагенеза, называется "аланин-сканирующим мутагенезом" и описан в Cunningham and Wells in Science, 244: 1081-1085 (1989). В данном случае определяют остаток или группу целевых остатков в пределах конструкции антитела (например, заряженных остатков, таких как arg, asp, his, lys и glu) и замещают нейтральной или отрицательно заряженной аминокислотой (наиболее предпочтительно аланином или полиаланином) для воздействия на взаимодействие аминокислот с эпитопом.

Затем те аминокислотные участки, которые демонстрируют функциональную чувствительность к заменам, корректируют, внося дополнительные или другие варианты в участках замен или для них. Таким образом, хотя участок или область для внесения вариации в аминокислотную последовательность predetermined, природа мутации per se не должна быть predetermined. Например, чтобы проанализировать или оптимизировать характеристики мутации в данном участке, можно провести аланин-сканирующий или случайный мутагенез в целевом кодоне или участке и провести скрининг экспрессируемых вариантов конструкции антитела в отношении оптимальной комбинации необходимой активности. Методики осуществления заместительных мутаций в predetermined участках в ДНК с известной последовательностью, хорошо известны, например, это мутагенез с праймером M13 и ПЦР-мутагенез.

Скрининг мутантов проводят, применяя анализ антигенсвязывающей активности, например, связывания антигена-мишени клеточной поверхности или CD3.

В общем случае, если замена аминокислот проведена в одной или более, или во всех CDR тяжелой и/или легкой цепи, предпочтительно, чтобы полученная "замещенная" последовательность была по меньшей мере на 60% или 65%, более предпочтительно на 70% или 75%, даже более предпочтительно на 80% или 85% и в особенности предпочтительно на 90% или 95% идентичной "оригинальной" последовательности CDR. Это означает, что от длины CDR зависит, в какой степени она идентична "замещенной" последовательности. Например, CDR, содержащая 5 аминокислот, предпочтительно является на 80% идентичной своей замещенной последовательности, чтобы по меньшей мере одна аминокислота была заменена. Соответственно, CDR конструкции антитела могут иметь разную степень идентичности со своими замещенными последовательностями, например, CDRL1 может иметь 80%, тогда как CDRL3 может иметь 90%.

Предпочтительные замены (замещения) представляют собой консервативные замены. При этом подразумевается возможность любой замены (включая неконсервативную замену или одну или более из "типовых замен", перечисленных в табл. 3, ниже) при условии, что конструкция антитела сохраняет свою способность связываться с антигеном-мишенью клеточной поверхности посредством первого домена и с CD3, CD3 эпсилон посредством второго домена, и/или ее CDR имеют идентичность с замещенной последовательностью (по меньшей мере на 60% или 65%, более предпочтительно на 70% или 75%, даже более предпочтительно на 80% или 85% и в особенности предпочтительно на 90% или 95% идентичны "оригинальной" последовательности CDR).

Консервативные замены приведены в табл. 3 под заглавием "предпочтительные замены". Если такие замены приводят к изменению биологической активности, тогда можно вносить более существенные изменения, обозначенные в табл. 3 как " типовые замены " или дополнительно описанные ниже с привязкой к классам аминокислот, а продукты исследовать в отношении необходимой характеристики.

Таблица 3

Аминокислотные замены

Оригинал	Типовые замены	Предпочтительные замены
Ala (A)	val, leu, ile	val
Arg (R)	lys, gln, asn	lys
Asn (N)	gln, his, asp, lys, arg	gln
Asp (D)	glu, asn	glu
Cys (C)	ser, ala	ser
Gln (Q)	asn, glu	asn
Glu (E)	asp, gln	asp
Gly (G)	Ala	ala
His (H)	asn, gln, lys, arg	arg
Ile (I)	leu, val, met, ala, phe	leu
Leu (L)	norleucine, ile, val, met, ala	ile
Lys (K)	arg, gln, asn	arg
Met (M)	leu, phe, ile	leu
Phe (F)	leu, val, ile, ala, tyr	tyr
Pro (P)	Ala	ala
Ser (S)	Thr	thr
Thr (T)	Ser	ser
Trp (W)	tyr, phe	tyr
Tyr (Y)	trp, phe, thr, ser	phe
Val (V)	ile, leu, met, phe, ala	leu

Существенные модификации биологических свойств конструкции антитела согласно данному изобретению осуществляют, выбирая замены, которые существенно отличаются по своему действию на поддержание (а) структуры полипептидного скелета в области замены, например, в виде слоя спиральной конформации, (b) заряда или гидрофобности молекулы в целевом участке или (c) объема боковой цепи. Остатки природного происхождения делятся на группы на основании общих свойств боковых цепей: (1)

гидрофобные: норлейцин, met, ala, val, leu, ile; (2) нейтральные гидрофильные: cys, ser, thr, asn, gln; (3) кислые: asp, glu; (4) основные: his, lys, arg; (5) остатки, которые влияют на ориентацию цепи: gly, pro; и (6) ароматические: trp, tyr, phe.

Неконсервативные замены включают замену представителя одного из этих классов представителем другого класса. Любой остаток цистеина, не принимающий участия в поддержании надлежащей конформации конструкции антитела, можно заменять, в общем случае серином, для улучшения устойчивости молекулы к окислению и предотвращения aberrантного перекрестного связывания. И наоборот, цистеиновую(ые) связь(и) можно добавлять в антитело для улучшения его стабильности (в частности, когда антитело представляет собой фрагмент антитела, такой как фрагмент Fv).

В случае аминокислотных последовательностей идентичность и/или сходство последовательностей определяют, используя стандартные методики, известные в данной области техники, включая, но не ограничиваясь этим, алгоритм локальной идентичности последовательностей Смита и Уотермана, 1981, *Adv. Appl. Math.* 2:482, алгоритм выравнивания для определения идентичности последовательностей Нидлмана и Вунша, 1970, *J. Mol. Biol.* 48:443, метод поиска сходства Пирсона и Липмана, 1988, *Proc. Nat. Acad. Sci. U.S.A.* 85:2444, компьютеризованные реализации этих алгоритмов (GAP, BESTFIT, FASTA и TFASTA в пакете программного обеспечения Wisconsin Genetics, Genetics Computer Group, 575 Science Drive, Madison, Wis.), программу для последовательностей Best Fit, описанную в Devereux et al., 1984, *Nucl. Acid Res.* 12:387-395, предпочтительно с применением установок по умолчанию или по усмотрению. Предпочтительно процент идентичности рассчитывают с помощью FastDB на основании следующих параметров: штраф за несовпадение 1; штраф за гэп 1; штраф за размер гэпа 0,33; и штраф за соединение 30, "Current Methods in Sequence Comparison and Analysis", *Macromolecule Sequencing and Synthesis, Selected Methods and Applications*, pp 127-149 (1988), Alan R. Liss, Inc.

Примером применимого алгоритма является PILEUP. PILEUP создает множественное выравнивание последовательностей из группы родственных последовательностей, используя прогрессивное, парное выравнивание. Также она может строить дерево, показывающее группирующие взаимосвязи, используемые для создания выравнивания. В PILEUP используется упрощение метода прогрессивного выравнивания Фенга и Дулиттла, 1987, *J. Mol. Evol.* 35:351-360; этот метод аналогичен описанному Хиггинсом и Шарпом, 1989, *CABIOS* 5:151-153. Применимые параметры PILEUP включают вес гэпа по умолчанию 3,00, вес продолжения гэпа по умолчанию 0,10, и взвешенные концевые гэпы.

Другим примером применяемого алгоритма является алгоритм BLAST, описанный в: Altschul et al., 1990, *J. Mol. Biol.* 215:403-410; Altschul et al., 1997, *Nucleic Acids Res.* 25:3389-3402; и Karin et al., 1993, *Proc. Natl. Acad. Sci. U.S.A.* 90:5873-5787. В особенности применимой программой BLAST является программа WU-BLAST-2, которая была создана в соответствии с Altschul et al., 1996, *Methods in Enzymology* 266:460-480. В WU-BLAST-2 используется несколько поисковых параметров, значения большинства которых заданы по умолчанию. Корректируемые параметры установлены со следующими значениями: длина перекрытия=1, доля перекрытия=0,125, пороговая длина слова (T)=II. Параметры HSP S и HSP S2 являются динамическими значениями и устанавливаются самой программой в зависимости от состава конкретной последовательности и состава конкретной базы данных, по которой проводится поиск представляющей интерес последовательности; при этом данные значения могут быть скорректированы для повышения чувствительности.

Дополнительным применимым алгоритмом является BLAST с гэпами, описанный в Altschul et al., 1993, *Nucl. Acids Res.* 25:3389-3402. В BLAST с гэпами используется матрица оценок замен BLOSUM-62; пороговый параметр T установлен на 9; используется метод двух совпадений для инициации продления без гэпов, приписывается гэпам длиной k стоимость 10+k; Xu установлен на 16, и Xg установлен на 40 для стадии поиска по базе данных и на 67 для выходной стадии алгоритмов. Выравнивания с гэпами иницируются оценкой, соответствующей около 22 битам.

В общем случае аминокислотная гомология, сходство или идентичность между отдельными вариантами CDR или последовательностями VH/VL составляет по меньшей мере 60% с последовательностями, приведенными в данном документе, и, чаще, с предпочтительно возрастающей гомологией или идентичностью, составляющей по меньшей мере 65 или 70, более предпочтительно по меньшей мере 75 или 80, даже более предпочтительно по меньшей мере 85, 90, 91, 92, 93, 94, 95, 96, 97, 98, 99 и почти 100%. Аналогичным образом "процент (%) идентичности нуклеотидных последовательностей" по отношению к нуклеотидной последовательности определенных в данном документе связывающих белков определяется как процентное содержание нуклеотидных остатков в кандидатной последовательности, которые являются идентичными с нуклеотидными остатками в кодирующей последовательности конструкции антитела. В конкретном методе используется модуль BLASTN из WU-BLAST-2 с установленными по умолчанию параметрами, с длиной перекрытия и долей перекрытия установленными на 1 и 0,125 соответственно.

В общем случае гомология, сходство или идентичность нуклеотидных последовательностей между нуклеотидными последовательностями, кодирующими отдельные варианты CDR или последовательности VH/VL, и нуклеотидными последовательностями, приведенными в данном документе, составляет по меньшей мере 60% и, чаще, с предпочтительно возрастающей гомологией или идентичностью, со-

ставляющей по меньшей мере 65, 70, 75, 80, 81, 82, 83, 84, 85, 86, 87, 88, 89, 90, 91, 92, 93, 94, 95, 96, 97, 98 или 99 и почти 100%. Таким образом, "вариантная CDR" или "вариантная область VH/VL" представляет собой область с конкретной гомологией, сходством или идентичностью с родительской CDR/VH/VL согласно изобретению и обладает биологической функцией, включая, но не ограничиваясь этим, по меньшей мере 60, 65, 70, 75, 80, 81, 82, 83, 84, 85, 86, 87, 88, 89, 90, 91, 92, 93, 94, 95, 96, 97, 98 или 99% специфичности и/или активности родительской CDR или VH/VL.

В одном варианте реализации изобретения процент идентичности с человеческой зародышевой линией конструкций антител в соответствии с изобретением составляет $\geq 70\%$ или $\geq 75\%$, более предпочтительно $\geq 80\%$ или $\geq 85\%$, даже более предпочтительно $\geq 90\%$ и наиболее предпочтительно $\geq 91\%$, $\geq 92\%$, $\geq 93\%$, $\geq 94\%$, $\geq 95\%$ или даже $\geq 96\%$. Считается, что идентичность с генными продуктами человеческого антитела зародышевой линии является важным фактором для снижения риска того, что терапевтические белки будут вызывать иммунный ответ против лекарственного препарата у пациента во время лечения. Hwang & Foote ("Immunogenicity of engineered antibodies"; *Methods* 36 (2005) 3-10) продемонстрировали, что уменьшение нечеловеческих частей лекарственных конструкций антител приводит к снижению риска индукции антител против лекарственного препарата у пациентов во время лечения. При сравнении достаточного количества клинически оцененных лекарственных препаратов на основе антител и соответствующих данных по иммуногенности, была выявлена тенденция, что гуманизация V-областей антител делает белки менее иммуногенными (в среднем для 5,1% пациентов), чем антитела, несущие неизмененные нечеловеческие V-области (в среднем для 23,59% пациентов). Следовательно, для белковых терапевтических средств на основе V-областей в форме конструкций антител необходима большая степень идентичности с человеческими последовательностями. С целью определения идентичности зародышевой линии можно проводить выравнивание V-областей VL с аминокислотными последовательностями V-сегментов и J-сегментов человеческой зародышевой линии (<http://vbase.mrc-cpe.cam.ac.uk/>), используя программное обеспечение Vector NTI, и рассчитывать аминокислотную последовательность путем деления идентичных аминокислотных остатков на общее число аминокислотных остатков VL в процентах. То же самое можно осуществлять в отношении VH-сегментов (<http://vbase.mrc-cpe.cam.ac.uk/>) за исключением того, что VH CDR3 может быть исключена вследствие высокой степени разнообразия и отсутствия партнеров по выравниванию среди VH CDR3 человеческой зародышевой линии. Затем можно применять рекомбинантные технологии для повышения идентичности последовательностей с генами человеческого антитела зародышевой линии.

В дополнительном варианте реализации биспецифические конструкции антител согласно данному изобретению демонстрируют высокий выход мономеров в стандартных условиях лабораторного масштаба, например, в условиях стандартного двухэтапного процесса очистки. Предпочтительно выход мономеров конструкций антител в соответствии с изобретением составляет $\geq 0,25$ мг/л супернатанта, более предпочтительно $\geq 0,5$ мг/л, даже более предпочтительно ≥ 1 мг/л и наиболее предпочтительно ≥ 3 мг/л супернатанта.

Аналогично, можно определить выход димерных изоформ конструкций антител и, следовательно, процентное содержание мономеров (т.е. мономер: (мономер+димер)) конструкций антител. Продуктивность мономерных и димерных конструкций антител и рассчитанное процентное содержание мономеров можно, например, получить на этапе ЭХ-очистки культурального супернатанта от стандартизированного производства в лабораторном масштабе в роллерных флаконах. В одном варианте реализации изобретения процентное содержание мономеров конструкций антител составляет $\geq 80\%$, более предпочтительно $\geq 85\%$, даже более предпочтительно $\geq 90\%$ и наиболее предпочтительно $\geq 95\%$.

В одном варианте реализации изобретения конструкции антитела предпочтительно характеризуются плазменной стабильностью (отношением EC_{50} с плазмой к EC_{50} без плазмы), составляющей ≤ 5 или ≤ 4 , более предпочтительно $\leq 3,5$ или ≤ 3 , даже более предпочтительно $\leq 2,5$ или ≤ 2 и наиболее предпочтительно $\leq 1,5$ или ≤ 1 . Плазменную стабильность конструкции антитела можно исследовать, инкубируя конструкцию в человеческой плазме при 37°C в течение 24 ч с последующим определением EC_{50} в анализе высвобождения ^{51}Cr хрома. Эффекторные клетки в анализе цитотоксичности могут представлять собой стимулированные обогащенные человеческие CD8-положительные Т-клетки. Клетки-мишени могут представлять собой, например, клетки СНО, трансфицированные человеческим антигеном-мишенью клеточной поверхности. Соотношение между эффекторными клетками и клетками-мишенями (Э:М) может быть выбрано как 10:1. Применяемый в этих целях пул человеческой плазмы получают из крови здоровых доноров, собранной в покрытые ЭДТК шприцы. Клеточные компоненты удаляют путем центрифугирования, а верхнюю плазменную фазу собирают и после этого объединяют. В качестве контроля конструкции антител разводят непосредственно перед анализом цитотоксичности в среде RPMI-1640. Плазменную стабильность рассчитывают как отношение EC_{50} (после инкубации плазмы) к EC_{50} (контроль).

Также предпочтительно, чтобы преобразование мономеров в димеры конструкций антител было низким. Степень преобразования можно определять в разных условиях и анализировать с помощью высокоэффективной эксклюзионной хроматографии. Например, инкубацию мономерных изоформ конст-

рукций антител можно проводить в течение 7 суток при 37°C и концентрациях, составляющих, например, 100 мкг/мл или 250 мкг/мл, в инкубаторе. В таких условиях предпочтительно, чтобы конструкции антител согласно изобретению демонстрировали процентное содержание димеров $\leq 5\%$, более предпочтительно $\leq 4\%$, даже более предпочтительно $\leq 3\%$, даже более предпочтительно $\leq 2,5\%$, даже более предпочтительно $\leq 2\%$, даже более предпочтительно $\leq 1,5\%$ и наиболее предпочтительно $\leq 1\%$ или $\leq 0,5\%$ или даже 0%.

Также предпочтительно, чтобы биспецифические конструкции антител согласно данному изобретению характеризовались низким уровнем преобразования в димеры после некоторого числа циклов замораживания/размораживания. Например, мономер конструкции антитела доводят до концентрации 250 мкг/мл, например, в генерическом буфере готовой формы и подвергают трем циклам замораживания/размораживания (замораживание при -80°C в течение 30 мин с последующим размораживанием в течение 30 мин при комнатной температуре) с последующим проведением высокоэффективной ЭХ для определения процентного содержания изначально мономерной конструкции антитела, которая была преобразована в димерную конструкцию антитела. Предпочтительно процентное содержание димеров биспецифических конструкций антител составляет $\leq 5\%$, более предпочтительно $\leq 4\%$, даже более предпочтительно $\leq 3\%$, даже более предпочтительно $\leq 2,5\%$, даже более предпочтительно $\leq 2\%$, даже более предпочтительно $\leq 1,5\%$ и наиболее предпочтительно $\leq 1\%$ или даже $\leq 0,5\%$, например, после трех циклов замораживания/размораживания.

Биспецифические конструкции антител согласно данному изобретению предпочтительно демонстрируют хорошую термостабильность с температурой агрегации $\geq 45^\circ\text{C}$ или $\geq 50^\circ\text{C}$, более предпочтительно $\geq 52^\circ\text{C}$ или $\geq 54^\circ\text{C}$, даже более предпочтительно $\geq 56^\circ\text{C}$ или $\geq 57^\circ\text{C}$ и наиболее предпочтительно $\geq 58^\circ\text{C}$ или $\geq 59^\circ\text{C}$. Параметр термостабильности можно определить в контексте температуры агрегации антитела следующим образом. Раствор антитела в концентрации 250 мкг/мл переносят в одноразовую кювету и помещают в устройство для исследования методом динамического рассеяния света (ДРС). Образец нагревают от 40 до 70°C при скорости нагрева 0,5°C/мин с постоянным измерением определяемого радиуса. Увеличение радиуса, указывающее на плавление и агрегацию белка, используют для расчета температуры агрегации антитела.

В альтернативном варианте температурные кривые плавления можно определить методом дифференциальной сканирующей калориметрии (ДСК) для определения характеристичной биофизической стабильности белка конструкций антител. Эти эксперименты проводят, используя устройство MicroCal LLC (Northampton, MA, U.S.A) VP-DSC. Поглощение энергии образцом, содержащим конструкцию антитела, записывают от 20 до 90°C и сравнивают с образцом, содержащим только буфер готовой формы. Конструкции антител доводят до конечной концентрации 250 мкг/мл, например, в подвижном буфере ЭХ. Для получения соответствующей кривой плавления пошагово повышают общую температуру образца. При каждой температуре T записывают поглощение энергии образца и стандартного буфера готовой формы. Разницу в поглощении энергии C_p (ккал/моль/°C) образца минус стандарт наносят на график как функцию от соответствующей температуры. Температуру плавления определяют как температуру в первом максимуме поглощения энергии.

Также подразумевается, что биспецифические конструкции антител к антигену-мишени клеточной поверхности и CD3 согласно изобретению имеют мутность (определяемую по ОП340 после доведения концентрации очищенной мономерной конструкции антитела до 2,5 мг/мл и инкубации в течение ночи) $\leq 0,2$, предпочтительно $\leq 0,15$, более предпочтительно $\leq 0,12$, даже более предпочтительно $\leq 0,1$ и наиболее предпочтительно $\leq 0,08$.

В дополнительном варианте реализации конструкция антитела в соответствии с изобретением стабильна при физиологическом или немного меньшем pH, т.е. pH от около 7,4 до 6,0. Чем лучше конструкция антитела переносит нефизиологический pH, такой как pH около 6,0, тем выше степень выделения конструкции антитела, элюируемой из ионообменной колонки, по отношению к общему количеству загружаемого белка. Выделение конструкции антитела из ионообменной (например, катионообменной) колонки при pH около 6,0 предпочтительно составляет $\geq 30\%$, более предпочтительно $\geq 40\%$, более предпочтительно $\geq 50\%$, даже более предпочтительно $\geq 60\%$, даже более предпочтительно $\geq 70\%$, даже более предпочтительно $\geq 80\%$, даже более предпочтительно $\geq 90\%$, даже более предпочтительно $\geq 95\%$ и наиболее предпочтительно $\geq 99\%$.

Дополнительно подразумевается, что биспецифические конструкции антител согласно данному изобретению демонстрируют терапевтическую эффективность или противоопухолевую активность. Это можно, например, оценить в описанном в нижеприведенном примере исследовании ксенотрансплантатной модели человеческой опухоли на поздней стадии.

Специалистам известно, как модифицировать или адаптировать определенные параметры этого исследования, такие как число инъецируемых опухолевых клеток, место инъекции, число трансплантируемых человеческих T-клеток, предназначенное для введения количество биспецифических конструкций антител и график, получая при этом имеющий смысл и воспроизводимый результат. Предпочтительно ингибирование роста опухоли T/C [%] составляет ≤ 70 или ≤ 60 , более предпочтительно ≤ 50 или ≤ 40 ,

даже более предпочтительно ≤ 30 или ≤ 20 и наиболее предпочтительно ≤ 10 или ≤ 5 или даже $\leq 2,5$.

В предпочтительном варианте реализации конструкции антитела согласно изобретению конструкция антитела представляет собой одноцепочечную конструкцию антитела.

Также в предпочтительном варианте реализации конструкции антитела согласно изобретению указанный третий домен содержит в порядке от amino-конца к карбокси-концу:

шарнир-CH2-CH3-линкер-шарнир-CH2-CH3.

В одном варианте реализации изобретения каждый из указанных полипептидных мономеров третьего домена имеет аминокислотную последовательность, по меньшей мере на 90% идентичную последовательности, выбранной из группы, состоящей из: SEQ ID NO: 17-24. В предпочтительном варианте реализации изобретения каждый из указанных полипептидных мономеров имеет аминокислотную последовательность, выбранную из SEQ ID NO: 17-24.

Также в одном варианте реализации изобретения домен CH2 одного или предпочтительно каждого (обоих) полипептидных мономеров третьего домена содержит внутридоменный цистеиновый дисульфидный мостик. Как известно в данной области техники, термин "цистеиновый дисульфидный мостик" относится к функциональной группе с общей структурой $R-S-S-R$. Такая связь также называется SS-связью или дисульфидным мостиком и получена путем сопряжения двух тиольных групп остатков цистеина. Для конструкции антитела согласно изобретению в особенности предпочтительно, чтобы цистеины, образующие цистеиновый дисульфидный мостик в зрелой конструкции антитела, были внесены в аминокислотную последовательность домена CH2, соответствующую позициям 309 и 321 (нумерация Kabat).

В одном варианте реализации изобретения удален участок гликозилирования в позиции 314 по Kabat домена CH2. Предпочтительно, чтобы это удаление участка гликозилирования обеспечивала замена N314X, где X представляет собой любую аминокислоту за исключением Q. Указанная замена предпочтительно представляет собой замену N314G. В более предпочтительном варианте реализации изобретения указанный домен CH2 дополнительно содержит следующие замены (позиции в соответствии с Kabat): V321C и R309C (эти замены вносят внутридоменный цистеиновый дисульфидный мостик в позициях 309 и 321 по Kabat).

Предполагается, что предпочтительные характеристики конструкции антитела согласно изобретению по сравнению, например, с известной в данной области техники биспецифической конструкцией антитела на основе гетеро-Fc (фиг. 1b) могут быть, помимо прочего, связаны с внесением вышеописанных модификаций в домен CH2. Таким образом, для конструкции согласно изобретению предпочтительно, чтобы домены CH2 в третьем домене конструкции антитела согласно изобретению содержали внутридоменный цистеиновый дисульфидный мостик в позициях 309 и 321 по Kabat и/или участок гликозилирования в позиции 314 по Kabat был удален посредством описанной выше замены N314X, предпочтительно замены N314G.

В дополнительном предпочтительном варианте реализации изобретения домены CH2 в третьем домене конструкции антитела согласно изобретению содержат внутридоменный цистеиновый дисульфидный мостик в позициях 309 и 321 по Kabat, а участок гликозилирования в позиции 314 по Kabat удален посредством замены N314G. Наиболее предпочтительно полипептидный мономер в третьем домене конструкции антитела согласно изобретению имеет аминокислотную последовательность, выбранную из группы, состоящей из SEQ ID NO: 17 и 18.

В одном варианте реализации в изобретении предложена конструкция антитела, в которой:

- (i) первый домен содержит два переменных домена антитела, а второй домен содержит два переменных домена антитела;
- (ii) первый домен содержит один переменный домен антитела, а второй домен содержит два переменных домена антитела;
- (iii) первый домен содержит два переменных домена антитела, а второй домен содержит один переменный домен антитела; или
- (iv) первый домен содержит один переменный домен антитела, а второй домен содержит один переменный домен антитела.

Соответственно, первый и второй домены могут представлять собой связывающие домены, каждый из которых содержит два переменных домена антитела, таких как домены VH и VL. Примеры таких связывающих доменов, содержащих два переменных домена антитела, были описаны выше в данном документе и включают, например, фрагменты Fv, фрагменты scFv или фрагменты Fab, описанные выше в данном документе. В альтернативном варианте один или оба этих связывающих домена могут содержать только один переменный домен. Примеры таких однодоменных связывающих доменов были описаны выше в данном документе и включают, например, нанотела или содержащие один переменный домен антитела, содержащие только один переменный домен, который может представлять собой VHH, VH или VL, который специфически связывает антиген или эпитоп независимо от других V-областей или доменов.

В предпочтительном варианте реализации конструкции антитела согласно изобретению первый и второй домены слиты с третьим доменом посредством пептидного линкера. Предпочтительный пептид-

ный линкер был описан выше в данном документе и характеризуется аминокислотной последовательностью Gly-Gly-Gly-Gly-Ser, т.е. Gly₄Ser (SEQ ID NO: 1), или ее полимерами, т.е. (Gly₄Ser)_x, где x представляет собой целое число, равное 1 или более (например, 2 или 3). В особенности предпочтительный линкер для слияния первого и второго доменов с третьим доменом приведен в SEQ ID NO: 1.

В предпочтительном варианте реализации конструкция антитела согласно изобретению характеризуется тем, что содержит в порядке от amino-конца к карбокси-концу:

- (a) первый домен;
- (b) пептидный линкер, имеющий аминокислотную последовательность, выбранную из группы, состоящей из SEQ ID NO: 1-3;
- (c) второй домен;
- (d) пептидный линкер, имеющий аминокислотную последовательность, выбранную из группы, состоящей из SEQ ID NO: 1, 2, 3, 9, 10, 11 и 12;
- (e) первый полипептидный мономер третьего домена;
- (f) пептидный линкер, имеющий аминокислотную последовательность, выбранную из группы, состоящей из SEQ ID NO: 5, 6, 7 и 8; и
- (g) второй полипептидный мономер третьего домена.

В одном аспекте изобретения антиген-мишень клеточной поверхности, связываемый первым доменом, представляет собой опухолевый антиген, антиген-специфический для иммунологического нарушения, или вирусный антиген. В контексте данного документа термин "опухолевый антиген" можно понимать как относящийся к тем антигенам, которые презентуются на опухолевых клетках. Эти антигены могут презентироваться на клеточной поверхности с внеклеточной частью, которая часто находится в комбинации с трансмембранной и цитоплазматической частью молекулы. Иногда эти антигены могут презентироваться только опухолевыми клетками и никогда - нормальными. Опухолевые антигены могут экспрессироваться исключительно на опухолевых клетках или могут представлять опухолеспецифическую мутацию по сравнению с нормальными клетками. В таком случае они называются опухолеспецифическими антигенами. Более обычными являются антигены, которые презентуются опухолевыми клетками и нормальными клетками и называются опухолеассоциированными антигенами. Эти опухолеассоциированные антигены могут сверхэкспрессироваться по сравнению с нормальными клетками или являться доступными для связывания антитела в опухолевых клетках вследствие менее компактной структуры опухолевой ткани по сравнению с нормальной тканью. В контексте данного документа неограничивающими примерами опухолевых антигенов являются CDH19, MSLN, DLL3, FLT3, EGFRvIII, CD33, CD19, CD20 и CD70.

В предпочтительном варианте реализации конструкции антитела согласно изобретению опухолевый антиген выбран из группы, состоящей из CDH19, MSLN, DLL3, FLT3, EGFRvIII, CD33, CD19, CD20 и CD70.

В одном аспекте изобретения конструкция антитела содержит в порядке от amino-конца к карбокси-концу:

- (a) первый домен, имеющий аминокислотную последовательность, выбранную из группы, состоящей из SEQ ID NO: 52, 70, 58, 76, 88, 106, 124, 94, 112, 130, 142, 160, 178, 148, 166, 184, 196, 214, 232, 202, 220, 238, 250, 266, 282, 298, 255, 271, 287, 303, 322, 338, 354, 370, 386, 402, 418, 434, 450, 466, 482, 498, 514, 530, 546, 327, 343, 359, 375, 391, 407, 423, 439, 455, 471, 487, 503, 519, 353, 551, 592, 608, 624, 640, 656, 672, 688, 704, 720, 736, 752, 768, 784, 800, 816, 832, 848, 864, 880, 896, 912, 928, 944, 960, 976, 992, 1008, 1024, 1040, 1056, 1072, 1088, 1104, 1120, 1136, 1152, 1168, 1184, 597, 613, 629, 645, 661, 677, 693, 709, 725, 741, 757, 773, 789, 805, 821, 837, 853, 869, 885, 901, 917, 933, 949, 965, 981, 997, 1013, 1029, 1045, 1061, 1077, 1093, 1109, 1125, 1141, 1157, 1173, 1189, 1277, 1289, 1301, 1313, 1325, 1337, 1349, 1361, 1373, 1385, 1397, 1409, 1421, 1433, 1445;
- (b) пептидный линкер, имеющий аминокислотную последовательность, выбранную из группы, состоящей из SEQ ID NO: 1-3;
- (c) второй домен, имеющий аминокислотную последовательность, выбранную из группы, состоящей из SEQ ID NO: SEQ ID NO: 23, 25, 41, 43, 59, 61, 77, 79, 95, 97, 113, 115, 131, 133, 149, 151, 167, 169, 185 или 187 из WO 2008/119567 или SEQ ID NO: 15;
- (d) пептидный линкер, имеющий аминокислотную последовательность, выбранную из группы, состоящей из SEQ ID NO: 1, 2, 3, 9, 10, 11 и 12;
- (e) первый полипептидный мономер третьего домена, имеющий полипептидную последовательность, выбранную из группы, состоящей из SEQ ID NO: 17-24;
- (f) пептидный линкер, имеющий аминокислотную последовательность, выбранную из группы, состоящей из SEQ ID NO: 5, 6, 7 и 8; и
- (g) второй полипептидный мономер третьего домена, имеющий полипептидную последовательность, выбранную из группы, состоящей из SEQ ID NO: 17-24.

Наряду с этим предпочтительным вариантом реализации, первый и второй домены, которые слиты посредством пептидного линкера с одноцепочечным полипептидом, содержат последовательность, выбранную из группы, состоящей из:

- (a) SEQ ID NO: 53 и 59; CD33;
- (b) SEQ ID NO: 71 и 77; EGFRvIII;
- (c) SEQ ID NO: 89, 107, 125, 95, 113 и 131; MSLN;
- (d) SEQ ID NO: 143, 161, 179, 149, 167 и 185; CDH19;
- (e) SEQ ID NO: 197, 215, 233, 203, 221 и 239; DLL3;
- (f) SEQ ID NO: 251, 267, 283, 299, 256, 272, 288 и 304; CD19;
- (g) SEQ ID NO: 323, 339, 355, 371, 387, 403, 419, 435, 451, 467, 483, 499, 515, 531, 547, 328, 344, 360, 376, 392, 408, 424, 440, 456, 472, 488, 504, 520, 536 и 552; FLT3;
- (h) SEQ ID NO: 593, 609, 625, 641, 657, 673, 689, 705, 721, 737, 753, 769, 785, 801, 817, 833, 849, 865, 881, 897, 913, 929, 945, 961, 977, 993, 1009, 1025, 1041, 1057, 1073, 1089, 1105, 1121, 1137, 1153, 1169, 1185, 598, 614, 630, 646, 662, 678, 694, 710, 726, 742, 758, 774, 790, 806, 822, 838, 854, 870, 886, 902, 918, 934, 950, 966, 982, 998, 1014, 1030, 1046, 1062, 1078, 1094, 1110, 1126, 1142, 1158, 1174 и 1190; CD70;
- (i) SEQ ID NO: 1268; и CD20;
- (j) SEQ ID NO: 1278, 1290, 1302, 1314, 1326, 1338, 1350, 1362, 1374, 1386, 1398, 1410, 1422, 1434, 1446. CD19.

В одном аспекте конструкция антитела согласно изобретению характеризуется тем, что имеет аминокислотную последовательность, выбранную из группы, состоящей из:

- (a) SEQ ID NO: 54, 55, 60 и 61; CD33;
- (b) SEQ ID NO: 72, 73, 78 и 79; EGFRvIII;
- (c) SEQ ID NO: 90, 91, 96, 97, 108, 109, 114 и 115; MSLN;
- (d) SEQ ID NO: 144, 145, 150, 151, 162, 163, 168, 169, 180, 181, 186 и 187; CDH19;
- (e) SEQ ID NO: 198, 199, 204, 205, 216, 217, 222, 223, 234, 235, 240 и 241; DLL3;
- (f) SEQ ID NO: 252, 306, 257, 307, 268, 308, 273, 309, 284, 310, 289, 311, 300, 312, 305 и 313; CD19;
- (g) SEQ ID NO: 324, 554, 329, 555, 340, 556, 345, 557, 356, 558, 361, 559, 372, 560, 377, 561, 388, 562, 393, 563, 404, 564, 409, 565, 420, 566, 425, 567, 436, 568, 441, 569, 452, 570, 457, 571, 468, 572, 473, 573, 484, 574, 489, 575, 500, 576, 505, 577, 516, 578, 521, 579, 532, 580, 537, 581, 548, 582, 553 и 583; FLT3;
- (h) SEQ ID NO: 594, 610, 626, 642, 658, 674, 690, 706, 722, 738, 754, 77, 786, 802, 818, 834, 850, 866, 882, 898, 914, 930, 946, 962, 978, 994, 1010, 1026, 1042, 1058, 1074, 1090, 1106, 1122, 1138, 1154, 1170, 1186, 599, 615, 631, 647, 663, 679, 695, 711, 727, 743, 759, 775, 791, 807, 823, 839, 855, 871, 887, 903, 919, 935, 951, 967, 983, 999, 1015, 1031, 1047, 1063, 1079, 1095, 1111, 1127, 1143, 1159, 1175, 1191 и 1192-1267; CD70;
- (i) SEQ ID NO: 43; CD20;
- (j) SEQ ID NO: 1279, 1280, 1291, 1292, 1303, 1304, 1315, 1316, 1327, 1328, 1339, 1340, 1351, 1352, 1363, 1364, 1375, 1376, 1387, 1388, 1399, 1400, 1411, 1412, 1423, 1424, 1435, 1436, 1447, 1448. CD19.

В изобретении дополнительно предложены полинуклеотид/молекула нуклеиновой кислоты, кодирующая конструкцию антитела согласно изобретению. Полинуклеотид представляет собой биополимер, состоящий из 13 или более нуклеотидных мономеров, ковалентно связанных в цепи. ДНК (такая как кДНК) и РНК (такая как мРНК) являются примерами полинуклеотидов с разной биологической функцией. Нуклеотиды представляют собой органические молекулы, служащие в качестве мономеров или субъединиц молекул нуклеиновых кислот, таких как ДНК или РНК. Молекула нуклеиновой кислоты или полинуклеотид может быть двухцепочечной или одноцепочечной, линейной или круговой. Предпочтительно она находится в векторе, который предпочтительно находится в клетке-хозяине. Указанная клетка-хозяин, например, после трансформации или трансфекции вектором или полинуклеотидом согласно изобретению способна экспрессировать конструкцию антитела. С этой целью полинуклеотид или молекула нуклеиновой кислоты функционально связаны с регуляторными последовательностями.

Генетический код представляет собой набор правил, посредством которого информация, закодированная в генетическом материале (нуклеиновых кислотах), транслируется в белок. Биологическая расшифровка в живых клетках осуществляется рибосомой, которая связывает аминокислоты в порядке, определяемом мРНК, используя молекулы тРНК для переноса аминокислот и для считывания тринуклеотидов мРНК за раз. Код определяет, как последовательности этих нуклеотидных триплетов, называемых кодонами, предопределяют, какую аминокислоту следует добавлять следующей во время синтеза белка. За некоторыми исключениями тринуклеотидный кодон в последовательности нуклеиновой кислоты предопределяет одну аминокислоту. Так как подавляющее большинство генов кодируется абсолютно одинаковым кодом, этот конкретный код часто называют каноническим или стандартным генетическим кодом. Хотя генетический код определяет белковую последовательность для данной кодирующей области, другие геномные области могут влиять на то, когда и где вырабатываются эти белки.

Кроме того, в изобретении предложен вектор, содержащий полинуклеотид/молекулу нуклеиновой кислоты согласно изобретению. Вектор представляет собой молекулу нуклеиновой кислоты, применяемую в качестве носителя для переноса (чужеродного) генетического материала в клетку. Термин "вектор" включает, но не ограничивается этим, плазмиды, вирусы, космиды и искусственные хромосомы. В общем случае сконструированные векторы содержат точку начала репликации, участок мультиклонирования и селективный маркер. Сам вектор в общем случае представляет собой нуклеотидную последова-

тельность, обычно последовательность ДНК, которая содержит вставку (трансген), и более крупную последовательность, которая служит "скелетом" вектора. Современные векторы могут включать в себя дополнительные элементы помимо вставки трансгена и скелета: промотор, генетический маркер, устойчивость к антибиотикам, репортерный ген, нацеливающую последовательность, метку для очистки белка. Векторы, называемые экспрессионными векторами (экспрессионными конструкциями) специально предназначены для экспрессии трансгена в клетке-мишени и в общем случае содержат регуляторные последовательности.

Термин "регуляторные последовательности" относится к последовательностям ДНК, необходимым для экспрессии функционально связанной кодирующей последовательности в конкретном организме-хозяине. Регуляторные последовательности, которые подходят для прокариот, например, включают промотор, необязательно, последовательность оператора и участок связывания рибосомы. Известно, что в эукариотических клетках используются промоторы, сигналы полиаденилирования и энхансеры.

Нуклеиновая кислота является "функционально связанной", когда она находится в функциональной взаимосвязи с другой последовательностью нуклеиновой кислоты. Например, ДНК для предпоследовательности или секреторной лидерной последовательности функционально связана с ДНК для полипептида, если она экспрессируется в виде белка-предшественника, который принимает участие в секреции полипептида; промотор или энхансер функционально связан с кодирующей последовательностью, если он влияет на транскрипцию последовательности; или участок связывания рибосомы функционально связан с кодирующей последовательностью, если он расположен так, чтобы облегчать трансляцию. В общем случае "функционально связанный" означает, что связанные последовательности ДНК являются смежными и, в случае секреторной лидерной последовательности, смежными и в фазе считывания. При этом энхансеры не должны быть смежными. Связывание осуществляется путем лигирования в удобных рестрикционных участках. Если такие участки не существуют, используют синтетические адапторы или линкеры в соответствии с традиционной практикой.

"Трансфекция" представляет собой процесс преднамеренного внесения молекул нуклеиновых кислот или полинуклеотидов (включая векторы) в клетки-мишени. Этот термин используется в основном для невирусных методов в эукариотических клетках. Трансдукцию часто используют для описания опосредованного вирусом переноса молекул нуклеиновых кислот или полинуклеотидов. Трансфекция клеток животных, как правило, включает открытие временных пор или "дыр" в клеточной мембране для того, чтобы сделать возможным поглощение материала. Трансфекцию можно проводить, используя фосфат кальция, путем электропорации, путем сжатия клеток или путем смешивания катионного липида с материалом для получения липосом, которые сливаются с клеточной мембраной и оставляют свой груз внутри.

Термин "трансформация" используют для описания невирусного переноса молекул нуклеиновых кислот или полинуклеотидов (включая векторы) в бактерии и также в не принадлежащие животным эукариотические клетки, включая клетки растений. Следовательно, трансформация представляет собой генетическое изменение бактериальной или не принадлежащей животному эукариотической клетки в результате прямого поглощения через клеточную(ые) мембрану(ы) из окружающей среды и последующее включение экзогенного генетического материала (молекул нуклеиновых кислот). Трансформацию можно проводить искусственными средствами. Для того, чтобы произошла трансформация, клетки или бактерии должны находиться в состоянии компетентности, которое может наступать в виде ограниченного во времени ответа на внешние условия, такие как голодание и плотность клеток.

Кроме того, в изобретении предложена клетка-хозяин, трансформированная или трансфицированная полинуклеотидом/молекулой нуклеиновой кислоты или вектором согласно изобретению. В контексте данного документа подразумевается, что термины "клетка-хозяин" или "реципиентная клетка" включают любую отдельную клетку или культуру клеток, которые могут быть или были реципиентами векторов, молекул экзогенных нуклеиновых кислот и полинуклеотидов, кодирующих конструкцию антитела согласно данному изобретению; и/или реципиентами самой конструкции антитела. Внесение соответствующего материала в клетку проводят путем трансформации, трансфекции и т.д. Также подразумевается, что термин "клетка-хозяин" включает потомство или потенциальное потомство одной клетки. Так как в последующих поколениях могут возникать определенные модификации вследствие естественной, случайной или преднамеренной мутации или вследствие влияния со стороны окружающей среды, такое потомство может в действительности не быть полностью идентичным (по морфологии или по комплексу геномной или общей ДНК) с родительской клеткой, но все равно в контексте данного документа включено в объем указанного термина. Подходящие клетки-хозяева включают прокариотические или эукариотические клетки и также включают, но не ограничиваются этим, бактерии, клетки дрожжей, клетки грибов, клетки растений и клетки животных, такие как клетки насекомых и клетки млекопитающих, например, мышей, крыс, макак или человека.

Конструкцию антитела согласно изобретению можно получать в бактериях. После экспрессии конструкции антитела согласно изобретению выделяют из клеточной пасты *E. coli* в растворимую фракцию и затем ее можно очищать с помощью, например, аффинной или эксклюзионной хроматографии. Конечную очистку можно проводить аналогично с процессом очистки антитела, экспрессируемого, например,

в клетках СНО.

Кроме прокариот, эукариотические микробы, такие как нитевидные грибы или дрожжи, являются подходящими хозяевами для клонирования или экспрессии конструкции антитела согласно изобретению. *Saccharomyces cerevisiae* или обычные пекарские дрожжи наиболее часто используются среди микроорганизмов-хозяев из низших эукариот. При этом большое число других родов, видов и штаммов являются общепринятыми и применимыми в данном случае, например, *Schizosaccharomyces pombe*, хозяева из *Kluveromyces*, такие как *K. lactis*, *K. fragilis* (ATCC 12424), *K. bulgaricus* (ATCC 16045), *K. wickerhamii* (ATCC 24178), *K. waltii* (ATCC 56500), *K. drosophilae* (ATCC 36906), *K. Thermotolerans* и *K. marxianus*; *Yarrowia* (EP 402 226); *Pichia pastoris* (EP 183 070); *Candida*; *Trichoderma reesia* (EP 244 234); *Neurospora crassa*; *Schwanniomyces*, такие как *Schwanniomyces occidentalis*; и нитевидные грибы, такие как *Neurospora*, *Penicillium*, *Tolypocladium*, и хозяева *Aspergillus*, такие как *A. nidulans* и *A. niger*.

Подходящие клетки-хозяева для экспрессии гликозилированной конструкции антитела согласно изобретению получены из многоклеточных организмов. Примеры клеток беспозвоночных включают клетки растений и насекомых. Были определены многочисленные бакуловирусные штаммы и варианты и соответствующие пермиссивные клетки-хозяева насекомых, такие как *Spodoptera frugiperda* (гусеница), *Aedes aegypti* (москит), *Aedes albopictus* (москит), *Drosophila melanogaster* (плодовая мушка) и *Bombyx mori*. Общедоступными являются различные вирусные штаммы для трансфекции, например, вариант L-1 *Autographa californica* NPV и штамм Bm-5 *Bombyx mori* NPV, и такие вирусы можно использовать в качестве вируса в соответствии с данным изобретением, в частности, для трансфекции клеток *Spodoptera frugiperda*.

Растительные клеточные культуры хлопка, кукурузы, картофеля, сои, петунии, томата, арабидопсиса и табака также можно использовать в качестве хозяев. Клонированные и экспрессионные векторы, применяемые для получения белков в растительной клеточной культуре, известны специалистам в данной области техники. Смотрите, например, Hiatt et al., *Nature* (1989) 342: 76-78, Owen et al. (1992) *Bio/Technology* 10: 790-794, Artsaenko et al. (1995) *The Plant J* 8: 745-750, и Fecker et al. (1996) *Plant Mol Biol* 32: 979-986.

Однако наибольший интерес представляют клетки позвоночных, а размножение клеток позвоночных в культуре (тканевой культуре) стало рутинной процедурой. Примерами применимых линий клеток-хозяев млекопитающих являются линия почки обезьяны CV1, трансформированная SV40 (COS-7, ATCC CRL 1651); линия почки эмбриона человека (клетки 293 или 293, субклонированные для роста в суспензионной культуре, Graham et al., *J. Gen Virol.* 36: 59 (1977)); клетки почки новорожденного хомяка (ВНК, ATCC CCL 10); клетки яичника китайского хомяка/-DHFR (CHO, Urlaub et al., *Proc. Natl. Acad. Sci. USA* 77: 4216 (1980)); клетки Сертоли мышей (TM4, Mather, *Biol. Reprod.* 23: 243-251 (1980)); клетки почки обезьяны (CV1 ATCC CCL 70); клетки почки африканской зеленой мартышки (VERO-76, ATCC CRL1587); клетки карциномы шейки матки человека (HELA, ATCC CCL 2); клетки почки собаки (MDCK, ATCC CCL 34); клетки печени серой крысы (BRL 3A, ATCC CRL 1442); клетки легкого человека (W138, ATCC CCL 75); клетки печени человека (Hep G2, 1413 8065); клетки опухоли молочной железы мышей (MMT 060562, ATCC CCL5 1); клетки TRI (Mather et al., *Annals N. Y Acad. Sci.* (1982) 383: 44-68); клетки MRC 5; клетки FS4; и линия гепатомы человека (Hep G2).

В дополнительном варианте реализации в изобретении предложен процесс для получения конструкции антитела согласно изобретению, включающий культивирование клетки-хозяина согласно изобретению, в условиях, обеспечивающих экспрессию конструкции антитела согласно изобретению, и выделение полученной конструкции антитела из культуры.

В контексте данного документа термин "культивирование" относится к *in vitro* поддержанию, дифференцировке, росту, пролиферации и/или размножению клеток в подходящих условиях в среде. Термин "экспрессия" включает любой этап, проводимый для получения конструкции антитела согласно изобретению, включая, но не ограничиваясь этим, транскрипцию, посттранскрипционную модификацию, трансляцию, посттрансляционную модификацию и секрецию.

При применении рекомбинантных технологий конструкцию антитела можно получать внутри клетки, в периплазматическом пространстве или она может непосредственно секретироваться в среду. Если конструкцию антитела получают внутри клетки, на первом этапе удаляют дебрис в виде частиц, как клеток-хозяев, так и лизированных фрагментов, например, путем центрифугирования или ультрафильтрации. В Carter et al., *Bio/Technology* 10: 163-167 (1992) описана процедура для выделения антител, которые секретированы в периплазматическое пространство *E. coli*. Вкратце, клеточную пасту размораживают в присутствии ацетата натрия (pH 3,5), ЭДТК и фенолметилсульфонилфторида (ФМСФ) в течение около 30 мин. Клеточный дебрис удаляют путем центрифугирования. Если антитело секретировано в среду, супернатанты из таких экспрессионных систем в общем случае сначала концентрируют, используя коммерчески доступный фильтр для концентрирования белка, например, установку для ультрафильтрации Amicon или Millipore Pellicon. На любом из вышеуказанных этапов может быть включен ингибитор протеаз, такой как ФМСФ, для ингибирования протеолиза, а антибиотики могут быть включены для предотвращения роста занесенных загрязнителей.

Конструкцию антитела согласно изобретению, полученную из клеток-хозяев, можно выделять или

очищать, используя, например, хроматографию с гидроксилпатитом, гель-электрофорез, диализ и аффинную хроматографию. Также, в зависимости от предназначенного для выделения антитела, доступны другие методики очистки белка, такие как фракционирование на ионообменной колонке, осаждение этанолом, обращенно-фазовая ВЭЖХ, хроматография на силикагеле, хроматография на гепаринсефарозе™, хроматография на анионо-или катионообменной смоле (такой как колонка с полиаспарагиновой кислотой), хроматофокусирование, ДСН-ПААГ и осаждение сульфатом аммония. Если конструкция антитела согласно изобретению содержит домен СНЗ, для очистки применяют смолу Bakerbond ABX (J.T. Baker, Phillipsburg, NJ).

Аффинная хроматография является предпочтительной методикой очистки. Матрица, к которой присоединяется аффинный лиганд, наиболее часто является агарозой, но также доступны другие матрицы. Механически стабильные матрицы, такие как стекло с контролируемым размером пор или поли(стиролдивинил)бензен, обеспечивают большую скорость потока и меньшее время обработки по сравнению с агарозой.

Кроме того, в изобретении предложена фармацевтическая композиция, содержащая конструкцию антитела согласно изобретению или конструкцию антитела, полученную в соответствии со способом согласно изобретению. Для фармацевтической композиции согласно изобретению предпочтительно, чтобы гомогенность конструкции антитела составляла $\geq 80\%$, более предпочтительно $\geq 81\%$, $\geq 82\%$, $\geq 83\%$, $\geq 84\%$ или $\geq 85\%$, еще предпочтительнее $\geq 86\%$, $\geq 87\%$, $\geq 88\%$, $\geq 89\%$ или $\geq 90\%$, еще предпочтительнее $\geq 91\%$, $\geq 92\%$, $\geq 93\%$, $\geq 94\%$ или $\geq 95\%$ и наиболее предпочтительно $\geq 96\%$, $\geq 97\%$, $\geq 98\%$ или $\geq 99\%$.

В контексте данного документа термин "фармацевтическая композиция" относится к композиции, подходящей для введения пациенту, предпочтительно пациенту-человеку. В особенности предпочтительная фармацевтическая композиция согласно данному изобретению содержит одну или множество конструкций антител согласно изобретению, предпочтительно в терапевтически эффективном количестве. Предпочтительно фармацевтическая композиция дополнительно содержит подходящие готовые формы одного или более (фармацевтически эффективных) носителей, стабилизаторов, вспомогательных веществ, разбавителей, солюбилизаторов, поверхностно-активных веществ, эмульсификаторов, консервантов и/или адьювантов. Приемлемые составляющие композиции предпочтительно являются нетоксичными для реципиентов в применяемых дозировках и концентрациях. Фармацевтические композиции согласно изобретению включают, но не ограничиваются этим, жидкие, замороженные и лиофилизированные композиции.

Композиции согласно изобретению могут содержать фармацевтически приемлемый носитель. В общем случае в контексте данного документа "фармацевтически приемлемый носитель" означает любой и все водные и неводные растворы, стерильные растворы, растворители, буферы, например, растворы фосфатно-солевого буфера (ФСБ), воду, суспензии, эмульсии, такие как эмульсии масло/вода, различные типы смачивающих агентов, липосомы, дисперсионные среды и покрытия, которые совместимы с фармацевтическим введением, в частности, парентеральным введением. Применение таких сред и агентов в фармацевтических композициях хорошо известно в данной области техники, а композиции, содержащие такие носители, можно составлять хорошо известными традиционными способами.

В определенных вариантах реализации изобретения предложены фармацевтические композиции, содержащие конструкцию антитела согласно изобретению и дополнительно одно или более вспомогательных веществ, таких как те, которые в иллюстративных целях описаны в этом разделе и в другом месте данного документа. В этой связи вспомогательные вещества можно применять в изобретении во многих целях, таких как коррективировка вязкости, и/или процессов согласно изобретению для улучшения эффективности и/или для стабилизации таких готовых форм и процессов против деградации и порчи вследствие, например, стрессов, которые возникают во время производства, перевозки, хранения, приготовления перед использованием, введения и впоследствии.

В определенных вариантах реализации изобретения фармацевтическая композиция может содержать составляющие материалы в целях модификации, поддержания или сохранения, например, pH, осмолярности, вязкости, прозрачности, цвета, изотоничности, запаха, стерильности, стабильности, скорости растворения или высвобождения, всасывания или проникновения композиции (смотрите REMINGTON'S PHARMACEUTICAL SCIENCES, 18th Edition, (A.R. Genrmo, ed.), 1990, Mack Publishing Company). В таких вариантах реализации изобретения подходящие составляющие материалы могут включать, но не ограничиваются этим:

аминокислоты, такие как глицин, аланин, глутамин, аспарагин, треонин, пролин, 2-фенилаланин, включая заряженные аминокислоты, предпочтительно лизин, ацетат лизина, аргинин, глутамат и/или гистидин;

противомикробные препараты, такие как антибактериальные и противогрибковые агенты;

антиоксиданты, такие как аскорбиновая кислота, метионин, сульфит натрия или гидрогенсульфит натрия;

буферы, буферные системы или буферные агенты, которые используют для поддержания композиции при физиологическом рН или немного меньшем рН; примерами буферов являются борат, бикарбонат, Трис-НСI, цитраты, фосфаты или другие органические кислоты, сукцинат, фосфат и гистидин; например, Трис-буфер с рН около 7,0-8,5;

неводные растворители, такие как пропиленгликоль, полиэтиленгликоль, растительные масла, такие как оливковое масло, и инъекционные сложные органические эфиры, такие как этилолеат;

водные носители, включая воду, спиртово-водные носители, эмульсии или суспензии, включая солевые и забуференные среды;

биоразлагаемые полимеры, такие как сложные полиэфиры;

объемообразующие агенты, такие как маннит или глицин;

хелатирующие агенты, такие как этилендиаминтетрауксусная кислота (ЭДТК);

изотонические агенты и агенты, замедляющие всасывание;

комплексообразующие агенты, такие как кофеин, поливинилпирролидон, бета-циклодекстрин или гидроксипропил-бета-циклодекстрин;

наполнители;

моносахариды; дисахариды; и другие углеводы (такие как глюкоза, манноза или декстрины); углеводы могут представлять собой нередуцирующие сахара, предпочтительно трегалозу, сахарозу, октасульфат, сорбит или ксилит;

(низкомолекулярные) белки, полипептиды или белковые носители, такие как человеческий или бычий сывороточный альбумин, желатин или иммуноглобулины, предпочтительно человеческого происхождения;

красители и ароматизаторы;

серосодержащие восстановительные агенты, такие как глутатион, тиоктовая кислота, тиогликолят натрия, тиоглицерин, [альфа]-монотиоглицерин и тиосульфат натрия;

разбавители;

эмульсификаторы;

гидрофильные полимеры, такие как поливинилпирролидон;

солеобразующие противоионы, такие как натрий;

консерванты, такие как противомикробные средства, антиоксиданты, хелатирующие агенты, инертные газы и тому подобное; примерами являются бензалкония хлорид, бензойная кислота, салициловая кислота, тимеросал, фенолитовый спирт, метилпарабен, пропилпарабен, хлоргексидин, сорбиновая кислота или перекись водорода;

комплексы металлов, такие как комплексы Zn-белок;

растворители и соразтворители (такие как глицерин, пропиленгликоль или полиэтиленгликоль);

сахара и сахарные спирты, такие как трегалоза, сахароза, октасульфат, маннит, сорбит или ксилит, стахиоза, манноза, сорбоза, ксилоза, рибоза, миоинизитоза, галактоза, лактит, рибит, миоинозит, галактит, глицерин, циклиты (например, инозит), полиэтиленгликоль; и многоатомные сахарные спирты;

суспендирующие агенты;

поверхностно-активные вещества или смачивающие агенты, такие как плуроники, ПЭГ, сложные эфиры сорбитана, полисорбаты, такие как полисорбат 20, полисорбат, тритон, трометамин, лецитин, холестерин, тилоксапал; поверхностно-активные вещества могут представлять собой детергенты, предпочтительно с молекулярной массой >1,2 кДа, и/или полиэфир, предпочтительно с молекулярной массой >3 кДа; неограничивающими примерами предпочтительных детергентов являются Твин 20, Твин 40, Твин 60, Твин 80 и Твин 85; неограничивающими примерами предпочтительных полиэфиров являются ПЭГ 3000, ПЭГ 3350, ПЭГ 4000 и ПЭГ 5000;

агенты, повышающие стабильность, такие как сахароза или сорбит;

агенты, повышающие тоничность, такие как галиды щелочных металлов, предпочтительно хлорид натрия или калия, маннит, сорбит;

средства для парентеральной доставки, включая раствор хлорида натрия, декстрозу Рингера, декстрозу и хлорид натрия, лактат Рингера или жирные масла;

средства для внутривенной доставки, включая наполнители жидкости и питательных веществ, наполнители электролитов (например, на основе декстрозы Рингера).

Для специалистов в данной области техники очевидно, что разные составляющие фармацевтической композиции (например, перечисленные выше) могут иметь разное действие, например, аминокислота может действовать в качестве буфера, стабилизатора и/или антиоксиданта; маннит может действовать в качестве объемообразующего агента и/или агента, повышающего тоничность; хлорид натрия может действовать в качестве средства для доставки и/или агента, повышающего тоничность.

Подразумевается, что композиция согласно изобретению может содержать, кроме определенного в данном документе полипептида согласно изобретению, дополнительные биологически активные агенты, в зависимости от предполагаемого применения композиции. Такие агенты могут представлять собой лекарственные препараты, действующие на желудочно-кишечную систему, цитостатические лекарственные препараты, лекарственные препараты, предотвращающие гиперурикемию, лекарственные препара-

ты, ингибирующие иммунореакции (например, кортикостероиды), лекарственные препараты, модулирующие воспалительный ответ, лекарственные препараты, действующие на систему кровообращения, и/или агенты, такие как цитокины, известные в данной области техники. Также подразумевается, что конструкцию антитела согласно данному изобретению, применяют в совместной терапии, т.е. в комбинации с другим противораковым медикаментом.

В определенных вариантах реализации изобретения оптимальная фармацевтическая композиция определяется специалистом в данной области техники в зависимости, например, от предполагаемого пути введения, формата доставки и необходимой дозировки. Смотрите, например, REMINGTON'S PHARMACEUTICAL SCIENCES, выше. В определенных вариантах реализации изобретения такие композиции могут влиять на физическое состояние, стабильность, скорость *in vivo* высвобождения и скорость *in vivo* выведения конструкции антитела согласно изобретению. В определенных вариантах реализации изобретения основной базовый раствор или носитель в фармацевтической композиции может быть по своей природе как водным, так и неводным. Например, подходящий базовый раствор или носитель может представлять собой воду для инъекций, физиологический солевой раствор или искусственную цереброспинальную жидкость, возможно дополненные другими материалами, обычными в композициях для парентерального введения. Дополнительными типовыми базовыми растворами являются нейтральный буферный солевой раствор или солевой раствор, смешанный с сывороточным альбумином. В определенных вариантах реализации композиции конструкции антитела согласно изобретению можно готовить для хранения путем смешивания выбранной композиции, имеющей необходимую степень чистоты, с оптимальными составляющими агентами (REMINGTON'S PHARMACEUTICAL SCIENCES, выше) в форме лиофилизированной лепешки или водного раствора. Кроме того, в определенных вариантах реализации конструкцию антитела согласно изобретению можно готовить в виде лиофилизата, используя соответствующие вспомогательные вещества, такие как сахараза.

Если предполагается парентеральное введение, терапевтические композиции для применения в данном изобретении можно получать в форме апиrogenного, парентерально приемлемого водного раствора, содержащего необходимую конструкцию антитела согласно изобретению в фармацевтически приемлемом базовом растворе. В особенности подходящим базовым раствором для парентеральной инъекции является стерильная дистиллированная вода, в которой конструкцию антитела согласно изобретению готовят в виде стерильного, изотонического раствора, сохраняемого должным образом. В определенных вариантах реализации изобретения препарат может включать готовую форму необходимой молекулы с агентом, таким как инъекционные микросферы, биоразлагаемые частицы, полимерные соединения (такие как полимолочная кислота или полигликолевая кислота), гранулы или липосомы, которые могут обеспечивать контролируемое или замедленное высвобождение продукта, который может доставляться посредством депо-инъекции. В определенных вариантах реализации изобретения также можно использовать гиалуроновую кислоту, действие которой состоит в стимуляции продления нахождения в циркуляции. В определенных вариантах реализации изобретения можно использовать имплантируемые устройства для внесения необходимой конструкции антитела.

Дополнительные фармацевтические композиции очевидны для специалистов в данной области техники, включая готовые формы, содержащие конструкцию антитела согласно изобретению в составах для замедленного высвобождения или контролируемой доставки/высвобождения. Методики приготовления различных других средств для замедленной или контролируемой доставки, таких как липосомные носители, биоразлагаемые микрочастицы или пористые гранулы и депо-инъекции, также известны специалистам в данной области техники. Смотрите, например, заявку на международный патент № PCT/US93/00829, в которой описано контролируемое высвобождение пористых полимерных микрочастиц для доставки фармацевтических композиций. Препараты с замедленным высвобождением могут содержать полупроницаемые полимерные матрицы в виде формованных изделий, например, пленок или микрокапсул. Матрицы для замедленного высвобождения могут содержать сложные полиэфиры, гидрогели, полилактиды (описанные в патенте США № 3773919 и публикации заявки на европейский патент № EP 058481), сополимеры L-глутаминовой кислоты и гамма этил-L-глутамата (Sidman et al., 1983, *Biopolymers* 2:547-556), поли(2-гидроксиэтил-метакрилат) (Langer et al., 1981, *J. Biomed. Mater. Res.* 15:167-277 и Langer, 1982, *Chem. Tech.* 12:98-105), этиленвинилацетат (Langer et al., 1981, выше) или поли-D(-)-3-гидроксимасляную кислоту (публикация заявки на европейский патент № EP 133988). Композиции для замедленного высвобождения также могут содержать липосомы, которые можно готовить любым из нескольких способов, известных в данной области техники. Смотрите, например, Eppstein et al., 1985, *Proc. Natl. Acad. Sci. U.S.A.* 82:3688-3692; публикации заявок на европейский патент № EP 036676; EP 088046 и EP 143949.

Конструкция антитела также может быть заключена в микрокапсулах, приготовленных, например, методами коацервации или межфазной полимеризации (например, микрокапсулы из гидроксиметилцеллюлозы или желатина и микрокапсулы из поли(метилметакрилата) соответственно), в коллоидных системах доставки лекарственного препарата (например, липосомы, альбуминовые микросферы, микроэмульсии, наночастицы и наночапсулы) или в макроэмульсиях. Такие методики описаны в Remington's *Pharmaceutical Sciences*, 16th edition, Oslo, A., Ed., (1980).

Фармацевтические композиции, применяемые для *in vivo* введения, как правило, предоставляются в виде стерильных препаратов. Стерилизацию можно проводить путем фильтрации через стерильные фильтровальные мембраны. Если композиция является лиофилизированной, стерилизацию с применением этого способа можно проводить до или после лиофилизации и восстановления. Композиции для парентерального введения можно хранить в лиофилизированной форме или в растворе. Парентеральные композиции в общем случае помещают в контейнер, имеющий стерильное входное отверстие, например, пакет для внутривенного раствора или флакон, имеющий пробку, прокалываемую гиподермической иглой для инъекций.

Другой аспект изобретения включает самобуферизующиеся готовые формы конструкции антитела согласно изобретению, которые можно использовать как фармацевтические композиции, как описано в заявке на международный патент WO 06138181A2 (PCT/US2006/022599). Доступны различные описания для стабилизации белков и составляющих материалов, а также способов, применяемых в связи с этим, например, Arakawa et al., "Solvent interactions in pharmaceutical formulations", *Pharm Res.* 8(3): 285-91 (1991); Kendrick et al., "Physical stabilization of proteins in aqueous solution" in: RATIONAL DESIGN OF STABLE PROTEIN FORMULATIONS: THEORY AND PRACTICE, Carpenter and Manning, eds. *Pharmaceutical Biotechnology*. 13: 61-84 (2002), и Randolph et al., "Surfactant-protein interactions", *Pharm Biotechnol.* 13: 159-75 (2002), в частности, смотрите части, относящиеся к вспомогательным веществам и связанным с ними процессам для самобуферизующихся готовых белковых форм в соответствии с данным изобретением, в особенности к белковым фармацевтическим продуктам и процессам для применений в ветеринарии и/или медицине человека.

В соответствии с некоторыми вариантами реализации изобретения можно использовать соли, например, для корректировки ионной силы и/или изотоничности готовой формы, и/или для улучшения растворимости и/или физической стабильности белка или другого ингредиента композиции в соответствии с изобретением. Как хорошо известно, ионы могут стабилизировать нативное состояние белков посредством связывания с заряженными остатками на поверхности белка и путем экранирования заряженных и полярных групп в белке и уменьшения силы их электростатических взаимодействий, взаимодействий притяжения и отталкивания. Ионы также могут стабилизировать денатурированное состояние белка посредством связывания, в частности, с денатурированными пептидными связями (--CONH) белка. Кроме того, ионное взаимодействие с заряженными и полярными группами в белке может уменьшать межмолекулярные электростатические взаимодействия и, таким образом, предотвращать или снижать агрегацию и нерастворимость белка.

Ионные молекулы существенно отличаются по своему воздействию на белки. Было разработано большое количество категоричных классификаций ионов и их воздействия на белки, которые можно использовать при приготовлении фармацевтических композиций в соответствии с изобретением. Одним из примеров является ряд Гофмейстера, в котором ионные и полярные неионные растворенные вещества упорядочены в соответствии с их воздействием на конформационную стабильность белков в растворе. Стабилизирующие растворенные вещества называются "космотропными". Дестабилизирующие растворенные вещества называются "хаотропными". Космотропы обычно используются в высоких концентрациях (например, >1-молярный сульфат аммония) для осаждения белков из раствора ("высаливание"). Хаотропы обычно используются для денатурации и/или солюбилизации белков ("всаливание"). Относительная эффективность ионов в отношении "всаливания" и "высаливания" определяет их позицию в ряде Гофмейстера.

Свободные аминокислоты можно использовать в готовых формах конструкции антитела согласно изобретению в соответствии с различными вариантами реализации изобретения в качестве объемобразующих агентов, стабилизаторов и антиоксидантов, а также для других стандартных применений. Лизин, пролин, серин и аланин можно использовать для стабилизации белков в готовой форме. Глицин применяют при лиофилизации, чтобы гарантировать правильную структуру и свойства лепешки. Аргинин можно применять для ингибирования агрегации белка, как в жидких, так и в лиофилизированных готовых формах. Метионин применяют в качестве антиоксиданта.

Полиолы включают сахара, например, маннит, сахарозу и сорбит, а также многоатомные спирты, такие как, например, глицерин и пропиленгликоль, и, в целях обсуждения в данном документе, полиэтиленгликоль (ПЭГ) и родственные вещества. Полиолы являются космотропными. Они являются полезными стабилизирующими агентами как в жидких, так и в лиофилизированных готовых формах для защиты белков от процессов физической и химической деградации. Полиолы также применяют для корректировки тоничности готовых форм. Среди полиолов, применяемых в выбранных вариантах реализации изобретения, находится маннит, обычно используемый для гарантии структурной стабильности лепешки в лиофилизированных готовых формах. Он гарантирует структурную стабильность лепешки. В общем случае его используют с лиопротектором, например, сахарозой. Сорбит и сахароза находятся среди предпочтительных агентов для корректировки тоничности и применения в качестве стабилизаторов для защиты от стрессов при замораживании-размораживании во время перевозки или приготовления нерасфасованных форм во время процесса производства. Редуцирующие сахара (которые содержат свободные альдегидные или кетоновые группы), такие как глюкоза или лактоза, могут гликировать поверхностные

остатки лизина и аргинина. Следовательно, в общем случае они не находятся среди предпочтительных полиолов для применения в соответствии с этим изобретением. Кроме того, сахара, которые образуют реактивные молекулы, такие как сахароза, которая гидролизуеться до фруктозы и глюкозы в кислых условиях и впоследствии приводит к гликированию, в связи с этим также не находятся среди предпочтительных полиолов согласно изобретению. ПЭГ применяют для стабилизации белков и в качестве криопротектора, и в связи с этим его можно применять в данном изобретении.

Варианты реализации конструкции антитела согласно изобретению дополнительно включают поверхностно-активные вещества. Белковые молекулы могут быть восприимчивы к адсорбции на поверхности и денатурации и последующей агрегации на поверхностях раздела воздух-жидкость, твердое вещество-жидкость и жидкость-жидкость. Эти эффекты в общем случае обратно пропорциональны концентрации белка и, как правило, усугубляются физическим взбалтыванием, таким как возникает во время перевозки и работы с продуктом. Поверхностно-активные вещества обычно используют для предотвращения, минимизации или снижения поверхностной адсорбции. В этой связи применимые поверхностно-активные вещества согласно изобретению включают полисорбат 20, полисорбат 80, другие сложные эфиры жирных кислот полиэтоксилатов сорбитана и полоксамер 188. Поверхностно-активные вещества также обычно используют, чтобы регулировать конформационную стабильность белка. Применение поверхностно-активных веществ в этой связи является белок-специфическим, так как любое заданное поверхностно-активное вещество будет стабилизировать одни белки и дестабилизировать другие.

Полисорбаты чувствительны к окислительной деградации и часто в том виде, в котором они поставляются, содержат достаточные количества пероксидов, чтобы вызывать окисление боковых цепей белковых остатков, в особенности метионина. Следовательно, полисорбаты нужно использовать осторожно, а при использовании их следует применять в самой низкой эффективной концентрации. В этой связи полисорбаты являются примером общего правила, что вспомогательные вещества следует применять в самой низкой эффективной концентрации.

Варианты реализации готовых форм конструкции антитела согласно изобретению дополнительно включают применение одного или более антиоксидантов. Вредное окисление белков в фармацевтических готовых формах можно в некоторой степени предотвратить, поддерживая надлежащие внешние уровни кислорода и температуры и избегая воздействия света. Также можно использовать вспомогательные вещества антиокислительного действия для предотвращения окислительной деградации белков. Среди применимых в этой связи антиоксидантов находятся восстановительные агенты, ловушки для кислорода/свободных радикалов и хелатирующие агенты. Антиоксиданты для применения в терапевтических белковых готовых формах в соответствии с изобретением предпочтительно растворимы в воде и сохраняют свою активность в продолжение срока годности продукта. ЭДТК является предпочтительным в этой связи антиоксидантом в соответствии с изобретением. Антиоксиданты могут повреждать белки. Например, восстановительные агенты, такие как, в частности, глутатион, могут разрушать внутримолекулярные дисульфидные связи. Таким образом, антиоксиданты для применения в изобретении выбирают так, чтобы, помимо прочего, устранить или существенно снизить возможность повреждения ими белков в готовой форме.

Готовые формы в соответствии с изобретением могут содержать ионы металлов, которые являются кофакторами белков и необходимы для образования координационных комплексов белков, например, как цинк, необходимый для образования некоторых суспензий инсулина. Ионы металлов также могут ингибировать некоторые процессы, которые разрушают белки. Однако ионы металлов также могут катализировать физические и химические процессы, которые разрушают белки. Ионы магния (10-120 мМ) можно использовать для ингибирования изомеризации аспарагиновой кислоты до изоаспарагиновой кислоты. Ионы Ca^{+2} (до 100 мМ) могут повышать стабильность человеческой дезоксирибонуклеазы. Однако Mg^{+2} , Mn^{+2} и Zn^{+2} могут дестабилизировать рекомбинантную человеческую ДНКазу. Аналогично, Ca^{+2} и Sr^{+2} могут стабилизировать фактор VIII, при этом он может дестабилизироваться Mg^{+2} , Mn^{+2} и Zn^{+2} , Cu^{+2} и Fe^{+2} , а его агрегация может повышаться ионами Al^{+3} .

Варианты реализации готовых форм конструкции антитела согласно изобретению дополнительно включают применение одного или более консервантов. Консерванты необходимы при разработке многодозовых парентеральных готовых форм, которые предполагают более одного набора из одного и того же контейнера. Их основной функцией является ингибирование роста микроорганизмов и гарантия стерильности продукта на протяжении срока годности или срока применения лекарственного продукта. Обычно используемые консерванты включают бензиловый спирт, фенол и м-крезол. Хотя консерванты давно применяют с низкомолекулярными парентеральными средствами, разработка белковых готовых форм, которые содержат консерванты, может оказаться проблематичной. Консерванты почти всегда оказывают дестабилизирующее действие (агрегация) на белки, и это стало основным фактором в ограничении их применения в многодозовых белковых готовых формах. На данный момент большинство белковых лекарственных препаратов готовят исключительно для одного применения. При этом, в случае возможности многодозовых готовых форм, они имеют дополнительное преимущество обеспечения удобства для пациента и повышения конкурентоспособности на рынке. Хороший пример связан с человеческим гор-

моном роста (hGH), когда разработка содержащих консерванты готовых форм привела к коммерческой реализации более удобных, многоразовых шприцов-ручек. На сегодня по меньшей мере четыре таких устройства-ручки, содержащих готовые формы hGH с консервантами, доступны на рынке. Нордитропин (жидкий, Novo Nordisk), нутропин AQ (жидкий, Genentech) и генотропин (лиофилизированный, с двухкамерным картриджем, Pharmacia & Upjohn) содержат фенол, тогда как соматроп (Eli Lilly) приготовлен с м-крезолом. При приготовлении и разработке содержащих консерванты дозированных форм необходимо учитывать несколько аспектов. Эффективная концентрация консерванта в лекарственном продукте должна быть оптимизирована. Это требует тестирования данного консерванта в дозированной форме в концентрационном диапазоне, который обеспечивает противомикробную эффективность, не нарушая стабильность белка.

Как можно ожидать, разработка жидких готовых форм, содержащих консерванты, является более сложной, чем в случае лиофилизированных готовых форм. Высушенные сублимацией продукты можно лиофилизировать без консерванта и восстанавливать с помощью содержащего консервант разбавителя во время использования. Это уменьшает время, в течение которого консервант находится в контакте с белком, что существенно минимизирует связанный с ним риск в отношении стабильности. В случае жидких готовых форм эффективность и стабильность консерванта должна сохраняться в продолжении всего срока годности продукта (от около 18 до 24 месяцев). Важным моментом, который стоит отметить, является то, что эффективность консерванта должна проявляться в конечной готовой форме, содержащей активный лекарственный препарат и все вспомогательные компоненты.

Описанные в данном документе конструкции антители также можно готовить в виде иммунолипосом. "Липосома" представляет собой маленькую везикулу, состоящую из различного типа липидов, фосфолипидов и/или поверхностно-активного вещества, которую используют для доставки лекарственного препарата в организм млекопитающих. Компоненты липосомы обычно имеют бислоевое упорядочение, аналогично липидному упорядочению биологических мембран. Липосомы, содержащие конструкцию антитела, готовят известными в данной области техники способами, такими как описанные в Epstein et al., Proc. Natl. Acad. Sci. USA, 82: 3688 (1985); Hwang et al., Proc. Natl. Acad. Sci. USA, 77: 4030 (1980); патентах США № 4485045 и 4544545; и WO 97/38731. Липосомы с увеличенным временем нахождения в циркуляции описаны в патенте США № 5013556. В особенности применимые липосомы можно создавать методом обращенно-фазового выпаривания с липидной композицией, содержащей фосфатидилхолин, холестерин и ПЭГ-derivатизированный фосфатидилэтаноламин (ПЭГ-ФЭ). Липосомы пропускают через фильтры с определенным размером пор для получения липосом с необходимым диаметром. Фрагменты Fab' конструкции антитела согласно данному изобретению можно конъюгировать к липосомам, как описано в Martin et al. J. Biol. Chem. 257: 286-288 (1982), посредством реакции дисульфидного обмена. В липосоме необязательно содержится химиотерапевтический агент. Смотрите Gabizon et al. J. National Cancer Inst. 81 (19) 1484 (1989).

После приготовления фармацевтической композиции ее можно хранить в стерильных флаконах в виде раствора, суспензии, геля, эмульсии, твердого вещества, кристалла или в виде обезвоженного или лиофилизованного порошка. Такие готовые формы можно хранить в готовой для применения форме или в форме (например, лиофилизованной), которую восстанавливают перед введением.

Биологическую активность определенной в данном документе фармацевтической композиции можно определить, например, с помощью анализа цитотоксичности, как описано в нижеприведенных примерах, в WO 99/54440 или в Schlereth et al. (Cancer Immunol. Immunother. 20 (2005), 1-12). В контексте данного документа "эффективность" или "in vivo эффективность" относится к ответу на терапию фармацевтической композицией согласно изобретению, оцениваемому по стандартизированным критериям ответа NCI (Национального института рака). Успех или in vivo эффективность терапии с применением фармацевтической композиции согласно изобретению относится к эффективности композиции в отношении ее предполагаемой цели, т.е. способности композиции оказывать желаемое действие, т.е. уничтожение патологических клеток, например, опухолевых клеток. In vivo эффективность можно отслеживать с помощью общепринятых стандартных методов для соответствующих нозологических форм, включая, но не ограничиваясь этим, число белых кровяных телец, лейкоцитарную формулу, сортировку флуоресцентно-активированных клеток, аспирацию костного мозга. Кроме того, можно использовать различные специфические для заболевания клинические химические параметры и другие общепринятые стандартные методы. Кроме того, можно использовать компьютерную томографию, рентгеновское исследование, ядерную магнитно-резонансную томографию (например, для оценки ответа на основании критериев Национального института рака [Cheson BD, Horning SJ, Coiffier B, Shipp MA, Fisher RI, Connors JM, Lister TA, Vose J, Grillo-Lopez A, Hagenbeek A, Cabanillas F, Klippensten D, Hiddemann W, Castellino R, Harris NL, Armitage JO, Carter W, Hoppe R, Canellios GP. Доклад на международном семинаре по стандартизированным критериям ответа для неходжкинских лимфом. NCI Sponsored International Working Group. J Clin Oncol. 1999 Apr; 17(4):1244]), сканирование методом позитронно-эмиссионной томографии, число белых кровяных телец, лейкоцитарную формулу, сортировку флуоресцентно-активированных клеток, аспирацию костного мозга, биопсию/гистологию лимфатических узлов и различные специфические в отношении лимфомы клинические химические параметры (например, уровень лактат дегидрогеназы) и другие

общепринятые стандартные методы.

Другой основной задачей при разработке лекарственных препаратов, таких как фармацевтическая композиция согласно изобретению, является прогнозируемая модуляция фармакокинетических свойств. С этой целью можно устанавливать фармакокинетический профиль кандидатного лекарственного препарата, т.е. профиль фармакокинетических параметров, которые влияют на способность конкретного лекарственного препарата лечить заданное патологическое состояние. Фармакокинетические параметры лекарственного препарата, влияющие на способность лекарственного препарата лечить определенную нозологическую форму, включают, но не ограничиваются этим: время полужизни, объем распределения, пресистемный метаболизм в печени и степень связывания сыворотки крови. На эффективность заданного лекарственного агента может влиять каждый из вышеупомянутых параметров. Подразумеваемой характеристикой конструкций антител согласно данному изобретению, предоставляемых со специфической модальностью FC, является то, что они влекут за собой, например, разницу в фармакокинетическом поведении. Нацеливающая конструкция антитела с продленным временем полужизни в соответствии с данным изобретением предпочтительно демонстрирует неожиданно возросшее время удержания *in vivo* по сравнению с "каноническими" не-HLE версиями указанной конструкции антитела.

"Время полужизни" означает время, за которое выводится 50% введенного лекарственного препарата посредством биологических процессов, например, метаболизма, экскреции и т.д. Под "пресистемным метаболизмом в печени" подразумевается подверженность лекарственного препарата метаболизму после первого контакта с печенью, т.е. во время первого прохождения через печень. "Объем распределения" означает степень удержания лекарственного препарата в различных компартментах организма, таких как, например, внутриклеточное и внеклеточное пространство, ткани или органы и т.д., и распределение лекарственного препарата в этих компартментах. "Степень связывания сыворотки крови" означает предрасположенность лекарственного препарата к взаимодействию и связыванию с белками сыворотки крови, такими как альбумин, что приводит к снижению или утрате биологической активности лекарственного препарата.

Фармакокинетические параметры также включают биодоступность, временной лаг (Tlag), Tmax, скорость всасывания, начало действия и/или Cmax для заданного количества вводимого лекарственного препарата. "Биодоступность" означает количество лекарственного препарата в кровяном компартменте. "Временной лаг" означает время запаздывания между введением лекарственного препарата и его выявлением и возможностью определения в крови или плазме. "Tmax" представляет собой время, через которое достигается максимальная концентрация лекарственного препарата в крови, а "Cmax" представляет максимальную концентрацию в крови, получаемую при применении данного лекарственного препарата. На время, необходимое для достижения концентрации лекарственного препарата в крови или ткани, которая требуется для биологического действия, влияют все параметры.

Фармакокинетические параметры биспецифических конструкций антител, демонстрирующих межвидовую специфичность, которые можно определить в доклинических исследованиях на животных для отличных от шимпанзе приматов, как указано выше, также приведены, например, в публикации Schlereth et al. (Cancer Immunol. Immunother. 20 (2005), 1-12).

В предпочтительном аспекте изобретения фармацевтическая композиция является стабильной по меньшей мере в течение четырех недель при около -20°C. Как очевидно из прилагающихся примеров, качество конструкции антитела согласно изобретению по сравнению с качеством соответствующих существующему уровню техники конструкций антител можно исследовать, используя разные системы. Понятно, что эти исследования согласуются с "ICH Harmonised Tripartite Guideline: Stability Testing of Biotechnological/Biological Products Q5C and Specifications: Test procedures and Acceptance Criteria for Biotech Biotechnological/Biological Products Q6B" и, следовательно, выбраны так, чтобы обеспечивать указывающий на стабильность профиль, который обеспечивает достоверность выявления изменений в идентичности, чистоте и эффективности продукта. Общепринято, что термин чистота является относительным термином. Вследствие действия гликозилирования, деамидирования или другой гетерогенности абсолютную чистоту биотехнологического/биологического продукта, как правило, следует оценивать более чем одним способом, а полученное значение чистоты зависит от способа. В целях испытания стабильности, исследования в отношении чистоты должны фокусироваться на способах определения продуктов деградации.

Для оценки качества фармацевтической композиции, содержащей конструкцию антитела согласно изобретению, можно проводить анализ, например, анализируя содержание растворимых агрегатов в растворе (ВМК, оцениваемые с помощью эксклюзионной хроматографии). Предпочтительно, чтобы стабильность в течение по меньшей мере четырех недель при около -20°C характеризовалась содержанием менее 1,5% ВМК, предпочтительно менее 1% ВМК.

Предпочтительная готовая форма конструкции антитела в виде фармацевтической композиции может, например, содержать компоненты готовой формы, описанные ниже.

Готовая форма: фосфат калия, L-аргинина гидрохлорид, дигидрат трегалозы, полисорбат 80 при pH 6,0.

Другие примеры оценки стабильности конструкции антитела согласно изобретению в форме фар-

мацевтической композиции приведены в прилагающихся примерах 4-12. В этих примерах варианты реализации конструкций антител согласно изобретению исследуют в отношении разных стрессовых условий в разных фармацевтических готовых формах, а результаты сравнивают с другими продлевающими время полужизни (HLE) форматами биспецифической конструкции антитела, вовлекающей Т-клетки, известными в данной области техники. В общем случае подразумевается, что конструкции антител, имеющие специфическую модальность FC, в соответствии с данным изобретением, как правило, являются более стабильными в широком ряде стрессовых условий, таких как температурный и световой стресс, по сравнению с конструкциями антител, имеющими разные HLE-форматы, и в отсутствие какого-либо HLE-формата (т.е. "каноническими" конструкциями антител). Указанная температурная стабильность может относиться как к пониженной (ниже комнатной температуры, включая замораживание), так и к повышенной (выше комнатной температуры, включая температуры до или выше температуры тела) температуре. Как понятно специалисту в данной области техники, такая улучшенная стабильность в отношении стресса, которого трудно избежать при клинической практической реализации, делает конструкцию антитела более безопасной, так как при клинической практической реализации возникает меньше продуктов деградации. Соответственно, указанная повышенная стабильность означает повышенную безопасность.

В одном варианте реализации предложена конструкция антитела согласно изобретению или конструкция антитела, полученная в соответствии со способом согласно изобретению, для применения в предотвращении, лечении или уменьшении интенсивности пролиферативного заболевания, опухолевого заболевания, вирусного заболевания или иммунологического нарушения.

Описанные в данном документе готовые формы применимы в качестве фармацевтических композиций в лечении, уменьшении интенсивности и/или предотвращении описанного в данном документе патологического состояния у нуждающегося в этом пациента. Термин "лечение" относится как к терапевтическому лечению, так и к профилактическим или превентивным мерам. Лечение включает применение или введение готовой формы в организм, выделенную ткань или клетку пациента, который имеет заболевание/нарушение, симптом заболевания/нарушения или предрасположенность к заболеванию/нарушению, с целью лечения, излечения, смягчения, облегчения, изменения, исправления, уменьшения интенсивности, улучшения или воздействия на заболевание, симптом заболевания или предрасположенность к заболеванию.

В контексте данного документа термин "уменьшение интенсивности" относится к любому улучшению состояния заболевания у пациента, имеющего опухоль или рак, или метастатический рак, указанные ниже в данном документе, посредством введения нуждающемуся в этом субъекту конструкции антитела в соответствии с изобретением. Такое улучшение также может проявляться как замедление или прекращение прогрессирования опухоли или рака, или метастатического рака пациента. В контексте данного документа термин "предотвращение" означает предупреждение появления или повторного появления пациента, имеющего опухоль или рак, или метастатический рак, указанные ниже в данном документе, посредством введения нуждающемуся в этом субъекту конструкции антитела в соответствии с изобретением.

Термин "заболевание" относится к любому патологическому состоянию, на которое лечение описанными в данном документе конструкцией антитела или фармацевтической композицией оказало бы благоприятное действие. Он включает хронические и острые нарушения или заболевания, включая те патологические состояния, которые являются причиной предрасположенности млекопитающего к рассматриваемому заболеванию.

"Новообразование" представляет собой аномальное разрастание ткани, обычно, но не всегда образующее массу. При образовании массы оно также называется "опухолью". Новообразования или опухоли могут быть доброкачественными, потенциально злокачественными (предраковыми) или злокачественными.

Злокачественные новообразования обычно называют раком. Они обычно инвазируют и разрушают окружающую ткань и могут образовывать метастазы, т.е. они распространяются в другие части, ткани или органы тела. Следовательно, термин "метастатический рак" включает метастазы в другие ткани или органы помимо тех, где находится исходная опухоль. Лимфомы и лейкозы являются лимфоидными новообразованиями. В целях данного изобретения они также включены в термины "опухоль" или "рак".

Термин "вирусное заболевание" описывает заболевания, которые возникают в результате вирусной инфекции у субъекта.

В контексте данного документа термин "иммунологическое нарушение" описывает, наряду с обычным определением этого термина, иммунологические нарушения, такие как аутоиммунные заболевания, гиперчувствительность, иммунодефицит.

В одном варианте реализации в изобретении предложен способ лечения или уменьшения интенсивности пролиферативного заболевания, опухолевого заболевания или иммунологического заболевания, включающий этап введения нуждающемуся в этом субъекту конструкции антитела согласно изобретению или конструкции, полученной в соответствии со способом согласно изобретению.

Термины "нуждающийся субъект" или "нуждающийся в лечении" включают тех, у кого уже есть

нарушение, а также тех, у кого необходимо предотвратить нарушение. Нуждающийся субъект или "пациент" включает людей или других млекопитающих субъектов, которые получают профилактическое или терапевтическое лечение.

Конструкция антитела согласно изобретению в общем случае сконструирована для конкретных путей и способов введения, для конкретных дозировок и частоты введения, для конкретных вариантов лечения конкретных заболеваний, с определенными диапазонами биодоступности и способности сохранения в организме, помимо прочего. Материалы композиции предпочтительно готовят в концентрациях, которые являются приемлемыми для данного участка введения.

Таким образом, готовые формы и композиции могут быть получены в соответствии с изобретением для доставки любым подходящим путем введения. В контексте данного изобретения пути введения включают, но не ограничиваются этим

местные пути (такие как накожный, ингаляционный, назальный, глазной, аурикулярный/ушной, вагинальный, мукозальный);

энтеральные пути (такие как пероральный, желудочно-кишечный, подъязычный, сублабиальный, буккальный, ректальный);

парентеральные пути (такие как внутривенный, внутриартериальный, внутрикостный, внутримышечный, внутримозговой, интрацеребровентрикулярный, эпидуральный, интрастекальный, подкожный, внутрибрюшинный, экстраамниотический, внутрисуставной, внутрисердечный, внутрикожный, внутриочаговый, внутриматочный, интравезикальный, интравитреальный, трансдермальный, интраназальный, трансмукозальный, интрасиновиальный, интралюминальный).

Фармацевтические композиции и конструкции антител согласно данному изобретению в особенности применимы для парентерального введения, например, подкожной или внутривенной доставки, например, путем инъекции, такой как болюсная инъекция, или путем инфузии, такой как непрерывная инфузия. Фармацевтические композиции можно вводить с помощью устройства медицинского назначения. Примеры устройств медицинского назначения для введения фармацевтических композиций описаны в патентах США № 4475196; 4439196; 4447224; 4447233; 4486194; 4487603; 4596556; 4790824; 4941880; 5064413; 5312335; 5312335; 5383851 и 5399163.

В частности, в данном изобретении предложено непрерывное введение подходящей композиции. В качестве неограничивающего примера непрерывное или по существу непрерывное, т.е. продолжительное введение можно реализовать с помощью небольшой насосной системы, носимой пациентом, для дозирования подачи терапевтического агента в организм пациента. Фармацевтическую композицию, содержащую конструкцию антитела согласно изобретению, можно вводить, используя указанные насосные системы. В общем случае такие насосные системы известны в данной области техники, а их работа обычно основана на периодической замене картриджей, содержащих предназначенный для инфузии терапевтический агент. Замена картриджа в такой насосной системе влечет за собой временное прерывание или какое-либо иное прерывание потока терапевтического агента в организм пациента. В таком случае фаза введения до замены картриджа и фаза введения после замены картриджа все равно рассматриваются в рамках значения фармацевтических средств и способов согласно изобретению, которые вместе составляют одно "непрерывное введение" такого терапевтического агента.

Продолжительное или непрерывное введение конструкций антител согласно изобретению может быть внутривенным или подкожным и осуществляться посредством устройства для доставки жидкости или небольшой насосной системы, включая механизм направления жидкости для направления жидкости из резервуара и приводной механизм для приведения в действие направляющего механизма. Насосные системы для подкожного введения могут содержать иглу или канюлю для прокалывания кожи пациента и доставки подходящей композиции в организм пациента. Указанные насосные системы могут быть напрямую прикреплены или присоединены к коже пациента независимо от вен, артерий и кровяных сосудов, обеспечивая, таким образом, прямой контакт между насосной системой и кожей пациента. Насосная система может быть присоединена к коже пациента в течение от 24 ч до нескольких суток. Насосная система может иметь небольшой размер с резервуаром для небольших объемов. В качестве неограничивающего примера объем резервуара для предназначенной для введения подходящей фармацевтической композиции может составлять от 0,1 до 50 мл.

Продолжительное введение также может осуществляться трансдермальным путем посредством пластыря, носимого на коже и заменяемого через определенные интервалы. Специалисту в данной области техники известны подходящие для этой цели системы на основе пластырей для доставки лекарственного препарата. Следует отметить, что трансдермальное введение в особенности подходит для непрерывного введения, так как замену первого израсходованного пластыря можно преимущественно осуществлять одновременно с размещением нового, второго пластыря, например, на поверхности кожи, непосредственно вблизи первого израсходованного пластыря и непосредственно перед удалением первого израсходованного пластыря. Не возникает проблем с прерыванием потока или прекращением действия питающей ячейки.

Если фармацевтическая композиция была лиофилизирована, лиофилизированный материал сначала восстанавливают в соответствующей жидкости перед введением. Лيوфилизированный материал можно

восстанавливать, например, в бактериостатической воде для инъекций (БВДИ), физиологическом солевом растворе, фосфатно-солевом буфере (ФСБ) или в том самом составе, в котором белок находился перед лиофилизацией.

Композиции согласно данному изобретению можно вводить субъекту в подходящей дозе, которую можно определить, например, с помощью исследований с повышением дозы путем введения возрастающих доз описанной в данном документе конструкции антитела согласно изобретению, демонстрирующей межвидовую специфичность, отличным от шимпанзе приматам, например, макакам. Как указано выше, описанную в данном документе конструкцию антитела согласно изобретению, демонстрирующую межвидовую специфичность, преимущественно можно использовать в идентичной форме в доклинических исследованиях на отличных от шимпанзе приматах и в качестве лекарственного препарата на людях. Режим дозирования определяется лечащим врачом и клиническими факторами. Как хорошо известно в области медицины, дозировки для любого пациента зависят от многих факторов, включая массу пациента, площадь поверхности тела, возраст, конкретное предназначенное для введения соединение, пол, время и путь введения, общее состояние здоровья и другие одновременно вводимые лекарственные препараты.

Термин "эффективная доза" или "эффективная дозировка" определяется как количество, достаточное для достижения или по меньшей мере частичного достижения желаемого эффекта. Термин "терапевтически эффективная доза" определяется как количество, достаточное для излечения или по меньшей мере частичного прерывания заболевания и его осложнений у пациента, который уже страдает от заболевания. Количества или дозы, эффективные для этого применения, зависят от предназначенного для лечения патологического состояния (показания), доставляемой конструкции антитела, терапевтического контекста и целей, тяжести заболевания, предыдущей терапии, клинической истории пациента и его ответа на терапевтический агент, пути введения, размера (массы тела, поверхности тела или размера органов) и/или состояния (возраста и общего состояния здоровья) пациента, и общего состояния собственной иммунной системы пациента. Надлежащую дозу можно корректировать в соответствии с решением лечащего врача так, чтобы ее можно было вводить пациенту за один раз или посредством серии введений и с целью получения оптимального терапевтического эффекта.

Типичная дозировка может находиться в диапазоне от около 0,1 мкг/кг до около 30 мг/кг или более, в зависимости от вышеупомянутых факторов. В конкретных вариантах реализации изобретения дозировка может находиться в диапазоне от 1,0 мкг/кг до около 20 мг/кг, оптимально от 10 мкг/кг до около 10 мг/кг или от 100 мкг/кг до около 5 мг/кг.

Терапевтически эффективное количество конструкции антитела согласно изобретению предпочтительно приводит к снижению тяжести симптомов заболевания, повышению частоты или длительности бессимптомных периодов или предотвращению нарушений или недееспособности вследствие поражения заболеванием. Для лечения опухолей, экспрессирующих антиген клеток-мишеней, терапевтически эффективное количество конструкции антитела согласно изобретению, например, конструкции антитела к антигену клетки-мишени/CD3, предпочтительно ингибирует рост клеток или рост опухоли по меньшей мере на около 20%, по меньшей мере на около 40%, по меньшей мере на около 50%, по меньшей мере на около 60%, по меньшей мере на около 70%, по меньшей мере на около 80% или по меньшей мере на около 90% по сравнению с не проходящими лечение пациентами. Способность соединения ингибировать рост опухоли можно оценить в животной модели, прогностической в отношении эффективности.

Фармацевтическую композицию можно вводить в виде единственного терапевтического средства или в комбинации с дополнительными вариантами терапии, такими как противораковая терапия, в случае необходимости, например, другими белковыми и небелковыми лекарственными препаратами. Эти лекарственные препараты можно вводить одновременно с композицией, содержащей определенную в данном документе конструкцию антитела согласно изобретению, или отдельно, до или после введения указанной конструкции антитела в определенные временные интервалы и в определенных дозах.

В контексте данного документа термин "эффективная и нетоксичная доза" относится к переносимой дозе конструкции антитела согласно изобретению, которая является достаточно высокой, чтобы приводить к уничтожению патологических клеток, элиминации опухоли, уменьшению размеров опухоли или стабилизации заболевания без или практически без основных токсических явлений. Такие эффективные и нетоксичные дозы можно определить, например, с помощью исследований с повышением дозы, описанных в данной области техники, и они должны быть ниже дозы, индуцирующей серьезные нежелательные побочные явления (дозолимитирующая токсичность, ДЛТ).

В контексте данного документа термин "токсичность" относится к токсическому действию лекарственного препарата, проявляемому в нежелательных явлениях или серьезных нежелательных явлениях. Эти побочные явления могут относиться к отсутствию переносимости лекарственного препарата в целом и/или отсутствию локальной переносимости после введения. Токсичность также может включать тератогенное или карциногенное действие, вызываемое лекарственным препаратом.

В контексте данного документа термин "безопасность", "in vivo безопасность" или "переносимость" определяет введение лекарственного препарата без индукции серьезных нежелательных явлений непосредственно после введения (локальная переносимость) и на протяжении более длительного периода применения лекарственного препарата. "Безопасность", "in vivo безопасность" или "переносимость"

можно оценивать, например, через регулярные интервалы во время лечения и в следующий за ним период. Измерения включают клиническую оценку, например, органные проявления, и исследование лабораторных аномалий. Можно проводить клиническую оценку и записывать/зашифровывать отклонения от нормальных результатов в соответствии со стандартами NCI-CTC и/или MedDRA. Органные проявления могут включать такие критерии, как аллергия/иммунология, кровь/костный мозг, сердечная аритмия, коагуляция и тому подобное, как описано, например, в общих терминологических критериях нежелательных явлений v3.0 (CTCAE). Лабораторные параметры, которые можно исследовать, включают, например, гематологию, клиническую химию, профиль коагуляции и анализ мочи, а также исследование других жидкостей организма, таких как сыворотка, плазма, лимфатическая или спинномозговая жидкость, ликвор и тому подобное. Таким образом, безопасность можно оценить, например, посредством физического осмотра, методов визуализации (т.е. ультразвукового исследования, рентгеновского исследования, КТ-сканов, магнито-резонансной томографии (МРТ), других измерений с помощью технических устройств (т.е. электрокардиограммы), показателей жизнедеятельности, путем измерения лабораторных параметров и записи нежелательных явлений. Например, нежелательные явления у отличных от шимпанзе приматов в применениях и способах согласно изобретению можно исследовать гистопатологическими и/или гистохимическими способами.

Вышеуказанные термины также перечислены, например, в Preclinical safety evaluation of biotechnology-derived Pharmaceuticals S6; ICH Harmonised Tripartite Guideline; ICH Steering Committee meeting on July 16, 1997.

И наконец, в изобретении предложен набор, содержащий конструкцию антитела согласно изобретению или полученную в соответствии со способом согласно изобретению, фармацевтическую композицию согласно изобретению, полинуклеотид согласно изобретению, вектор согласно изобретению и/или клетку-хозяина согласно изобретению.

В контексте данного изобретения термин "набор" означает два или более компонентов, один из которых соответствует конструкции антитела, фармацевтической композиции, вектору или клетке-хозяину согласно изобретению, упакованным вместе в контейнере, приемнике или каким-либо другим образом. Следовательно, набор может быть описан как набор продуктов и/или принадлежностей, достаточный для достижения определенной цели, который может поступать в продажу в виде отдельной единицы.

Набор может содержать один или более приемников (таких как флаконы, ампулы, контейнеры, шприцы, бутылки, пакеты) любой подходящей формы, размера и из любого материала (предпочтительно водонепроницаемого, например, пластика или стекла), содержащих конструкцию антитела или фармацевтическую композицию согласно данному изобретению в подходящей для введения дозировке (смотрите выше). Набор может дополнительно содержать указания по применению (например, в форме вкладыша или инструкции по применению), средства для введения конструкции антитела согласно данному изобретению, такие как шприц, насос, инфузионное устройство и тому подобное, средства для восстановления конструкции антитела согласно изобретению и/или средства для разведения конструкции антитела согласно изобретению.

В изобретении также предложены наборы для устройства для однократного введения. Набор согласно изобретению также может содержать первый приемник, содержащий высушенную/лиофилизированную конструкцию антитела, и второй приемник, содержащий водную готовую форму. В определенных вариантах реализации данного изобретения предложены наборы, содержащие однокамерные и многокамерные предварительно наполненные шприцы (например, шприцы с жидкостью или шприцы с лиофилизатом).

Следует отметить, что в контексте данного документа формы единственного числа включают множественное число, если иное четко не следует из контекста. Таким образом, например, ссылка на "реагент" включает один или более таких разных реагентов, а ссылка на "способ" включает ссылку на эквивалентные этапы и способы, известные специалистам в данной области техники, которые можно модифицировать или заменить на описанные в данном документе способы.

Если не указано иное, термин "по меньшей мере", предвещающий ряд элементов, следует понимать как относящийся к каждому элементу в ряде. Специалисты в данной области техники признают наличие или смогут определить, используя всего лишь рутинные эксперименты, многие эквиваленты конкретным вариантам реализации изобретения, описанным в данном документе. Подразумевается, что такие эквиваленты включены в данное изобретение.

В контексте данного документа термин "и/или" включает значение "и", "или" и "все или любая комбинация элементов, объединяемых указанным термином".

В контексте данного документа термин "около" или "приблизительно" означает в пределах 20%, предпочтительно в пределах 10% и более предпочтительно в пределах 5% заданной величины или диапазона. При этом он включает также конкретное число, например, около 20 включает 20.

Термины "меньше чем" или "больше чем" включают конкретное число. Например, меньше чем 20 означает меньше или равно. Аналогично, более чем или больше чем означает более или равно или больше или равно соответственно.

В тексте описания и в нижеприведенной формуле изобретения, если иное не следует из контекста,

слово "содержать" и его вариации, такие как "содержит" и "содержащий" следует понимать как подразумевающее включение указанного целого числа или этапа или группы целых чисел или этапов, но не исключение любого другого целого числа или этапа или группы целых чисел или этапов. В контексте данного документа термин "содержащий" можно заменить термином "вмещающий" или "включающий" или иногда термином "имеющий".

В контексте данного документа выражение "состоящий из" исключает любой элемент, этап или ингредиент, не указанный в заявляемом элементе. В контексте данного документа выражение "состоящий преимущественно из" не исключает материалы или этапы, которые не оказывают материального влияния на основные и новые характеристики заявляемого предмета.

В каждом случае любой из терминов "содержащий", "состоящий преимущественно из" и "состоящий из" можно заменить любым из оставшихся двух терминов.

Следует понимать, что данное изобретение не ограничено конкретными методологиями, протоколами, материалами, реагентами и веществами и т.д., описанными в данном документе, и, следовательно, может варьироваться. Употребляемая в данном документе терминология используется только в целях описания конкретных вариантов реализации, и не подразумевает ограничения данного изобретения, которое определяется исключительно формулой изобретения.

Все публикации и патенты, цитируемые в тексте этого описания (включая все патенты, патентные заявки, научные публикации, спецификации производителей, инструкции и т.д.), выше или ниже, в полном объеме включены в данный документ посредством ссылки. Ничто в данном документе не следует воспринимать как признание того, что данное изобретение не имеет права противопоставлять такое описание на основании более раннего изобретения. В тех случаях, когда включенный посредством ссылки материал противоречит или не согласуется с данным описанием, это описание имеет приоритет относительно любого такого материала.

Лучшее понимание данного изобретения и его преимуществ обеспечат следующие примеры, приведенные исключительно в иллюстративных целях. Подразумевается, что примеры не ограничивают объем данного изобретения каким-либо образом.

Пример 1. Индуцированная ViTE® экспрессия CD69 на Т-клетках в отсутствие клеток-мишеней.

Выделенные МКПК от здоровых человеческих доноров культивировали с возрастающими количествами биспецифических HLE-конструкций антител к CDH19/CD3 или MSLN/CD3 в течение 48 ч. Экспрессию маркера активации CD69 на Т-клетках определяли с помощью иммуоокрашивания и проточной цитометрии и антиген-специфических конъюгатов mAb.

Независимую от мишени активацию Т-клеток в контексте повышающей регуляции CD69 наблюдали для всех анти-CDH 19 конструкций, но наиболее выраженной она была для молекул гетеро-Fc и кросстел. Повышение регуляции CD69 анти-CDH19-scFc-конструкцией происходило при более высоких концентрациях, а амплитуда была немного ниже по сравнению с другими конструкциями на основе Fc.

В случае анти-MSLN конструкций практически не наблюдали независимую от мишени активацию Т-клеток для scFc-содержащей молекулы, тогда как конструкция гетеро-Fc индуцировала сильное повышение регуляции CD69 на клеточной поверхности Т-клеток в отсутствие клеток-мишеней.

Независимую от мишени активацию Т-клеток, индуцируемую конструкциями ViTE®, содержащими одноцепочечный Fc или гетеро-Fc слияние в С-конце, оценивали для следующих конструкций:

Конструкции ViTE® (серийные разведения: 0,1 пМ - 2 мкМ)

a. MSLN scFc; 1,14 мг/мл;

b. MSLN гетеро-Fc; 1,02 мг.

Эффекторные клетки - человеческие МКПК (3 донора; #065, #823, #836 (scFc) #401, #415, #433 (гетеро-Fc); #590, #595, 598, #605 (Х-тело)).

Время инкубации - 48 ч.

Определение экспрессии CD69 на Т-клетках CD4⁺ и CD8⁺ с помощью проточного цитометра и антиген-специфических конъюгатов mAb. Результаты смотрите на фиг. 2.

Независимую от мишени активацию Т-клеток, индуцируемую конструкциями антител ViTE®, содержащими одноцепочечный Fc, гетеро-Fc или слияние кросстела в С-конце, оценивали для следующих конструкций:

Конструкции антител ViTE® (серийные разведения: 0,1 пМ - 2 мкМ)

c. CDH19 scFc; 245,3 мкг/мл,

d. CDH-19 гетеро-Fc; 1 мг/мл,

e. CDH19 Х-тело; 6,3 мг/мл.

Эффекторные клетки - человеческие МКПК (от 3 до 4 доноров; #386, #392, #401 (scFc) #282, #284, #287 (гетеро-Fc)).

Время инкубации - 48 ч.

Определение экспрессии CD69 на Т-клетках CD4⁺ и CD8⁺ с помощью проточного цитометра и антиген-специфических конъюгатов mAb. Результаты смотрите на фиг. 3.

Независимую от мишени активацию Т-клеток в контексте повышающей регуляции CD69 наблюда-

ли для нескольких биспецифических конструкций, исследуемых в этих анализах. Повышающая регуляция CD69 в общем случае была более выражена для канонических конструкций антител ViTE®, молекул гетеро-Fc и кросстел по сравнению с соответствующими конструкциями scFc. Повышение регуляции CD69 конструкциями scFc происходило в общем случае при немного больших концентрациях, а амплитуда была немного ниже по сравнению с другими двумя конструкциями на основе Fc.

В случае анти-CDH19-scFc-конструкции не наблюдали независимую от мишени активацию Т-клеток, тогда как конструкции гетеро-Fc и X-тела индуцировали сильное повышение регуляции CD69 на клеточной поверхности Т-клеток в отсутствие клеток-мишеней.

Кроме того, не наблюдали независимое от мишени повышение регуляции CD69 в анализе с применением анти-CD33 и анти-Flt-3 конструкций. Из-за экспрессии мишени на клетках миелоидной линии дифференцировки эти клетки удаляли перед проведением анализа. Эти данные свидетельствуют о том, что взаимодействие Fc-областей биспецифических конструкций с FcγR-экспрессирующими клетками может отвечать за независимую от мишени индукцию CD69 на Т-клетках.

Сильное повышение регуляции CD69 на Т-клетках анти-CD70-scFc-конструкцией в отсутствие опухолевых клеточных линий происходит вследствие экспрессии CD70 на Т-клетках.

Материалы и методы.

1. CD19.

Независимая от мишени активация Т-клеток, индуцируемая конструкциями антител ViTE®, содержащими одноцепочечный Fc, для следующей конструкции:

1. Конструкция антитела ViTE® (серийные разведения: 1,3 пМ - 20 нМ).

1. CD19-scFc.

2. Эффекторные клетки - человеческие МКПК (3 донора).

3. Время инкубации - 48 ч.

4. Анализ методом проточной цитометрии экспрессии CD69 на Т-клетках CD4⁺ и CD8⁺ с применением PE-Су7-конъюгированного mAb, специфического в отношении CD69.

2. CD20.

Независимую от мишени активацию Т-клеток, индуцируемую конструкциями антител ViTE®, содержащими одноцепочечный Fc, гетеро-Fc или слияние кросстела в С-конце, оценивали для следующих конструкций:

1. Конструкции антител ViTE® (серийные разведения: 1,3 пМ - 20 нМ).

1. CD20-hetFc (гетеро-Fc).

2. CD20-scFc.

3. CD20-X-тело (кросстело CD20).

2. Эффекторные клетки - человеческие МКПК (3 донора).

3. Время инкубации - 48 ч.

4. Анализ методом проточной цитометрии экспрессии CD69 на Т-клетках CD4⁺ и CD8⁺ с применением PE-Су7-конъюгированного mAb, специфического в отношении CD69.

3. CD33.

Независимую от мишени активацию Т-клеток, индуцируемую конструкциями антител ViTE®, содержащими одноцепочечный Fc, гетеро-Fc или слияние кросстела в С-конце, оценивали для следующих конструкций:

1. Конструкции антител ViTE® (серийные разведения: 1,3 пМ - 20 нМ).

1. CD33-каноническое.

2. CD33-scFc.

3. CD33-hetFc.

4. CD33-X-тело.

2. Эффекторные клетки - человеческие МКПК (3 донора).

3. Время инкубации - 48 ч.

4. Анализ методом проточной цитометрии экспрессии CD69 на Т-клетках CD4⁺ и CD8⁺ с применением PE-Су7-конъюгированного mAb, специфического в отношении CD69.

4. CDH19.

Независимую от мишени активацию Т-клеток, индуцируемую конструкциями антител ViTE®, содержащими одноцепочечный Fc, гетеро-Fc или слияние кросстела в С-конце, оценивали для следующих конструкций:

1. Конструкции антител ViTE® (серийные разведения: 1,3 пМ - 20 нМ).

1. CDH19-scFc.

2. CDH19-hetFc.

3. CDH19-X-тело.

2. Эффекторные клетки - человеческие МКПК (3 донора).

3. Время инкубации - 48 ч.

4. Анализ методом проточной цитометрии экспрессии CD69 на Т-клетках CD4⁺ и CD8⁺ с приме-

нием PE-Cy7-конъюгированного mAb, специфического в отношении CD69.

5. MSLN.

Независимую от мишени активацию Т-клеток, индуцируемую конструкциями антител ViTE®, содержащими одноцепочечный Fc, гетеро-Fc или слияние кросстела в С-конце, оценивали для следующих конструкций:

1. Конструкции антител ViTE® (серийные разведения: 1,3 пМ - 20 нМ).

1. MSLN-scFc.

2. MSLN-hetFc.

3. MSLN-X-тело.

2. Эффекторные клетки - человеческие МКПК (3 донора).

3. Время инкубации - 48 ч.

4. Анализ методом проточной цитометрии экспрессии CD69 на Т-клетках CD4⁺ и CD8⁺ с применением PE-Cy7-конъюгированного mAb, специфического в отношении CD69.

6. EGFRvIII.

Независимую от мишени активацию Т-клеток, индуцируемую конструкциями антител ViTE®, содержащими одноцепочечный Fc или гетеро-Fc, оценивали для следующих конструкций:

1. Конструкции антител ViTE® (серийные разведения: 1,3 пМ - 20 нМ).

1. EGFRvIII-каноническое.

2. EGFRvIII-scFc.

3. EGFRvIII-hetFc.

2. Эффекторные клетки - человеческие МКПК (3 донора).

3. Время инкубации - 48 ч.

4. Анализ методом проточной цитометрии экспрессии CD69 на Т-клетках CD4⁺ и CD8⁺ с применением PE-Cy7-конъюгированного mAb, специфического в отношении CD69.

7. DLL3.

Независимую от мишени активацию Т-клеток, индуцируемую конструкциями антител ViTE®, содержащими одноцепочечный Fc или гетеро-Fc, оценивали для следующих конструкций:

1. Конструкции антител ViTE® (серийные разведения: 1,3 пМ - 20 нМ).

1. DLL3-каноническое.

2. DLL3-scFc.

3. DLL3-hetFc.

2. Эффекторные клетки - человеческие МКПК (3 донора).

3. Время инкубации - 48 ч.

4. Анализ методом проточной цитометрии экспрессии CD69 на Т-клетках CD4⁺ и CD8⁺ с применением PE-Cy7-конъюгированного mAb, специфического в отношении CD69.

8. CD70.

Независимую от мишени активацию Т-клеток, индуцируемую конструкциями антител ViTE®, содержащими одноцепочечный Fc, оценивали для следующей конструкции:

1. Конструкция антитела ViTE® (серийные разведения: 1,3 пМ - 20 нМ).

1. CD70-scFc.

2. Эффекторные клетки - человеческие МКПК (3 донора).

3. Время инкубации - 48 ч.

4. Анализ методом проточной цитометрии экспрессии CD69 на Т-клетках CD4⁺ и CD8⁺ с применением PE-Cy7-конъюгированного mAb, специфического в отношении CD69.

9. FLT3.

Независимую от мишени активацию Т-клеток, индуцируемую конструкциями антител ViTE®, содержащими одноцепочечный Fc, оценивали для следующей конструкции:

1. Конструкция антитела ViTE® (серийные разведения: 1,3 пМ - 20 нМ).

1. FLT3-scFc.

2. Эффекторные клетки - человеческие МКПК (3 донора; без клеток CD14⁺/CD33⁺).

3. Время инкубации - 48 ч.

4. Анализ методом проточной цитометрии экспрессии CD69 на Т-клетках CD4⁺ и CD8⁺ с применением PE-Cy7-конъюгированного mAb, специфического в отношении CD69.

Пример 2.

Очищенные конструкции антител ViTE® наносили на планшет Maxisorb в снижающейся концентрации (100 нМ, 1:4 разведение). После 3х промывок ФСБ-Т и блокирования ФСБ/3% (мас./об.) БСА (60 мин, 37°C) объединенную человеческую плазму инкубировали в течение 60 мин, при 80 об/мин при комнатной температуре. После 3х промывок добавляли мышинное моноклональное антитело, специфическое в отношении субъединицы А человеческого C1q (CC1q) (Thermo MA1-83963, 1:500) в течение 60 мин, при 80 об/мин при комнатной температуре, после описанных этапов промывки козье антимышиное Fc-ROX mAb (1:5000) инкубировали в течение 60 мин, при 80 об/мин при комнатной температуре. После

дополнительной промывки инкубировали ТМБ-субстрат и прекращали после колориметрической реакции путем добавления H_2SO_4 . Поглощение определяли на 450 нм.

Результат. Как изображено на фиг. 4, при высоких концентрациях конструкция ViTE® на основе гетеро-Fc (квадраты) демонстрировала более высокие сигналы связывания в отношении человеческого CC1q по сравнению с конструкцией ViTE® на основе одноцепочечного Fc (треугольники). В качестве отрицательного контроля использовали каноническое ViTE® (круги), которое не демонстрировало существенного связывания CC1q.

Пример 3. Фармакокинетика конструкций антител ViTE®, слитых с продлевающими время полужизни модальностями.

Различные связывающие мишень конструкции антител ViTE® сливали с четырьмя разными продлевающими время полужизни компонентами. Все разные HLE-варианты, доступные для конструкции антитела ViTE®, исследовали на яванских макаках в контексте фармакокинетических (ФК) исследований. Их последовательно назвали ViTE®-scFc, ViTE®-hetFc, ViTE®-HALB, ViTE®-X-тело, а также каноническое ViTE®, в соответствии с продлевающей время полужизни модальностью, присоединенной к связывающей мишень конструкции. Соответствующая номенклатура этих молекул кратко обобщена в табл. 4 ниже.

Таблица 4

Номенклатура соединений однодозовых конструкций антител ViTE®

синоним соединения	название исследуемого соединения
Соединение 1a	CD33-scFc
Соединение 1b	CD33-hetFc
Соединение 1c	CD33-HALB
Соединение 2a	MSLN-scFc
Соединение 2b	MSLN-hetFc
Соединение 2c	MSLN-HALB
Соединение 2d	MSLN-X-тело
Соединение 3a	CDH19-scFc
Соединение 3b	CDH19-hetFc
Соединение 3c	CDH19-HALB
Соединение 3d	CDH19-H6
Соединение 4a	CD20-scFc
Соединение 4b	CD20-hetFc
Соединение 5a	DLL3-scFc
Соединение 5b	DLL3-hetFc
Соединение 5c	DLL3-HALB
Соединение 6a	EGFRvIIIcc-scFc
Соединение 6b	EGFRvIIIcc-HALB
Соединение 7	FLT3-scFc
Соединение 8	CD70-scFc
Соединение 9	CD19cc-scFc

Конструкции антител ViTE®-HLE вводили в виде внутривенной болюсной инъекции (соединения 1b, 2a-d, 3a/b, 4a/b, 5a-5c, 7-9) и внутривенной инфузии (соединения 1a, 1c, 3c/d, 6a/b, каждое в виде 30-минутной инфузии). Конструкции антител ViTE® вводили в линейном, фармакокинетически релевантном диапазоне доз, составляющем от 3 мкг/кг до 6 мкг/кг, 12 мкг/кг и 15 мкг/кг, соответственно.

Для возможности сравнения приведенные сывороточные концентрации нормализованы относи-

тельно дозы и нормализованы относительно молекулярной массы (описываемой в нмолях).

В случае каждого из вышеприведенных соединений исследовали группу из по меньшей мере двух-трех животных. Собирали образцы крови и готовили сыворотку для определения сывороточных концентраций. Сывороточные уровни конструкций антител ViTE® определяли с помощью иммуноанализа. Анализ проводили путем захвата конструкции антитела ViTE® посредством ее целевого компонента, тогда как антитело, направленное против CD3-связывающей части конструкции, использовали для выявления. Профили сывороточная концентрация - время использовали для определения ФК-параметров.

Соответствующую конфигурацию исследования корректировали относительно характеристик конструкций антител ViTE®.

Продолжительность исследования составляла 1 неделю или 2 недели. Моменты сбора образцов крови могут немного варьироваться и приведены для обеих конфигураций в табл. 5 ниже.

Таблица 5

Время сбора образцов крови во время ФК-исследований. Время может варьироваться между одиночными исследованиями. Время, обозначенное звездочкой, является обязательным и общепринятым для всех исследований

время сбора образцов крови 1-недельная продолжительность исследования [ч]	время сбора образцов крови 2-недельная продолжительность [ч]
0,05/0,085*	0,05/0,085*
0,25	0,25
0,5	0,5
1	1
2	2
4*	4*
8	8
16	16
24*	24*
48*	48*
72*	72*
96	96
120	120
144	144
168*	168*
	216
	240
	264
	336*

Фармакокинетика шестнадцати конструкций антител ViTE®-HLE приведена в качестве примеров. Группа каждого из соединений представляет одну конструкцию антитела ViTE®, слитую с scFc-, hetFc-, HSA- (человеческим альбумином), или кросстело-Fc-формат. Для всех белков сывороточные уровни подлежали количественной оценке для всех моментов времени у всех животных после введения конструкции антитела ViTE®-HLE. ФК-профили демонстрируют двухфазное, экспоненциальное снижение после введения каждого отдельного исследуемого соединения (фиг. 5).

Фармакокинетические параметры определяли, используя стандартные методы некомпартментного анализа (НКА). Используя некомпартментный анализ, оценили следующие ФК-параметры: ППК_{беск.} (площадь под кривой сывороточная концентрация - время), Vss (объем распределения в стационарном состоянии), C_L (системное выведение) и терминальное t_{1/2} (терминальное время полужизни).

ФК-параметры для каждого исследуемого соединения обобщены в виде среднего по n=2 и n=3 соответственно в табл. 6 ниже.

Фармакокинетические параметры различных HLE-вариантов для разных связывающих мишень конструкций ViTE® у яванских макаков

исследуемое соединение	терминальное $t_{1/2}$ [ч]	ППК _{беск.} [нормализация к 15 мкг/кг] [ч*нг/мл]	Cl [мл/ч/кг]	V _{ss} [мл/кг]
Соединение 1a	167	9981	1,4	256
Соединение 1b	95	6159	2,4	235
Соединение 1c	47	4498	3,3	161
Соединение 2a	213	41173	0,4	89
Соединение 2b	116	18745	0,8	78
Соединение 2c	77	28928	1,0	65
Соединение 2d	77	9825	1,5	112
Соединение 3a	61	4109	3,7	129
Соединение 3b	59	4561	3,3	78
Соединение 3c	51	2769	6,8	299
Соединение 3d	3	510	30,0	653
Соединение 4a	97	7816	1,9	181
Соединение 4b	62	3606	4,2	292
Соединение 5a	234	30954	0,5	144
Соединение 5b	173	18299	0,8	166
Соединение 5c	142	26418	0,6	103
Соединение 6a	97	15854	1,0	103
Соединение 6b	48	77271	1,0	64
Соединение 7	64	1971	7,6	395
Соединение 8	122	17093	0,9	119
Соединение 9	210	6729	2,2	540

В целом, ППК_{беск.} для разных связывающих мишень ViTE®, слитых с -scFc, -hetFc, HSA- или модальностью кросстело-HLE, соответственно, находилась в диапазоне от 1971 ч*нг/мл до 77271 ч*нг/мл в зависимости от типа мишени ViTE®. Все проанализированные HLE-слияния достигали значений системного выведения от 0,4 до 7,6 мл/ч/кг. Соответствующий объем распределения находился в диапазоне от 64 до 540 мл/кг. Соединение 3d, каноническое, связывающее мишень соединения 3 ViTE® без продления времени полужизни включено в качестве стандарта. Конструкции антител ViTE® без продления времени полужизни демонстрируют быстрое выведение, низкую сывороточную представленность и, как следствие, короткое терминальное время полужизни. Сравнение терминального времени полужизни в зависимости от модальности обобщено в табл. 7.

Таблица 7

Сравнение терминального времени полужизни в зависимости от модальности в исследованиях на яванских макаках

модальность HLE	терминальное $t_{1/2}$ [ч]
Каноническое BiTE®	3
BiTE®-scFc	61-234
BiTE®-hetFc	48-173
BiTE®-hALB	47-142
BiTE®-кросстело	77

После исследования до четырех продлевающих время полужизни (HLE) компонентов для каждого нацеливающего BiTE®, становится понятно, что компонент -scFc демонстрирует повышение $t_{1/2}$ по сравнению с соответствующими другими продлевающими время полужизни компонентами после введения одной низкой дозы 6, 10, 12 и 15 мкг/кг (смотрите фиг. 6).

Пример 4.

В предварительно составленных лекарственных веществах, содержащих очищенные конструкции MSLN-hALB, MSLN-hFc и MSLN-scFc соответственно, проводили замену буфера посредством ультрафильтрации/диалитизации с применением мембран с номинальным отсечением по молекулярной массе (НОММ) 10 кДа. Конечную готовую форму получали путем добавления концентрированных исходных растворов. Полученные в результате готовые формы для каждой конструкции приведены в табл. 8. Концентрация целевого белка составляла 1,0 мг/мл. Приготовленные конструкции MSLN наливали до 1 мл во флаконы из стекла типа I, которые закрывали бутылкаучуковыми пробками и обжимали алюминиевыми колпачками. Наполненные флаконы инкубировали при 20, 5, 25 и 37°C. Один флакон с каждой версией подвергали пяти циклам замораживания и размораживания (З/Р). Целевая температура замораживания составляла 29°C. Целевая температура размораживания составляла 2°C. Скорость изменения составляла приблизительно 0,3 К/мин.

Подготовленные образцы оценивали видимые частицы в соответствии с методом, описанным Ph Eur 2.9.20. Число видимых частиц на флакон приведено в табл. 8. Число видимых (крупнее 125 мкм) белковых частиц было больше для конструкции MSLN-hFc по сравнению как с конструкцией MSLN-hALB, так и MSLN-scFc.

Таблица 8

Число видимых белковых частиц на флакон для подверженных и не подверженных стрессу (T0) образцов, содержащих разные конструкции BiTE® против мезотелина (MSLN) с продленным временем полужизни

Конструкция	hALB	hFc		scFc	
	K60RTrT	K60RTrT	G40MSuT	K60RTrT	G40MSuT
Число видимых (>125 мкм) белковых частиц на флакон					
T0	0	0	1	0	0
5 циклов З/Р	0	2	2	0	1
2н 5°C	0	2	2	0	0
2н 25°C	0	2	1	0	0
2н 37°C	0	2	2	0	0
4н -20°C	0	2	1	0	0
4н 5°C	0	1	2	0	0
4н 25°C	0	2	2	0	0
4н 37°C	0	2	2	0	0

Вышеописанные образцы также анализировали методом эксклюзионной ультравысокоэффективной хроматографии (ЭХ-УЭЖХ), чтобы количественно оценить процентное содержание высокомолекулярных компонентов (ВМК). ЭХ-УЭЖХ проводили на УЭЖХ-системе AcquityH-Class (Waters), используя 150 мм колонку Acquity UPLC BEH200 SEC (Waters). Температура колонки была установлена на 25°C. Разделение размерных вариантов обеспечивали применением изократического метода со скоростью по-

тока 0,4 мл/мин. Подвижная фаза состояла из 100 мМ фосфата натрия, 250 мМ NaCl при pH 6,8. Время анализа составляло в целом 6,0 мин. Образцы держали при 8°C в автодозаторе до проведения анализа. Инжектировали общее количество белка 3 мкг. Чтобы избежать загрязнения после каждого образца проводили промежуточную инъекцию 40% ацетонитрила. Выявление базировалось на флуоресцентной эмиссии (возбуждение на 280 нм, эмиссия на 325 нм). Интегрирование пиков проводили с помощью программного обеспечения Empower®. Относительная площадь под кривой ВМК представлена в табл. 9.

Конструкции на основе Fc демонстрировали более низкое содержание ВМК в варианте готовой формы G40MSuT, чем в K60RTrT, независимо от стрессовых условий. Стало очевидно, что конструкция MSLN-scFc содержала меньше ВМК, чем MSLN-hFc в обоих препаратах G40MSuT, а также K60RTrT. MSLN-scFc в своей предпочтительной готовой форме (G40MSuT) была менее предрасположена к образованию ВМК, чем MSLN-hALB, приготовленная в K60RTrT. В предыдущих экспериментах этот буфер демонстрировал улучшенный стабилизирующий потенциал для конструкций на основе hALB.

Таблица 9

Обобщенная информация по содержанию ВМК в подверженных и не подверженных стрессу (T0) препаратах MSLN hALB, hFc и -scFc, определенному с помощью ЭХ-УЭЖХ

Конструкция	hALB		hFc		scFc	
	K60RTrT	K60RTrT	G40MSuT	K60RTrT	G40MSuT	
%ВМК						
Готовая форма						
T0	1,8	6,7	3,3	2,5	1,3	
5 циклов Э/Р	2,0	7,2	4,1	3,0	1,5	
2н 5°C	н. и.	н. и.	н. и.	2,9	1,1	
2н 25°C	н. и.	6,6	2,7	2,4	0,5	
2н 37°C	2,6	6,3	2,1	2,7	0,3	
4н -20°C	5,9	8,7	1,6	6,6	0,3	
4н 5°C	2,0	8,2	2,8	3,6	0,6	
4н 25°C	2,2	6,8	2,6	2,7	0,4	
4н 37°C	3,5	7,6	1,9	4,3	0,3	

н.и. = не исследовано.

Распространенность химических модификаций после теплового стресса (инкубации при 37°C) отслеживали с помощью пептидного картирования. Образцы белка ферментативно расщепляли, а полученные в результате пептиды разделяли, используя обращенно-фазовую хроматографию. Элюат из колонки инжектировали непосредственно в источник ионов масс-спектрометра для идентификации и количественного определения пептидов.

Для достижения максимального покрытия проводили два отдельных ферментативных расщепления: одно трипсином, а одно химотрипсином. В каждом случае белки денатурировали гуанидиний хлоридом, а затем восстанавливали дитиотреитолом (ДТТ). После инкубации в ДТТ свободные цистеиновые остатки алкилировали путем добавления йодоуксусной кислоты. Затем для образцов проводили замену буфера на 50 мМ Трис, pH 7,8, для расщепления. Трипсин и химотрипсин добавляли в отдельные реакционные пробирки в соотношении 1:10 (образец:фермент) каждого. Расщепление образцов проводили в течение 30 мин при 37°C и гасили реакцию добавлением трифторуксусной кислоты.

5 мкг каждого продукта расщепления отдельно инжектировали в обращенно-фазовую колонку Zorbax SB-C18 (Agilent #859700-902), уравновешенную в 0,1% (об./об.) муравьиной кислоты (МК). Применяли 156-минутный градиент из до 90% ацетонитрила, содержащего 0,1% МК, для элюирования пептидов непосредственно в источник ионов для электрораспыления масс-спектрометра Q-Exactive Plus (Thermo Scientific). Данные получали в зависимом от данных режиме, используя метод топ-12, в котором за полным сканированием (разрешение 70 000; диапазон сканирования 200 2000 m/z) следует индуцируемая высокоэнергетическим соударением диссоциация (HCD) 12 наиболее распространенных ионов (разрешение 17 500).

Пептиды идентифицировали на основании точных масс- и tandemных масс-спектров, используя внутрिलाбораторное программное обеспечение. Результаты идентификации подтверждали вручную. Относительные количества модифицированных и немодифицированных пептидов рассчитывали на основании распространенности ионов, используя программное обеспечение Pinpoint (Thermo Scientific).

Процентное содержание химических модификаций определяющих комплементарность областей (CDR) и продлевающей время полужизни части (hALB или Fc), определенное в препаратах MSLN-hALB,

-hFc и -scFc, приведено в табл. 10. При сравнении аналогичных условий приготовления становится очевидно, что в целом химические модификации были наименее распространены в scFc-конструкциях.

Таблица 10

Обобщенная информация по химическим модификациям в подверженных и не подверженных стрессу (Т0) препаратах MSLN-hALB, -hFc и -scFc, определенным с помощью пептидного картирования

Конструкция	hALB	hFc		scFc	
Готовая форма	K60RTrT	K60RTrT	G40MSuT	K60RTrT	G40MSuT
%N101 деамидирования (CDR)					
Т0	0,1	0,2	0,2	0,2	0,2
2н 37°C	0,7	0,8	3,0	0,7	3,2
4н 37°C	1,3	н. и.	8,5	н. и.	6,4
%N162 деамидирования (CDR)					
Т0	3,0	1,7	1,9	2,3	2,5
2н 37°C	15,9	11,6	2,7	15,0	3,3
4н 37°C	26,8	н. и.	3,7	н. и.	4,1
%M279 окисления (CDR)					
Т0	0,6	1,4	1,6	0,6	1,0
2н 37°C	1,2	0,8	0,8	0,6	1,0
4н 37°C	0,9	н. и.	0,8	н. и.	0,6
%N348 деамидирования (CDR)					
Т0	0,5	3,2	3,3	0,5	0,9
2н 37°C	20,5	21,6	1,9	9,4	1,3
4н 37°C	22,8	н. и.	2,0	н. и.	2,9
%N351 деамидирования (CDR)					
Т0	0,2	2,9	2,6	0,5	1,0

2н 37°C	6,6	12,7	0,9	3,8	0,4
4н 37°C	8,7	н. и.	0,8	н. и.	0,8
№M530 окисления (Fc)					
T0	н. п.	3,9	4,1	2,6	3,2
2н 37°C	н. п.	9,0	3,1	4,0	4,3
4н 37°C	н. п.	н. и.	3,4	н. и.	3,5
№N603 деамидирования (Fc)					
T0	н. п.	1,3	1,9	1,3	1,4
2н 37°C	н. п.	7,9	4,6	7,0	5,6
4н 37°C	н. п.	н. и.	6,9	н. и.	8,1
№M706 окисления (Fc)					
T0	н. п.	3,2	3,6	1,5	2,1
2н 37°C	н. п.	6,0	2,8	2,1	2,5
4н 37°C	н. п.	н. и.	2,6	н. и.	2,0
№M587 окисления (hALB)					
T0	1,0	н. п.	н. п.	н. п.	н. п.
2н 37°C	2,2	н. п.	н. п.	н. п.	н. п.
4н 37°C	2,3	н. п.	н. п.	н. п.	н. п.
№M623 окисления (hALB)					
T0	1,9	н. п.	н. п.	н. п.	н. п.
2н 37°C	2,4	н. п.	н. п.	н. п.	н. п.
4н 37°C	3,0	н. п.	н. п.	н. п.	н. п.
№M798 окисления (hALB)					
T0	1,4	н. п.	н. п.	н. п.	н. п.
2н 37°C	3,3	н. п.	н. п.	н. п.	н. п.
4н 37°C	3,5	н. п.	н. п.	н. п.	н. п.
№M829 окисления (hALB)					
T0	8,9	н. п.	н. п.	н. п.	н. п.
2н 37°C	42,9	н. п.	н. п.	н. п.	н. п.
4н 37°C	44,1	н. п.	н. п.	н. п.	н. п.

н.п. = не применимо; н.и. = не исследовано.

Пример 5.

Конструкции MSLN-hALB, -hFc, -scFc, приготовленные так, как описано в примере 4, подвергали эксперименту со скачком pH. Концентрация исходных материалов составляла 1,0 мг/мл. В стеклянный флакон наливали объем 0,38 мл каждого стартового материала. После предварительного кондиционирования при 37°C растворы дополняли 20-кратным объемом фосфатно-солевого буфера (ФСБ), который состоял из 0,090 М фосфата калия, 0,480 М фосфата натрия (оба двухосновные), 0,052 М хлорида калия и 2,76 М NaCl. Дополненные образцы инкубировали при 37°C в течение двух недель. После инкубации их анализировали с помощью ЭХ-УЭЖХ, используя метод, описанный в примере 4, а процентное содержание ВМК приведено в табл. 11. При сравнении всех конструкций, приготовленных в K60RTrT, содержание ВМК возрастало в следующем порядке: hALB < scFc < hFc. Конструкция MSLN-scFc также демонстрировала более низкое содержание ВМК, чем MSLN-hFc при приготовлении в G40MSuT.

Таблица 11
Обобщенная информация по содержанию ВМК в подверженных стрессу (скачок pH+2н 37°C) препаратах MSLN-hALB, -hFc и -scFc, определенному с помощью ЭХ-УЭЖХ

Конструкция	hALB	hFc		scFc	
		K60RTrT	G40MSuT	K60RTrT	G40MSuT
Готовая форма					
%					
2н 37°C	1,5	8,3	7,1	5,4	5,1

Пример 6.

Конструкции MSLN-hALB, -hFc, -scFc, приготовленные так, как описано в примере 4, подвергали стрессу, вызываемому встряской. Концентрация исходных материалов составляла 1,0 мг/мл. Объем 0,5 мл каждого раствора фильтровали через соответствующий 0,22 мкм фильтр и наливали во флаконы из стекла 3сс. Флаконы помещали в пластиковую коробку, убедившись, что флаконы не смещаются внутри коробки во время встряски. Коробку помещали на орбитальный встряхиватель. Образцы встряхивали при 500 об/мин в течение 65 ч. Видимые частицы оценивали в соответствии с методом, описанным Ph Eur 2.9.20. Этот метод осуществляли подготовленные сотрудники. Число видимых частиц на флакон приведено в табл. 12. Видимые белковые частицы наблюдали только в препаратах MSLN-hFc.

Таблица 12

Конструкция	hALB		hFc		scFc	
	K60RTrT	G40MSuT	K60RTrT	G40MSuT	K60RTrT	G40MSuT
Готовая форма						
Число видимых (>125 мкм) белковых частиц на флакон						
65 ч, 500 об/мин	0	1	1	0	0	0

Вышеуказанные образцы также анализировали методом эксклюзионной ультравысокоэффективной хроматографии (ЭХ-УЭЖХ), чтобы количественно оценить процентное содержание высокомолекулярных компонентов (ВМК). Применяли тот же метод, который описан в примере 4. Содержание ВМК в образцах после встряски приведено в табл. 13. Образование ВМК было наиболее выражено для конструкции MSLN-hFc при сравнении препаратов K60RTrT. ВМК были больше распространены в случае конструкции MSLN-hFc, чем MSLN-scFc.

Таблица 13

Обобщенная информация по содержанию ВМК в подверженных стрессу (скачок pH+2н 37°C) препаратах MSLN-hALB, -hFc и -scFc, определенному с помощью ЭХ-УЭЖХ

Конструкция	hALB		hFc		scFc	
	K60RTrT	G40MSuT	K60RTrT	G40MSuT	K60RTrT	G40MSuT
Готовая форма						
%ВМК						
65 ч, 500 об/мин	1,8	5,8	2,4	1,8	0,3	

Пример 7.

Конструкции MSLN-hALB, -hFc, -scFc, приготовленные так, как описано в примере 4, подвергали воздействию видимого и УФА-света (фотостресс). Во всех препаратах общая концентрация белка составляла 1 мг/мл. Белковые растворы фильтровали через фильтр с размером пор 0,22 мкм и наливали в 0,5 мл флаконы из стекла типа I. Конструкции MSLN-hALB и -scFc подвергали двум разным испытаниям, включающим 0,2 Млк видимого света/25 Вт*ч/м² УФА-света и 1,2 Млк видимого света/173 Вт*ч/м² соответственно. Конструкцию MSLN-hFc подвергали двум разным испытаниям, включающим 0,2 Млк видимого света без УФА-света и 1,2 Млк видимого света/30 Вт*ч/м² УФА-света соответственно. Температуру в камере устанавливали на 25°C. После воздействия света образцы анализировали путем визуального осмотра (табл. 14), ЭХ-УЭЖХ (табл. 15) и пептидного картирования (табл. 16). Вышеуказанные методы осуществляли в соответствии с процедурами, описанными в примере 4. Хотя конструкции мишень MSLN-hALB и -scFc подвергали воздействию более высоких доз УФА-света, видимых белковых частиц не наблюдали, тогда как образцы MSLN-hFc демонстрировали по одной видимой белковой частице на флакон в обоих испытаниях, независимо от приготовления.

Таблица 14

Обобщенная информация по числу видимых белковых частиц на флакон в препаратах MSLN-hALB, -hFc и -scFc, определенному после воздействия света

Конструкция	hALB	hFc		scFc	
Готовая форма	K60RTrT	K60RTrT	G40MSuT	K60RTrT	G40MSuT
Число видимых (>125 мкм) белковых частиц на флакон					
T0	0	0	1	0	0
Испытание 1	0 ¹⁾	1 ²⁾	1 ²⁾	0 ¹⁾	0 ¹⁾
Испытание 2	0 ³⁾	1 ⁴⁾	1 ⁴⁾	0 ³⁾	0 ³⁾

¹⁾ 0,2 Млк видимого света/25 Вт*ч/м² УФА-света,

²⁾ 0,2 Млк видимого света без УФА-света,

³⁾ 1,2 Млк видимого света/173 Вт*ч/м²,

⁴⁾ 1,2 Млк видимого света/30 Вт*ч/м².

Количество ВМК возрастало в следующем порядке: MSLN-hALB < -scFc < -hFc, когда белок был приготовлен в K60RTrT. Количество ВМК могло быть снижено для конструкций на основе Fc при приготовлении в G40MSuT. При этом ВМК снова были менее выражены для конструкции MSLN-scFc. Оказалось, что конструкция мишень MSLN-hFc в особенности чувствительна к воздействию УФА-света.

Таблица 15

Обобщенная информация по содержанию ВМК в препаратах MSLN-hALB, -hFc и -scFc, определенному после воздействия света с помощью ЭХ-УЭЖХ

Конструкция	hALB	hFc		scFc	
Готовая форма	K60RTrT	K60RTrT	G40MSuT	K60RTrT	G40MSuT
%ВМК					
T0	1,8	6,7	3,3	2,5	1,3
Испытание 1	1,8 ¹⁾	6,3 ²⁾	2,5 ²⁾	2,1 ¹⁾	0,4 ¹⁾
Испытание 2	2,0 ³⁾	11,0 ⁴⁾	2,1 ⁴⁾	2,4 ³⁾	0,3 ³⁾

¹⁾ 0,2 Млк видимого света/25 Вт*ч/м² УФА-света,

²⁾ 0,2 Млк видимого света без УФА-света,

³⁾ 1,2 Млк видимого света/173 Вт*ч/м²,

⁴⁾ 1,2 Млк видимого света/30 Вт*ч/м².

Процентное содержание химических модификаций определяющих комплементарность областей (CDR) и продлевающей время полужизни части (hALB или Fc), определенное в препаратах MSLN-hALB, -hFc и -scFc, приведено в табл. 16. При сравнении аналогичных условий приготовления становится очевидно, что в целом химические модификации были наименее распространены в scFc-конструкциях.

Обобщенная информация по химическим модификациям в препаратах MSLN-hALB, -hFc и -scFc, определенным после воздействия света с помощью пептидного картирования

Конструкция	hALB	hFc		scFc	
Готовая форма	K60RTrT	K60RTrT	G40MSuT	K60RTrT	G40MSuT
№N101 деамидирования (CDR)					
T0	0,1	0,2	0,2	0,2	0,2
Испытание 1	0,2 ¹⁾	н. и.	0,3 ²⁾	н. и.	0,5 ¹⁾
Испытание 2	0,2 ³⁾	н. и.	0,6 ⁴⁾	н. и.	0,7 ³⁾
№N162 деамидирования (CDR)					
T0	3,0	1,7	1,9	2,3	2,5
Испытание 1	3,0 ¹⁾	н. и.	2,1 ²⁾	н. и.	2,7 ¹⁾
Испытание 2	3,6 ³⁾	н. и.	3,1 ⁴⁾	н. и.	2,8 ³⁾
№M279 окисления (CDR)					
T0	0,6	1,4	1,6	0,6	1,0
Испытание 1	0,8 ¹⁾	н. и.	2,6 ²⁾	н. и.	0,6 ¹⁾
Испытание 2	1,0 ³⁾	н. и.	6,3 ⁴⁾	н. и.	0,7 ³⁾
№N348 деамидирования (CDR)					
T0	0,5	3,2	3,3	0,5	0,9
Испытание 1	0,4 ¹⁾	н. и.	2,7 ²⁾	н. и.	0,2 ¹⁾
Испытание 2	0,9 ³⁾	н. и.	3,9 ⁴⁾	н. и.	0,2 ³⁾
№N351 деамидирования (CDR)					
T0	0,2	2,9	2,6	0,5	1,0
Испытание 1	0,4 ¹⁾	н. и.	2,0 ²⁾	н. и.	0,3 ¹⁾
Испытание 2	0,5 ³⁾	н. и.	2,6 ⁴⁾	н. и.	0,3 ³⁾
№M530 окисления (Fc)					
T0	н. п.	3,9	4,1	2,6	3,2
Испытание 1	н. п.	н. и.	7,6 ²⁾	н. и.	3,1 ¹⁾
Испытание 2	н. п.	н. и.	21,8 ⁴⁾	н. и.	4,1 ³⁾
№M706 окисления (Fc)					
T0	н. п.	3,2	3,6	1,5	2,1
Испытание 1	н. п.	н. и.	6,5 ²⁾	н. и.	1,8 ¹⁾
Испытание 2	н. п.	н. и.	17,8 ⁴⁾	н. и.	2,7 ³⁾
№M587 окисления (hALB)					
T0	1,0	н. п.	н. п.	н. п.	н. п.
Испытание 1	1,5	н. п.	н. п.	н. п.	н. п.
Испытание 2	2,4	н. п.	н. п.	н. п.	н. п.
№M623 окисления (hALB)					
T0	1,9	н. п.	н. п.	н. п.	н. п.
Испытание 1	4,0	н. п.	н. п.	н. п.	н. п.
Испытание 2	4,1	н. п.	н. п.	н. п.	н. п.
№M798 окисления (hALB)					
T0	1,4	н. п.	н. п.	н. п.	н. п.
Испытание 1	2,1	н. п.	н. п.	н. п.	н. п.
Испытание 2	3,1	н. п.	н. п.	н. п.	н. п.
№M829 окисления (hALB)					
T0	8,9	н. п.	н. п.	н. п.	н. п.
Испытание 1	31,0	н. п.	н. п.	н. п.	н. п.
Испытание 2	25,2	н. п.	н. п.	н. п.	н. п.

н.п. = не применимо; н.и. = не исследовано.

Пример 8.

Конструкцию MSLN-hALB готовили в K60RTrT, а конструкцию MSLN-scFc готовили в G40MSuT в соответствии с процедурой, описанной в примере 4. Общая концентрация белка составляла 0,05 мг/мл. Стеклянные (боросиликат, тип I, 13 мм 3сс флакон от West, арт. № 68000375) и полипропиленовые контейнеры для испытаний (2 мл с O-кольцом, например, от Sarstedt, арт. № 72.694.005) наполняли 500 мкл исследуемого раствора. Исследуемый раствор оставляли на пять минут в первом контейнере для испытаний. Затем отбирали 150 мкл аликвоту для анализа. Оставшийся исследуемый раствор (350 мкл) последовательно переносили из одного контейнера для испытаний в следующий (всего пять контейнеров). В каждом флаконе раствор оставляли на пять минут перед следующим переносом. На каждом этапе переноса использовали один и тот же наконечник для пипетки. Такое же испытание проводили, используя 30 мл поликарбонатные бутылки (Nalgene, PCS-000295 с крышкой, PP/20-415/ZTPE). В случае этого типа контейнера первый контейнер наполняли 5 мл. После отбора 150 мкл аликвоты оставшийся объем переносили из одного контейнера для испытаний в следующий (в соответствии с процедурой, описанной выше). Образцы, полученные из контейнера #1 и #5 анализировали с помощью ЭХ-УЭЖХ (методом, аналогичным описанному в примере 4). Дополнительно проводили выявление белка с помощью детектора с ФДМ (280 нм), чтобы определить концентрацию белков. Процентное восстановление белка из каждого контейнера для испытаний приведено в табл. 17. Было показано, что восстановление белка было более выражено для конструкции MSLN-scFc, чем для конструкции MSLN-hALB, независимо от типа контейнера.

Таблица 17

Восстановление белка из разных типов контейнеров для конструкций MSLN-hALB и -scFc, определенное с помощью ЭХ-УЭЖХ

Конструкция	hALB	scFc
Готовая форма	K60RTrT	G40MSuT
%Восстановления белка (от номинального)		
Стекло типа I	80,0	92,0
Полипропилен	87,0	97,3
Поликарбонат	87,0	96,0

Пример 9.

Конструкцию MSLN-hALB готовили в K60RTrT, а конструкцию MSLN-scFc готовили в K60RTrT и G40MSuT в соответствии с процедурой, описанной в примере 4. Общая концентрация белка составляла 1,0 мг/мл. 1950 мкл каждого исследуемого раствора дополняли 50 мкл 1000 м.д. кремниевого стандартного раствора (Specpure от AlfaAesar, Арт. № 38717), что приводило к получению 25 м.д. дополненного образца. Не дополненный исследуемый раствор служил в качестве контрольного образца. Дополненный исследуемый раствор с добавкой, а также контрольный образец наливали в 3сс флаконы из стекла типа I и инкубировали при 37°C в течение 24 ч. Все образцы анализировали с помощью ЭХ-УЭЖХ в соответствии с методом, описанным в примере 4, чтобы оценить количества ВМК (табл. 18). При приготовлении в K60RTrT, конструкции MSLN-hALB и -scFc демонстрировали аналогичное повышение числа ВМК после добавления кремния.

Таблица 18

Обобщенная информация по содержанию ВМК в препаратах MSLN-hALB и -scFc, определенному с помощью ЭХ-УЭЖХ после дополнения 25 м.д. кремния

Конструкция	hALB	scFc	
Готовая форма	K60RTrT	K60RTrT	G40MSuT
Δ %ВМК (по сравнению с не дополненным контролем)			
25 м. д. дополнение	1,0	1,0	0,2

Пример 10.

В предварительно составленных лекарственных веществах, содержащих очищенные конструкции CD33cc-hALB, CD33cc-hFc и CD33cc-scFc соответственно, проводили замену буфера посредством ультрафильтрации/диалитации с применением мембран с номинальным отсечением по молекулярной массе (НОММ) 10 кДа. Конечную готовую форму получали путем добавления концентрированных исходных растворов. Полученные в результате готовые формы для каждой конструкции приведены в табл. 19. Концентрация целевого белка составляла 1,0 мг/мл. Приготовленные конструкции CD33cc- наливали до 1 мл во флаконы из стекла типа I, которые закрывали бутылкаучуковыми пробками и обжимали алюминиевыми колпачками. Наполненные флаконы инкубировали при -20, 5, 25 и 37°C. Один флакон с каждой версией подвергали пяти циклам замораживания и размораживания (З/Р). Целевая температура за-

мораживания составляла -29°C . Целевая температура размораживания составляла 2°C . Скорость изменения составляла приблизительно $0,3\text{ K/мин}$. Вышеописанные образцы также анализировали методом эксклюзионной ультравысокоэффективной хроматографии (ЭХ-УЭЖХ), чтобы количественно оценить процентное содержание высокомолекулярных компонентов (ВМК). ЭХ-УЭЖХ проводили в соответствии с методом, описанным в примере 4. При приготовлении в K60RTrT количество ВМК в не подвергавшихся стрессу образцах возрастало в следующем порядке: $scFc < hALB < hFc$. Наименее выраженное повышение количества ВМК после стресса, связанного с замораживанием и размораживанием, наблюдали для scFc-конструкции. hFc-конструкция оказалась наиболее предрасположенной к образованию ВМК при 20°C . Содержание ВМК повышалось после четырех недель хранения при 5°C . Образование ВМК в этих условиях было более выраженным для конструкций на основе Fc, чем для конструкций на основе альбумина. В K60RTrT не наблюдали существенного повышения количества ВМК при повышенных температурах хранения (25 и 37°C). При приготовлении в G40MSuT все конструкции продемонстрировали сходное содержание ВМК в не подвергавшихся стрессу образцах. Повышение во время замораживания и размораживания больше отличалось в случае конструкций на основе Fc, если сравнивать с конструкциями на основе альбумина. В G40MSuT hFc-конструкция была наименее стабильной при хранении при 20°C . Значительное повышение количества ВМК при хранении в жидком виде наблюдали только для hALB-конструкции.

Таблица 19

Обобщенная информация по содержанию ВМК в подверженных и не подверженных стрессу (T0) препаратах CD33cc-hALB, -hFc и -scFc, определенному с помощью ЭХ-УЭЖХ

Конструкция	hALB		hFc		scFc	
	K60RTrT	G40MSuT	K60RTrT	G40MSuT	K60RTrT	G40MSuT
%ВМК						
Готовая форма						
T0	1,5	0,3	2,7	0,3	1,3	0,3
5 циклов З/Р	2,0	0,5	3,1	0,7	1,6	0,7
2н -20°C	н. и.	н. и.	н. и.	н. и.	1,5	0,5
2н 5°C	н. и.	н. и.	н. и.	н. и.	1,8	0,2
2н 25°C	1,7	0,6	2,3	0,2	1,3	0,2
2н 37°C	1,9	0,7	1,8	0,2	1,2	0,2
4н -20°C	1,6	0,4	4,2	1,5	1,7	0,9
4н 5°C	1,9	0,3	3,3	0,3	2,1	0,4
4н 25°C	1,4	0,6	2,2	0,2	1,4	0,4
4н 37°C	1,3	0,7	2,0	0,1	1,4	0,3

н.и. = не исследовано.

Распространенность химических модификаций после теплового стресса (инкубации при 37°C) отслеживали с помощью пептидного картирования в соответствии с методом, описанным в примере 4. Процентное содержание химических модификаций определяющих комплементарность областей (CDR), определенное в препаратах CD33cc-hALB, -hFc и -scFc, приведено в табл. 20. В целом, конструкции CD33cc-scFc демонстрировали наименьшее количество химических модификаций в CDR. Стало очевидным, что в особенности деамидирование в CDR было наименее выраженным для scFc-конструкции.

Таблица 20

Обобщенная информация по химическим модификациям в подверженных и не подверженных стрессу (Т0) препаратах CD33cc-hALB, -hFc и -scFc, определенным с помощью пептидного картирования

Конструкция	hALB		hFc		scFc	
	K60RTrT	G40MSuT	K60RTrT	G40MSuT	K60RTrT	G40MSuT
%M34 окисления (CDR)						
Т0	1,0	1,8	1,0	1,4	1,7	1,9
2н 37°C	0,9	1,3	0,9	1,1	1,0	1,7
4н 37°C	н. и.	н. и.	н. и.	1,6	н. и.	1,8
%D103 изомеризации (CDR)						
Т0	0,8	0,8	0,8	0,8	0,6	0,6
2н 37°C	4,0	4,6	4,5	4,4	5,8	7,3
4н 37°C	н. и.	н. и.	н. и.	8,0	н. и.	12,4
%M290 окисления (CDR)						
Т0	0,7	1,4	0,8	1	1,3	1,4
2н 37°C	0,7	1,0	0,8	0,8	0,8	1,3
4н 37°C	н. и.	н. и.	н. и.	1,2	н. и.	1,6
%N359 деамидирования (CDR)						
Т0	5,8	11,4	5,3	6,3	0,4	0,5
2н 37°C	19,3	5,8	11,2	2,8	7,0	0,9
4н 37°C	н. и.	н. и.	н. и.	2,9	н. и.	2,2
%N362 деамидирования (CDR)						
Т0	5,4	8,7	3,9	4,0	0,2	0,3
2н 37°C	13,5	3,6	6,7	1,2	3,1	0,3
4н 37°C	н. и.	н. и.	н. и.	1,4	н. и.	0,7

н.п. = не применимо; н.и. = не исследовано.

Пример 11.

Конструкции CD33cc-hALB, -hFc и -scFc, приготовленные так, как описано в примере 4, подвергли эксперименту со скачком pH. Концентрация исходных материалов составляла 1,0 мг/мл. В стеклянный флакон наливали объем 0,38 мл каждого стартового материала. После предварительного кондиционирования при 37°C растворы дополняли 20-кратным объемом фосфатно-солевого буфера (ФСБ), который состоял из 0,090 М фосфата калия, 0,480 М фосфата натрия (оба двухосновные), 0,052 М хлорида калия и 2,76 М NaCl. Дополненные образцы инкубировали при 37°C в течение двух недель. После инкубации их анализировали с помощью ЭХ-УЭЖХ, используя метод, описанный в примере 4, а процентное содержание ВМК приведено в табл. 21. Конструкции CD33cc-scFc демонстрировали наименьшее содержание ВМК после скачка pH по сравнению с конструкциями CD33cc-hALB и -hFc, независимо от приготовления.

Таблица 21

Обобщенная информация по содержанию ВМК в подверженных стрессу (скачок pH+2н 37°C) препаратах CD33cc-hALB, -hFc и -scFc, определенному с помощью ЭХ-УЭЖХ

Конструкция	hALB		hFc		scFc	
	K60RTrT	G40MSuT	K60RTrT	G40MSuT	K60RTrT	G40MSuT
%ВМК						
2н 37°C	1,7	4,8	1,6	1,8	1,1	1,5

Пример 12.

Конструкции CD33cc-hALB, -hFc и -scFc, приготовленные так, как описано в примере 4, подвергли стрессу, вызываемому встряской. Концентрация исходных материалов составляла 1,0 мг/мл. Объем 0,5 мл каждого раствора фильтровали через соответствующий 0,22 мкм фильтр и наливали в 3cc флаконы из стекла типа I. Флаконы помещали в пластиковую коробку, убедившись, что флаконы не смещаются внутри коробки во время встряски. Коробку помещали на орбитальный встряхиватель. Образцы встряхи-

вали при 500 об/мин в течение 65 ч. Образцы анализировали методом ЭХ-УЭЖХ, чтобы количественно оценить процентное содержание высокомолекулярных компонентов (ВМК). Применяли тот же метод, который описан в примере 4. Содержание ВМК в образцах после встряски приведено в табл. 22. Образование ВМК было наименее выражено для конструкции CD33cc-scFc в любой готовой форме.

Таблица 22

Обобщенная информация по содержанию ВМК в подверженных стрессу (скачок pH+2н 37°C) препаратах CD33cc-hALB, -hFc и -scFc, определенному с помощью ЭХ-УЭЖХ

Конструкция	hALB		hFc		scFc	
	K60RTrT	G40MSuT	K60RTrT	G40MSuT	K60RTrT	G40MSuT
Готовая форма						
%ВМК						
65 ч, 500 об/мин	2,1	0,8	2,3	0,4	1,3	0,2

Пример 13.

Конструкции CD33cc-hALB, -hFc и -scFc, приготовленные так, как описано в примере 4, подвергали воздействию видимого и УФА-света (фотостресс). Во всех препаратах общая концентрация белка составляла 1 мг/мл. Белковые растворы фильтровали через фильтр с размером пор 0,22 мкм и наливали в 0,5 мл флаконы из стекла типа I. Конструкции CD33cc-hALB и -scFc подвергали двум разным испытаниям, включающим 0,2 Млк видимого света/25 Вт*ч/м² УФА-света и 1,2 Млк видимого света/173 Вт*ч/м² соответственно. Конструкцию CD33cc-hFc подвергали двум разным испытаниям, включающим 0,2 Млк видимого света без УФА-света и 1,2 Млк видимого света/30 Вт*ч/м² УФА-света соответственно. Температуру в камере устанавливали на 25°C. После воздействия света образцы анализировали методом ЭХ-УЭЖХ (табл. 23) и пептидного картирования (табл. 24). Вышеуказанные методы осуществляли в соответствии с процедурами, описанными в примере 4. Несмотря на более высокую интенсивность УФА-света, применяемую к конструкции CD33cc-scFc, эта конструкция была стабильной против образования ВМК. В противоположность этому, конструкции CD33cc-hFc и CD33cc-hALB демонстрировали повышение количества ВМК после 2 условий испытаний.

Таблица 23

Обобщенная информация по содержанию ВМК в препаратах CD33cc-hALB, -hFc и -scFc, определенному после воздействия света с помощью ЭХ-УЭЖХ

Конструкция	hALB		hFc		scFc	
	K60RTrT	G40MSuT	K60RTrT	G40MSuT	K60RTrT	G40MSuT
Готовая форма						
%ВМК						
T0	1,5	0,3	2,7	0,3	1,3	0,3
Испытание 1	1,8 ¹	0,3 ¹	2,5 ²	0,3 ²	1,4 ¹	0,3 ¹⁾
Испытание 2	4,6 ³⁾	1,1 ³⁾	6,0 ⁴⁾	0,7 ⁴⁾	1,5 ³⁾	0,3 ³⁾

¹⁾ 0,2 Млк видимого света/25 Вт*ч/м² УФА-света,

²⁾ 0,2 Млк видимого света без УФА-света,

³⁾ 1,2 Млк видимого света/173 Вт*ч/м²,

⁴⁾ 1,2 Млк видимого света/30 Вт*ч/м².

В целом, химические модификации после воздействия света были наименее выражены для конструкции CD33cc-scFc. В особенности деамидирование CDR в большей степени проявлялось в конструкциях CD33cc-hALB и CD33cc-hFc. По сравнению с конструкциями на основе Fc было обнаружено, что конструкция CD33cc-scFc была менее предрасположена к химическим модификациям Fc-части, хотя scFc-конструкцию подвергали более высоким дозам УФА-света, чем hFc-конструкцию. В табл. 24 также перечислены наиболее распространенные химические модификации альбуминовой части в конструкции CD33cc-hALB, демонстрируя, что продлевающая время полужизни часть этой конструкции была более химически деградирована, чем Fc-части конструкции CD33cc-hFc и -scFc.

Обобщенная информация по химическим модификациям в препаратах CD33cc-hALB, -hFc и -scFc, определенным после воздействия света с помощью пептидного картирования

Конструкция	hALB		hFc		scFc	
	K60RTrT	G40MSuT	K60RTrT	G40MSuT	K60RTrT	G40MSuT
%M34 окисления (CDR)						
T0	1,0	1,8	1,0	1,4	1,7	1,9
Испытание 1	1,5 ¹⁾	н. и.	0,7 ²⁾	4,2 ²⁾	1,4 ¹⁾	1,2 ¹⁾
Испытание 2	1,7 ³⁾	н. и.	1,1 ⁴⁾	4,2 ⁴⁾	1,3 ³⁾	1,7 ³⁾
%D103 изомеризации (CDR)						
T0	0,8	0,8	0,8	0,8	0,6	0,6
Испытание 1	0,8 ¹⁾	н. и.	0,9 ²⁾	0,9 ²⁾	0,8 ¹⁾	1,0 ¹⁾
Испытание 2	1,1 ³⁾	н. и.	1,2 ⁴⁾	1,4 ⁴⁾	1,0 ³⁾	1,3 ³⁾
%M290 окисления (CDR)						
T0	0,7	1,4	0,8	1	1,3	1,4
Испытание 1	1,1 ¹⁾	н. и.	0,5 ²⁾	3,3 ²⁾	1,0 ¹⁾	0,9 ¹⁾
Испытание 2	1,4 ³⁾	н. и.	1,1 ⁴⁾	4,2 ⁴⁾	1,0 ³⁾	1,4 ³⁾
%N359 деамидирования (CDR)						
T0	5,8	11,4	5,3	6,3	0,4	0,5
Испытание 1	10,8 ¹⁾	н. и.	4,5 ²⁾	5,6 ²⁾	0,4 ¹⁾	0,2 ¹⁾
Испытание 2	12,4 ³⁾	н. и.	10,3 ⁴⁾	3,6 ⁴⁾	0,6 ³⁾	0,2 ³⁾
%N362 деамидирования (CDR)						
T0	5,4	8,7	3,9	4,0	0,2	0,3
Испытание 1	8,8 ¹⁾	н. и.	3,4 ²⁾	3,5 ²⁾	0,3 ¹⁾	0,3 ¹⁾
Испытание 2	9,8 ³⁾	н. и.	6,4 ⁴⁾	2,3 ⁴⁾	0,5 ³⁾	0,3 ³⁾
%D510 изомеризации (Fc)						
T0	н. п.	н. п.	0,4	0,4	0,5	0,4
Испытание 1	н. п.	н. п.	0,4 ²⁾	0,6 ²⁾	0,6 ¹⁾	0,5 ¹⁾
Испытание 2	н. п.	н. п.	0,7 ⁴⁾	0,7 ⁴⁾	0,7 ³⁾	0,7 ³⁾
%M541 окисления (Fc)						
T0	н. п.	н. п.	2,8	3	3,7	4,1
Испытание 1	н. п.	н. п.	5,0 ²⁾	0,7 ²⁾	3,8 ¹⁾	3,8 ¹⁾
Испытание 2	н. п.	н. п.	17,5 ⁴⁾	18,4 ⁴⁾	4,8 ³⁾	5,5 ³⁾
%N614 деамидирования (Fc)						
T0	н. п.	н. п.	1,2	1,2	1,6	1,5

Испытание 1	н. п.	н. п.	1,3 ²⁾	1,7 ²⁾	2,8 ¹⁾	2,2 ¹⁾
Испытание 2	н. п.	н. п.	6,1 ⁴⁾	1,9 ⁴⁾	1,9 ³⁾	2,3 ³⁾
%N673 деамидирования (Fc)						
T0	н. п.	н. п.	0,3	0,3	0,0	0,0
Испытание 1	н. п.	н. п.	0,5 ²⁾	0,6 ²⁾	0,5 ¹⁾	0,6 ¹⁾
Испытание 2	н. п.	н. п.	0,5 ⁴⁾	0,6 ⁴⁾	0,5 ³⁾	1,5 ³⁾
%M717 окисления (Fc)						
T0	н. п.	н. п.	2,1	2,4	2,5	2,8
Испытание 1	н. п.	н. п.	4,1 ²⁾	7,3 ²⁾	2,2 ¹⁾	2,3 ¹⁾
Испытание 2	н. п.	н. п.	13,7 ⁴⁾	13,5 ⁴⁾	2,8 ³⁾	3,8 ³⁾
%M598 окисления (hALB)						
T0	1,0	н. и.	н. п.	н. п.	н. п.	н. п.
Испытание 1	2,3 ¹⁾	н. и.	н. п.	н. п.	н. п.	н. п.
Испытание 2	6,4 ³⁾	н. и.	н. п.	н. п.	н. п.	н. п.
%M809 окисления (hALB)						
T0	1,8	н. и.	н. п.	н. п.	н. п.	н. п.
Испытание 1	3,5 ¹⁾	н. и.	н. п.	н. п.	н. п.	н. п.
Испытание 2	8,3 ³⁾	н. и.	н. п.	н. п.	н. п.	н. п.
%M840 окисления (hALB)						
T0	12,8	н. и.	н. п.	н. п.	н. п.	н. п.
Испытание 1	32,0 ¹⁾	н. и.	н. п.	н. п.	н. п.	н. п.
Испытание 2	61,7	н. и.	н. п.	н. п.	н. п.	н. п.
%K1036 гликирования (hALB)						
T0	10,1	н. и.	н. п.	н. п.	н. п.	н. п.
Испытание 1	10,2 ¹⁾	н. и.	н. п.	н. п.	н. п.	н. п.
Испытание 2	9,9 ³⁾	н. и.	н. п.	н. п.	н. п.	н. п.

¹⁾ 0,2 Млк видимого света/25 Вт*ч/м² УФА-света,

²⁾ 0,2 Млк видимого света без УФА-света,

³⁾ 1,2 Млк видимого света/173 Вт*ч/м²,

⁴⁾ 1,2 Млк видимого света/30 Вт*ч/м².

Пример 14.

Исследовали разные конструкции антител BiTE®, сконструированные для нацеливания на EGFRvIII включая EGFRvIII без продления времени полужизни (не-HLE, каноническую), EGFRvIII-hALB и EGFRvIII-scFc. Концентрация целевого белка составляла 1,0 мг/мл для hALB и scFc и 0,4 мг/мл для не-HLE версии. Приготовленные конструкции антител BiTE® наливали до 1 мл во флаконы из стекла типа I, которые закрывали бутылкаучуковыми пробками и обжимали алюминиевыми колпачками. Наполненные флаконы инкубировали при -20°C и 37°C (без и с 25 м.д. кремния, который известен своим потенциалом индуцировать агрегацию белков) в течение 4 недель. Вышеуказанные конструкции также подвергали воздействию света (1,2 Млк видимого света/173 Вт*ч/м² УФА-света). В случае стресса, вызванного светом, температуру в камере устанавливали на 25°C. Образцы, хранимые при -70°C, служили в качестве контроля (T0).

Вышеописанные образцы анализировали в дубликатах методом эксклюзионной ультравысокоэффективной хроматографии (ЭХ-УЭЖХ), чтобы количественно оценить процентное содержание высокомолекулярных компонентов (ВМК). ЭХ-УЭЖХ проводили на УЭЖХ-системе Aquity H-Class (Waters), используя 150 мм колонку Acquity UPLC BEH200 SEC (Waters). Температура колонки была установлена на 25°C. Разделение размерных вариантов обеспечивали применением изократического метода со скоростью потока 0,4 мл/мин. Подвижная фаза состояла из 100 мМ фосфата натрия, 250 мМ NaCl, pH 6,8. Время анализа составляло в целом 6,0 мин. Образцы держали при 8°C в автодозаторе до проведения анализа. Инжектировали общее количество белка 3 мкг. Чтобы избежать загрязнения после каждого образца проводили промежуточную инъекцию 40% АЦН. Выявление базировалось на флуоресценции (возбуждение на 280 нм, эмиссия на 325 нм). Интегрирование пиков проводили с помощью программного обеспечения Empower®. Представлена относительная площадь под кривой ВМК (табл. 25).

Среди не подверженных стрессу образцов ВМК были наименее выражены для scFc-конструкции. Образование ВМК наблюдали исключительно во время 4-недельного хранения при -20°C. Содержание ВМК в этих условиях возрастало в следующем порядке scFc < hALB < не-HLE.

Таблица 25

Обобщенная информация по содержанию ВМК в подверженных и не подверженных стрессу (Т0) препаратах EGFRvIII-non HLE, -hALB и -scFc, определенному с помощью ЭХ-УЭЖХ

Конструкция	He-HLE (каноническая)	hALB	scFc
Т0	1,3%	1,3%	1,0%
4н -20°C	4,6%	1,8%	1,6%
4н 37°C	0,9%	0,6%	0,5%
4н 37°C (25 м. д. кремния)	1,1%	0,8%	0,8%
Воздействие света	1,0%	0,9%	0,5%

В дополнение образцы после теплового стресса в отсутствие и присутствии кремния оценивали в отношении наличия невидимых невооруженным глазом частиц методом микрофлюидной визуализации (МФВ), используя Flowcam от Fluid Imaging Technologies, Inc. Прибор был оборудован проточной ячейкой FC80FV. Применяли десятикратное оптическое увеличение. Применимость системы подтверждали с помощью не содержащей частиц воды. Применяли скорость автоматического получения изображений 20 кадров в секунду. Теневое и световое пороговые значения были установлены на 25 и 20 пикселей соответственно. Общий объем образца для одного измерения составлял 0,25 мл. Измерения образцов проводили в трипликатах. Перед каждым трипликатом систему промывали 0,5 мл соответствующих растворов образцов. В начале и между каждым из трипликатов проводили промывку 1,0 мл не содержащей частиц воды. Оценку данных проводили с помощью программного обеспечения Visual Spreadsheet. Измерения образцов проводили в трипликатах. Результаты приведены в табл. 26.

Тепловой стресс приводил к образованию невидимых невооруженным глазом частиц в препаратах, содержащих конструкции не-HLE и hALB. scFc-конструкция, наоборот, оставалась стабильной. Добавление кремния не стимулировало образование невидимых невооруженным глазом частиц независимо от природы конструкции антитела ViTE®.

Таблица 26

Оценка невидимых невооруженным глазом частиц методом МФВ в препаратах EGFRvIII-не-HLE (каноническая), -hALB и -scFc после теплового стресса в отсутствие и присутствии кремния

Конструкция	He-HLE (каноническая)				hALB				scFc			
	≥ 2	≥ 5	≥ 10	≥ 25	≥ 2	≥ 5	≥ 10	≥ 25	≥ 2	≥ 5	≥ 10	≥ 25
Т0	146	35	12	0	281	71	35	0	298	150	33	0
4н 37°C	410	163	23	0	742	225	11	0	110	44	0	0
4н 37°C (25 м. д. кремния)	69	35	11	0	272	91	34	0	146	55	11	0

Образцы, которые подвергали тепловому стрессу, также анализировали методом слабой катионообменной (СКО) хроматографии, чтобы количественно оценить содержание зарядовых вариантов, используя UPLC Aquity H-класса от Waters. Применяли 4,6×100 мм колонку Protein-Pak Hi Res CM 7im (Waters, кат. № 186004929). Температуру колонки устанавливали на 30°C. Скорость потока устанавливали на 0,65 мл/мин. Применяемый градиент был спроектирован следующим образом (табл. 27). Температуру автодозатора поддерживали при 2-8°C.

Таблица 27

Градиент, применяемый для СКО хроматографии

Время [мин:с]	% А	% В
	20 мМ фосфата натрия, рН 6,5	20 мМ фосфата натрия, 250 мМ хлорида натрия, рН 6,5
00:00	100	0
4:00	100	0
25:00	50	50
25:01	0	100
29:00	0	100
29:01	100	0
33:00	100	0

Инжектировали общее количество белка 3 мкг. Выявление базировалось на флуоресценции (возбуждение на 280 нм, эмиссия на 325 нм). Интегрирование пиков проводили с помощью программного обеспечения Empower®. Относительные площади под кривыми основного пика, а также для кислых и основных зарядовых вариантов приведены в табл. 28.

Тепловой стресс приводил к снижению процентной доли, приходящейся на основной пик, что должно быть связано с преобладающим образованием кислых зарядовых вариантов. Уменьшение процентной доли, приходящейся на основной пик, было наименее выражено для scFc-конструкции (7,5%). Основные зарядовые варианты образовывались в обеих конструкциях с продлением времени полужизни после воздействия света. Повышение количества основных зарядовых вариантов находилось в диапазоне от 5 до 6% в конструкциях hALB и scFc.

Таблица 28

Оценка зарядовых вариантов методом СКО-хроматографии в препаратах EGFRvIII-не-HLE (каноническая), -hALB и -scFc после индуцированного теплом и светом стресса

Конструкция	Не-HLE (каноническая)			hALB			scFc		
	% основной	% кислых	% основных	% основной	% кислых	% основных	% основной	% кислых	% основных
T0	89,9	3,6	6,5	83,3	0,7	16,0	74,5	3,4	22,1
4н 37°C	79,3	11,1	9,5	75,6	9,8	14,6	67,0	11,2	21,8

В дополнение чистоту образцов оценивали в подвергнутых тепловому и световому стрессу образцах, используя анализ методом микрофлюидного капиллярного электрофореза в присутствии додецилсульфата натрия (КЭ-ДСН) на основе системы LabChip GXII (Perkin Elmer). Денатурирующий раствор для образцов состоял из буфера для образца HT Protein Express (поставляемого Perkin Elmer) с добавлением 34 мМ дитиотреитола. Каждый образец разводили 1:8 денатурирующим раствором и нагревали до 70°C в течение 10 мин вместе с лэддером protein express. В 40 мкл денатурированного образца добавляли 35 мкл воды для инъекций (ВДИ). В 12 мкл лэддера добавляли 120 мкл ВДИ. Образцы, лэддер, промыточный буфер protein express, гелевый краситель и обесцвечивающий раствор переносили в соответствующие резервуары. Образцы загружали электрокинетическим способом из микротитровального планшета на чип, объединяя разделение, окрашивание, обесцвечивание и выявления белка и его размерных вариантов. Оценивали полученные в результате электроферограммы и записывали изменения в чистоте. Общая информация по выраженной в процентах чистоте, зарегистрированной после стресса, приведена в табл. 29 и сравнена с не подвергнутыми стрессу образцами (T0).

Более высокую чистоту наблюдали для конструкций hALB и scFc по сравнению с конструкцией не-HLE во всех условиях. Небольшое снижение чистоты по сравнению с T0 было зарегистрировано для конструкций hALB и scFc после теплового и светового стресса. Снижение чистоты после 4-недельного хранения при 37°C составляло в общем 8,4% для конструкции hALB и 6,6% для конструкций scFc. Снижение после воздействия света было сравнимо для конструкций hALB и scFc.

Обобщенная информация по выраженной в процентах чистоте в подверженных и не подверженных стрессу (Т0) препаратах EGFRvIII-не-HLE, -hALB и -scFc, определенной с помощью LabChip GXII (Caliper)

Конструкция	He-HLE (каноническая)	hALB	scFc
Т0	57,4	96,0	92,2
4н 37°C	60,6	87,6	85,6
Воздействие света	61,5	90,1	86,4

Пример 15.

Готовили разные конструкции антител ViTE®, сконструированные для нацеливания на DLL3 включая DLL3-hALB и DLL3-scFc, соответственно. Концентрация целевого белка составляла 1,0 мг/мл для обеих конструкций. Приготовленные конструкции антител ViTE® наливали до 1 мл во флаконы из стекла типа I, которые закрывали бутилкаучуковыми пробками и обжимали алюминиевыми колпачками. Наполненные флаконы инкубировали при 37°C (DLL3-hALB) и 40°C (DLL3-scFc) в течение 4 недель. Образцы, хранимые при -70°C, служили в качестве контроля (Т0). Образцы анализировали с помощью ЭХ-УЭЖХ в соответствии с методом, описанным в примере 13. Результаты приведены в табл. 30.

scFc-конструкция демонстрировала меньшее снижение количества мономеров (2,3%) после теплового стресса по сравнению с конструкцией hALB (4,0%), хотя температура инкубации была немного выше.

Таблица 30

Обобщенная информация по процентной доле, приходящейся на мономерный пик, в подверженных и не подверженных стрессу (Т0) препаратах DLL3-hALB и -scFc, определенной с помощью ЭХ-УЭЖХ

Конструкция	hALB	scFc
Т0	97,6%	99,8%
4w	93,6%	97,5%

Пример 16.

Готовили разные конструкции антител ViTE®, сконструированные для нацеливания на CD19 включая CD19-X-тело и CD19-scFc. Концентрация целевого белка составляла 1,0 мг/мл. Приготовленные конструкции антител ViTE® наливали до 1 мл во флаконы из стекла типа I, которые закрывали бутилкаучуковыми пробками и обжимали алюминиевыми колпачками. Наполненные флаконы инкубировали при -20 и 37°C в течение 4 недель. Кроме того, все образцы подвергали воздействию 1,2 Млк видимого света и 173 Вт*ч/м² УФА-света. Температуру в камере устанавливали на 25°C. Образцы, хранимые при -70°C, служили в качестве контроля (Т0). Образцы, хранимые при -20 и -37°C, анализировали с помощью ЭХ-УЭЖХ в соответствии с методом, описанным в примере 13. Результаты приведены в табл. 31.

scFc-конструкция сохраняла более высокое содержание мономеров при хранении в течение четырех недель при -20 и 37°C соответственно по сравнению с X-телом.

Таблица 31

Обобщенная информация по содержанию мономеров в подверженных и не подверженных стрессу (Т0) препаратах CD19X-тело и -scFc, определенному с помощью ЭХ-УЭЖХ

Конструкция	X-тело	scFc
Т0	100,0	98,8
4н -20°C	97,1	97,9
4н 37°C	94,5	95,7

Кроме того, не подверженные стрессу образцы оценивали в отношении наличия невидимых невооруженным глазом частиц с помощью микрофлюидной визуализации (МФВ), используя метод, описанный в примере 13. Результаты приведены в табл. 32. Препарат CD19-scFc демонстрировал существенно меньшие количества невидимых невооруженным глазом частиц по сравнению с препаратом CD19-X-тело. Это применимо ко всем включенным размерным фракциям.

Таблица 32

Оценка невидимых невооруженным глазом частиц методом МФВ в не подверженных стрессу конструкциях CD19-X-тело и -scFc

Конструкция	X-тело				scFc			
	≥ 2	≥ 5	≥ 10	≥ 25	≥ 2	≥ 5	≥ 10	≥ 25
Размер частиц [мкм]								
T0	2648	688	192	32	160	64	43	11

Образцы, которые подвергали световому стрессу, также анализировали методом слабой катионообменной (СКО) хроматографии, чтобы количественно оценить процентное содержание зарядовых вариантов, используя UPLC Aquity H-класса от Waters в соответствии с методом, описанным в примере 13. Относительные площади под кривыми основного пика, а также для кислых и основных зарядовых вариантов приведены в табл. 33.

scFc-конструкция продемонстрировала повышенную стабильность после воздействия света по сравнению с X-телом, на что указывает менее выраженное уменьшение основного пика, которое в общем составило 1,4% по сравнению с 5,5% для конструкции X-тела.

Таблица 33

Оценка зарядовых вариантов методом СКО-хроматографии в препаратах CD19-X-тело и -scFc после индуцированного теплом и светом стресса

Конструкция	X-тело			scFc		
	% основной	% кислых	% основных	% основной	% кислых	% основных
T0	51,4	30,3	18,3	83,5	1,3	15,2
Воздействие света	45,9	33,2	20,9	82,1	1,2	16,7

Пример 17. Эксклюзионная хроматография биспецифических scFc-вариантов.

Конструкции D9F, T2G, D3L, T7I и K6C (смотрите фиг. 7) исследовали в отношении их поведения во время испытаний методом эксклюзионной хроматографии в соответствии со стандартными процедурами. Конкретнее, определенное количество, составляющее 25 мкг, каждой конструкции анализировали (при 750 мкл/мин) в цитратном лизиновом буфере (10 мМ и 75 мМ, pH7) на колонке Superdex 200 increase 10/300GL при комнатной температуре и записывали ОП на 280 нм. После этого проводили сравнение конструкций в отношении времени удержания. В результате конструкция D9F демонстрировала существенно замедленное элюирование (табл. 34) по сравнению с T2G, D3L, T7I и K6C, что указывает на разницу в структуре/упорядочении Fc-доменов. Эта разница во времени удержания была наиболее существенной в случае конструкции T7I, содержащей неспаренные цистеины в шарнирной области и связь СН2 и СН2СН3 с СН3 (18,98 мин и 18,62 мин, разница 0,36 мин). При этом разница во времени удержания в 0,16 мин между D9F и T2G является существенной, учитывая соответствующее время удержания БСА-контроля. БСА-контроль показывал время удержания 19,07 мин для мономеров и 16,82 мин для димеров, демонстрируя разницу в 2,25 мин во времени удержания в случае удвоенной молекулярной массы. Следовательно, так как конструкции имеют структурную разницу только в Fc-части, разница во времени удержания в 0,16 мин является существенной. В целом, конструкция D9F продемонстрировала наибольшее время удержания, что указывает на самое сильное связывание. Этот вывод позволяет ожидать, что D9F также имеет самое большое время полужизни *in vivo*.

Таблица 34

Конструкция	Время удержания в мин
D9F	18,98
T2G	18,82
D3L	18,78
K6C	18,77
T7I	18,62
Мономер БСА	19,07
Димер БСА	16,82

Пример 18. Определение методом поверхностного плазмонного резонанса связывания с человеческим FcRn (FCGRT/B2M).

Каждую из конструкций D9F, T2G, D3L, T7I и K6C (фиг. 7) исследовали в отношении их способности к связыванию с человеческим FcRn в ППР (Biacore) экспериментах в соответствии со стандартными процедурами. Конкретнее, сенсорные чипы CM5 (GE Healthcare) иммобилизовали 450-500 ЕО

FCGRT/B2M (ACRO Biosystems), используя буфер на основе ацетата Na, pH 4,5, и подвижный буфер, состоящий из 200 мМ ГЭПЭС, 150 мМ NaCl, 3 мМ ЭДТК, pH 6,0. Затем конструкции инжестировали в последовательных опытах в двух концентрациях 250 нМ и 125 нМ, разведенных в 200 мМ ГЭПЭС, 150 мМ NaCl, 3 мМ ЭДТК, pH 6,0, и при 36°C. Ассоциацию проводили в течение 90 с со скоростью потока 30 мкл/мин с последующей фазой диссоциации в течение 90 с со скоростью потока 30 мкл/мин в 200 мМ ГЭПЭС, 150 мМ NaCl, 3 мМ ЭДТК, pH 6,0, при 36°C. Последующее восстановление проводили в течение 10 с при 30 мкл/мин с помощью 10 мМ ГЭПЭС, 150 мМ NaCl, 3 мМ ЭДТК, pH 7,4.

Максимальное связывание во время инъекционной фазы измеряли для всех конструкций в соответствующих единицах ответа (ЕО), эквивалентных увеличению молекулярной массы на покрытом FcRn чипе CM5 вследствие наличия связанной конструкции. Все конструкции измеряли в дубликатах. Средние значения определения дубликатов приведены на фиг. 8А и 8В соответственно.

В результате конструкция D9F демонстрировала существенно большее увеличение массы на покрытом FcRn чипе CM5 по сравнению с T2G, D3L, T7I и K6C, что указывает на большую аффинность связывания D9F с человеческим FcRn. Это наблюдение имело место для обеих концентраций соответствующих конструкций.

Связывание с FcRn опосредуется Fc-частью в конструкциях. Более сильное связывание с человеческим FcRn, согласно описанию в литературе, является показателем большего времени полужизни *in vivo* благодаря более высокому внутриклеточному сохранению соответствующего белка и, следовательно, сниженного уровня деградации. По этой причине более сильное связывание D9F с человеческим FcRn по сравнению с другими конструкциями делает эту молекулу бесспорно превосходящей в качестве основы для терапевтических молекул, обеспечивающей более длительное нахождение потенциального лекарственного препарата в организме пациента и меньшую частоту введения лекарственного препарата.

Пример 19. Определение методом поверхностного плазмонного резонанса связывания с человеческим FcRn (FCGRT/B2M).

Каждую из конструкций D9F, T2G, D3L, T7I и K6C и человеческое IgG1-каппа антитело MT201 исследовали в отношении их способности к связыванию с человеческим FcRn в ППП (Biacore) экспериментах в соответствии со стандартными процедурами. Конкретнее, сенсорные чипы CM5 (GE Healthcare) иммобилизовали около 350 ЕО FCGRT/B2M (ACRO Biosystems), используя буфер на основе ацетата Na, pH 4,5, и подвижный буфер, состоящий из 200 мМ ГЭПЭС, 150 мМ NaCl, 3 мМ ЭДТК, pH 6,0. Затем конструкции и человеческий IgG1-каппа контроль (MT201) инжестировали в концентрации 125 нМ, разведенной в 200 мМ ГЭПЭС, 150 мМ NaCl, 3 мМ ЭДТК, pH 6,0, и при 36°C. Ассоциацию проводили в течение 90 с со скоростью потока 30 мкл/мин с последующей фазой диссоциации в течение 60 с со скоростью потока 30 мкл/мин в 200 мМ ГЭПЭС, 150 мМ NaCl, 3 мМ ЭДТК, pH 6,0, при 36°C. Последующее восстановление проводили в течение 10 с при 30 мкл/мин с помощью 10 мМ ГЭПЭС, 150 мМ NaCl, 3 мМ ЭДТК, pH 7,4.

Максимальное связывание во время фазы инъекции измеряли для всех конструкций в соответствующих единицах ответа (ЕО), эквивалентных увеличению молекулярной массы на покрытом FcRn чипе CM5 вследствие наличия связанной конструкции. Все конструкции измеряли в дубликатах. На фиг. 9 приведены средние значения определения дубликатов, включая планки погрешностей, указывающие стандартное отклонение.

В результате конструкция D9F демонстрировала существенно большее увеличение массы на покрытом FcRn чипе CM5 по сравнению с T2G, D3L, T7I и K6C, что указывает на большую аффинность связывания D9F с человеческим FcRn. Увеличение массы на покрытом FcRn чипе CM5 для D9F хорошо сравнимо с увеличением массы человеческого IgG1-каппа контрольного антитела MT201, что указывает на сравнимое связывание конструкции D9F с человеческим FcRn.

Связывание с FcRn опосредуется Fc-частью человеческого IgG1 в конструкциях. Более сильное связывание с человеческим FcRn, согласно описанию в литературе, является показателем большего времени полужизни *in vivo* благодаря более высокому внутриклеточному сохранению соответствующего белка и, следовательно, сниженного уровня деградации. По этой причине более сильное связывание D9F с человеческим FcRn в диапазоне человеческого IgG1-каппа антитела (MT201) по сравнению с другими конструкциями делает эту молекулу бесспорно превосходящей в качестве основы для терапевтических молекул, обеспечивающей более длительное нахождение потенциального лекарственного препарата в организме пациента, предположительно в диапазоне полноразмерного человеческого антитела IgG1, и меньшую частоту введения лекарственного препарата.

Таблица последовательностей

SEQ ID NO:	Обозначение	Формат/ Источник	Последовательность
1.	Линкер G4S		GGGGS
2.	Линкер (G4S) 2		GGGGSGGGGS
3.	Линкер (G4S) 3		GGGGSGGGGSGGGGS
4.	Линкер (G4S) 4		GGGGSGGGGSGGGGSGGGGS
5.	Линкер (G4S) 5		GGGGSGGGGSGGGGSGGGGSGGGGS
6.	Линкер (G4S) 6		GGGGSGGGGSGGGGSGGGGSGGGGSGGGGS
7.	Линкер (G4S) 7		GGGGSGGGGSGGGGSGGGGSGGGGSGGGGS GGGGS
8.	Линкер (G4S) 8		GGGGSGGGGSGGGGSGGGGSGGGGSGGGGS GGGGSGGGGS
9.	Пептидный линкер		PGGGGS
10.	Пептидный линкер		PGGDGS
11.	Пептидный линкер		SGGGGS
12.	Пептидный линкер		GGGG
13.	CD3ε- связывающая VL		qtvvtqepsltvspggtvtltcgsstgavt sgnypnwwqqkpgqaprgliggtkflapgt parfsgsllggkaaltlsgvqpedeaeyyc vlwysnrwvfgggtkltvl
14.	CD3ε- связывающая VH		evqlvesggglvqpggslrlscaasgftfn syamnwwrqapgkglewvarirskynnyat yyadsvkgrftisrddskntaylqmnsikt edtavyycvrhgnfgnsyvswwaywgggtl vtvss
15.	CD3ε- связывающий scFv		evqlvesggglvqpggslrlscaasgftfn syamnwwrqapgkglewvarirskynnyat yyadsvkgrftisrddskntaylqmnsikt edtavyycvrhgnfgnsyvswwaywgggtl vtvssggggsgggsgggsgggsqtvvtqeps l tvspggtvtltcgsstgavtsgnypnwwqq kpgqaprgliggtkflapgtparfsgsllg gkaaltlsgvqpedeaeyycvlwysnrwv fgggtkltvl
16.	гекса- гистидинова я метка		HHHHHH
17.	Fc-мономер-		dkthtcppcpapelggpsvflfppkpkdt

	1 +c/-g		lmsrtpevtcvvvdvshedpevkfnwyvd gvevhnaktkpceeqqgstyrcvsvltvlh qdwlngkeykckvsnkalpapiektiskak gqprepqvvtlppsreemtknqvsltclvk gfypsdiavewesngqpennykttppvlds dgsfflyskltvdksrwqqgnvfscsvmhe alnhhytqkslslspgk
18.	Fc-мономер- 2 +c/-g/delGK		dkthtcppcpapellggpsvflfppkpkdt lmsrtpevtcvvvdvshedpevkfnwyvd gvevhnaktkpceeqqgstyrcvsvltvlh qdwlngkeykckvsnkalpapiektiskak gqprepqvvtlppsreemtknqvsltclvk gfypsdiavewesngqpennykttppvlds dgsfflyskltvdksrwqqgnvfscsvmhe alnhhytqkslslsp
19.	Fc-мономер- 3 -c/+g		dkthtcppcpapellggpsvflfppkpkdt lmsrtpevtcvvvdvshedpevkfnwyvd gvevhnaktkpreeqynstyrvsvltvlh qdwlngkeykckvsnkalpapiektiskak gqprepqvvtlppsreemtknqvsltclvk gfypsdiavewesngqpennykttppvlds dgsfflyskltvdksrwqqgnvfscsvmhe alnhhytqkslslspgk
20.	Fc-мономер- 4 -c/+g/delGK		dkthtcppcpapellggpsvflfppkpkdt lmsrtpevtcvvvdvshedpevkfnwyvd gvevhnaktkpreeqynstyrvsvltvlh qdwlngkeykckvsnkalpapiektiskak gqprepqvvtlppsreemtknqvsltclvk gfypsdiavewesngqpennykttppvlds dgsfflyskltvdksrwqqgnvfscsvmhe alnhhytqkslslsp
21.	Fc-мономер- 5 -c/-g		dkthtcppcpapellggpsvflfppkpkdt lmsrtpevtcvvvdvshedpevkfnwyvd gvevhnaktkpreeqqgstyrvsvltvlh qdwlngkeykckvsnkalpapiektiskak

			gqprepqvylppsreemtknqvsltcclvk gfypsdiavewesngqpennykttppvlds dgsfflyskltvdksrwqgnvfscsvmhe alhhnytqkslsislspgk
22.	Fc-мономер- 6 -c/-g/delGK		dkthtcppcpapellggpsvflfppkpkdt lmisrtpevtcvvvdvshedpevkfnwyvd gvevhnaktkpreeqygstycvsvltvlh qdwlngkeykckvsnkalpapiektiskak gqprepqvylppsreemtknqvsltcclvk gfypsdiavewesngqpennykttppvlds dgsfflyskltvdksrwqgnvfscsvmhe alhhnytqkslsislsp
23.	Fc-мономер- 7 +c/+g		dkthtcppcpapellggpsvflfppkpkdt lmisrtpevtcvvvdvshedpevkfnwyvd gvevhnaktkpceeaynstycvsvltvlh qdwlngkeykckvsnkalpapiektiskak gqprepqvylppsreemtknqvsltcclvk gfypsdiavewesngqpennykttppvlds dgsfflyskltvdksrwqgnvfscsvmhe alhhnytqkslsislspgk
24.	Fc-мономер- 8 +c/+g/delGK		dkthtcppcpapellggpsvflfppkpkdt lmisrtpevtcvvvdvshedpevkfnwyvd gvevhnaktkpceeaynstycvsvltvlh qdwlngkeykckvsnkalpapiektiskak gqprepqvylppsreemtknqvsltcclvk gfypsdiavewesngqpennykttppvlds dgsfflyskltvdksrwqgnvfscsvmhe alhhnytqkslsislsp
25.	scFc-1		dkthtcppcpapellggpsvflfppkpkdt lmisrtpevtcvvvdvshedpevkfnwyvd gvevhnaktkpceeaygstycvsvltvlh qdwlngkeykckvsnkalpapiektiskak gqprepqvylppsreemtknqvsltcclvk gfypsdiavewesngqpennykttppvlds dgsfflyskltvdksrwqgnvfscsvmhe

		<p>alhnhytqksls slspgkGGGGSGGGSGGG GSGGGSGGGSGGGSGGGGsktht cppcpape llggpsvflfppkpkdtl misrtpevtcvv vdvshedpevkfnwyvdgvevhnaktkpce eqygstyrcvsvltvlhqdwlngkeykckv snkalpapiektiskakgqprepvytlpp sreemtknqvsltclvkgfypsdiavewes ngqpennykttpvlds dgsfflyskltvd ksrwqqgnvfscsvmhealhnhytqksls l spgk</p>
26.	scFc-2	<p>dktht cppcpapellggpsvflfppkpkdt l misrtpevtcvv vdvshedpevkfnwyvd gvevhnaktkpceeqygstyrcvsvltvlh qdwlngkeykckvsnkalpapiektiskak gqprepvytlppsreemtknqvsltclvk gfypsdiavewesngqpennykttpvlds dgsfflyskltvdksrwqqgnvfscsvmhe alhnhytqksls slspGGGGSGGGSGGGG GGGSGGGSGGGSGGGGsktht cppcpapell ggpsvflfppkpkdtl misrtpevtcvvvd vshedpevkfnwyvdgvevhnaktkpceeq ygstyrcvsvltvlhqdwlngkeykckvsn kalpapiektiskakgqprepvytlppsr eemtknqvsltclvkgfypsdiavewesng qpennykttpvlds dgsfflyskltvdks rwqqgnvfscsvmhealhnhytqksls lsp</p>
27.	scFc-3	<p>dktht cppcpapellggpsvflfppkpkdt l misrtpevtcvv vdvshedpevkfnwyvd gvevhnaktkpreeqynstyrvsvltvlh qdwlngkeykckvsnkalpapiektiskak gqprepvytlppsreemtknqvsltclvk gfypsdiavewesngqpennykttpvlds dgsfflyskltvdksrwqqgnvfscsvmhe alhnhytqksls slspgkGGGGSGGGSGGG GSGGGSGGGSGGGSGGGGsktht cppcpape</p>

		<p>llggpsvflfppkpkdtlmisrtpevtcvv vdrvshedpevkfnwyvdgvevhnaktkpre eqynstyrvsvltvlhqdwlngkeykckv snkalpapiektiskakgqprepvytlpp sreemtknqvsltclvkgfypsdiavewes ngqpennyktppvlds dgsfflyskltvd ksrwqqgnvfscsvmhealhnhytqkslsl spgk</p>
28.	scFc-4	<p>dkthtccppcapellggpsvflfppkpkdt lmisrtpevtcvvdrvshedpevkfnwyvd gvevhnaktkpreeqynstyrvsvltvlh qdwlngkeykckvsnkalpapiektiskak gqprepvytlppsreemtknqvsltclvk gfypsdiavewesngqpennyktppvlds dgsfflyskltvdksrwqqgnvfscsvmhe alhnhytqkslslspGGGSGGGSGGGGS GGGSGGGSGGGGSdkthtccppcapell ggpsvflfppkpkdtlmisrtpevtcvvdrv vshedpevkfnwyvdgvevhnaktkpreeq ynstyrvsvltvlhqdwlngkeykckvsn kalpapiektiskakgqprepvytlppsr eemtknqvsltclvkgfypsdiavewesng qpennyktppvlds dgsfflyskltvdks rwqqgnvfscsvmhealhnhytqkslslsp</p>
29.	scFc-5	<p>dkthtccppcapellggpsvflfppkpkdt lmisrtpevtcvvdrvshedpevkfnwyvd gvevhnaktkpreeqgstyrvsvltvlh qdwlngkeykckvsnkalpapiektiskak gqprepvytlppsreemtknqvsltclvk gfypsdiavewesngqpennyktppvlds dgsfflyskltvdksrwqqgnvfscsvmhe alhnhytqkslslspgkGGGSGGGSGGGG GSGGGSGGGSGGGGSdkthtccppcape llggpsvflfppkpkdtlmisrtpevtcvv vdrvshedpevkfnwyvdgvevhnaktkpre</p>

		<p>eqygstyrvsvltvlhqdwlngkeykckv snkalpapiektiskakgqprepqvylpp sreemtnqvsltclvkgyfypsdiawes ngqpennykttpvldsdsfflyskltvd ksrwqqgnvfscsvmhealhnhytqkslsl spgk</p>
30.	scFc-6	<p>dkthtccppapellggpsvflfppkpkt lmisrtpevtcvvvdvshedpevkfnwyvd gvevhnaktkpreeqygstyrvsvltvlh qdwlngkeykckvsnkalpapiektiskak gqprepqvylppsreemtnqvsltclvk gyfypsdiawesngqpennykttpvlds dgsfflyskltvdksrwqqgnvfscsvmhe alhnhytqkslslspGGGGSGGGSGGGGS GGGGSGGGSGGGGSdkthtccppapell ggpsvflfppkpktlmisrtpevtcvvvd vshedpevkfnwyvdgvevhnaktkpreeq ygstyrvsvltvlhqdwlngkeykckvsn kalpapiektiskakgqprepqvylppsr eemtnqvsltclvkgyfypsdiawesng qpennykttpvldsdsfflyskltvdks rwqqgnvfscsvmhealhnhytqkslslsp</p>
31.	scFc-7	<p>dkthtccppapellggpsvflfppkpkt lmisrtpevtcvvvdvshedpevkfnwyvd gvevhnaktkpceeqynstycvsvltvlh qdwlngkeykckvsnkalpapiektiskak gqprepqvylppsreemtnqvsltclvk gyfypsdiawesngqpennykttpvlds dgsfflyskltvdksrwqqgnvfscsvmhe alhnhytqkslslspgkGGGGSGGGSGGGG GSGGGSGGGSGGGGSdkthtccppape llggpsvflfppkpktlmisrtpevtcvv vdvshedpevkfnwyvdgvevhnaktkpce eqynstycvsvltvlhqdwlngkeykckv snkalpapiektiskakgqprepqvylpp</p>

			sreemtknqvsltclvkgfypsdiavewes ngqpennykttppvlds dgsfflyskltvd ksrwqqgnvfscsvmhealhnhytqkslsl spgk
32.	scFc-8		dkthtcppcpapellggpsvflfppkpkdt lmisrtpevtcvvvdvshedpevkfnwyvd gvevhnaktkpcceeqnstyrvcsvltvlh qdwlngkeykckvsnkalpapiektiskak gqprepvytlppsreemtknqvsltclvk gfypsdiavewesngqpennykttppvlds dgsfflyskltvdksrwqqgnvfscsvmhe alhnhytqkslslspGGGGSGGGSGGGGS GGGGSGGGSGGGGskthtcppcpapell ggpsvflfppkpkdtlmisrtpevtcvvvd vshedpevkfnwyvdgvevhnaktkpcceeq ynstyrvcsvltvlhqdwlngkeykckvsn kalpapiektiskakgqprepvytlppsr eemtknqvsltclvkgfypsdiavewesng qpennykttppvlds dgsfflyskltvdks rwqqgnvfscsvmhealhnhytqkslslsp
33.	MSLN-HLE	Гетеро- Fc, цепь 1	qvqlvesggglvkgpgslrlscaasgftfs dyymtwirqapgglewlsyisssgstiyy adsvkgrftisrdnaknslflqmnsraed tavyycardrnshfdywggtlvtvssggg gsgggsggggsdiqmtqspssvsasvdr vtitcrasqgintwlawyqqkpgkapkli ygasglqsgvpsrfsqsgsgtdftltissl qpedefatyyccqaksfprtfgqgkveiks ggggsevqlvesggglvqpggslklscas gftfnkyamnvrqapgglewvarirsky nnyatyadsvkdrftisrddskntaylqm nnlktedtavyycvrhgnfgnsyisywayw gggtlvtvssggggsgggsgggsgtvtv qepsltvspggtvltcgsstgavtsgnyp nvwqqkpgqaprgliggtkflapgtparfs

			<p>gsllggkaaltlsgvqpedeaeyycvlwys nrwvfgggtkltvlgggdkthtccppcpap ellggpsvflfppkpkdtlmisrtpevtcv vvdvshedpevkfnwyvdgvevhnaktkpc eeqygstyrcvsvltvlhqdwlngkeykck vsnkalpapiektiskakgqprepvytlp psrkemtknqvsltclvkgyfypsdiavewe sngqpennykttppvlksdgsfflyskltv dksrwqqgnvfscsvmhealhnhytqksls lspgk</p>
34.	MSLN-HLE	Гетеро- Ес, цепь 2	<p>dkthtccppcpapellggpsvflfppkpkdt lmisrtpevtcvvvdvshedpevkfnwyvd gvevhnaktkpcceezygstyrcvsvltvlh qdwlngkeykckvsnkalpapiektiskak gqprepvytlppsreemtknqvsltclvk gyfypsdiavewesngqpennydttppvlds dgsfflysdltvdksrwqqgnvfscsvmhe alhnhytqkslslspgk</p>
35.	MSLN-HLE	hALB- слияние	<p>Qvqlvesggglvkpggslrlscaasgftfs dyymtwirqapgkglewlsyisssgstiyy adsvkgrftisrdnaknslflqmnsraed tavyycardrnshfdywgqgtlvtvssggg gsgggsggggsdiqmtqspssvsasvqdr vtitcrasqgintwlawyqqkpgkapklli ygasglqsgvpsrfsqsgsgtdftltissl qpedfatyyccqaksfprtfgqgtkveiks ggggsevqlvesggglvqpggslklscas gftfnkyamnvrqapgkglewvarirsky nnyatyadsvkdrftisrddskntaylqm nnlktedtavyycvrhgnfgnsyisywayw gqgtlvtvssgggsgggsgggsgtvtv qepsltvspggtvltcgsstgavtsgnyp nwwqqkpgqaprgliggtkflapgtparfs gsllggkaaltlsgvqpedeaeyycvlwys nrwvfgggtkltvlpggdgsdahksevhhr</p>

			<p>fkdlgeenfkalvliafaqylqqcpfedhv klvnevtcfaktcvadesaencdkslhtlf gdklctvatlretygemadccakqeperne cflqhkddnplprlvrvpevdmctafhdn eetflkkylieiarrhpyfyapellffakr ykaafteccqaadkaacllpklidelrdegk assakqrlkcaslqkfgerafkawavarls qrfpkaefaevsklvtdltkvhtecchgdl lecaddradlakycenqdsissklkecce kpllekshciaevendempadlpslaadv eskdvcnyaeakdvflgmflyeyarrhpd ysvlllrlaktyettlekccaaadphecy akvfdefkplveepqnlkqncelfeqlge ykfqnallvrytkkvpqvstptlvevsrnl gkvgskcckhpeakrmpcaedylsvlnql cvlhektpvsdrvtkcteslvnrrpcfesa levdetyvpkefnaetftfhadictlseke rqikkqtalvelvkhkpkatkeqlkavmdd faafvekckaddketcfaeegkklvaasq aalglhhhhh</p>
36.	CDH19-HLEa	X-тело, цепь 1	<p>evqlvesggglvqpggslklscaasgftfn kyamwvrqapggglewvarirskynnyat yyadsvkdrftisrddskntaylqmnnlkt edtavyycvrhgnfgnsyisywaywgqgtl vtvssggggsgggssyeltqppsvsvspg qtasitcsgdrlgekytswyqrrpggspll viyqdtkrpsgiperfsgsngntatlitis gtqamdeadyycqawesstvfvgggtkltv lastkgpsvfplapsskstsggtaalgclv kdyfpepvtvswngaltsgvhtfpavlqs sglyslssvvtvpssslgtqtyicvnhkp sntkvdkkvepkscdkthtcppcpapellg gpsvflfppkpkdtlmisrtpevtcvvvdv shedpevkfnwyvdgvevhnaktkpeeey gstyrcvsvltvlhqdwlngkeykckvsnk</p>

			alpapiektiskakgqprepqvvtlppsre emtknqvsltclvkgfypsdiavewesngq pennydtppvldsdsfflysdltvdksr wqqgnvfscsvmhealhhnytqkslslspg k
37.	CDH19-HLEb	X-тело, цепь 2	qvqlvesgggvvqpggslrlscaasgftfs sygmhwrqapgkglewvafiweysnkyy aesvkdrftisrdnskntlylqmnsraed tavyyarragiigtigyyygmdvwgqgtt vtvssggggsgggsggtvtvqepsltvspg gtvtltcgsstgavtsgnypnwvqkpgga prgliggtkflapgtparfsgslggkaal tlsgvqpedeaeycwlwysnrwvfgggtk ltvlgqpkapsvtlfppsseelqankatl vclisdfypgavtvawkadsspvkagvett tpskqsnkyaassylsltpeqwkshrsys cqvtthegstvektvaptecdkthtcppcp apellggpsvflfppkpkdtlmisrtpvt cvvvdvshedpevkfnwyvdgvevhnatk pceeeygstyrcsvltvlhqdwlngkeyk ckvsnkalpapiektiskakgqprepqvvt lppsrekmtknqvsltclvkgfypsdiave wesngqpennykttppvlksdgsfflyskl tvdksrwqqgnvfscsvmhealhhnytqks lslspgk
38.	CDH19-HLE	Гетеро- Fc, цепь 1	qvqlvesgggvvqpggslrlscaasgftfs sygmhwrqapgkglewvafiweysnkyy aesvkdrftisrdnskntlylqmnsraed tavyyarragiigtigyyygmdvwgqgtt vtvssggggsgggsgggssyeltqppsv svspgqtasitcsgdrlgekytswyqrrpg qspllviyqdtkrpsgiperfsgsngnta tltisgtqamdeadyycawesstvvfggg tkltvlsggggsevqlvesggglvqpggsl klscaasgftfnkyamnwrqapgkglewv

			arirskynnyatyadsvkdrftisrddsk ntaylqmnlnktdtavyycvrhgnfgnsy isywaywgqgtlvtvssggggsgggsggg gsqvtvtqepsltvspggtvtltcgsstga vtsgnypnwvqqkpgqaprgligntkflap gtparfsgsllggkaaltlsgvqpedeae ycvlwysnrwvfgggtkltvlggggdkht cppcpapellggpsvflfppkpkdtlmisr tpevtcvvvdvshedpevkfnwyvdgvevh naktkpceeegystyrcvsvltvlhqdwln gkeykckvsnkalpapiektiskakgpre pqvytlppsrekentknqvsltclvkgyfyps diavewesngqpennyktppvlksdgsff lyskltdvksrwqqgnvfscsvmhealnhh ytqkslslspgk
39.	CDH19-HLE	Гетеро- Fc, цепь 2	dkthtppcpapellggpsvflfppkpkdt lmisrtpevtcvvvdvshedpevkfnwyvd gvevhnaktkpceeegystyrcvsvltvlh qdwlngkeykckvsnkalpapiektiskak gqprepvytlppsreemtknqvsltclvk gyfypsdiavewesngqpennydttppvlds dgsfflysdltvksrwqqgnvfscsvmhe alnhhtqkslslspgk
40.	CD33-HLE	Гетеро- Fc, цепь 1	qvqlvqsgaevkkpgesvkvscasgytft nygmwvkqapggclewmgwintytgepty adkfqgrvtmtdtststaymeirnlggdd tavyyarwswsdgyyvyfdywgqtsvtv ssggggsgggsgggsgggdivmtqspdsltv slgerttinckssqsvldsstnknslawyq qkpgqppklllswastresgipdrfsgsgs gtdftltidspqedsatyycqqsahfpit fgcgtrleiksggggsevqlvesggglvqp ggsllkscaasgftfnkyamnvrqapgkg lewvarirskynnyatyadsvkdrftisr ddskntaylqmnlnktdtavyycvrhgnf

			<p>gnsyisywaywgqgtlvtvssgggsgggg sgggsgtvtvtqepsltvspggtvltcgs stgavtsgnypnwvqkpgqaprgliggk flapgtparfsgsllggkaaltlsgvqped eaeyycvlwysnrwvfgggtklvtlvgggd kthtccppapellggpsvflfppkpktl misrtpevtcvvvdvshedpevkfnwyvdg vevhnaktkpeeegystyrcvsvltvlhq dwlngkeykckvsnkalpapiektiskakg qprepvytlppsrekmtknqvsltclvk fypsdiavewesngqpennyktppvlksd gsfflyskltdksrwqqgnvfscsvmhea lhnhytqkslsispkg</p>
41.	CD33-HLE	Гетеро- Fc, цепь 2	<p>dkthtccppapellggpsvflfppkpktl lmisrtpevtcvvvdvshedpevkfnwyvd gvevhnaktkpeeegystyrcvsvltvlh qdwlngkeykckvsnkalpapiektiskak gqprepvytlppsreemtknqvsltclvk gfypsdiavewesngqpennydtppvlds dgsfflysdltvdksrwqqgnvfscsvmhe alhnhytqkslsispkg</p>
42.	CD33-HLE	scFc	<p>qvqlvqsgaevkkgesvkvsckasgytft nygmwvkqapggclewmgwintytgepty adkfqgrvtmttdtststayeirnlggdd tavyyarwswsdgyyvyfdywqgtsvtv ssgggsgggsgggsgggsdivmtqspdsltv slgerttinckssqsvldsstnknslawyq qkpgqppklllswastresgipdrfsgsgs gtdftltidspqpedsatyycqqsahfpit fgcgtrleiksggggsevqlvesggglvqp ggsllkscaasgftfnkyamnvrqapkg lewvarirskynnyatyyadsvkdrftisr ddskntaylqmnlktedtavyycvrhgnf gnsyisywaywgqgtlvtvssgggsgggg sgggsgtvtvtqepsltvspggtvltcgs</p>

		<p>stgavtsgnypnwvqqkpgqaprgliggtk flapgtparfsgsllggkaaltlsgvqped eaeyycvlwysnrwvfgggtklvtlvgggd kthtcppcpapellggpsvflfppkpkdtl misrtpevtcvvvdvshedpevkfnwyvdg vevhnaktkpeezygstyrcvsvltvlhq dwlngkeykckvsnkalspapiektiskakg qprepvytlppsreemtknqvsltclvkg fypsdiavewesngqpennyktppvldsd gsfflyskltvdksrwqqgnvfscsvmhea lhnhytqkslslspgkgggsgggsgggg sgggsgggsgggsggskthtcppcpapel lggpsvflfppkpkdtlmisrtpevtcvv dvshedpevkfnwyvdgvevhnaktkpee zygstyrcvsvltvlhqdwlngkeykckvs nkalspapiektiskakgqprepvytlpps reemtknqvsltclvkgfypsdiavewesn gqpennyktppvldsdgsfflyskltvdk srwqqgnvfscsvmhealhnhytqkslsls pgk</p>
43.	CD20-HLE	<p>scFc</p> <p>qvqlvqsgaevkkgssvkvscasgyafs yswinwvrqapggglewmgrifpgdgdtdy ngkfkgrvtitadkststaymelsslrsed tavyyecarnvfdgywlvwygqgtlvtvssg ggsgggsgggsggdivmtqtplslpvtpg epasiscrssksllhsngitylywylqkpg qspqlliyqmsnlvsgvpdrfsgsgsgtdf tlkisrveaedvgvycaqnlelpytfggg tkveiksggggsevqlvesggglvqpggsl klscaasgftfnkyamnwrqapkgglewv arirskynnyatyadsvkdrftisrddsk ntaylqmnlnktdtavyycvrhgnfgnsy isywaywqggtlvtvssggsgggsgggg gsqtvtqepsltvspggtvtltcgsstga vtsgnypnwvqqkpgqaprgliggtkflap</p>

			<p>gtparfsgsllggkaaltlsgvqpedeae yvcvlwysnrwvfgggtklvtlvgggdktht cppcpapellggpsvflfppkpkdtlmisr tpevtcvvvdvshdpevkfnwyvdgvevh naktkpceezygstyrcvsvltvlhqdwl gkeykckvsnkalspapiektiskakgpre pqvytlppsreemtknqvsltclvkgfyps diavewesngqpennykttppvldsdsff lyskltvdksrwqgnvfscsvmhealthnh ytqkslslspgkggggsgggsgggsggg gsgggsgggsgsdkthtcppcpapellggp svflfppkpkdtlmisrtpvtcvvvdvsh edpevkfnwyvdgvevhnaktkpceezygs tyrcvsvltvlhqdwlngkeykckvsnkals spapiektiskakgprepqvytlppsreem tknqvsltclvkgfypsdiavewesngqpe nnykttppvldsdsfflyskltvdksrwq qgnvfscsvmhealthnhytqkslslspgk</p>
44.	CD33xI2C- scFc	VH CDR1	nygmn
45.	CD33xI2C- scFc	VH CDR2	wintytgeptyadkfqq
46.	CD33xI2C- scFc	VH CDR3	wswsdgyvyfydy
47.	CD33xI2C- scFc	VL CDR1	kssqsvldsstknksla
48.	CD33xI2C- scFc	VL CDR2	wastres
49.	CD33xI2C- scFc	VL CDR3	qqsahfpit
50.	CD33xI2C- scFc	VH	<p>qvqlvqsgaevkkpgevskvscasgytft nygmnwvkqapggglewmgwintytgepty adkfqgrvtmttdtstststststststst tavyyicarwswsdgyvyfydywgqgtsvtv ss</p>

51.	CD33xI2C-scFc	VL	divmtqspdsltvslgerttinckssqsvl dsstnknslawyqqkpgqppklllswastr esgipdrfsgsgsgtdftltidspqpedsa tyycqqsahfpitfgggtrleik
52.	CD33xI2C-scFc	scFv	qvqlvqsgaevkkpgesvkvscasgytft nygmwvkqapggglewmgwintytgepty adkfqgrvtmtdtstststaymeirnlggdd tavyyicarwsdgyyvyfdywgqtsvtv ssggggsgggsgggsgdivmtqspdsltv slgerttinckssqsvldsstnknslawyq qkpgqppklllswastresgipdrfsgsgs gtdftltidspqpedsatyycqqsahfpit fgggtrleik
53.	CD33xI2C-scFc	Биспецифическая молекула	qvqlvqsgaevkkpgesvkvscasgytft nygmwvkqapggglewmgwintytgepty adkfqgrvtmtdtstststaymeirnlggdd tavyyicarwsdgyyvyfdywgqtsvtv ssggggsgggsgggsgdivmtqspdsltv slgerttinckssqsvldsstnknslawyq qkpgqppklllswastresgipdrfsgsgs gtdftltidspqpedsatyycqqsahfpit fgggtrleiksggggsevqlvesggglvqp ggs1kl1scaasgftfnkyamnvrqapkg lewvarirskynnyatyadsvkdrftisr ddskntaylqmn1ktdtavyycvrhgnf gnsyisywaywgqglvtvssggggsgggg sgggsgtvtvtepsltvspggtvltcgs stgavtsgnypnwvqqkpgqaprgliggk flapgtparfsgsl1ggkaaltlsgvqped eaeyycvlwysnrwvfgggtkltvl
54.	CD33xI2C-scFc	Биспецифическая молекула HLE	qvqlvqsgaevkkpgesvkvscasgytft nygmwvkqapggglewmgwintytgepty adkfqgrvtmtdtstststaymeirnlggdd tavyyicarwsdgyyvyfdywgqtsvtv ssggggsgggsgggsgdivmtqspdsltv

			<p>slgerttinckssqsvldsstnknslawyq qkpgqppklllswastresgipdrfsgsgs gtdftltidspqpedsatyycqqsahfpit fgqgtrleiksggggsevqlvesggglvqp ggsklkscaasgftfnkyamnvrqapgkg lewvarirskynnyatyyadsvkdrftisr ddskntaylqmnlnktdtavyycvrhgnf gnsyisywaywgqgtlvtvssgggsgggg sggggsqtvtqepsltvspggtvtltcgs stgavtsgnypnwvqqkpgqaprgliggtk flapgtparfsgsllggkaaltlsgvqped eaeyycvlwysnrwvfgggtkltvlggggd kthtppcpapellggpsvflfppkpkdtl misrtpevtcvvvdvshedpevkfnwyvdg vevhnaktkpeeogygstyrcvsvltvlhq dwlngkeykckvsnkalpapiektiskakg qprepvytlppsreemtknqvsltclvkg fypsdiavewesngqpennyktppvldsd gsfflyskltvdksrwqqgnvfscsvmhea lhnhytqkslsispkggggsgggsgggg sgggsgggsgggsggskthtppcpapel lggpsvflfppkpkdtlmisrtpevtcvvv dvshedpevkfnwyvdgvevhnaktkpee qygstyrcvsvltvlhqdwlngkeykckvs nkalpapiektiskakgqprepvytlpps reemtknqvsltclvkgfypsdiavewesn gqpennyktppvldsdgsfflyskltvdk srwqqgnvfscsvmhealhnhytqksls pgk</p>
55.	CD33xI2C- scFc_delGK	Биспецифи ческая молекула HLE	<p>qvqlvqsgaevkkpgesvkvscasgytft nygmwvkqapggglewmgwintytgepty adkfqgrvtmtdtststaymeirnlggdd tavyyarwswsdgyvyfydywgqtsvtv ssgggsgggsgggsgggdi vmtqspdsltv slgerttinckssqsvldsstnknslawyq</p>

			<p>qkpgqppklllswastresgipdrfsgsgs gtdftltidspqpedsatyycqqsahfpit fgqgtrleiksggggsevqlvesggglvqp ggsllkscaasgftfnkyamnvrqapgkg lewvarirskynnyatyyadsvkdrftisr ddskntaylqmnllktdtavyycvrhgnf gnsyisywaywgqgtlvtvssgggsgggg sgggsgtvtvtqepsltvspggtvtlctgs stgavtsgnypnwvqqkpgqaprgliggk flapgtparfsgsllggkaaltlsgvqped eaeyycvlwysnrwvfgggtkltvlggggd kthtccppapellggpsvflfppkpkdtl misrtpevtcvvvdvshedpevkfnwyvdg vevhnaktkpeeegystyrcvsvltvlhq dwlngkeykckvsnkalpapiektiskakg qprepvytlppsreemtknqvsltclvkg fypsdiavewesngqpennykttpvldsd gsfflyskltvdksrwqqgnvfscsvmhea lhnhytqkslslspgggsgggsgggsgg ggsgggsgggsgdkthtccppapellg gpsvflfppkpkdtlmisrtpevtcvvvdv shedpevkfnwyvdgvevhnaktkpeeeg gstyrcvsvltvlhqdlngkeykckvsnk alpapiektiskakgqprepvytlppsre emtknqvsltclvkgfypsdiavewesngq pennykttpvldsdgsfflyskltvdksr wqqgnvfscsvmhealhnhytqkslslspg k</p>
56.	CD33_CCxI2C -scFc	VH	<p>qvqlvqsgaevkkpgesvkvscasgytft nygmwvqapggclemgwintytgepty adkfqgrvtmtdtststameirnlggdd tavyyarwswsdgyvyfydywgqgtsvtv ss</p>
57.	CD33_CCxI2C -scFc	VL	<p>divmtqspdsltvslgerttinckssqsvl dsstknslawyqqkpgqppklllswastr</p>

			esgipdrfsgsgsgtdftltidspqpedsa tyycqqsahfpitfgcgrleik
58.	CD33_CCxI2C -scFc	scFv	qvqlvqsgaevkkpgesvkvscasgytft nygmwvkqapggclewmgwintytgepty adkfqgrvtmtdtststayeirnlggdd tavyyarwswsdgyvyfydywgqgtsvtv ssgggsgggsgggsgggsgdi vmtqspdsltv slgerttinckssqsvldsstnknslawyq qkpgqppklllswastresgipdrfsgsgs gtdftltidspqpedsatyycqqsahfpit fgcgrleik
59.	CD33_CCxI2C	Биспецифи ческая молекула	qvqlvqsgaevkkpgesvkvscasgytft nygmwvkqapggclewmgwintytgepty adkfqgrvtmtdtststayeirnlggdd tavyyarwswsdgyvyfydywgqgtsvtv ssgggsgggsgggsgggsgdi vmtqspdsltv slgerttinckssqsvldsstnknslawyq qkpgqppklllswastresgipdrfsgsgs gtdftltidspqpedsatyycqqsahfpit fgcgrleiksggggsevqlvesggglvqp ggslklascaasgftfnkyamnvrqapgk lewvarirskynnyatyadsvkdrftisr ddskntaylqmnlktedtavyycvrhgnf gnsyisywaywgqglvtvssgggsgggg sgggsgtvtvqepsltvspggtvtlctgs stgavtsgnypnwvqqkpgqaprgliggk flapgtparfsgslggkaaltlsgvqped eaeycylwysnrwvfgggtklvtl
60.	CD33_CCxI2C -scFc	Биспецифи ческая молекула HLE	qvqlvqsgaevkkpgesvkvscasgytft nygmwvkqapggclewmgwintytgepty adkfqgrvtmtdtststayeirnlggdd tavyyarwswsdgyvyfydywgqgtsvtv ssgggsgggsgggsgggsgdi vmtqspdsltv slgerttinckssqsvldsstnknslawyq qkpgqppklllswastresgipdrfsgsgs

			<p>gtdftltidspqpedsatyycqqsahfpit fgcgrleiksggggsevqlvesggglvqp ggsklkscaasgftfnkyamnvrqapgk lewvarirskynnyatyadsvkdrftisr ddskntaylqmnlktedtavyycvrhgnf gnsyisywaywgqgtlvtvssgggsgggg sgggsgtvtvtqepsltvspggtvtltcgs stgavtsgnypnwvqqkpgqaprgligtk flapgtparfsgslggkaaltlsgvqped eaeyycvlwysnrwvfgggtklvtlvgggd kthtppcpapellggpsvflfppkpkdtl misrtpevtcvvvdvshedpevkfnwyvdg vevhnaktkpeeaygstyrcvsvltvlhq dwlngkeykckvsnkalpapiektiskakg qprepvytlppsreemtknqvsltclvkg fypsdiavewesngqpennyktppvldsd gsfflyskltvdksrwqqgnvfscsvmhea lhnhytqkslsispgkgggsgggsgggg sgggsgggsgggsggskthtppcpapel lggpsvflfppkpkdtlmisrtpevtcvv dvshedpevkfnwyvdgvevhnaktkpee ygstyrcvsvltvlhqdwlngkeykckvs nkalpapiektiskakgqprepvytlpps reemtknqvsltclvkgfypsdiavewesn gqpennyktppvldsdgsfflyskltvdk srwqqgnvfscsvmhealhnhytqksls pgk</p>
<p>61.</p>	<p>CD33_CCxI2C -scFc_delGK</p>	<p>Биспецифи ческая молекула HLE</p>	<p>qvqlvqsgaevkkpgesvkvscasgytft nygmwvkqapggclewmgwintytgepty adkfqgrvtmttdtststaymeirnlggdd tavyycarwsdgyyvyfdywgqgtsvtv ssggsgggsgggsgggsgdivmtqspdsltv slgerttinckssqsvldsstknslawyq qkpgqppklllswastresgipdrfsgsgs gtdftltidspqpedsatyycqqsahfpit</p>

			fgcgtrleiksggggsevqlvesggglvqp ggslklascaasgftfnkyamnvrqapgk lewvarirskynnyatyyadsvkdrftisr ddskntaylqmnlnktdtavyycvrhgnf gnsyisywaywgqgtlvtvssgggsgggg sggggsqtvtqepsltvspggtvtltcgs stgavtsgnypnwvqqkpgqaprgliggk flapgtparfsgsllggkaaltlsgvqped eaeyycvlwysnrwvfgggtklvtlvgggd kthtccppapellggpsvflfppkpkdtl misrtpevtcvvvdvshedpevkfnwyvdg vevhnaktkpeeegystyrcvsvltvlhq dwlngkeykckvsnkalpapiektiskakg qprepvytlppsreemtknqvsltclvkg fypsdiavewesngqpennykttppvldsd gsfflyskltvdksrwqqgnvfscsvmhea lhnhytqkslsispggggsggggsggggsg ggsggggsggggskthtccppapellg gpsvflfppkpkdtlmisrtpevtcvvvdv shedpevkfnwyvdgvevhnaktkpeeeg gstyrcvsvltvlhqdwlngkeykckvsnk alpapiektiskakgqprepvytlppsre emtknqvsltclvkgfypsdiavewesngq pennykttppvldsdgsfflyskltvdksr wqqgnvfscsvmhealhnhytqkslsispg k
62.	EGFRvIIIxCD 3-scFc	VH CDR1	nygmh
63.	EGFRvIIIxCD 3-scFc	VH CDR2	viwydgsdkyyadsvrg
64.	EGFRvIIIxCD 3-scFc	VH CDR3	dgydiltgnprdfdy
65.	EGFRvIIIxCD 3-scFc	VL CDR1	rssqslvhsgntyls
66.	EGFRvIIIxCD	VL CDR2	risrrfs

	3-scFc		
67.	EGFRvIIIxCD 3-scFc	VL CDR3	mqsthvprt
68.	EGFRvIIIxCD 3-scFc	VH	qvqlvesgggvvqsgsrslrlscaasgftfr nygmhwvrqapgkglewvaviwydgsdkyy adsvrgrftisrdnskntlylqmnsraed tavyycardgydiltgnprdfdywgqgtlv tvss
69.	EGFRvIIIxCD 3-scFc	VL	dtvmtqtplsshvtlgqpasiscrssqslv hsdgntylswlqqrpgqpprlliyrisrrf sgvpdrfsgsgagtdfdleisrveaedvgv yycmqsthvprtfgqgtkveik
70.	EGFRvIIIxCD 3-scFc	scFv	qvqlvesgggvvqsgsrslrlscaasgftfr nygmhwvrqapgkglewvaviwydgsdkyy adsvrgrftisrdnskntlylqmnsraed tavyycardgydiltgnprdfdywgqgtlv tvssggggsgggsgggsgsdvmtqtplss hvtlgqpasiscrssqslvhsdgntylswl qqrpgqpprlliyrisrrfsgvpdrfsgsg agtdfdeisrveaedvgvyycmqsthvpr tfqggtkveik
71.	EGFRvIIIxCD 3-scFc	Биспецифическая молекула	qvqlvesgggvvqsgsrslrlscaasgftfr nygmhwvrqapgkglewvaviwydgsdkyy adsvrgrftisrdnskntlylqmnsraed tavyycardgydiltgnprdfdywgqgtlv tvssggggsgggsgggsgsdvmtqtplss hvtlgqpasiscrssqslvhsdgntylswl qqrpgqpprlliyrisrrfsgvpdrfsgsg agtdfdeisrveaedvgvyycmqsthvpr tfqggtkveiksggggsevqlvesggglvq pggslklscaasgftfnkyamnwvrqapgk glewvarirskynnyatyadsvkdrftis rddskntaylqmnlktdtavyycvrhgn fgnsyisywaywgqgtlvsvssggggsggg gsgggsgtvtvqtqpsltvspggtvtltcg

			<p>sstgavtsgnypnwvqqkpgqaprgliggt kflapgtparfsgsllggkaaltlsgvqpe deaeyycvlwysnrwvfgggtkltvl</p>
72.	EGFRvIIIxCD 3-scFc	Биспецифическая молекула HLE	<p>qvqlvesgggvvqsgsrslrlscaasgftfr nygmhwvrqapgkglewvaviwydgsdkyy adsvrgrftisrdnskntlylqmnsraed tavyycardgydiltgnprdfdywgqgtlv tvssgggsgggsgggsgggsgdtvmtqtplss hvtlgqpasiscrssqslvhsdgntylswl qqrpgqpprlliyisrrfsgvppdrfsgsg agtdftleisrveaedvgvyycmqsthvpr tfgggtkveiksggggsevqlvesggglvq pggslklscaasgftfnkyamnwvrqapgk glewvarirskynnyatyadsvkdrftis rddsKnightaylqmnlnktdtavyycvrhgn fgnsyisywaywgqgtlvtvssgggsgggg gsgggsgqtvtvtepsltvspggtvtltcg sstgavtsgnypnwvqqkpgqaprgliggt kflapgtparfsgsllggkaaltlsgvqpe deaeyycvlwysnrwvfgggtkltvlgggg dkthtccppapellggpsvflfppkpkdt lmisrtpevtcvvvdvshedpevkfnwyvd gvevhnaktkpeeeygstyrcvsvltvlh qdwlngkeykckvsnkalpapiektiskak gqprepvytlppsreemtknqvsltclvk gfypsdiavewesngqpennykttpvlds dgsfflyskltvdksrwqqgnvfscsvmhe alhhnytqkslslspgkgggsgggsgggg gsgggsgggsgggsgggskthtccppape llggpsvflfppkpkdtlmisrtpevtcvv vdvshedpevkfnwyvdgvevhnaktkpee eqygstyrcvsvltvlhqdwlngkeykckv snkalpapiektiskakgqprepvytlpp sreemtknqvsltclvkgyfypsdiavewes ngqpennykttpvlds dgsfflyskltvd</p>

			ksrwqqgnvfscsvmhealhnhytqkslsl spgk
73.	EGFRvIIIxCD 3- scFc_delGK	Биспецифи ческая молекула HLE	qvqlvesgggvvqsgsrslrlscaasgftfr nygmhwrqapggglewvaviwydgsdkyy adsvrgrftisrdnskntlylqmnsdraed tavyycardgydiltgnprdfdywgqgtlv tvssgggsgggsgggsgggsdtvmtqtplss hvtlqgpasiscrssqslvhsdgntyiswl qqrpgpprlliyrisrrfsgvpdrfsgsg agtdftleisrveaedvgvyycmqsthvpr tfqggtkveiksggggsevglvesggglvq pggslklscaasgftfnkyamnwvrqapgk glewvarirskynnyatyadsvkdrftis rddskntaylqmnnlktedtavyycvrhgn fgnsyisywaywgqgtlvtvssgggsggg gsgggsgqtvtqepsltvspggtvtltcg sstgavtsgnypnwvqqkpgqaprgliggt kflapgtparfsgsllggkaaltlsgvqpe deaeycylwysnrwvfgggtkltvlgggg dkthtccppapellggpsvflfppkpkdt lmisrtpevtcvvvdvshedpevkfnwyvd gvevhnaktkpcceeqgstyrcvsvltvlh qdwlngkeykckvsnkalpapiektiskak gqprepvytlppsreemtknqvsltclvk gfypsdiavewesngqpennyktppvlds dgsfflyskltvdksrwqqgnvfscsvmhe alhnhytqkslslspgggsgggsgggsggg gggsgggsgggsggskthtccppapell ggpsvflfppkpkdtlmisrtpevtcvvvd vshedpevkfnwyvdgvevhnaktkpcceeq ygstyrcvsvltvlhqdlngkeykckvsn kalpapiektiskakgqprepvytlppsr eemtknqvsltclvkgfypsdiavewesng qpennyktppvlds dgsfflyskltvdks rwqqgnvfscsvmhealhnhytqkslslsp

			gk
74.	EGFRvIII_CC xCD3-scFc	VH	qvqlvesgggvvqsgsrslrlscaasgftfr nygmhwrqapgkclewvaviwydgsdkyy adsvrgrftisrdnskntlylqmnsdraed tavyycardgydiltgnprdfdywgqgtlv tvss
75.	EGFRvIII_CC xCD3-scFc	VL	dtvmtqtplsshvtlqqpasiscrssqslv hsgntylswlqqrpgqpprlliyrisrrf sgvpdrfsgsgagtftleisrveaedvgv yycmqsthvprtfgcgtkveik
76.	EGFRvIII_CC xCD3-scFc	scFv	qvqlvesgggvvqsgsrslrlscaasgftfr nygmhwrqapgkclewvaviwydgsdkyy adsvrgrftisrdnskntlylqmnsdraed tavyycardgydiltgnprdfdywgqgtlv tvssggggsgggsgggsgdtvmtqtplss hvtlqqpasiscrssqslvhsgntylswl qqrpgqpprlliyrisrrfsgvpdrfsgsg agtdftleisrveaedvgvyycmqsthvpr tfgcgtkveik
77.	EGFRvIII_CC xCD3-scFc	Биспецифическая HLE молекула	qvqlvesgggvvqsgsrslrlscaasgftfr nygmhwrqapgkclewvaviwydgsdkyy adsvrgrftisrdnskntlylqmnsdraed tavyycardgydiltgnprdfdywgqgtlv tvssggggsgggsgggsgdtvmtqtplss hvtlqqpasiscrssqslvhsgntylswl qqrpgqpprlliyrisrrfsgvpdrfsgsg agtdftleisrveaedvgvyycmqsthvpr tfgcgtkveiksggggsevqlvesggglvq pggslklscasgftfnkyamnwvrqapgk glewvarirskynnyatyadsvkdrftis rddskntaylqmnnlktedtavyycvrhgn fgnsyisywaywgqgtlvtvssggggsggg gsgggsgtvtvtepsltvspggtvltcg sstgavtsgnypnwvqqkpgqaprgliggt kflapgtparfsgsllggkaaltlsgvqpe

			deaeeycwlwysnrwvfgggtklvl
78.	EGFRvIII_CC xCD3-scFc	Биспецифическая молекула HLE	<p> qvqlvesgggvvqsgsrslrlscaasgftfr nygmhwrqapgkclewvaviwydgsdkyy adsvrgrftisrdnskntlylqmnsdraed tavyycardgydiltgnprdfdywggtlv tvssgggsgggsgggsggsgdtvmtqtplss hvtlgqpasiscrssqslvhsdgntylswl qqrpgqpprlliyrirrfsgvpdrfsgsg agtdftleisrveaedvgvyycmqsthvpr tfgcgtkveiksggggsevqlvesggglvq pggslklscaasgftfnkyamnwrqapgk glewvarirskynnyatyadsvkdrftis rddskntaylqmnnlktedtavyycvrhgn fgnsyisywaywggtlvtvssgggsgggg gsgggsgtvtvtqpsltvspggtvltcgs sstgavtsgnypnwvqqkpgqaprgliggt kflapgtparfsgsllggkaaltlsgvqpe deaeeycwlwysnrwvfgggtklvlgggg dkthtcppcpapellggpsvflfppkpkdt lmisrtpevtcvvvdvshedpevkfnwyvd gvevhnaktkpeeeygstyrcvsvltvlh qdwlngkeykckvsnkalpapiektiskak gqprepvytlppsreemtknqvsltclvk gfypsdiavewesngqpennykttpvlds dgsfflyskltvdksrwqggnvfscsvmhe alhnhytqkslslspgkgggsgggsgggg gsgggsgggsgggsggskthtcppcpape llggpsvflfppkpkdtlmisrtpevtcvv vdvshedpevkfnwyvdgvevhnaktkpe eygstyrcvsvltvlhqdwlngkeykckv snkalpapiektiskakgqprepvytlpp sreemtknqvsltclvkgyfypsdiavewes ngqpennykttpvlds dgsfflyskltvd ksrwqggnvfscsvmhealhnhytqkslsl spgk </p>

79.	EGFRvIII_CC xCD3- scFc_delGK	биспецифическая молекула	qvqlvesgggvvqsgsrslrlscaasgftfr nygmhwrqapggkclewvaviwydgsdkyy adsvrgrftisrdnskntlylqmnsraed tavyycardgydiltgnprdfdywgggtlv tvssgggsgggsgggsgggsdtvmtqtplss hvtlqgpasiscrssqslvhsdntylswl qqrpgqpprlliyrisrrfsgvpdrfsgsg agtdftleisrveaedvgvyycmqsthvpr tfgcgkveiksggggsevqlvesggglvq pggslklscaasgftfnkyamnwrqapggk glewvarirskynnyatyadsvkdrftis rddsntaylqmnnlktedtavyycvrhgn fgnsyisywaywgggtlvsvssgggsggg gsgggsgqtvtvqepsltvspggtvtltcg sstgavtsgnypnwvqqkpgqaprgliggt kflapgtparfsgsllggkaaltlsgvqpe deaeyy cvlwysnrwvfgggtklvtlvgggg dkthtcpppapellggpsvflfppkpkdt lmisrtpevtcvvvdvshedpevkfnwyvd gvevhnaktkpceeqgstyrcvsvltvlh qdwlngkeykckvsnkalpapiektiskak gqprepvytlppsreemtknqvsltclvk gfypsdiavewesngqpennykttpvlds dgsfflyskltvdksrwqqgnvfscsvmhe alhnhytqkslslspggggsgggsgggsgggs ggggsgggsgggsggskthtcpppapell ggpsvflfppkpkdtlmisrtpevtcvvvd vshedpevkfnwyvdgvevhnaktkpceeq ygstyrcvsvltvlhqdwlngkeykckvsn kalpapiektiskakgqprepvytlppsr eemtknqvsltclvkgfypsdiavewesng qpennykttpvlds dgsfflyskltvdks rwqqgnvfscsvmhealhnhytqkslslsp gk
80.	MS_1xCD3-	VH CDR1	dyymt

	scFc		
81.	MS_1xCD3- scFc	VH CDR2	yisssgstiyyadsvkg
82.	MS_1xCD3- scFc	VH CDR3	drnshfdy
83.	MS_1xCD3- scFc	VL CDR1	rasqgintwla
84.	MS_1xCD3- scFc	VL CDR2	gasglqs
85.	MS_1xCD3- scFc	VL CDR3	qqaksfprt
86.	MS_1xCD3- scFc	VH	qvqlvesggglvdkpggslrlscaasgftfs dyymtwirqapggkglewlsyisssgstiyy adsvkgrftisrdnaknslflqmnsraed tavyycardrnshfdywgqgtlvtvss
87.	MS_1xCD3- scFc	VL	diqmtqspssvsasvqdrvtitcrasqgin twlawyqqkpgkapklliygasglqsgvps rfsgsgsgtdftltisslqpedfatyycqq aksfprtfgqgtkveik
88.	MS_1xCD3- scFc	scFv	qvqlvesggglvdkpggslrlscaasgftfs dyymtwirqapggkglewlsyisssgstiyy adsvkgrftisrdnaknslflqmnsraed tavyycardrnshfdywgqgtlvtvssggg gsgggsggggsdiqmtqspssvsasvqdr vtitcrasqgintlawyqqkpgkapklli ygasglqsgvpsrfsgsgsgtdftltissl qpedfatyycqqaksfprtfgqgtkveik
89.	MS_1xCD3- scFc	Биспецифи ческая молекула	qvqlvesggglvdkpggslrlscaasgftfs dyymtwirqapggkglewlsyisssgstiyy adsvkgrftisrdnaknslflqmnsraed tavyycardrnshfdywgqgtlvtvssggg gsgggsggggsdiqmtqspssvsasvqdr vtitcrasqgintlawyqqkpgkapklli ygasglqsgvpsrfsgsgsgtdftltissl qpedfatyycqqaksfprtfgqgtkveiks

			<p>ggggsevqlvesggglvqpggslklscaas gftfnkyamnwvrqapgglewvarirsky nnyatyyadsvkdrftisrddskntaylqm nnlktedtavyycvrhgnfgnsyisywayw gggtlvtvssgggsgggsgggsggtvvt qepsltvspggtvtltcgsstgavtsgnyp nwwqqkpgqaprgliggtkflapgtparfs gsllggkaaltlsgvqpedeaeyycvlwys nrwvfgggtkltvl</p>
90.	MS_1xCD3- scFc	Биспецифическая молекула HLE	<p>qvqlvesggglvkpggslrlscaasgftfs dyymtwirqapgglewlsyisssgstiyy adsvkgrftisrdnaknslflqmnsraed tavyycardrnshfdywggtlvtvssggg gsgggsggggsdiqmtqspssvsasvdr vtitcrasqgintwlawyqqkpgkapklli ygasqlqsgvpsrfsqsgsgtdftltissl qpedfatyyccqaksfprtfgggtkveiks ggggsevqlvesggglvqpggslklscaas gftfnkyamnwvrqapgglewvarirsky nnyatyyadsvkdrftisrddskntaylqm nnlktedtavyycvrhgnfgnsyisywayw gggtlvtvssgggsgggsgggsggtvvt qepsltvspggtvtltcgsstgavtsgnyp nwwqqkpgqaprgliggtkflapgtparfs gsllggkaaltlsgvqpedeaeyycvlwys nrwvfgggtkltvlgggdkthtcppcpap ellggpsvflfppkpktlmsrtpevtcv vvdvshedpevkfnwyvdgvevhnaktkpc eeqygstyrcvsvltvlhqdwlngkeykck vsnkalpapiektiskakgqprepvytlp psreemtknqvsltclvkgyfypsdiavewe sngqpennykttpvldsdgsfflyskltv dksrwqqgnvfscsvmhealhnhytqksls lspgkgggsgggsgggsgggsgggsgggsg gggsgdkthtcppcpapellggpsvflfpp</p>

			<p>kpkdtlmisrtpevtcvvvdvshedpevkf nwyvdgvevhnaktkpceeegystyrcvsv ltvlhqdwlngkeykckvsnkalpapiekt iskakgqprepqvylppsreemtknqvs tclvkgyfypsdiavewesngqpennyktp pvl dsdgsfflyskltvdksrwqqgnvfsc svmhealhnhytqksls slspgk</p>
91.	MS_1xCD3- scFc_delGK	Биспецифическая молекула HLE	<p>qvqlvesggglvkpggslrlscaasgftfs dyymtwirqapgglewlsyisssgstiyy adsvkgrftisrdnaknslflqmnsraed tavyycardrnshfdywgggtlvtvssggg gsgggsggggsdiqmtqspssvsasvdr vtitcrasggintwlawyqqkpgkapkli ygasglqsgvpsrfsrgsgsgtdftltissl qpedfatyycqaksfprtfgggtkveiks ggggsevqlvesggglvqpggsklkscaas gftfnkyamnwrqapgglewvarirsky nnyatyadsvkdrftisrddskntaylqm nnlktedtavyycvrhgnfgnsyisywayw gqgtlvtvssggggsgggsgggsgtvt qepsltvspggtvtltcgsstgavtsgnyp nwwqqkpgqaprgliggtkflapgtparfs gsllggkaaltlsgvqpedaeeycvlwys nrwvfgggtkltvlgggdkthtcppcpap ellggpsvflfppkpkdtlmisrtpevtcv vvdvshedpevkfnwyvdgvevhnaktkpc eeegystyrcvsvltvlhqdwlngkeykck vsnkalpapiektiskakgqprepqvylp psreemtknqvs tclvkgyfypsdiavewe sngqpennyktp pvl dsdgsfflyskltv dksrwqqgnvfscsvmhealhnhytqksls lspggggsgggsgggsgggsgggsgg ggsdkthtcppcpapellggpsvflfppkp kdtlmisrtpevtcvvvdvshedpevkfnw yvdgvevhnaktkpceeegystyrcvsvlt</p>

			vlhqdwlngkeykckvsnkalpapiektis kakgqprepqvylppsreemtknqvsltc lvkgfyfysdiavewesngqpennykttppv ldsdgsfflyskltvdksrwqqgnvfscsv mhealhnhytqkslslspgk
92.	MS_1_CCxCD3 -scFc	VH	qvqlvesggglvkgpgslrlscaasgftfs dyymtwirqapgkclewlsyisssgstiyy adsvkgrftisrdnaknslflqmnsraed tavyycardrnshfdywgqgtlvtvss
93.	MS_1_CCxCD3 -scFc	VL	diqmtqspssvsasvqdrvtitcrasqgin twlawyqqkpgkapklliygasglqsgvps rfsqsgsgtdftltisslqpedfatyyccq aksfprtfgcgtkveik
94.	MS_1_CCxCD3 -scFc	scFv	qvqlvesggglvkgpgslrlscaasgftfs dyymtwirqapgkclewlsyisssgstiyy adsvkgrftisrdnaknslflqmnsraed tavyycardrnshfdywgqgtlvtvssggg gsgggsggggsdiqmtqspssvsasvqdr vtitcrasqginlawyqqkpgkapklli ygasglqsgvpsrfsqsgsgtdftltissl qpedfatyyccqaksfprtfgcgtkveik
95.	MS_1_CCxCD3 -scFc	Биспецифическая молекула	qvqlvesggglvkgpgslrlscaasgftfs dyymtwirqapgkclewlsyisssgstiyy adsvkgrftisrdnaknslflqmnsraed tavyycardrnshfdywgqgtlvtvssggg gsgggsggggsdiqmtqspssvsasvqdr vtitcrasqginlawyqqkpgkapklli ygasglqsgvpsrfsqsgsgtdftltissl qpedfatyyccqaksfprtfgcgtkveiks ggggseqlvesggglvkgpgslrlscaas gftfnkyamnvrqapgglewvarirsky nnyatyadsvkdrftisrddskntaylqm nnlktedtavyycvrhgnfgnsyisywayw gggtlvtvssggggsgggsgggsgtvtvt qepsltvspggtvtltcgsstgavtsgnyp

			nwvqqkpgqaprgliggtkflapgtparfs gsllggkaaltlsgvqpedeaeyycvlwys nrwvfgggtkltvl
96.	MS_1_CCxCD3 -scFc	Биспецифическая молекула HLE	qvqlvesggglvkpggslrlscaasgftfs dyymtwirqapgkclewlsyisssgstiyy adsvkgrftisrdnaknslflqmnsraed tavyycardrnshfdywgqgtlvtvssggg gsgggsggggsdiqmtqspssvsasvdr vtitcrasqgintwlawyqqkpgkapkli ygasqlqsgvpsrfsqsgsgtdftltissl qpedfatyyccqaksfprtfgcgtkveiks ggggsevqlvesggglvqpggsklkscaas gftfnkyamnwvrqapgglewvarirsky nnyatyadsvkdrftisrddskntaylqm nnlktedtavyycvrhgnfgnsyisywayw gggtlvtvssggggsgggsgggsgtvtv qepsltvspggtvtltcgsstgavtsgnyp nwvqqkpgqaprgliggtkflapgtparfs gsllggkaaltlsgvqpedeaeyycvlwys nrwvfgggtkltvlgggdkthtccppcap ellggpsvflfppkpkdtlmsrtpevtcv vvdvshedpevkfnwyvdgvevhnaktkpc eeqygstyrcvsvltvlhqdwlngkeykck vsnkalpapiektiskakgqprepvytlp psreemtknqvsltclvkgyfypsdiavewe sngqpennykttpvldsdgsfflyskltv dksrwqqgnvfscsvmhealhnhytqksls lspgkggggsgggsgggsgggsgggsg gggskthtccppcapellggpsvflfpp kpkdtlmsrtpevtcvvvdvshedpevkf nwyvdgvevhnaktkpcceeqygstyrcvsv ltvlhqdwlngkeykckvsnkalpapiekt iskakgqprepvytlppsreemtknqvsl tclvkgyfypsdiavewesngqpennyktp pvlldsdgsfflyskltvdksrwqqgnvfsc

			svmhealhnhytqkslsispgk
97.	MS_1_CCxCD3 -scFc_delGK	Биспецифическая молекула HLE	qvqlvesggglvdkpggslrlscaasgftfs dyymtwirqapgkclewlsyisssgstiyy adsvkgrftisrdnaknslflqmnsraed tavyycardrnshfdywgqgtlvtvssggg gsgggsggggsdiqmtqspssvsasvdr vtitcrasqgintlawyqqkpgkapkli ygasqlqsgvpsrfsqsgsgtdftltissl qpedfatyycqaksfprtfgcgtkveiks ggggsevqlvesggglvqpggslklscaas gftfnkyamnwvrqapgkglewvarirsky nnyatyadsvkdrftisrddskntaylqm nnlktedtavyycvrhgnfgnsyisywayw gggtlvtvssggggsgggsgggsgtvtvt qepsltvspggvtltcgsstgavtsgnyp nvwqqkpgqaprgliggtkflapgtparfs gsllggkaaltlsgvqpedaeeycvlws nrwvfgggtkltvlgggdkthtcppcpap ellggpsvflfppkpkdtlmisrtpevtcv vvdvshedpevkfnwyvdgvevhnaktkpc eeqygstyrcvsvltvlhqdwlngkeykck vsnkalpapiektiskakgpprepqvytlp psreemtknqvsltcvkgyfypsdiavewe sngqpennykttppvldsdsfflyskltv dksrwqgnvfscsvmhealhnhytqksls lspggggsgggsgggsgggsgggsgg ggsdkthtcppcpapellggpsvflfppk kdtlmisrtpevtcvvdvshedpevkfnw yvdgvevhnaktkpcceeqygstyrcvsvlt vlhqdwlngkeykckvsnkalpapiektis kakgpprepqvytlppsreemtknqvsltc lvkgyfypsdiavewesngqpennykttppv ldsdsfflyskltvdksrwqgnvfscsv mhealhnhytqkslsispgk
98.	MS_2xCD3-	VH CDR1	dyymt

	scFc		
99.	MS_2xCD3-scFc	VH CDR2	yisssgstiyyadsvkg
100.	MS_2xCD3-scFc	VH CDR3	drnshfdy
101.	MS_2xCD3-scFc	VL CDR1	rasqgitrwl
102.	MS_2xCD3-scFc	VL CDR2	aasvlqs
103.	MS_2xCD3-scFc	VL CDR3	qqsnsfprt
104.	MS_2xCD3-scFc	VH	qvqlvesggglvkgpgslrlscaasgftfs dyymtwirqapgkglewisyisssgstiyy adsvkgrftisrdnaknslylqmnsraed tavyycardrnshfdywgqgtlvtvss
105.	MS_2xCD3-scFc	VL	diqmtqspssvsasvgdrvtitcrasqgit rwlawyqqkpgkapklliyaasvlqsgvps rfsgsgsgtdftltisslqpedfatyycqq snsfprtfgqgtkveik
106.	MS_2xCD3-scFc	scFv	qvqlvesggglvkgpgslrlscaasgftfs dyymtwirqapgkglewisyisssgstiyy adsvkgrftisrdnaknslylqmnsraed tavyycardrnshfdywgqgtlvtvssggg gsgggsgggsgdiqmtqspssvsasvgdr vtitcrasqgitrwlawyqqkpgkapklli yaasvlqsgvpsrfsgsgsgtdftltissl qpedfatyycqqsnsfprtfgqgtkveik
107.	MS_2xCD3-scFc	Биспецифическая молекула	qvqlvesggglvkgpgslrlscaasgftfs dyymtwirqapgkglewisyisssgstiyy adsvkgrftisrdnaknslylqmnsraed tavyycardrnshfdywgqgtlvtvssggg gsgggsgggsgdiqmtqspssvsasvgdr vtitcrasqgitrwlawyqqkpgkapklli yaasvlqsgvpsrfsgsgsgtdftltissl qpedfatyycqqsnsfprtfgqgtkveiks

			<p>ggggsevqlvesggglvqpggslklscaas gftfnkyamnwvrqapgglewvarirsky nnyatyyadsvkdrftisrddskntaylqm nnlktedtavyycvrhgnfgnsyisywayw gggtlvtvssgggsgggsgggsggtvvt qepsltvspggtvtltcgsstgavtsgnyp nwwqqkpgqaprgliggtkflapgtparfs gsllggkaaltlsgvqpedeaeyycvlwys nrwvfgggtkltvl</p>
108.	MS_2xCD3- scFc	Биспецифическая молекула HLE	<p>qvqlvesggglvkpggslrlscaasgftfs dyymtwirqapgglewisyisssgstiyy adsvkgrftisrdnaknsllylqmnsraed tavyycardrnshfdywggtlvtvssggg gsgggsgggsgdiqmtqspssvsasvdr vtitcrasqgitrwlawyqqkpgkapklli yaasvlqsgvpsrfsqsgsgtdftltissl qpedfatyyccqnsfprtfgggtkveiks ggggsevqlvesggglvqpggslklscaas gftfnkyamnwvrqapgglewvarirsky nnyatyyadsvkdrftisrddskntaylqm nnlktedtavyycvrhgnfgnsyisywayw gggtlvtvssgggsgggsgggsggtvvt qepsltvspggtvtltcgsstgavtsgnyp nwwqqkpgqaprgliggtkflapgtparfs gsllggkaaltlsgvqpedeaeyycvlwys nrwvfgggtkltvlgggdkthtcppcpap ellggpsvflfppkpktlmsrtpevtcv vvdvshedpevkfnwyvdgvevhnaktkpc eeqygstyrcvsvltvlhqdwlngkeykck vsnkalpapiektiskakgqprepqvylp psreemtknqvsltclvkgyfypsdiavewe sngqpennyktppvldsdgsfflyskltv dksrwqqgnvfscsvmhealhnhytqksls lspgkgggsgggsgggsgggsgggsgggsg gggsgdkthtcppcpapellggpsvflfpp</p>

			<p>kpkdtlmsrtpevtcvvvdvshedpevkf nwyvdgvevhnaktkpceeqgstyrcvsv ltvlhqdwlngkeykckvsnkalpapiekt iskakgqprepqvylppsreemtknqvs tclvkgyfypsdiavewesngqpennyktp pvl dsdgsfflyskltvdksrwqqgnvfsc svmhealhnhytqkslsislspgk</p>
109.	MS_2xCD3- scFc_delGK	Биспецифическая молекула HLE	<p>qvqlvesggglvkpggslrlscaasgftfs dyymtwirqapgkglewisyisssgstiyy adsvkgrftisrdnaknsllylqmnsraed tavyycardrnshfdywgqgtltvtvssggg gsgggsggggsdiqmtqspssvsasvdr vtitcrasqgitrwlawyqqkpgkapkli yaasvlqsgvpsrfsrgsgsgtdftltissl qpedefatyyccqnsfprtfgqgkveiks ggggsevqlvesggglvqpggsklkscaas gftfnkyamnwvrqapgkglewvarirsky nnyatyadsvkdrftisrddskntaylqm nnlktedtavyycvrhgnfgnsyisywayw gggtltvtvssgggsgggsgggsggtvvt qepsltvspggtvtltcgsstgavtsgnyp nwwqkpgqaprgliggtkflapgtparfs gsllggkaaltlsgvqpedeaeeycvlwys nrwvfgggtkltvlgggdkthtcppcpap ellggpsvflfppkpkdtlmsrtpevtcv vvdvshedpevkfnwyvdgvevhnaktkpc eeqygstyrcvsvltvlhqdwlngkeykck vsnkalpapiektiskakgqprepqvylp psreemtknqvs tclvkgyfypsdiavewe sngqpennyktp pvl dsdgsfflyskltv dksrwqqgnvfscsvmhealhnhytqksls lspgggsgggsgggsgggsgggsgggsgg ggsdkthtcppcpapellggpsvflfppkp kdtlmsrtpevtcvvvdvshedpevkfnw yvdgvevhnaktkpceeqgstyrcvsvlt</p>

			vlhqdwlngkeykckvsnkalpapiektis kakgqprepqvylppsreemtknqvsltc lvkgfyfysdiavewesngqpennykttppv ldsdgsfflyskltvdksrwqqgnvfscsv mhealhnhytqkslslspgk
110.	MS_2_CCxCD3 -scFc	VH	qvqlvesggglvkgpgslrlscaasgftfs dyymtwirqapgkclewisyiessgstiyy adsvkgrftisrdnaknsllylqmnsraed tavyycardrnshfdywgqgtlvtvss
111.	MS_2_CCxCD3 -scFc	VL	diquqtqspssvsasvqdrvtitcrasqgit rwlawyqqkpgkapklliyaasvlqsgvps rfsqsgsgtdftltisslqpedfatyyccq snsfprtfgcgtkveik
112.	MS_2_CCxCD3 -scFc	scFv	qvqlvesggglvkgpgslrlscaasgftfs dyymtwirqapgkclewisyiessgstiyy adsvkgrftisrdnaknsllylqmnsraed tavyycardrnshfdywgqgtlvtvssggg gsgggsggggsdiqmtqspssvsasvqdr vtitcrasqgitrwlawyqqkpgkapklli yaasvlqsgvpsrfsqsgsgtdftltissl qpedfatyyccqsnsfprtfgcgtkveik
113.	MS_2_CCxCD3 -scFc	Биспецифическая молекула	qvqlvesggglvkgpgslrlscaasgftfs dyymtwirqapgkclewisyiessgstiyy adsvkgrftisrdnaknsllylqmnsraed tavyycardrnshfdywgqgtlvtvssggg gsgggsggggsdiqmtqspssvsasvqdr vtitcrasqgitrwlawyqqkpgkapklli yaasvlqsgvpsrfsqsgsgtdftltissl qpedfatyyccqsnsfprtfgcgtkveiks ggggseqlvesggglvkgpgslrlscaas gftfnkyamnvrqapgglewvarirsky nnyatyadsvkdrftisrddskntaylqm nnlktedtavyycvrhgnfgnsyisywayw gggtlvtvssggggsgggsgggsgtvtvt qepsltvspggtvtltcgsstgavtsgnyp

			nwvqqkpgqaprgliggtkflapgtparfs gsllggkaaltlsgvqpedeaeyycvlwys nrwvfgggtkltvl
114.	MS_2_CCxCD3 -scFc	Биспецифическая молекула HLE	qvqlvesggglvkpggslrlscaasgftfs dyymtwirqapgkclewisyiissgstiyy adsvkgrftisrdnaknsllylqmnsraed tavyycardrnshfdywgqgtlvtvssggg gsgggsggggsdiqmtqspssvsasvdr vtitcrasqgitrwlawyqqkpgkapkli yaasvlqsgvpsrfsqsgsgtdftltissl qpedfatyyccqsnsfprtfgcgtkveiks ggggsevqlvesggglvqpggsklscaas gftfnkyamnwvrqapgglewvarirsky nnyatyadsvkdrftisrddskntaylqm nlnktdtavyycvrhgnfgnsyisywayw gggtlvtvssggggsgggsgggsgtvtv qepsltvspggtvtltcgsstgavtsgnyp nwvqqkpgqaprgliggtkflapgtparfs gsllggkaaltlsgvqpedeaeyycvlwys nrwvfgggtkltvlgggdkthtcppcpap ellggpsvflfppkpkdtlmisrtpevtcv vvdvshedpevkfnwyvdgvevhnatkpc eeqygstycvsvltvlhqdwlngkeykck vsnkalpapiektiskakgqprepqvylp psreemtknqvsltclvkgyfypsdiavewe sngqpennykttpvldsdgsfflyskltv dkrwwqqgnvfscsvmhealhnhytqksls lspgkggggsgggsgggsgggsgggsggs ggggsdkthtcppcpapellggpsvflfpp kpkdtlmisrtpevtcvvdvshedpevkf nwyvdgvevhnatkpcqeeqygstycvsv ltvlhqdwlngkeykckvsnkalpapiekt iskakgqprepqvylppsreemtknqvsl tclvkgyfypsdiavewesngqpennykttp pvldsdgsfflyskltvdkrwwqqgnvfsc

			svmhealhnhytqkslsispsgk
115.	MS_2_CCxCD3 -scFc_delGK	Биспецифическая молекула HLE	<p>qvqlvesggglvdkpggslrlscaasgftfs dyymtwirqapgkclewisyisssgstiyy adsvkgrftisrdnaknsllylqmnsraed tavyycardrnshfdywgqgtlvtvssggg gsgggsggggsdiqmtqspssvsasvdr vtitcrasqgitrwlawyqqkpgkapkli yaasvlqsgvpsrfsrgsgsgtdftltissl qpedfatyycqqsnsfprtfgcgtkveiks ggggsevqlvesggglvqpggslklscaas gftfnkyamnwvrqapgkglewvarirsky nnyatyadsvkdrftisrddskntaylqm nnlktedtavyycvrhgnfgnsyisywayw gggtlvtvssggggsgggsgggsgtvtvt qepsltvspggvtltcgsstgavtsgnyp nvwqqkpgqaprgliggtkflapgtparfs gsllggkaaltlsgvqpedaeeycvlws nrwvfgggtkltvlgggdkthtcppcpap ellggpsvflfppkpkdtlmsirtpevtcv vvdvshedpevkfnwyvdgvevhnaktkpc eeqygstyrcvsvltvlhqdwlngkeykck vsnkalpapiektiskakgpprepqvytlp psreemtknqvsltcclvkgfypsdiavewe sngqpennykttppvldsdsfflyskltv dkrwrqqgnvfscsvmhealhnhytqksls lspggggsgggsgggsgggsgggsgggsgg ggsdkthtcppcpapellggpsvflfppkp kdtlmsirtpevtcvvvdvshedpevkfnw yvdgvevhnaktkpcceeqygstyrcvsvlt vlhqdwlngkeykckvsnkalpapiektis kakgpprepqvytlppsreemtknqvsltc lvkgfypsdiavewesngqpennykttppv ldsdsfflyskltvdkrwrqqgnvfscsv mhealhnhytqkslsispsgk</p>
116.	MS_3xCD3-	VH CDR1	dhym

	scFc		
117.	MS_3xCD3- scFc	VH CDR2	yisssggiyyadsvkg
118.	MS_3xCD3- scFc	VH CDR3	dvgshfdy
119.	MS_3xCD3- scFc	VL CDR1	rasqdisrwla
120.	MS_3xCD3- scFc	VL CDR2	aasrlqs
121.	MS_3xCD3- scFc	VL CDR3	qqaksfprt
122.	MS_3xCD3- scFc	VH	qvqlvesggglvdkpggslrlscaasgftfs dhymwirqapgglewfsyisssggiyy adsvkgrftisrdnaknslylqmnsraed tavyycardvgshfdywgqgtlvtvss
123.	MS_3xCD3- scFc	VL	diqmtqspssvsasvgdrvtitcrasqdis rwlawyqqkpgkapkllisaasrlqsgvps rfsgsgsgtdftltisslqpedfaiyycqq aksfprtfgqgtkveik
124.	MS_3xCD3- scFc	scFv	qvqlvesggglvdkpggslrlscaasgftfs dhymwirqapgglewfsyisssggiyy adsvkgrftisrdnaknslylqmnsraed tavyycardvgshfdywgqgtlvtvssggg gsgggsgggsgdiqmtqspssvsasvgdr vtitcrasqdisrwlawyqqkpgkapklli saasrlqsgvpsrfsgsgsgtdftltissl qpedfaiyycqqaksfprtfgqgtkveik
125.	MS_3xCD3- scFc	Биспецифи ческая молекула	qvqlvesggglvdkpggslrlscaasgftfs dhymwirqapgglewfsyisssggiyy adsvkgrftisrdnaknslylqmnsraed tavyycardvgshfdywgqgtlvtvssggg gsgggsgggsgdiqmtqspssvsasvgdr vtitcrasqdisrwlawyqqkpgkapklli saasrlqsgvpsrfsgsgsgtdftltissl qpedfaiyycqqaksfprtfgqgtkveiks

			<p>ggggsevqlvesggglvqpggslklscaas gftfnkyamnwvrqapgglewvarirsky nnyatyyadsvkdrftisrddskntaylqm nnlktedtavyycvrhgnfgnsyisywayw gggtlvtvssgggsgggsgggsggtvvt qepsltvspggtvtltcgsstgavtsgnyp nwwqqkpgqaprgliggtkflapgtparfs gsllggkaaltlsgvqpedeaeyycvlwys nrwvfgggtkltvl</p>
126.	MS_3xCD3- scFc	Биспецифическая молекула HLE	<p>qvqlvesggglvkpggslrlscaasgftfs dhymswirqapgglewfsyisssggiyy adsvkgrftisrdnaknsllylqmnsraed tavyycardvgshfdywggtlvtvssggg gsgggsgggsgdiqmtqspssvsasvdr vtitcrasqdisrwlawyqqkpgkapklli saasrlqsgvpsrfsqsgsgtdftltissl qpedfaiyycqakfsprtfgggtkveiks ggggsevqlvesggglvqpggslklscaas gftfnkyamnwvrqapgglewvarirsky nnyatyyadsvkdrftisrddskntaylqm nnlktedtavyycvrhgnfgnsyisywayw gggtlvtvssgggsgggsgggsggtvvt qepsltvspggtvtltcgsstgavtsgnyp nwwqqkpgqaprgliggtkflapgtparfs gsllggkaaltlsgvqpedeaeyycvlwys nrwvfgggtkltvlgggdkthtcppcpap ellggpsvflfppkpkdtlmisrtpevtcv vvdvshedpevkfnwyvdgvevhnaktkpc eeqygstyrcvsvltvlhqdwlngkeykck vsnkalpapiektiskakgqprepvytlp psreemtknqvsltclvkgyfypsdiavewe sngqpennyktppvldsdgsfflyskltv dksrwqqgnvfscsvmhealhnhytqksls lspgkgggsgggsgggsgggsgggsgggsg gggsgdkthtcppcpapellggpsvflfpp</p>

			<p>kpkdtlmisrtpevtcvvvdvshedpevkf nwyvdgvevhnaktkpceeegystyrcvsv ltvlhqdwlngkeykckvsnkalpapiekt iskakgqprepqvvtlppsreemtknqvsl tclvkgyfypsdiavewesngqpennykttp pvl dsdgsfflyskltvdksrwqqgnvfsc svmhealhnhytqksls l spgk</p>
127.	MS_3xCD3- scFc_delGK	<p>Биспецифи ческая молекула HLE</p>	<p>qvqlvesggglvkpggslrlscaasgftfs dhymwirqapgkglewfsyisssggiyy adsvkgrftisrdnaknsllylqmnsraed tavyycardvgshfdywgqgtltvtvssggg gsgggsggggsdiqmtqspssvsasvdr vtitcrasqdisrwlawyqqkpgkapkli saasrlqsgvpsrfsrgsgsgtdftltissl qpedfaiyyccqaksfprtfgqgkveiks ggggsevqlvesggglvqpggslklscaas gftfnkyamnwvrqapgkglewvarirsky nnyatyadsvkdrftisrddskntaylqm nnlktedtavyycvrhgnfgnsyisywayw gqgtltvtvssggggsgggsgggsgtvtvt qepsltvspggtvtltcgsstgavtsgnyp nwwqqkpgqaprgliggtkflapgtparfs gsllggkaaltlsgvqpedaeeycwlwys nrwvfgggtkltvlgggdkthtcppcpap ellggpsvflfppkpkdtlmisrtpevtcv vdvshedpevkfnwyvdgvevhnaktkpc eeqygstyrcvsvltvlhqdwlngkeykck vsnkalpapiektiskakgqprepqvvtlp psreemtknqvsltclvkgyfypsdiawe sngqpennykttpvl dsdgsfflyskltv dksrwqqgnvfscsvmhealhnhytqksls lspggggsgggsgggsgggsgggsgggsgg ggsdkthtcppcpapellggpsvflfppk kdtlmisrtpevtcvvvdvshedpevkfnw yvdgvevhnaktkpceeegystyrcvsvlt</p>

			vlhqdwlngkeykckvsnkalpapiektis kakgqprepqvylppsreemtknqvsltc lvkgfyfysdiavewesngqpennykttppv ldsdgsfflyskltvdksrwqqgnvfscsv mhealhnhytqkslslspgk
128.	MS_3_CCxCD3 -scFc	VH	qvqlvesggglvkgpgslrlscaasgftfs dhymswirqapgkclewfsyissggiiyy adsvkgrftisrdnaknslylqmnsraed tavyycardvgshfdywgqgtlvtvss
129.	MS_3_CCxCD3 -scFc	VL	diqmtqspssvsasvgdrvtitcrasqdis rwlawyqqkpgkapkllisaasrlqsgvps rfsqsgsgtdftltisslqpedfaiyycqq aksfprtfgcgtkveik
130.	MS_3_CCxCD3 -scFc	scFv	qvqlvesggglvkgpgslrlscaasgftfs dhymswirqapgkclewfsyissggiiyy adsvkgrftisrdnaknslylqmnsraed tavyycardvgshfdywgqgtlvtvssggg gsgggsggggsdiqmtqspssvsasvgdr vtitcrasqdisrwlawyqqkpgkapklli saasrlqsgvpsrfsqsgsgtdftltissl qpedfaiyycqqaksfprtfgcgtkveik
131.	MS_3_CCxCD3 -scFc	биспецифическая молекула	qvqlvesggglvkgpgslrlscaasgftfs dhymswirqapgkclewfsyissggiiyy adsvkgrftisrdnaknslylqmnsraed tavyycardvgshfdywgqgtlvtvssggg gsgggsggggsdiqmtqspssvsasvgdr vtitcrasqdisrwlawyqqkpgkapklli saasrlqsgvpsrfsqsgsgtdftltissl qpedfaiyycqqaksfprtfgcgtkveiks ggggsevqlvesggglvkgpgslrlscaas gftfnkyamnvrqapgglewvarirsky nnyatyadsvkdrftisrddskntaylqm nnlktedtavyycvrhgnfgnsyisywayw gggtlvtvssggggsgggsgggsgtvtvt qepsltvspggtvtltcgsstgavtsnyp

			nvwqqkpgqaprgliggtkflapgtparfs gslggkaaltlsgvqpedeaeyycvlwys nrwvfgggtkltvl
132.	MS_3_CCxCD3 -scFc	Биспецифическая молекула HLE	qvqlvesggglvkpggslrlscaasgftfs dhymwirqapgkclewfsyissggiiyy adsvkgrftisrdnaknsllylqmnsraed tavyycardvgshfdywgqgtlvtvssggg gsgggsggggsdiqmtqspssvsasvdr vtitcrasqdisrwlawyqqkpgkapkli saasrlqsgvpsrfsqsgsgtdftltissl qpedfaiyycqqaksfprtfgcgtkveiks ggggsevqlvesggglvqpggslklscaas gftfnkyamnwvrqapgkglewvarirsky nnyatyadsvkdrftisrddskntaylqm nnlktedtavyyvrhgnfgnsyisywayw gggtlvtvssggggsgggsgggsgtvtvt qepsltvspggtvtltcgsstgavtsgnyp nvwqqkpgqaprgliggtkflapgtparfs gslggkaaltlsgvqpedeaeyycvlwys nrwvfgggtkltvlgggdkthtccppcap ellggpsvflfppkpkdtlmsrtpevtcv vvdvshedpevkfnwyvdgvevhnaktkpc eeqygstycvsvltvlhqdwlngkeykck vsnkalpapiektiskakgqprepvytlp psreemtknqvsltclvkgyfypsdiavewe sngqpennykttpvldsdgsfflyskltv dkrwwqqgnvfscsvmhealthhnytqksls lspgkggggsgggsgggsgggsgggsg gggsgdkthtccppcapellggpsvflfpp kpkdtlmsrtpevtcvvvdvshedpevkf nwyvdgvevhnaktkpcqygstycvsv ltvlhqdwlngkeykckvsnkalpapiekt iskakgqprepvytlppsreemtknqvsl tclvkgyfypsdiavewesngqpennykttp pvlldsdgsfflyskltvdkrwwqqgnvfsc

			svmhealhnhytqkslsispgk
133.	MS_3_CCxCD3 -scFc_delGK	Биспецифическая молекула HLE	<p> qvqlvesggglvkgpgslrlscaasgftfs dhymwirqapgkclewfsyisssggiyy adsvkgrftisrdnaknslqlmnsraed tavyycardvgshfdywgqglvtvssggg gsgggsggggsdiqmtqspssvsasvdr vtitcrasqdisrwlawyqqkpgkapkli saasrlqsgvpsrfsfgsgsgtdftltissl qpedefaiyycqaksfprtfgcgtkveiks ggggsevqlvesggglvqpggsklscaas gftfnkyamnwvrqapgkglewvarirsky nnyatyadsvkdrftisrddskntaylqm nnlktedtavyycvrhgnfgnsyisywayw gggtlvtvssggggsgggsgggsgtvtv qepsltvspggtvtltcgsstgavtsgnyp nwwqqkpgqaprgligntkflapgtparfs gsllgkaaltlsgvqpedeaeeycvlwys nrwvfggkklvtlvgggdkthtcppcpap ellggpsvflfppkpkdtlmisrtpevtcv vvdvshedpevkfnwyvdgvevhnaktkpc eeqygstyrcvsvltvlhqdwlngkeykck vsnkalpapiektiskakgpprepqvytlp psreemtknqvsltcclvkgfyfypsdiawe sngqpennyktppvldsdgsfflyskltv dksrwqqgnvfscsvmhealhnhytqksls lspggggsgggsgggsgggsgggsgggsgg ggsdkthtcppcpapellggpsvflfppkp kdtlmisrtpevtcvvvdvshedpevkfnw yvdgvevhnaktkpcceeqygstyrcvsvlt vlhqdwlngkeykckvsnkalpapiektis kakgpprepqvytlppsreemtknqvsltc lvkgfyfypsdiawesngqpennyktppv ldsdgsfflyskltvdksrwqqgnvfscsv mhealhnhytqkslsispgk </p>
134.	CH_1xCD3-	VH CDR1	sygmh

	scFc		
135.	CH_1xCD3- scFc	VH CDR2	fiwydgsnkyadsvkd
136.	CH_1xCD3- scFc	VH CDR3	ragiigtigyyygmdv
137.	CH_1xCD3- scFc	VL CDR1	sgdrlgekyts
138.	CH_1xCD3- scFc	VL CDR2	qdtkrps
139.	CH_1xCD3- scFc	VL CDR3	qawesstvv
140.	CH_1xCD3- scFc	VH	qvqlvesgggvvqpggslrlscaasgftfs sygmhwrqapgkglewvafiwydgsnky adsvkdrftisrdnskntlylqmnsraed tavyyarragiigtigyyygmdvwgqggt vtvss
141.	CH_1xCD3- scFc	VL	syeltqppsvsvspgqtasitcsgdrlgek ytswyqqrpgqspllviyqdtkrpser fsgsngntatltisgtqamdeadyycqaw esstvvfgggtklvtl
142.	CH_1xCD3- scFc	scFv	qvqlvesgggvvqpggslrlscaasgftfs sygmhwrqapgkglewvafiwydgsnky adsvkdrftisrdnskntlylqmnsraed tavyyarragiigtigyyygmdvwgqggt vtvssggggsgggsgggssyeltqppsv svspgqtasitcsgdrlgekytswyqqrpg qspllviyqdtkrpserfsgsngnta tltisgtqamdeadyycqawesstvvfggg tkltvl
143.	CH_1xCD3- scFc	Биспецифи ческая молекула	qvqlvesgggvvqpggslrlscaasgftfs sygmhwrqapgkglewvafiwydgsnky adsvkdrftisrdnskntlylqmnsraed tavyyarragiigtigyyygmdvwgqggt vtvssggggsgggsgggssyeltqppsv svspgqtasitcsgdrlgekytswyqqrpg

			<p>qspllviiyqdtkrpsgiperfsgsngnta tltisgtqamdeadyycqawesstvvfggg tkltvlsggggsevqlvesggglvqpggs1 klscaasgftfnkyamnvrqapggglewv arirskynnyatyadsvkdrftisrddsk ntaylqmnnlktedtavyycvrhgnfgnsy isywaywqggtlvtvssggggsgggsggg gsqvtvtqeps1tvspggtvltcgsstga vtsgnypnwvqqkpgqaprgliggtkflap gtparfsgsllggkaaltlsgvqpedeae ycvlwysnrwvfgggtkltvl</p>
144.	CH ₁ xCD3- scFc	Биспецифическая молекула HLE	<p>qvqlvesgggvvqpggs1rlscaasgftfs sygmhvrqapggglewvafiwydgsnkyy advkdrftisrdnskntlylqmns1raed tavyycarragiigtigyyygmdvwgqggt vtvssggggsgggsgggsgssyeltqppsv svspggtasitcsgdrlgekytswyqrrpg qspllviiyqdtkrpsgiperfsgsngnta tltisgtqamdeadyycqawesstvvfggg tkltvlsggggsevqlvesggglvqpggs1 klscaasgftfnkyamnvrqapggglewv arirskynnyatyadsvkdrftisrddsk ntaylqmnnlktedtavyycvrhgnfgnsy isywaywqggtlvtvssggggsgggsggg gsqvtvtqeps1tvspggtvltcgsstga vtsgnypnwvqqkpgqaprgliggtkflap gtparfsgsllggkaaltlsgvqpedeae ycvlwysnrwvfgggtkltvlgggdktht cppcpapellggpsvflfppkpkdtlmisr tpevtcvvvdvshedpevkfnwyvdgvevh naktkpceeqygstycvsvltvlhqdwn gkeykckvsnkalpapiektiskakgqpre pqvytlppsreemtknqvsltclvkgyfyps diavewesngqpennykttppvldsdsff lyskltvdksrwqqgnvfscsvmhealnhh</p>

			ytqkslslsipgkggggsgggsgggsgggsggg gsgggsgggsgkthtccppcapellggp svflfppkpktlmsrtpevtcvvvdvsh edpevkfnwyvdgvevhnaktkpceeegys tyrcvsvltvlhqdwlngkeykckvsnkal papiektiskakggprepqvylppsreem tknqvsltclvkgfypsdiavewesngqpe nnykttppvldsdsfflyskltvdksrwq qgnvfscsvmhealthhhtqkslslsipgk
145.	CH_1xCD3- scFc_deGK	Биспецифи- ческая молекула HLE	qvqlvesgggvvqpggslrlscaasgftfs sygmhwrqapggklewvafiwydgsnkyy adsvkdrftisrdnsntlylqmnsraed tavyyarragiigtigyymdvwgqgtt vtvssggggsgggsgggsgssyeltqppsv svspgqtasitcsgdrlgekytswyqprg qspllvlyqdtkrpsgiperfsgsngnta tltisgtqamdeadyycqawesstvfggg tkltvlsggggsevqlvesggglvqpggsl klscaasgftfnkyamnwrqapggklewv arirskynnyatyadsvkdrftisrddsk ntaylqmnnlktedtavyycvrhgnfgnsy isywaywgggtlvtvssggggsgggsggg gsqvtvtqepsltvspggtvtltcgsstga vtsgnypnwvqqkpgqaprgliggtkflap gtparfsgsllggkaaltlsgvqpedeae ycvlwysnrwvfgggtklvtlvgggdktht cppcapellggpsvflfppkpktlmsr tpevtcvvvdvshedpevkfnwyvdgvev naktkpceeegystyrcvsvltvlhqdwln gkeykckvsnkalpapiektiskakggpre pqvylppsreemtknqvsltclvkgfyps diavewesngqpennykttppvldsdsff lyskltvdksrwqgnvfscsvmhealthh ytqkslslsipggggsgggsgggsgggsggg ggggsgggsgkthtccppcapellggpsv

			flfppkpkdtlmisrtpevtcvvvdvshed pevkfnwyvdgvevhnaktkpceeaygsty rcvsvltvlhqdwlngkeykckvsnkalpa piektiskakgqprepqvylppsreemtk nqvsltclvkgfyfypsdiavewesnggpenn ykttppvldsdsfflyskltvdksrwqgg nvfscsvmhealhnhytqkslsispkg
146.	CH_1_CCxCD3 -scFc	VH	qvqlvesgggvvqpggslrlscaasgftfs sygmhwrqapgkclewvafiwydgsnkyy adsvkdrftisrdnskntlylqmnsraed tavyyarragiigtigyyygmdvwgqggtt vtvss
147.	CH_1_CCxCD3 -scFc	VL	syeltqppsvsvspgqtasitcsgdrlgek ytswyqqrpgqspllviyqdkrpsgiper fsgsngntatltisgtqamdeadyycqaw esstvfqcgtkltvl
148.	CH_1_CCxCD3 -scFc	scFv	qvqlvesgggvvqpggslrlscaasgftfs sygmhwrqapgkclewvafiwydgsnkyy adsvkdrftisrdnskntlylqmnsraed tavyyarragiigtigyyygmdvwgqggtt vtvssggggsgggsgggssyeltqppsv svspgqtasitcsgdrlgekytswyqqrpg qspllviyqdkrpsgiperfsgsngnta tltisgtqamdeadyycqawesstvfqcg tkltvl
149.	CH_1_CCxCD3 -scFc	Биспецифическая молекула	qvqlvesgggvvqpggslrlscaasgftfs sygmhwrqapgkclewvafiwydgsnkyy adsvkdrftisrdnskntlylqmnsraed tavyyarragiigtigyyygmdvwgqggtt vtvssggggsgggsgggssyeltqppsv svspgqtasitcsgdrlgekytswyqqrpg qspllviyqdkrpsgiperfsgsngnta tltisgtqamdeadyycqawesstvfqcg tkltvlsggggsevqlvesggglvqpggsl klscaasgftfnkyamnvrqapgglewv

			<p>arirskynnyatyadsvkdrftisrddsk ntaylqmnlnktdtavyycvrhgnfgnsy isywaywgggtlvtvssggggsgggsggg gsqvtvtqepsltvspggtvtltcgsstga vtsgnypnwvqqkpgqaprgligntkflap gtparfsgsllggkaaltlsgvqpedeae ycvlwysnrwvfgggtkltvl</p>
150.	CH_1_CCxCD3 -scFc	<p>Биспецифическая молекула HLE</p>	<p>qvqlvesgggvvqpggsrlrlscaasgftfs sygmhwrqapgkclewvafiwydgsnkyy adsvkdrftisrdnskntlylqmnsraed tavyyarragiigtigygygmdvvgggtt vtvssggggsgggsgggsgssyeltqppsv svspgqtasitcsgdrlgekytswyqrrpg qspllviyqdtkrpsgiperfsgsngnta tltisgtqamdeadyycawesstvfvcg tkltvlsggggsevqlvesggglvqpggs klscaasgftfnkyamnwvrqapgglewv arirskynnyatyadsvkdrftisrddsk ntaylqmnlnktdtavyycvrhgnfgnsy isywaywgggtlvtvssggggsgggsggg gsqvtvtqepsltvspggtvtltcgsstga vtsgnypnwvqqkpgqaprgligntkflap gtparfsgsllggkaaltlsgvqpedeae ycvlwysnrwvfgggtkltvlgggdktht cpcpapellggpsvflfppkpkdtlmisr tpevtcvvvdvshdpevkfnwyvdgvevh naktkpceeegstycvsvltvlhqdwln gkeykckvsnkalpapiektiskakgpre pqvytlppsreemtknqvsltclvkgyfys diavewesngqpennyktpvldsdgsff lyskltvdksrwqqgnvfscsvmhealhh ytqkslslspgkgggsgggsgggsggg gsgggsgggsgdkthtcpcpapellggp svflfppkpkdtlmisrtpevtcvvvdvsh edpevkfnwyvdgvevhnaktkpceeegys</p>

			tyrcvsvltvlhqdwlngkeykckvsnk papiektiskakgqprepqvylppsreem tknqvsltclvkgfypsdiavewesngqpe nnykttppvldsdsfflyskltvdksrwq qgnvfscsvmhealhhhtqkslsispqk
151.	CH_1_CCxCD3 -scFc_delGK	Биспецифи ческая молекула HLE	qvqlvesgggvvqpgslrlscaasgftfs sygmhwrqapgkclewvafiwydgsnkyy adsvkdrftisrdnskntlylqmnsraed tavyyarragiigtigyyygmdvvgqgtt vtvssggggsgggsgggssyeltqppsv svspgqtasitcsgdrlgekytswyqrrpg qspllvlyqdtkrpserfsgsngnta tltisgtqamdeadyycqawesstvfgcg tkltvlsggggsevqlvesggglvqpgsl klscaasgftfnkyamnwvrqapgkglew arirskynnyatyadsvkdrftisrddsk ntaylqmnnktdtavyycvrhgnfgnsy isywaywgqgtlvtvssggggsgggsggg gsqvtvtqepsltvspggtvltcgsstga vtsgnypnwvqkpgqaprgliggtkflap gtparfsgslggkaaltlsgvqpedeaey ycvlwysnrwvfgggtkltvlgggdktht cppcpapellggpsvflfppkpkdtlmisr tpevtcvvvdvshedpevkfnwyvdgvevh naktkpceezygstyrcvsvltvlhqdwln gkeykckvsnkalpapiektiskakgpre pqvylppsreemtknqvsltclvkgfyps diavewesngqpennykttppvldsdsff lyskltvdksrwqqgnvfscsvmhealhh ytqkslsispggggsgggsgggsggggs ggggsgggsgdkthtcppcpapellggpsv flfppkpkdtlmisrtpevtcvvvdvshed pevkfnwyvdgvevhnaktkpceezygsty rcvsvltvlhqdwlngkeykckvsnk palektiskakgqprepqvylppsreemtk

			nqvsltclvkgyfypsdiavewesngqpenn ykttppvldsdgsfflyskltvdksrwqgg nvfscsvmhealthhnyhtqkslslspgk
152.	CH_2xCD3- scFc	VH CDR1	sygmh
153.	CH_2xCD3- scFc	VH CDR2	fiwydgsnkyyadsvkg
154.	CH_2xCD3- scFc	VH CDR3	ragiigtigyyygmdv
155.	CH_2xCD3- scFc	VL CDR1	sgdrlgekyts
156.	CH_2xCD3- scFc	VL CDR2	qdtkrps
157.	CH_2xCD3- scFc	VL CDR3	qawesstvv
158.	CH_2xCD3- scFc	VH	qvqlvesgggvvqpggslrlscaasgftfs sygmhwrqapgkglewvafiwydgsnkyy adsvkgrftisrdnskntlylqmnsraed tavyyarragiigtigyyygmdvwgqggtt vtvss
159.	CH_2xCD3- scFc	VL	syeltqppsvsvspgqtasitcsgdrlgek ytswyqqrpgqspllviyqdtkrpsgiper fsgsngntatltisgtqamdeadyycqaw esstvvfgggtklvtl
160.	CH_2xCD3- scFc	scFv	qvqlvesgggvvqpggslrlscaasgftfs sygmhwrqapgkglewvafiwydgsnkyy adsvkgrftisrdnskntlylqmnsraed tavyyarragiigtigyyygmdvwgqggtt vtvssggggsgggsgggssyeltqppsv svspgqtasitcsgdrlgekytswyqqrpg qspllviyqdtkrpsgiperfsgsngnta tltisgtqamdeadyycqawesstvvfggg tkltvl
161.	CH_2xCD3- scFc	Биспецифи ческая	qvqlvesgggvvqpggslrlscaasgftfs sygmhwrqapgkglewvafiwydgsnkyy

		молекула	<p>adsvkgrftisrdnskntlylqmnsraed tavyycarragiigtigygygmdvwgqgtt vtvssggggsgggsgggssyeltqppsv svspgqtasitcsgdrlgekytswyqrrpg qspllviyqdtkrpsgiperfsgsngnta tltisgtqamdeadyycqawesstvfvgg tkltvlsggggsevqlvesggglvqpggs1 klscaasgftfnkyamnwrqapgkglewv arirskynnyatyadsvkdrftisrddsk ntaylqmnlktedtavyycvrhgnfgnsy isywaywqggtlvtvssggggsgggsggg gsqtvtqeps1tvspggtvltcgsstga vtsgnypnwvqkpgqaprgliggtkflap gtparfsgsllggkaaltlsgvpedeae ycvlwysnrwvfgggtkltvl</p>
162.	CH ₂ ×CD3- scFc	Биспецифическая молекула HLE	<p>qvqlvesgggvvqpggs1rlscaasgftfs sygmhwrqapgkglewvafiwydgsnkyy adsvkgrftisrdnskntlylqmnsraed tavyycarragiigtigygygmdvwgqgtt vtvssggggsgggsgggssyeltqppsv svspgqtasitcsgdrlgekytswyqrrpg qspllviyqdtkrpsgiperfsgsngnta tltisgtqamdeadyycqawesstvfvgg tkltvlsggggsevqlvesggglvqpggs1 klscaasgftfnkyamnwrqapgkglewv arirskynnyatyadsvkdrftisrddsk ntaylqmnlktedtavyycvrhgnfgnsy isywaywqggtlvtvssggggsgggsggg gsqtvtqeps1tvspggtvltcgsstga vtsgnypnwvqkpgqaprgliggtkflap gtparfsgsllggkaaltlsgvpedeae ycvlwysnrwvfgggtkltvlgggdktht cppcpapellggs1vflfppkpkdtlmsr tpevtcvvdvshedpevkfnwyvdgvevh naktkpcee1ygstyrcvsvltvlhqdwl</p>

		<p>gkeykckvsnkalpapiektiskakgpre pqvytlppsreemtknqvsltclvkgfyps diavewesngqpennykttppvldsdsff lyskltvdksrwqgnvfscsvmhealthnh ytqkslslspgkggggsgggsgggsggg gsgggsgggsgskthtcppcpapellggp svflfppkpkdtlmisrtpevtcvvvdvsh edpevkfnwyvdgvevhnaktkpceeegys tyrcvsvltvlhqdwlngkeykckvsnk alpapiektiskakgprepqvytlppsreem tknqvsltclvkgfypsdiavewesngqpe nnykttppvldsdsfflyskltvdksrwq qgnvfscsvmhealthnhytqkslslspgk</p>
<p>163.</p>	<p>CH₂×CD3- scFc_{del}GK</p>	<p>Биспецифическая молекула HLE</p> <p>qvqlvesgggvvqpggslrlscaasgftfs sygmhwrqapgkglewvafiwydgsnkyy adsvkgrftisrdnskntlylqmnsraed tavyyarragiigtigygygmdvwgqgtt vtvsaggggsgggsgggsggyeltqppsv svspgqtasitcsgdrlgekytswyqrrpg qspllviyqdtkrpsgiperfsgsngnta tltisgtqamdeadyycqawesstvfggg tkltvlsggggsevqlvesggglvqpggsl klscaasgftfnkyamnwrqapgkglewv arirskynnyatyadsvkdrftisrddsk ntaylqmnnlktedtavyycvrhgnfgnsy isywaywgqgtlvtvsaggggsgggsggg gsqtvtqepsltvspggtvltcgsstga vtsgnypnwvqkpgqaprgliggtkflap gtparfsgsllggkaaltlsgvqpedeaey ycvlwysnrwvfgggtklvtlvgggdktht cppcpapellggpsvflfppkpkdtlmisr tpevtcvvvdvshedpevkfnwyvdgvev naktkpceeegystyrcvsvltvlhqdwln gkeykckvsnkalpapiektiskakgpre pqvytlppsreemtknqvsltclvkgfyps</p>

			<p>diavewesngqpennykttppvldsdsff lyskltvdksrwqqgnvfscsvmhealnhh ytqkslslspggggsgggsgggsgggsg ggggsgggsgdkthtcppcpapellggpsv flfppkpkdtlmisrtpevtcvvvdvshed pevkfnwyvdgvevhnaktkpceeegsty rcvsvltvlhqdwlngkeykckvsnkalpa piektiskakgqprepvytlppsreemtk nqvsltclvkgfypsdiavewesngqpenn yktppvldsdsfflyskltvdksrwqqg nvfscsvmhealnhhtqkslslspgk</p>
164.	CH_2_CCxCD3 -scFc	VH	<p>qvqlvesgggvvqpggslrlscaasgftfs sygmhwrqapgkclewvafiwydgsnkyy adsvkgrftisrdnskntlylqmnsraed tavyyarragiigtigyyygmdvwgqggt vtvss</p>
165.	CH_2_CCxCD3 -scFc	VL	<p>syeltqppsvsvspgqtasitcsgdrlgek ytswyqqrpgqspllviyqdkrpsgiper fsgsngntatltisgtqamdeadyycqaw esstvfvcgctkltvl</p>
166.	CH_2_CCxCD3 -scFc	scFv	<p>qvqlvesgggvvqpggslrlscaasgftfs sygmhwrqapgkclewvafiwydgsnkyy adsvkgrftisrdnskntlylqmnsraed tavyyarragiigtigyyygmdvwgqggt vtvssggggsgggsgggsgggssyeltqppsv svspgqtasitcsgdrlgekytswyqqrpg qspllviyqdkrpsgiperfsgsngnta tltisgtqamdeadyycqawesstvfvcg tkltvl</p>
167.	CH_2_CCxCD3 -scFc	биспецифическая молекула	<p>qvqlvesgggvvqpggslrlscaasgftfs sygmhwrqapgkclewvafiwydgsnkyy adsvkgrftisrdnskntlylqmnsraed tavyyarragiigtigyyygmdvwgqggt vtvssggggsgggsgggsgggssyeltqppsv svspgqtasitcsgdrlgekytswyqqrpg</p>

			<p>qspllvlyqdtkrpserfsgsngnta tltisgtqamdeadyycqawesstvfqcg tkltvlsggggsevqlvesggglvqpggs1 klscaasgftfnkyamnvrqapkglew arirskynnyatyadsvkdrftisrddsk ntaylqmnnkktedtavyycvrhgnfgnsy isywaywqggtlvtvssggggsgggsggg gsqvtvtqeps1tvspggtvltcgsstga vtsgnypnwvqkpgqaprgliggtkflap gtparfsgsllggkaaltlsgvqpedeaey ycvlwysnrwvfgggtkltvl</p>
168.	CH_2_CCxCD3 -scFc	биспецифи ческая молекула	<p>qvqlvesgggvvqpggs1rlscaasgftfs sygmhvrqapgkclewvafiwydgsnkyy adsvkgrftisrdnskntlylqmns1raed tavyycarragiigtigyygm1dvwgqggt vtvssggggsgggsgggsgssyeltqppsv svspggtasitcsgdrlgekytswyqrpq qspllvlyqdtkrpserfsgsngnta tltisgtqamdeadyycqawesstvfqcg tkltvlsggggsevqlvesggglvqpggs1 klscaasgftfnkyamnvrqapkglew arirskynnyatyadsvkdrftisrddsk ntaylqmnnkktedtavyycvrhgnfgnsy isywaywqggtlvtvssggggsgggsggg gsqvtvtqeps1tvspggtvltcgsstga vtsgnypnwvqkpgqaprgliggtkflap gtparfsgsllggkaaltlsgvqpedeaey ycvlwysnrwvfgggtkltvlgggdktht cpcpapellggpsvflfppkpkdtlmsr tpevtcvvvdvshedpevkfnwyvdgvevh naktkpcee1ygstyrcvsvltvlhqdwln gkeykckvsnkalpapiektiskakqpre pqvytlppsreemtknqvsltclvkgfyps diavewesngqpennykttppvlds1g1ff lyskltvdksrwqqgnvfscsvmhealhh</p>

			<p>ytqkslslspgkgggsgggsgggsgggsggg gsgggsgggsgkthtcppcpapellggp svflfppkpkdtlmisrtpvctvvdvsh edpevkfnwyvdgvevhnaktkpceeegys tyrcvsvltvlhqdwlngkeykckvsnkal papiektiskakgprepqvvtlppsreem tknqvsitclvkgfypsdiawewesnggpe nnykttppvldsdsfflyskltvdksrwq qgnvfscsvmhealhhhtqkslslspgk</p>
169.	CH_2_CCxCD3 -scFc_delGK	биспецифическая молекула	<p>qvqlvesgggvvqpggslrlscaasgftfs sygmhwvrqapgkclewvafiwydgsnkyy adsvkgrftisrdnskntlylqmnsiraed tavyyarragiigtigyymdvwgqgtt vtvsggggsgggsgggsgggssyeltqppsv svspgqtasitcsgdrlgekytswyqrrpg qspllvlyqdtkrpsgiperfsgsngnta tltisgtqamdeadyycawesstvvfgcg tkltvlsggggseqlvesggglvqpggsl klscaasgftfnkyamnwvrqapgkglew arirskynnyatyadsvkdrftisrddsk ntaylqmnnlktedtavyycvrhgnfgnsy isywaywqggtlvtvssggggsgggsggg gsqtvtqepsitvspggtvtltcgsstga vtsgnypnwvqqkpgqaprgliggtkflap gtparfsgsllggkaaltlsgvqpedeaey ycvlwysnrwvfgggtklvtlvgggdktht cppcpapellggpsvflfppkpkdtlmisr tpevtcvvdvshedpevkfnwyvdgvev naktkpceeegstyrcvsvltvlhqdwln gkeykckvsnkalpapiektiskakgpre pqvvtlppsreemtknqvsitclvkgfyps diawewesnggpennykttppvldsdsff lyskltvdksrwqqgnvfscsvmhealhh ytqkslslspgggsgggsgggsgggsggg gggsgggsgkthtcppcpapellggpsv</p>

			flfppkpkdtlmisrtpevtcvvvdvshed pevkfnwyvdgvevhnaktkpceeegysty rcvsvltvlhqdwlngkeykckvsnkalpa piektiskakgqprepqvylppsreemtk nqvsltclvkgfypsdiavewesnggpenn ykttppvldsdgsfflyskltvdksrwqgg nvfscsvmhealhnhytqkslsispkg
170.	CH_3xCD3- scFc	VH CDR1	sygmh
171.	CH_3xCD3- scFc	VH CDR2	fiwyegsnkyyaesvkd
172.	CH_3xCD3- scFc	VH CDR3	ragiigtigyyygmdv
173.	CH_3xCD3- scFc	VL CDR1	sgdrlgekyts
174.	CH_3xCD3- scFc	VL CDR2	qdtkrps
175.	CH_3xCD3- scFc	VL CDR3	qawesstvv
176.	CH_3xCD3- scFc	VH	qvqlvesgggvvqpggslrlscaasgftfs sygmhwvrqapgkglewvafiwyegsnkyy aesvkdrftisrdnskntlylqmnsraed tavyyarragiigtigyyygmdvwgqggtt vtvss
177.	CH_3xCD3- scFc	VL	syeltqppsvsvspgqtasitcsgdrlgek ytswyqqrpgqspllviyqdtkrpsgiper fsgsngntatltisgtqamdeadyycqaw esstvvfgggtkltvl
178.	CH_3xCD3- scFc	scFv	qvqlvesgggvvqpggslrlscaasgftfs sygmhwvrqapgkglewvafiwyegsnkyy aesvkdrftisrdnskntlylqmnsraed tavyyarragiigtigyyygmdvwgqggtt vtvssggggsgggsgggssyeltqppsv svspgqtasitcsgdrlgekytswyqqrpg qspllviyqdtkrpsgiperfsgsngnta

			tltisgtqamdeadyycqawesstvfggg tkltvl
179.	CH ₃ CD3- scFc	Биспецифическая молекула	qvqlvesgggvvqpggslrlscaasgftfs sygmhwrqapggkglewvafiweyegsnkyy aesvkdrftisrdnskntlylqmnsdraed tavyyarragiigtigygygmdvwgqgtt vtvssggggsgggsgggssyeltqppsv svspgqtasitcsgdrlgekytswyqrrpg qspllviyqdtkrpsgiperfsgsngnta tltisgtqamdeadyycqawesstvfggg tkltvlsggggsevqlvesggglvqpggsl klscaasgftfnkyamnwvrqapggkglewv arirskynnyatyadsvkdrftisrddsk ntaylqmnnlktedtavyycvrhgnfgnsy isywaywqggtlvtvssggggsgggsggg gsqvtvtqepsltvspggtvtltcgsstga vtsgnypnwvqqkpgqaprgliggtkflap gtparfsgsllggkaaltlsgvqpedeae ycvlwysnrwvfgggtklvl
180.	CH ₃ CD3- scFc	Биспецифическая молекула HLE	qvqlvesgggvvqpggslrlscaasgftfs sygmhwrqapggkglewvafiweyegsnkyy aesvkdrftisrdnskntlylqmnsdraed tavyyarragiigtigygygmdvwgqgtt vtvssggggsgggsgggssyeltqppsv svspgqtasitcsgdrlgekytswyqrrpg qspllviyqdtkrpsgiperfsgsngnta tltisgtqamdeadyycqawesstvfggg tkltvlsggggsevqlvesggglvqpggsl klscaasgftfnkyamnwvrqapggkglewv arirskynnyatyadsvkdrftisrddsk ntaylqmnnlktedtavyycvrhgnfgnsy isywaywqggtlvtvssggggsgggsggg gsqvtvtqepsltvspggtvtltcgsstga vtsgnypnwvqqkpgqaprgliggtkflap gtparfsgsllggkaaltlsgvqpedeae

			<p> y cvlwysnrwvfgggtkltvlggggdktht c p p c p a p e l l g g p s v f l f p p k p k d t l m i s r t p e v t c v v d v s h e d p e v k f n w y v d g v e v h n a k t k p c e e q y g s t y r c v s v l t v l h q d w l n g k e y k c k v s n k a l p a p i e k t i s k a k g q p r e p q v y t l p p s r e e m t k n q v s l t c l v k g f y p s d i a v e w e s n g q p e n n y k t t p p v l d s d g s f f l y s k l t v d k s r w q q g n v f s c s v m h e a l h n h y t q k s l s l s p g k g g g g s g g g g s g g g s g g g g s g g g g s g g g s d k t h t c p p c p a p e l l g g p s v f l f p p k p k d t l m i s r t p e v t c v v d v s h e d p e v k f n w y v d g v e v h n a k t k p c e e q y g s t y r c v s v l t v l h q d w l n g k e y k c k v s n k a l p a p i e k t i s k a k g q p r e p q v y t l p p s r e e m t k n q v s l t c l v k g f y p s d i a v e w e s n g q p e n n y k t t p p v l d s d g s f f l y s k l t v d k s r w q q g n v f s c s v m h e a l h n h y t q k s l s l s p g k </p>
181.	CH_3xCD3- scFc_delGK	Биспецифи- ческая молекула HLE	<p> q v q l v e s g g g v v q p g g s l r l s c a a s g f t f s s y g m h w v r q a p g k l e w v a f i w y e g s n k y y a e s v k d r f t i s r d n s k n t l y l q m n s l r a e d t a v y y c a r r a g i i g t i g y y y g m d v w g q g t t v t v s s g g g g s g g g g s g g g s s y e l t q p p s v s v s p g g t a s i t c s g d r l g e k y t s w y q r p g q s p l l v i y q d t k r p s g i p e r f s g s n s g n t a t l t i s g t q a m d e a d y y c q a w e s t v v f g g g t k l t v l s g g g g s e v q l v e s g g g l v q p g g s l k l s c a a s g f t f n k y a m n w v r q a p g k l e w v a r i r s k y n n y a t y y a d s v k d r f t i s r d d s k n t a y l q m n n l k t e d t a v y y c v r h g n f g n s y i s y w a y w g q g t l v t v s s g g g g s g g g s g g g g s q t v v t q e p s l t v s p g g t v t l t c g s t g a v t s g n y p n w v q q k p g q a p r g l i g g t k f l a p g t p a r f s g s l l g g k a a l t l s g v q p e d e a e y y c v l w y s n r w v f g g g t k l t v l g g g g d k t h t c p p c p a p e l l g g p s v f l f p p k p k d t l m i s r </p>

			tpevtcvvvdvshedpevkfnwyvdgvevh naktkpceeegystyrcvsvltvlhqdwn gkeykckvsnkalpapiektiskakgpre pqvytlppsreemtknqvsltclvkgfyps diavewesngqpennykttppvldsdsff lyskltvdksrwqgnvfscsvmhealthnh ytqkslslspggsgggsgggsgggsgggsg ggsgggsggskthtppcpapellggpsv flfppkpkdtlmisrtpevtcvvvdvshed pevkfnwyvdgvevhnaktkpceeegysty rcvsvltvlhqdwnlgkeykckvsnkalpa piektiskakgprepqvytlppsreemtk nqvsltclvkgfypsdiavewesngqpenn yktppvldsdsfflyskltvdksrwqgg nvfscsvmhealthnhytqkslslspgk
182.	CH_3_CCxCD3 -scFc	VH	qvqlvesgggvvqpgslrlscaasgftfs sygmhwrqapgkclewvafiwyegsnkyy aevkdrftisrdnskntlylqmnsraed tavyyarragiigtigygygmdvvgqgtt vtvss
183.	CH_3_CCxCD3 -scFc	VL	syeltqppsvsvspgqtasitcsgdrlgek ytswyqqrpgqspllviyqdkrpsgiper fsgsngntatltisgtqamdeadyycqaw esstvvfgcgtkltvl
184.	CH_3_CCxCD3 -scFc	scFv	qvqlvesgggvvqpgslrlscaasgftfs sygmhwrqapgkclewvafiwyegsnkyy aevkdrftisrdnskntlylqmnsraed tavyyarragiigtigygygmdvvgqgtt vtvssggggsgggsgggsgggsgyeltqppsv svspgqtasitcsgdrlgekytswyqqrpg qspllviyqdkrpsgiperfsgsngnta tltisgtqamdeadyycqawesstvvfgcg tkltvl
185.	CH_3_CCxCD3 -scFc	Биспецифи ческая	qvqlvesgggvvqpgslrlscaasgftfs sygmhwrqapgkclewvafiwyegsnkyy

		молекула	<p>aesvkdrftisrdnskntlylqmnsraed tavyycarragiigtigygygmdvwgqgtt vtvssggggsgggsgggssyeltqppsv svspgqtasitcsgdrlgekytswyqrrpg qspllviyqdtkrpsgiperfsgsngnta tltisgtqamdeadyycqawesstvfvcg tkltvlsggggsevqlvesggglvqpggs1 klscaasgftfnkyamnvrqapgkglewv arirskynnyatyadsvkdrftisrddsk ntaylqmnlktdtavyycvrhgnfgnsy isywaywqggtlvtvssggggsgggsggg gsqtvtqeps1tvspggtvltcgsstga vtsgnypnwvqqkpgqaprgliggtkflap gtparfsgsllggkaaltlsgvqpedeae ycvlwysnrwvfgggtkltvl</p>
186.	CH_3_CCxCD3 -scFc	Биспецифическая молекула HLE	<p>qvqlvesgggvvqpggs1rlscaasgftfs sygmhwrqapgkclewvafiwyegsnkyy aesvkdrftisrdnskntlylqmnsraed tavyycarragiigtigygygmdvwgqgtt vtvssggggsgggsgggssyeltqppsv svspgqtasitcsgdrlgekytswyqrrpg qspllviyqdtkrpsgiperfsgsngnta tltisgtqamdeadyycqawesstvfvcg tkltvlsggggsevqlvesggglvqpggs1 klscaasgftfnkyamnvrqapgkglewv arirskynnyatyadsvkdrftisrddsk ntaylqmnlktdtavyycvrhgnfgnsy isywaywqggtlvtvssggggsgggsggg gsqtvtqeps1tvspggtvltcgsstga vtsgnypnwvqqkpgqaprgliggtkflap gtparfsgsllggkaaltlsgvqpedeae ycvlwysnrwvfgggtkltvlgggdktht cppcpapellggpsvflfppkpkdtlmsr tpevtcvvvdvshedpevkfnwyvdgvevh naktkpceeogygstyrcvsvltvlhqdwln</p>

			<p>gkeykckvsnkalpapiektiskakgpre pqvytlppsreemtknqvsltclvkgfyps diavewesngqpennykttppvldsdsff lyskltvdksrwqgnvfscsvmhealthnh ytqkslslspgkggggsgggsgggsggg gsgggsgggsgskthtcppcpapellggp svflfppkpkdtlmisrtpevtcvvvdvsh edpevkfnwyvdgvevhnaktkpceeqygs tyrcvsvltvlhqdwlngkeykckvsnk alpapiektiskakgprepqvytlppsreem tknqvsltclvkgfypsdiavewesngqpe nnykttppvldsdsfflyskltvdksrwq qgnvfscsvmhealthnhytqkslslspgk</p>
<p>187.</p>	<p>CH_3_CCxCD3 -scFc_delGK</p>	<p>Биспецифи ческая молекула HLE</p>	<p>qvqlvesgggvvqpggslrlscaasgftfs sygmhwrqapgkclewvafiweysnkyy aesvkdrftisrdnskntlylqmnsraed tavyyarragiigtigygygmdvwgqgtt vtvsaggggsgggsgggsggyeltqppsv svspgqtasitcsgdrlgekytswyqrrpg qspllviyqdtkrpsgiperfsgsngnta tltisgtqamdeadyycqawesstvfqcg tkltvlsggggsevqlvesggglvqpggsl klscaasgftfnkyamnwrqapgkglewv arirskynnyatyadsvkdrftisrddsk ntaylqmnnlktedtavyycvrhgnfgnsy isywaywgqgtlvtvsaggggsgggsggg gsqtvtqepsltvspggtvltcgsstga vtsgnypnwvqkpgqaprgliggtkflap gtparfsgsllggkaaltlsgvqpedeaey ycvlwysnrwvfgggtklvlgggdktht cppcpapellggpsvflfppkpkdtlmisr tpevtcvvvdvshedpevkfnwyvdgvev naktkpceeqygstyrcvsvltvlhqdwln gkeykckvsnkalpapiektiskakgpre pqvytlppsreemtknqvsltclvkgfyps</p>

			diavewesngqpennykttppvldsdgsff lyskltvdksrwqqgnvfscsvmhealnhh ytqkslsislpgggsgggsgggsgggsg ggggsgggsgdkthtcppcpapellggpsv flfppkpkdtlmisrtpcvvvdvshed pevkfnwyvdgvevhnaktkpceezygsty rcvsvltvlhqdwlngkeykckvsnkalpa piektiskakgqprepvytlppsreemtk nqvsltclvkgfypsdiavewesngqpenn ykttppvldsdgsfflyskltvdksrwqqg nvfscsvmhealnhhtqkslsislpgk
188.	DL_1xCD3- scFc	VH CDR1	syyws
189.	DL_1xCD3- scFc	VH CDR2	yvyysgttnynpslks
190.	DL_1xCD3- scFc	VH CDR3	iavtgfyfdy
191.	DL_1xCD3- scFc	VL CDR1	rasqrvennyla
192.	DL_1xCD3- scFc	VL CDR2	gassrat
193.	DL_1xCD3- scFc	VL CDR3	qydrspl
194.	DL_1xCD3- scFc	VH	qvqlqesgpglvkpsetlsltctvsggsis syywswirppgkglewigyvyysgttnyn pslksrvtisvdtsknqfslklssvtaadt avyycasiavtgfyfdywgqgtlvtvss
195.	DL_1xCD3- scFc	VL	eivltqspgtlsislpgervtlscrasqrn nnylawyqrrpgqaprlliygassratgip drfsgsgsgtdftltisrlepedfavyyq qydrsplfgggtkleik
196.	DL_1xCD3- scFc	scFv	qvqlqesgpglvkpsetlsltctvsggsis syywswirppgkglewigyvyysgttnyn pslksrvtisvdtsknqfslklssvtaadt avyycasiavtgfyfdywgqgtlvtvsgg

			<p>ggsgggsggggseivltqspgtlslspge rvtlscrasqrvnnnylawyqrrpgqaprl liyassratgipdrfsgsgsgtdftltis rlepedfavyyccqydrspltfgggtklei k</p>
197.	DL_1xCD3- scFc	Биспецифи ческая молекула	<p>qvqlqesgpglvkpssetlsltctvsggsis syywswirpppgkglewigyvyysgttnyn pslksrvtisvdtstknqfslklssvtaadt avyycasiavtgfyfdywgggtlvtvssgg ggsgggsggggseivltqspgtlslspge rvtlscrasqrvnnnylawyqrrpgqaprl liyassratgipdrfsgsgsgtdftltis rlepedfavyyccqydrspltfgggtklei ksggggsevqlvesggglvqpggslklsc asgftfnkyamnvrqapgkglewvarirs kynnyatyadsvkdrftisrddskntayl qmnnlktedtavyycvrhgnfgnsyisywa ywgggtlvtvssggggsgggsgggsgqv vtqepsltvspggtvltcgssgtgavtsgn ypnwvqqkpgqaprgliggtkflapgtpar fsgslggkaaltlsgvqpedeaeycvlw ysnrwvfgggtklvtl</p>
198.	DL_1xCD3- scFc	Биспецифи ческая молекула HLE	<p>qvqlqesgpglvkpssetlsltctvsggsis syywswirpppgkglewigyvyysgttnyn pslksrvtisvdtstknqfslklssvtaadt avyycasiavtgfyfdywgggtlvtvssgg ggsgggsggggseivltqspgtlslspge rvtlscrasqrvnnnylawyqrrpgqaprl liyassratgipdrfsgsgsgtdftltis rlepedfavyyccqydrspltfgggtklei ksggggsevqlvesggglvqpggslklsc asgftfnkyamnvrqapgkglewvarirs kynnyatyadsvkdrftisrddskntayl qmnnlktedtavyycvrhgnfgnsyisywa ywgggtlvtvssggggsgggsgggsgqv</p>

		<p>vtqepsltvspggtvtltcgsstgavtsgn ypnwvqqkpgqaprgliggtkflapgtpar fsgsllggkaaltlsgvqpedeaeycvlw ysnrwvfgggtklvtlvgggdkthtcppcp apellggpsvflfppkpkdtlmsrtpevt cvvvdvshedpevkfnwyvdgvevhnatk pceeegystyrcsvlvtvlhqdwlngkeyk ckvsnkalpapiektiskakgqprepvyt lppsreemtknqvsltclvkgfypsdiave wesngqpennykttppvldsdgsfflyskl tvdksrwqqgnvfscsvmhealhhnytqks lslspgkgggsgggsgggsgggsgggsggg gsgggsgdkthtcppcpapellggpsvflf ppkpkdtlmsrtpevtcvvvdvshedpev kfnwyvdgvevhnatkpceeegystyrcv svlvtvlhqdwlngkeykckvsnkalpapie ktiskakgqprepvytlppsreemtknqv sltclvkgfypsdiavewesngqpennykt tppvldsdgsfflyskltdvdksrwqqgnvf scsvmhealhhnytqkslslspgk</p>
<p>199.</p>	<p>DL_1xCD3- scFc_delGK</p>	<p>Биспецифическая молекула HLE</p> <p>qvqlqesgpglvkpseltlctvtvsggsis syywswirpppgkglewigyvyysgttnyn pslksrvtisvdtsknqfslklssvtaadt avyycasiavtgfyfdywqggtlvtvssgg ggsgggsggggseivltqspgtlslspge rvtlscrasqrnnnylawyqqrpgqaprl liyassratgipdrfsgsgsgtdftltis rlepedfavyyccqydrsppltfgggtklei ksggggsevqlvesggglvqpggslklisca asgftfnkyamnwvrqapgkglewvarirs kynnyatyadsvkdrftisrddskntayl qmnlktdtavyycvrhgnfgnsyisywa ywgqgtlvtvssggggsgggsgggsggtv vtqepsltvspggtvtltcgsstgavtsgn ypnwvqqkpgqaprgliggtkflapgtpar</p>

			fsgsllggkaaltlsgvqpedeaeyycvlw ysnrwvfgggtklvtlvggggdkthtcppcp apellggpsvflfppkpkdtlmsrtpevt cvvvdvshedpevkfnwyvdgvevhnaktk pceeegystyrcvsvltvlhqdwlngkeyk ckvsnkalpapiektiskakgqprepvyt lppsreemtknqvsltclvkgyfypsdiave wesngqpennykttpvldsdgsfflyskl tvdksrwqqgnvfscsvmhealhnhytqks lslspggggsgggsgggsgggsgggsg ggggsdkthtcppcpapellggpsvflfpp kpkdtlmsrtpevtcvvvdvshedpevkf nwyvdgvevhnaktkpeeegystyrcvsv ltvlhqdwlngkeykckvsnkalpapiekt iskakgqprepvytlppsreemtknqvsl tclvkgyfypsdiavewesngqpennyktp pvldsdgsfflyskl tvdksrwqqgnvfsc svmhealhnhytqkslslspgk
200.	DL_1_CCxCD3 -scFc	VH	qvqlqesgpglvkpsetlsltctvsggsis syywswirppgkclewigyvyysgttnyn pslksrvtisvdtstknqfslklssvtaadt avyycasiavtgfyfydywgqgltvtvss
201.	DL_1_CCxCD3 -scFc	VL	eivltqspgtlslspgervtlscrasqrvn nnylawyqrrpgqaprllygassratgip drfsgsgsgtdftltisrlepedfavyyccq qydrsppltfgcgtkleik
202.	DL_1_CCxCD3 -scFc	scFv	qvqlqesgpglvkpsetlsltctvsggsis syywswirppgkclewigyvyysgttnyn pslksrvtisvdtstknqfslklssvtaadt avyycasiavtgfyfydywgqgltvtvssgg ggsgggsggggseivltqspgtlslspge rvtlscrasqrvnnylawyqrrpgqaprl lygassratgipdrfsgsgsgtdftltis rlepedfavyyccqydrsppltfgcgtklei k

203.	DL_1_CCxCD3 -scFc	Биспецифическая молекула	<p>qvqlqesgpglvkpssetlsltctvsggsis syywswirpppgkclewigyvyysgttnyn pslksrvtisvdtsknqfslklssvtaadt avyycasiavtgfyfdywgqgtlvtvssgg ggsgggsggggseivltqspgtlslspge rvtlscrasqrvnnnylawyqrrpgqaprl liygassratgipdrfsgsgsgtdftltis rlepedfavyyccqydrspltfgcgklei ksggggsevqlvesggglvqpggslklsc asgftfnkyamnvrqapgkglewvarirs kynnyatyyadsvkdrftisrddskntayl qmnlktdtavyycvrhgnfgnsyisywa ywgqgtlvtvssggggsgggsgggsgqv vtqepsltvspggtvltlsgsstgavtsgn ypnwvqqkpgqaprgliggtkflapgtpar fsgslggkaaltlsgvqpedeaeyycvlw ysnrwvfgggtkltvl</p>
204.	DL_1_CCxCD3 -scFc	Биспецифическая молекула HLE	<p>qvqlqesgpglvkpssetlsltctvsggsis syywswirpppgkclewigyvyysgttnyn pslksrvtisvdtsknqfslklssvtaadt avyycasiavtgfyfdywgqgtlvtvssgg ggsgggsggggseivltqspgtlslspge rvtlscrasqrvnnnylawyqrrpgqaprl liygassratgipdrfsgsgsgtdftltis rlepedfavyyccqydrspltfgcgklei ksggggsevqlvesggglvqpggslklsc asgftfnkyamnvrqapgkglewvarirs kynnyatyyadsvkdrftisrddskntayl qmnlktdtavyycvrhgnfgnsyisywa ywgqgtlvtvssggggsgggsgggsgqv vtqepsltvspggtvltlsgsstgavtsgn ypnwvqqkpgqaprgliggtkflapgtpar fsgslggkaaltlsgvqpedeaeyycvlw ysnrwvfgggtkltvlgggdkthtppcp apellggpsvflfppkpktlmsrtpevt</p>

			<p>cvvvdvshedpevkfnwyvdgvevhnaktk pceeegystyrcvsvltvlhqdwlngkeyk ckvsnkalpapiektiskakgqprepvyt lppsreemtknqvsltclvkgfypsdiave wesngqpennyktppvldsdsfflyskl tvdksrwqqgnvfscsvmhealhnhytqks lslspgkgggsgggsgggsgggsgggsggg gsgggsgdkthtppcpapellggpsvflf ppkpkdtlmsrtpevtcvvvdvshedpev kfnwyvdgvevhnaktkpeeegystyrcv svltvlhqdwlngkeykckvsnkalpapie ktiskakgqprepvytlppsreemtknqv sltclvkgfypsdiavewesngqpennykt tppvldsdsfflyskl tvdksrwqqgnvf scsvmhealhnhytqkslslspgk</p>
<p>205.</p>	<p>DL_1_CCxCD3 -scFc_delGK</p>	<p>Биспецифи ческая молекула HLE</p>	<p>qvqlqesgpglvkpselstlctvsggsis syywswirppgkclewigyvvygtnyn pslksrvtisvdtsknqfslklssvtaadt avyycasiavtgfyfdywgqgtlvtvssgg ggsgggsggggseivltqspgtlslspge rvtlscrasqrnnnylawyqqrpgqparl liyassratgipdrfsgsgsgtdftltis rlepedfavyyccqydrspltfgcgklei ksggggsevqlvesggglvqpggslklsc asgftfnkyamnwvrqapgglewvarirs kynnyatyadsvkdrftisrddskntayl qmnnlktedavyycvrhgnfgnsyisywa ywgqgtlvtvssggsgggsgggsggtv vtqepsltvspggtvltlctgsstgavtsgn ypnwvqkpgqaprgliggtkflapgtpar fsgslggkaaltlsgvqpedeaeycvlw ysnrwvfgggtklvlgggdkthtppcp apellggpsvflfppkpkdtlmsrtpevt cvvvdvshedpevkfnwyvdgvevhnaktk pceeegystyrcvsvltvlhqdwlngkeyk</p>

			ckvsnkaldpapiektiskakgqprepvyt lppsreemtknqvsltclvkgfypsdiave wesngqpennykttpvltdsgsflyskl tvdksrwqqgnvfscsvmhealhnhytqks lslspggggsgggsgggsgggsgggsgggsg gggsgdkthtcppcpapellggpsvflfpp kpkdtlmsrtpevtcvvdvshedpevkf nwyvdgvevhnaktkpcceeqgstyrcvsv ltvlhqdwlngkeyckvsnkaldpapiekt iskakgqprepvytlppsreemtknqvsl tclvkgfypsdiavewesngqpennyktp pvltdsgsflyskltvdksrwqqgnvfsc svmhealhnhytqkslslspgk
206.	DL_2xCD3- scFc	VH CDR1	sfyws
207.	DL_2xCD3- scFc	VH CDR2	yiyysgttnynpslks
208.	DL_2xCD3- scFc	VH CDR3	iavagfffdy
209.	DL_2xCD3- scFc	VL CDR1	rasqsvnknyla
210.	DL_2xCD3- scFc	VL CDR2	gassrat
211.	DL_2xCD3- scFc	VL CDR3	qqydrspl
212.	DL_2xCD3- scFc	VH	qvqlqesgpglvkpsetlsltctvsgasis sfywswirppgkglewigiyysgttnyn pslksrvtisvdtsknqfslklssvtaadt avyycariavagfffdywgqgtlvtvss
213.	DL_2xCD3- scFc	VL	eivltqspgtlslspgeratlscrasqsvn knylawyqqkpgqaprlliygassratgip drfsgsgsgtdftltisrlepedfavyycq qydrsplfgggtkveik
214.	DL_2xCD3- scFc	scFv	qvqlqesgpglvkpsetlsltctvsgasis sfywswirppgkglewigiyysgttnyn

			<p>pslksrvtisvdtstknqfslklssvtaadt avyycariavagfffdywgqgtlvtvssgg ggsgggsggggseivltqspgtlslspge ratlscrasqsvnknylawyqqkpgqaprl liygassratgipdrfsgsgsgtdftltis rlepedfavyyccqydrspltfgggtkvei k</p>
215.	DL_2xCD3- scFc	Биспецифи ческая молекула	<p>qvqlqesgpglvkpsetlsltctvsgasis sfywswirpppgkglewigiyysgttnyn pslksrvtisvdtstknqfslklssvtaadt avyycariavagfffdywgqgtlvtvssgg ggsgggsggggseivltqspgtlslspge ratlscrasqsvnknylawyqqkpgqaprl liygassratgipdrfsgsgsgtdftltis rlepedfavyyccqydrspltfgggtkvei ksggggsevqlvesggglvqpggslklsc asgftfnkyamnwrqapgkglewvarirs kynnyatyyadsvkdrftisrddskntayl qmnnlktedavyycvrhgnfgnsyisywa ywgqgtlvtvssggsgggsgggsgqtv vtqepsltvspggtvltlctgsstgavtsgn ypnwvqqkpgqaprgliggtkflapgtpar fsgslggkaaltlsgvqpedeaeycvlw ysnrwvfgggtklvtl</p>
216.	DL_2xCD3- scFc	Биспецифи ческая молекула HLE	<p>qvqlqesgpglvkpsetlsltctvsgasis sfywswirpppgkglewigiyysgttnyn pslksrvtisvdtstknqfslklssvtaadt avyycariavagfffdywgqgtlvtvssgg ggsgggsggggseivltqspgtlslspge ratlscrasqsvnknylawyqqkpgqaprl liygassratgipdrfsgsgsgtdftltis rlepedfavyyccqydrspltfgggtkvei ksggggsevqlvesggglvqpggslklsc asgftfnkyamnwrqapgkglewvarirs kynnyatyyadsvkdrftisrddskntayl</p>

		<p>qmnnlktedtavyycvrhgnfgnsyisywa ywgqgtlvtvssggggsgggsgggsgqv vtqepsltvspggtvltlctgsstgavtsgn ypnwvqqkpgqaprgliggtkflapgtpar fsgslggkaaltlsgvqpedeaeyycvlw ysnrwvfgggtklvtlvggggdkthtcppcp apellggpsvflfppkpkdtlmisrtpevt cvvvdvshedpevkfnwyvdgvevhnaktk pceeegystyrcsvlvtvlhqdwlngkeyk ckvsnkalspapiektiskakgqprepvyt lppsreemtknqvsltclvkgfypsdiave wesngqpennyktppvldsdsfflyskl tvdkrsrqgnvfscsvmhealhhnytqks lslspgkggggsgggsgggsgggsggg gsgggsgdkthtcppcpapellggpsvflf ppkpkdtlmisrtpevtcvvvdvshedpev kfnwyvdgvevhnaktkpeeegystyrcv svlvtvlhqdwlngkeykckvsnkalspie ktiskakgqprepvytlppsreemtknqv sltclvkgfypsdiavewesngqpennykt tppvldsdsfflysklvtvdkrsrqgnvf scsvmhealhhnytqkslslspgk</p>
<p>217.</p>	<p>DL_2xCD3- scFc_delGK</p>	<p>Биспецифическая молекула HLE</p> <p>qvqlqesgpglvkpsetlslctctvsgasis sfywswirppgkglewigiyysgttnyn pslksrvtisvdtsknqfslklssvtaadt avyycariavagfffdywqgtlvtvssgg ggsgggsggggseivltqspgtlslspge ratlscrasqsvnknylawyqqkpgqaprl liygassratgipdrfsgsgsgtdftltis rlepedfavyyccqydrspltfgggtkvei ksggggsevqlvesggglvqpggsklksca asgftfnkyamnwrqapgkglewvarirs kynnyatyadsvkdrftisrddskntayl qmnnlktedtavyycvrhgnfgnsyisywa ywgqgtlvtvssggggsgggsgggsgqv</p>

			vtqepsltvspggtvtltcgsstgavtsgn ypnwvqqkpgqaprgliggtkflapgtpar fsgsllggkaaltlsgvqpedeaeycvlw ysnrwvfgggtklvtlvgggdkthtcppcp apellggpsvflfppkpkdtlmisrtpevt cvvvdvshedpevkfnwyvdgvevhnaktk pceeegystyrcvsvltvlhqdwlngkeyk ckvsnkalspapiektiskakgqprepvyt lppsreemtknqvsltclvkgyfypsdiave wesngqpennykttpvldsdgsfflyskl tvdksrwqqgnvfscsvmhealhhnytqks lslspggggsgggsgggsgggsgggsg gggsgdkthtcppcpapellggpsvflfpp kpkdtlmisrtpevtcvvvdvshedpevkf nwyvdgvevhnaktkpeeegystyrcvsv ltvlhqdwlngkeykckvsnkalspapiekt iskakgqprepvytlppsreemtknqvsl tclvkgyfypsdiavewesngqpennyktp pvldsdgsfflysklvtvdksrwqqgnvfsc svmhealhhnytqkslslspgk
218.	DL_2_CCxCD3 -scFc	VH	qvqlqesgpglvkpseltlctvsgasis sfywswirqppgkclewigiyysgttnyn pslksrvtisvdtstknqfslklssvtaadt avyyariavagfffdywgqgtlvtvss
219.	DL_2_CCxCD3 -scFc	VL	eivltqspgtlslspgeratlscrasqsvn knylawyqqkpgqaprllygassratgip drfsgsgsgtdftltisrlepedfavyycq qydrsppltfgcgtkveik
220.	DL_2_CCxCD3 -scFc	scFv	qvqlqesgpglvkpseltlctvsgasis sfywswirqppgkclewigiyysgttnyn pslksrvtisvdtstknqfslklssvtaadt avyyariavagfffdywgqgtlvtvssgg ggsgggsggggseivltqspgtlslspge ratlscrasqsvnknylawyqqkpgqaprl lygassratgipdrfsgsgsgtdftltis

			rlepedfavyyccqydrspltfgcgkvei k
221.	DL_2_CCxCD3 -scFc	Биспецифическая молекула	qvqlqesgpglvkpssetlsltctvsgasis sfywswirqppgkclewigiyysgttnyn pslksrvtisvdtstknqfslklssvtaadt avyycariaavagffdywgqgtlvtvssgg ggsgggsggggseivltqspgtlslspge ratlscrasqsvnknylawyqqkpgqaprl liyassratgipdrfsgsgsgtdftltis rlepedfavyyccqydrspltfgcgkvei ksggggsevqlvesggglvqpggslklsc asgftfnkyamnvrqapgkglewvarirs kynnyatyyadsvkdrftisrddskntayl qmnlktdtavyycvrhgnfgnsyisywa ywgqgtlvtvssggggsgggsgggsgqv vtqepsltvspggtvltlscsstgavtsgn ypnwqqkpgqaprgliggtkflapgtpar fsgslggkaaltlsgvqpedeaeycvlw ysnrwvfgggtklvtl
222.	DL_2_CCxCD3 -scFc	Биспецифическая молекула HLE	qvqlqesgpglvkpssetlsltctvsgasis sfywswirqppgkclewigiyysgttnyn pslksrvtisvdtstknqfslklssvtaadt avyycariaavagffdywgqgtlvtvssgg ggsgggsggggseivltqspgtlslspge ratlscrasqsvnknylawyqqkpgqaprl liyassratgipdrfsgsgsgtdftltis rlepedfavyyccqydrspltfgcgkvei ksggggsevqlvesggglvqpggslklsc asgftfnkyamnvrqapgkglewvarirs kynnyatyyadsvkdrftisrddskntayl qmnlktdtavyycvrhgnfgnsyisywa ywgqgtlvtvssggggsgggsgggsgqv vtqepsltvspggtvltlscsstgavtsgn ypnwqqkpgqaprgliggtkflapgtpar fsgslggkaaltlsgvqpedeaeycvlw

			<p>ysnrwvfgggtklvtlvgggdkthtcppcp apellggpsvflfppkpkdtlmisrtpevt cvvvdvshedpevkfnwyvdgvevhnaktk pceeegystyrcsvltvlhqdwlngkeyk ckvsnkalspapektiskakgqprepvyt lppsreemtknqvsltclvkgfypsdiave wesngqpennyktppvldsdsfflyskl tvdksrwqqgnvfscsvmhealhhnytqks lslspgkgggsgggsgggsgggsgggsggg gsgggsgdkthtcppcpapellggpsvflf ppkpkdtlmisrtpevtcvvvdvshedpev kfnwyvdgvevhnaktkpeeegystyrcv svltvlhqdwlngkeykckvsnkalspape ktiskakgqprepvytlppsreemtknqv sltclvkgfypsdiavewesngqpennykt tppvldsdsfflysklvtvdksrwqqgnvf scsvmhealhhnytqkslslspgk</p>
<p>223.</p>	<p>DL_2_CCxCD3 -scFc_delGK</p>	<p>Биспецифи ческая молекула HLE</p>	<p>qvqlqesgpglvkpssetlslctctvsgasis sfywswirppgkclewigiyysgttnyn pslksrvtisvdtsknqfslklssvtaadt avyyariavagfffdywqggtlvtvssgg ggsgggsggggseivltqspgtlslspge ratlscrasqsvnknylawyqqkpgqaprl liygassratgipdrfsgsgsgtdftltis rlepedfavyyccqydrspltfgcgtkvei ksggggsevqlvesggglvqpggslklscs asgftfnkyamnwvrqapgkglewvarirs kynnyatyyadsvkdrftisrddskntayl qmnlktdtavyycvrhgnfgnsyisywa ywgqgtlvtvssggggsgggsgggsgqtv vtqepsltvspggtvtltcgsstgavtsgn ypnwvqqkpgqaprgliggtkflapgtpar fsgslggkaaltlsgvqpedeaeycvlw ysnrwwfgggtklvtlvgggdkthtcppcp apellggpsvflfppkpkdtlmisrtpevt</p>

			<p> cvvvdvshedpevkfnwyvdgvevhnaktk pceeegystyrcvsvltvlhqdwlngkeyk ckvsnkalpapiektiskakgqprepvyt lppsreemtknqvsltclvkgfypsdiave wesngqpennykttpvldsdgsfflyskl tvdksrwqqgnvfscsvmhealhnhtqks lslspggggsgggsgggsgggsgggsg gggsgdkthtccppcapellggpsvflfpp kpkdtlmisrtpevtcvvvdvshedpevkf nwyvdgvevhnaktkpeeegystyrcvsv ltvlhqdwlngkeykckvsnkalpapiekt iskakgqprepvytlppsreemtknqvs tclvkgfypsdiavewesngqpennyktp pvlldsdgsfflyskl tvdksrwqqgnvfsc svmhealhnhtqkslslspgk </p>
224.	DL_3xCD3- scFc	VH CDR1	nyymh
225.	DL_3xCD3- scFc	VH CDR2	iinpsdgstsyaqkfqq
226.	DL_3xCD3- scFc	VH CDR3	ggnsafysyydmdv
227.	DL_3xCD3- scFc	VL CDR1	rssqslvyrdgntyls
228.	DL_3xCD3- scFc	VL CDR2	kvsnwqs
229.	DL_3xCD3- scFc	VL CDR3	mqgthwppt
230.	DL_3xCD3- scFc	VH	<p> qvqlvqsgaevkkpgasvkvscasgytft nyymhwvrqapglglewmgiinpsdgstsy aqkfqgrvtmtrdtstntvymdlsslrsed tavyyccarggnsafysyydmdv wgggtvt vss </p>
231.	DL_3xCD3- scFc	VL	<p> dvvmtqtplslpvtlqqpasiscrsgslv yrdgntylswfqrrpgqsprriykvsnwq sgvpdrfsgggsgtdftlkisrveaedvgv </p>

			yycmqgthwpptfgggtkveik
232.	DL_3xCD3- scFc	scFv	qvqlvqsgaevkkpgasvksckasgytft nyymhwvrqapglglewmgiinpsdgstsy aqkfqgrvtmtrdtstntvymdlsslrsed tavyyccarggnsafysyydmdvwgqgtvt vssgggsgggsgggsgsdvmtqtplslp vtlgqpasiscrssqslvyrdgntylswfq qrpqgsprrliykvsnwqsgvpdrfsgggs gtdftlkisrveaedvgvyycmqgthwppt fgggtkveik
233.	DL_3xCD3- scFc	Биспецифи ческая молекула	qvqlvqsgaevkkpgasvksckasgytft nyymhwvrqapglglewmgiinpsdgstsy aqkfqgrvtmtrdtstntvymdlsslrsed tavyyccarggnsafysyydmdvwgqgtvt vssgggsgggsgggsgsdvmtqtplslp vtlgqpasiscrssqslvyrdgntylswfq qrpqgsprrliykvsnwqsgvpdrfsgggs gtdftlkisrveaedvgvyycmqgthwppt fgggtkveiksgggsevqlvesggglvqp ggsllkscaasgftfnkyamnvwraqpdkg lewvarirskynnyatyadsvkdrftisr ddskntaylqmnllktedtavyycvrhgnf gnsyisywaywgqgtlvtvssgggsgggg sgggsgtvtvqepsltvspggtvltcgs stgavtsgnypnwvqqkpgqaprgliggk flapgtparfsgsllggkaaltlsgvqped eaeyycvlwysnrwvfgggtkltvl
234.	DL_3xCD3- scFc	Биспецифи ческая молекула HLE	qvqlvqsgaevkkpgasvksckasgytft nyymhwvrqapglglewmgiinpsdgstsy aqkfqgrvtmtrdtstntvymdlsslrsed tavyyccarggnsafysyydmdvwgqgtvt vssgggsgggsgggsgsdvmtqtplslp vtlgqpasiscrssqslvyrdgntylswfq qrpqgsprrliykvsnwqsgvpdrfsgggs gtdftlkisrveaedvgvyycmqgthwppt

			<p>fgqgatkveiksggggsevqlvesggglvqp ggsllkscaasgftfnkyamnvrqapgkg lewvarirskynnyatyadsvkdrftisr ddskntaylqmnlnktdtavyycvrhgnf gnsyisywaywgqgtlvtvssgggsgggg sggggsqtvtqepsltvspggtvtlctgs stgavtsgnypnwvqqkpgqaprgliggtk flapgtparfsgsllggkaaltlsgvqped eaeyycvlwysnrwvfgggtklvtlvggggd kthtccppapellggpsvflfppkpkdtl misrtpevtcvvvdvshedpevkfnwyvdg vevhnaktkpeeogygstyrcvsvltvlhq dwlngkeykckvsnkalspapiektiskakg qprepvytlppsreemtknqvsltclvkg fypsdiavewesngqpennykttppvldsd gsfflyskltvdksrwqqgnvfscsvmhea lhnhytqkslsispkggggsggggsgggg sggggsggggsggggskthtccppapell lggpsvflfppkpkdtlmisrtpevtcvvv dvshedpevkfnwyvdgvevhnaktkpee qygstyrcvsvltvlhqdwlngkeykckvs nkalspapiektiskakgqprepvytlpps reemtknqvsltclvkgfypsdiavewesn gqpennykttppvldsdgsfflyskltvdk srwqqgnvfscsvmhealhnhytqkslsls pgk</p>
235.	DL_3xCD3- scFc_delGK	Биспецифи- ческая молекула HLE	<p>qvqlvqsgaevkkpgasvkvscasgytft nyymhwvrqapglglewmgiinpsdgstsy aqkfggrvtmtrdtstntvymdlsslrse tavyycarggnsafysyydmvwwgqgtvt vssgggsggggsggggsvmtqtplslp vtlqqpasiscrssqslvyrdgntylswfq qrpqgsprrliykvsnwqsgvpdrfsgggs gtdftlkisrveadvgyvycmqgthwppt fgqgatkveiksggggsevqlvesggglvqp</p>

			<p>ggs1klkscaasgftfnkyamnwwrqapgk lewvarirskynnyatyyadsvkdrftisr ddskntaylqmnlnktdtavyycvrhgnf gnsyisywaywgqgtlvtvssgggsgggg sgggsgqtvvvtqepsltvspggtvltcgs stgavtsgnypnwvqqkpgqaprgliggk flapgtparfsgslggkaaltlsgvqped eaeyycvlwysnrwvfgggtklvtlvgggd kthtccppapellggpsvflfppkpkdtl misrtpevtcvvvdvshedpevkfnwyvdg vevhnaktkpeeeygstyrcvsvltvlhq dwlngkeykckvsnkalpapiektiskakg qprepvytlppsreemtknqvsltclvkg fypsdiavewesngqpennyktppvldsd gsfflyskltvdksrwqggnvfscsvmhea lhnhytqkslslspgggsgggsgggsgg ggsgggsgggsgdkthtccppapellg gpsvflfppkpkdtlmisrtpevtcvvvdv shedpevkfnwyvdgvevhnaktkpeeey gstyrcvsvltvlhqdwlngkeykckvsnk alpapiektiskakgqprepvytlppsre emtnqvsltclvkgfypsdiavewesngq pennyktppvldsdgsfflyskltvdksr wqggnvfscsvmhealhnhytqkslslspg k</p>
236.	DL_3_CCxCD3 -scFc	VH	<p>qvqlvqsgaevkkpgasvkvscasgytft nyymhwvrqapglclewmgiinpsdgstsy aqkfqgrvtmtrdtstntvymdlsslrsed tavyycarggnsafysyymdmdvwgqgtvt vss</p>
237.	DL_3_CCxCD3 -scFc	VL	<p>dvvmtqtplslpvtlqqpasiscrssqslv yrdgntylswfqqrpggsprriiykvsnwq sgvpdrfsgggsgtdftlkisrveaedvgv yycmqgthwpptfgcgtkveik</p>
238.	DL_3_CCxCD3	scFv	<p>qvqlvqsgaevkkpgasvkvscasgytft</p>

	-scFc		nyymhwvrqapglclewmgiinpsdgstsy aqkfqgrvtmtrdtstntvymdlsslrsed tavyycarggnsafysyydmdvwgqgtvt vssgggsgggsgggsgdvmtqtplslp vtlgqpasiscrssqslvyrdgntylswfq qrpqgsprrliykvsnwqsgvpdrfsgggs gtdftlkisrveaedvgvyycmqgthwppt fgcgtkveik
239.	DL_3_CCxCD3 -scFc	Биспецифическая молекула	qvqlvqsgaevkkpgasvkvsckasgytft nyymhwvrqapglclewmgiinpsdgstsy aqkfqgrvtmtrdtstntvymdlsslrsed tavyycarggnsafysyydmdvwgqgtvt vssgggsgggsgggsgdvmtqtplslp vtlgqpasiscrssqslvyrdgntylswfq qrpqgsprrliykvsnwqsgvpdrfsgggs gtdftlkisrveaedvgvyycmqgthwppt fgcgtkveiksggggsevqlvesggglvqp ggslklscaasgftfnkyamnwvrqapgkg lewvarirskynnyatyadsvkdrftisr ddskntaylqmnlnktdtavyycvrhgnf gnsyisywaywgqgtlvtvssgggsgggg sgggsgtvtvtepsltvspggtvltcgs stgavtsgnypnwvqqkpgqaprgliggk flapgtparfsgsllggkaaltlsgvqped eaeyycvlwysnrwvfgggtkltvl
240.	DL_3_CCxCD3 -scFc	Биспецифическая молекула HLE	qvqlvqsgaevkkpgasvkvsckasgytft nyymhwvrqapglclewmgiinpsdgstsy aqkfqgrvtmtrdtstntvymdlsslrsed tavyycarggnsafysyydmdvwgqgtvt vssgggsgggsgggsgdvmtqtplslp vtlgqpasiscrssqslvyrdgntylswfq qrpqgsprrliykvsnwqsgvpdrfsgggs gtdftlkisrveaedvgvyycmqgthwppt fgcgtkveiksggggsevqlvesggglvqp ggslklscaasgftfnkyamnwvrqapgkg

			<p>lewvarirskynnyatyadsvkdrftisr ddskntaylqmnlnktdtavyycvrhgnf gnsyisywaywgqgtlvtvssgggsgggg sgggsgtvtvtqepsltvspggtvtltcgs stgavtsgnypnwvqqkpgqaprgliggk flapgtparfsgsllggkaaltlsgvqped eaeyycvlwysnrwvfgggtklvtlvgggd kthtppcpapellggpsvflfppkpkdtl misrtpevtcvvvdvshedpevkfnwyvdg vevhnaktkpeeegystyrcvsvltvlhq dwlngkeykckvsnkalpapiektiskakg qprepvytlppsreemtknqvsltclvkg fypsdiavewesngqpennyktppvldsd gsfflyskltvdksrwqqgnvfscsvmhea lhnhytqkslspsgkgggsgggsgggg sgggsgggsgggsggskthtppcpapel lggpsvflfppkpkdtlmisrtpevtcvv dvshedpevkfnwyvdgvevhnaktkpee qygstyrcvsvltvlhqdwlngkeykckv nkalpapiektiskakgqprepvytlpps reemtknqvsltclvkgfypsdiavewes ngqpennyktppvldsdgsfflyskltvdk srwqqgnvfscsvmhealhnhytqksls psgk</p>
241.	DL_3_CCxCD3 -scFc_delGK	Биспецифическая молекула HLE	<p>qvqlvqsgaevkkpgasvkvscasgytft nyymhwvrqapglclewmgiinpsdgstsy aqkfggrvtmtrdtstntvymdlsslrsed tavyycarggnsafysyydmdvwgqgtvt vssggsgggsgggsgggsgdvmtqtplslp vtlqqpasiscrsslvyrdgntylnswfq qrpqgsprriykvsnwqsgvprdfsgggs gtdftlkisrveaedvgvyymqgthwppt fgcgtkveiksgggsevqlvesggglvqp ggslklscasgftfnkyamnvwvrqapgk lewvarirskynnyatyadsvkdrftisr</p>

			<p> ddskntaylqmnnlktedtavyycvrhgnf gnsyisywaywgqgtlvtvssgggsgggg sgggsgtvtvtqepsltvspggtvtltcgs stgavtsgnypnwvqqkpgqaprgliggtk flapgtparfsgsllggkaaltlsgvqped eaeyycvlwysnrwvfgggtklvtlvgggd kthtcpppapellggpsvflfppkpkdtl misrtpevtcvvvdvshedpevkfnwyvdg vevhnaktkpeeegygstyrcvsvltvlhq dwlngkeykckvsnkalpapiektiskakg qprepvytlppsreemtknqvsltclvkg fypsdiavewesngqpennyktppvldsd gsfflyskltvdksrwqqgnvfscsvmhea lnhnytqkslsispggggsggggsggggsg gggsgggsgggsgdkhtcppcpapellg gpsvflfppkpkdtlmisrtpevtcvvvdv shedpevkfnwyvdgvevhnaktkpeeey gstyrcvsvltvlhqdwlngkeykckvsnk alpapiektiskakgprepvytlppsre emtknqvsltclvkgfypsdiavewesngq pennyktppvldsdgsfflyskltvdksr wqqgnvfscsvmhealnhnytqkslsispg k </p>
242.	C19_1xCD3- scFc	VH CDR1	sygvs
243.	C19_1xCD3- scFc	VH CDR2	yndpvfgsiyyaswvkg
244.	C19_1xCD3- scFc	VH CDR3	drsyvsssgyhfnl
245.	C19_1xCD3- scFc	VL CDR1	qasetiyssla
246.	C19_1xCD3- scFc	VL CDR2	gasnles
247.	C19_1xCD3- scFc	VL CDR3	qsgvysaglt

248.	C19_1xCD3-scFc	VH	evqllesggglvqpggslrlscaasgftfs sygvswvrqapggkglewigyndpvfysiyy aswvkgrftissdnskntlylqmnsraed tavvycakdrsyvsssgyhfnlwgqgtlvt vss
249.	C19_1xCD3-scFc	VL	dqmtqspsslsasvgdrvtitcqasetiy sslawyqqkpgkppklliygasnlesgvps rfsgsgsgtdftftisslqpediatyycqs gvysagltfgggtkveik
250.	C19_1xCD3-scFc	scFv	dqmtqspsslsasvgdrvtitcqasetiy sslawyqqkpgkppklliygasnlesgvps rfsgsgsgtdftftisslqpediatyycqs gvysagltfgggtkveikggggsgggsgg ggsevqllesggglvqpggslrlscaasgf tfssygvswvrqapggkglewigyndpvfgs iyyaswvkgrftissdnskntlylqmnsr aedtavvycakdrsyvsssgyhfnlwgqgt lvtvss
251.	C19_1xCD3-scFc	Биспецифическая молекула	dqmtqspsslsasvgdrvtitcqasetiy sslawyqqkpgkppklliygasnlesgvps rfsgsgsgtdftftisslqpediatyycqs gvysagltfgggtkveikggggsgggsgg ggsevqllesggglvqpggslrlscaasgf tfssygvswvrqapggkglewigyndpvfgs iyyaswvkgrftissdnskntlylqmnsr aedtavvycakdrsyvsssgyhfnlwgqgt lvtvssggggsevqlvesggglvqpggslk lscaasgftfnkyamnwvrqapggkglewva rirskynnyatyadsvkdrftisrddskn taylqmnlnktedtavvycvrhgnfgnsyi sywaywqgtlvtvssggggsgggsgggg sqtvtqepsltvspggtvtlctgsstgav tsgnypnwvqqkpgqaprgliggtkflapg tparfsgsllggkaaltlsgvqpedeaeey cvlwysnrwvfgggtklvtl

252.	C19_1xCD3-scFc	Биспецифическая молекула HLE	<p>diqmtqspsslsasvqdrvtitcqasetiy sslawyqqkpgkppklliygasnlesgvps rfsqsgsgtdftftisslqpediatyycqs gvysagltfgggtkveikgggsgggsgg ggsevqllesggglvqpggslrlscaasgf tfssygvswvrqapgkglewigyndpvfgs iyyaswvkrftissdskntlylqmnslr aedtavyycakdrsyvsssgyhnflwqggt lvtvssggggsevqlvesggglvqpggslk lscaasgftfnkyamnwvrqapgkglewva rirskynnyatyadsvkdrftisrddskn taylqmnnlktedtavyycvrhgnfgnsyi sywaywqggtlvtvssggggsgggsgggg sqtvvtqepsltvspggtvtltcgsstgav tsgnyrnwvqqkpgqaprgliggtkflapg tparfsgslggkaaltlsgvqpedeaeey cvlwysnrwvfgggtklvtlvgggdkthtc ppcpapellggpsvflfppkpkdtlmisrt pevtcvvvdvshedpevkfnwyvdgvevhn aktkpceeegystyrcsvltvlhqdwlng keykckvsnkalpapiektiskakgqprep qvytlppsreemtknqvsltclvkgyfypsd iavewesngqpennykttppvldsdgsffl yskltdkrsrqggnvfscsvmhealhnhy tqkslslspgkggggsgggsgggsgggg sgggsggggskthtcppcpapellggps vflfppkpkdtlmisrtpevtcvvvdvshe dpevkfnwyvdgvevhnaktkpceeegyst yrcsvltvlhqdwlngkeykckvsnkalp apiektiskakgqprepvytlppsreemt knqvsltclvkgyfypsdiaavewesngqpen nykttppvldsdgsfflyskltdkrsrqg gnvfscsvmhealhnhytqkslslspgk</p>
253.	C19_1_CCxCD3-scFc	VH	<p>evqllesggglvqpggslrlscaasgftfs sygvswvrqapgkclewigyndpvfgsiyy</p>

			aswvkgrftissdnskntlylqmnsraed tavyycaakdrsyvsssgyhfnlwgggtlvt vss
254.	C19_1_CCxCD 3-scFc	VL	diqmtqspsslsasvgdrvtitcqasetiy sslawyqqkpgkppklliygasnlesgvps rfsgsgsgtdftftisslqpediatyycqs gvysagltfgcgtkveik
255.	C19_1_CCxCD 3-scFc	scFv	diqmtqspsslsasvgdrvtitcqasetiy sslawyqqkpgkppklliygasnlesgvps rfsgsgsgtdftftisslqpediatyycqs gvysagltfgcgtkveikggggsgggsgg ggsevqllesggglvqpggsirlscaasgf tfssygvswvrqapgkclewigyndpvfgs iyyaswvkgrftissdnskntlylqmnsr aedtavyycaakdrsyvsssgyhfnlwgggt lvtvss
256.	C19_1_CCxCD 3-scFc	биспецифи ческая молекула	diqmtqspsslsasvgdrvtitcqasetiy sslawyqqkpgkppklliygasnlesgvps rfsgsgsgtdftftisslqpediatyycqs gvysagltfgcgtkveikggggsgggsgg ggsevqllesggglvqpggsirlscaasgf tfssygvswvrqapgkclewigyndpvfgs iyyaswvkgrftissdnskntlylqmnsr aedtavyycaakdrsyvsssgyhfnlwgggt lvtvssggggsevqlvesggglvqpggslk lscaasgftfnkyamnvwvrqapgkglewva rirsnyatyyadsvkdrftisrddskn taylqmnnlktedtavyycvrhgnfgnsyi sywaywqggtlvtvssggggsgggsgggg sqtvtqepsltvspggtvtltcgsstgav tsgnypnwvqqkpgqaprgliggtkflapg tparfsgsllggkaaltlsgvqpedeaeyy cvlwysnrwvfgggtklvtl
257.	C19_1_CCxCD 3-scFc	биспецифи ческая	diqmtqspsslsasvgdrvtitcqasetiy sslawyqqkpgkppklliygasnlesgvps

		молекула	<pre> rfsgsgsgtdftftisslqpeditatyyqs gvysagltfgcgtkveikggsgggsgg ggsevqllesggglvqpggslrlscaasgf tfssygvswvrqapgkclewigyndpvfgs iyyaswvkgrftissdnskntlylqmnsr aedtavyycahdrsyvssgyhfnlwgggt lvtvssggggsevqlvesggglvqpggslk lscaasgftfnkyamnwvrqapgglewva rirskynnyatyadsvkdrftisrddskn taylqmnlktedtavyycvrhgnfgnsyi sywaywgqgtlvtvssggsgggsgggg sqtvtqepsltvspggtvtltcgsstgav tsgnypnwvqqkpgqaprgliggtkflapg tparfsgsllggkaaltlsgvqpedeaeey cvlwysnrwvfgggtkltvlgggdkthtc ppcpapellggpsvflfppkpkdtlmisrt pevtcvvvdvshedpevkfnwyvdgvevhn aktkpceezygstyrcvsvltvlhqdwlng keykckvsnkalpapiektiskakgqprep qvytlppsreemtknqvsltclvkgfypsd iaawesngqpennyktpvldsdgsffl yskltvdksrwqqgnvfscsvmhealhnhy tqkslslspgkggsgggsgggsgggg sgggsgggsgdkthtcppcpapellggps vflfppkpkdtlmisrtpevtcvvvdvshe dpevkfnwyvdgvevhnaktkpceezygst yrcvsvltvlhqdwlngkeykckvsnkalp apiektiskakgqprepqvytlppsreemt knqvsltclvkgfypsdiaawesngqpen nyktpvldsdgsfflyskltvdksrwqq gnvfscsvmhealhnhytqkslslspgk </pre>
258.	C19_2xCD3- scFc	VH CDR1	sygvs
259.	C19_2xCD3- scFc	VH CDR2	yndpvfgsiyyaswvkg

260.	C19_2xCD3-scFc	VH CDR3	drsyvsssgyhfnl
261.	C19_2xCD3-scFc	VL CDR1	qasetiyssla
262.	C19_2xCD3-scFc	VL CDR2	gasnles
263.	C19_2xCD3-scFc	VL CDR3	qsgvysaglt
264.	C19_2xCD3-scFc	VH	evqllesggglvqpggslrlscaasgftfs sygvswvrqapggkglewigyndpvfgsiyy aswvkgrftissdnskntlylqmnsraed tavyycaakdrsyvsssgyhfnlwgqgtlvt vss
265.	C19_2xCD3-scFc	VL	diqmtqspsslsasvgrvtitcqasetiy sslawyqqkpgkapklliygasnlesgvps rfsgsgsgtdfttissmqpediatyycqs gvysagltfgggtkveik
266.	C19_2xCD3-scFc	scFv	diqmtqspsslsasvgrvtitcqasetiy sslawyqqkpgkapklliygasnlesgvps rfsgsgsgtdfttissmqpediatyycqs gvysagltfgggtkveikggggsgggsgg ggsevqllesggglvqpggslrlscaasgf tfssygvswvrqapggkglewigyndpvfgs iyyaswvkgrftissdnskntlylqmnslr aedtavyycaakdrsyvsssgyhfnlwgqgt lvtvss
267.	C19_2xCD3-scFc	Биспецифическая молекула	diqmtqspsslsasvgrvtitcqasetiy sslawyqqkpgkapklliygasnlesgvps rfsgsgsgtdfttissmqpediatyycqs gvysagltfgggtkveikggggsgggsgg ggsevqllesggglvqpggslrlscaasgf tfssygvswvrqapggkglewigyndpvfgs iyyaswvkgrftissdnskntlylqmnslr aedtavyycaakdrsyvsssgyhfnlwgqgt lvtvssggggsevqlvesggglvqpggslk

			<p>lscaasgftfnkyamnvrqapgglewva rirskynnyatyadsvkdrftisrddskn taylqmnlnktdtavyycvrhgnfgnsyi sywaywgqgtlvtvssgggsgggsgggg sqtvtqepsltvspggtvtlctgsstgav tsgnypnwvqqkpgqaprgliggtkflapg tparfsgsllggkaaltlsgvqpedeaeyy cvlwysnrwvfgggtkltvl</p>
268.	C19_2xCD3- scFc	Биспецифи- ческая молекула HLE	<p>diqmtqspsslsasvdrvtitcasetiy sslawyqqkpgkapklliygasnlesgvps rfsgsgsgtdftftissmqpediatyycqs gvysagltfgggtkveikgggsgggsggg ggsevqllesggglvqpggslrlscaasgf tfssygvswvrqapgglewigyndpvfsgs iyyaswvkrftissdnkntlylqmnslr aedtavyycakdrsyvssgyhfnlwqgt lvtvssgggsevqlvesggglvqpggslk lscaasgftfnkyamnvrqapgglewva rirskynnyatyadsvkdrftisrddskn taylqmnlnktdtavyycvrhgnfgnsyi sywaywgqgtlvtvssgggsgggsgggg sqtvtqepsltvspggtvtlctgsstgav tsgnypnwvqqkpgqaprgliggtkflapg tparfsgsllggkaaltlsgvqpedeaeyy cvlwysnrwvfgggtkltvlgggdkthtc ppcpapellggpsvflfppkpkdtlmisrt pevtcvvvdvshedpevkfnwyvdgvevhn aktkpceeegystyrcvsvltvlhqdwlng keykckvsnkalpapiektiskakggprep qvytlppsreemtknqvsltclvkgfypsd iavewesngqpennykttppvldsdsffl yskltvdksrwqqgnvfscsvmhealhny tqkslslspgkgggsgggsgggsgggg sgggsgggsgdkthtcppcpapellggps vflfppkpkdtlmisrtpevtcvvvdvshe</p>

			dpevkfnwyvdgvevhnaktkpceeqygst yrcvsvltvlhqdwlngkeykckvsnkalp apiektiskakgqprepqvylppsreemt knqvsltclvkgfypsdiavewesnggpen nykttppvldsdsfflyskltvdksrwqq gnvfscsvmhealhnhytqkslsispk
269.	C19_2_CCxCD 3-scFc	VH	evqllesggglvqpggsrlscaasgftfs sygvswvrqapgkclewigyndpvfgsiyy aswvkgrftissdnskntlylqmnsraed tavyycahdrsyvsssgyhnflwgqgtlvt vss
270.	C19_2_CCxCD 3-scFc	VL	diqmtqspsslsasvgrvtitcqasetiy sslawyqqkpgkapklliygasnlesgvps rfsgsgsgtdfttissmqpediatyycqs gvysagltfgcgtkveik
271.	C19_2_CCxCD 3-scFc	scFv	diqmtqspsslsasvgrvtitcqasetiy sslawyqqkpgkapklliygasnlesgvps rfsgsgsgtdfttissmqpediatyycqs gvysagltfgcgtkveikggggsgggsgg ggsevqllesggglvqpggsrlscaasgf tfssygvswvrqapgkclewigyndpvfgs iyyaswvkgrftissdnskntlylqmnsr aedtavyycahdrsyvsssgyhnflwgqgt lvtvss
272.	C19_2_CCxCD 3-scFc	биспецифическая молекула	diqmtqspsslsasvgrvtitcqasetiy sslawyqqkpgkapklliygasnlesgvps rfsgsgsgtdfttissmqpediatyycqs gvysagltfgcgtkveikggggsgggsgg ggsevqllesggglvqpggsrlscaasgf tfssygvswvrqapgkclewigyndpvfgs iyyaswvkgrftissdnskntlylqmnsr aedtavyycahdrsyvsssgyhnflwgqgt lvtvssggggsevqlvesggglvqpggslk lscaasgftfnkyamnwvrqapgglewva rirskynnyatyadsvkdrftisrddskn

			<p>taylqmnlnktdtavyycvrhgnfgnsyi sywaywqggtlvtvssgggsgggsgggg sqtvtqepsltvspggtvtltcgsstgav tsgnypnwvqqkpgqaprgliggtkflapg tparfsgsllggkaaltlsgvqpedeaeey cvlwysnrwvfgggtklvtl</p>
273.	C19_2_CCxCD 3-scFc	биспецифическая молекула	<p>diqmtqspsslsasvgrvtitcqasetiy sslawyqqkpgkapklliygasnlesgvps rfsgsgsgtdftftissmqpediatyycqs gvysagltfgcgtkveikgggsgggsgg ggsevqllesggglvqpggsrlscaasgf tfssygvswvrqapgkclewigyndpvfgs iyyaswvkrftissdskntlylqmnslr aedtavyycakdrsyvssgyhfnlwqggt lvtvssgggsevqlvesggglvqpggslk lscaasgftfnkyamnvwvrqapkglewva rirskynnyatyadsvkdrftisrddskn taylqmnlnktdtavyycvrhgnfgnsyi sywaywqggtlvtvssgggsgggsgggg sqtvtqepsltvspggtvtltcgsstgav tsgnypnwvqqkpgqaprgliggtkflapg tparfsgsllggkaaltlsgvqpedeaeey cvlwysnrwvfgggtklvtlvgggdkthtc ppcpapellggpsvflfppkpkdtlmisrt pevtcvvvdvshedpevkfnwyvdgvevhn aktkpceezygstyrcvsvltvlhqdwlng keykckvsnkalspapektiskakgqprep qvytlppsreemtknqvstclvkgyfypsd iavewesngqpennyktpvldsdgsffl yskltdksrwqggvfvscsvmhealhnhy tqkslslspgkgggsgggsgggsgggg sgggsgggsgdkthtcppcpapellggps vflfppkpkdtlmisrtpevtcvvvdvsh dpevkfnwyvdgvevhnaktkpceezygst yrcvsvltvlhqdwlngkeykckvsnkalsp</p>

			apiektiskakgqprepqvylppsreemt knqvsltclvkgyfypsdiavewesngqpen nykttppvldsdsfflyskltvdksrwqq gnvfscsvmhealhnhytqkslsispkg
274.	C19_3xCD3- scFc	VH CDR1	sygvs
275.	C19_3xCD3- scFc	VH CDR2	yndpvfgsiyyaswvkg
276.	C19_3xCD3- scFc	VH CDR3	drsyvsssgyhfnl
277.	C19_3xCD3- scFc	VL CDR1	qasetiyssla
278.	C19_3xCD3- scFc	VL CDR2	gasnles
279.	C19_3xCD3- scFc	VL CDR3	qsgvysaglt
280.	C19_3xCD3- scFc	VH	evqllesggglvqpggsrlscaasgftfs sygvswwvrqapkgglewigyndpvfgsiyy aswvkggrftissdnskntlylqmnsraed tavyycakdrrsyvsssgyhfnlwgggtlvt vss
281.	C19_3xCD3- scFc	VL	diqmtqspsslsasvgrvtitcqasetiy sslawyqqkpgkapklliygasnlesgvps rfsgsgsgtdftftisglqpediatyycqs gvysagltfgggtkveik
282.	C19_3xCD3- scFc	scFv	diqmtqspsslsasvgrvtitcqasetiy sslawyqqkpgkapklliygasnlesgvps rfsgsgsgtdftftisglqpediatyycqs gvysagltfgggtkveikggggsgggsgg ggsevqllesggglvqpggsrlscaasgf tfssygvswwvrqapkgglewigyndpvfgs iyyaswvkggrftissdnskntlylqmnsr aedtavyycakdrrsyvsssgyhfnlwgggt lvtvss
283.	C19_3xCD3-	биспецифи	diqmtqspsslsasvgrvtitcqasetiy

	scFc	чешская молекула	<pre> sslawyqqkpgkapklliygasnlesgvps rfsgsgsgtdftftisglqpediatyycqs gvysagltfgggtkveikgggsgggsgg ggsevqllesggglvqpggsirlscaasgf tfssygvswvrqapgkglewigyndpvfgs iyyaswvkrftissdnskntlylqmnslr aedtavyycakdryvsssgyhnflwgqgt lvtvssggggsevqlvesggglvqpggslk lscaasgftfnkyamnvrqapgkglewva rirskynnyatyadsvkdrftisrddskn taylqmnnlktedtavyycvrhgnfgnsyi sywaywgqgtlvtvssgggsgggsgggg sqtvtqepsltvspggtvtltcgsstgav tsgnypnwvqqkpgqaprgliggtkflapg tparfsgsllggkaaltlsgvqpedeaeyy cvlwysnrwvfgggtklvtl </pre>
284.	C19_3xCD3- scFc	биспецифи чешская молекула	<pre> diqmtqspsslsasvqdrvtitcasetiy sslawyqqkpgkapklliygasnlesgvps rfsgsgsgtdftftisglqpediatyycqs gvysagltfgggtkveikgggsgggsgg ggsevqllesggglvqpggsirlscaasgf tfssygvswvrqapgkglewigyndpvfgs iyyaswvkrftissdnskntlylqmnslr aedtavyycakdryvsssgyhnflwgqgt lvtvssggggsevqlvesggglvqpggslk lscaasgftfnkyamnvrqapgkglewva rirskynnyatyadsvkdrftisrddskn taylqmnnlktedtavyycvrhgnfgnsyi sywaywgqgtlvtvssgggsgggsgggg sqtvtqepsltvspggtvtltcgsstgav tsgnypnwvqqkpgqaprgliggtkflapg tparfsgsllggkaaltlsgvqpedeaeyy cvlwysnrwvfgggtklvtlvgggdkthtc ppcpapellggpsvflfppkpkdtlmisrt pevtcvvvdvshedpevkfnwyvdgvevhn </pre>

			<p>aktkpcceeqgstyrcvsvltvlhqdwlng keykckvsnkalpapiektiskakgqprep qvytlppsreemtknqvsltclvkgyfyps iavewesngqpennykttppvldsdsffl yskltvdksrwqgggnvfscsvmhealhnhy tqkslslspgkggggsgggsgggsgggg sgggsgggsgdkthtcppcpapellgpps vflfppkpkdtlmisrtpevtcvvvdvshe dpevkfnwyvdgvevhnaktkpcceeqgst yrcvsvltvlhqdwlngkeykckvsnkalp apiektiskakgqprepqvytlppsreemt knqvsltclvkgyfypsdiavewesngqpen nykttppvldsdsfflyskltvdksrwqg gnvfscsvmhealhnhytqkslslspgk</p>
285.	C19_3_CCxCD 3-scFc	VH	<p>evqllesggglvqpggsrlrlscaasgftfs sygvswvrqapgkclewigyndpvgfsiyy aswvkgrftissdnskntlylqmnsraed tavyycaakdrsyvsssgyhfnlwgggtlvt vss</p>
286.	C19_3_CCxCD 3-scFc	VL	<p>diqmtqspsslsasvgrvtitcqasetiy sslawyqqkpgkapklliygasnlesgvps rfsgsgsgtdftftisglqpediatyycqs gvysagltfgcgtkveik</p>
287.	C19_3_CCxCD 3-scFc	scFv	<p>diqmtqspsslsasvgrvtitcqasetiy sslawyqqkpgkapklliygasnlesgvps rfsgsgsgtdftftisglqpediatyycqs gvysagltfgcgtkveikggggsgggsgg ggsevqllesggglvqpggsrlrlscaasgf tfssygvswvrqapgkclewigyndpvgfs iyyaswvkgrftissdnskntlylqmnsr aedtavyycaakdrsyvsssgyhfnlwgggt lvtvss</p>
288.	C19_3_CCxCD 3-scFc	Биспецифи ческая молекула	<p>diqmtqspsslsasvgrvtitcqasetiy sslawyqqkpgkapklliygasnlesgvps rfsgsgsgtdftftisglqpediatyycqs</p>

			<p>gvysagltfgcgtkveikgggsgggsgg ggsevqllesggglvqpggslrlscaasgf tfssygvswvrqapgkclewigyndpvfgs iyyaswvkrftissdskntllylqmnlr aedtavyycakdrsyvsssgyhfnlwqgt lvtvssggggsevqlvesggglvqpggslk lscaasgftfnkyamnvrqapgglewva rirskynnyatyadsvkdrftisrddskn taylqmnlktedtavyycvrhgnfgnsyi sywaywqgtlvtvssgggsgggsgggg sqtvtqepsltvspggtvtltcgsstgav tsgnypnwvqqkpgqaprgliggtkflapg tparfsgsllggkaaltlsgvpedeaeyy cvlwysnrwvfgggtklvtl</p>
289.	C19_3_CCxCD 3-scFc	Биспецифическая молекула HLE	<p>diqmtqspsslsasvdrvtitcqasetiy sslawyqqkpgkapklliygasnlesgvps rfsgsgsgtdftftisglqpediatyycqs gvysagltfgcgtkveikgggsgggsgg ggsevqllesggglvqpggslrlscaasgf tfssygvswvrqapgkclewigyndpvfgs iyyaswvkrftissdskntllylqmnlr aedtavyycakdrsyvsssgyhfnlwqgt lvtvssggggsevqlvesggglvqpggslk lscaasgftfnkyamnvrqapgglewva rirskynnyatyadsvkdrftisrddskn taylqmnlktedtavyycvrhgnfgnsyi sywaywqgtlvtvssgggsgggsgggg sqtvtqepsltvspggtvtltcgsstgav tsgnypnwvqqkpgqaprgliggtkflapg tparfsgsllggkaaltlsgvpedeaeyy cvlwysnrwvfgggtklvtlvgggdkthtc ppcpapellggpsvflfppkpkdtlmisrt pevtcvvdvshedpevkfnwyvdgvevhn aktkpceezygstyrcvsvltvlhqdwlng keykckvsnkalpapiektiskakgqprep</p>

			<p>qvytlppsreemtknqvsltclvkgyfypsdiavewesngqpennykttppvldsdgsfflyskltvdksrwqgggnvfscsvmhealhnhytqkslslspgkgggsgggsgggsgggsgggsgggsgggsgdkthtppcpapellggpsvflfppkpkdtlmisrtpevtcvvvdvshe dpevkfnwyvdgvevhnaktkpeeeygst yrcvsvltvlhqdwlngkeykckvsnkalp apiektiskakgqprepqvytlppsreemtknqvsltclvkgyfypsdiavewesngqpen nykttppvldsdgsfflyskltvdksrwqgggnvfscsvmhealhnhytqkslslspgk</p>
290.	C19_4xCD3-scFc	VH CDR1	sygvs
291.	C19_4xCD3-scFc	VH CDR2	yndpvfgsiyyaswvkg
292.	C19_4xCD3-scFc	VH CDR3	drsyvsssgyhfnl
293.	C19_4xCD3-scFc	VL CDR1	qasetiyssla
294.	C19_4xCD3-scFc	VL CDR2	gasnles
295.	C19_4xCD3-scFc	VL CDR3	qsgvysaglt
296.	C19_4xCD3-scFc	VH	<p>evqllesggglvqpggslrlscaasgftfs sygvswvrqapggkglewvgyndpvfgsiyy aswvkggrftissdnskntlylqmnsraed tavyycahdrsyvsssgyhfnlwgqgtlvt vss</p>
297.	C19_4xCD3-scFc	VL	<p>diqmtqspsslsasvgrvtitcqasetiy sslawyqqkpgkapklliygasnlesgvps rfgsgsgtdftftisslqpediatyyccqs gvysagltfgggtkveik</p>
298.	C19_4xCD3-scFc	scFv	<p>diqmtqspsslsasvgrvtitcqasetiy sslawyqqkpgkapklliygasnlesgvps</p>

			<p>rfsgsgsgtdftftisslqpediatyycqs gvysagltfgggtkveikggsgggsgg ggsevqllesggglvqpggsrlscaasgf tfssygvswvrqapgglewvgyndpvfgs iyyaswvkrftissdnskntlylqmnslr aedtavyycahdrsyvsssgyhfnlwqggt lvtvss</p>
299.	C19_4xCD3- scFc	Биспецифи ческая молекула	<p>diqmtqspsslsasvgrvtitcqasetiy sslawyqqkpgkapklliygasnlesgvps rfsgsgsgtdftftisslqpediatyycqs gvysagltfgggtkveikggsgggsgg ggsevqllesggglvqpggsrlscaasgf tfssygvswvrqapgglewvgyndpvfgs iyyaswvkrftissdnskntlylqmnslr aedtavyycahdrsyvsssgyhfnlwqggt lvtvssgggsevqlvesggglvqpggslk lscaasgftfnkyamnvrqapgglewva rirskynnyatyadsvkdrftisrddskn taylqmnnlktedtavyycvrhgnfgnsyi sywaywqggtlvtvssggsgggsgggg sqtvtqepsltvspggtvltcgsstgav tsgnypnwvqqkpgqaprgliggtkflapg tparfsgsllggkaaltlsgvqpedeaeyy cwlwysnrwvfgggtkltvl</p>
300.	C19_4xCD3- scFc	Биспецифи ческая молекула HLE	<p>diqmtqspsslsasvgrvtitcqasetiy sslawyqqkpgkapklliygasnlesgvps rfsgsgsgtdftftisslqpediatyycqs gvysagltfgggtkveikggsgggsgg ggsevqllesggglvqpggsrlscaasgf tfssygvswvrqapgglewvgyndpvfgs iyyaswvkrftissdnskntlylqmnslr aedtavyycahdrsyvsssgyhfnlwqggt lvtvssgggsevqlvesggglvqpggslk lscaasgftfnkyamnvrqapgglewva rirskynnyatyadsvkdrftisrddskn</p>

			<p>taylqmnlnktdtavyycvrhgnfgnsyi sywaywqggtlvtvssgggsgggsgggg sgtvvtqepsltvspggtvtltcgsstgav tsgnypnwvqqkpgqaprgliggtkflapg tparfsgsllggkaaltlsgvqpedeaeey cvlwysnrwvfgggtklvtlvgggdkthtc ppcpapellggpsvflfppkpkdtlmisrt pevtcvvvdvshedpevkfnwyvdgvevhn aktkpceezygstyrcvsvltvlhqdwlng keykckvsnkalspapiektiskakgqprep qvylppsreemtknqvsltclvkgyfypsdi avewesngqpennykttppvldsdsffl yskltvdksrwqggnvfscsvmhealhnhy tqkslslspgkgggsgggsgggsgggg sgggsgggsgdkthtcppcpapellggps vflfppkpkdtlmisrtpevtcvvvdvshe dpevkfnwyvdgvevhnaktkpceezygst yrcvsvltvlhqdwlngkeykckvsnkalsp apiektiskakgqprepqvylppsreemtk knqvsltclvkgyfypsdiavewesngqpen nykttppvldsdsfflyskltvdksrwqg gnvfscsvmhealhnhytqkslslspgk</p>
301.	C19_4_CCxCD 3-scFc	VH	<p>evqllesggglvqpggslrlscaasgftfs sygvswvrqapgkclewvgyndpvfgsiyy aswvkgrftissdskntlylqmnslraed tavyycaakdrsyvssgyhfnlwqggtlvt vss</p>
302.	C19_4_CCxCD 3-scFc	VL	<p>diqmtqspsslsasvdrvtitcqasetiy sslawyqqkpgkapklliygasnlesgvps rfsgsgsgtdftftisslqpediatyycqs gvysagltfgcgtkveik</p>
303.	C19_4_CCxCD 3-scFc	scFv	<p>diqmtqspsslsasvdrvtitcqasetiy sslawyqqkpgkapklliygasnlesgvps rfsgsgsgtdftftisslqpediatyycqs gvysagltfgcgtkveikgggsgggsgg</p>

			ggsevqllesggglvqpggsirlscaasgf tfssygvswvrqapgkclewvgyndpvfgs iyyaswkgrftissdskntlylqmnslr aedtavyycahdrsyvsssgyhnflwgqgt lvtvss
304.	C19_4_CCxCD 3-scFc	Биспецифи ческая молекула	diqmtqspsslsasvgrvtitcqasetiy sslawyqqkpgkapklliygasnlesgvps rfsgsgsgtdfttisslqpediatyycqs gvysagltfgcgtkveikggsgggsgg ggsevqllesggglvqpggsirlscaasgf tfssygvswvrqapgkclewvgyndpvfgs iyyaswkgrftissdskntlylqmnslr aedtavyycahdrsyvsssgyhnflwgqgt lvtvssggggsevqlvesggglvqpggslk lscaasgftfnkyamnvrqapgkglewva rirskynnyatyadsvkdrftisrddskn taylqmnlnktdtavyycvrhgnfgnsyi sywaywgqgtlvtvssggsgggsgggg sqtvtqepsltvspggtvtltcgsstgav tsgnypnwvqqkpgqaprgliggtkflapg tparfsgsllggkaaltlsgvqpedeaeey cvlwysnrwvfgggtklvtl
305.	C19_4_CCxCD 3-scFc	Биспецифи ческая молекула HLE	diqmtqspsslsasvgrvtitcqasetiy sslawyqqkpgkapklliygasnlesgvps rfsgsgsgtdfttisslqpediatyycqs gvysagltfgcgtkveikggsgggsgg ggsevqllesggglvqpggsirlscaasgf tfssygvswvrqapgkclewvgyndpvfgs iyyaswkgrftissdskntlylqmnslr aedtavyycahdrsyvsssgyhnflwgqgt lvtvssggggsevqlvesggglvqpggslk lscaasgftfnkyamnvrqapgkglewva rirskynnyatyadsvkdrftisrddskn taylqmnlnktdtavyycvrhgnfgnsyi sywaywgqgtlvtvssggsgggsgggg

			<p> sqtvvtqepsltvspggtvtltcgsstgav tsgnypnwvqqkpgqaprgliggtkflapg tparfsgsllggkaaltlsgvqpedeaeey cvlwysnrwvfgggtkltvlgggdkthtc ppcpapellggpsvflfppkpkdtlmisrt pevtcvvvdvshedpevkfnwyvdgvevhn aktkpceezygstyrcvsvltvlhqdwlng keykckvsnkalpapiektiskakggprep qvylppsreemtknqvsltclvkgyfypsdi avewesngqpennykttppvldsdsffly skltvdksrwqqgnvfscsvmhealhnhy tqkslslspgkgggsgggsgggsgggsggg sgggsgggsgdkthtcppcpapellggps vflfppkpkdtlmisrtpevtcvvvdvshe dpevkfnwyvdgvevhnaktkpceezygst yrcvsvltvlhqdwlngkeykckvsnkalp apiektiskakggprepqvylppsreemt knqvsltclvkgyfypsdiavewesngqpen nykttppvldsdsfflyskltvdksrwqq gnvfscsvmhealhnhytqkslslspgk </p>
306.	C19_1xCD3- scFc_delGK	Биспецифическая молекула HLE	<p> diqmtqspsslsasvgrvtitcqasetiy sslawyqqkpgkppklliygasnlesgvps rfsgsgsgtdftftisslqpediatyycqs gvysagltfgggtkveikgggsgggsggg ggsevqllesggglvqpggsrlscaasgf tfssygvswvrqapgkglewigyndpvfsg iyyaswvkrftissdnskntlylqmnslr aedtavyycaakdrsyvssgyhfnlwgggt lvtvssggggsevqlvesggglvqpggslk lscaasgftfnkyamnwvrqapgkglewva rirskynnyatyadsvkdrftisrddskn taylqmnlktdtavyycvrhgnfgnsyi sywaywgqgtlvtvssgggsgggsgggsggg sqtvvtqepsltvspggtvtltcgsstgav tsgnypnwvqqkpgqaprgliggtkflapg </p>

			<p>tparfsgsllggkaaltlsgvqpedeaeey cvlwysnrwvfgggtklvtlvgggdkthtc ppcpapellggpsvflfppkpkdtlmisrt pevtcvvvdvshedpevkfnwyvdgvevhn aktkpceeegystyrcvsvltvlhqdwlng keykckvsnkalpapiektiskakgqprep qvvtlppsreemtknqvsltclvkgfy-psd iavewesngqpennykttppvlds-dgsffl yskltvdksrwqqgnvfscsvmheal-hnhy tqkslslspgggsggggsggggsggggsg gggsggggskthtcppcpapellggpsvf lfppkpkdtlmisrtpevtcvvvdvshedp evkfnwyvdgvevhnaktkpceeegysty cvsvltvlhqdwlngkeykckvsnkalpap iektiskakgqprepqvvtlppsreemtkn qvs-ltclvkgfy-psdiavewesngqpenny kttppvlds-dgsfflyskltvdksrwqqgn vfscsvmheal-hnhytqkslslspgk</p>
<p>307.</p>	<p>C19_1_CCxCD 3- scFc_delGK</p>	<p>Биспецифи ческая молекула HLE</p>	<p>diqmtqspsslsasvqdrvtitcqasetiy sslawyqqkpgkppklliygasnlesgvps rfsgsgsgtdftftisslqpediatyycqs gvysagltfgcgtkveikgggsggggsgg ggsevqllesggglvqpggsrlscaasgf tfssygvswvrqapgkclewigyndpvfgs iyyaswvkgrftissdnskntlylqmnslr aedtavyyca-kdrsyvsssgyhnflwgqgt lvtvssggggsevqlvesggglvqpggslk lscaasgftfnkyamnwrqapgkglewva rirskynnyatyadsvkdrftisrddskn taylqmnnlktedtavyycvrhgnfgnsyi sywaywgqgtlvtvssgggsggggsgggg sqtvtqeps-ltvs-pggtvltcgsstgav tsgny-pnwvqqkpgqaprgliggtkflapg tparfsgsllggkaaltlsgvqpedeaeey cvlwysnrwvfgggtklvtlvgggdkthtc</p>

			<p>ppcpapellggpsvflfppkpkdtlmisrt pevtcvvvdvshedpevkfnwyvdgvevhn aktkpceeegystyrcvsvltvlhqdwlng keykckvsnkalpapiektiskakgqprep qvvtlppsreemtknqvsltclvkgfypsdi iavewesngqpennykttppvldsdsffl yskltvdksrwqqgnvfscsvmhealhnhy tqkslslspggsgggsgggsgggsgggsg ggsgggsgskthtcppcpapellggpsvf lfppkpkdtlmisrtpevtcvvvdvshedp evkfnwyvdgvevhnaktkpceeegysty cvsvltvlhqdwlngkeykckvsnkalpap iektiskakgqprepqvvtlppsreemtkn qvsltclvkgfypsdiavewesngqpenny kttppvldsdsfflyskltvdksrwqqgn vfscsvmhealhnhytqkslslspgk</p>
308.	C19_2xCD3- scFc_delGK	Биспецифи ческая молекула HLE	<p>diqmtqspsslsasvgrvtitcqasetiy sslawyqqkpgkapklliygasnlesgvps rfsgsgsgtdftftissmqpediatyycqs gvysagltfgggtkveikggsgggsgggsgg ggsevqllesggglvqpggsrlscaasgf tfssygvswvrqapgkglewigyndpvfgs iyyaswvkggrftissdnskntlylqmnslr aedtavyycakdryvsssgyhfnlwqqgt lvtvssggggsevqlvesggglvqpggslk lscaasgftfnkyamnvrqapgkglewva rirskynnyatyadsvkdrftisrddskn taylqmnnlktedtavyycvrhgnfgnsyi sywaywgggtlvtvssggsgggsgggsgggg sqtvtqepsltvspggtvtltcgsstgav tsgnypnwvqqkpgqaprgliggtkflapg tparfsgsllggkaaltlsgvqpedeaeey cvlwysnrwvfgggtklvtlvgggdkthtc ppcpapellggpsvflfppkpkdtlmisrt pevtcvvvdvshedpevkfnwyvdgvevhn</p>

			<p>aktkpceeqygstyrcvsvltvlhqdwlng keykckvsnkalpapiektiskakgqprep qvytlppsreemtknqvsltclvkgfypsd iavewesngqpennykttpvldsdsffl yskltvdksrwqqgnvfscsvmhealhnhy tqkslslspggsgggsgggsgggsg ggsgggsgdkthtppcpapellggpsvf lfppkpkdtlmisrtpevtcvvvdvshedp evkfnwyvdgvevhnaktkpceeqygstyr cvsvltvlhqdwlngkeykckvsnkalpap iektiskakgqprepqvytlppsreemtkn qvsltclvkgfypsdiaavewesngqpenny kttpvldsdsfflyskltvdksrwqqgn vfscsvmhealhnhytqkslslspgk</p>
309.	C19_2_CCxCD 3- scFc_delGK	Биспецифи ческая молекула HLE	<p>diqmtqspsslsasvgrvtitcqasetiy sslawyqqkpgkapklliygasnlesgvps rfsgsgsgtdftftissmqpediatyycqs gvysagltfgcgtkveikggsgggsgg ggsevqllesggglvqpggsrlscaasgf tfssygvswvrqapgkclewigyndpvfgs iyyaswvkgrftissdnskntlylqmnslr aedtavyycakdrsyvsssgyhnflwgqgt lvtvssggggsevqlvesggglvqpggslk lscaasgftfnkyamnwvrqapgkglewva rirskynnyatyadsvkdrftisrddskn taylqmnnlktedtavyycvrhgnfgnsyi sywaywgqgtlvtvssggsgggsgggg sqtvtqepsltvspggtvtlctgsstgav tsgnypnwvqqkpgqaprgliggtkflapg tparfsgsllggkaaltlsgvqpedeaeey cvlwysnrwvfgggtklvtlvgggdkthtc ppcpapellggpsvflfppkpkdtlmisrt pevtcvvvdvshedpevkfnwyvdgvevhn aktkpceeqygstyrcvsvltvlhqdwlng keykckvsnkalpapiektiskakgqprep</p>

			<p> qvytlppsreemtknqvsltclvkgfypsd iavewesngqpennykttpvldsdsffl yskltvdksrwqqgnvfscsvmhealhnhy tqkslsislspggsgggsgggsgggsgg gggsgggsgdkthtcppcpapellggpsvf lfppkpkdtlmisrtpevtcvvvdvshedp evkfnwyvdgvevhnaktkpcceeqgstyr cvsvltvlhqdwlngkeykckvsnkalpap iektiskakgqprepqqvytlppsreemtkn qvsltclvkgfypsdiaavewesngqpenny kttpvldsdsfflyskltvdksrwqqgn vfscsvmhealhnhytqkslsislspgk </p>
310.	C19_3xCD3-scFc_delGK	<p> Биспецифическая молекула HLE </p>	<p> diqmtqspsslsasvgrvtitcqasetiy sslawyqqkpgkapklliygasnlesgvps rfgsgsgtdftftisglqpediatyycqs gvysagltfgggtkveikggsgggsgg ggsevqllesggglvqpggsrlscaasgf tfssygvswvrqapkgglewigyndpvfgs iyyaswvkrftissdskntlylqmnlr aedtavyycakdrsylvssgyhfnlwgggt lvtvssggggsevqlvesggglvqpggslk lscaasgftfnkyamnwrqapkglewva rirskynnyatyadsvkdrftisrddskn taylqmnlktdtavyycvrhgnfgnsyi sywaywgqgtlvtvssggsgggsgggg sqtvvtqepsltvspggtvtlctgsstgav tsgnypnwvqqkpgqaprgliggtkflapg tparfsgsllggkaaltlsgvqpedaeey cvlwysnrwvfgggtklvtlvgggdkthtc ppcpapellggpsvflfppkpkdtlmisrt pevtcvvvdvshedpevkfnwyvdgvevhn aktkpcceeqgstyrsvltvlhqdwlng keykckvsnkalpapektiskakgqprep qvytlppsreemtknqvsltclvkgfypsd iavewesngqpennykttpvldsdsffl </p>

			<p>yskltvdksrwqqgnvfscsvmhealthny tqkslslsppgggsggggsggggsggggsg ggsggggskthtccppcpapellggpsvf lfppkpkdtlmsirtpevtcvvvdvshedp evkfnwyvdgvevhnaktkpceeeygstyr cvsvltvlhqdwlngkeykckvsnkalpap iektiskakgqprepqvylppsreemtkn qvsltclvkgfypsdiavewesngqpenny kttpvldsdsfflyskltvdksrwqqgn vfscsvmhealthnytqkslslspgk</p>
311.	C19_3_CCxCD 3- scFc_delGK	Биспецифи ческая молекула HLE	<p>diqmtqspsslsasvgrvtitcasetiy sslawyqqkpgkapklliygasnlesgvps rfsgsgsgtdftftisglqpediatyyqs gvysagltfgcgtkveikgggsgggsgg ggsevqllesggglvqpggsrlscaasgf tfssygvswvrqapgkclewigyndpvfgs iyyaswvkrftissdnkntlylqmnslr aedtavyycakdryvsssgyhnflwgqgt lvtvssgggsevqlvesggglvqpggslk lscaasgftfnkyamnvrqapgkglewva rirskynnyatyadsvkdrftisrddskn taylqmnnlktedtavyycvrhngfnysi sywaywgqgtlvtvssgggsggggsgggg sqtvtvqepsltvspggtvltlctgsstgav tsgnypnwvqqkpgqaprgliggtkflapg tparfsgsllggkaaltlsgvqpedeaeey cvlwysnrwvfgggtklvtlvggggdkthtc ppcpapellggpsvflfppkpkdtlmsirt pevtcvvvdvshedpevkfnwyvdgvevhn aktkpceeeygstyrcvsvltvlhqdwlng keykckvsnkalpapiektiskakgqprep qvylppsreemtknqvsltclvkgfypsd iavewesngqpennykttpvldsdsffl yskltvdksrwqqgnvfscsvmhealthny tqkslslsppgggsggggsggggsggggsg</p>

			<p>ggsgsgsgsdkthtcpcpapellggpsvf lfppkpkdtlmisrtpevtcvvvdvshedp evkfnwyvdgvevhnaktkpceeegystyr cvsvltvlhqdwlngkeykckvsnkalpap iektiskakgqprepqvylppsreemtkn qvsltclvkgfypsdiavewesngqpenny kttpvldsdsfflyskltvdksrwqqgn vfscsvmhealhnhytqkslslspgk</p>
312.	C19_4xCD3- scFc_delGK	Биспецифи- ческая молекула HLE	<p>diqmtqspsslsasvgrvtitcqasetiy sslawyqqkpgkapklliygasnlesgvps rfsgsgsgtdftftisslqpediatyycqs gvysagltfgggtkveikggsgsgsgsgg ggsevqllesggglvqpggslrlscaasgf tfssygvswvrqapgkglewvgyndpvfgs iyyaswvkggrftissdnkntllylqmnslr aedtavyycahdrsyvsssgyhfnlwqggt lvtvssgggsevqlvesggglvqpggslk lscaasgftfnkyamnwvrqapgkglewva rirskynnyatyadsvkdrftisrddskn taylqmnlnktdtavyycvrhgnfgnsyi sywaywqggtlvtvssggsgsgsgsgsgg sqtvtqepsltvspggtvltlctgsstgav tsgnypnwvqqkpgqaprgliggtkflapg tparfsgslggkaaltlsgvqpedeaeey cvlwysnrwvfgggtklvtlvgggdkthtc ppcpapellggpsvflfppkpkdtlmisrt pevtcvvvdvshedpevkfnwyvdgvevhn aktkpceeegystyrcvsvltvlhqdwlng keykckvsnkalpapiektiskakgqprep qvylppsreemtknqvsltclvkgfypsd iavewesngqpennykttpvldsdsffl yskltvdksrwqqgnvfscsvmhealhnhy tqkslslspggsgsgsgsgsgsgsgsgsg ggsgsgsgsdkthtcpcpapellggpsvf lfppkpkdtlmisrtpevtcvvvdvshedp</p>

			<p>evkfnwyvdgvevhnaktkpceeeygstyr cvsvltvlhqdwlngkeykckvsnkalpap iektiskakgqpprepqvytlppsreemtkn qvsltclvkgfypsdiavewesngqpenny kttpvldsdsfflyskltvdksrwqqgn vfscsvmhealhnhytqkslsispkg</p>
313.	<p>C19_4_CCxCD 3- scFc_delGK</p>	<p>Биспецифи ческая молекула HLE</p>	<p>diqmtqspsslsasvgdrvtitcqasetiy sslawyqqkpgkapklliygasnlesgvps rfsgsgsgtdftftisslqpediatyycqs gvysagltfgcgtkveikgggsgggsgg ggsevqllesggglvqpggsrlscaasgf tfssygvswvrqapgkclewvgyndpvfgs iyyaswvkrftissdnkntlylqmnlr aedtavyycakdrsyvsssyghfnlwqgt lvtvssgggsevqlvesggglvqpggslk lscaasgftfnkyamnvrqapgkglewva rirskynnyatyadsvkdrftisrddskn taylqmnlktedtavyycvrhgnfgnsyi sywaywgqgtlvtvssgggsgggsgggg sqtvtqepsltvspggtvtltcgsstgav tsgnypnwvqqkpgqaprgliggtkflapg tparfsgsllggkaaltlsgvqpedaeey cvlwysnrwvfgggtklvtlvggdkthtc ppcpapellggpsvflfppkpkdtlmisrt pevtcvvvdvshedpevkfnwyvdgvevhn aktkpceeeygstyrcvsvltvlhqdwlng keykckvsnkalpapiektiskakgqpprep qvytlppsreemtknqvsltclvkgfypsd iaewesngqpennykttpvldsdsffl yskltvdksrwqqgnvfscsvmhealhnhy tqkslsispgggsgggsgggsgggsgg ggsgggsgdkthtcppcpapellggpsvf lfppkpkdtlmisrtpevtcvvvdvshedp evkfnwyvdgvevhnaktkpceeeygstyr cvsvltvlhqdwlngkeykckvsnkalpap</p>

			iektiskakgqprepqvylppsreemtkn qvsltclvkgfypsdiavewesngqpenny kttppvldsdsfflyskltvdksrwqgn vfscsvmhealhnhytqkslsispk
314.	FL_1xCD3- scFc	VH CDR1	narmgvs
315.	FL_1xCD3- scFc	VH CDR2	nifsndeksyyslks
316.	FL_1xCD3- scFc	VH CDR3	ivgygsgwygyfdy
317.	FL_1xCD3- scFc	VL CDR1	rasqgirndlg
318.	FL_1xCD3- scFc	VL CDR2	aasslqs
319.	FL_1xCD3- scFc	VL CDR3	lqhnsyplt
320.	FL_1xCD3- scFc	VH	qvtlkesgpalkptetltltctvsgfsls narmgvswirppgkalewlanifsndeks yyslksrsltiskgtsksqvltmtndpe dtatyycarivgygsgwygyfdywgqgtlv tvss
321.	FL_1xCD3- scFc	VL	diqmtqspsslsasvgdrvtitcrasqgir ndlgwyqqkpgkapqrliyaasslqsgvps rfsgsgsgteftltisslqpedfatyyclq hnsypltfgggtkveiks
322.	FL_1xCD3- scFc	scFv	qvtlkesgpalkptetltltctvsgfsls narmgvswirppgkalewlanifsndeks yyslksrsltiskgtsksqvltmtndpe dtatyycarivgygsgwygyfdywgqgtlv tvssggggsgggsgggsgdiqmtqspssl sasvgdrvtitcrasqgirndlgwyqqkpg kapqrliyaasslqsgvpsrfsgsgsgtef tltisslqpedfatyyclqhnsypltfggg tkveik
323.	FL_1xCD3-	Биспецифи	qvtlkesgpalkptetltltctvsgfsls

	scFc	чешская молекула	narmgvswirpppgkalewlanifsndeks ytslksrlltiskgtsksqvltmtndpe dtatyycarivgygsgwygyfdywgggtlv tvssggggsgggsggggsdiqmtqspssl sasvgdrvtitcrasqgirndlgwyqqkpg kapqrliyaasslqsgvpsrfsrgsgstef tltisslqpedfatyyclqhnsypltfggg tkveiksggggsevqlvesggglvqpggsl klscaasgftfnkyamnvrqapkgglewv arirskynnyatyadsvkdrftisrddsk ntaylqmnnkctedavyycvrhgnfgnsy isywaywgggtlvtvssggggsgggsggg gsqtvvtqepsltvspggtvltcgsstga vtsgnypnwvqqkpgqaprgliggtkflap gtparfsgsllggkaaltlsgvqpedeaey ycvlwysnrwvfgggtkltvl
324.	FL_1xCD3- scFc	Биспецифи чешская молекула HLE	qvtlkesgpalvkptetlctvtvsgfsls narmgvswirpppgkalewlanifsndeks ytslksrlltiskgtsksqvltmtndpe dtatyycarivgygsgwygyfdywgggtlv tvssggggsgggsggggsdiqmtqspssl sasvgdrvtitcrasqgirndlgwyqqkpg kapqrliyaasslqsgvpsrfsrgsgstef tltisslqpedfatyyclqhnsypltfggg tkveiksggggsevqlvesggglvqpggsl klscaasgftfnkyamnvrqapkgglewv arirskynnyatyadsvkdrftisrddsk ntaylqmnnkctedavyycvrhgnfgnsy isywaywgggtlvtvssggggsgggsggg gsqtvvtqepsltvspggtvltcgsstga vtsgnypnwvqqkpgqaprgliggtkflap gtparfsgsllggkaaltlsgvqpedeaey ycvlwysnrwvfgggtkltvlgggdktht cppcpapellggpsvflfppkpkdtlmisr tpevtcvvvdvshedpevkfnwyvdgvevh

			naktkpceeqqgstyrcvsvltvlhqdwl gkeykckvsnkalpapiektiskakgqpre pqvytlppsreemtknqvsltclvkgyfyps diavewesngqpennykttpvldsdsff lyskltvdkrswqqgnvfscsvmhealnhh ytqkslslspgkggggsgggsgggsggg gsgggsgggsgskthtppcpapellggp svflfppkpkdtlmsrtpevtcvvvdvsh edpevkfnwyvdgvevhnaktkpceeqygs tyrcvsvltvlhqdwlngkeykckvsnkal papiektiskakgqprepqvytlppsreem tknqvsltclvkgyfypsdiavewesngqpe nnykttpvldsdsfflyskltvdkrswq qgnvfscsvmhealnhhtqkslslspgk
325.	FL_1_CCxCD3 -scFc	VH	qvtlkesgpalvkptetltltctvsgfsls narmgvswirppgkclewlanifsndeks ytslksrsltiskgtsksqvltmtndpe dtatyycarivgygsgwygyfdywgqgtlv tvss
326.	FL_1_CCxCD3 -scFc	VL	diqmtqspsslsasvgrvtitcrasqgir ndlgwyqqkpgkapqrliyaasslqsgvps rfsgsgsgteftltisslqpedfatyyclq hnsypltfqcgtkveik
327.	FL_1_CCxCD3 -scFc	scFv	qvtlkesgpalvkptetltltctvsgfsls narmgvswirppgkclewlanifsndeks ytslksrsltiskgtsksqvltmtndpe dtatyycarivgygsgwygyfdywgqgtlv tvssggggsgggsgggsgggsgdiqmtqspssl sasvgrvtitcrasqgirndlgwyqqkpg kapqrliyaasslqsgvpsrfsgsgsgtef tltisslqpedfatyyclqhnsypltfqcg tkveiks
328.	FL_1_CCxCD3 -scFc	Биспецифи ческая молекула	qvtlkesgpalvkptetltltctvsgfsls narmgvswirppgkclewlanifsndeks ytslksrsltiskgtsksqvltmtndpe

			<p>dtatyycarivgygsgwygyfdywgqgtlv tvssggggsgggsggggsdiqmtqspssl sasvgdrvtitcrasqgirndlgwyqqkpg kapqrliyaasslqsgvpsrfsqsgsgtef tltisslqpedfatyyclqhnsypltfqcg tkveiksggggsevqlvesggglvqpggsl klscaasgftfnkyamnwrqapgglewv arirskynnyatyadsvkdrftisrddsk ntaylqmnlnktdtavyycvrhgnfgnsy isywaywgqgtlvsvssggggsgggsggg gsqvtvtqepsltvspggtvtltcgsstga vtsgnypnwvqqkpgqaprgliggtkflap gtparfsgsllggkaaltlsgvqpedeae ycvlwysnrwvfgggtkltvl</p>
329.	FL_1_CCxCD3 -scFc	Биспецифическая молекула HLE	<p>qvtlkesgpalvkptetltltctvsgfsls narmgvswirppgkclewlanifsndeks ystslksrlltiskgtsksqvltmtndpe dtatyycarivgygsgwygyfdywgqgtlv tvssggggsgggsggggsdiqmtqspssl sasvgdrvtitcrasqgirndlgwyqqkpg kapqrliyaasslqsgvpsrfsqsgsgtef tltisslqpedfatyyclqhnsypltfqcg tkveiksggggsevqlvesggglvqpggsl klscaasgftfnkyamnwrqapgglewv arirskynnyatyadsvkdrftisrddsk ntaylqmnlnktdtavyycvrhgnfgnsy isywaywgqgtlvsvssggggsgggsggg gsqvtvtqepsltvspggtvtltcgsstga vtsgnypnwvqqkpgqaprgliggtkflap gtparfsgsllggkaaltlsgvqpedeae ycvlwysnrwvfgggtkltvlgggdktht cppcpapellggpsvflfpkpkdtlmisr tpevtcvvvdvshedpevkfnwyvdgvevh naktkpceeaygstyrcvsvltvlhqdwl gkeykckvsnkalpapiektiskakgqpre</p>

			pqvylppsreemtknqvsltclvkgyfyps diavewesngqpennykttppvldsdsff lyskltvdksrwqggnvfscsvmhealthnh ytqkslslspgkggggsgggsgggsggg gsgggsgggsgdkthtccppapellggp svflfppkpktlmsrtpevtcvvvdvsh edpevkfnwyvdgvevhnaktkpeeogygs tyrcvsvltvlhqdwlngkeykckvsnkal papiektiskakgpprepqvylppsreem tknqvsltclvkgyfypsdiavewesngqpe nnykttppvldsdsfflyskltvdksrwq qgnvfscsvmhealthnhytqkslslspgk
330.	FL_2xCD3- scFc	VH CDR1	narmgvs
331.	FL_2xCD3- scFc	VH CDR2	hifsndeksyyslkn
332.	FL_2xCD3- scFc	VH CDR3	ivgygsgwygffdy
333.	FL_2xCD3- scFc	VL CDR1	rasqgirndlg
334.	FL_2xCD3- scFc	VL CDR2	aastlqs
335.	FL_2xCD3- scFc	VL CDR3	lqhnsyplt
336.	FL_2xCD3- scFc	VH	qvtlkesgptlvkptetltlctlsqfsln narmgvswirppgkalewlahifsndeks yyslknrltiskdssktqvvtmtndpv dtatyycarivgygsgwygffdywgqgtlv tvss
337.	FL_2xCD3- scFc	VL	diqmtqspsslsasvdrvtitcrasqgir ndlgwyqqkpgkapkriyaastlqsgvps rfsgsgsteftltisslqpedfatyyclq hnsypltfgggtkveik
338.	FL_2xCD3- scFc	scFv	qvtlkesgptlvkptetltlctlsqfsln narmgvswirppgkalewlahifsndeks

			<p> ystslknrltiskdssktqvvlmtnvdpv dtatyycarivgygsgwygffdywgqgtlv tvssggggsgggsggggsdiqmtqspssl sasvgdrvtitcrasqgirndlgwyqqkpg kapkriiyaastlqsgvpsrfsqsgsgtef tltisslqpedfatyyclqhnsypltfggg tkveiks </p>
339.	FL_2xCD3-scFc	Биспецифическая молекула	<p> qvtlkesgptlvkptetltltctlsqfsln narmgvswirqppgkalewlahifsndeks ystslknrltiskdssktqvvlmtnvdpv dtatyycarivgygsgwygffdywgqgtlv tvssggggsgggsggggsdiqmtqspssl sasvgdrvtitcrasqgirndlgwyqqkpg kapkriiyaastlqsgvpsrfsqsgsgtef tltisslqpedfatyyclqhnsypltfggg tkveiksggggsevqlvesggglvqpggsl klscaasgftfnkyamnvrqapgkglewv arirskynnyatyadsvkdrftisrddsk ntaylqmnlnkctedavyycvrhgnfgnsy isywaywgqgtlvsvssggggsgggsggg gsqtvvtqepsltvspggtvltcgsstga vtsgnypnwvqqkpgqaprgliggtkflap gtparfsgsllggkaaltlsgvqpedeaey ycvwlwysnrwvfgggtkltvl </p>
340.	FL_2xCD3-scFc	Биспецифическая молекула HLE	<p> qvtlkesgptlvkptetltltctlsqfsln narmgvswirqppgkalewlahifsndeks ystslknrltiskdssktqvvlmtnvdpv dtatyycarivgygsgwygffdywgqgtlv tvssggggsgggsggggsdiqmtqspssl sasvgdrvtitcrasqgirndlgwyqqkpg kapkriiyaastlqsgvpsrfsqsgsgtef tltisslqpedfatyyclqhnsypltfggg tkveiksggggsevqlvesggglvqpggsl klscaasgftfnkyamnvrqapgkglewv arirskynnyatyadsvkdrftisrddsk </p>

			<p>ntaylqmnlnktdtavyycvrhgnfgnsy isywaywqggtlvtvssggggsgggsggg gsqtvvtqepsltvspggtvltcgsstga vtsgnypnwvqqkpgqaprgliggtkflap gtparfsgsllggkaaltlsgvqpedeae ycvlwysnrwvfgggtklvtlvgggdkht cppcpapellggpsvflfppkpkdtlmisr tpevtcvvvdvshdepvkfnwyvdgvevh naktkpceeaygstyrcvsvltvlhqdwn gkeykckvsnkalspapiektiskakgpre pqvylppsreemtknqvsltclvkgfyps diavewesngqpennyktppvldsdgsff lyskltvdksrwqggnvfscsvmhealnh ytqkslslspgkggggsgggsgggsggg gsgggsgggsgdkhtcpcpapellggp svflfppkpkdtlmisrtpevtcvvvdvsh edpevkfnwyvdgvevhnaktkpceeaygs tyrcvsvltvlhqdwnlgkeykckvsnkals spapiektiskakgprepqvylppsreem tknqvsltclvkgfypsdiavewesngqpe nnyktppvldsdgsfflyskltvdksrwq ggnvfscsvmhealnhytqkslslspgk</p>
341.	FL_2_CCxCD3 -scFc	VH	<p>qvtlkesgptlvkptetlvtlctlsqfsln narmgvswirppgkclewlahifsndeks ystslknrltiskdssktqvvlmtntvdpv dtatyycarivgygsgwygffdywqggtlv tvss</p>
342.	FL_2_CCxCD3 -scFc	VL	<p>diqmtqspsslsasvdrvtitcrasggir ndlgwyqqkpgkapkrliyaastlqsgvps rfsgsgsgteftltisslqpedfatyyclq hnsypltfgcgkveik</p>
343.	FL_2_CCxCD3 -scFc	scFv	<p>qvtlkesgptlvkptetlvtlctlsqfsln narmgvswirppgkclewlahifsndeks ystslknrltiskdssktqvvlmtntvdpv dtatyycarivgygsgwygffdywqggtlv</p>

			<p>tvssggggsgggsgggsggggsdiqmtqspssl sasvgdrvtitcrasqgirndlgwyqqkpg kapkrliyaastlqsgvpsrfsrgsgsgtef tltisslqpedfatyyclqhnsypltfgcg tkveiks</p>
344.	FL_2_CCxCD3 -scFc	Биспецифическая молекула	<p>qvtlkesgptlvkptetltltctlsqfsln narmgvswirpppgkclewlahifsndeks ystslknrltiskdssktqvvlmtntndpv datyycarivgygsgwygffdywgqgtlv tvssggggsgggsgggsggggsdiqmtqspssl sasvgdrvtitcrasqgirndlgwyqqkpg kapkrliyaastlqsgvpsrfsrgsgsgtef tltisslqpedfatyyclqhnsypltfgcg tkveiksggggseqlvesggglvqpggsl klscaasgftfnkyamnvrqapggglewv arirskynnyatyadsvkdrftisrddsk ntaylqmnlnktdtavyycvrhgnfgnsy isywaywgqgtlvtvssggggsgggsggg gsqvtvtqepsltvspggtvltcgsstga vtsgnypnwvqqkpgqaprgliggtkflap gtparfsgsllggkaaltlsgvqpedeay ycvlwysnrwvfgggtkltvl</p>
345.	FL_2_CCxCD3 -scFc	Биспецифическая молекула HLE	<p>qvtlkesgptlvkptetltltctlsqfsln narmgvswirpppgkclewlahifsndeks ystslknrltiskdssktqvvlmtntndpv datyycarivgygsgwygffdywgqgtlv tvssggggsgggsgggsggggsdiqmtqspssl sasvgdrvtitcrasqgirndlgwyqqkpg kapkrliyaastlqsgvpsrfsrgsgsgtef tltisslqpedfatyyclqhnsypltfgcg tkveiksggggseqlvesggglvqpggsl klscaasgftfnkyamnvrqapggglewv arirskynnyatyadsvkdrftisrddsk ntaylqmnlnktdtavyycvrhgnfgnsy isywaywgqgtlvtvssggggsgggsggg</p>

			gsqtvvtqepsltvspggtvtltcgsstga vtsgnypnwvqqkpgqaprgliggtkflap gtparfsgsllggkaaltlsgvqpedeae ycvlwysnrwvfgggtkltvlggggdkht cppcpapellggpsvflfppkpkdtlmisr tpevtcvvvdvshedpevkfnwyvdgvevh naktkpceeegygstyrcvsvltvlhqdwn gkeykckvsnkakpapiektiskakgpre pqvytlppsreemtknqvsclclvkgfyps diavewesngqpennykttppvldsdsff lyskltvdksrwqggnvfscsvmhealhh ytqkslslspgkggggsgggsgggsggg gsgggsgggsgdkthtcppcpapellggp svflfppkpkdtlmisrtpvtcvvvdvsh edpevkfnwyvdgvevhnaktkpceeegygs tyrcvsvltvlhqdwnlgkeykckvsnkak papiektiskakgprepqvytlppsreem tknqvsclclvkgfypsdiavewesngqpe nnykttppvldsdsfflyskltvdksrwq qgnvfscsvmhealhhnytqkslslspgk
346.	FL_3xCD3- scFc	VH CDR1	narmavs
347.	FL_3xCD3- scFc	VH CDR2	hifsndeksyyslks
348.	FL_3xCD3- scFc	VH CDR3	ivgygsgwygyfdy
349.	FL_3xCD3- scFc	VL CDR1	rasqdirndlg
350.	FL_3xCD3- scFc	VL CDR2	aastlqs
351.	FL_3xCD3- scFc	VL CDR3	lqhnsyplt
352.	FL_3xCD3- scFc	VH	qvtlkesgpalkvptetltltctlsqfsln narmavswirppgktlewlahifsndeks yyslksrlyskdtskgqvltmtndpv

			dtatyycarivgygsgwygyfdywgqgtlv tvss
353.	FL_3xCD3- scFc	VL	diqmtqspsslsasvgdrvtitcrasqdir ndlgwyqqkpgkapkriyaastlqsgvps rfsgsgsgteftlttisslqpedfatyyclq hnsypltfgggtkveik
354.	FL_3xCD3- scFc	scFv	qvtlkesgpalvkptetltltctlsqfsln narmavswirppgktlewlahifsndeks ystslksrsltiskdtskgqvltmtndpv dtatyycarivgygsgwygyfdywgqgtlv tvssggggsgggsgggsgggsgdiqmtqspssl sasvgdrvtitcrasqdirndlgwyqqkpg kapkriyaastlqsgvpsrfsgsgsgtef tltisslqpedfatyyclqhnsypltfggg tkveiks
355.	FL_3xCD3- scFc	Биспецифи ческая молекула	qvtlkesgpalvkptetltltctlsqfsln narmavswirppgktlewlahifsndeks ystslksrsltiskdtskgqvltmtndpv dtatyycarivgygsgwygyfdywgqgtlv tvssggggsgggsgggsgggsgdiqmtqspssl sasvgdrvtitcrasqdirndlgwyqqkpg kapkriyaastlqsgvpsrfsgsgsgtef tltisslqpedfatyyclqhnsypltfggg tkveiksggggsevqlvesggglvqpggsl klscaasgftfnkyamnvrqapkglewv arirskynnyatyadsvkdrftisrddsk ntaylqmnlnkctedavyycvrhgnfgnsy isywaywgqgtlvsvssggggsgggsgggg gsqtvvtqepsiltvspggtvltcgsstga vtsgnypnwvqkpgqaprgliggtkflap gtparfsgsllggkaaltlsgvqpedeaey ycvlwysnrwvfgggtkltvl
356.	FL_3xCD3- scFc	Биспецифи ческая молекула	qvtlkesgpalvkptetltltctlsqfsln narmavswirppgktlewlahifsndeks ystslksrsltiskdtskgqvltmtndpv

		HLE	<p>dtatyycarivgygsgwygyfdywgggtlv tvssggggsgggsggggsdiqmtqspssl sasvgdrvtitcrasqdirndlgwyqqkpg kapkrliyaastlqsgvpsrfsqsgsgtef tltisslqpedfatyyclghnsypltfggg tkveiksggggsevqlvesggglvqpggs1 klscaasgftfnkyamnwwrqapgglewv arirskynnyatyadsvkdrftisrddsk ntaylqmnnlktedtavyycvrhgnfgnsy isywaywgggtlvsvssggggsgggsggg gsqvtvtqeps1tvspggtvltcgsstga vtsgnypnwvqqkpgqaprgliggtkflap gtparfsgsllggkaaltlsgvpedeae ycvlwysnrwvfgggtkltvlggggdktht cppcpapellggpsvflfppkpkdtlmisr tpevtcvvvdvshedpevkfnwyvdgvevh naktkpceeogygstyrcsvltvlhqdwln gkeykckvsnkalpapiektiskakgpre pqvytlppsreemtknqvsltclvkgfyps diavewesngqpennykttppvldsdsff lyskltvdksrwqqgnvfscsvmhealnhh ytqkslslspgkggggsgggsgggsggg gsgggsgggsgdkthtcppcpapellggp svflfppkpkdtlmisrtpvtcvvvdvsh edpevkfnwyvdgvevhnaktkpceeogygs tyrcsvltvlhqdwlngkeykckvsnk apiektiskakgprepqvytlppsreem tknqvsltclvkgfypsdiavewesngqpe nnykttppvldsdsfflyskltvdksrwq qgnvfscsvmhealnhhytqkslslspgk</p>
357.	FL_3_CCxCD3 -scFc	VH	<p>qvtlkesgpalvkptetltlctlsqfsln narmavswirppgkclewlahifsndeks ytslksr1tiskdtskgqvltmtmndpv dtatyycarivgygsgwygyfdywgggtlv tvss</p>

358.	FL_3_CCxCD3 -scFc	VL	diqmtqspsslsasvqdrvtitcrasqdir ndlgwyqqkpgkapkrliyaastlqsgvps rfsgsgsgteftltisslqpedfatyyclq hnsypltfqcgtkveik
359.	FL_3_CCxCD3 -scFc	scFv	qvtlkesgpalvkptetltltctlsqfsln narmavswirppgkclewlahifsndeks ystslksrsltiskdtskgqvltmtnmdpv dtatyycarivgygsgwygyfdywgqgtlv tvssggggsgggsgggsgdiqmtqspssl sasvqdrvtitcrasqdirndlgwyqqkpg kapkrliyaastlqsgvpsrfsgsgsgtef tltisslqpedfatyyclqhnsypltfqcg tkveiks
360.	FL_3_CCxCD3 -scFc	Биспецифи ческая молекула	qvtlkesgpalvkptetltltctlsqfsln narmavswirppgkclewlahifsndeks ystslksrsltiskdtskgqvltmtnmdpv dtatyycarivgygsgwygyfdywgqgtlv tvssggggsgggsgggsgdiqmtqspssl sasvqdrvtitcrasqdirndlgwyqqkpg kapkrliyaastlqsgvpsrfsgsgsgtef tltisslqpedfatyyclqhnsypltfqcg tkveiksggggsevqlvesggglvqpggsl klscaasgftfnkyamnwrqapggglewv arirskynnyatyadsvkdrftisrddsk ntaylqmnnlktedtavyycvrhgnfgnsy isywaywgqgtlvtvssggggsgggsggg gsqtvvtqepsltvspggtvtltcgsstga vtsgnypnwvqqkpgqaprgliggtkflap gtparfsgsllggkaaltlsgvqpedeae ycvlwysnrwvfgggtkltvlg
361.	FL_3_CCxCD3 -scFc	Биспецифи ческая молекула HLE	qvtlkesgpalvkptetltltctlsqfsln narmavswirppgkclewlahifsndeks ystslksrsltiskdtskgqvltmtnmdpv dtatyycarivgygsgwygyfdywgqgtlv tvssggggsgggsgggsgdiqmtqspssl

			<p> sasvgdrvtitcrasqdirndlgwyqqkpg kapkrliyaastlqsgvpsrfsqsgsgtef tltisslqpedfatyyclqhnsypltfqcg tkveiksggggsevqlvesggglvqpggs1 klscaasgftfnkyamnvrqapggkglewv arirskynnyatyadsvkdrftisrddsk ntaylqmnlnktdtavyycvrhgnfgnsy isywaywgggtlvtvssggggsgggsggg gsqvtvtqepsltvspggtvtltcgsstga vtsgnypnwvqqkpgqaprgliggtkflap gtparfsgsllggkaaltlsgvqpedeae ycvlwysnrwvfgggtkltvlgggdktht cppcpapellggpsvflfppkpkdtlmisr tpevtcvvvdvshdpevkfnwyvdgvevh naktkpceeeygstyrcsvltvlhqdwln gkeykckvsnkakpapiektiskakgqpre pqvytlppsreemtknqvsltclvkgyfys diavewesngqpennyktppvldsdsff lyskltvdksrwqggnvfscsvmhealhh ytqkslslspgkggggsgggsgggsggg gsgggsgggsgdkthtcppcpapellggp svflfppkpkdtlmisrtpevtcvvvdvsh edpevkfnwyvdgvevhnaktkpceeeygs tyrcsvltvlhqdwlngkeykckvsnkak papiektiskakgqprepvytlppsreem tknqvsltclvkgyfysdiavewesngqpe nnyktppvldsdsfflyskltvdksrwq ggnvfscsvmhealhhnytqkslslspgk </p>
362.	FL_4xCD3- scFc	VH CDR1	nakmgvs
363.	FL_4xCD3- scFc	VH CDR2	hifsndeksystslks
364.	FL_4xCD3- scFc	VH CDR3	ivgygsgwygyfdy
365.	FL_4xCD3-	VL CDR1	rasqdirddlg

	scFc		
366.	FL_4xCD3-scFc	VL CDR2	gastlqs
367.	FL_4xCD3-scFc	VL CDR3	lqhnsyplt
368.	FL_4xCD3-scFc	VH	qvtlkesgpalvkptetltltctlsqfsln nakmgvswirqppgkalewlahifsndeks ystslksrsltiskdtskgqvltmtndpv dtatyycarivgygsgwygyfdywgqgtlv tvss
369.	FL_4xCD3-scFc	VL	diqmtqspsslsasvgdrvtitcrasqdir ddlgwyqqkpgnapkrliygastlqsgvps rfsgsgsgteftlttisslqpedfatyyclq hnsypltfgggtkvdik
370.	FL_4xCD3-scFc	scFv	qvtlkesgpalvkptetltltctlsqfsln nakmgvswirqppgkalewlahifsndeks ystslksrsltiskdtskgqvltmtndpv dtatyycarivgygsgwygyfdywgqgtlv tvssggggsgggsgggsgdiqmtqspssl sasvgdrvtitcrasqdirddlgwyqqkpg napkrliygastlqsgvpsrfsgsgsgtef tltisslqpedfatyyclqhnsypltfggg tkvdiks
371.	FL_4xCD3-scFc	Биспецифическая молекула	qvtlkesgpalvkptetltltctlsqfsln nakmgvswirqppgkalewlahifsndeks ystslksrsltiskdtskgqvltmtndpv dtatyycarivgygsgwygyfdywgqgtlv tvssggggsgggsgggsgdiqmtqspssl sasvgdrvtitcrasqdirddlgwyqqkpg napkrliygastlqsgvpsrfsgsgsgtef tltisslqpedfatyyclqhnsypltfggg tkvdiksggggsevqlvesggglvqpggsl klscaasgftfnkyamnwvrqapgglewv arirskynnyatyadsvkdrftisrddsk ntaylqmnnlktedavyycvrhgnfgnsy

			<p>isywaywgggtlvtvssggggsgggsggg gsqtvtqepsltvspggtvltcgsstga vtsgnypnwvqqkpgqaprgliggtkflap gtparfsgsllggkaaltlsgvqpedeaey ycvlwysnrwvfgggtkltvl</p>
372.	FL_4xCD3- scFc	Биспецифи- ческая молекула HLE	<p>qvtlkesgpalkvptetltlctlsqfsln nakmgvswirgppgkalewlahifsndeks ytslksrsltiskdtskgqvltmtndpv dtatyycarivgygsgwygyfdywgggtlv tvssggggsgggsgggsgdiqmtqspssl sasvgdrvtitcrasqdirddlgyqqkpg napkrliygastlqsgvpsrfsgsgsgtef tltisslqpedfatyyclqhnsypltfggg tkvdiksggggsevqlvesggglvqpggsl klscaasgftfnkyamnwrqapgkglewv arirskynnyatyadsvkdrftisrddsk ntaylqmnlnktedtavyycvrhgnfgnsy isywaywgggtlvtvssggggsgggsggg gsqtvtqepsltvspggtvltcgsstga vtsgnypnwvqqkpgqaprgliggtkflap gtparfsgsllggkaaltlsgvqpedeaey ycvlwysnrwvfgggtkltvlgggdktht cppcpapellggpsvflfppkpkdtlmisr tpevtcvvvdvshedpevkfnwyvdgvevh naktkpceeegygstyrcvsvltvlhqdwln gkeykckvsnkalpapiektiskakgqpre pqvytlppsreemtknqvslclvkgyfyps diavewesngqpennyktppvldsdgsff lysklvtvdkrwwqgnvfscsvmhealhh ytqkslslspgkggggsgggsgggsggg gsgggsgggsgdkthtcppcpapellggp svflfppkpkdtlmisrtpevtcvvvdvsh edpevkfnwyvdgvevhnaktkpceeqygs tyrcvsvltvlhqdwlngkeykckvsnkal papiektiskakgqprepqvytlppsreem</p>

			tknqvsltcclvkgyfypsdiavewesngqpe nnykttppvldsdgsfflyskltvdksrwq qgnvfscsvmhealthhnytqkslslspgk
373.	FL_4_CCxCD3 -scFc	VH	qvtlkesgpalvkptetltltctlsqfsln nakmgvswirppgkclewlahifsndeks ytslksrlltiskdtskgqvltmtndpv dtatyycarivgygsgwygyfdywgqgtlv tvss
374.	FL_4_CCxCD3 -scFc	VL	diqmtqspsslsasvgrvtitcrasqdir ddlgwyqqkpgnapkrllygastlqsgvps rfsgsgsgteftltisslqpedfatyyclq hnsypltfqcgtkvdik
375.	FL_4_CCxCD3 -scFc	scFv	qvtlkesgpalvkptetltltctlsqfsln nakmgvswirppgkclewlahifsndeks ytslksrlltiskdtskgqvltmtndpv dtatyycarivgygsgwygyfdywgqgtlv tvssggggsgggsgggsgdiqmtqspssl sasvgrvtitcrasqdirddlgwyqqkpg napkrllygastlqsgvpsrfsgsgsgtef tltisslqpedfatyyclqhnsypltfqcg tkvdiks
376.	FL_4_CCxCD3 -scFc	Биспецифическая молекула	qvtlkesgpalvkptetltltctlsqfsln nakmgvswirppgkclewlahifsndeks ytslksrlltiskdtskgqvltmtndpv dtatyycarivgygsgwygyfdywgqgtlv tvssggggsgggsgggsgdiqmtqspssl sasvgrvtitcrasqdirddlgwyqqkpg napkrllygastlqsgvpsrfsgsgsgtef tltisslqpedfatyyclqhnsypltfqcg tkvdiksggggsevqlvesggglvppgsl klscaasgftfnkyamnvrqapgglewv arirskynnyatyadsvkdrftisrddsk ntaylqmnnlktedavyycvrhgnfgnsy isywaywgqgtlvtvssggggsgggsggg gsqtvvtqepsltvspggtvltcgsstga

			vtsgnyprnwvqqkpgqaprgliggtkflap gtparfsgsllggkaaltlsgvqpedeaey ycvlwysnrwvfgggtkltvl
377.	FL_4_CCxCD3 -scFc	Биспецифическая молекула HLE	qvtlkesgpalvkptetltltctlsqfsln nakmgvswirpppgkclewlahifsndeks ytslksrsltiskdtskgqvltmtndpv dtatyycarivgygsgwygyfdywgggtlv tvssggggsgggsggggsdiqmtqspssl sasvgdrvtitcrasqdirddlgwyqqkpg napkrliygastlqsgvpsrfsqsgsgtef tltisslqpedfatyyclqhnsypltfqcg tkvdiksggggsevqlvesggglvqpggs klscaasgftfnkyamnwrqapkglew arirskynnyatyadsvkdrftisrddsk ntaylqmnnlktedtavyycvrhgnfgnsy isywaywgggtlvvssggggsgggsggg gsqvtvtqepsltvspggtvtltcgsstga vtsgnyprnwvqqkpgqaprgliggtkflap gtparfsgsllggkaaltlsgvqpedeaey ycvlwysnrwvfgggtkltvlgggdktht cpcpapellggpsvflfppkpkdtlmisr tpevtcvvvdvshedpevkfnwyvdgvevh naktkpceeegstycvsvltvlhqdwln gkeykckvsnkalpapiektiskakgpre pqvytlppsreemtknqvslclvkgfyps diavewesngqpennykttpvldsdgsff lyskltdksrwqqgnvfscsvmhealnhh ytqkslslspgkggggsgggsgggsggg gsgggsggggskthtcpcpapellggp svflfppkpkdtlmisrtpevtcvvvdvsh edpevkfnwyvdgvevhnaktkpceeegs tyrcvsvltvlhqdwlngkeykckvsnkal papiektiskakgprepqvytlppsreem tknqvslclvkgfypsdiavewesngqpe nnykttpvldsdgsfflyskltdksrwq

			qgnvfscsvmhealthhnyhtqkslsispkg
378.	FL_5xCD3-scFc	VH CDR1	narmavs
379.	FL_5xCD3-scFc	VH CDR2	hifsndeksytslks
380.	FL_5xCD3-scFc	VH CDR3	ivgygsgwygyfdy
381.	FL_5xCD3-scFc	VL CDR1	rasqdiryda
382.	FL_5xCD3-scFc	VL CDR2	aasslqs
383.	FL_5xCD3-scFc	VL CDR3	lqhnfyplt
384.	FL_5xCD3-scFc	VH	qvtlkesgpvlvkptetltltctvsgfslr narmavswirppgktlewlahifsndeks ytslksrsltiskdtsksqvltmtndpv dtatyycarivgygsgwygyfdywgqgtlv tvss
385.	FL_5xCD3-scFc	VL	diqmtqspssvsasvdrvtitcrasqdir ydlawyqqkpgkapkriyaasslqsgvps rfsgsgsgteftlttisslqpedfatyyclq hnfypltfgggtkveik
386.	FL_5xCD3-scFc	scFv	qvtlkesgpvlvkptetltltctvsgfslr narmavswirppgktlewlahifsndeks ytslksrsltiskdtsksqvltmtndpv dtatyycarivgygsgwygyfdywgqgtlv tvssggsgsgsgsgsgsgsgdiqmtqspssv sasvdrvtitcrasqdirydlawyqqkpg kapkriyaasslqsgvpsrfsgsgsgtef tltisslqpedfatyyclqhnfypltfggg tkveiks
387.	FL_5xCD3-scFc	Биспецифическая молекула	qvtlkesgpvlvkptetltltctvsgfslr narmavswirppgktlewlahifsndeks ytslksrsltiskdtsksqvltmtndpv dtatyycarivgygsgwygyfdywgqgtlv

		<p>tvssggggsgggsgggsgggsgggdiqmtqspssv sasvgdrvtitcrasqdirydlawyqqkpg kapkrliyaasslqsgvpsrfsrgsgstef tltisslqpedfatyyclqhnfypltfggg tkveiksggggsevqlvesggglvqpggsl klscaasgftfnkyamnwrqapgkglewv arirskynnyatyadsvkdrftisrddsk ntaylqmnnlktedavyycvrhgnfgnsy isywaywgqgtlvtvssggggsgggsgggg gsqvtvtqepsltvspggtvltcgsstga vtsgnypnwvqqkpgqaprgliggtkflap gtparfsgsllggkaaltlsgvqpedeae ycvlwysnrwvfgggtkltvl</p>
<p>388.</p>	<p>FL_5xCD3- scFc</p>	<p>Биспецифическая молекула HLE</p> <p>qvtlkesgpvlvkptetlvtctvsgfslr narmavswirppgktlewlahifsndeks ystslksrlltiskdtsksqvvlmtnmdpv dtatyycarivgygsgwygyfdywgqgtlv tvssggggsgggsgggsgggsgggdiqmtqspssv sasvgdrvtitcrasqdirydlawyqqkpg kapkrliyaasslqsgvpsrfsrgsgstef tltisslqpedfatyyclqhnfypltfggg tkveiksggggsevqlvesggglvqpggsl klscaasgftfnkyamnwrqapgkglewv arirskynnyatyadsvkdrftisrddsk ntaylqmnnlktedavyycvrhgnfgnsy isywaywgqgtlvtvssggggsgggsgggg gsqvtvtqepsltvspggtvltcgsstga vtsgnypnwvqqkpgqaprgliggtkflap gtparfsgsllggkaaltlsgvqpedeae ycvlwysnrwvfgggtkltvlgggdktht cppcpapellggpsvflfppkpkdtlmisr tpevtcvvvdvshedpevkfnwyvdgvevh naktkpceeegystyrcvsvltvlhqdwn gkeykckvsnkalpapiektiskakgpre pqvytlppsreemtknqvsltclvkgfyps</p>

			diavewesngqpennykttppvldsdgsff lyskltvdksrwqqgnvfscsvmhealnh ytqkslslspgkggggsgggsgggsggg gsgggsgggsgdkthtcpppapellggp svflfppkpkdtlmsrtpevtcvvvdvsh edpevkfnwyvdgvevhnaktkpceeegys tyrcvsvltvlhqdwlngkeykckvsnkal papiektiskakgqprepvytlppsreem tknqvsltclvkgfypsdiavewesngqpe nnykttppvldsdgsfflyskltvdksrwq qgnvfscsvmhealnhytqkslslspgk
389.	FL_5_CCxCD3 -scFc	VH	qvtlkesgpvlvkptetltltctvsgfslr narmavswirppgkclewlahifsndeks ystslksrletiskdtsksqvltmtndpv dtatyycarivgygsgwygyfdywgqgtlv tvss
390.	FL_5_CCxCD3 -scFc	VL	diqmtqspssvsasvdrvtitcrasqdir ydlawyqqkpgkapkrliyaasslqsgvps rfsgsgsgteftlttisslqpedfatyyclq hnfypltfgcgkveik
391.	FL_5_CCxCD3 -scFc	scFv	qvtlkesgpvlvkptetltltctvsgfslr narmavswirppgkclewlahifsndeks ystslksrletiskdtsksqvltmtndpv dtatyycarivgygsgwygyfdywgqgtlv tvssggggsgggsgggsgdiqmtqspssv sasvdrvtitcrasqdirydlawyqqkpg kapkrliyaasslqsgvpsrfsgsgsgtef tltisslqpedfatyyclqhnfypltfgcg tkveiks
392.	FL_5_CCxCD3 -scFc	Биспецифи ческая молекула	qvtlkesgpvlvkptetltltctvsgfslr narmavswirppgkclewlahifsndeks ystslksrletiskdtsksqvltmtndpv dtatyycarivgygsgwygyfdywgqgtlv tvssggggsgggsgggsgdiqmtqspssv sasvdrvtitcrasqdirydlawyqqkpg

			<p>kapkrliyaasslqsgvpsrfsfgsgsgtef tltisslqpedfatyyclqhnfypltfgcg tkveiksggggsevqlvesggglvqpggsl klscaasgftfnkyamnvrqapggglewv arirskynnyatyadsvkdrftisrddsk ntaylqmnnlktedtavyycvrhgnfgnsy isywaywgggtlvtvssggggsgggsggg gsqtvtqepsltvspggtvtltcgsstga vtsgnypnwvqqkpgqaprgliggtkflap gtparfsgsllggkaaltlsgvqpedeaey ycvlwysnrwvfgggtkltvl</p>
393.	FL_5_CCxCD3 -scFc	Биспецифическая молекула HLE	<p>qvtlkesgpvlvktetltiltctvsfgslr narmavswirppgkclewlahifsndeks ystslksrlltiskdtsksqvvtmtndpv dtatyycarivgygsgwygyfdywgggtlv tvssggggsgggsgggsgggdiqmtqspssv sasvgdrvtitcrasqdirydlawyqqkpg kapkrliyaasslqsgvpsrfsfgsgsgtef tltisslqpedfatyyclqhnfypltfgcg tkveiksggggsevqlvesggglvqpggsl klscaasgftfnkyamnvrqapggglewv arirskynnyatyadsvkdrftisrddsk ntaylqmnnlktedtavyycvrhgnfgnsy isywaywgggtlvtvssggggsgggsggg gsqtvtqepsltvspggtvtltcgsstga vtsgnypnwvqqkpgqaprgliggtkflap gtparfsgsllggkaaltlsgvqpedeaey ycvlwysnrwvfgggtkltvlgggdktht cppcpapellggpsvflfppkpkdtlmisr tpevtcvvvdvshedpevkfnwyvdgvevh naktkpceeqygstyrcvsvltvlhqdwln gkeykckvsnkalpapiektiskakqpre pqvytlppsreemtknqvsltclvkgfyps diavewesngqpennykttppvldsdsff lyskltvdksrwqqgnvfscsvmhealhh</p>

			ytqkslsispgkggggsgggsgggsggg gsgggsgggsgdkthtcppcpapellgpp svflfppkpkdtlmsrtpevtcvvvdvsh edpevkfnwyvdgvevhnaktkpceegygs tyrcvsvltvlhgdwlngkeykckvsnkak papiektiskakgpprepqvylppsreem tknqvsltclvkgfypsdiavewesngqpe nnykttppvldsdgsfflyskltvdksrwq qgnvfscsvmhealhhnytqkslsispgk
394.	FL_6xCD3- scFc	VH CDR1	narmgvs
395.	FL_6xCD3- scFc	VH CDR2	hifsndeksfstslkn
396.	FL_6xCD3- scFc	VH CDR3	mvgygsgwyayfdy
397.	FL_6xCD3- scFc	VL CDR1	rasqsissyln
398.	FL_6xCD3- scFc	VL CDR2	aasslqs
399.	FL_6xCD3- scFc	VL CDR3	lqhnsyplt
400.	FL_6xCD3- scFc	VH	qvtlkesgpvlvkptqtltlctfsgfsls narmgvswirppgkalewlahifsndeks fstslknrltiskdtsksqvlmtmndpv datyycarmvgygsgwyayfdywgqgtqv tvss
401.	FL_6xCD3- scFc	VL	diquqtqspsslsasvgrvtitcrasqsis sylvnyqqkpgkapklliyaasslqsgvps rfsgsgsgtdftltisslqpedfatyyclq hnsypltfgggtkveik
402.	FL_6xCD3- scFc	scFv	qvtlkesgpvlvkptqtltlctfsgfsls narmgvswirppgkalewlahifsndeks fstslknrltiskdtsksqvlmtmndpv

			<p>dtatyycarmvgygsgwyayfdywgggtqv tvssggggsgggsgggsgggsgdiqmtqspssl sasvgdrvtitcrasqsissylnwyqqkpg kapklliyaasslqsgvpsrfsqsgsgtdf tltisslqpedfatyyclqhnsypltfggg tkveiks</p>
403.	FL_6xCD3- scFc	Биспецифи- ческая молекула	<p>qvtlkesgpvlvkptqtltlctfsgfsls narmgvswirpppgkalewlahifsndeks fstslknrltiskdtsksqvltmtnmdpv dtatyycarmvgygsgwyayfdywgggtqv tvssggggsgggsgggsgggsgdiqmtqspssl sasvgdrvtitcrasqsissylnwyqqkpg kapklliyaasslqsgvpsrfsqsgsgtdf tltisslqpedfatyyclqhnsypltfggg tkveiksggggsevqlvesggglvqpggsl klscaasgftfnkyamnwrqapgkglewv arirskynnyatyadsvkdrftisrddsk ntaylqmnlnktdtavyycvrhgnfgnsy isywaywgggtlvtvssggggsgggsggg gsqvtvtqepsltvspggtvtlctgsstga vtsgnypnwvqqkpgqaprgliggtkflap gtparfsgsllggkaaltlsgvqpedeae ycvlwysnrwvfgggtkltvl</p>
404.	FL_6xCD3- scFc	Биспецифи- ческая молекула HLE	<p>qvtlkesgpvlvkptqtltlctfsgfsls narmgvswirpppgkalewlahifsndeks fstslknrltiskdtsksqvltmtnmdpv dtatyycarmvgygsgwyayfdywgggtqv tvssggggsgggsgggsgggsgdiqmtqspssl sasvgdrvtitcrasqsissylnwyqqkpg kapklliyaasslqsgvpsrfsqsgsgtdf tltisslqpedfatyyclqhnsypltfggg tkveiksggggsevqlvesggglvqpggsl klscaasgftfnkyamnwrqapgkglewv arirskynnyatyadsvkdrftisrddsk ntaylqmnlnktdtavyycvrhgnfgnsy</p>

			<p>isywaywgqgtlvtvssggggsgggsggg gsqtvtvqepsltvspggtvtltcgsstga vtsgnypnwvqqkpgqaprgligntkflap gtparfsgsllggkaaltlsgvqpedeaey ycvlwysnrwvfgggtkltvlggggdktht cppcpapellggpsvflfppkpkdtlmisr tpevtcvvvdvshedpevkfnwyvdgvevh naktkpceezygstyrcvsvltvlhqdwln gkeykckvsnkalpapiektiskakgpre pqvytlppsreemtknqvsltclvkgyfyps diavewesngqpennyktppvldsdsff lyskltvdksrwqggnvfscsvmhealhh ytqkslslspgkggggsgggsgggsggg gsgggsgggsgdkthtcppcpapellggp svflfppkpkdtlmisrtpevtcvvvdvsh edpevkfnwyvdgvevhnaktkpceezygs tyrcvsvltvlhqdwlngkeykckvsnk apiektiskakgprepqvytlppsreem tknqvsltclvkgyfypsdiavewesngqpe nnyktppvldsdsfflyskltvdksrwq qgnvfscsvmhealhhnytqkslslspgk</p>
405.	FL_6_CCxCD3 -scFc	VH	<p>qvtlkesgpvlvkptqtltlctfsgfsls narmgvswirppgkclewlahifsndeks fstslknrltiskdtsksqvltmtndpv dtatyycarmvgygsgwyayfdywgqgtqv tvss</p>
406.	FL_6_CCxCD3 -scFc	VL	<p>diqmtqspsslsasvdrvtitcrasqsis sylvnyqqkpgkapklliyaasslqsgvps rfsgsgsgtdftltisslqpedfatyyclq hnsypltfgcgkveik</p>
407.	FL_6_CCxCD3 -scFc	scFv	<p>qvtlkesgpvlvkptqtltlctfsgfsls narmgvswirppgkclewlahifsndeks fstslknrltiskdtsksqvltmtndpv dtatyycarmvgygsgwyayfdywgqgtqv tvssggggsgggsgggsgggsgggsggg</p>

			<p>sasvgrvtitcrasqsissylnwyqqkpg kapklliyaasslqsgvpsrfsqsgsgtdf tltisslqpedfatyyclqhnsypltfqcg tkveiks</p>
408.	FL_6_CCxCD3 -scFc	Биспецифи ческая молекула	<p>qvtlkesgpvlvkptqtltlctfsgfsls narmgvswirppgkclewlahifsndeks fstslknrltiskdtsksqvltmtndpv dtatyycarmvgygsgwyayfdywgqgtqv tvssggggsgggsgggsgdiqmtqspssl sasvgrvtitcrasqsissylnwyqqkpg kapklliyaasslqsgvpsrfsqsgsgtdf tltisslqpedfatyyclqhnsypltfqcg tkveiksggggsevqlvesggglvqpggsl klscaasgftfnkyamnvrqapgglewv arirskynnyatyadsvkdrftisrddsk ntaylqmnnkctedavyycvrhgnfgnsy isywaywgqgtlvtvssggggsgggsggg gsqvtvtqepsltvspggtvltcgsstga vtsgnypnwvqqkpgqaprgliggtkflap gtparfsgsllggkaaltlsgvqpedeaey ycvlwysnrwvfgggtkltvl</p>
409.	FL_6_CCxCD3 -scFc	Биспецифи ческая молекула HLE	<p>qvtlkesgpvlvkptqtltlctfsgfsls narmgvswirppgkclewlahifsndeks fstslknrltiskdtsksqvltmtndpv dtatyycarmvgygsgwyayfdywgqgtqv tvssggggsgggsgggsgdiqmtqspssl sasvgrvtitcrasqsissylnwyqqkpg kapklliyaasslqsgvpsrfsqsgsgtdf tltisslqpedfatyyclqhnsypltfqcg tkveiksggggsevqlvesggglvqpggsl klscaasgftfnkyamnvrqapgglewv arirskynnyatyadsvkdrftisrddsk ntaylqmnnkctedavyycvrhgnfgnsy isywaywgqgtlvtvssggggsgggsggg gsqvtvtqepsltvspggtvltcgsstga</p>

			vtsgnypnwvqqkpgqaprgliggtkflap gtparfsgsllggkaaltlsgvqpedeae ycvlywnrwwfgggtklvtlvgggdktht cpcpapellggpsvflfppkpkdtlmisr tpevtcvvvdvshedpevkfnwyvdgvevh naktkpceeegystyrcvsvltvlhqdwn gkeykckvsnkalpapiektiskakgqpre pqvytlppsreemtknqvsltclvkgfyps diavewesngqpennykttppvldsdgsff lyskltvdksrwqqgnvfscsvmhealhh ytqkslslspgkggggsgggsgggsggg gsgggsgggsgdkthtcpcpapellggp svflfppkpkdtlmisrtpvtcvvvdvsh edpevkfnwyvdgvevhnaktkpceeegys tyrcvsvltvlhqdwlngkeykckvsnkal papiektiskakgqprepqvytlppsreem tknqvsltclvkgfypsdiavewesngqpe nnykttppvldsdgsfflyskltvdksrwq qgnvfscsvmhealhhnytqkslslspgk
410.	FL_7xCD3- scFc	VH CDR1	narmgvs
411.	FL_7xCD3- scFc	VH CDR2	hifsndeksystslkn
412.	FL_7xCD3- scFc	VH CDR3	ivgygtgwfgyfdy
413.	FL_7xCD3- scFc	VL CDR1	rasqdirtdla
414.	FL_7xCD3- scFc	VL CDR2	aasslqs
415.	FL_7xCD3- scFc	VL CDR3	lqhnryplt
416.	FL_7xCD3- scFc	VH	qvtlkesgptlvkptetltltctvsgfsln narmgvswirqppgkalewlahifsndeks ystslknrltiskdssktqvvlmtnvdpv dtatyycarivgygtgwfgyfdywgqgtqv

			tvss
417.	FL_7xCD3- scFc	VL	diqmtqspsslsasvqdrvtitcrasqdir tdlawyqqkpgkapkrliyaasslqsgvps rfsgsgsgteftltisslqpedfatyyclq hnrypltfgggtkvdik
418.	FL_7xCD3- scFc	scFv	qvtlkesgptlvkptetltltctvsgfsln narmgvswirqppgkalewlahifsndeks ystslknrltiskdssktqvvlmtnvdpv dtatyycarivgygtgwfgyfdywgqgtqv tvssgggsgggsgggsgggsgdiqmtqspssl sasvqdrvtitcrasqdirtdlawyqqkpg kapkrliyaasslqsgvpsrfsgsgsgtef tltisslqpedfatyyclqhnrypltfggg tkvdiks
419.	FL_7xCD3- scFc	Биспецифи ческая молекула	qvtlkesgptlvkptetltltctvsgfsln narmgvswirqppgkalewlahifsndeks ystslknrltiskdssktqvvlmtnvdpv dtatyycarivgygtgwfgyfdywgqgtqv tvssgggsgggsgggsgggsgdiqmtqspssl sasvqdrvtitcrasqdirtdlawyqqkpg kapkrliyaasslqsgvpsrfsgsgsgtef tltisslqpedfatyyclqhnrypltfggg tkvdiksggggsevqlvesggglvqpggsl klscaasgftfnkyamnwrqapgkglewv arirskynnyatyadsvkdrftisrddsk ntaylqmnlnktdtavyycvrhgnfgnsy isywaywgqgtlvtvssgggsgggsggg gsqtvtqepsltvspggtvltcgsstga vtsgnypnwvqqkpgqaprgliggtkflap gtparfsgsllggkaaltlsgvqpedeae ycvlwysnrwvfgggtklvtl
420.	FL_7xCD3- scFc	Биспецифи ческая молекула HLE	qvtlkesgptlvkptetltltctvsgfsln narmgvswirqppgkalewlahifsndeks ystslknrltiskdssktqvvlmtnvdpv dtatyycarivgygtgwfgyfdywgqgtqv

			<p>tvssggggsgggsgggsgggsgggdiqmtqspssl sasvgdrvtitcrasqdirtdlawyqqkpg kapkrliyaasslqsgvpsrfsqsgsgtef tltisslqpedfatyyclqhnrypltfggg tkvdiksggggsevqlvesggglvqpggsl klscaasgftfnkyamnwrqapgkglewv arirskynnyatyadsvkdrftisrddsk ntaylqmnlnktdtavyycvrhgnfgnsy isywaywgqgtlvtvssggggsgggsggg gsqvtvtqepsltvspggtvltcgsstga vtsgnypnwvqqkpgqaprgliggtkflap gtparfsgsllggkaaltlsgvqpedeae ycvlwysnrwvfgggtkltvlgggdktht cppcpapellggpsvflfppkpkdtlmisr tpevtcvvvdvshdpevkfnwyvdgvevh naktkpceezygstyrcvsvltvlhqdwln gkeykckvsnkalpapiektiskakgpre pqvytlppsreemtknqvsltclvkgfyps diavewesngqpennyktppvldsdsff lyskltvdksrwqgnvfscsvmhealhh ytqkslslspgkggggsgggsgggsggg gsgggsgggsgdkthtcppcpapellggp svflfppkpkdtlmisrtpevtcvvvdvsh edpevkfnwyvdgvevhnaktkpceezygs tyrcvsvltvlhqdwlngkeykckvsnk alpapiektiskakgprepqvytlppsreem tknqvsltclvkgfypsdiavewesngqpe nnyktppvldsdsfflyskltvdksrwq qgnvfscsvmhealhhytqkslslspgk</p>
421.	FL_7_CCxCD3 -scFc	VH	<p>qvtlkesgptlvkptetltlctvsgfsln narmgvswirppgkclewlahifsndeks ystslknrltiskdssktqvvlmtmndpv dtatyycarivgygtgwfgyfdywgqgtqv tvss</p>
422.	FL_7_CCxCD3	VL	<p>diqmtqspsslsasvgdrvtitcrasqdir</p>

	-scFc		tdlawyqqkpgkapkriyaasslqsgvps rfsgsgsgteftlttisslqpedfatyyclq hnrplytfgcgtkvdik
423.	FL_7_CCxCD3 -scFc	scFv	qvtlkesgptlvkptetltltctvsgfsln narmgvswirppgkclewlahifsndeks ystslknrltiskdssktqvvlmtndpv dtatyycarivgygtgwfgyfdywgqgtqv tvssggggsgggsgggsgdiqmtqspssl sasvgdrvtitcrasqdirtdlawyqqkpg kapkriyaasslqsgvpsrfsgsgsgtef tltisslqpedfatyyclqhnrypltfgcg tkvdiks
424.	FL_7_CCxCD3 -scFc	Биспецифи ческая молекула	qvtlkesgptlvkptetltltctvsgfsln narmgvswirppgkclewlahifsndeks ystslknrltiskdssktqvvlmtndpv dtatyycarivgygtgwfgyfdywgqgtqv tvssggggsgggsgggsgdiqmtqspssl sasvgdrvtitcrasqdirtdlawyqqkpg kapkriyaasslqsgvpsrfsgsgsgtef tltisslqpedfatyyclqhnrypltfgcg tkvdiksggggsevqlvesggglvqpggsl klscaasgftfnkyamnwrqapgkglewv arirskynnyatyadsvkdrftisrddsk ntaylqmnnlktedavyycvrhgnfgnsy isywaywgqgtlvtvssggggsgggsggg gsqvtvtqepsltvspggtvltcgsstga vtsgnypnwvqqkpgqaprgliggtkflap gtparfsgsllggkaaltlsgvqpedeae ycvwlwysnrwvfgggtkltvl
425.	FL_7_CCxCD3 -scFc	Биспецифи ческая молекула HLE	qvtlkesgptlvkptetltltctvsgfsln narmgvswirppgkclewlahifsndeks ystslknrltiskdssktqvvlmtndpv dtatyycarivgygtgwfgyfdywgqgtqv tvssggggsgggsgggsgdiqmtqspssl sasvgdrvtitcrasqdirtdlawyqqkpg

			kapkrliyaasslqsgvpsrfsqsgsgtef tltisslqpedfatyyqlqhnrypltfqcg tkvdiksggggsevqlvesggglvqpggsl klscaasgftfnkyamnvrqapggglewv arirskynnyatyadsvkdrftisrddsk ntaylqmnlnktdtavyycvrhgnfgnsy isywaywgqgtlvtvssggggsgggsggg gsqtvtqepsltvspggtvtltcgsstga vtsgnypnwvqqkpgqaprgliggtkflap gtparfsgsllggkaaltlsgvqpedeaey ycvlwysnrwvfgggtkltvlggggdktht cppcpapellggpsvflfppkpkdtlmisr tpevtcvvvdvshedpevkfnwyvdgvevh naktkpceeeygstyrcvsvltvlhqdwln gkeykckvsnkalpapiektiskakgqpre pqvytlppsreemtknqvsltclvkgfyps diavewesngqpennykttppvldsdsff lyskltvdksrwqqgnvfscsvmhealnhh ytqkslslspgkgggggsgggsgggsggg gsgggsggggskthtcppcpapellggp svflfppkpkdtlmisrtpevtcvvvdvsh edpevkfnwyvdgvevhnaktkpceeeygs tyrcvsvltvlhqdwlngkeykckvsnk alpiektiskakgqprepqvytlppsreem tknqvsltclvkgfypsdiavewesngqpe nnykttppvldsdsfflyskltvdksrwq qgnvfscsvmhealnhhnytqkslslspgk
426.	FL_8xCD3- scFc	VH CDR1	narmavs
427.	FL_8xCD3- scFc	VH CDR2	hifsndeksystems
428.	FL_8xCD3- scFc	VH CDR3	ivgygtgwygffdy
429.	FL_8xCD3- scFc	VL CDR1	rasqgirndla

			<p>gsqtvvtqepsltvspggtvtltcgsstga vtsgnypnwvqqkpgqaprgliggtkflap gtparfsgsllggkaaltlsgvqpedeaey ycvlwysnrwvfgggtkltvl</p>
436.	FL_8xCD3- scFc	Биспецифическая молекула HLE	<p>qvtlkesgpalvkptetltltctlsqfsln narmavswirpppgktlewlahifsndeks ytslksrsltiskdtsksqvvtmtndpe dtatyycarivgygtgwygffdywgqgilv tvssggggsgggsgggsgggdiqmtqspssl sasvgdrvtitcrasqgirndlawyqqkpg kapkrliyaasslqsgvpsrfsqsgsgtef tltisslqpedfatyyclqhnsypltfggg tkveiksggggsevqlvesggglvqpggsl klscaasgftfnkyamnwvrqapgglewv arirskynnyatyadsvkdrftisrddsk ntaylqmnlnktdtavyycvrhgnfgnsy isywaywgqgtlvtvssggggsgggsggg gsqtvvtqepsltvspggtvtltcgsstga vtsgnypnwvqqkpgqaprgliggtkflap gtparfsgsllggkaaltlsgvqpedeaey ycvlwysnrwvfgggtkltvlgggdktht cppcpapellggpsvflfppkpkdtlmsr tpevtcvvvdvshedpevkfnwyvdgvevh naktkpceeegygstyrcvsvltvlhqdwln gkeykckvsnkalpapiektiskakgqpre pqvytlppsreemtknqvsltclvkgfyps diavewesngqpennykttpvldsdgsff lyskltvdksrwqqgnvfscsvmhealhh ytqkslslspgkgggsgggsgggsggg gsgggsgggsgdkthtcppcpapellggp svflfppkpkdtlmsrtpevtcvvvdvsh edpevkfnwyvdgvevhnaktkpceeqygs tyrcvsvltvlhqdwlngkeykckvsnk apiektiskakgqprepvytlppsreem tknqvsltclvkgfypsdiavewesngqpe</p>

			nnykttppvldsdgsfflyskltvdksrwq qgnvfscsvmhealhnhytqkslsispqk
437.	FL_8_CCxCD3 -scFc	VH	qvtlkesgpalvkptetltltctlsqfsln narmavswirppgkclewlahifsndeks ystslksrltiskdtsksqvltmtndpe dtatyycarivgygtgwygffdywgqgilv tvss
438.	FL_8_CCxCD3 -scFc	VL	diqmtqspsslsasvgdrvtitcrasqgir ndlawayqqkpgkapkriyaasslqsgvps rfsgsgsgteftlttisslqpedfatyyclq hnsypltfgcgkveik
439.	FL_8_CCxCD3 -scFc	scFv	qvtlkesgpalvkptetltltctlsqfsln narmavswirppgkclewlahifsndeks ystslksrltiskdtsksqvltmtndpe dtatyycarivgygtgwygffdywgqgilv tvssggggsgggsgggsgggsgdiqmtqspssl sasvgdrvtitcrasqgirndlawayqqkpg kapkriyaasslqsgvpsrfsgsgsgtef tltisslqpedfatyyclqhnsypltfgcg tkveiks
440.	FL_8_CCxCD3 -scFc	Биспецифи ческая молекула	qvtlkesgpalvkptetltltctlsqfsln narmavswirppgkclewlahifsndeks ystslksrltiskdtsksqvltmtndpe dtatyycarivgygtgwygffdywgqgilv tvssggggsgggsgggsgggsgdiqmtqspssl sasvgdrvtitcrasqgirndlawayqqkpg kapkriyaasslqsgvpsrfsgsgsgtef tltisslqpedfatyyclqhnsypltfgcg tkveiksggggsevqlvesggglvqpggsl klscaasgftfnkyamnwrqapgkglewv arirskynnyatyadsvkdrftisrddsk ntaylqmnnlktedavyycvrhgnfgnsy isywaywgqgtlvtvssggggsgggsgggg gsqvtvtqepsltvspggtvltcgsstga vtsgnypnwvqqkpgqaprgliggtkflap

			gtparfsgsllggkaaltlsgvqpedeae ycvlwysnrwvfgggtkltvl
441.	FL_8_CCxCD3 -scFc	Биспецифическая молекула HLE	qvtlkesgpalvkptetltlctlsqfsln narmavswirppgkclewlahifsndeks ytslksrltiskdtsksqvvlmtmndpe dtatyycarivgygtgwygffdywgqgilv tvssggggsgggsgggsgggdiqmtqspssl sasvgdrvtitcrasqgirndlawyqqkpg kapkrliyaasslqsgvpsrfsqsgsgtef tltisslqpedfatyyclqhnsypltfqcg tkveiksggggsevqlvesggglvqpggsl klscaasgftfnkyamnwrqapkglewv arirskynnyatyadsvkdrftisrddsk ntaylqmnnlktedtavyycvrhngfnsgy isywaywgqgtlvtvssggggsgggsggg gsqvtvtqepsltvspggtvltlctgsstga vtsgnypnwvqqkpgqaprgliggtkflap gtparfsgsllggkaaltlsgvqpedeae ycvlwysnrwvfgggtkltvlgggdktht cpcpapellggpsvflfppkpkdtlmisr tpevtcvvvdvshdpevkfnwyvdgvevh naktkpcqeeqgstyrcvsvltvlhqdwln gkeykckvsnkalpapiektiskakgpre pqvytlppsreemtknqvsltclvkgfyps diavewesngqpennykttppvldsdsff lyskltvdksrwqqgnvfscsvmhealhh ytqkslslspgkggggsgggsgggsggg gsgggsgggsgdkthtcpcpapellggp svflfppkpkdtlmisrtpevtcvvvdvsh edpevkfnwyvdgvevhnaktkpcqeeqgs tyrcvsvltvlhqdwlngkeykckvsnk apiektiskakgprepqvytlppsreem tknqvsltclvkgfypsdiavewesngqpe nnykttppvldsdsfflyskltvdksrwq qgnvfscsvmhealhhytqkslslspgk

442.	FL_9xCD3- scFc	VH CDR1	yarmgvs
443.	FL_9xCD3- scFc	VH CDR2	hifsndeksyyslks
444.	FL_9xCD3- scFc	VH CDR3	mpeyssgwsqafdi
445.	FL_9xCD3- scFc	VL CDR1	rasqdirndla
446.	FL_9xCD3- scFc	VL CDR2	aasslqs
447.	FL_9xCD3- scFc	VL CDR3	lqhnsyplt
448.	FL_9xCD3- scFc	VH	qvtlkesgptlvkptetltltctfsgfslr yarmgvswirppgkalewlahifsndeks yyslksrsltiskdtsksqvvtltnmdp dtatyfcarmpeyssgwsqafdiwggmtv tvss
449.	FL_9xCD3- scFc	VL	diqmtqspsslsasvqdrvtitcrasqdir ndlawyqqkpgkapkriyaasslqsgvps rfsgsgsgteftlttisslqpedfatyyclq hnsypltfgggtkleik
450.	FL_9xCD3- scFc	scFv	qvtlkesgptlvkptetltltctfsgfslr yarmgvswirppgkalewlahifsndeks yyslksrsltiskdtsksqvvtltnmdp dtatyfcarmpeyssgwsqafdiwggmtv tvssggggsgggsgggsgdiqmtqspssl sasvqdrvtitcrasqdirndlawyqqkpg kapkriyaasslqsgvpsrfsgsgsgtef tltisslqpedfatyyclqhnsypltfggg tkleiks
451.	FL_9xCD3- scFc	Биспецифи ческая молекула	qvtlkesgptlvkptetltltctfsgfslr yarmgvswirppgkalewlahifsndeks yyslksrsltiskdtsksqvvtltnmdp dtatyfcarmpeyssgwsqafdiwggmtv tvssggggsgggsgggsgdiqmtqspssl

			<p> sasvgdrvtitcrasqdirndlawayqqkpg kapkrliyaasslqsgvpsrfsqsgsgtef tltisslqpedfatyyclqhnsypltfggg tkleiksggggseqlvesggglvqpggsl klscaasgftfnkyamnvrqapggglewv arirskynnyatyadsvkdrftisrddsk ntaylqmnlnktdtavyycvrhgnfgnsy isywaywgggtlvtvssggggsgggsggg gsqvtvtqepsltvspggtvtltcgsstga vtsgnypnwvqqkpgqaprgliggtkflap gtparfsgsllggkaaltlsgvqpedeae ycvlwysnrwvfgggtkltvl </p>
452.	FL_9xCD3- scFc	Биспецифическая молекула HLE	<p> qvtlkesqptlvkptetliltctfsgfslr yarmgvswirpppgkalewlahifsndeks ystslksrlltiskdtsksqvvtltnmdp dtatyfcarmpeyssgwsqafdiwgggtmv tvssggggsgggsgggsgggdiqmtqspssl sasvgdrvtitcrasqdirndlawayqqkpg kapkrliyaasslqsgvpsrfsqsgsgtef tltisslqpedfatyyclqhnsypltfggg tkleiksggggseqlvesggglvqpggsl klscaasgftfnkyamnvrqapggglewv arirskynnyatyadsvkdrftisrddsk ntaylqmnlnktdtavyycvrhgnfgnsy isywaywgggtlvtvssggggsgggsggg gsqvtvtqepsltvspggtvtltcgsstga vtsgnypnwvqqkpgqaprgliggtkflap gtparfsgsllggkaaltlsgvqpedeae ycvlwysnrwvfgggtkltvlgggdktht cppcpapellggpsvflfppkpkdtlmisr tpevtcvvvdvshedpevkfnwyvdgvevh naktkpceeqqgstyrcvsvltvlhqdwln gkeykckvsnkalpapiektiskakgpre pqvytlppsreemtknqvsltclvkgyfyps diavewesngqpennykttppvldsdgsff </p>

			<p>lyskltdkksrwqqgnvfscsvmhealhh ytqkslsislpgkggggsgggsgggsggg gsgggsgggsgdkthtppcpapellggp svflfpkpkdtlmisrtpevtcvvvdvsh edpevkfnwyvdgvevhnaktkpeeaygs tyrcvsvltvlhqdwlngkeykckvsnk papiektiskakggprepvytlppsreem tknqvsltclvkgyfypsdiavewesnggpe nnykttppvldsdgsfflyskltdkksrwq qgnvfscsvmhealhhnytqkslsislpgk</p>
453.	FL_9_CCxCD3 -scFc	VH	<p>qvtlkesgptlvkptetltltctfsgfslr yarmgvswirppgkclewlahifsndeks ystslksrsltiskdtsksqvvtltnmdpv dtatyfcarmpeyssgwsqafdiwgggtmv tvss</p>
454.	FL_9_CCxCD3 -scFc	VL	<p>diqmtqspsslsasvgdrvtitcrasqdir ndlawayqqkpgkapkriyaasslqsgvps rfsgsgsgteftlttisslqpedfatyyclq hnsypltfcgctkleik</p>
455.	FL_9_CCxCD3 -scFc	scFv	<p>qvtlkesgptlvkptetltltctfsgfslr yarmgvswirppgkclewlahifsndeks ystslksrsltiskdtsksqvvtltnmdpv dtatyfcarmpeyssgwsqafdiwgggtmv tvssggggsgggsgggsgggsgdiqmtqspssl sasvgdrvtitcrasqdirndlawayqqkpg kapkriyaasslqsgvpsrfsgsgsgtef tltisslqpedfatyyclqhnsypltfcg tkleiks</p>
456.	FL_9_CCxCD3 -scFc	Биспецифическая молекула	<p>Qvtlkesgptlvkptetltltctfsgfslr yarmgvswirppgkclewlahifsndeks ystslksrsltiskdtsksqvvtltnmdpv dtatyfcarmpeyssgwsqafdiwgggtmv tvssggggsgggsgggsgggsgdiqmtqspssl sasvgdrvtitcrasqdirndlawayqqkpg kapkriyaasslqsgvpsrfsgsgsgtef</p>

			<p> tltisslqpedfatyyclqhnsypltfgcg tkleiksggggsevqlvesggglvqpggsl klscaasgftfnkyamnvrqapgglewv arirskynnyatyadsvkdrftisrddsk ntaylqmnnkktedavyycvrhgnfgnsy isywaywgggtlvtvssggggsgggsggg gsqtvvtqepsltvspggtvltcgsstga vtsgnypnwvqqkpgqaprgliggtkflap gtparfsgsllggkaaltlsgvqpedeaey ycvlwysnrwvfgggtkltvl </p>
457.	FL_9_CCxCD3 -scFc	Биспецифическая молекула HLE	<p> qvtlkesgptlvkptetliltctfsgfslr yarmgvswirppgkclewlahifsndeks ystslksrlltiskdtsksqvvltltnmdp dtatyfcarmpeyssgwsqafdiwgggtmv tvssggggsgggsgggsgggdiqmtqspssl sasvgdrvtitcrasqdirndlwayqqkpg kapkrliyaasslqsgvpsrfsqsgsgtef tltisslqpedfatyyclqhnsypltfgcg tkleiksggggsevqlvesggglvqpggsl klscaasgftfnkyamnvrqapgglewv arirskynnyatyadsvkdrftisrddsk ntaylqmnnkktedavyycvrhgnfgnsy isywaywgggtlvtvssggggsgggsggg gsqtvvtqepsltvspggtvltcgsstga vtsgnypnwvqqkpgqaprgliggtkflap gtparfsgsllggkaaltlsgvqpedeaey ycvlwysnrwvfgggtkltvlgggdktht cppcpapellggpsvflfppkpkdtlmisr tpevtcvvvdvshedpevkfnwyvdgvevh naktkpceezygstyrcvsvltvlhqdwln gkeykckvsnkalspapiektiskakgpre pqvytlppsreemtknqvslclvkgfyps diavewesngqpennykttppvldsdsff lyskltdksrwqqgnvfscsvmhealthnh ytqkslslspgkggggsgggsgggsggg </p>

			gsgggsgggsgskthtctppcpapellgpp svflfppkpkdtlmsrtpevtcvvvdvsh edpevkfnwyvdgvevhnaktkpceeaygs tyrcvsvltvlhqdwlngkeykckvsnkal papiektiskakggpprepqvylppsreem tknqvsltclvkgfypsdiavewesnggpe nnykttppvldsdgsfflyskltvdksrwq qgnvfscsvmhealhnhytqkslslspgk
458.	FL_10xCD3- scFc	VH CDR1	narmgvs
459.	FL_10xCD3- scFc	VH CDR2	hifsndeksytslks
460.	FL_10xCD3- scFc	VH CDR3	mpeyssgswgafdi
461.	FL_10xCD3- scFc	VL CDR1	rasqdirddlg
462.	FL_10xCD3- scFc	VL CDR2	gastlqs
463.	FL_10xCD3- scFc	VL CDR3	lqhnsyplt
464.	FL_10xCD3- scFc	VH	qvtlkesgpvlvktetltltctvsgfsfr narmgvswirqppgkalewlahifsndeks ytslksrsltiskdtsksqvvtltnmdp dtatyfcarmpeyssgswgafdiwgqgtmv tvss
465.	FL_10xCD3- scFc	VL	diqmtqspsslsasvgrvtitcrasqdir ddlgwyqqkpgnapkrllygastlqsgvps rfsgsgsgteftltisslqpedfatyyclq hnsypltfgggtkvdik
466.	FL_10xCD3- scFc	scFv	qvtlkesgpvlvktetltltctvsgfsfr narmgvswirqppgkalewlahifsndeks ytslksrsltiskdtsksqvvtltnmdp dtatyfcarmpeyssgswgafdiwgqgtmv

			<p>tvssggggsgggsgggsggggsdiqmtqspssl sasvgdrvtitcrasqdirddlgwyqqkpg napkrliygastlqsgvpsrfsrgsgsgtef tltisslqpedfatyyclqhnsypltfggg tkvdiks</p>
467.	FL_10xCD3- scFc	Биспецифи ческая молекула	<p>qvtlkesgpvlvkptetltltctvsgfsfr narmgvswirqppgkalewlahifsndeks ystslksrsltiskdtsksqvvtltnmdp dtatyfcarmpeyssgwsgefdiwgqgtmv tvssggggsgggsgggsggggsdiqmtqspssl sasvgdrvtitcrasqdirddlgwyqqkpg napkrliygastlqsgvpsrfsrgsgsgtef tltisslqpedfatyyclqhnsypltfggg tkvdiksggggsevqlvesggglvqpggsl klscaasgftfnkyamnvrqapggglewv arirskynnyatyadsvkdrftisrddsk ntaylqmnnlktedavyycvrhgnfgnsy isywaywqggtlvtvssggggsgggsggg gsqvtvtqepsltvspggtvltcgsstga vtsgnypnwvqqkpgqaprgliggtkflap gtparfsgsllggkaaltlsgvqpedeay ycvlwysnrwvfgggtkltvl</p>
468.	FL_10xCD3- scFc	Биспецифи ческая молекула HLE	<p>qvtlkesgpvlvkptetltltctvsgfsfr narmgvswirqppgkalewlahifsndeks ystslksrsltiskdtsksqvvtltnmdp dtatyfcarmpeyssgwsgefdiwgqgtmv tvssggggsgggsgggsggggsdiqmtqspssl sasvgdrvtitcrasqdirddlgwyqqkpg napkrliygastlqsgvpsrfsrgsgsgtef tltisslqpedfatyyclqhnsypltfggg tkvdiksggggsevqlvesggglvqpggsl klscaasgftfnkyamnvrqapggglewv arirskynnyatyadsvkdrftisrddsk ntaylqmnnlktedavyycvrhgnfgnsy isywaywqggtlvtvssggggsgggsggg</p>

			<p>gsqtvvtqepsltvspggtvltlctgsstga vtsngnypnwvqqkpgqaprgligngkflap gtparfsgsllggkaaltlsgvqpedeae ycvlwysnrwvfgggtklvlggggdktht cppcpapellggpsvflfppkpkdtlmisr tpevtcvvvdvshedpevkfnwyvdgvevh naktkpceeegystyrcvsvltvlhqdwln gkeykckvsnkalpapiektiskakgpre pqvytlppsreemtknqvsclclvkgyfyps diavewesngqpennykttppvldsdgsff lyskltvdksrwqggnvfscsvmhealhh ytqkslslspgkggggsgggsgggsggg gsgggsgggsgdkthtcppcpapellggp svflfppkpkdtlmisrtpevtcvvvdvsh edpevkfnwyvdgvevhnaktkpceeegys tyrcvsvltvlhqdwlngkeykckvsnkal papiektiskakgprepqvytlppsreem tknqvsclclvkgyfypsdiavewesngqpe nnykttppvldsdgsfflyskltvdksrwq qgnvfscsvmhealhhnytqkslslspgk</p>
469.	FL_10_CCxCD 3-scFc	VH	<p>qvtlkesgpvlvkptetlcltctvsgfsfr narmgvswirppgkclewlahifsndeks ystslksrlltiskdtsksqvvtltnmdpv dtatyfcarmpeyssgwsqafdiwgqgtmv tvss</p>
470.	FL_10_CCxCD 3-scFc	VL	<p>diqumtqspsslsasvgdrvtitcrasqdir ddlgwyqqkpgnapkrliygastlqsgvps rfsgsgsgteftltisslqpedfatyyclq hnsypltfgcgkvdik</p>
471.	FL_10_CCxCD 3-scFc	scFv	<p>qvtlkesgpvlvkptetlcltctvsgfsfr narmgvswirppgkclewlahifsndeks ystslksrlltiskdtsksqvvtltnmdpv dtatyfcarmpeyssgwsqafdiwgqgtmv tvssggggsgggsgggsgggsgdiqmtqspssl sasvgdrvtitcrasqdirddlgwyqqkpg</p>

			napkrliygastlqsgvpsrfsfgsgsgtef tltisslqpedfatyyclqhnsypltfgcg tkvdiks
472.	FL_10_CCxCD 3-scFc	Биспецифи ческая молекула	qvtlkesgpvlvkptetliltctvsgfsfr narmgvswirppgkclewlahifsndeks ytslksrsltiskdtsksqvvtltnmdp dtatyfcarmpeyssgwsгаfdiwggtmv tvssggggsgggsggggsdiqmtqspssl sasvgdrvtitcrasqdirddlgwyqqkpg napkrliygastlqsgvpsrfsfgsgsgtef tltisslqpedfatyyclqhnsypltfgcg tkvdiksggggsevqlvesggglvqpggsl klscaasgftfnkyamnwrqapkglewv arirskynnyatyadsvkdrftisrddsk ntaylqmnlktedtavyycvrhgnfgnsy isywaywgqgtlvtvssggggsgggsggg gsqvtvtqepsltvspggtvtltcgsstga vtsgnypnwvqqkpgqaprgliggtkflap gtparfsgsllggkaaltlsgvqpedeae ycvlwysnrwvfgggtklvtl
473.	FL_10_CCxCD 3-scFc	Биспецифи ческая молекула HLE	qvtlkesgpvlvkptetliltctvsgfsfr narmgvswirppgkclewlahifsndeks ytslksrsltiskdtsksqvvtltnmdp dtatyfcarmpeyssgwsгаfdiwggtmv tvssggggsgggsggggsdiqmtqspssl sasvgdrvtitcrasqdirddlgwyqqkpg napkrliygastlqsgvpsrfsfgsgsgtef tltisslqpedfatyyclqhnsypltfgcg tkvdiksggggsevqlvesggglvqpggsl klscaasgftfnkyamnwrqapkglewv arirskynnyatyadsvkdrftisrddsk ntaylqmnlktedtavyycvrhgnfgnsy isywaywgqgtlvtvssggggsgggsggg gsqvtvtqepsltvspggtvtltcgsstga vtsgnypnwvqqkpgqaprgliggtkflap

			<p>gtparfsgsllggkaaltlsgvqpedeae ycvlwysnrwvfgggtkltvlgggdktht cppcpapellggpsvflfppkpktlmisr tpevtcvvvdvshdpevkfnwyvdgvevh naktkpceeqqgstyrcvsvltvlhgdwln gkeykckvsnkakpapiektiskakgpre pqvytlppsreemtknqvsltclvkgfyps diavewesngqpennykttppvldsdsff lyskltvdksrwqggnvfscsvmhealthnh ytqkslslspgkggggsgggsgggsggg gsgggsgggsgdkthtcppcpapellggp svflfppkpktlmisrtpvtcvvvdvsh edpevkfnwyvdgvevhnaktkpceeqqgs tyrcvsvltvlhgdwlngkeykckvsnkak papiektiskakgprepqvytlppsreem tknqvsltclvkgfypsdiavewesngqpe nnykttppvldsdsfflyskltvdksrwq qgnvfscsvmhealthnhytqkslslspgk</p>
474.	FL_11xCD3- scFc	VH CDR1	narmgvs
475.	FL_11xCD3- scFc	VH CDR2	hifsndeksytslks
476.	FL_11xCD3- scFc	VH CDR3	mpeyssgwsqafdi
477.	FL_11xCD3- scFc	VL CDR1	rasqdigydlg
478.	FL_11xCD3- scFc	VL CDR2	aastlqs
479.	FL_11xCD3- scFc	VL CDR3	lqhnsfpwt
480.	FL_11xCD3- scFc	VH	<p>qvtlkesgpalkvptetltltctvsgfsfr narmgvswirppgkalewlahifsndeks ytslksrsltiskdtsksqvvtltnmdp dtatyfcarmpeyssgwsqafdiwgqgtmv tvss</p>

481.	FL_11xCD3-scFc	VL	diqmtqspsslsasvqdrvtitcrasqdig ydlgwyqqkpgkapkrliyaastlqsgvps rfsgsgsgteftliisslqpedfatyyclq hnsfpwtfgggtkveik
482.	FL_11xCD3-scFc	scFv	qvtlkesgpalkvptetltltctvsgfsfr narmgvswirqppgkalewlahifsndeks ystslksrsltiskdtsksqvvtltnmdp dtatyfcarmpeyssgwsqafdiwgqgtmv tvssggggsgggsgggsgdiqmtqspssl sasvqdrvtitcrasqdigydlgwyqqkpg kapkrliyaastlqsgvpsrfsgsgsgtef tliisslqpedfatyyclqhnsfpwtfggg tkveiks
483.	FL_11xCD3-scFc	Биспецифическая молекула	qvtlkesgpalkvptetltltctvsgfsfr narmgvswirqppgkalewlahifsndeks ystslksrsltiskdtsksqvvtltnmdp dtatyfcarmpeyssgwsqafdiwgqgtmv tvssggggsgggsgggsgdiqmtqspssl sasvqdrvtitcrasqdigydlgwyqqkpg kapkrliyaastlqsgvpsrfsgsgsgtef tliisslqpedfatyyclqhnsfpwtfggg tkveiksggggsevqlvesggglvqpggsl klscaasgftfnkyamnwrqapggglewv arirskynnyatyadsvkdrftisrddsk ntaylqmnnlktedtavyycvrhgnfgnsy isywaywqgtlvtvssggggsgggsggg gsqtvvtqepsltvspggtvtltcgsstga vtsgnypnwvqqkpgqaprgliggtkflap gtparfsgsllggkaaltlsgvqpedeae ycvwlwysnrwvfgggtklvtl
484.	FL_11xCD3-scFc	Биспецифическая молекула HLE	qvtlkesgpalkvptetltltctvsgfsfr narmgvswirqppgkalewlahifsndeks ystslksrsltiskdtsksqvvtltnmdp dtatyfcarmpeyssgwsqafdiwgqgtmv tvssggggsgggsgggsgdiqmtqspssl

			<p> sasvgdrvtitcrasqdigydlgwyqqkpg kapkrliyaastlqsgvpsrfsqsgsgtef tliisslqpedfatyyclqhnsfpwtfggg tkveiksggggsevqlvesggglvqpggsl klscaasgftfnkyamnvrqapggkglewv arirskynnyatyadsvkdrftisrddsk ntaylqmnlnktdtavyycvrhgnfgnsy isywaywqggtlvtvssggggsgggsggg gsqvtvtqepsltvspggtvtltcgsstga vtsgnypnwvqqkpgqaprgliggtkflap gtparfsgsllggkaaltlsgvqpedeae ycvlwysnrwvfgggtkltvlgggdktht cppcpapellggpsvflfppkpkdtlmisr tpevtcvvvdvshedpevkfnwyvdgvevh naktkpceeaygstyrcvsvltvlhqdwln gkeykckvsnkalpapiektiskakgqpre pqvytlppsreemtknqvsltclvkgyfys diavewesngqpennyktppvldsdsff lyskltvdksrwqggnvfscsvmhealhh ytqkslslspgkggggsgggsgggsggg gsgggsgggsgdkthtcppcpapellggp svflfppkpkdtlmisrtpevtcvvvdvsh edpevkfnwyvdgvevhnaktkpceeaygs tyrcvsvltvlhqdwlngkeykckvsnk alpapiektiskakgqprepvytlppsreem tknqvsltclvkgyfysdiavewesngqpe nnyktppvldsdsfflyskltvdksrwq ggnvfscsvmhealhhytqkslslspgk </p>
485.	FL_11_CCxCD 3-scFc	VH	<p> qvtlkesgpalkvptetltltctvsgfsfr narmgvswirpppgkclewlahifsndeks ystslksrlltiskdtsksqvltltnmdpv dtatyfcarmpeyssgwsqafdiwgggtmv tvss </p>
486.	FL_11_CCxCD 3-scFc	VL	<p> diqmtqspsslsasvgdrvtitcrasqdig ydlgwyqqkpgkapkrliyaastlqsgvps </p>

			rfsgsgsgteftliisslqpedfatyyclq hnsfpwtfgcgatkveik
487.	FL_11_CCxCD 3-scFc	scFv	qvtlkesgpalkvptetltltctvsgfsfr narmgvswirqppgkclewlahifsndeks ytslksrsltiskdtsksqvvtltnmdp dtatyfcarmpeysgswgafdiwgqtmv tvssggsgsgsgsgsgsgsdiqmtqspss sasvgdrvtitcrasqdigydlgwyqqkpg kapkrliyaastlqsgvpsrfsgsgsgtef tliisslqpedfatyyclqhnsfpwtfgcg tkveiks
488.	FL_11_CCxCD 3-scFc	Биспецифи ческая молекула	qvtlkesgpalkvptetltltctvsgfsfr narmgvswirqppgkclewlahifsndeks ytslksrsltiskdtsksqvvtltnmdp dtatyfcarmpeysgswgafdiwgqtmv tvssggsgsgsgsgsgsgsdiqmtqspss sasvgdrvtitcrasqdigydlgwyqqkpg kapkrliyaastlqsgvpsrfsgsgsgtef tliisslqpedfatyyclqhnsfpwtfgcg tkveiksggggseqlvesggglvqpgsl klscaasgftfnkyamnwrqapggglewv arirskynnyatyadsvkdrftisrddsk ntaylqmnlnktdtavyycvrhgnfgnsy isywaywgggtlvtvssggsgsgsgsgsg gsqtvvtqepsltvspggtvltcgsstga vtsgnypnwqqkpgqaprgliggtkflap gtparfsgsllggkaaltlsgvqpedeae ycvlwysnrwvfgggtklvtl
489.	FL_11_CCxCD 3-scFc	Биспецифи ческая молекула HLE	qvtlkesgpalkvptetltltctvsgfsfr narmgvswirqppgkclewlahifsndeks ytslksrsltiskdtsksqvvtltnmdp dtatyfcarmpeysgswgafdiwgqtmv tvssggsgsgsgsgsgsgsdiqmtqspss sasvgdrvtitcrasqdigydlgwyqqkpg kapkrliyaastlqsgvpsrfsgsgsgtef

			<p>tliisslqpedfatyyclqhnsfpwtfqcg tkveiksggggsevqlvesggglvqpggsl klscaasgftfnkyamnwrqapgkglewv arirskynnyatyadsvkdrftisrddsk ntaylqmnlktedtavyycvrhgnfgnsy isywaywgqgtlvtvssgggsgggsggg gsqtvtqepsltvspggtvtltcgsstga vtsgnypnwvqqkpgqaprgligntkflap gtparfsgsllggkaaltlsgvqpedeae ycvlwysnrwvfgggtkltvlgggdktht cppcpapellggpsvflfppkpkdtlmisr tpevtcvvvdvshedpevkfnwyvdgvev naktkpceeegstycrcsvltvlhqdwn gkeykckvsnkalpapiektiskakgpre pqvytlppsreemtknqvsltclvkgfyps diavewesngqpennykttppvldsdsff lyskltvdksrwqggnvfscsvmhealhh ytqkslslspgkggggsgggsgggsggg gsgggsggggskthtcppcpapellggp svflfppkpkdtlmisrtpevtcvvvdvsh edpevkfnwyvdgvevhnaktkpceeegys tyrcsvltvlhqdwnlgkeykckvsnkal papiektiskakgprepqvytlppsreem tknqvsltclvkgfypsdiavewesngqpe nnykttppvldsdsfflyskltvdksrwq qgnvfscsvmhealhhnytqkslslspgk</p>
490.	FL_12xCD3- scFc	VH CDR1	narmgvs
491.	FL_12xCD3- scFc	VH CDR2	hifsndeksyrtslks
492.	FL_12xCD3- scFc	VH CDR3	ivgygsgwyayfdy
493.	FL_12xCD3- scFc	VL CDR1	rasqgirndlg
494.	FL_12xCD3-	VL CDR2	aasslqs

	scFc		
495.	FL_12xCD3-scFc	VL CDR3	lqhnsyplt
496.	FL_12xCD3-scFc	VH	qvtlkesgpalvkptqtltlctfsgfsls narmgvswirppgkalewlahifsndeks yrtslksrletiskdtsksqvltmtndpv dtatyycarivgygsgwyayfdywgqgtlv tvss
497.	FL_12xCD3-scFc	VL	diqmtqspsslsasvgdrvtitcrasqgir ndlgwyqqkpgkapkriiyaasslqsgvps rfsqsgsgteftltisslqpedfatyyclq hnsypltfgggtkveik
498.	FL_12xCD3-scFc	scFv	qvtlkesgpalvkptqtltlctfsgfsls narmgvswirppgkalewlahifsndeks yrtslksrletiskdtsksqvltmtndpv dtatyycarivgygsgwyayfdywgqgtlv tvssggggsgggsgggsgdiqmtqspssl sasvgdrvtitcrasqgirndlgwyqqkpg kapkriiyaasslqsgvpsrfsqsgsgtef tltisslqpedfatyyclqhnsypltfggg tkveiks
499.	FL_12xCD3-scFc	Биспецифическая молекула	qvtlkesgpalvkptqtltlctfsgfsls narmgvswirppgkalewlahifsndeks yrtslksrletiskdtsksqvltmtndpv dtatyycarivgygsgwyayfdywgqgtlv tvssggggsgggsgggsgdiqmtqspssl sasvgdrvtitcrasqgirndlgwyqqkpg kapkriiyaasslqsgvpsrfsqsgsgtef tltisslqpedfatyyclqhnsypltfggg tkveiksggggsevqlvesggglvppgsl klscaasgftfnkyamnvrqapgglewv arirskynnyatyadsvkdrftisrddsk ntaylqmnnlktedtavyycvrhgnfgnsy isywaywqgtlvsvssggggsgggsggg gsqtvvtqepsltvspggtvltlctgsstga

			vtsgnypnwvqqkpgqaprgliggtkflap gtparfsgsllggkaaltlsgvqpedeaey ycvlwysnrwvfgggtkltvl
500.	FL_12xCD3- scFc	Биспецифи ческая молекула HLE	qvtlkesgpalvkptqtltlctfsgfsls narmgvswirppgkalewlahifsndeks yrtslksrsltiskdtsksqvvtmtndpv dtatyycarivgygsgwyayfdywgggtlv tvssggggsgggsggggsdiqmtqspssl sasvgdrvtitcrasqgirndlgwyqqkpg kapkriyaasslqsgvpsrfsfgsgsgtef tltisslqpedfatyyclqhnsypltfggg tkveiksggggsevqlvesggglvqpggs klscaasgftfnkyamnwwrqapgglew arirskynnyatyadsvkdrftisrddsk ntaylqmnnlktedtavyycvrhgnfgnsy isywaywgggtlvsvssggggsgggsggg gsqvtvtqepsltvspggtvtltcgsstga vtsgnypnwvqqkpgqaprgliggtkflap gtparfsgsllggkaaltlsgvqpedeaey ycvlwysnrwvfgggtkltvlgggdktht cpcpapellggpsvflfppkpkdtlmisr tpevtcvvvdvshedpevkfnwyvdgvevh naktkpceeegygstyrcvsvltvlhqdwln gkeykckvsnkalpapiektiskakgpre pqvytlppsreemtknqvsltclvkgfyps diavewesngqpennykttpvldsdgsff lyskltdksrwqqgnvfscsvmhealnhh ytqkslslspgkggggsgggsgggsggg gsggggsggggskthtcpcpapellggp svflfppkpkdtlmisrtpevtcvvvdvsh edpevkfnwyvdgvevhnaktkpceeqygs tyrcvsvltvlhqdwlngkeykckvsnkal papiektiskakgprepqvytlppsreem tknqvsltclvkgfypsdiavewesngqpe nnykttpvldsdgsfflyskltdksrwq

			qgnvfscsvmhealhnhytqkslsfspgk
501.	FL_12_CCxCD 3-scFc	VH	qvtlkesgpalvkptqtltlctfsgfsls narmgvswirppgkclewlahifsndeks yrtslksrsltiskdtsksqvltmtndpv dtatyycarivgygsgwyayfdywgqgtlv tvss
502.	FL_12_CCxCD 3-scFc	VL	diqmtqspsslsasvgdrvtitcrasqgir ndlgwyqqkpgkapkriyaasslqsgvps rfsgsgsgteftltisslqpedfatyyclq hnsypltfgcgkveik
503.	FL_12_CCxCD 3-scFc	scFv	qvtlkesgpalvkptqtltlctfsgfsls narmgvswirppgkclewlahifsndeks yrtslksrsltiskdtsksqvltmtndpv dtatyycarivgygsgwyayfdywgqgtlv tvssggggsgggsggggsdiqmtqspssl sasvgdrvtitcrasqgirndlgwyqqkpg kapkriyaasslqsgvpsrfsgsgsgtef tltisslqpedfatyyclqhnsypltfgcg tkveiks
504.	FL_12_CCxCD 3-scFc	Биспецифи ческая молекула	qvtlkesgpalvkptqtltlctfsgfsls narmgvswirppgkclewlahifsndeks yrtslksrsltiskdtsksqvltmtndpv dtatyycarivgygsgwyayfdywgqgtlv tvssggggsgggsggggsdiqmtqspssl sasvgdrvtitcrasqgirndlgwyqqkpg kapkriyaasslqsgvpsrfsgsgsgtef tltisslqpedfatyyclqhnsypltfgcg tkveiksggggseqlvesggglvqpggsl klscaasgftfnkyamnvrqapgglewv arirskynnyatyadsvkdrftisrddsk ntaylqmnnlktedavyycvrhgnfgnsy isywaywgqgtlvsvssggggsgggsggg gsqtvtqepsiltvspggtvtltcgsstga vtsgnypnwqqkpgqaprgliggtkflap gtparfsgsllggkaaltlsgvqpedeay

			ycvlwysnrwvfgggtkltvl
505.	FL_12_CCxCD 3-scFc	Биспецифическая молекула HLE	<p> qvtlkesgpalvkptqtltlctfsgfsls narmgvswirpppgkclewlahifsndeks yrtslksrlltiskdtsksqvvlmtmndpv dtatyycarivgygsgwyayfdywgggtlv tvssggggsgggsgggsgggdiqmtqspssl sasvgdrvtitcrasqgirndlgwyqqkpg kapkrliyaasslqsgvpsrfsrgsggtef tltisslqpedfatyyclqhnsypltfcg tkveiksggggsevqlvesggglvqpggsl klscaasgftfnkyamnwrqapgkglewv arirskynnyatyadsvkdrftisrddsk ntaylqmnlnktdtavyycvrhgnfgnsy isywaywgggtlvtvssggggsgggsggg gsqtvtqepsltvspggtvltcgsstga vtsgnypnwvqqkpgqaprgligngkflap gtparfsgslggkaaltlsgvqpedeae ycvlwysnrwvfgggtkltvlgggdktht cppcpapellggpsvflfppkpkdtlmisr tpevtcvvvdvshedpevkfnwyvdgvevh naktkpceeegystyrcvsvltvlhqdwln gkeykckvsnkalpapiektiskakgpre pqvytlppsreemtknqvslclvkgfyys diavewesngqpennyktppvldsdgsff lyskltvdksrwqggnvfscsvmhealthnh ytqkslslspgkggggsgggsgggsggg gsgggsgggsgdkthtcppcpapellggp svflfppkpkdtlmisrtpevtcvvvdvsh edpevkfnwyvdgvevhnaktkpceeegys tyrcvsvltvlhqdwlngkeykckvsnk apiektiskakgprepqvytlppsreem tknqvslclvkgfyysdiavewesngqpe nnyktppvldsdgsfflyskltvdksrwq qgnvfscsvmhealthnhytqkslslspgk </p>
506.	FL_13xCD3-	VH CDR1	narmgvs

	scFc		
507.	FL_13xCD3-scFc	VH CDR2	liywnddkryspslks
508.	FL_13xCD3-scFc	VH CDR3	mvgygsgwyayfdy
509.	FL_13xCD3-scFc	VL CDR1	rasqgirndlg
510.	FL_13xCD3-scFc	VL CDR2	aasslqs
511.	FL_13xCD3-scFc	VL CDR3	lqhnsyplt
512.	FL_13xCD3-scFc	VH	qvtlkesgpvlvkptqtltlctfsgfsls narmgvswirqppgkalewlaliywddkr yspslksrltitkdtksknqvltmtndpv dtatyycarmvgygsgwyayfdywgqgtlv tvss
513.	FL_13xCD3-scFc	VL	diqmtqspsslsasvqdrvtitcrasqgir ndlgwyqqkpgkapkrliyaasslqsgvps rfsgsgsgteftltisslqpedfatyyclq hnsypltfgggtkveik
514.	FL_13xCD3-scFc	scFv	qvtlkesgpvlvkptqtltlctfsgfsls narmgvswirqppgkalewlaliywddkr yspslksrltitkdtksknqvltmtndpv dtatyycarmvgygsgwyayfdywgqgtlv tvssggsgggsgggsgggsgdiqmtqspssl sasvqdrvtitcrasqgirndlgwyqqkpg kapkrliyaasslqsgvpsrfsgsgsgtef tltisslqpedfatyyclqhnsypltfggg tkveiks
515.	FL_13xCD3-scFc	Биспецифическая молекула	qvtlkesgpvlvkptqtltlctfsgfsls narmgvswirqppgkalewlaliywddkr yspslksrltitkdtksknqvltmtndpv dtatyycarmvgygsgwyayfdywgqgtlv tvssggsgggsgggsgggsgdiqmtqspssl sasvqdrvtitcrasqgirndlgwyqqkpg

		<p>kapkrliyaasslqsgvpsrfsqsgsgtef tltisslqpedfatyyclqhnsypltfggg tkveiksggggsevqlvesggglvqpggsl klscaasgftfnkyamnvrqapgglewv arirskynnyatyadsvkdrftisrddsk ntaylqmnnlktedtavyycvrhgnfgnsy isywaywqggtlvtvssggggsgggsggg gsqtvtqepsltvspggtvltcgsstga vtsgnypnwvqqkpgqaprgliggtkflap gtparfsgsllggkaaltlsgvqpedeae ycvlwysnrwvfgggtkltvl</p>
<p>516.</p>	<p>FL_13xCD3- scFc</p>	<p>Еиспецифическая молекула HLE</p> <p>qvtlkesgpvlvktqtltlctfsgfsls narmgvswirppgkalewlaliywnddkr yspslksrlltitkdtsknqvltmtndpv dtatyycarmvgygsgwyayfdywqggtlv tvssggggsgggsgggsgggdiqmtqspssl sasvgdrvtitcrasqgirndlgwyqqkpg kapkrliyaasslqsgvpsrfsqsgsgtef tltisslqpedfatyyclqhnsypltfggg tkveiksggggsevqlvesggglvqpggsl klscaasgftfnkyamnvrqapgglewv arirskynnyatyadsvkdrftisrddsk ntaylqmnnlktedtavyycvrhgnfgnsy isywaywqggtlvtvssggggsgggsggg gsqtvtqepsltvspggtvltcgsstga vtsgnypnwvqqkpgqaprgliggtkflap gtparfsgsllggkaaltlsgvqpedeae ycvlwysnrwvfgggtkltvlgggdktht cppcpapellggpsvflfppkpkdtlmisr tpevtcvvvdvshedpevkfnwyvdgvevh naktkpceeqqgstyrcvsvltvlhqdwln gkeykckvsnkalpapiektiskakgqpre pqvytlppsreemtknqvsltclvkgyfyps diavewesngqpennyktppvldsdgsff lyskltvdksrwqqgnvfscsvmhealnhh</p>

			ytqkslsispgkggggsgggsgggsggg gsgggsgggsgdkthtcppcpapellggp svflfppkpkdtlmsrtpevtcvvvdvsh edpevkfnwyvdgvevhnaktkpeeegygs tyrcvsvltvlhqdwlngkeykckvsnkal papiektiskakggprepvytlppsreem tknqvsltclvkgfypsdiavewesnggpe nnykttppvldsdsfflyskltvdksrwq qgnvfscsvmhealthhnytqkslsispgk
517.	FL_13_CCxCD 3-scFc	VH	qvtlkesgpvlvkptqtltlctfsgfsls narmgvswirppgkclewlaliywddkr yspslksrsltikdtsknqvltmtndpv dtatyycarmvgygsgwyayfdywgqgtlv tvss
518.	FL_13_CCxCD 3-scFc	VL	dqmtqspsslsasvgrvtitcrasqgir ndlgwyqqkpgkapkriyaasslqsgvps rfsgsgsgteftltisslqpedfatyyclq hnsypltfgcgkveik
519.	FL_13_CCxCD 3-scFc	scFv	qvtlkesgpvlvkptqtltlctfsgfsls narmgvswirppgkclewlaliywddkr yspslksrsltikdtsknqvltmtndpv dtatyycarmvgygsgwyayfdywgqgtlv tvssggggsgggsgggsgdiqmtqspssl sasvgrvtitcrasqgirndlgwyqqkpg kapkriyaasslqsgvpsrfsgsgsgtef tltisslqpedfatyyclqhnsypltfgcg tkveiks
520.	FL_13_CCxCD 3-scFc	Биспецифическая молекула	qvtlkesgpvlvkptqtltlctfsgfsls narmgvswirppgkclewlaliywddkr yspslksrsltikdtsknqvltmtndpv dtatyycarmvgygsgwyayfdywgqgtlv tvssggggsgggsgggsgdiqmtqspssl sasvgrvtitcrasqgirndlgwyqqkpg kapkriyaasslqsgvpsrfsgsgsgtef tltisslqpedfatyyclqhnsypltfgcg

			tkveiksggggsevqlvesggglvqpggs1 klscaasgftfnkyamnwwrqapgkglew arirskynnyatyadsvkdrftisrddsk ntaylqmnlnktdtavyycvrhgnfgnsy isywaywqggtlvtvssggggsgggsggg gsqtvvtqepsltvspggtvtltcgsstga vtsgnypnwvqqkpgqaprgliggtkflap gtparfsgsllggkaaltlsgvqpedeaey ycvlwysnrwvfgggtkltvl
521.	FL_13_CCxCD 3-scFc	Биспецифи ческая молекула HLE	qvtlkesgpvlvktqtltlctfsgfsls narmgvswirppgkclewlaliywnddkr yspslksrltitkdtsknqvltmtnmdpv dtatyycarmvgygsgwyayfdywqggtlv tvssggggsgggsgggsggdiqmtqspssl sasvgdrvtitcrasqgirndlgwyqqkpg kapkrliyaasslsgvpsrfsfgsgsgtef tltisslqpedfatyyclqhnsypltfcg tkveiksggggsevqlvesggglvqpggs1 klscaasgftfnkyamnwwrqapgkglew arirskynnyatyadsvkdrftisrddsk ntaylqmnlnktdtavyycvrhgnfgnsy isywaywqggtlvtvssggggsgggsggg gsqtvvtqepsltvspggtvtltcgsstga vtsgnypnwvqqkpgqaprgliggtkflap gtparfsgsllggkaaltlsgvqpedeaey ycvlwysnrwvfgggtkltvlgggdktht cppcpapellggpsvflfppkpkdtlmisr tpevtcvvvdvshedpevkfnwyvdgvevh naktkpceeegystyrcsvlvtvlhqdwln gkeykckvsnkalpapiektiskakgqpre pqvytlppsreemtknqvsltclvkgfyps diavewesngqpennyktppvldsdgsff lyskltvdksrwqqgnvfscsvmhealhh ytqkslslspgkggggsgggsgggsggg gsgggsgggsgdkthtcppcpapellggp

			svflfppkpkdtlmisrtpevtcvvvdvsh edpevkfnwyvdgvevhnaktkpceeogygs tyrcvsvltvlhqdwlngkeykckvsnkal papiektiskakggprepqvvtlppsreem tknqvsltclvkgfypsdiavewesnggpe nnykttppvldsdsqsflyskltvdksrwq qgnvfscsvmhealhhnytqkslsispgk
522.	FL_14xCD3- scFc	VH CDR1	narmgvs
523.	FL_14xCD3- scFc	VH CDR2	hifsndeksystems
524.	FL_14xCD3- scFc	VH CDR3	ivgygtgwygffdy
525.	FL_14xCD3- scFc	VL CDR1	rtsqgirndlg
526.	FL_14xCD3- scFc	VL CDR2	aasslqs
527.	FL_14xCD3- scFc	VL CDR3	lqhnsyplt
528.	FL_14xCD3- scFc	VH	Qvtlkesgpalkvptqtltlctfsgfsls narmgvswirppgkalewlahifsndeks ystslksrsltiskdtsksqvvtmtdmpe dtatyycarivgygtgwygffdywgqgilv tvss
529.	FL_14xCD3- scFc	VL	diqmtqspsslsasvgrvtitcrtsqgir ndlgwyqqkpgkapkriyaasslqsgvps rfsgsgsgteftltisslqpedfatyyclq hnsypltfgggtkveik
530.	FL_14xCD3- scFc	scFv	Qvtlkesgpalkvptqtltlctfsgfsls narmgvswirppgkalewlahifsndeks ystslksrsltiskdtsksqvvtmtdmpe dtatyycarivgygtgwygffdywgqgilv tvssggsgsgsgsgsgsdqmtqspssl sasvgrvtitcrtsqgirndlgwyqqkpg kapkriyaasslqsgvpsrfsgsgsgtef

			tltisslqpedfatyyclqhnsypltfggg tkveiks
531.	FL_14xCD3- scFc	Биспецифи ческая молекула	Qvtlkesgpalvkptqtltlctfsgfsls narmgvswirppgkalewlahifsndeks ytslksrsltiskdtsksqvvlmtmdmpe dtatyycarivgygtgwygffdywgqgilv tvssggggsgggsggggsdiqmtqspssl sasvgdrvtitcrtsqgirndlgwyqqkpg kapkriyaasslqsgvpsrfsqsgsgtef tltisslqpedfatyyclqhnsypltfggg tkveiksggggsevqlvesggglvqpggsl klscaasgftfnkyamnwrqapkgleww arirskynnyatyadsvkdrftisrddsk ntaylqmnnlktedtavyycvrhgnfgnsy isywaywqggtlvtvssggggsgggsggg gsqvtvtqepsltvspggtvtltcgsstga vtsgnypnwvqqkpgqaprgliggtkflap gtparfsgsllggkaaltlsgvqpedeae ycvlwysnrwvfgggtkltvl
532.	FL_14xCD3- scFc	Биспецифи ческая молекула HLE	Qvtlkesgpalvkptqtltlctfsgfsls narmgvswirppgkalewlahifsndeks ytslksrsltiskdtsksqvvlmtmdmpe dtatyycarivgygtgwygffdywgqgilv tvssggggsgggsggggsdiqmtqspssl sasvgdrvtitcrtsqgirndlgwyqqkpg kapkriyaasslqsgvpsrfsqsgsgtef tltisslqpedfatyyclqhnsypltfggg tkveiksggggsevqlvesggglvqpggsl klscaasgftfnkyamnwrqapkgleww arirskynnyatyadsvkdrftisrddsk ntaylqmnnlktedtavyycvrhgnfgnsy isywaywqggtlvtvssggggsgggsggg gsqvtvtqepsltvspggtvtltcgsstga vtsgnypnwvqqkpgqaprgliggtkflap gtparfsgsllggkaaltlsgvqpedeae

			<p>ycvlnwysnrwvfgggtkltvlggggdktht cppcpapellggpsvflfppkpkdtlmisr tpevtcvvvdvshedpevkfnwyvdgvevh naktkpceeaygstyrcvsvltvlhqdwn gkeykckvsnkakpapiektiskakgqpre pqvytlppsreemtknqvslclvkgfyps diavewesngqpennyktppvldsdgsff lyskltvdksrwqggnvfscsvmhealnhh ytqkslslspgkggggsgggsgggsggg gsgggsgggsgdkthtcppcpapellggp svflfppkpkdtlmisrtpevtcvvvdvsh edpevkfnwyvdgvevhnaktkpceeaygs tyrcvsvltvlhqdwnlgkeykckvsnkak papiektiskakgqprepvytlppsreem tknqvslclvkgfypsdiavewesngqpe nnyktppvldsdgsfflyskltvdksrwq qgnvfscsvmhealnhhytqkslslspgk</p>
533.	FL_14_CCxCD 3-scFc	VH	<p>qvtlkesgpalkvptqtltlctfsgfsls narmgvswirppgkclewlahifsndeks ystslksrlltiskdtsksqvvtmtmdpe dtatyycarivgygtgwygffdywgqgilv tvss</p>
534.	FL_14_CCxCD 3-scFc	VL	<p>diqmtqspsslsasvgrvtitcrtsqgir ndlgwyqqkpgkapkrliyaasslqsgvps rfsgsgsgteftlttisslqpedfatyyclq hnsypltfgcgkveik</p>
535.	FL_14_CCxCD 3-scFc	scFv	<p>qvtlkesgpalkvptqtltlctfsgfsls narmgvswirppgkclewlahifsndeks ystslksrlltiskdtsksqvvtmtmdpe dtatyycarivgygtgwygffdywgqgilv tvssggggsgggsgggsgggsgdiqmtqspssl sasvgrvtitcrtsqgirndlgwyqqkpg kapkrliyaasslqsgvpsrfsgsgsgtef tltisslqpedfatyyclqhnsypltfgcg tkveiks</p>

536.	FL_14_CCxCD 3-scFc	Биспецифическая молекула	<pre> qvtlkesgpalvkptqtltlctfsgfsls narmgvswirppgkclewlahifsndeks ystslksrletiskdtsksqvltmtmdpe dtatyycarivgygtgwygffdywgqgilv tvssggggsgggsgggsgggdiqmtqspssl sasvgdrvtitcrtsqgirndlgwyqqkpg kapkrliyaasslqsgvpsrfsqsgsgtef tltisslqpedfatyyclqhnsypltfqcg tkveiksggggsevqlvesggglvqpggs1 klscaasgftfnkyamnwrqapggglewv arirskynnyatyadsvkdrftisrddsk ntaylqmnlnktdtavyycvrhgnfgnsy isywaywqggtlvtvssggggsgggsggg gsqtvvtqepsltvspggtvltcgsstga vtsgnypnwvqqkpgqaprgliggtkflap gtparfsgsllggkaaltlsgvqpedeaeay ycvlwysnrwvfgggtkltvl </pre>
537.	FL_14_CCxCD 3-scFc	Биспецифическая молекула HLE	<pre> qvtlkesgpalvkptqtltlctfsgfsls narmgvswirppgkclewlahifsndeks ystslksrletiskdtsksqvltmtmdpe dtatyycarivgygtgwygffdywgqgilv tvssggggsgggsgggsgggdiqmtqspssl sasvgdrvtitcrtsqgirndlgwyqqkpg kapkrliyaasslqsgvpsrfsqsgsgtef tltisslqpedfatyyclqhnsypltfqcg tkveiksggggsevqlvesggglvqpggs1 klscaasgftfnkyamnwrqapggglewv arirskynnyatyadsvkdrftisrddsk ntaylqmnlnktdtavyycvrhgnfgnsy isywaywqggtlvtvssggggsgggsggg gsqtvvtqepsltvspggtvltcgsstga vtsgnypnwvqqkpgqaprgliggtkflap gtparfsgsllggkaaltlsgvqpedeaeay ycvlwysnrwvfgggtkltvlgggdktht cppcpapellggpsvflfppkpkdtlmisr </pre>

			tpevtcvvvdvshedpevkfnwyvdgvevh naktkpceezygstyrcvsvltvlhqdwln gkeykckvsnkakpapiektiskakgpre pqvytlppsreemtknqvsltclvkgfyps diavewesngqpennykttppvldsdsff lyskltvdksrwqgnvfscsvmhealthnh ytqkslslspgkggggsgggsgggsggg gsgggsgggsgdkthtppcpapellggp svflfppkpkdtlmisrtpevtcvvvdvsh edpevkfnwyvdgvevhnaktkpceezygs tyrcvsvltvlhqdwlngkeykckvsnkak papiektiskakgprepqvytlppsreem tknqvsltclvkgfypsdiavewesngqpe nnykttppvldsdsfflyskltvdksrwq qgnvfscsvmhealthnhytqkslslspgk
538.	FL_15xCD3- scFc	VH CDR1	sygmh
539.	FL_15xCD3- scFc	VH CDR2	visyegsnefyaesvkg
540.	FL_15xCD3- scFc	VH CDR3	ggeitmvrvgigygyygmdiv
541.	FL_15xCD3- scFc	VL CDR1	rasqsissyln
542.	FL_15xCD3- scFc	VL CDR2	aasslqs
543.	FL_15xCD3- scFc	VL CDR3	lqhnsyplt
544.	FL_15xCD3- scFc	VH	qvqlvesgggvvqgrslrlscaasgftfs sygmhwrqapggkglewvavisyegsnefy aesvkgrftisrdnskntlylqmnsraed tavyyccarggeitmvrvgigygyygmdivwg qgttvsvs
545.	FL_15xCD3- scFc	VL	diqmtqspsslsasvgrvtitcrasqsis sylvnyqqkpgkapklliyaasslqsgvps rfsgsgsgteftltisslqpedfatyyclq

			hnsypltfgggtkveik
546.	FL_15xCD3- scFc	scFv	qvqlvesgggvvqgrslrlscaasgftfs sygmhwrqapgglewvavisyegsnefy aesvkgrftisrdnskntlylqmnsraed tavyycarggeitmvrvgivyyyygmdvwg qgttvtvssgggsgggsgggsgdiqmtq spsslsasvgrvtitcrasqsissylnwy qqkpgkapklliyaasslqsgvpsrfsqsg sgteftltisslqpedfatyyclqhnsypl tfgggtkveiks
547.	FL_15xCD3- scFc	Биспецифи ческая молекула	qvqlvesgggvvqgrslrlscaasgftfs sygmhwrqapgglewvavisyegsnefy aesvkgrftisrdnskntlylqmnsraed tavyycarggeitmvrvgivyyyygmdvwg qgttvtvssgggsgggsgggsgdiqmtq spsslsasvgrvtitcrasqsissylnwy qqkpgkapklliyaasslqsgvpsrfsqsg sgteftltisslqpedfatyyclqhnsypl tfgggtkveiksggggsevqlvesggglvq pggslklscaasgftfnkyamnwrqapgk glewvarirskynnyatyadsvkdrftis rddskntaylqmnlktdtavyycvrhgn fgnsyisywaywqggtlvtvssgggsggg gsgggsgtvtvtqepsltvspggtvtltcg sstgavtsgnypnwvqqkpgqaprgliggt kflapgtparfsgsllggkaaltlsgvqpe deaeyy cvlwysnrwvfgggtklvtl
548.	FL_15xCD3- scFc	Биспецифи ческая молекула HLE	qvqlvesgggvvqgrslrlscaasgftfs sygmhwrqapgglewvavisyegsnefy aesvkgrftisrdnskntlylqmnsraed tavyycarggeitmvrvgivyyyygmdvwg qgttvtvssgggsgggsgggsgdiqmtq spsslsasvgrvtitcrasqsissylnwy qqkpgkapklliyaasslqsgvpsrfsqsg sgteftltisslqpedfatyyclqhnsypl

			<p>tfgggtkveiksggggsevqlvesggglvq pggslklscasgftfnkyamnwvrqapgk glewvarirskynnyatyadsvkdrftis rddskntaylqmnnlktedtavyycvrhgn fgnsyisywaywgqgtlvtvssgggsggg gsgggsgtvtvtqepsltvspggtvtltcg sstgavtsgnypnwqqkpgqaprgliggt kflapgtparfsgsllggkaaltlsgvqpe deaeyycvlwysnrwvfgggtkltvlgggg dkthtcpppapellggpsvflfppkpkdt lmisrtpevtcvvvdvshedpevkfnwyvd gvevhnaktkpeeeygstyrcvsvltvlh qdwlngkeykckvsnkalpapiektiskak gqprepvytlppsreemtknqvsltclvk gfypsdiavewesngqpennykttpvlds dgsfflyskltvdksrwqqgnvfscsvmhe alhnhytqkslslspgkgggsgggsggg gsgggsgggsgggsggskthtcppcpape llggpsvflfppkpkdtlmisrtpevtcvv vdvshedpevkfnwyvdgvevhnaktkpe eqygstyrcvsvltvlhqdwlngkeykckv snkalpapiektiskakgqprepvytlpp sreemtknqvsltclvkgfypsdiavewes ngqpennykttpvlds dgsfflyskltvd ksrwqqgnvfscsvmhealhnhytqkslsl spgk</p>
549.	FL_15_CCxCD 3-scFc	VH	<p>qvqlvesgggvvqgrslrlscaasgftfs sygmhwvrqapgkclewvavisyegsnefy aesvkgrftisrdnskntlylqmnsraed tavyycarggeitmvrgvigyyyygmdvwg qgttvtvss</p>
550.	FL_15_CCxCD 3-scFc	VL	<p>diquqtqspsslsasvgrvtitcrasqsis sylvnyqqkpgkapklliyaasslqsgvps rfgsgsggteftltisslqpedfatyyclq hnsypltfgcgtkveik</p>

551.	FL_15_CCxCD 3-scFc	scFv	qvqlvesgggvvqpgsrslrlscaasgftfs sygmhwrqapgkclewvavisyegsnefy aevkgrftisrdnskntlylqmnsraed tavyycarggeitmvrvgivyyyygmdvwg qgttvtvssgggsgggsgggsgdiqmtq spsslsasvgrvtitcrasqsissylnwy qqkpgkapklliyaasslqsgvpsrfsqsg sgteftltisslqpedfatyyclqhnsypl tfgcgkveiks
552.	FL_15_CCxCD 3-scFc	Биспецифи ческая молекула	qvqlvesgggvvqpgsrslrlscaasgftfs sygmhwrqapgkclewvavisyegsnefy aevkgrftisrdnskntlylqmnsraed tavyycarggeitmvrvgivyyyygmdvwg qgttvtvssgggsgggsgggsgdiqmtq spsslsasvgrvtitcrasqsissylnwy qqkpgkapklliyaasslqsgvpsrfsqsg sgteftltisslqpedfatyyclqhnsypl tfgcgkveiksggggsevqlvesggglvq pggslklscaasgftfnkyamnwvrqapgk glewvarirskynnyatyadsvkdrftis rddskntaylqmnlnktdtavyycvrhgn fgnsyisywaywggtltvssgggsggg gsgggsgtvtvqepsltvspggtvtltcg sstgavtsgnypnwvqqkpgqaprgliggt kflapgtparfsgsllggkaaltlsgvqpe deaeycwlwysnrwvfgggtkltvl
553.	FL_15_CCxCD 3-scFc	Биспецифи ческая молекула HLE	qvqlvesgggvvqpgsrslrlscaasgftfs sygmhwrqapgkclewvavisyegsnefy aevkgrftisrdnskntlylqmnsraed tavyycarggeitmvrvgivyyyygmdvwg qgttvtvssgggsgggsgggsgdiqmtq spsslsasvgrvtitcrasqsissylnwy qqkpgkapklliyaasslqsgvpsrfsqsg sgteftltisslqpedfatyyclqhnsypl tfgcgkveiksggggsevqlvesggglvq

			<p>pggslklscaasgftfnkyamnvrqapgk glewvarirskynnyatyadsvkdrftis rddskntaylqmnlnktdtavyycvrhgn fgnsyisywaywgggtlvtvssgggsggg gsgggsgtvtvtqepsltvspggtvtltcg sstgavtsgnypnwvqqkpgqaprgliggt kflapgtparfsgsllggkaaltlsgvqpe deaeyycvlwysnrwvfgggtkltvlgggg dkthtccppcapellggpsvflfppkpkdt lmisrtpevtcvvvdvshedpevkfnwyvd gvevhnaktkpeeeygstyrcvsvltvlh qdwlngkeykckvsnkalpapiektiskak gqprepvytlppsreemtknqvsltclvk gfypsdiavewesngqpennyktppvlds dgsfflyskltvdksrwqgnvfscsvmhe alhnhytqkslslspgkgggsgggsggg gsgggsgggsgggsgggskthtccppcape llggpsvflfppkpkdtlmisrtpevtcvv vdvshedpevkfnwyvdgvevhnaktkpe eqygstyrcvsvltvlhqdwlngkeykckv snkalpapiektiskakgqprepvytlpp sreemtknqvsltclvkgyfypsdiavewes ngqpennyktppvlds dgsfflyskltvd ksrwqgnvfscsvmhealhnhytqkslsl spgk</p>
<p>554.</p>	<p>FL_1xCD3- scFc_delGK</p>	<p>Биспецифи ческая молекула HLE</p>	<p>qvtlkesgpalvkptetltltctvsgfsls narmgvswirppgkalewlanifsndeks ytslksrsltiskgtsksqvltmtndpe dtatyycarivgygsgwygyfdywgqgtlv tvssgggsgggsgggsgggsgdiqmtqspssl sasvgdrvtitcrasqgirndlgwyqqkpg kapqrliyaasslqsgvpsrfsqsgsgtef tltisslqpedfatyyclqhnsypltfggg tkveiksggggsevqlvesggglvqpggsl klscaasgftfnkyamnvrqapgglewv</p>

		<p>arirskynnyatyadsvkdrftisrddsk ntaylqmnlnktdtavyycvrhgnfgnsy isywaywqggtlvtvssggsgggsgggsggg gsqvtvtqepsltvspggtvtltcgsstga vtsgnypnwvqqkpgqaprgligntkflap gtparfsgsllggkaaltlsgvqpedeae ycvlwysnrwvfgggtkltvlgggdktht cppcpapellggpsvflfppkpkdtlmisr tpevtcvvvdvshedpevkfnwyvdgvevh naktkpceeegystyrcvsvltvlhqdwn gkeykckvsnkalspapiektiskakgpre pqvytlppsreemtknqvsltclvkgfyps diavewesngqpennykttppvldsdsff lyskltvdksrwqggnvfscsvmhealthnh ytqkslslspggsgggsgggsgggsgggsg ggsgsgggsgdkthtcppcpapellggpsv flfppkpkdtlmisrtpevtcvvvdvshed pevkfnwyvdgvevhnaktkpceeegysty rcvsvltvlhqdwnlgkeykckvsnkalsp piektiskakgprepqvytlppsreemtk nqvsltclvkgfypsdiavewesngqpenn yktppvldsdsfflyskltvdksrwqgg nvfscsvmhealthnhytqkslslspgk</p>
<p>555.</p>	<p>FL_1_CCxCD3 -scFc_delGK</p>	<p>Биспецифическая молекула HLE</p> <p>qvltkesgpalkvptetltltctvsgfsls narmgvswirppgkclewlanifsndeks ystslksrlytiskgtsksqvltmtndpe dtatyycarivgygsgwygyfdywgqgtlv tvssggsgggsgggsgggsgggsgggsggg sasvgdrvtitcrasqgirndlgwyqqkpg kapqrliyaasslqsgvpsrfsrgsgstef tltisslqpedfatyyclqhnsypltfcg tkveiksgggsevqlvesggglvqpggsl klscaasgftfnkyamnwrqapgglewv arirskynnyatyadsvkdrftisrddsk ntaylqmnlnktdtavyycvrhgnfgnsy</p>

		<p>isywaywgqgtlvtvssgggsgggsggg gsqtvvtqepsltvspggtvltcgsstga vtsgnypnwvqqkpgqaprgligntkflap gtparfsgsllggkaaltlsgvqpedeae ycvlwysnrwvfgggtkltvlgggdktht cppcpapellggpsvflfppkpkdtlmisr tpevtcvvvdvshedpevkfnwyvdgvevh naktkpceezygstyrcvsvltvlhqdwn gkeykckvsnkalpapiektiskakgpre pqvytlppsreemtknqvsltclvkgfyps diavewesngqpennykttppvldsdsff lyskltvdksrwqggnvfscsvmhealthnh ytqkslslspgggsgggsgggsgggsggg gggsgggsggdkthtcppcpapellggpsv flfppkpkdtlmisrtpevtcvvvdvshed pevkfnwyvdgvevhnaktkpceezygsty rcvsvltvlhqdwnlgkeykckvsnkalpa piektiskakgprepqvytlppsreemtk nqvsltclvkgfypsdiavewesngqpenn yktppvldsdsfflyskltvdksrwqgg nfvscsvmhealthnhytqkslslspgk</p>
<p>556.</p>	<p>FL_2xCD3- scFc_delGK</p>	<p>Биспецифическая молекула HLE</p> <p>qvtlkesgptlvkptetlvtlctlsqfsln narmgvswirppgkalewlahifsndeks ytslknrltiskdssktqvvtmtndpv dtatyycarivgygsgwygffdywgqgtlv tvssgggsgggsgggsgggsdiqmtqspssl sasvgdrvtitcrasqgirndlgwyqqkpg kapkriyaastlqsgvpsrfsqsgstef tltisslqpedfatyyclqhnsypltfggg tkveiksggggsevqlvesggglvqpggsl klscaasgftfnkyamnvrqapgglewv arirskynnyatyadsvkdrftisrddsk ntaylqmnnlktedavyycvrhgnfgnsy isywaywgqgtlvtvssgggsgggsggg gsqtvvtqepsltvspggtvltcgsstga</p>

			<p>vtsgnypnwvqqkpgqaprgliggtkflap gtparfsgsllggkaaltlsgvqpedeae ycvlywnrwwfgggtkltvlggggdktht cppcpapellggpsvflfppkpkdtlmisr tpevtcvvvdvshedpevkfnwyvdgvevh naktkpceeegystyrcvsvltvlhqdwln gkeykckvsnkalpapiektiskakggpre pqvytlppsreemtknqvsltclvkgfyps diavewesngqpennykttppvldsdsff lyskltvdksrwqqgnvfscsvmhealnhh ytqkslslspggggsgggsgggsggggs ggggsgggsgdkthtcppcpapellggpsv flfppkpkdtlmisrtpevtcvvvdvshed pevkfnwyvdgvevhnaktkpceeegysty rcvsvltvlhqdwlngkeykckvsnkalpa piektiskakggprepqvytlppsreemtk nqvsltclvkgfypsdiavewesngqpenn yktppvldsdsfflyskltvdksrwqqg nvfscsvmhealnhhytqkslslspgk</p>
557.	FL_2_CCxCD3 -scFc_delGK	Биспецифи ческая молекула HLE	<p>qvtlkesgptlvkptetltlctlsqfsln narmgvswirppgkclewlahifsndeks ytslknrltiskdssktqvvlmtndvpv dtatyycarivgygsgwygffdywgqgtlv tvssggggsgggsgggsgggdiqmtqspssl sasvgdrvtitcrasqgirndlgwyqqkpg kapkrliyaastlqsgvpsrfsqsgsgtef tltisslqpedfatyyclqhnsypltfqcg tkveiksggggsevqlvesggglvqpggsl klscaasgftfnkyamnwrqapgglewv arirskynnyatyadsvkdrftisrddsk ntaylqmnnlktedavyycvrhgnfgnsy isywaywgqgtlvtvssggggsgggsggg gsqvtvtqepsltvspggtvltlcsstga vtsgnypnwvqqkpgqaprgliggtkflap gtparfsgsllggkaaltlsgvqpedeae</p>

			<p>ycvlwysnrwvfgggtkltvlggggdktht cppcpapellggpsvflfppkpkdtlmisr tpevtcvvvdvshedpevkfnwyvdgvevh naktkpceeeygstyrcvsvltvlhqdwln gkeykckvsnkalpapiektiskakgqpre pqvytlppsreemtknqvsltclvkgfyys diavewesngqpennyktppvldsdsff lyskltvdksrwqqgnvfscsvmhealnhh ytqkslsispgggsgggsgggsgggsgggsg ggggsgggsgdkthtcppcpapellggpsv flfppkpkdtlmisrtpevtcvvvdvshed pevkfnwyvdgvevhnaktkpceeeygsty rcvsvltvlhqdwlngkeykckvsnkalpa piektiskakgqprepvytlppsreemtk nqvsltclvkgfyysdiavewesngqpenn yktppvldsdsfflyskltvdksrwqqg nvfscsvmhealnhhytqkslsispgk</p>
558.	FL_3xCD3- scFc_delGK	Биспецифи ческая молекула HLE	<p>qvtlkesgpalvkptetltltctlsqfsln narmavswirppgktlewlahifsndeks ystslksrsltiskdtskgqvltmtndpv datyycarivgygsgwygyfdywgggtlv tvssggggsgggsgggsgggsgggsgggsg sasvgdrvtitcrasqdirndlgwyqqkpg kapkrliyaastlqsgvpsrfsqsgsgtef tltisslqpedfatyyclqhnasypltfggg tkveiksggggsevqlvesggglvqpggsl klscaasgftfnkyamnwrqapggglewv arirskynnyatyadsvkdrftisrddsk ntaylqmnnlktedtavyycvrhngfnsgy isywaywgggtlvtvssggggsgggsgggg gsqtvvtqepsltvspggtvtltcgsstga vtsgnypnwvqqkpgqaprgliggtkflap gtparfsgsllggkaaltlsgvqpedeae ycvlwysnrwvfgggtkltvlggggdktht cppcpapellggpsvflfppkpkdtlmisr</p>

			<p>tpevtcvvvdvshedpevkfnwyvdgvevh naktkpceezygstyrcvsvltvlhqdwn gkeykckvsnkalpapiektiskakgqpre pqvytlppsreemtknqvsltclvkgfyps diavewesngqpennykttppvldsdsff lyskltvdksrwqqgnvfscsvmhealthnh ytqkslslspggsgggsgggsgggsgggsg ggsgggsggskthtcppcpapellggpsv flfppkpkdtlmisrtpevtcvvvdvshed pevkfnwyvdgvevhnaktkpceezygsty rcvsvltvlhqdwnlgkeykckvsnkalpa piektiskakgqprepvytlppsreemtk nqvsltclvkgfypsdiavewesngqpenn yktppvldsdsfflyskltvdksrwqqg nvfscsvmhealthnhytqkslslspgk</p>
<p>559.</p>	<p>FL_3_CCxCD3 -scFc_delGK</p>	<p>Биспецифи ческая молекула HLE</p>	<p>qvtlkesgpalvkptetltltctlsqfsln narmavswirppgkclewlahifsndeks ytslksrlltiskdtskgqvltmtnmqpv dtatyycarivgygsgwygyfdywgqgtlv tvssggsgggsgggsgggsgggsgggsg sasvgdrvtitcrasqdirndlgwyqqkpg kapkrliyaastlqsgvpsrfsqsgsgtef tltisslqpedfatyyclqhnsypltfqcg tkveiksggggsevqlvesggglvqpggsl klscaasgftfnkyamnvrqapgkglewv arirskynnyatyadsvkdrftisrddsk ntaylqmnlnktdtavyycvrhgnfgnsy isywaywgqgtlvtvssggsgggsgggsggg gsqtvtqepsltvspggtvltcgsstga vtsgnypnwvqqkpgqaprgligntkflap gtparfsgslggkaaltlsgvqpedeae ycvlwysnrwvfgggtkltvlgggdktht cppcpapellggpsvflfppkpkdtlmisr tpevtcvvvdvshedpevkfnwyvdgvevh naktkpceezygstyrcvsvltvlhqdwn</p>

		<p>gkeykckvsnkalpapiektiskakgpre pqvytlppsreemtknqvsltclvkgyfyps diavewesngqpennykttppvldsdsff lyskltvdksrwqqgnvfscsvmhealthnh ytqkslslspgggsgggsgggsgggsgggsg gggsgggsgdkthtccpppapellggpsv flfppkpkdtlmisrtpevtcvvvdvshed pevknwvydgvvehnaktkpceezygsty rcvsvltvlhqdwlngkeykckvsnkalpa piektiskakgprepqvytlppsreemtk nqvsltclvkgyfypsdiavewesngqpenn ykttppvldsdsfflyskltvdksrwqqg nvfscsvmhealthnhytqkslslspgk</p>
<p>560.</p>	<p>FL_4xCD3- scFc_delGK</p>	<p>Биспецифи ческая молекула HLE</p> <p>qvtlkesgpalvkptetltlctlsqfsln nakmgvswirppgkalewlahifsndeks ystslksrlytiskdtskqgvvltmtndpv dtatyycarivgygsgwygyfdywgqgtlv tvssgggsgggsgggsgggsgggsgggsg sasvgdrvtitcrasqdirddlgyqqkpg napkriygastlqsgvpsrfsqsgstef tltisslqpedfatyyclqhnsypltfggg tkvdiksggggsevqlvesggglvqpggsl klscaasgftfnkyamnwrqapgkglewv arirskynnyatyadsvkdrftisrddsk ntaylqmnlnktdtavyycvrhgnfgnsy isywaywgqgtlvtvssgggsgggsgggsg gsqtvtqepsltvspggtvltcgsstga vtsgnypnwvqqkpgqaprgliggtkflap gtparfsgsllggkaaltlsgvqpedeaey ycvlwysnrwvfgggtklvtlvgggdktht cppcpapellggpsvflfppkpkdtlmisr tpevtcvvvdvshedpevknwvydgvveh naktkpceezygstyrcvsvltvlhqdwln gkeykckvsnkalpapiektiskakgpre pqvytlppsreemtknqvsltclvkgyfyps</p>

			<p>diavewesngqpennykttppvldsdsff lyskltvdksrwqqgnvfscsvmhealhh ytqkslslsppggsgggsgggsgggsg gggsgggsgdkthtcppcpapellggs vflfppkpkdtlmsrtpevtcvvvdvsh edpevkfnwyvdgvevhnaktkpcee ygstyrcvsvltvlhqdwlngkeykck vnskalpapiektiskakgqprepqvy tlppsreemtknqvsltclvkgfyps diavewesngqpennykttppvldsds fflyskltvdksrwqqgnvfscsvmhe alhhytqkslslsppgk</p>
561.	FL_4_CCxCD3 -scFc_delGK	Биспецифическая молекула HLE	<p>qvtlkesgpalvkptetltltctls gfslnakmgvswirppgkclewlahif sndeksystslksrsltiskdtskq vvltmtndpvdatyycarivgygsg wygyfdywgqgtlvtvssggsggg sggsgdiqmtqspssl sasvgdrvt itcrasqdirddlgyqqkpgnapkrl iygastlqsgvpsrfsrgsgstef tltisslqpedfatyyclqhnsypl tfgcgtkvdiksgggsevqlvesgg glvqpggslklscaasgftfnkyam nwvrqapgkglew arirskynnyat yadsvkdrftisrddskntaylqm nnlktedtavyycvrhgnfgnsy isywaywgqgtlvtvssggsgggsg gggsgsqtvtqepsltvspggtvlt cgsstgavtsgnypnwvqqkpgq aprgliggtkflapgtparfsgsl lggkaaltlsgvqpedeaeyycvl wysnrwvfgggtklvtlvgggdk thtcppcpapellggsvflfppkpk dtlmsrtpevtcvvvdvshedpevk fnwyvdgvevhnaktkpcee ygstyrcvsvltvlhqdwlngkey kckvnskalpapiektiskakgqpre pqvytlppsreemtknqvsltclv kgfypsdiavewesngqpennyktt ppvldsdsfflyskltvdksrwqq gnvfscsvmhealhh</p>

			ytqkslslsppgggsgggsgggsgggsgggsg gggsgggsgdkthtcppcpapellggpsv flfppkpkdtlmsrtpevtcvvvdvshed pevkfnwyvdgvevhnaktkpceeegysty rcvsvltvlhqdwlngkeykckvsnkalpa piektiskakgqprepqvylppsreemtk nqvsltclvkgfypsdiavewesngqpenn ykttppvldsdgsfflyskltvdksrwqgg nvfscsvmhealhnhytqkslslspgk
562.	FL_5xCD3- scFc_delGK	Биспецифи ческая молекула HLE	qvtlkesgpvlvkptetltltctvsgfslr narmavswirppgktlewlahifsndeks ystslksrletiskdtsksqvvlmtnmdpv dtatyycarivgygsgwygyfdywgqgtlv tvssgggsgggsgggsgggsgggsgggsg sasvgdrvtitcrasqdirydlawyqqkpg kapkrliyaasslsgvpsrfsrgsgsgtef tltisslqpedfatyyclqhnfypltfggg tkveiksggggsevqlvesggglvqpggsl klscaasgftfnkyamnwrqapkgglewv arirskynnyatyadsvkdrftisrddsk ntaylqmnnlktedtavyycvrhgnfgnsy isywaywgqgtlvtvssgggsgggsgggsg gsqtvvtqepsltvspggtvtltcgsstga vtsgnypnwvqqkpgqaprgliggtkflap gtparfsgsllggkaaltlsgvqpedeaey ycvlwysnrwvfgggtkltvlgggdktht cppcpapellggpsvflfppkpkdtlmsr tpevtcvvvdvshedpevkfnwyvdgvev naktkpceeegystyrcvsvltvlhqdwln gkeykckvsnkalpapiektiskakgqpre pqvylppsreemtknqvsltclvkgfyps diavewesngqpennykttppvldsdgsff lyskltvdksrwqggnvfscsvmhealhnh ytqkslslsppgggsgggsgggsgggsgggsg gggsgggsgdkthtcppcpapellggpsv

			<p>flfppkpkdtlmsrtpevtcvvvdvshed pevkfnwyvdgvevhnaktkpceeegysty rcvsvltvlhqdwlngkeykckvsnkalpa piektiskakggpprepqvylppsreemtk nqvsltclvkgyfypsdiavewesngqpenn ykttppvldsdgsfflyskltvdksrwqgg nvfscsvmhealhnhytqkslslspgk</p>
563.	<p>FL_5_CCxCD3 -scFc_delGK</p>	<p>Биспецифи ческая молекула HLE</p>	<p>qvtlkesgpvlvktetltlctvsgfslr narmavswirppgkclewlahifsndeks ytslksrlltiskdtsksqvvlmtmndpv dtatyycarivgygsgwygyfdywgqgtlv tvssggggsgggsgggsgggdiqmtqspssv sasvgdrvtitcrasqdirydlawyqqkpg kapkriyaasslqsgvpsrfsrgsgstef tltisslqpedfatyyclqhnfypltfcg tkveiksggggsevqlvesggglvqpggsl klscaasgftfnkyamnwvrqapgglewv arirskynnyatyadsvkdrftisrddsk ntaylqmnnlktedtavyycvrhgnfgnsy isywaywqggtlvtvssggggsgggsggg gsqvtvtqepsltvspggtvltlctgsstga vtsgnypnwvqqkpgqaprglignkflap gtparfsgsllggkaaltlsgvqpedeae ycvlwysnrwvfgggtklvtlvgggdktht cpcpapellggpsvflfppkpkdtlmsr tpevtcvvvdvshedpevkfnwyvdgvev naktkpceeegystyrcvsvltvlhqdwln gkeykckvsnkalpapiektiskakggpre pqvylppsreemtknqvsltclvkgyfyps diavewesngqpennykttppvldsdgsff lyskltvdksrwqggnvfscsvmhealhn ytqkslslspggggsgggsgggsgggsg ggggsgggsgdkthtcpcpapellggpsv flfppkpkdtlmsrtpevtcvvvdvshed pevkfnwyvdgvevhnaktkpceeegysty</p>

			rcvsvltvlhqdwlngkeykckvsnkalpa piektiskakgqprepqvylppsreemtk nqvsltclvkgfypsdiavewesngqpenn yktppvldsdsfflyskltvdksrwqqg nvfscsvmhealhhnytqkslsispkg
564.	FL_6xCD3- scFc_delGK	Биспецифи- ческая молекула HLE	qvtlkesgpvlvktqtltlctfsgfsls narmgvswirppgkalewlahifsndeks fstslknrltiskdtsksqvvtmtndpv datatycarmvgygsgwyayfdywgqgtqv tvssggggsgggsgggsgdiqmtqspssl sasvgdrvtitcrasqsissylwnwyqkpg kapklliyaasslqsgvpsrfsqsgsgtdf tltisslqpedfatyyclqhnsypltfggg tkveiksggggsevqlvesggglvqpggsl klscaasgftfnkyamnvrqapgkglew arirskynnyatyadsvkdrftisrddsk ntaylqmnktedtavyycvrhgnfgnsy isywaywgqgtlvtvssggggsgggsggg gsqtvvtqepsltvspggtvltcgssgta vtsgnypnwvqkpgqaprgliggtkflap gtparfsgslggkaaltlsgvqpdeaey ycvlwysnrwvfgggtkltvlggggdktht cppcpapellggpsvflfppkpkdtlmisr tpevtcvvvdvshedpevkfnwyvdgvevh naktkpceezygstyrcvsvltvlhqdwl gkeykckvsnkalpapiektiskakgpre pqvylppsreemtknqvsltclvkgfyps diavewesngqpennyktppvldsdsff lyskltvdksrwqqgnvfscsvmhealhh ytqkslsispggggsgggsgggsggggs ggggsgggsgdkthtcppcpapellggpsv flfppkpkdtlmisrtpevtcvvvdvshed pevkfnwyvdgvevhnaktkpceezygsty rcvsvltvlhqdwlngkeykckvsnkalpa piektiskakgqprepqvylppsreemtk

			nqvsltclvkgfypsdiavewesngqpenn ykttppvldsdgsfflyskltvdksrwqqg nvfscsvmhealhnhytqkslsispkg
565.	FL_6_CCxCD3 -scFc_delGK	Биспецифи ческая молекула HLE	qvtlkesgpvlvktqtltltctfsgfsls narmgvswirppgkclewlahifsndeks fstslknrltiskdtsksqvvtmtnmdpv dtatyycarmvgygsgwyayfdywgggtqv tvssggggsgggsggggsdiqmtqspssl sasvgdrvtitcrasqsissylnwyqqkpg kapklliyaasslqsgvpsrfgsgsgtdf tltisslqpedfatyyclqhnsypltfcg tkveiksggggsevqlvesggglvqpgsl klscaasgftfnkyamnvrqapgkglew arirskynnyatyadsvkdrftisrddsk ntaylqmnnlktedtavyycvrhgnfgnsy isywaywgggtlvtvssggggsgggsggg gsqvtvtqepsltvspggtvtltcgsstga vtsgnyrnwvqqkpgqaprgliggtkflap gtparfsgsllggkaaltlsgvqpedeae ycvlwysnrwvfgggtklvtlvgggdktht cppcpapellggpsvflfppkpkdtlmisr tpevtcvvvdvshedpevkfnwyvdgvevh naktkpceeegystyrcvsvltvlhqdwln gkeykckvsnkalpapiektiskakgpre pqvytlppsreemtknqvsltclvkgfyps diavewesngqpennykttppvldsdgsff lyskltvdksrwqqgnvfscsvmhealhn ytqkslsispggggsgggsgggsggggs ggggsgggsgdkthtcppcpapellggpsv flfppkpkdtlmisrtpevtcvvvdvshed pevkfnwyvdgvevhnaktkpceeegysty rcvsvltvlhqdwlngkeykckvsnkalpa piektiskakgqprepvytlppsreemtk nqvsltclvkgfypsdiavewesngqpenn ykttppvldsdgsfflyskltvdksrwqqg

	-scFc_delGK	чешская молекула HLE	narmgvswirqppgkclewlahifsndeks ytslknrltiskdssktqvvlmtnvdpv dtatyycarivgygtgwfgyfdywgqgtqv tvssggggsgggsgggsgdiqmtqspssl sasvgdrvtitcrasqdirtdlawyqqkpg kapkrliyaasslqsgvpsrfsrgsgstef tltisslqpedfatyyclqhnrypltfqcg tkvdiksggggsevqlvesggglvqpggs1 klscaasgftfnkyamnwwrqpapkglewv arirskynnyatyadsvkdrftisrddsk ntaylqmnnkktedavyycvrhgnfgnsy isywaywgqgtlvtvssggggsgggsggg gsqvtvtqeps1tvspggtvltlctgsstga vtsgnypnwvqqkpgqaprgliggtkflap gtparfsgsllggkaaltlsgvqpedeae ycvlwysnrwvfgggtkltvlgggdktht cppcpapellggpsvflfppkpkdtlmi rtpvctcvvvdvshedpevkfnwyvdgve vhnaktkpcceeqgstyrcvsvltvlhqd wlngkeykckvsnkalpapiektiskakg qprepqvytlppsreemtknqvsltclv kgfypsdiavewesngqpennyktpvld sdgsfflyskltdksrwqqgnvfscsvm healhhnydqkslslspggggsgggsg ggsgggsgggsgdkthtcppcpapellg gpsvflfppkpkdtlmi rtpvctcvvvdvshedpevkfnwyvdg vevhnaktkpcceeqgstyrcvsvltvl hqdwlngkeykckvsnkalpapiektisk akgqprepqvytlppsreemtknqvslt clvkgfypsdiavewesngqpennyktp vldsdgsfflyskltdksrwqqgnvfsc svmhealhhnydqkslslspgk
568.	FL_8xCD3- scFc_delGK	Биспецифи чешская молекула	qvtlkesgpalvkptetl1t1tctlsqfsln narmavswirqppgkclewlahifsndeks ytslksrltiskdtsksqvvlmtnmdpe

		HLE	<p>dtatyycarivgygtgwygffdywgqgilv tvssggggsgggsgggsggggsdiqmtqspssl sasvgdrvtitcrasqgirndlawyqqkpg kapkrliyaasslqsgvpsrfsqsgsgtef tltisslqpedfatyyclqhnsypltfggg tkveiksggggsevqlvesggglvqpggs1 klscaasgftfnkyamnwrqapgkglewv arirskynnyatyadsvkdrftisrddsk ntaylqmnlnktdtavyycvrhgnfgnsy isywaywqggtlvtvssggggsgggsggg gsqtvvtqeps1tvspggtvltcgsstga vtsgnypnwvqqkpgqaprgliggtkflap gtparfsgsllggkaaltlsgvqpedeae ycvlwysnrwvfgggtklvtlvgggdktht cppcpapellggpsvflfppkpkdtlmsr tpevtcvvvdvshedpevkfnwyvdgvevh naktkpceeegystyrcvsvltvlhqdwn gkeykckvsnkalpapiektiskakgqpre pqvytlppsreemtknqvsltlclvkgfyps diavewesngqpennyktppvldsdsff lyskltvdksrwqqgnvfscsvmhealnhh ytqkslslspggggsgggsgggsgggsg ggggsgggsgdkthtcppcpapellggpsv flfppkpkdtlmsrtpevtcvvvdvshed pevkfnwyvdgvevhnaktkpceeegysty rcvsvltvlhqdwnlkeykckvsnkalpa piektiskakgqprepqvytlppsreemtk nqvsltlclvkgfypsdiavewesngqpenn yktppvldsdsfflyskltvdksrwqqg nvfscsvmhealnhhtqkslslspgk</p>
569.	FL_8_CCxCD3 -scFc_delGK	Биспецифическая молекула HLE	<p>qvtlkesgpalkvptetltlctlsqfsln narmavswirppgkclewlahifsndeks ytslksr1tiskdtsksqv1tmtnmde dtatyycarivgygtgwygffdywgqgilv tvssggggsgggsgggsggggsdiqmtqspssl</p>

			<p> sasvgdrvtitcrasqgirndlawayqqkpg kapkrliyaasslqsgvpsrfsqsgsgtef tltisslqpedfatyyclqhnsypltfqcg tkveiksggggseqlvesggglvqpggsl klscaasgftfnkyamnvrqapggglewv arirskynnyatyadsvkdrftisrddsk ntaylqmnlnktdtavyycvrhgnfgnsy isywaywqqgtlvtvssggggsgggsggg gsqtvvtqepsltvspggtvtltcgsstga vtsgnypnwvqqkpgqaprgliggtkflap gtparfsgsllggkaaltlsgvqpedeae ycvlwysnrwvfgggtkltvlgggdktht cppcpapellggpsvflfppkpkdtlmisr tpevtcvvvdvshedpevkfnwyvdgvevh naktkpceeegystyrcvsvltvlhqdwln gkeyckvsnkalpapiektiskakgqpre pqvytlppsreemtknqvsltclvkgfyps diavewesngqpennykttppvldsdsff lyskltvdksrwqqgnvfscsvmhealhh ytqkslslspggggsgggsgggsgggsg ggggsgggsgdkthtcppcpapellggpsv flfppkpkdtlmisrtpevtcvvvdvshed pevkfnwyvdgvevhnaktkpceeegysty rcvsvltvlhqdwlngkeyckvsnkalpa piektiskakgqprepqvytlppsreemtk nqvsltclvkgfypsdiavewesngqpenn yktppvldsdsfflyskltvdksrwqqg nvfscsvmhealhhytqkslslspgk </p>
570.	FL_9xCD3- scFc_delGK	Биспецифи ческая молекула HLE	<p> qvtlkesgptlvkptetliltctfsgfslr yarmgvswirppgkalewlahifsndeks ystslksriltiskdtsksqvvltltnmdp dtatyfcarmpeyssgwsqafdiwgggtmv tvssggggsgggsgggsgggsgggsg sasvgdrvtitcrasqdirndlawayqqkpg kapkrliyaasslqsgvpsrfsqsgsgtef </p>

			<p>tltisslqpedfatyyclqhnsypltfggg tkleiksggggsevqlvesggglvqpggsl klscaasgftfnkyamnwvrqapgglewv arirskynnyatyadsvkdrftisrddsk ntaylqmnnlktedtavyycvrhgnfgnsy isywaywgggtlvtvssgggsgggsggg gsqtvtqepsltvspggtvtltcgsstga vtsgnypnwqqkpgqaprgliggtkflap gtparfsgsllggkaaltlsgvpedeae ycvlwysnrwvfgggtkltvlgggdktht cppcpapellggpsvflfppkpkdtlmsr tpevtcvvvdvshedpevkfnwyvdgvev naktkpceezygstyrcvsvltvlhqdwn gkeykckvsnkalpapiektiskakgpre pqvytlppsreemtknqvsltclvkgyfys diavewesngqpennyktpvldsdsff lyskltvdksrwqqgnvfscsvmhealhh ytqkslslspgggsgggsgggsgggsg gggsgggsgdkthtcppcpapellggpsv flfppkpkdtlmsrtpevtcvvvdvshed pevkfnwyvdgvevhnaktkpceezygsty rcvsvltvlhqdwnlgkeykckvsnkalpa piektiskakgprepqvytlppsreemtk nqvsltclvkgyfysdiavewesngqpenn ykttpvldsdsfflyskltvdksrwqqg nvfscsvmhealhhnytqkslslspgk</p>
571.	FL_9_CCxCD3 -scFc_delGK	Биспецифическая молекула HLE	<p>qvtlkesgptlvkptetliltctfsgfslr yarmgvswirppgkclewlahifsndeks ytslksriltiskdtsksqvvtltnmdp dtatyfcarmpeyssgwsqafdiwggmtv tvssgggsgggsgggsgggsgggsggg sasvgdrvtitcrasqdirndlawayqkpg kapkrliyaasslqsgvpsrfsqsgsgetf tltisslqpedfatyyclqhnsypltfggg tkleiksggggsevqlvesggglvqpggsl</p>

			<p>kl scaasgftfnkyamnvrqapgkglew arirskynnyatyadsvkdrftisrddsk ntaylqmnlnktdtavyycvrhgnfgnsy isywaywgqgtlvtvssggggsgggsggg gsqvtvtqepsltvspggtvltcgsstga vtsgnypnwvqqkpgqaprgligntkflap gtparfsgsllggkaaltlsgvqpedeae ycvlwysnrwvfgggtklvtlvgggdkht cppcpapellggpsvflfppkpkdtlmisr tpevtcvvvdvshedpevkfnwyvdgvevh naktkpceeegystyrcvsvltvlhqdwln gkeykckvsnkalpapiektiskakgpre pqvytlppsreemtknqvsltclvkgfyps diavewesngqpennykttppvldsdsff lyskltdksrwqqgnvfscsvmhealthnh ytqkslslspggggsgggsgggsgggsg ggggsgggsgdkhtcppcpapellggpsv flfppkpkdtlmisrtpevtcvvvdvshed pevkfnwyvdgvevhnaktkpceeegysty rcvsvltvlhqdwlngkeykckvsnkalpa piektiskakgprepqvytlppsreemtk nqvsltclvkgfypsdiavewesngqpenn yktppvldsdsfflyskltdksrwqqg nvfscsvmhealthnhytqkslslspgk</p>
572.	FL_10xCD3- scFc_delGK	Биспецифи ческая молекула HLE	<p>qvtlkesgpvlvkptetltlctvsgfsfr narmgvswirppgkalewlahifsndeks ytslksrlltiskdtsksqvvtltnmdpv dtatyfcarmpeyssgwsafdiwgqtmv tvssggggsgggsgggsgggsgggsgssl sasvgdrvtitcrasqdirddlgwyqqkpg napkrllygastlqsgvpsrfsrgsgstef tltisslqpedfatyyclqhnsypltfggg tkvdiksgggsevqlvesggglvqpggsl kl scaasgftfnkyamnvrqapgkglew arirskynnyatyadsvkdrftisrddsk</p>

			<p>ntaylqmnlnktdtavyycvrhgnfgnsy isywaywqggtlvtvssggggsgggsggg gsqtvtqepsltvspggtvtltcgsstga vtsgnypnwvqqkpgqaprgligntkflap gtparfsgslggkaaltlsgvqpedeae ycvlwysnrwvfgggtkltvlggggdkht cppcpapellggpsvflfppkpkdtlmisr tpevtcvvvdvshedpevkfnwyvdgvevh naktkpceeegystyrcvsvltvlhqdwln gkeykckvsnkalspapektiskakgqpre pqvvtlppsreemtknqvsltclvkgfyps diavewesngqpennykttppvldsdgsff lyskltvdksrwqqgnvfscsvmhealthnh ytqkslsispgggsgggsgggsgggsggg gggsgggsgdkhtcpcpapellggpsv flfppkpkdtlmisrtpevtcvvvdvshed pevknwyvdgvevhnaktkpceeegysty rcvsvltvlhqdwlngkeykckvsnkalspa pektiskakgqprepqvvtlppsreemtk nqvsltclvkgfypsdiavewesngqpenn ykttppvldsdgsfflyskltvdksrwqqg nvfscsvmhealthnhytqkslsispgk</p>
<p>573.</p>	<p>FL_10_CCxCD 3- scFc_delGK</p>	<p>Биспецифи ческая молекула HLE</p>	<p>qvtlkesgpvlvkptetltltctvsgfsfr narmgvswirppgkclewlahifsndeks ystslksrletiskdtsksqvvtltnmdp dtatyfcarmpeysgsgafdiwgggtmv tvssggggsgggsgggsgggsgggsggg sasvgdrvtitcrasqdirddlgwyqqkpg napkrliygastlqsgvpsrfsqsgsgtef tltisslqpedfatyyclqhnasypltfcg tkvdiksggggsevqlvesggglvqpggsl klscasgftfnkyamnvrqapggglewv arirskynnyatyadsvkdrftisrddsk ntaylqmnlnktdtavyycvrhgnfgnsy isywaywqggtlvtvssggggsgggsggg</p>

			<p>gsqtvvtqepsltvspggtvtltcgsstga vtsgnypnwvqqkpgqaprgliggtkflap gtparfsgsllggkaaltlsgvqpedeae ycvlwysnrwvfgggtkltvlggggdktht cppcpapellggpsvflfppkpkdtlmisr tpevtcvvvdvshedpevkfnwyvdgvevh naktkpceeeygstyrcvsvltvlhqdwl gkeykckvsnkalpapiektiskakgqpre pqvytlppsreemtknqvsltclvkgyfyps diavewesngqpennyktppvldsdsff lyskltvdksrwqqgnvfscsvmhealnh ytqkslslspggsgggsgggsgggsgggsg ggsgsgggsgdkthtcppcpapellggpsv flfppkpkdtlmisrtpevtcvvvdvshed pevkfnwyvdgvevhnaktkpceeeygsty rcvsvltvlhqdwlngkeykckvsnkalpa piektiskakgqprepvytlppsreemtk nqvsltclvkgyfypsdiavewesngqpenn yktppvldsdsfflyskltvdksrwqqg nfvscsvmhealnhytqkslslspgk</p>
574.	FL_11xCD3- scFc_delGK	Биспецифическая молекула HLE	<p>qvtlkesgpalvkptetltltctvsqfsfr narmgvswirppgkalewlahifsndeks ystslksrsltiskdtsksqvvltltnmdpv dtatyfcarmpeyssgwsqafdiwgqgtmv tvssggsgggsgggsgggsgggsgggsggg sasvgdrvtitcrasqdigydlgwyqqkpg kapkrliyaastlqsgvpsrfsqsgsgtef tliisslqpedfatyyclqhnsfpwtfggg tkveiksggggsevqlvesggglvqpggsl klscaasgftfnkyamnwrqapgglewv arirskynnyatyadsvkdrftisrddsk ntaylqmnlnktdtavyycvrhgnfgnsy isywaywgggtlvtvssggsgggsgggsggg gsqtvvtqepsltvspggtvtltcgsstga vtsgnypnwvqqkpgqaprgliggtkflap</p>

			<p>gtparfsgsllggkaaltlsgvqpedeae ycvlwysnrwvfgggtkltvlgggdktht cpcpapellggpsvflfppkpkdtlmisr tpevtcvvvdvshedpevkfnwyvdgvevh naktkpceeeggstyrcvsvltvlhqdwln gkeykckvsnkalpapiektiskakgpre pqvytlppsreemtknqvsltclvkgyfyps diavewesngqpennykttppvldsdsff lyskltvdksrwqgnvfscsvmhealthnh ytqkslslspggsgggsgggsgggsgggsg ggsgggsggdkthtcpcpapellggpsv flfppkpkdtlmisrtpevtcvvvdvshed pevkfnwyvdgvevhnaktkpceeegsty rcvsvltvlhqdwlngkeykckvsnkalpa piektiskakgprepqvytlppsreemtk nqvsltclvkgyfypsdiavewesngqpenn yktppvldsdsfflyskltvdksrwqgg nvfscsvmhealthnhytqkslslspgk</p>
575.	FL_11_CCxCD 3- scFc_delGK	Биспецифи ческая молекула HLE	<p>qvtlkesgpalvkptetltlctvsgfsfr narmgvswirppgkclewlahifsndeks ytslksrltiskdtsksqvvtltnmdpv dtatyfcarmpeyssgwsгаfdiwggmtv tvssggsgggsgggsgggsgggsgggsg sasvgdrvtitcrasqdigydlgwyqqkpg kapkrliyaastlqsgvpsrfsrgsgstef tliisslqpedfatyyclqhnsfpwtfggg tkveiksggggsevqlvesggglvqpggsl klscaasgftfnkyamnwrqapgglewv arirskynnyatyadsvkdrftisrddsk ntaylqmnnlktedtavyycvrhgnfgnsy isywaywgqgtlvtvssggsgggsgggsggg gsqtvvtqepsltvspggtvltcgsstga vtsgnypnwvqqkpgqaprgliggtkflap gtparfsgsllggkaaltlsgvqpedeae ycvlwysnrwvfgggtkltvlgggdktht</p>

			<p> c p p c p a p e l l g g p s v f l f p p k p k d t l m i s r t p e v t c v v v d v s h e d p e v k f n w y v d g v e v h n a k t k p c e e q y g s t y r c v s v l t v l h q d w l n g k e y k c k v s n k a l p a p i e k t i s k a k g q p r e p q v y t l p p s r e e m t k n q v s l t c l v k g f y p s d i a v e w e s n g q p e n n y k t t p p v l d s d g s f f l y s k l t v d k s r w q q g n v f s c s v m h e a l h n h y t q k s l s l s p g g g g s g g g g s g g g g s g g g g s g g g g s g g g s d k t h t c p p c p a p e l l g g p s v f l f p p k p k d t l m i s r t p e v t c v v v d v s h e d p e v k f n w y v d g v e v h n a k t k p c e e q y g s t y r c v s v l t v l h q d w l n g k e y k c k v s n k a l p a p i e k t i s k a k g q p r e p q v y t l p p s r e e m t k n q v s l t c l v k g f y p s d i a v e w e s n g q p e n n y k t t p p v l d s d g s f f l y s k l t v d k s r w q q g n v f s c s v m h e a l h n h y t q k s l s l s p g k </p>
576.	FL_12xCD3- scFc_delGK	Биспецифи- ческая молекула HLE	<p> q v t l k e s g p a l v k p t q t l t l t c t f s g f s l s n a r m g v s w i r q p p g k a l e w l a h i f s n d e k s y r t s l k s r l t i s k d t s k s q v l t m t n m d p v d t a t y y c a r i v g y g s g w y a y f d y w g q g t l v t v s s g g g s g g g s g g g s d i q m t q s p s s l s a s v g d r v t i t c r a s q g i r n d l g w y q q k p g k a p k r l i y a a s s l q s g v p s r f s g s g s g t e f t l t i s s l q p e d f a t y y c l q h n s y p l t f g g g t k v e i k s g g g s e v q l v e s g g g l v q p g g s l k l s c a a s g f t f n k y a m n w v r q a p g k l e w v a r i r s k y n n y a t y y a d s v k d r f t i s r d d s k n t a y l q m n n k t e d t a v y y c v r h g n f g n s y i s y w a y w g q g t l v t v s s g g g s g g g s g g g g s q t v v t q e p s l t v s p g g t v l t c g s s t g a v t s g n y p n w v q k p g q a p r g l i g g t k f l a p g t p a r f s g s l l g g k a a l t l s g v q p e d e a e y y c v l w y s n r w f g g g t k l t v l g g g d k t h t c p p c p a p e l l g g p s v f l f p p k p k d t l m i s r t p e v t c v v v d v s h e d p e v k f n w y v d g v e v h </p>

			<p>naktkpceeqqgstyrcvsvltvlhqdwln gkeykckvsnkalpapiektiskakgqpre pqvvtlppsreemtknqvsltclvkgfyps diavewesngqpennykttpvldsdsff lyskltvdksrwqqgnvfscsvmhealnhh ytqkslslspgggsgggsgggsgggsgggsg gggsgggsgdkthtcppcpapellggpsv flfppkpkdtlmisrtpvctvvdvshed pevkfnwyvdgvevhnaktkpceeqqgsty rcvsvltvlhqdwlngkeykckvsnkalpa piektiskakgqprepqvvtlppsreemtk nqvsltclvkgfypsdiavewesngqpenn yktttpvldsdsfflyskltvdksrwqqg nfvscsvmhealnhhtqkslslspgk</p>
577.	FL_12_CCxCD 3- scFc_delGK	Биспецифи ческая молекула HLE	<p>qvtlkesgpalvkptqtltlctfsgfsls narmgvswirppgkclewlahifsndeks yrtslksrsltiskdtsksqvltmtndpv dtatyycarivgygsgwyayfdywgqgtlv tvssgggsgggsgggsgggsgggsgggsg sasvgdrvtitcrasqgirndlgwyqqkpg kapkriyaasslqsgvpsrfsqsgsgtef tltisslqpedfatyyclqhnsypltfcg tkveiksggggsevqlvesggglvqpggsl klscaasgftfnkyamnwrqapgkglewv arirskynnyatyadsvkdrftisrddsk ntaylqmnnlktedtavyycvrhgnfgnsy isywaywgqgtlvtvssgggsgggsgggsg gsqvtvtqepsltvspggtvtltcgsstga vtsgnypnwvqqkpgqaprgliggtkflap gtparfsgsllggkaaltlsgvqpedeae ycvlwysnrwvfgggtklvtlgggdktht cppcpapellggpsvflfppkpkdtlmisr tpvctvvdvshedpevkfnwyvdgvev naktkpceeqqgstyrcvsvltvlhqdwln gkeykckvsnkalpapiektiskakgqpre</p>

		<p>pqvylppsreemtknqvsltclvkgyfyps diavewesngqpennykttppvldsdgsff lyskltvdksrwqqgnvfscsvmhealthnh ytqkslsislpgggsgggsgggsgggsgggsg gggsgggsgdkthtcppcpapellggpsv flfppkpkdtlmsrtpevtcvvvdvshed pevknwvyvdgvevhnaktkpceeegysty rcvsvltvlhqdwlngkeykckvsnkalpa piektiskakgqprepqvylppsreemtk nqvsltclvkgyfypsdiavewesngqpenn ykttppvldsdgsfflyskltvdksrwqqg nvfscsvmhealthnhytqkslsislpgk</p>
<p>578.</p>	<p>FL_13xCD3- scFc_delGK</p>	<p>Биспецифическая молекула HLE</p> <p>qvtlkesgpvlvkptqtltlctfsgfsls narmgvswirppgkalewlaliywddkr ypslksrltitkdtksnqvltmtndpv dtatyycarmvgygsgwyayfdywgqtlv tvssggsgggsgggsgggsgggsgggsg sasvgdrvtitcrasqgirndlgwyqqkpg kapkrliyaasslsgvpsrfsrgsgstef tltisslqpedfatyyclqhnsypltfggg tkveiksggggsevqlvesggglvqpggsl klscaasgftfnkyamnwrqapggglewv arirskynnyatyadsvkdrftisrddsk ntaylqmnlnktdtavyycvrhgnfgnsy isywaywgqgtlvtvssggsgggsgggsg gsqtvtqepsltvspggtvltlctgsstga vtsgnypnwvqqkpgqaprgliggtkflap gtparfsgsllggkaaltlsgvqpedeae ycvlwysnrwvfgggtkltvlgggdktht cppcpapellggpsvflfppkpkdtlmsr tpevtcvvvdvshedpevknwvyvdgvev naktkpceeegystyrcvsvltvlhqdwln gkeykckvsnkalpиеktiskakgqpre pqvylppsreemtknqvsltclvkgyfyps diavewesngqpennykttppvldsdgsff</p>

			<p>lyskltvdksrwqqgnvfscsvmhealnhh ytqkslslsppgggsgggsgggsgggsgggsg gggsgggsgdkthtcppcpapellggpsv flfppkpkdtlmsirtpevtcvvvdvshed pevkfnwyvdgvevhnaktkpceeeygsty rcvsvltvlhqdwlngkeyckvsnkalpa piektiskakggprepqvylppsreemtk nqvsltclvkgfypsdiavewesngqpenn ykttppvldsdgsfflyskltvdksrwqqg nvfscsvmhealnhhytqkslslspgk</p>
579.	FL_13_CCxCD 3- scFc_delGK	Биспецифи ческая молекула HLE	<p>qvtlkesgpvlvktqtltltctfsgfsls narmgvswirppgkclewlaliywddkr yspslksrltitkdtksnqvltmtnmdpv dtatyycarmvgygsgwyayfdywqggtlv tvssgggsgggsgggsgggsgdiqmtqspssl sasvgdrvtitcrasqgirndlgwyqqkpg kapkrliyaasslqsgvpsrfsqsgsgtef tltisslqpedfatyyclqhnsypltfqcg tkveiksggggsevqlvesggglvqpggsl klscaasgftfnkyamnwrqapgkglewv arirskynnyatyadsvkdrftisrddsk ntaylqmnnkctedavyycvrhgnfgnsy isywaywgqgtlvtvssgggsgggsgggsggg gsqtvvtqepsltvspggtvltlctgsstga vtsgnypnwvqqkpgqaprgliggtkflap gtparfsgsllggkaaltlsgvqpedeaey ycvlwysnrwvfgggtkltvlgggdktht cppcpapellggpsvflfppkpkdtlmsir tpevtcvvvdvshedpevkfnwyvdgvevh naktkpceeeygstyrcvsvltvlhqdwln gkeyckvsnkalpapiektiskakggpre pqvylppsreemtknqvsltclvkgfyps diavewesngqpennykttppvldsdgsff lyskltvdksrwqqgnvfscsvmhealnhh ytqkslslsppgggsgggsgggsgggsgggsg</p>

			<p>ggggsgggsgdkthtcppcpapellggpsv flfppkpkdtlmisrtpevtcvvvdvshed pevkfnwyvdgvevhnaktkpceeegysty rcvsvltvlhqdwlngkeykckvsnkalpa piektiskakgqprepqvylppsreemtk nqvsltclvkgfypsdiavewesngqpenn ykttppvldsdgsfflyskltvdksrwqqg nvfscsvmhealhhhtqkslslspgk</p>
580.	FL_14xCD3- scFc_delGK	Биспецифи- ческая молекула HLE	<p>Qvtlkesgpalvkptqtltlctfsgfsls narmgvswirppgkalewlahifsndeks ytslksrsltiskdtsksqvlmtmdmpe datyycarivgygtgwygffdywgqgilv tvssggggsgggsgggsgggsgggsggg sasvgdrvtitcrtsqgirndlgwyqqkpg kapkriyaasslqsgvpsrfsqsgsgtef tltisslqpedfatyyclqhnsypltfggg tkveiksggggsevqlvesggglvqpggs1 klscaasgftfnkyamnvrqapgglewv arirskynnyatyadsvkdrftisrddsk ntaylqmnnlktedtavyycvrhgnfgnsy isywaywqggtlvtvssggggsgggsggg gsqvtvtqepsltvspggtvtltcgsstga vtsgnypnwvqqkpgqaprgliggtkflap gtparfsgsllggkaaltlsgvqpedeaey ycvlwysnrwvfgggtklvtlvgggdktht cppcpapellggpsvflfppkpkdtlmisr tpevtcvvvdvshedpevkfnwyvdgvev naktkpceeegystyrcvsvltvlhqdwln gkeykckvsnkalpapiektiskakgqpre pqvylppsreemtknqvsltclvkgfyps diavewesngqpennykttppvldsdgsff lyskltvdksrwqqgnvfscsvmhealhh ytqkslslspggggsgggsgggsgggsg ggggsgggsgdkthtcppcpapellggpsv flfppkpkdtlmisrtpevtcvvvdvshed</p>

			<p>pevkfnwyvdgvevhnaktkpceeegysty rcvsvltvlhqdwlngkeykckvsnkalpa piektiskakgqpprepqvvtlppsreemtk nqvsltclvkgfypsdiavewesngqpenn ykttppvldsdgsfflyskltvdksrwqgg nvfscsvmhealhhytqkslsispkg</p>
581.	<p>FL_14_CCxCD 3- scFc_delGK</p>	<p>Биспецифи ческая молекула HLE</p>	<p>qvtlkesgpalvkptqtltlctfsgfsls narmgvswirppgkclewlahifsndeks ystslksrsltiskdtsksqvvtmtmdpe dtatyycarivgytgwygffdywgqgilv tvssggggsgggsgggsgggdiqmtqspssl sasvgdrvtitcrtsqgirndlgwyqqkpg kapkrliyaasslsgvpsrfsrgsgsgtef tltisslqpedfatyyclqhnsypltfcg tkveiksggggseqlvesggglvqpggsl klscaasgftfnkyamnwrqapgkglewv arirskynnyatyadsvkdrftisrddsk ntaylqmnlnktdtavyycvrhgnfgnsy isywaywqggtlvtvssggggsgggsggg gsqvtvtqepsltvspggtvtltcgsstga vtsgnypnwvqqkpgqaprgliggtkflap gtparfsgslggkaaltlsgvqpedeae ycvlwysnrwvfgggtkltvlgggdktht cppcpapellggpsvflfppkpkdtlmisr tpevtcvvvdvshedpevkfnwyvdgvev naktkpceeegystyrcvsvltvlhqdwl gkeykckvsnkalpapiektiskakgpre pqvvtlppsreemtknqvsltclvkgfyps diavewesngqpennykttppvldsdgsff lyskltvdksrwqggnvfscsvmhealhh ytqkslsispggggsgggsgggsgggsgg ggggsgggsgdkthtcppcpapellggpsv flfppkpkdtlmisrtpevtcvvvdvshed pevkfnwyvdgvevhnaktkpceeegysty rcvsvltvlhqdwlngkeykckvsnkalpa</p>

			<p>piektiskakgqprepqvvtlppsreemtk nqvsltclvkgfypsdiavewesngqpenn yktppvldsdsfflyskltvdksrwqgg nvfscsvmhealhhnytqkslsispkg</p>
582.	FL_15xCD3- scFc_delGK	Биспецифи- ческая молекула HLE	<p>qvqlvesgggvvqgrslrlscaasgftfs sygmhwrqapgkglewvavisyegsnefy aevkgrftisrdnskntlylqmnsiraed tavyycarggeitmvrvgigyyyygmdvwg qgttvtvssgggsgggsgggsgdiqmtq spsslsasvdrvtitcrasqsissylnwy qqkpgkapklliyaasslqsgvpsrfsqsg sgteftltisslqpedfatyyclqhnsypl tfgggtkveiksggggsevqlvesggglvq pggslklscaasgftfnkyamnwvrqapgk glewvarirskynnyatyadsvkdrftis rddskntaylqmnlktedtavyycvrhgn fgnsyisywaywgqgtlvtvssgggsggg gsgggsgtvtvqpslvtvspggtvtltcg sstgavtsgnypnwqqkpgqaprgliggt kflapgtparfsgsllggkaaltlsgvqpe deaeycwlwysnrwvfgggtkltvlgggg dkthtppcpapellggpsvflfppkpkdt lmisrtpevtcvvvdvshedpevkfnwyvd gvevhnaktkpceeqgstyrcvsvltvlh qdwlngkeykckvsnkalpapiektiskak gqprepqvvtlppsreemtknqvsltclvk gfypsdiavewesngqpennyktppvlds dgsfflyskltvdksrwqggnvfscsvmhe alhhnytqkslsispgggsgggsgggsg ggggsgggsgggsgdkthtppcpapell ggpsvflfppkpkdtlmisrtpevtcvvvd vshedpevkfnwyvdgvevhnaktkpceeq ygstyrcvsvltvlhqdwlngkeykckvsn kalpapiektiskakgqprepqvvtlpps reemtknqvsltclvkgfypsdiavewesng</p>

			qpennykttppvlds dgsfflyskltvdks rwqqgnvfscsvmhealhhnytqkslsisp gk
583.	FL_15_CCxCD 3- scFc_delGK	Биспецифи ческая молекула HLE	qvqlvesgggvvqpgrslrlscaasgftfs sygmhwrqapgkclewvavisyegsnefy aesvkgrftisrdnskntlylqmnsraed tavyycarggeitmvrvgivyyyygmdvwg qgttvtvssggggsgggsggggsdiqmtq spsslsasvgrvtitcrasqsissylnwy qqkpgkapklliyaasslqsgvpsrfsqsg sgteftltisslqpedfatyyclqhnsypl tfgcgkveiksggggsevqlvesggglvq pggslklscaasgftfnkyamnwvrqapgk glewvarirskynnyatyadsvkdrftis rddskntaylqmnlktdtavyycvrhgn fgnsyisywaywgqgtlvtvssggggsggg gsgggsgtvtvtepsltvspggtvtltcg sstgavtsgnypnwvqqkpgqaprgliggt kflapgtparfsgsllggkaaltlsgvqpe deaeycvlwysnrwvfgggtklvtlvgggg dkthtppcpapellggpsvflfppkpkdt lmisrtpevtcvvvdvshedpevkfnwyvd gvevhnaktkpceeqgstyrcvsvltvlh qdwlngkeykckvsnkalpapiektiskak gqprepvytlppsreemtknqvsltclvk gfypsdiavewesngqpennykttppvlds dgsfflyskltvdksrwqqgnvfscsvmhe alhhnytqkslsispggggsgggsggggs ggggsgggsgggsgdkthtppcpapell ggpsvflfppkpkdtlmisrtpevtcvvvd vshedpevkfnwyvdgvevhnaktkpceeq ygstyrcvsvltvlhqdwlngkeykckvsn kalpapiektiskakgqprepvytlppsr eemtknqvsltclvkgfypsdiavewesng qpennykttppvlds dgsfflyskltvdks

			rwqqgnvfscsvmhealthhnytqkslslsp gk
584.	CD70_1_CCxC D3-scFc	VH CDR1	syams
585.	CD70_1_CCxC D3-scFc	VH CDR2	visgsggrpnnyaesvkg
586.	CD70_1_CCxC D3-scFc	VH CDR3	vdysnylffdy
587.	CD70_1_CCxC D3-scFc	VL CDR1	ragqsvrssylg
588.	CD70_1_CCxC D3-scFc	VL CDR2	gassrat
589.	CD70_1_CCxC D3-scFc	VL CDR3	qygyssppt
590.	CD70_1_CCxC D3-scFc	VH	evqllesggglvqpggslrlscaasgftfs syamswvrqapgkclewsvvisgsggrpny aesvkgrftisrdnskntlylqmnsrlded tavyycakvdysnylffdywgqgtlvtvss
591.	CD70_1_CCxC D3-scFc	VL	eivltqspgtlslspgegatlsragqsvr ssylgwyqqkpgqaprlliygassratgip drfsgsgsgtdftltisrlepedfavyycq qygysspptfgcgtkleik
592.	CD70_1_CCxC D3-scFc	scFv	evqllesggglvqpggslrlscaasgftfs syamswvrqapgkclewsvvisgsggrpny aesvkgrftisrdnskntlylqmnsrlded tavyycakvdysnylffdywgqgtlvtvss ggggsgggsggggseivltqspgtlslsp gegatlsragqsvrssylgwyqqkpgqap rlliygassratgipdrfsgsgsgtdftlt isrlepedfavyycqygysspptfgcgtkl eik
593.	CD70_1_CCxC D3-scFc	биспецифи ческая молекула	evqllesggglvqpggslrlscaasgftfs syamswvrqapgkclewsvvisgsggrpny aesvkgrftisrdnskntlylqmnsrlded tavyycakvdysnylffdywgqgtlvtvss

			<p>ggggsgggsggggseivltqspgtlslsp gegatlscragqsvrssylgwyqqkpgqap rlliygassratgipdrfsgsgtdftlt isrlepedfavyyccqygyspptfgcgtkl eiksggggsevqlvesggglvqpggslkls caasgftfnkyamnvrqapgkglewvari rskynnyatyyadsvkdrftisrddsknta ylqmnlktdtavyycvrhgnfgnsyisy waywgqgtlvtvssggggsgggsggggsq tvvtqepsltvspggtvtltcgsstgavts gnypnwvqqkpgqaprgliggtkflapgtp arfsgslggkaaltlsgvqpedeaeyycv lwysnrwvfgggtklvtl</p>
594.	CD70_1_CCxС D3-scFc	биспецифи ческая HLE молекула	<p>evqllesggglvqpggslrlscaasgftfs syamswvrqapgkclewsvvisgsggrpny aevkgrftisrdnskntlylqmnlrded tavyycakvdysnylffdywgqgtlvtvss ggggsgggsggggseivltqspgtlslsp gegatlscragqsvrssylgwyqqkpgqap rlliygassratgipdrfsgsgtdftlt isrlepedfavyyccqygyspptfgcgtkl eiksggggsevqlvesggglvqpggslkls caasgftfnkyamnvrqapgkglewvari rskynnyatyyadsvkdrftisrddsknta ylqmnlktdtavyycvrhgnfgnsyisy waywgqgtlvtvssggggsgggsggggsq tvvtqepsltvspggtvtltcgsstgavts gnypnwvqqkpgqaprgliggtkflapgtp arfsgslggkaaltlsgvqpedeaeyycv lwysnrwvfgggtklvtlvgggdkthtcpp cpapellggsfvflfppkpkdtlmisrtpe vtcvvvdvshedpevkfnwyvdgvevhnak tkpceeqygstyrcvsvltvlhqdwlngke ykckvsnkalpapiektiskakgqprepqv ytlppsreemtknqvsltclvkgfypsdia</p>

			vewesngqpennykttppvldsdsfflyskltvdksrwqqgnvfscsvmhealthhnytqkslslspgKggggsgggsgggsgggsgggsgggsgdkthtcppcpapellggpsvflfppkpkdtlmisrtpevtcvvvdvshedpevkfnwyvdgvevhnaktkpcreeqgstyr cvs vltvlhqdwlngkeykckvsnkalpapiektiskakgpprepqvytlppsreemtknqvs l tclvkgfypsdiavewesngqpennykttppvldsdsfflyskltvdksrwqqgnvfscsvmhealthhnytqkslslspgk
595.	CD70_1xCD3-scFc	VH	evqllesggglvqpggslrlscaasgftfsyamswvrqapggkglewsvvisgsggrpnyaesvkgrftisrdnskntlylqmnsrldedtavyycakvdysnylffdywgqgtlvtvss
596.	CD70_1xCD3-scFc	VL	eivltqspgtls l spgegatls cragqs v r s s y l g w y q q k p g q a p r l l i y g a s s r a t g i p d r f s g s g s g t d f t l t i s r l e p e d f a v y y c q q y g y s p p t f g g g t k l e i k
597.	CD70_1xCD3-scFc	scFv	evqllesggglvqpggslrlscaasgftfsyamswvrqapggkglewsvvisgsggrpnyaesvkgrftisrdnskntlylqmnsrldedtavyycakvdysnylffdywgqgtlvtvssggggsgggsggggseivltqspgtls l s p g e g a t l s c r a g q s v r s s y l g w y q q k p g q a p r l l i y g a s s r a t g i p d r f s g s g s g t d f t l t i s r l e p e d f a v y y c q q y g y s p p t f g g g t k l e i k
598.	CD70_1xCD3-scFc	биспецифическая молекула	evqllesggglvqpggslrlscaasgftfsyamswvrqapggkglewsvvisgsggrpnyaesvkgrftisrdnskntlylqmnsrldedtavyycakvdysnylffdywgqgtlvtvssggggsgggsggggseivltqspgtls l s p g e g a t l s c r a g q s v r s s y l g w y q q k p g q a p r l l i y g a s s r a t g i p d r f s g s g s g t d f t l t

			<p>isrlepedfavyyccqygyssptfgggtkl eiksggggsevqlvesggglvqpggslkls caasgftfnkyamnvrqapgkglewvari rskynnyatyyadsvkdrftisrddsknta ylqmnlnktdtavyycvrhgnfgnsyisy waywgqgtlvtvssggggsgggsgggsgq tvvtqepsltvspggtvtltcgsstgavts gnypnwvqqkpgqaprgliggtkflapgtp arfgsllggkaaltlsgvqpedeaeeycv lwysnrwvfgggtkltl</p>
599.	CD70_1xCD3- scFc	биспецифи- ческая HLE молекула	<p>evqllesggglvqpggslrlscaasgftfs syamswvrqapgkglewsvvisgsggrpny aevkgrftisrdnskntlylqmnlrdded tavyycakvdysnylffdywgqgtlvtvss ggggsgggsggggseivltqspgtlslsp gegatlscragqsvrssylgwyqqkpgqap rlliygassratgipdrfsgsgsgtdftlt isrlepedfavyyccqygyssptfgggtkl eiksggggsevqlvesggglvqpggslkls caasgftfnkyamnvrqapgkglewvari rskynnyatyyadsvkdrftisrddsknta ylqmnlnktdtavyycvrhgnfgnsyisy waywgqgtlvtvssggggsgggsgggsgq tvvtqepsltvspggtvtltcgsstgavts gnypnwvqqkpgqaprgliggtkflapgtp arfgsllggkaaltlsgvqpedeaeeycv lwysnrwvfgggtkltlvgggdkthtcpp cpapellggpsvflfppkpkdtlmsrtpe vtcvvvdvshedpevkfnwyvdgvevhnak tkpceezygstyrcvsvltvlhqdwlngke ykckvsnkalpapiektiskakgqprepqv ytlppsreemtknqvsltclvkgfypsdia vewesngqpennykttpvldsdsfflys kltvdksrwqqgnvfscsvmhealhhytq kslslspgKggggsgggsgggsgggsg</p>

			ggsggggskthtccppcapellggpsvf lfppkpkdtlmisrtpevtcvvvdvshedp evkfnwyvdgvevhnaktkpcceeqgstyr cvsvltvlhqdwlngkeykckvsnkalpap iektiskakggpprepqvytlppsreemtkn qvsltclvkgfypsdiavewesngqpenny kttpvldsdsfflyskltvdksrwqqgn vfscsvmhealhnhytqkslslspgk
600.	CD70_2_CCxC D3-scFc	VH CDR1	iyams
601.	CD70_2_CCxC D3-scFc	VH CDR2	aisgsggstfyaesvkg
602.	CD70_2_CCxC D3-scFc	VH CDR3	hdysnypyfdy
603.	CD70_2_CCxC D3-scFc	VL CDR1	rasqsvrssyla
604.	CD70_2_CCxC D3-scFc	VL CDR2	gassrat
605.	CD70_2_CCxC D3-scFc	VL CDR3	qqygdlpft
606.	CD70_2_CCxC D3-scFc	VH	evqllesggglvqpggsklkscaasgftfs iyamswvrqapgkclewvsaisgsggstfy aesvkgrftisrdnskntlylqmnsdraed tavyycahdysnypyfdywgqgtltvsvs
607.	CD70_2_CCxC D3-scFc	VL	eivltqspgtlslspgeratlscrasqsvr ssylawyqqkpgqaprlliygassratgip drfsgsgsgtdftltisrlepedfavyycq qygdlpftfgcgtkleik
608.	CD70_2_CCxC D3-scFc	scFv	evqllesggglvqpggsklkscaasgftfs iyamswvrqapgkclewvsaisgsggstfy aesvkgrftisrdnskntlylqmnsdraed tavyycahdysnypyfdywgqgtltvsvs ggsgsgsgsgggseivltqspgtlslsp geratlscrasqsvrssylawyqqkpgqap rlliygassratgipdrfsgsgsgtdftlt

			isrlepedfavyyccqygdldpftfgcgtkl eik
609.	CD70_2_CCxС D3-scFc	биспецифи ческая молекула	evqllesggglvqpggslklscaasgftfs iyamswvrqapgkclewvsaisgsggstfy aesvkgrftisrdnskntlylqmnsdraed tavyycahdysnpyfydywgqgtlvtvss ggggsgggsggggseivltqspgtlslsp geratlsctasqsvrsslawyqqkpgqap rlliygassratgipdrfsgsgsgtdftlt isrlepedfavyyccqygdldpftfgcgtkl eiksggggsevqlvesggglvqpggslkls caasgftfnkyamnwwrqapgglewvari rskynnyatyyadsvkdrftisrddsknta ylqmnlktdtavyycvrhgnfgnsyisy waywgqgtlvtvssggggsgggsgggsgq tvvtqepsltvspggtvtltcgsstgavts gnypnwqqkpgqaprgliggtkflapgtp arfgsllggkaaltlsgvqpedeaeeycv lwysnrwvfgggtklvtl
610.	CD70_2_CCxС D3-scFc	биспецифи ческая HLE молекула	evqllesggglvqpggslklscaasgftfs iyamswvrqapgkclewvsaisgsggstfy aesvkgrftisrdnskntlylqmnsdraed tavyycahdysnpyfydywgqgtlvtvss ggggsgggsggggseivltqspgtlslsp geratlsctasqsvrsslawyqqkpgqap rlliygassratgipdrfsgsgsgtdftlt isrlepedfavyyccqygdldpftfgcgtkl eiksggggsevqlvesggglvqpggslkls caasgftfnkyamnwwrqapgglewvari rskynnyatyyadsvkdrftisrddsknta ylqmnlktdtavyycvrhgnfgnsyisy waywgqgtlvtvssggggsgggsgggsgq tvvtqepsltvspggtvtltcgsstgavts gnypnwqqkpgqaprgliggtkflapgtp arfgsllggkaaltlsgvqpedeaeeycv

			lwysnrwvfgggtklvtlvgggdkthtcpp cpapellggpsvflfppkpkdtlmisrtpe vtcvvvdvshedpevkfnwyvdgvevhnak tkpceeeygstyrcvsvltvlhqdwlngke ykckvsnkalpapiektiskakgqprepqv ytlppsreemtknqvsltclvkgfypsdi vewesngqpennykttppvldsdsfflys kltvdksrwqqgnvfscsvmhealhnhytq kslsispgKgggsgggsgggsgggsg ggsgggsgsdktthtcppcpapellggpsvf lfppkpkdtlmisrtpevtcvvvdvshedp evkfnwyvdgvevhnaktkpceeeygstyr cvsvltvlhqdwlngkeykckvsnkalpap iektiskakgqprepqvtylppsreemtkn qvsltclvkgfypsdiavewesngqpenny kttppvldsdsfflyskltvdksrwqqgn vfscsvmhealhnhytqkslsispgk
611.	CD70_2xCD3- scFc	VH	evqllesggglvqpggslklscasgftfs iyamswvrqapggglewvsaisgsggstfy aevkgrftisrdnskntlylqmnsraed tavyycahdysnypyfdywgqgtlvtvss
612.	CD70_2xCD3- scFc	VL	eivltqspgtlsispggeratlsccrasqsvr ssylawyqqkpgqaprlliygassratgip drfsgsgsgtdftltisrlepedfavyycq qygdlpftfgpgtkleik
613.	CD70_2xCD3- scFc	scFv	evqllesggglvqpggslklscasgftfs iyamswvrqapggglewvsaisgsggstfy aevkgrftisrdnskntlylqmnsraed tavyycahdysnypyfdywgqgtlvtvss gggsgggsggggseivltqspgtlsispg geratlsccrasqsvrssylawyqqkpgqap rlliygassratgipdrfsgsgsgtdftlt isrlepedfavyycqygdldpftfgpgtkl eik
614.	CD70_2xCD3-	биспецифи	evqllesggglvqpggslklscasgftfs

	scFc	чешская молекула	iyamswvrqapggklewvsaisgsggstfy aesvkgrftisrdnskntlylqmnsbraed tavyycahdysnpyfydywgqgtlvtvss ggggsgggsggggseivltqspgtlslsp geratlsctasqsvrsslawyqqkpgqap rlliygassratgipdrfsgsgsgtdftlt isrlepedfavyyccqygdlpftfgpgtkl eiksggggsevqlvesggglvqpggslkls caasgftfnkyamnvrqapggklewvari rskynnyatyyadsvkdrftisrddsknta ylqmnlktdtavyycvrhgnfgnsyisy waywgqgtlvtvssggggsgggsggggsq tvvtqepsltvspggtvtltcgsstgavts gnypnwvqqkpgqaprgliggtkflapgtp arfgsllggkaaltlsgvqpedeaeyycv lwysnrwvfgggtkltvl
615.	CD70_2xCD3- scFc	биспецифи чешская HLE молекула	evqllesggglvqpggslklscaasgftfs iyamswvrqapggklewvsaisgsggstfy aesvkgrftisrdnskntlylqmnsbraed tavyycahdysnpyfydywgqgtlvtvss ggggsgggsggggseivltqspgtlslsp geratlsctasqsvrsslawyqqkpgqap rlliygassratgipdrfsgsgsgtdftlt isrlepedfavyyccqygdlpftfgpgtkl eiksggggsevqlvesggglvqpggslkls caasgftfnkyamnvrqapggklewvari rskynnyatyyadsvkdrftisrddsknta ylqmnlktdtavyycvrhgnfgnsyisy waywgqgtlvtvssggggsgggsggggsq tvvtqepsltvspggtvtltcgsstgavts gnypnwvqqkpgqaprgliggtkflapgtp arfgsllggkaaltlsgvqpedeaeyycv lwysnrwvfgggtkltvlgggdkthtcpp cpapellggpsvflfppkpkdtlmsrtpe vtcvvvdvshedpevkfnwyvdgvevhnak

			tkpceezygstyrcvsvltvlhqdwlngke ykckvsnkalpapiektiskakgqprepqv ytlppsreemtknqvsltclvkgfypsdi vewesngqpennykttppvldsdsfflys kltvdksrwqggnvfscsvmhealhnhytq kslsispgKggggsgggsgggsgggsg ggsgggsgskthtppcpapellggpsvf lfppkpkdtlmisrtpevtcvvvdvshdep evkfnwyvdgvevhnaktkpceezygstyr cvsvltvlhqdwlngkeykckvsnkalpap iektiskakgqprepqvtytlppsreemtkn qvsltclvkgfypsdiavewesngqpenny kttppvldsdsfflyskltvdksrwqggn vfscsvmhealhnhytqkslsispgk
616.	CD70_3_CCxC D3-scFc	VH CDR1	syams
617.	CD70_3_CCxC D3-scFc	VH CDR2	aigsgggrtfaesveg
618.	CD70_3_CCxC D3-scFc	VH CDR3	hdysnypyfdy
619.	CD70_3_CCxC D3-scFc	VL CDR1	rasqsvrssyla
620.	CD70_3_CCxC D3-scFc	VL CDR2	gassrat
621.	CD70_3_CCxC D3-scFc	VL CDR3	qqygsspft
622.	CD70_3_CCxC D3-scFc	VH	evqllesggmvqpggslrlscaasgftfs syamswvrqapgkclewvsaisgsggrtfa aesvegrftisrdnskntflqmnsraed tavyycahhdysnypyfdywgqgtlvtvss
623.	CD70_3_CCxC D3-scFc	VL	eivltqspgtlslspgeratlscrasqsvr ssylawyqqkpgqaprlliygassratgip drfsgsgsgtdftltisrlepedfavyycq qygsspftfgcgtkleik
624.	CD70_3_CCxC	scFv	evqllesggmvqpggslrlscaasgftfs

	D3-scFc		<p>syamswvrqapgkclewvsaisgsggrtfy aesvegrftisrdnskntlflqmnsraed tavyycahdysnypyfdywgqgltvtvss ggggsgggsggggseivltqspgtlslsp geratlscrasqsvrsslawyqqkpgqap rlliygassratgipdrfsgsgsgtdftlt isrlepedfavyyccqygsspftfgcgtkl eik</p>
625.	CD70_3_CCxC D3-scFc	биспецифическая молекула	<p>evqllesgggmvpqgslrlscaasgftfs syamswvrqapgkclewvsaisgsggrtfy aesvegrftisrdnskntlflqmnsraed tavyycahdysnypyfdywgqgltvtvss ggggsgggsggggseivltqspgtlslsp geratlscrasqsvrsslawyqqkpgqap rlliygassratgipdrfsgsgsgtdftlt isrlepedfavyyccqygsspftfgcgtkl eiksggggsevqlvesggglvqpggslkls caasgftfnkyamnvrqapgkglewvari rskynnyatyyadsvkdrftisrddsknta ylqmnkktedtavyycvrhgnfgnsyisy waywgqgltvtvssggggsgggsgggsgq tvvtqepsltvspggtvtltcgsstgavts gnypnwqqkpgqaprgliggtkflapgtp arfgsllggkaaltlsgvqpedeaeyycv lwysnrwvfgggtklvtl</p>
626.	CD70_3_CCxC D3-scFc	биспецифическая HLE молекула	<p>evqllesgggmvpqgslrlscaasgftfs syamswvrqapgkclewvsaisgsggrtfy aesvegrftisrdnskntlflqmnsraed tavyycahdysnypyfdywgqgltvtvss ggggsgggsggggseivltqspgtlslsp geratlscrasqsvrsslawyqqkpgqap rlliygassratgipdrfsgsgsgtdftlt isrlepedfavyyccqygsspftfgcgtkl eiksggggsevqlvesggglvqpggslkls caasgftfnkyamnvrqapgkglewvari</p>

			<p>rskynnyatyyadsvkdrftisrddsknta ylqmnlnktdtavyycvrhgnfgnsyisy waywgqgtlvtvssggggsgggsgggsgq tvvtqepsltvspggtvtltcgsstgavts gnypnwvqqkpgqaprgliggtkflapgtp arfgsllggkaaltlsgvqpedeaeyycv lwysnrwvfgggtklvtlvgggdkthtcpp cpapellggpsvflfppkpkdtlmisrtp vtcvvdvshedpevkfnwyvdgvevhnak tkpceeegystyrcvsvltvlhqdwlngke ykckvsnkalpapiektiskakgqprepqv ytlppsreemtknqvsltclvkgfypsdi vewesngqpennykttpvldsdsfflys kltvdksrwqggnvfscsvmhealhnhytq kslsispgKggggsgggsgggsgggsg ggsgggsgskthtcppcpapellggpsvf lfppkpkdtlmisrtpvvtcvvdvshedp evkfnwyvdgvevhnaktkpceeegysty cvsvltvlhqdwlngkeykckvsnkalpap iektiskakgqprepqvtytlppsreemtkn qvsltclvkgfypsdiavewesngqpenny kttpvldsdsfflyskltvdksrwqgg vfscsvmhealhnhytqkslsispgk</p>
627.	CD70_3xCD3- scFc	VH	<p>evqllesgggmvpqpgslrlscaasgftfs syamswvrqapgkglewvsaisgsggrtfy aesvegrftisrdnskntlflqmnsraed tavyycahdysnyfydywgqgtlvtvss</p>
628.	CD70_3xCD3- scFc	VL	<p>eivltqspgtlslspgeratlscrasqsvr ssylawyqqkpgqaprlliygassratgip drfsgsgsgtdftltisrlepedfavyycq qygsspftfgpgtkleik</p>
629.	CD70_3xCD3- scFc	scFv	<p>evqllesgggmvpqpgslrlscaasgftfs syamswvrqapgkglewvsaisgsggrtfy aesvegrftisrdnskntlflqmnsraed tavyycahdysnyfydywgqgtlvtvss</p>

			<p>ggggsgggsggggseivltqspgtlslsp geratlscrasqsvrsslawyqqkpgqap rlliygassratgipdrfsgsgsgtdftlt isrlepedfavyyccqygsspftfgpgtkl eik</p>
630.	CD70_3xCD3- scFc	биспецифи- ческая молекула	<p>evqllesgggmvpqggsrlrlscaasgftfs syamswvrqapgkglewvsaisgsggrtfy aesvegrftisrdnskntlflqmnsraed tavyycahhdysnpyfdywgqgtlvtvss ggggsgggsggggseivltqspgtlslsp geratlscrasqsvrsslawyqqkpgqap rlliygassratgipdrfsgsgsgtdftlt isrlepedfavyyccqygsspftfgpgtkl eiksggggsevqlvesggglvqpggslkls caasgftfnkyamnvrqapgkglewvari rskynnyatyyadsvkdrftisrddsknta ylqmnlktdtavyycvrhgnfgnsyisy waywgqgtlvtvssggggsgggsgggsgq tvvtqepsltvspggtvtltcgsstgavts gnypnwvqqkpgqaprgliggtkflapgtp arfsgslggkaaltlsgvqpedeaeeycv lwysnrwvfgggtklvtl</p>
631.	CD70_3xCD3- scFc	биспецифи- ческая HLE молекула	<p>evqllesgggmvpqggsrlrlscaasgftfs syamswvrqapgkglewvsaisgsggrtfy aesvegrftisrdnskntlflqmnsraed tavyycahhdysnpyfdywgqgtlvtvss ggggsgggsggggseivltqspgtlslsp geratlscrasqsvrsslawyqqkpgqap rlliygassratgipdrfsgsgsgtdftlt isrlepedfavyyccqygsspftfgpgtkl eiksggggsevqlvesggglvqpggslkls caasgftfnkyamnvrqapgkglewvari rskynnyatyyadsvkdrftisrddsknta ylqmnlktdtavyycvrhgnfgnsyisy waywgqgtlvtvssggggsgggsgggsgq</p>

			<p> tvvtqepsltvspggtvtltcgsstgavts gnypnwvqqkpgqaprgliggtkflapgtp arfsgsllggkaaltlsgvqpedeaeycv lwysnrwvfgggtkltvlgggdkthtcpp cpapellggpsvflfppkpkdtlmisrtpe vtcvvdvshedpevkfnwyvdgvevhnak tkpceeegystyrcvsvltvlhqdwlngke ykckvsnkalpapiektiskakgpprepqv ytlppsreemtknqvsltclvkgfypsdi vewesngqpennykttppvldsdsfflys kltvdksrwqqgnvfscsvmhealhnhytq ksllslspgKggggsgggsgggsgggsg gggsgggsgdkthtcppcpapellggpsvf lfppkpkdtlmisrtpevtcvvdvshedp evkfnwyvdgvevhnaktkpceeegystyr cvsvltvlhqdwlngkeykckvsnkalpap iektiskakgpprepqvtytlppsreemtkn qvsltclvkgfypsdiavewesngqpenny kttppvldsdsfflyskltvdksrwqqgn vfscsvmhealhnhytqksllslspgk </p>
632.	CD70_4_CCxC D3-scFc	VH CDR1	syams
633.	CD70_4_CCxC D3-scFc	VH CDR2	aissgsggrtfyaesveg
634.	CD70_4_CCxC D3-scFc	VH CDR3	hdysnypyfdy
635.	CD70_4_CCxC D3-scFc	VL CDR1	rasqsirssyla
636.	CD70_4_CCxC D3-scFc	VL CDR2	gassrat
637.	CD70_4_CCxC D3-scFc	VL CDR3	qqygdlpft
638.	CD70_4_CCxC D3-scFc	VH	<p> evqllesgggmvpqpgslrlscaasgftfs syamswvrqapgkclewvsaisgsggrtfy aesvegrftisrdnskntlylqmnsraed </p>

			tavyycakhdysnypyfdywgqgtlvtvss
639.	CD70_4_CCxC D3-scFc	VL	eivltqspgtlslspgeratlscrasqsir ssylawyqqkpgqaprlliygassratgip drfsgsgsgtdftltisrlepedfavyycq qygdlpftfgcgtkleik
640.	CD70_4_CCxC D3-scFc	scFv	evqllesgggmvpqpgslrlscaasgftfs syamswvrqapgkclewvsaisgsggrtfy aesvegrftisrdnskntlylqmnsraed tavyycakhdysnypyfdywgqgtlvtvss ggggsgggsggggseivltqspgtlslsp geratlscrasqsirssylawyqqkpgqap rlliygassratgipdrfsgsgsgtdftlt isrlepedfavyycqygdldpftfgcgtkl eik
641.	CD70_4_CCxC D3-scFc	биспецифи ческая молекула	evqllesgggmvpqpgslrlscaasgftfs syamswvrqapgkclewvsaisgsggrtfy aesvegrftisrdnskntlylqmnsraed tavyycakhdysnypyfdywgqgtlvtvss ggggsgggsggggseivltqspgtlslsp geratlscrasqsirssylawyqqkpgqap rlliygassratgipdrfsgsgsgtdftlt isrlepedfavyycqygdldpftfgcgtkl eiksggggsevqlvesggglvqpggslkls caasgftfnkyamnvrqapgkglewvari rskynnyatyadsvkdrftisrddsknta ylqmnlktdtavyycvrhgnfgnsyisy waywgqgtlvtvssggggsgggsgggsgq tvvtqepsltvspggtvtltcgsstgavts gnypnwvqqkpgqaprgliggtkflapgtp arfgsllggkaaltlsgvqpedeaeeycv lwysnrwvfgggtkltvl
642.	CD70_4_CCxC D3-scFc	биспецифи ческая HLE молекула	evqllesgggmvpqpgslrlscaasgftfs syamswvrqapgkclewvsaisgsggrtfy aesvegrftisrdnskntlylqmnsraed tavyycakhdysnypyfdywgqgtlvtvss

			<p>ggggsgggsggggseivltqspgtlslsp geratlscrasqsirssylawyqqkpgqap rlliygassratgipdrfsgsgsgtdftlt isrlepedfavyyccqygdlpftfgcgtkl eiksggggsevqlvesggglvqpggslkls caasgftfnkyamnvrqapkgglewvari rskynnyatyyadsvkdrftisrddsknta ylqmnlktdtavyycvrhgnfgnsyisy waywgqgtlvtvssggggsgggsgggsgq tvvtqepsltvspggtvtltcgsstgavts gnypnwvqqkpgqaprgliggtkflapgtp arfgsllggkaaltlsgvqpedeaeyycv lwysnrwvfgggtklvtlvgggdkthtcpp cpapellgppsflfpkpkdtlmisrtpe vtcvvdvshedpevkfnwyvdgvevhnak tkpceezygstyrsvltvlhqdwlngke ykckvsnkalspapektiskakgqprepqv ytlppsreemtknqvsltclvkgfydia vewesngqpennykttpvldsdsfflys kltvdksrwqgnvfscvmhealhnhytq kslslspgKggggsgggsgggsgggsg ggsgggsgdkthtcppcpapellgppsfl fpkpkdtlmisrtpevtcvvdvshedp evkfnwyvdgvevhnaktkpeezygstyr cvsvltvlhqdwlngkeykckvsnkalsp apektiskakgqprepqvylppsreemtkn qvsltclvkgfydiaavewesngqpenny kttpvldsdsfflyskltvdksrwqgn vfscvmhealhnhytqkslslspgk</p>
643.	CD70_4xCD3- scFc	VH	<p>Evqllesgggmvgpggslrlscaasgftfs syamswvrqapkgglewvsaisgsggrtgy aesvegrftisrdnskntlylqmnsraed tavyycahdysnypyfdywgqgtlvtvss</p>
644.	CD70_4xCD3- scFc	VL	<p>Eivltqspgtlslspgeratlscrasqsir ssylawyqqkpgqaprlliygassratgip</p>

			drfsgsgsgtdftltisrlepedfavyyccq qygdlpftfgpgtkleik
645.	CD70_4xCD3- scFc	scFv	Evqllesgggmvpqpgslrlscaasgftfs syamswvrqapgkglewvsaisgsggrtfy aesvegrftisrdnskntlylqmnsraed tavyycahdysnypfydywgqgtlvtvss gggsgggsggggseivltqspgtlslsp geratlscrasqsirssylawyqqkpgqap rlliygassratgipdrfsgsgsgtdftlt isrlepedfavyyccqygdlpftfgpgtkl eik
646.	CD70_4xCD3- scFc	биспецифи ческая молекула	evqllesgggmvpqpgslrlscaasgftfs syamswvrqapgkglewvsaisgsggrtfy aesvegrftisrdnskntlylqmnsraed tavyycahdysnypfydywgqgtlvtvss gggsgggsggggseivltqspgtlslsp geratlscrasqsirssylawyqqkpgqap rlliygassratgipdrfsgsgsgtdftlt isrlepedfavyyccqygdlpftfgpgtkl eiksggggsevqlvesggglvqpggslkls caasgftfnkyamnvrqapgkglewvari rskynnyatyadsvkdrftisrddsnta ylqmnlktdtavyycvrhgnfgnsyisy waywgqgtlvtvssgggsgggsgggsgq tvvtqepsltvspggtvtltcgsstgavts gnypnwvqqkpgqaprgliggtkflapgtp arfgslggkaaltlsgvqpedeaeeycv lwysnrwvfgggtkltvl
647.	CD70_4xCD3- scFc	биспецифи ческая HLE молекула	evqllesgggmvpqpgslrlscaasgftfs syamswvrqapgkglewvsaisgsggrtfy aesvegrftisrdnskntlylqmnsraed tavyycahdysnypfydywgqgtlvtvss gggsgggsggggseivltqspgtlslsp geratlscrasqsirssylawyqqkpgqap rlliygassratgipdrfsgsgsgtdftlt

			isrlepedfavyyccqygdlpftfgpgtkl eiksggggsevqlvesggglvqpggslkls caasgftfnkyamnvrqapgkglewvari rskynnyatyyadsvkdrftisrddsknta ylgmnlktdtavyycvrhgnfgnsyisy waywgqgtlvtvssggggsgggsgggsgq tvvtqepsltvspggtvtltcgsstgavts gnypnwvqqkpgqaprgliggtkflapgtp arfsgslggkaaltlsgvqpedeaeycv lwysnrwvfgggtklvtlvgggdkthtcpp cpapellggpsvflfppkpkdtlmisrtpe vtcvvdvshedpevkfnwyvdgvevhnak tkpceeegystyrcvsvltvlhqdwlngke ykckvsnkalpapiektiskakgqprepqv ytlppsreemtknqvsltclvkgfypsdi vewesngqpennykttppvldsdsffly kltvdksrwqqgnvfscsvmhealhnhytq kslslspgKggggsgggsgggsgggsgg gggsgggsgdkthtcppcpapellggpsv lfppkpkdtlmisrtpevtcvvdvshedp evkfnwyvdgvevhnaktkpeeegysty cvsvltvlhqdwlngkeykckvsnkalpap iektiskakgqprepqvtytlppsreemtkn qvsltclvkgfypsdiavewesngqpenny kttppvldsdsfflyskltvdksrwqqgn vfscsvmhealhnhytqkslslspgk
648.	CD70_5_CCxC D3-scFc	VH CDR1	syams
649.	CD70_5_CCxC D3-scFc	VH CDR2	Aisgsggrthyaesvkg
650.	CD70_5_CCxC D3-scFc	VH CDR3	hdysnypyfdy
651.	CD70_5_CCxC D3-scFc	VL CDR1	Rasqsvrssyla
652.	CD70_5_CCxC	VL CDR2	gassrat

	D3-scFc		
653.	CD70_5_CCxC D3-scFc	VL CDR3	Qqygsspft
654.	CD70_5_CCxC D3-scFc	VH	Evqllesggglvqsggslrlscaasgftfs syamswvrqapgkclewvsaisgsggrthy aesvkgrftisrdnskntlylqmnsraed tavyycahdysnpyfydywgqgtlvtvss
655.	CD70_5_CCxC D3-scFc	VL	Eivltqspgtlslspgeratlsctasqsvr ssylawyqqkpgqaprlliygassratgip drfsgsgsgtdftltisrlepedfavyycq qygsspftfgcgtkleik
656.	CD70_5_CCxC D3-scFc	scFv	Evqllesggglvqsggslrlscaasgftfs syamswvrqapgkclewvsaisgsggrthy aesvkgrftisrdnskntlylqmnsraed tavyycahdysnpyfydywgqgtlvtvss ggggsgggsggggseivltqspgtlslsp geratlsctasqsvrssylawyqqkpgqap rlliygassratgipdrfsgsgsgtdftlt isrlepedfavyycqygsspftfgcgtkl eik
657.	CD70_5_CCxC D3-scFc	биспецифи ческая молекула	evqllesggglvqsggslrlscaasgftfs syamswvrqapgkclewvsaisgsggrthy aesvkgrftisrdnskntlylqmnsraed tavyycahdysnpyfydywgqgtlvtvss ggggsgggsggggseivltqspgtlslsp geratlsctasqsvrssylawyqqkpgqap rlliygassratgipdrfsgsgsgtdftlt isrlepedfavyycqygsspftfgcgtkl eiksggggsevqlvesggglvqpggslkls caasgftfnkyamnvrqapgkglewvari rskynnyatyyadsvkdrftisrddsknta ylqmnlktdtavyycvrhgnfgnsyisy waywgqgtlvtvssggggsgggsgggsgq tvvtqepsltvspggtvtltcgstgavts gnypnwvqqkpgqaprgliggtkflapgtp

			arfgslggkaaltlsgvqpedeaeeycv lwysnrwvfgggtklvtl
658.	CD70_5_CCxC D3-scFc	биспецифическая HLE молекула	evqllesggglvqsggsrlscaasgftfs syamswvrqapgkclewvsaisgsggrthy aesvkgrftisrdnskntlylqmnsdraed tavyycahdysnpyfydywgqgtlvtvss ggggsgggsggggseivltqspgtlslsp geratlscrasqsvrsslawyqqkpgqap rlliygassratgipdrfsgsgsgtdftlt isrlepedfavyyccqygsspftfgcgtkl eiksggggsevqlvesggglvqpggslkls caasgftfnkyamnvrqapkglewvari rskynnyatyyadsvkdrftisrddsknta ylqmnlktdtavyycvrhgnfgnsyisy waywgqgtlvtvssggggsgggsgggsgq tvvtqepsltvspggtvtlvtcgsstgavts gnypnwvqqkpgqaprgliggtkflapgtp arfgslggkaaltlsgvqpedeaeeycv lwysnrwvfgggtklvtlvgggdkthtcpp cpapellggpsvflfppkpkdtlmsrtpe vtcvvdvshedpevkfnwyvdgvevhnak tkpceezygstyrsvltvlhqdwlngke ykckvsnkalpapiektiskakgqprepqv ytlppsreemtknqvsltclvkgfydia vewesngqpennykttpvldsdsfflys kltvdksrwqqgnvfscsvmhealhnhytq kslslspgKggggsgggsgggsgggsgg ggsgggsgdkthtcppcpapellggpsvf lfppkpkdtlmsrtpevtcvvdvshedp evkfnwyvdgvevhnaktkpceezygstyr cvsvltvlhqdwlngkeykckvsnkalpap iektiskakgqprepqvtytlppsreemtkn qvsltclvkgfydiavewesngqpenny kttpvldsdsfflyskltvdksrwqqgn vfscsvmhealhnhytqkslslspgk

659.	CD70_5xCD3-scFc	VH	Evqllesggglvqsggslrlscaasgftfs syamswvrqapgkglewvsaisgsggrthy aesvkgrftisrdnskntlylqmnsraed tavyycahdysnpyfydywgqgtlvtvss
660.	CD70_5xCD3-scFc	VL	Eivltqspgtlslspgeratlscrasqsvr ssylawyqqkpgqaprlliygassratgip drfsgsgsgtdftltisrlepedfavyycq qygsspftfgpgtkleik
661.	CD70_5xCD3-scFc	scFv	Evqllesggglvqsggslrlscaasgftfs syamswvrqapgkglewvsaisgsggrthy aesvkgrftisrdnskntlylqmnsraed tavyycahdysnpyfydywgqgtlvtvss ggggsgggsggggseivltqspgtlslsp geratlscrasqsvrsslawyqqkpgqap rlliygassratgipdrfsgsgsgtdftlt isrlepedfavyycqygsspftfgpgtkl eik
662.	CD70_5xCD3-scFc	биспецифическая молекула	evqllesggglvqsggslrlscaasgftfs syamswvrqapgkglewvsaisgsggrthy aesvkgrftisrdnskntlylqmnsraed tavyycahdysnpyfydywgqgtlvtvss ggggsgggsggggseivltqspgtlslsp geratlscrasqsvrsslawyqqkpgqap rlliygassratgipdrfsgsgsgtdftlt isrlepedfavyycqygsspftfgpgtkl eiksggggsevqlvesggglvqpggslkls caasgftfnkyamnvwvrqapgkglewvari rskynnyatyadsvkdrftisrddsknta ylqmnlktdtavyycvrhgnfgnsyisy waywgqgtlvtvssggggsgggsggggsq tvvtqepsltvspggtvtltcgsstgavts gnypnwvqqkpgqaprgliggtkflapgtp arfsgslggkaaltlsgvqpedeaeyycv lwysnrwvfgggtklvtl
663.	CD70_5xCD3-	биспецифи	evqllesggglvqsggslrlscaasgftfs

	scFc	чешская HLE молекула	syamswvrqapggkglewvsaisgsggrthy aesvkgrftisrdnskntlylqmnsdraed tavyycahdysnpyfydywgqgtlvtvss gggsgggsggggseivltqspgtlslsp geratlscrasqsvrsslawyqqkpgqap rlliygassratgipdrfsgsgsgtdftlt isrlepedfavyyccqygsspftfgpgtkl eiksggggsevqlvesggglvqpggslkls caasgftfnkyamnvrqapggkglewvari rskynnyatyyadsvkdrftisrddsanta ylqmnlktdtavyycvrhgnfgnsyisy waywgqgtlvtvssgggsgggsgggsgq tvvtqepsltvspggtvtltcgsstgavts gnypnwvqqkpgqaprgliggtkflapgtp arfgsllggkaaltlsgvqpedeaeeycv lwysnrwvfgggtklvtlvgggdkthtcpp cpapellggpsvflfppkpkdtlmisrtpe vtcvvdvshedpevkfnwyvdgvevhnak tkpceezygstyrcvsvltvlhqdwlngke ykckvsnkalpapiektiskakgqprepqv ytlppsreemtknqvsltclvkgfyfysdia vewesngqpennykttpvldsdsfflys kltvdksrwqqgnvfscsvmhealhnhytq kslslspgKgggsgggsgggsgggsg ggsgggsgdkthtcppcpapellggpsvf lfppkpkdtlmisrtpevtcvvdvshedp evkfnwyvdgvevhnaktkpceezygstyr cvsvltvlhqdwlngkeykckvsnkalpap iektiskakgqprepqvtytlppsreemtkn qvsltclvkgfyfysdiavewesngqpenny kttpvldsdsfflyskltvdksrwqqgn vfscsvmhealhnhytqkslslspgk
664.	CD70_6_CCxC D3-scFc	VH CDR1	syams
665.	CD70_6_CCxC	VH CDR2	lisgsggrthyaesvkg

	D3-scFc		
666.	CD70_6_CCxC D3-scFc	VH CDR3	hdysnypyfdy
667.	CD70_6_CCxC D3-scFc	VL CDR1	rasqsvrstyla
668.	CD70_6_CCxC D3-scFc	VL CDR2	dassrat
669.	CD70_6_CCxC D3-scFc	VL CDR3	qqygssppt
670.	CD70_6_CCxC D3-scFc	VH	evqllesggglvqpggslrlscaasgftfs syamswvrqapgkclewvslisgsggrthy aevkgrftisrdnskntlylqmnsraed tavyycahdysnypyfdywgqggtlvtvss
671.	CD70_6_CCxC D3-scFc	VL	eivltqspgtlslspgeratls crasqsvr stylawyqqkpgqaprlliydassratgip drfsgsgsgtdftltisrlepedfavyfcq qygsspptfgcgtkleik
672.	CD70_6_CCxC D3-scFc	scFv	evqllesggglvqpggslrlscaasgftfs syamswvrqapgkclewvslisgsggrthy aevkgrftisrdnskntlylqmnsraed tavyycahdysnypyfdywgqggtlvtvss ggggsgggsggggseivltqspgtlslsp geratls crasqsvrstylawyqqkpgqap rlliydassratgipdrfsgsgsgtdftlt isrlepedfavyfcqqygsspptfgcgtkl eik
673.	CD70_6_CCxC D3-scFc	Биспецифи ческая молекула	evqllesggglvqpggslrlscaasgftfs syamswvrqapgkclewvslisgsggrthy aevkgrftisrdnskntlylqmnsraed tavyycahdysnypyfdywgqggtlvtvss ggggsgggsggggseivltqspgtlslsp geratls crasqsvrstylawyqqkpgqap rlliydassratgipdrfsgsgsgtdftlt isrlepedfavyfcqqygsspptfgcgtkl eiksggggsevqlvesggglvqpggskls

			<p>caasgftfnkyamnvrqapgglewvari rskynnyatyyadsvkdrftisrddsknta ylqmnlnktdtavyycvrhgnfgnsyisy waywgqgtlvtvssgggsgggsgggsgq tvvtqepsltvspggtvtltcgsstgavts gnypnwqqkpgqaprgliggtkflapgtp arfgsllggkaaltlsgvqpedeaeeycv lwysnrwvfgggtklvtl</p>
674.	CD70_6_CCxC D3-scFc	биспецифическая HLE молекула	<p>evqllesggglvqpgslrlscaasgftfs syamswvrqapgkclewvslisgsggrthy aevkgrftisrdnskntlylqmnslraed tavyycahdysnpyfdywgqgtlvtvss gggsgggsggggseivltqspgtlslsp geratlscrasqsvrstylawyqqkpgqap rlliydassratgipdrfsgsgsgtdftlt isrlepedfavyfcqqygsppptfgcgtkl eiksgggsevqlvesggglvqpggslkls caasgftfnkyamnvrqapgglewvari rskynnyatyyadsvkdrftisrddsknta ylqmnlnktdtavyycvrhgnfgnsyisy waywgqgtlvtvssgggsgggsgggsgq tvvtqepsltvspggtvtltcgsstgavts gnypnwqqkpgqaprgliggtkflapgtp arfgsllggkaaltlsgvqpedeaeeycv lwysnrwvfgggtklvtlvgggdkthtcpp cpapellggpsvflfppkpkdtlmisrtpe vtcvvvdvshedpevkfnwyvdgvevhnak tkpceeystyrcvsvltvlhqdwlngke ykckvsnkalpapiektiskakgqprepqv ytlppsreemtknqvsltclvkgfypsdia vewesngqpennyktppvldsdgsfflys kltvdksrwqgnvfscsvmhealhnhytq kslslspgKgggsgggsgggsgggsg gggsgggsgdkthtcppcpapellggpsvf lfppkpkdtlmisrtpevtcvvvdvshedp</p>

			evkfnwyvdgvevhnaktkpceeegystyr cvsvltvlhqdwlngkeykckvsnkalpap iektiskakgpprepqvvtlppsreemtkn qvsltclvkgyfypsdiavewesngqpenny kttppvldsdsfflyskltvdksrwqqgn vfscsvmhealhhhtqkslslspgk
675.	CD70_6xCD3- scFc	VH	evqllesggglvqpggslrlscaasgftfs syamswvrqapggkglewvslisgsggrthy aesvkgrftisrdnskntlylqmnsraed tavyycahdysnpyfdywgqgtlvtvss
676.	CD70_6xCD3- scFc	VL	eivltqspgtlslspgeratlscrasqsvr stylawyqqkpgqaprlliydassratgip drfsgsgsgtdftltisrlepedfavyfcq qygsspftfgggtkleik
677.	CD70_6xCD3- scFc	scFv	evqllesggglvqpggslrlscaasgftfs syamswvrqapggkglewvslisgsggrthy aesvkgrftisrdnskntlylqmnsraed tavyycahdysnpyfdywgqgtlvtvss ggggsgggsgggseivltqspgtlslsp geratlscrasqsvrstylawyqqkpgqap rlliydassratgipdrfsgsgsgtdftlt isrlepedfavyfcqygsspftfgggtkl eik
678.	CD70_6xCD3- scFc	биспецифи ческая молекула	evqllesggglvqpggslrlscaasgftfs syamswvrqapggkglewvslisgsggrthy aesvkgrftisrdnskntlylqmnsraed tavyycahdysnpyfdywgqgtlvtvss ggggsgggsgggseivltqspgtlslsp geratlscrasqsvrstylawyqqkpgqap rlliydassratgipdrfsgsgsgtdftlt isrlepedfavyfcqygsspftfgggtkl eiksggggsevqlvesggglvqpggskls caasgftfnkyamnwwvrqapggkglewvari rskynnyatyyadsvkdrftisrddsknta ylqmnnlktedtavyycvrhgnfgnsyisy

			waywgqgtlvtvssgggsgggsgggsgq tvvtqepsltvspggtvtltcgsstgavts gnypnwvqqkpgqaprgliggkflapgtp arfgsllggkaaltlsgvqpedeaeeycv lwysnrwvfgggtkltvl
679.	CD70_6xCD3- scFc	биспецифи ческая HLE молекула	evqllesggglvqpggsrlrlscaasgftfs syamswvrqapgkglewvslisgsggrthy aesvkgrftisrdnskntlylqmnsraed tavyycahdysnypyfdywgqgtlvtvss gggsgggsggggseivltqspgtlslsp geratlscrasqsvrstylawyqqkpgqap rlliydassratgipdrfsgsgsgtdftlt isrlepedfavyfcqqygspsptfgggtkl eiksggggsevqlvesggglvqpggskls caasgftfnkyamnwrqapgkglewvari rskynnyatyyadsvkdrftisrddsanta ylqmnlktedtavyycvrhgnfgnsyisy waywgqgtlvtvssgggsgggsgggsgq tvvtqepsltvspggtvtltcgsstgavts gnypnwvqqkpgqaprgliggkflapgtp arfgsllggkaaltlsgvqpedeaeeycv lwysnrwvfgggtkltvlgggdkthtcpp cpapellggpsvflfppkpkdtlmisrtpe vtcvvvdvshedpevkfnwyvdgvevhnak tkpceeegystyrcvsvltvlhqdwlngke ykckvsnkalpapiektiskakgqprepqv ytlppsreemtknqvsltclvkgfydia vewesngqpennykttppvldsdsfflys kltvdksrwqgnvfscsvmhealhnhytq kslslspgKgggsgggsgggsgggsg ggsgggsgdkthtcppcpapellggpsvf lfppkpkdtlmisrtpevtcvvvdvshedp evkfnwyvdgvevhnaktkpceeegystyr cvsvltvlhqdwlngkeykckvsnkalpap iektiskakgqprepqvytlppsreemtkn

			qvsltclvkgfypsdiavewesngqpenny kttpvldsdgsfflyskltvdksrwqqgn vfscsvmhealthhnytqkslslspgk
680.	CD70_7_CCxC D3-scFc	VH CDR1	tyams
681.	CD70_7_CCxC D3-scFc	VH CDR2	aisgsggstfyaesvkg
682.	CD70_7_CCxC D3-scFc	VH CDR3	hdysnypyfdy
683.	CD70_7_CCxC D3-scFc	VL CDR1	rasqsvrssyla
684.	CD70_7_CCxC D3-scFc	VL CDR2	gassrat
685.	CD70_7_CCxC D3-scFc	VL CDR3	qqygdlpft
686.	CD70_7_CCxC D3-scFc	VH	evqllesggglvqpggsrlrlscaasgftfs tyamswvrqapgkclewvsaisgsggstfy aesvkgrftisrdnskntlsiqmnsraed tavyycahdysnypyfdywgqgtltvss
687.	CD70_7_CCxC D3-scFc	VL	eivltqspgtlslspgeratls crasqsvr ssylawyqqkpgqaprlliygassratgip drfsgsgsgtdftltisrlepedfavyycq qygdlpftfgcgtkleik
688.	CD70_7_CCxC D3-scFc	scFv	evqllesggglvqpggsrlrlscaasgftfs tyamswvrqapgkclewvsaisgsggstfy aesvkgrftisrdnskntlsiqmnsraed tavyycahdysnypyfdywgqgtltvss ggggsgggsgggseivltqspgtlslsp geratls crasqsvr ssylawyqqkpgqap rlliygassratgipdrfsgsgsgtdftlt isrlepedfavyycqygdlpftfgcgtkl eik
689.	CD70_7_CCxC D3-scFc	биспецифи ческая молекула	evqllesggglvqpggsrlrlscaasgftfs tyamswvrqapgkclewvsaisgsggstfy aesvkgrftisrdnskntlsiqmnsraed

			<p>tavyycakhdysnpyfdywgqgtlvtvss ggggsgggsggggseivltqspgtlslsp geratlsctasqsvrsslawyqqkpggap rlliygassratqipdrfsgsgsgtdftlt isrlepedfavyyccqygdlpftfgcgtkl eiksggggsevqlvesggglvqpggslkls caasgftfnkyamnvrqapkgglewvari rskynnyatyyadsvkdrftisrddsknta ylqmnlnktdtavyycvrhgnfgnsyisy waywgqgtlvtvssggggsgggsgggsgq tvvtqepsltvspggtvtltcgsstgavts gnypnwqqkpgqaprgliggtkflapgt arfgsllggkaaltlsgvqpedeaeeycv lwysnrwvfgggtklvtl</p>
690.	CD70_7_CCxС D3-scFc	биспецифи ческая HLE молекула	<p>evqllesggglvqpggslrlscaasgftfs tyamswvrqapgkclewvsaisgsggstfy aesvkgrftisrdnskntlslqmnslraed tavyycakhdysnpyfdywgqgtlvtvss ggggsgggsggggseivltqspgtlslsp geratlsctasqsvrsslawyqqkpggap rlliygassratqipdrfsgsgsgtdftlt isrlepedfavyyccqygdlpftfgcgtkl eiksggggsevqlvesggglvqpggslkls caasgftfnkyamnvrqapkgglewvari rskynnyatyyadsvkdrftisrddsknta ylqmnlnktdtavyycvrhgnfgnsyisy waywgqgtlvtvssggggsgggsgggsgq tvvtqepsltvspggtvtltcgsstgavts gnypnwqqkpgqaprgliggtkflapgt arfgsllggkaaltlsgvqpedeaeeycv lwysnrwvfgggtklvtlvgggdkthtcpp cpapellgqpsvflfppkpkdtlmisrtpe vtcvvdvshedpevkfnwyvdgvevhnak tkpceeaygstyrcvsvltvlhqdwlngke ykckvsnkalpapiektiskakgqprepqv</p>

			<p>ytlppsreemtknqvsltclvkgfypsdiavewesngqpennykttpvldsdsfflyskltvdksrwqggnvfscsvmhealthnhytqkslslspgKggggsgggsgggsgggsgggsgggsgggsgdkthtccppcpapellggpsvflfppkpkdtlmisrtpevtcvvvdvshedpevkfnwyvdgvevhnaktkpcceeqgstycvsvltvlhqdwlngkeykckvsnkalpapiektiskakgqprepqvtylppsreemtknqvsltclvkgfypsdiavewesngqpennykttpvldsdsfflyskltvdksrwqggnvfscsvmhealthnhytqkslslspgk</p>
691.	CD70_7xCD3-scFc	VH	<p>evqllesggglvqpggslrlscaasgftfs tyamswvrqapgkglewvsaisgsggstfy aevkgrftisrdnskntlsiqmnsraed tavvycakhdysnpyfydywgqgltvtvss</p>
692.	CD70_7xCD3-scFc	VL	<p>eivltqspgtlslspgeratlsccrasqsvr ssylawyqqkpgqaprlliygassratgip drfsgsgsgtdftltisrlepedfavvycq qygdlpftfgpgtkleik</p>
693.	CD70_7xCD3-scFc	scFv	<p>evqllesggglvqpggslrlscaasgftfs tyamswvrqapgkglewvsaisgsggstfy aevkgrftisrdnskntlsiqmnsraed tavvycakhdysnpyfydywgqgltvtvss ggggsgggsggggseivltqspgtlslsp geratlsccrasqsvrssylawyqqkpgqap rlliygassratgipdrfsgsgsgtdftlt isrlepedfavvycqygdldpftfgpgtkleik</p>
694.	CD70_7xCD3-scFc	биспецифическая молекула	<p>evqllesggglvqpggslrlscaasgftfs tyamswvrqapgkglewvsaisgsggstfy aevkgrftisrdnskntlsiqmnsraed tavvycakhdysnpyfydywgqgltvtvss ggggsgggsggggseivltqspgtlslsp geratlsccrasqsvrssylawyqqkpgqap</p>

			<p>rlliygassratgipdrfsgsgsgtdftlt isrlepedfavyyccqygdlpftfgpgtkl eiksggggsevqlvesggglvqpggskls caasgftfnkyamnvrqapgglewvari rskynnyatyyadsvkdrftisrddsanta ylqmnlktdtavyycvrhgnfgnsyisy waywgqgtlvtvssggggsgggsgggsgq tvvtqepsltvspggtvtltcgsstgavts gnypnwvqqkpgqaprgliggtkflapgt arfgsllggkaaltlsgvqpdeaeeycv lwysnrwvfgggtklvtl</p>
695.	CD70_7xCD3- scFc	биспецифическая HLE молекула	<p>evqllesggglvqpggslrlscaasgftfs tyamswvrqapgglewvsaisggsgstfy aevkgrftisrdnskntlsiqmnlraed tavyycahdysnpyfydywgqgtlvtvss ggggsgggsggggseivltqspgtlslsp geratlscrasqsvrsslawayqqkpgqap rlliygassratgipdrfsgsgsgtdftlt isrlepedfavyyccqygdlpftfgpgtkl eiksggggsevqlvesggglvqpggskls caasgftfnkyamnvrqapgglewvari rskynnyatyyadsvkdrftisrddsanta ylqmnlktdtavyycvrhgnfgnsyisy waywgqgtlvtvssggggsgggsgggsgq tvvtqepsltvspggtvtltcgsstgavts gnypnwvqqkpgqaprgliggtkflapgt arfgsllggkaaltlsgvqpdeaeeycv lwysnrwvfgggtklvtlvgggdkthtcpp cpapellgppsflfpkpkdtlmisrtpe vtcvvdvshedpevkfnwyvdgvevhnak tkpceeystyrcvsvltvlhqdwlngke ykckvsnkalspapektiskakgqprepqv ytlppsreemtknqvsltclvkgyfypsia vewesngqpennykttppvldsdsfflys kltvdksrwqqgnvfscsvmhealhnhytq</p>

			ksls slspgKgggsgggsgggsgggsg ggsgggsgskthtcppcpapellggpsvf lfppkpkdtlmisrtpevtcvvvdvshedp evkfnwyvdgvevhnaktkpcee qygstyr cvsvltvlhqdwlngkeykckvsnkalpap iektiskakggpprepqvylppsreemtkn qvs l tclvkgfy psdiavewesngqpenny k t t p p v l d s d g s f f l y s k l t v d k s r w q q g n vfscsvmhealhnhytqksls slspgk
696.	CD70_8_CCxC D3-scFc	VH CDR1	tyams
697.	CD70_8_CCxC D3-scFc	VH CDR2	a is g s g g r t f y a e s v e g
698.	CD70_8_CCxC D3-scFc	VH CDR3	hdysnypyfdy
699.	CD70_8_CCxC D3-scFc	VL CDR1	rasqsvrstyla
700.	CD70_8_CCxC D3-scFc	VL CDR2	gassrat
701.	CD70_8_CCxC D3-scFc	VL CDR3	qqygd l p f t
702.	CD70_8_CCxC D3-scFc	VH	evqllesgggmvpqggsrlrlscaasgftfs tyamswvrqapgkclewvsaisgsggrtfy aesvegrftisrdnskntlylqmns lraed tavyyca kh d y s n y p y f d y w g q g t l v t v s s
703.	CD70_8_CCxC D3-scFc	VL	eivltqspgtls l s p g e r a t l s c r a s q s v r stylawyqqkpgqaprlliygassratgip drfsgsgsgtdftltisrlepedfavyscq qygd l p f t f g c g t k l e i k
704.	CD70_8_CCxC D3-scFc	scFv	evqllesgggmvpqggsrlrlscaasgftfs tyamswvrqapgkclewvsaisgsggrtfy aesvegrftisrdnskntlylqmns lraed tavyyca kh d y s n y p y f d y w g q g t l v t v s s ggsgsgggsgggseivltqspgtls l s p geratls crasqsvrstylawyqqkpgqap

			rlliygassratgipdrfsgsgsgtdftlt isrlepedfavyscqqygdldpftfgcgtkl eik
705.	CD70_8_CCxC D3-scFc	биспецифи ческая молекула	evqllesgggmvpqpgslrlscaasgftfs tyamswvrqapgkclewvsaisgsggrtfy aesvegrftisrdnskntlylqmnsraed tavyycahdysnypyfdywqggtlvtvss ggggsgggsggggseivltqspgtlslsp geratlscrasqsvrstylawyqqkpgqap rlliygassratgipdrfsgsgsgtdftlt isrlepedfavyscqqygdldpftfgcgtkl eiksggggsevqlvesggglvqpggslkls caasgftfnkyamnwwrqapgkglewvari rskynnyatyyadsvkdrftisrddsknta ylqmnlktdtavyycvrhgnfgnsyisy waywgqgtlvtvssggggsgggsgggsgq tvvtqepsltvspggtvtltcgsstgavts gnypnwvqqkpgqaprgliggtkflapgtp arfgsllggkaaltlsgvqpedeaeycv lwysnrwvfgggtklvtl
706.	CD70_8_CCxC D3-scFc	биспецифи ческая HLE молекула	evqllesgggmvpqpgslrlscaasgftfs tyamswvrqapgkclewvsaisgsggrtfy aesvegrftisrdnskntlylqmnsraed tavyycahdysnypyfdywqggtlvtvss ggggsgggsggggseivltqspgtlslsp geratlscrasqsvrstylawyqqkpgqap rlliygassratgipdrfsgsgsgtdftlt isrlepedfavyscqqygdldpftfgcgtkl eiksggggsevqlvesggglvqpggslkls caasgftfnkyamnwwrqapgkglewvari rskynnyatyyadsvkdrftisrddsknta ylqmnlktdtavyycvrhgnfgnsyisy waywgqgtlvtvssggggsgggsgggsgq tvvtqepsltvspggtvtltcgsstgavts gnypnwvqqkpgqaprgliggtkflapgtp

			<p>arfgslggkaaltlsgvqpedeaeyycv lwysnrwvfgggtklvlggggdkthtcpp cpapellggpsvflfppkpkdtlmisrtpe vtcvvdvshedpevkfnwyvdgvevhnak tkpceeegystyrcvsvltvlhqdwlngke ykckvsnkalpapiektiskakgqprepqv ytlppsreemtknqvsltclvkgfypsdi vewesngqpennykttpvldsdsfflys kltvdksrwqqgnvfscsvmhealhnhytq kslslspgKggggsgggsgggsgggsgg ggsgggsgdkthtcppcpapellggpsvf lfppkpkdtlmisrtpevtcvvdvshedp evkfnwyvdgvevhnaktkpeeegystyr cvsvltvlhqdwlngkeykckvsnkalpap iektiskakgqprepqvylppsreemtkn qvsltclvkgfypsdiavewesngqpenny kttpvldsdsfflyskltvdksrwqqgn vfscsvmhealhnhytqkslslspgk</p>
707.	CD70_8xCD3- scFc	VH	<p>evqllesgggmvpqggslrlscaasgftfs tyamswvrqapgkglewvsaisgsggrtfy aesvegrftisrdnskntlylqmnsdraed tavyycahdysnypyfdywgqgtlvtvss</p>
708.	CD70_8xCD3- scFc	VL	<p>eivltqspgtlslspgeratlscrasqsvr stylawyqqkpgqaprlliygassratgip drfsgsgsgtdftltisrlepedfavyscq qygdlpftfgpgtkleik</p>
709.	CD70_8xCD3- scFc	scFv	<p>evqllesgggmvpqggslrlscaasgftfs tyamswvrqapgkglewvsaisgsggrtfy aesvegrftisrdnskntlylqmnsdraed tavyycahdysnypyfdywgqgtlvtvss ggsgggsgggggseivltqspgtlslsp geratlscrasqsvrstylawyqqkpgqap rlliygassratgipdrfsgsgsgtdftlt isrlepedfavyscqygdldpftfgpgtkl eik</p>

710.	CD70_8xCD3-scFc	биспецифическая молекула	<p>evqllesgggmvpqggsrlrlscaasgftfs tyamswvrqapgkglewvsaisgsggrtfy aesvegrftisrdnskntlylqmnsraed tavyycahhdysnpyfdywgqgtlvtvss ggggsgggsggggseivltqspgtlslsp geratlscrasqsvrstylawyqqkpgqap rlliygassratgipdrfsgsgsgtdftlt isrlepedfavyscqygdldpftfgpgtkl eiksggggsevqlvesggglvqpggslkls caasgftfnkyamnvrqapgkglewvari rskynnyatyyadsvkdrftisrddsknta ylqmnnkktedtavyycvrhgnfgnsyisy waywgqgtlvtvssggggsgggsggggsq tvvtqepsltvspggtvtltcgsstgavts gnypnwvqqkpgqaprgliggtkflapgtp arfgsllggkaaltlsgvqpedeaeeycv lwysnrwvfgggtkltlvl</p>
711.	CD70_8xCD3-scFc	биспецифическая HLE молекула	<p>evqllesgggmvpqggsrlrlscaasgftfs tyamswvrqapgkglewvsaisgsggrtfy aesvegrftisrdnskntlylqmnsraed tavyycahhdysnpyfdywgqgtlvtvss ggggsgggsggggseivltqspgtlslsp geratlscrasqsvrstylawyqqkpgqap rlliygassratgipdrfsgsgsgtdftlt isrlepedfavyscqygdldpftfgpgtkl eiksggggsevqlvesggglvqpggslkls caasgftfnkyamnvrqapgkglewvari rskynnyatyyadsvkdrftisrddsknta ylqmnnkktedtavyycvrhgnfgnsyisy waywgqgtlvtvssggggsgggsggggsq tvvtqepsltvspggtvtltcgsstgavts gnypnwvqqkpgqaprgliggtkflapgtp arfgsllggkaaltlsgvqpedeaeeycv lwysnrwvfgggtkltlvgggdkthtcpp cpapellggpsvflfppkpkdtlmisrtpe</p>

			vtcvvvdvshedpevkfnwyvdgvevhnak tkpceezygstyrcvsvltvlhqdwlngke ykckvsnkalpapiektiskakgqprepqv ytlppsreemtknqvsltclvkgfypsdi vewesngqpennykttpvldsdsfflys kltvdksrwqqgnvfscsvmhealhnhytq kslsispgKggggsgggsgggsgggsg ggsgggsgsktthtcppcpapellggpsvf lfppkpkdtlmisrtpevtcvvvdvshedp evkfnwyvdgvevhnaktkpceezygstyr cvsvltvlhqdwlngkeykckvsnkalpap iektiskakgqprepqvtylppsreemtkn qvsltclvkgfypsdiavewesngqpenny kttpvldsdsfflyskltvdksrwqqgn vfscsvmhealhnhytqkslsispgk
712.	CD70_9_CCxC D3-scFc	VH CDR1	syams
713.	CD70_9_CCxC D3-scFc	VH CDR2	aigsggytyyaesvkg
714.	CD70_9_CCxC D3-scFc	VH CDR3	hdysnypyfdy
715.	CD70_9_CCxC D3-scFc	VL CDR1	rasqsvrsnyla
716.	CD70_9_CCxC D3-scFc	VL CDR2	gassrat
717.	CD70_9_CCxC D3-scFc	VL CDR3	qygdldpft
718.	CD70_9_CCxC D3-scFc	VH	evqllesggglvqpggslrlscaasgftfs syamswvrqapgkclewvsaisgsggytyy aesvkgrftisrdnskntlylqmnsraed tavyycahdysnypyfdywqggtlvtvss
719.	CD70_9_CCxC D3-scFc	VL	eivltqspgtlsispgeratlsbrasqsvr snylawyqqkpgqaprlliygassratgip drfsgsgsgtdftltisrlepedfavyycq qygdldpftfgcgtkveik

720.	CD70_9_CCxC D3-scFc	scFv	evqllesggglvqpqgslrlscaasgftfs syamswvrqapgkclewvsaisgsggytyy aesvkgrftisrdnskntlylqmnsraed tavyycahdysnypyfdywgqgtlvtvss ggggsgggsggggseivltqspgtlslsp geratlscrasqsvrsnylawyqqkpgqap rlliygassratgipdrfsgsgsgtdftlt isrlepedfavyyccqygdlpftfgcgtkv eik
721.	CD70_9_CCxC D3-scFc	биспецифи ческая молекула	evqllesggglvqpqgslrlscaasgftfs syamswvrqapgkclewvsaisgsggytyy aesvkgrftisrdnskntlylqmnsraed tavyycahdysnypyfdywgqgtlvtvss ggggsgggsggggseivltqspgtlslsp geratlscrasqsvrsnylawyqqkpgqap rlliygassratgipdrfsgsgsgtdftlt isrlepedfavyyccqygdlpftfgcgtkv eiksggggsevqlvesggglvqpqgslkls caasgftfnkyamnvrqapkglewvari rskynnyatyadsvkdrftisrddsknta ylqmnlktdtavyycvrhgnfgnsyisy waywgqgtlvtvssggggsgggsgggsgq tvvtqepsltvspggtvtltcgsstgavts gnypnwvqqkpgqaprgliggtkflapgtp arfgslggkaaltlsgvqpedeaeyycv lwysnrwvfgggtkltvl
722.	CD70_9_CCxC D3-scFc	биспецифи ческая HLE молекула	evqllesggglvqpqgslrlscaasgftfs syamswvrqapgkclewvsaisgsggytyy aesvkgrftisrdnskntlylqmnsraed tavyycahdysnypyfdywgqgtlvtvss ggggsgggsggggseivltqspgtlslsp geratlscrasqsvrsnylawyqqkpgqap rlliygassratgipdrfsgsgsgtdftlt isrlepedfavyyccqygdlpftfgcgtkv eiksggggsevqlvesggglvqpqgslkls

			caasgftfnkyamnvrqapgkglewvari rskynnyatyyadsvkdrftisrddsknta ylqmnlktdtavyycvrhgnfgnsyisy waywgggtlvtvssgggsgggsgggsgq tvvtqepsltvspggtvtltcgsstgavts gnypnwqqkpgqaprgliggtkflapgtp arfsqslggkaaltlsgvqpedeaeeycv lwysnrwvfgggtklvtlvgggdkthtcpp cpapellggpsvflfppkpkdtlmisrtp vtcvvvdvshedpevkfnwyvdgvevhnak tkpceezygstyrcvsvltvlhqdwlngke ykckvsnkalpapiektiskakgqprepqv ytlppsreemtknqvsltclvkgfypsdi vewesngqpennykttpvldsdsffly kltvdksrwqqgnvfscsvmhealhnhytq kslsispkggggsgggsgggsgggsg ggsgggsgdkthtcppcpapellggpsvf lfppkpkdtlmisrtpvtcvvvdvshedp evkfnwyvdgvevhnaktkpceezygstyr cvsvltvlhqdwlngkeykckvsnkalpap iektiskakgqprepqvylppsreemtkn qvsltclvkgfypsdiavewesngqpenny kttpvldsdsfflyskltvdksrwqqgn vfscsvmhealhnhytqkslsispkg
723.	CD70_9xCD3- scFc	VH	evqllesggglvqpggslrlscaasgftfs syamswvrqapgkglewvsaisgsggytyy aesvkgrftisrdnskntlylqmnsraed tavyycahdysnpyfydywgggtlvtvss
724.	CD70_9xCD3- scFc	VL	eivltqspgtlslspgeratlscrasqsvr snylawyqqkpgqaprlliygassratgip drfsgsgsgtdftltisrlepedfavyycq qygdlpftfgpgtkveik
725.	CD70_9xCD3- scFc	scFv	evqllesggglvqpggslrlscaasgftfs syamswvrqapgkglewvsaisgsggytyy aesvkgrftisrdnskntlylqmnsraed

			tavyycakhdysnypyfdywgqgtlvtvss ggggsgggsggggseivltqspgtlslsp geratlscrasqsvrsnylawyqqkpgqap rlliygassratgipdrfsgsgsgtdftlt isrlepedfavyyccqygdlpftfgpgtkv eik
726.	CD70_9xCD3- scFc	биспецифи ческая молекула	evqllesggglvqpggslrlscaasgftfs syamswvrqapgkglewvsaisgsggytyy aesvkgrftisrdnskntlylqmnsraed tavyycakhdysnypyfdywgqgtlvtvss ggggsgggsggggseivltqspgtlslsp geratlscrasqsvrsnylawyqqkpgqap rlliygassratgipdrfsgsgsgtdftlt isrlepedfavyyccqygdlpftfgpgtkv eiksggggsevqlvesggglvqpggslkls caasgftfnkyamnvrqapgkglewvari rskynnyatyyadsvkdrftisrddsknta ylqmnlktdtavyycvrhgnfgnsyisy waywgqgtlvtvssggggsgggsgggsgq tvvtqepsltvspggtvtltcgsstgavts gnypnwvqqkpgqaprgliggtkflapgtp arfsgslggkaaltlsgvqpedeaeyycv lwysnrwvfgggtkltvl
727.	CD70_9xCD3- scFc	биспецифи ческая HLE молекула	evqllesggglvqpggslrlscaasgftfs syamswvrqapgkglewvsaisgsggytyy aesvkgrftisrdnskntlylqmnsraed tavyycakhdysnypyfdywgqgtlvtvss ggggsgggsggggseivltqspgtlslsp geratlscrasqsvrsnylawyqqkpgqap rlliygassratgipdrfsgsgsgtdftlt isrlepedfavyyccqygdlpftfgpgtkv eiksggggsevqlvesggglvqpggslkls caasgftfnkyamnvrqapgkglewvari rskynnyatyyadsvkdrftisrddsknta ylqmnlktdtavyycvrhgnfgnsyisy

			waywgqgtlvtvssggggsgggsgggsgq tvvtqepsltvspggtvtltcgsstgavts gnypnwvqqkpgqaprgliggtkflapgtp arfgsllggkaaltlsgvqpedeaeyycv lwysnrwvfgggtklvtlvggggdkthtcpp cpapellggpsvflfppkpkdtlmisrtpe vtcvvdvshedpevkfnwyvdgvevhnak tkpceezygstyrcvsvltvlhqdwlngke ykckvsnkalpapiektiskakgqprepqv ytlppsreemtknqvsltclvkgfypsdi vewesngqpennykttppvldsdsfflys kltvdksrwqqgnvfscsvmhealhnhytq kslsispgKggggsgggsgggsgggsgg ggsgggsgdkthtcppcpapellggpsvf lfppkpkdtlmisrtpevtcvvdvshedp evkfnwyvdgvevhnaktkpeezygstyr cvsvltvlhqdwlngkeykckvsnkalpap iektiskakgqprepqvtytlppsreemtkn qvsltclvkgfypsdiavewesngqpenny kttppvldsdsfflyskltvdksrwqqgn vfscsvmhealhnhytqkslsispgk
728.	CD70_10_CCx CD3-scFc	VH CDR1	syams
729.	CD70_10_CCx CD3-scFc	VH CDR2	aisgsggstfyaesvkg
730.	CD70_10_CCx CD3-scFc	VH CDR3	hdysnypyfdy
731.	CD70_10_CCx CD3-scFc	VL CDR1	rasqsvrssyla
732.	CD70_10_CCx CD3-scFc	VL CDR2	gassrat
733.	CD70_10_CCx CD3-scFc	VL CDR3	qqygdlpft
734.	CD70_10_CCx CD3-scFc	VH	evqllesggglaqpggsrlrlscaasgftfs syamswvrqapgkclewvsaisgsggstfy

			aesvkgrftisrdnskntlylqmnsraed tavyfcakhdysnpyfdywgqgtlvtvss
735.	CD70_10_CCx CD3-scFc	VL	eivltqspgtlslspgeratlsctasqsvr ssylawyqqkpgqaprlliygassratgip drfsgsgsgtdftltisrlepedfavyycc qygdlpftfgcgtkveik
736.	CD70_10_CCx CD3-scFc	scFv	evqllesggglaqpggslrlscaasgftfs syamswvrqapgkclewvsaisgsggstfy aesvkgrftisrdnskntlylqmnsraed tavyfcakhdysnpyfdywgqgtlvtvss ggggsgggsggggseivltqspgtlslsp geratlsctasqsvrsslawyqqkpgqap rlliygassratgipdrfsgsgsgtdftlt isrlepedfavyyccqygdlpftfgcgtkv eik
737.	CD70_10_CCx CD3-scFc	биспецифи ческая молекула	evqllesggglaqpggslrlscaasgftfs syamswvrqapgkclewvsaisgsggstfy aesvkgrftisrdnskntlylqmnsraed tavyfcakhdysnpyfdywgqgtlvtvss ggggsgggsggggseivltqspgtlslsp geratlsctasqsvrsslawyqqkpgqap rlliygassratgipdrfsgsgsgtdftlt isrlepedfavyyccqygdlpftfgcgtkv eiksggggsevqlvesggglvqpggslkls caasgftfnkyamnwwvrqapgkglewvari rskynnyatyyadsvkdrftisrddsknta ylqmnlktdtavyycvrhgnfgnsyisy waywgqgtlvtvssggggsgggsgggsgq tvvtqepsltvspggtvtltcgsstgavts gnypnwvqqkpgqaprgliggtkflapgt arfgsllggkaaltlsgvqpedeaeyycv lwysnrwvfgggtklvtl
738.	CD70_10_CCx CD3-scFc	биспецифи ческая HLE	evqllesggglaqpggslrlscaasgftfs syamswvrqapgkclewvsaisgsggstfy aesvkgrftisrdnskntlylqmnsraed

		молекула	tavyfcakhdysnpyfydywgqgtlvtvss ggggsgggsggggseivltqspgtlslsp geratlscrasqsvrsslawyqqkpgqap rlliygassratgipdrfsgsgsgtdftlt isrlepedfavyyccqygdlpftfgcgtkv eiksggggsevqlvesggglvqpggslkls caasgftfnkyamnvrqapgkglewvari rskynnyatyyadsvkdrftisrddsknta ylqmnlnktdtavyycvrhgnfgnsyisy waywgqgtlvtvssggggsgggsgggsgq tvvtqepsltvspggtvtltcgsstgavts gnypnwqqkpgqaprgliggtkflapgtp arfgsllggkaaltlsgvqpdeaeeycv lwysnrwvfgggtklvtlvgggdkthtcpp cpapellggsvglfpkpkdtlmisrtpe vtcvvvdvshedpevkfnwyvdgvevhnak tkpceeegystyrcvsvltvlhqdwlngke ykckvsnkalpapiektiskakgqprepqv ytlppsreemtknqvsltclvkgfypsdi vewesngqpennykttppvldsdsffly kltdksrwqqgnvfscsvmhealhnhytq kslslspgKggggsgggsgggsgggsg ggsgggsgdkthtcppcpapellggsvgl lfpkpkdtlmisrtpevtcvvvdvshedp evkfnwyvdgvevhnaktkpceeegstyr cvsvltvlhqdwlngkeykckvsnkalpap iektiskakgqprepqvylppsreemtkn qvsltclvkgfypsdiavewesngqpenny kttppvldsdsfflyskltdksrwqqgn vfscsvmhealhnhytqkslslspgk
739.	CD70_10xCD3 -scFc	VH	evqllesggglaqpggslrlscaasgftfs syamswvrqapgkglewvsaisgsggstfy aesvkgrftisrdnskntlylqmnsraed tavyfcakhdysnpyfydywgqgtlvtvss
740.	CD70_10xCD3	VL	eivltqspgtlslspgeratlscrasqsvr

	-scFc		ssylawyqqkpgqaprlliygassratgip drfsgsgsgtdftltisrlepedfavyycq qygdlpftfgpgtkveik
741.	CD70_10xCD3 -scFc	scFv	evqllesggglaqpggslrlscaasgftfs syamswvrqapgkglewvsaisgsggstfy aesvkgrftisrdnskntlylqmnsraed tavyfcakhdysnpyfydywgqgtlvtvss ggggsgggsggggseivltqspgtlslsp geratlscrasqsvrsslawyqqkpgqap rlliygassratgipdrfsgsgsgtdftlt isrlepedfavyycqygdldpftfgpgtkv eik
742.	CD70_10xCD3 -scFc	биспецифи ческая молекула	evqllesggglaqpggslrlscaasgftfs syamswvrqapgkglewvsaisgsggstfy aesvkgrftisrdnskntlylqmnsraed tavyfcakhdysnpyfydywgqgtlvtvss ggggsgggsggggseivltqspgtlslsp geratlscrasqsvrsslawyqqkpgqap rlliygassratgipdrfsgsgsgtdftlt isrlepedfavyycqygdldpftfgpgtkv eiksggggsevqlvesggglvqpggslkls caasgftfnkyamnvrqapgkglewvari rskynnyatyadsvkdrftisrddsknta ylqmnlktdtavyycvrhgnfgnsyisy waywgqgtlvtvssggggsgggsggggsq tvvtqepsltvspggtvtltcgsstgavts gnypnwqqkpgqaprgliggtkflapgtp arfsgsllggkaaltlsgvqpedeaeyycv lwysnrwvfgggtkltvl
743.	CD70_10xCD3 -scFc	биспецифи ческая HLE молекула	evqllesggglaqpggslrlscaasgftfs syamswvrqapgkglewvsaisgsggstfy aesvkgrftisrdnskntlylqmnsraed tavyfcakhdysnpyfydywgqgtlvtvss ggggsgggsggggseivltqspgtlslsp geratlscrasqsvrsslawyqqkpgqap

			<p>rlliygassratgipdrfsgsgsgtdftlt isrlepedfavyyccqygdlpftfgpgtkv eiksggggsevqlvesggglvqpggskls caasgftfnkyamnwwrqapgkglewari rskynnyatyyadsvkdrftisrddsanta ylqmnlnktdtavyycvrhgnfgnsyisy waywgqgtlvtvssggggsgggsgggsgq tvvtqepsltvspggtvtltcgsstgavts gnypnwvqqkpgqaprgliggtkflapgtp arfgsllggkaaltlsgvqpedeaeeycv lwysnrwvfgggtklvtlvgggdkthtcpp cpapellggpsvflfppkpkdtlmisrtpe vtcvvvdvshedpevkfnwyvdgvevhnak tkpceezygstyrcvsvltvlhqdwlngke ykckvsnkalpapiektiskakgqprepqv ytlppsreemtknqvsltclvkgfypsdi vewesngqpennykttppvldsdsfflys kltvdksrwqqgnvfscsvmhealhnhytq kslsispgKggggsgggsgggsgggsgg ggsgggsgdkthtcppcpapellggpsvf lfppkpkdtlmisrtpevtcvvvdvshedp evkfnwyvdgvevhnaktkpeezygstyr cvsvltvlhqdwlngkeykckvsnkalpap iektiskakgqprepqvtytlppsreemtkn qvsltclvkgfypsdiavewesngqpenny kttppvldsdsfflyskltvdksrwqqgn vfscsvmhealhnhytqkslsispgk</p>
744.	CD70_11_CCx CD3-scFc	VH CDR1	syams
745.	CD70_11_CCx CD3-scFc	VH CDR2	aigsgggrtfaesveg
746.	CD70_11_CCx CD3-scFc	VH CDR3	hdysnypyfdy
747.	CD70_11_CCx CD3-scFc	VL CDR1	rasqsvrsnyla

748.	CD70_11_CCx CD3-scFc	VL CDR2	gassrat
749.	CD70_11_CCx CD3-scFc	VL CDR3	qqygdlpft
750.	CD70_11_CCx CD3-scFc	VH	evqllesgggmvpqpggslrlscaasgftfs syamswvrqapgkclewvsaisgsggrtfy aesvegrftisrdnskntlylqmnsraed tavyycahdysnypyfdywgqgtlvtvss
751.	CD70_11_CCx CD3-scFc	VL	eivltqspgtlslspgeratls crasqsvr snylawyqqkpgqaprlliygassratgip drfsgsgsgtdftltisrlepedfavyycq qygdlpftfgcgtkveik
752.	CD70_11_CCx CD3-scFc	scFv	evqllesgggmvpqpggslrlscaasgftfs syamswvrqapgkclewvsaisgsggrtfy aesvegrftisrdnskntlylqmnsraed tavyycahdysnypyfdywgqgtlvtvss ggggsgggsggggseivltqspgtlslsp geratls crasqsvr snylawyqqkpgqap rlliygassratgipdrfsgsgtdftlt isrlepedfavyycqygdlpftfgcgtkv eik
753.	CD70_11_CCx CD3-scFc	биспецифическая молекула	evqllesgggmvpqpggslrlscaasgftfs syamswvrqapgkclewvsaisgsggrtfy aesvegrftisrdnskntlylqmnsraed tavyycahdysnypyfdywgqgtlvtvss ggggsgggsggggseivltqspgtlslsp geratls crasqsvr snylawyqqkpgqap rlliygassratgipdrfsgsgtdftlt isrlepedfavyycqygdlpftfgcgtkv eiksggggsevqlvesggglvqpggslkls caasgftfnkyamnvrqapgkglewvari rskynnyatyyadvkdrftisrddsknta ylqmnnlktedtavyycvrhgnfgnsyisy waywgqgtlvtvssggggsgggsgggsgq tvvtqepsltvspggtvtltcgsstgavts

			gnypnwvqqkpgqaprgliggtkflapgtp arfgsllggkaaltlsgvqpedeaeeycv lwysnrwvfgggtklvtl
754.	CD70_11_CCx CD3-scFc	биспецифическая HLE молекула	evqllesgggmvpqpgslrlscaasgftfs syamswvrqapgkclewvsaisgsggrtfy aesvegrftisrdnskntlylqmnsraed tavyycahdysnpyfydywgqgtlvtvss ggggsgggsgggseivltqspgtlslsp geratlscrasqsvrsnylawyqqkpgqap rlliYGassratgipdrfsgsgsgtdftlt isrlepedfavyyccqygdlpftfgcgtkv eiksggggsevqlvesggglvqpggskls caasgftfnkyamnwrqapgkglewvari rskynnyatyyadsvkdrftisrddsknta ylqmnnktdtavyycvrhgnfgnsyisy waywgqgtlvtvssggggsgggsgggsgq tvvtqepsltvspggtvtltcgsstgavts gnypnwvqqkpgqaprgliggtkflapgtp arfgsllggkaaltlsgvqpedeaeeycv lwysnrwvfgggtklvtlvgggdkthtcpp cpapellggpsvflfppkpkdtlmisrtpe vtcvvvdvshedpevkfnwyvdgvevhnak tkpceeQygstycvsvltvlhqdwlngke ykckvsnkalpapiektiskakgqprepqv ytlppsreemtknqvsltclvkgfypsdi vewesngqpennykttpvldsdgsffly kltvdksrwqqgnvfscsvmhealhnhtq kslslspgKggggsgggsgggsgggsg ggsgggsgdkthtcppcpapellggpsvf lfppkpkdtlmisrtpevtcvvvdvshedp evkfnwyvdgvevhnaktkpceeQygstyr cvsvltvlhqdwlngkeykckvsnkaldpap iektiskakgqprepqvtytlppsreemtkn qvsltclvkgfypsdiavewesngqpenny kttpvldsdgsfflyskltvdksrwqqgn

			vfscsvmhealhnhytqkslslspgk
755.	CD70_11xCD3 -scFc	VH	evqllesgggmvpqpggslrlscaasgftfs syamswvrqapggkglewvsaisgsggrtfy aesvegrftisrdnskntlylqmnsdraed tavyycahdysnpyfydywgqggtlvtvss
756.	CD70_11xCD3 -scFc	VL	eivltqspgtlslspgeratlsccrasqsvr snylawyqqkpgqaprlliygassratgip drfsgsgsgtdftltisrlepedfavyycq qygdlpftfgpgtkveik
757.	CD70_11xCD3 -scFc	scFv	evqllesgggmvpqpggslrlscaasgftfs syamswvrqapggkglewvsaisgsggrtfy aesvegrftisrdnskntlylqmnsdraed tavyycahdysnpyfydywgqggtlvtvss ggggsgggsggggseivltqspgtlslsp geratlsccrasqsvrsnylawyqqkpgqap rlliygassratgipdrfsgsgsgtdftlt isrlepedfavyycqygdlpftfgpgtkv eik
758.	CD70_11xCD3 -scFc	биспецифическая молекула	evqllesgggmvpqpggslrlscaasgftfs syamswvrqapggkglewvsaisgsggrtfy aesvegrftisrdnskntlylqmnsdraed tavyycahdysnpyfydywgqggtlvtvss ggggsgggsggggseivltqspgtlslsp geratlsccrasqsvrsnylawyqqkpgqap rlliygassratgipdrfsgsgsgtdftlt isrlepedfavyycqygdlpftfgpgtkv eiksggggsevqlvesggglvqpggslkls caasgftfnkyamnwwvrqapggkglewvari rskynnyatyyadsvkdrftisrddsknta ylqmnlktdtavyycvrhgnfgnsyisy waywgqgtlvtvssggggsgggsgggsgq tvvtqepsltvspggtvtltcgsstgavts gnypnwqqkpgqaprgliggtkflapgtp arfgsllggkaaltlsgvqpdeaeeycv lwysnrwvfgggtklvtl

759.	CD70_11xCD3 -scFc	биспецифическая HLE молекула	<p>evqllesgggmvpqpgslrlscaasgftfs syamswvrqapgkglewvsaisgsggrtfy aesvegrftisrdnskntlylqmnsraed tavyycahdysnpyfydywgqgtltvtvss ggggsgggsggggseivltqspgtlslsp geratlscrasqsvrsnylawyqqkpgqap rlliygassratgipdrfsgsgsgtdftlt isrlepedfavyyccqygdlpftfgpgtkv eiksggggsevqlvesggglvqpggslkls caasgftfnkyamnvrqapgkglewvari rskynnyatyyadsvkdrftisrddsknta ylqmnnlktedtavyycvrhgnfgnsyisy waywgqgtltvtvssggggsgggsgggsgq tvvtqepsltvspggtvtltcgsstgavts gnypnwvqqkpgqaprgliggtkflapgtp arfsgslggkaaltlsgvqpedeaeeycv lwysnrwvfgggtklvtlvgggdkthtcpp cpapellggpsvflfppkpkdtlmsrtpe vtcvvvdvshedpevkfnwyvdgvevhnak tkpceezygstyrcvsvltvlhqdwlngke ykckvsnkalspapektiskakgqprepqv ytlppsreemtknqvsltclvkgfypsdi vewesngqpennykttpvldsdsffly kltdksrwqqgnvfscsvmhealhnhytq kslslspgKggggsgggsgggsgggsg ggsgggsgdkthtcppcpapellggpsv lfppkpkdtlmsrtpevtcvvvdvshedp evkfnwyvdgvevhnaktkpceezygstyr cvsvltvlhqdwlngkeykckvsnkalsp apektiskakgqprepqvtylppsreemtkn qvsltclvkgfypsdiavewesngqpenny kttpvldsdsfflyskltdksrwqqgn vfscsvmhealhnhytqkslslspgk</p>
760.	CD70_12_CCx CD3-scFc	VH CDR1	syams

761.	CD70_12_CCx CD3-scFc	VH CDR2	aisgsggrtfyaesveg
762.	CD70_12_CCx CD3-scFc	VH CDR3	hdysnpyfydy
763.	CD70_12_CCx CD3-scFc	VL CDR1	rasqsvrssyla
764.	CD70_12_CCx CD3-scFc	VL CDR2	gassrat
765.	CD70_12_CCx CD3-scFc	VL CDR3	qqygsspft
766.	CD70_12_CCx CD3-scFc	VH	evqllesgggmvpqpgslrlscaasgftfs syamswvrqapgkclewvsaisgsggrtfy aesvegrftisrdnskntlylqmnsraed tavyycahdysnpyfydywgqgtltvss
767.	CD70_12_CCx CD3-scFc	VL	eivltqspgtlslspgeratls crasqsvr ssylawyqqkpgqaprlliygassratgip drfsgsgsgtdftltisrlepedfavyycq qygsspftfgcgtkveik
768.	CD70_12_CCx CD3-scFc	scFv	evqllesgggmvpqpgslrlscaasgftfs syamswvrqapgkclewvsaisgsggrtfy aesvegrftisrdnskntlylqmnsraed tavyycahdysnpyfydywgqgtltvss ggggsgggsggggseivltqspgtlslsp geratls crasqsvr ssylawyqqkpgqap rlliygassratgipdrfsgsgsgtdftlt isrlepedfavyycq qygsspftfgcgtkv eik
769.	CD70_12_CCx CD3-scFc	биспецифическая молекула	evqllesgggmvpqpgslrlscaasgftfs syamswvrqapgkclewvsaisgsggrtfy aesvegrftisrdnskntlylqmnsraed tavyycahdysnpyfydywgqgtltvss ggggsgggsggggseivltqspgtlslsp geratls crasqsvr ssylawyqqkpgqap rlliygassratgipdrfsgsgsgtdftlt isrlepedfavyycq qygsspftfgcgtkv

			eiksggggsevqlvesggglvqpggslkls caasgftfnkyamnvrqapgkglewvari rskynnyatyyadsvkdrftisrddsknta ylqmnnlktedtavyycvrhgnfgnsyisy waywgqgtlvtvssgggsgggsgggsgq tvvtqepsltvspggtvtltcgsstgavts gnypnwvqqkpgqaprgliggtkflapgtp arfgsllggkaaltlsgvqpedeaeyycv lwysnrwvfgggtkltvl
770.	CD70_12_CCx CD3-scFc	биспецифи ческая HLE молекула	evqllesgggmvpqpgslrlscaasgftfs syamswvrqapgkclewvsaisgsggrtfy aesvegrftisrdnskntlylqmnsraed tavyycahdysnpyfydwqgtlvtvss gggsgggsggggseivltqspgtlslsp geratlscrasqsvrsslawyqqkpgqap rlliygassratgipdrfsgsgsgtdftlt isrlepedfavyyccqygsspftfgcgtkv eiksggggsevqlvesggglvqpggslkls caasgftfnkyamnvrqapgkglewvari rskynnyatyyadsvkdrftisrddsknta ylqmnnlktedtavyycvrhgnfgnsyisy waywgqgtlvtvssgggsgggsgggsgq tvvtqepsltvspggtvtltcgsstgavts gnypnwvqqkpgqaprgliggtkflapgtp arfgsllggkaaltlsgvqpedeaeyycv lwysnrwvfgggtkltvlgggdkthtcpp cpapellggpsvflfppkpkdtlmisrtpe vtcvvvdvshedpevkfnwyvdgvevhnak tkpceeqygstycvsvltvlhqdwlngke ykckvsnkalpapiektiskakgqprepqv ytlppsreemtknqvsltclvkgfydia vewesngqpennyktppvldsdsfflys kltvdksrwqqgnvfscsvmhealhhhtq kslslspgKgggsgggsgggsgggsgg gggsgggsgdkthtcppcpapellggpsvf

			lfppkpkdtlmisrtpevtcvvvdvshedp evkfnwyvdgvevhnaktkpceeegystyr cvsvltvlhqdwlngkeykckvsnkalpap iektiskakgqprepqvytlppsreemtkn qvsltclvkgfypsdiavewesngqpenny kttpvldsdsfflyskltvdksrwqqgn vfscsvmhealhhnytqkslslspgk
771.	CD70_12xCD3 -scFc	VH	evqllesgggmvpqpgslrlscaasgftfs syamswvrqapgkglewvsaisgsggrtfy aesvegrftisrdnskntlylqmnsraed tavyycahdysnpyfydywgqgtlvtvss
772.	CD70_12xCD3 -scFc	VL	eivltqspgtlslspgeratlscrasqsvr ssylawyqqkpgqaprlliygassratgip drfsgsgsgtdftltisrlepedfavyycq qygsspftfgpgtkveik
773.	CD70_12xCD3 -scFc	scFv	evqllesgggmvpqpgslrlscaasgftfs syamswvrqapgkglewvsaisgsggrtfy aesvegrftisrdnskntlylqmnsraed tavyycahdysnpyfydywgqgtlvtvss ggggsgggsggggseivltqspgtlslsp geratlscrasqsvrsslawyqqkpgqap rlliygassratgipdrfsgsgsgtdftlt isrlepedfavyyccqygsspftfgpgtkv eik
774.	CD70_12xCD3 -scFc	биспецифи ческая молекула	evqllesgggmvpqpgslrlscaasgftfs syamswvrqapgkglewvsaisgsggrtfy aesvegrftisrdnskntlylqmnsraed tavyycahdysnpyfydywgqgtlvtvss ggggsgggsggggseivltqspgtlslsp geratlscrasqsvrsslawyqqkpgqap rlliygassratgipdrfsgsgsgtdftlt isrlepedfavyyccqygsspftfgpgtkv eiksggggsevqlvesggglvqpgslkls caasgftfnkyamnwvrqapgkglewvari rskynnyatyyadsvkdrftisrddsknta

			<p>ylqmnlnktdtavyycvrhgnfgnsyisy waywqggtlvtvssgggsgggsgggsgq tvvtqepsltvspggtvtltcgsstgavts gnypnwvqqkpgqaprgliggtkflapgtp arfsgslggkaaltlsgvqpedeaeeycv lwysnrwvfgggtklvtl</p>
775.	CD70_12xCD3 -scFc	биспецифи ческая HLE молекула	<p>evqllesgggmvpqgslrlscaasgftfs syamswvrqapgkglewvsaisgsggrtfy aesvegrftisrdnskntlylqmnsraed tavyycahdysnpyfdywqggtlvtvss gggsgggsggggseivltqspgtlslsp geratlscrasqsvrsslawyqqkpgqap rlliygassratgipdrfsgsgsgtdftlt isrlepedfavyyccqygsspftfgpgtkv eiksggggsevqlvesggglvqpggskls caasgftfnkyamnvrqapgkglewvari rskynnyatyadsvkdrftisrddsknta ylqmnlnktdtavyycvrhgnfgnsyisy waywqggtlvtvssgggsgggsgggsgq tvvtqepsltvspggtvtltcgsstgavts gnypnwvqqkpgqaprgliggtkflapgtp arfsgslggkaaltlsgvqpedeaeeycv lwysnrwvfgggtklvtlvgggdkthtcpp cpapellggpsvflfppkpkdtlmisrtpe vtcvvdvshedpevkfnwyvdgvevhnak tkpceeegystyrcvsvltvlhqdwlngke ykckvsnkalspapektiskakgqprepqv ytlppsreemtknqvsltclvkgfyfysdia vewesngqpennyktppvldsdsfflys kltvdksrwqgnvfscsvmhealhnhytq kslslspgKgggsgggsgggsgggsg ggsgggsgdkthtcppcpapellggpsvf lfppkpkdtlmisrtpevtcvvdvshedp evkfnwyvdgvevhnaktkpceeegystyr cvsvltvlhqdwlngkeykckvsnkalsp</p>

			iektiskakgqpprepqvvtlppsreemtkn qvsltclvkgfypsdiavewesngqpenny kttppvldsdsfflyskltvdksrwqqgn vfscsvmhealthnhytqkslslspgk
776.	CD70_13_CCx CD3-scFc	VH CDR1	syams
777.	CD70_13_CCx CD3-scFc	VH CDR2	aishgsggstfyaesvqg
778.	CD70_13_CCx CD3-scFc	VH CDR3	hdysnypyfdy
779.	CD70_13_CCx CD3-scFc	VL CDR1	rasqsvrgnyla
780.	CD70_13_CCx CD3-scFc	VL CDR2	gassrat
781.	CD70_13_CCx CD3-scFc	VL CDR3	qygyspft
782.	CD70_13_CCx CD3-scFc	VH	evqllesggglvqpggslrlscaasgftfs syamswvrqapgkclewvsaisgsggstfy aesvqgrftisrdnskntlylqvnsraed tavyyicarhdysnypyfdywgqgtlvtvss
783.	CD70_13_CCx CD3-scFc	VL	eivltqspgtlslspgeratlscrasqsvr gnylawyqqkpgqaprlliygassratgip drfsgsgsgtdftltisrlepedfavyycq qygyspftfgcgtkveik
784.	CD70_13_CCx CD3-scFc	scFv	evqllesggglvqpggslrlscaasgftfs syamswvrqapgkclewvsaisgsggstfy aesvqgrftisrdnskntlylqvnsraed tavyyicarhdysnypyfdywgqgtlvtvss ggggsgggsgggseivltqspgtlslsp geratlscrasqsvrgnylawyqqkpgqap rlliygassratgipdrfsgsgsgtdftlt isrlepedfavyycqygyspftfgcgtkv eik
785.	CD70_13_CCx CD3-scFc	биспецифи ческая	evqllesggglvqpggslrlscaasgftfs syamswvrqapgkclewvsaisgsggstfy

		молекула	<p>aesvqgrftisrdnskntlylqvnsraed tavyycarhdysnpyfdywqggtlvtvss ggggsgggsgggseivltqspgtlslsp geratlscrasqsvrgnylawyqqkpgqap rlliygassratgipdrfsgsgsgtdftlt isrlepedfavyyccqygyspftfgcgtkv eiksggggsevqlvesggglvqpggslkls caasgftfnkyamnvrqapkglewvari rskynnyatyyadsvkdrftisrddsknta ylqmnkktedtavyycvrhgnfgnsyisy waywqggtlvtvssggggsgggsgggsgq tvvtqepsltvspggtvtltcgsstgavts gnypnwvqqkpgqaprgliggtkflapgtp arfgsllggkaaltlsgvqpedeaeyycv lwysnrwvfgggtkltvl</p>
786.	CD70_13_CCx CD3-scFc	биспецифическая HLE молекула	<p>evqllesggglvqpggslrlscaasgftfs syamswvrqapgkclewvsaisgsggstfy aesvqgrftisrdnskntlylqvnsraed tavyycarhdysnpyfdywqggtlvtvss ggggsgggsgggseivltqspgtlslsp geratlscrasqsvrgnylawyqqkpgqap rlliygassratgipdrfsgsgsgtdftlt isrlepedfavyyccqygyspftfgcgtkv eiksggggsevqlvesggglvqpggslkls caasgftfnkyamnvrqapkglewvari rskynnyatyyadsvkdrftisrddsknta ylqmnkktedtavyycvrhgnfgnsyisy waywqggtlvtvssggggsgggsgggsgq tvvtqepsltvspggtvtltcgsstgavts gnypnwvqqkpgqaprgliggtkflapgtp arfgsllggkaaltlsgvqpedeaeyycv lwysnrwvfgggtkltvlgggdkthtcpp cpapellggpsvflfppkpkdtlmisrtpe vtcvvvdvshedpevkfnwyvdgvevhnak tkpceezygstyrcvsvltvlhqdwlngke</p>

			ykckvsnkalspapektiskakgqpprepqv ytlppsreemtknqvsltclvkgfypsdi vewesngqpennykttppvldsdsffly kltvdksrwqggnvfscsvmhealhnhytq kslsispkgKgggsgggsgggsgggsgg ggsgggsgdkthtccppcappelggpsvf lfppkpkdtlmisrtpevtcvvvdvshedp evkfnwyvdgvevhnaktkpceezygstyr cvsvltvlhqdwlngkeykckvsnkalsp iektiskakgqpprepqvtytlppsreemtkn qvsltclvkgfypsdiavewesngqpenny kttppvldsdsfflyskltvdksrwqggn vfscsvmhealhnhytqkslsispkg
787.	CD70_13xCD3 -scFc	VH	evqllesggglvqpggslrlscaasgftfs syamswvrqapggkglewvsaisgsggstfy aesvqgrftisrdnskntlylqvnsraed tavyycarhdysnypyfdywgqgtlvtvss
788.	CD70_13xCD3 -scFc	VL	eivltqspgtlsispgeratlsccrasqsvr gnylawyqqkpgqaprlliygassratgip drfsgsgsgtdftltisrlepedfavyycc qygyspftfgpgtkveik
789.	CD70_13xCD3 -scFc	scFv	evqllesggglvqpggslrlscaasgftfs syamswvrqapggkglewvsaisgsggstfy aesvqgrftisrdnskntlylqvnsraed tavyycarhdysnypyfdywgqgtlvtvss ggsgggsgggggseivltqspgtlsisp geratlsccrasqsvrgnylawyqqkpgqap rlliygassratgipdrfsgsgsgtdftlt isrlepedfavyyccqygyspftfgpgtkv eik
790.	CD70_13xCD3 -scFc	биспецифи ческая молекула	evqllesggglvqpggslrlscaasgftfs syamswvrqapggkglewvsaisgsggstfy aesvqgrftisrdnskntlylqvnsraed tavyycarhdysnypyfdywgqgtlvtvss ggsgggsgggggseivltqspgtlsisp

			<p>geratlscrasqsvrgnylawyqqkpgqap rlliygassratgipdrfsgsgsgtdftlt isrlepedfavyyccqygyspftfgpgtkv eiksggggsevqlvesggglvqpggslkls caasgftfnkyamnvrqapgkglewvari rskynnyatyyadsvkdrftisrddsanta ylqmnlnktdtavyycvrhgnfgnsyisy waywgqgtlvtvssggggsgggsggggsq tvvtqepsltvspggtvtltcgsstgavts gnypnwvqqkpgqaprgliggtkflapgtp arfgsllggkaaltlsgvqpedeaeeycv lwysnrwvfgggtkltvl</p>
791.	CD70_13xCD3 -scFc	биспецифическая HLE молекула	<p>evqllesggglvqpggslrlscaasgftfs syamswvrqapgkglewvsaisgsggstfy aevqgrftisrdnskntlylqvnsraed tavyycarhdysnpyfydywgqgtlvtvss ggggsgggsggggseivltqspgtlslsp geratlscrasqsvrgnylawyqqkpgqap rlliygassratgipdrfsgsgsgtdftlt isrlepedfavyyccqygyspftfgpgtkv eiksggggsevqlvesggglvqpggslkls caasgftfnkyamnvrqapgkglewvari rskynnyatyyadsvkdrftisrddsanta ylqmnlnktdtavyycvrhgnfgnsyisy waywgqgtlvtvssggggsgggsggggsq tvvtqepsltvspggtvtltcgsstgavts gnypnwvqqkpgqaprgliggtkflapgtp arfgsllggkaaltlsgvqpedeaeeycv lwysnrwvfgggtkltvlgggdkthtcpp cpapellggpsvflfppkpkdtlmisrtpe vtcvvvdvshedpevkfnwyvdgvevhnak tkpceeqygstycvsvltvlhqdwlngke ykckvsnkalpapiektiskakgqprepqv ytlppsreemtknqvsltclvkgfypsia vewesngqpennykttppvldsdgsfflys</p>

			kltvdksrwqqgnvfscsvmhealhhnytq kslslspgKggggsgggsgggsgggsg ggsgggsgdkthtccppcpapellggpsvf lfppkpkdtlmisrtpevtcvvvdvshedp evkfnwyvdgvevhnaktkpceeeygstyr cvsvltvlhqdwlngkeykckvsnkalpap iektiskakggpprepqvvtlppsreemtkn qvsltclvkgfypsdiavewesngqpenny kttpvldsdsfflyskltvdksrwqqgn vfscsvmhealhhnytqkslslspgk
792.	CD70_14_CCx CD3-scFc	VH CDR1	tyams
793.	CD70_14_CCx CD3-scFc	VH CDR2	aigsggggtfyaesvkg
794.	CD70_14_CCx CD3-scFc	VH CDR3	hdysnypyfdy
795.	CD70_14_CCx CD3-scFc	VL CDR1	rasqsirsnyla
796.	CD70_14_CCx CD3-scFc	VL CDR2	gassrat
797.	CD70_14_CCx CD3-scFc	VL CDR3	qyqgsspft
798.	CD70_14_CCx CD3-scFc	VH	evqllesggglvqpggslrlscaasgftfs tyamswvrqapgkclewvsaisgsggtfy aesvkgrftisrdnskntlylqmnsraed tavyycahdysnypyfdywgggtlvtvss
799.	CD70_14_CCx CD3-scFc	VL	eivltqspgtlslspgeratlscrasqsir snylawyqqkpgqaprlliygassratgip drfsgsgsgtdftltisrlepedfavyycq qygsspftfgcgtkveik
800.	CD70_14_CCx CD3-scFc	scFv	evqllesggglvqpggslrlscaasgftfs tyamswvrqapgkclewvsaisgsggtfy aesvkgrftisrdnskntlylqmnsraed tavyycahdysnypyfdywgggtlvtvss ggggsgggsggggseivltqspgtlslsp

			geratlsctasqsirsnylawyqqkpgqap rlliygassratgipdrfsgsgsgtdftlt isrlepedfavyyccqygsspftfgcgtkv eik
801.	CD70_14_CCx CD3-scFc	биспецифи ческая молекула	evqllesggglvqpggslrlscaasgftfs tyamswvrqapgkclewvsaisgsgggtfy aesvkgrftisrdnskntlylqmnsraed tavyycahdysnypyfdywgqgtlvtvss ggggsgggsggggseivltqspgtlslsp geratlsctasqsirsnylawyqqkpgqap rlliygassratgipdrfsgsgsgtdftlt isrlepedfavyyccqygsspftfgcgtkv eiksggggsevqlvesggglvqpggslkls caasgftfnkyamnvrqapgkglewvari rskynnyatyyadvkdrftisrddsknta ylqmnlktdtavyycvrhgnfgnsyisy waywgqgtlvtvssggggsgggsgggsgq tvvtqepsltvspggtvtltcgsstgavts gnypnwvqqkpgqaprgliggtkflapgtp arfgsllggkaaltlsgvqpedeaeyycv lwysnrwvfgggtklvtl
802.	CD70_14_CCx CD3-scFc	биспецифи ческая HLE молекула	evqllesggglvqpggslrlscaasgftfs tyamswvrqapgkclewvsaisgsgggtfy aesvkgrftisrdnskntlylqmnsraed tavyycahdysnypyfdywgqgtlvtvss ggggsgggsggggseivltqspgtlslsp geratlsctasqsirsnylawyqqkpgqap rlliygassratgipdrfsgsgsgtdftlt isrlepedfavyyccqygsspftfgcgtkv eiksggggsevqlvesggglvqpggslkls caasgftfnkyamnvrqapgkglewvari rskynnyatyyadvkdrftisrddsknta ylqmnlktdtavyycvrhgnfgnsyisy waywgqgtlvtvssggggsgggsgggsgq tvvtqepsltvspggtvtltcgsstgavts

			<p>gnypnwvqqkpgqaprgliggtkflapgtp arfgsllggkaaltlsgvqpdeaeeycv lwysnrwvfgggtklvtlvgggdkthtcpp cpapellggpsvflfppkpkdtlmisrtp vtcvvvdvshedpevkfnwyvdgvevhnak tkpceeegystyrcvsvltvlhqdwlngke ykckvsnkalpapiektiskakgqprepqv ytlppsreemtknqvsltclvkgfypsdi vewesngqpennykttppvldsdsfflys kltvdksrwqqgnvfscsvmhealhnhytq kslslspgKgggsgggsgggsgggsg ggsgggsgdkthtcppcpapellggpsvf lfppkpkdtlmisrtpvctcvvvdvshedp evkfnwyvdgvevhnaktkpceeegysty cvsvltvlhqdwlngkeykckvsnkalpap iektiskakgqprepqvtytlppsreemtkn qvsltclvkgfypsdiavewesngqpenny kttppvldsdsfflyskltvdksrwqqgn vfscsvmhealhnhytqkslslspgk</p>
803.	CD70_14xCD3 -scFc	VH	<p>evqllesggglvqpggslrlscaasgftfs tyamswvrqapggkglewvsaisgsgggtfy aevkgrftisrdnskntlylqmnsraed tavyycahdysnpyfydywgqgtlvtvss</p>
804.	CD70_14xCD3 -scFc	VL	<p>eivltqspgtlslspgeratlscrasqsir snylawyqqkpgqaprlliygassratgip drfsgsgsgtdftltisrlepedfavyycq qygsspftfgpgtkveik</p>
805.	CD70_14xCD3 -scFc	scFv	<p>evqllesggglvqpggslrlscaasgftfs tyamswvrqapggkglewvsaisgsgggtfy aevkgrftisrdnskntlylqmnsraed tavyycahdysnpyfydywgqgtlvtvss ggsgggsgggsgggseivltqspgtlslsp geratlscrasqsirsnylawyqqkpgqap rlliygassratgipdrfsgsgsgtdftlt isrlepedfavyycqygsspftfgpgtkv</p>

			eik
806.	CD70_14xCD3 -scFc	биспецифическая молекула	evqllesggglvqpggslrlscaasgftfs tyamswvrqapgkglewvsaisgsggtfy aesvkgrftisrdnskntlylqmnsdraed tavyycahdysnpyfydywgqgtlvtvss ggggsgggsggggseivltqspgtlslsp geratlsccrasqsirsnylawyqqkpgqap rlliygassratgipdrfsgsgsgtdftlt isrlepedfavyyccqygsspftfgpgtkv eiksggggsevqlvesggglvqpggslkls caasgftfnkyamnwwrqapgkglewvari rskynnyatyyadsvkdrftisrddsknta ylqmnlktdtavyycvrhgnfgnsyisy waywgqgtlvtvssggggsgggsgggsgq tvvtqepsltvspggtvtltcgsstgavts gnypnwqqkpgqaprgliggtkflapgt arfsgslggkaaltlsgvqpedeaeyycv lwysnrwvfgggtkltvl
807.	CD70_14xCD3 -scFc	биспецифическая HLE молекула	evqllesggglvqpggslrlscaasgftfs tyamswvrqapgkglewvsaisgsggtfy aesvkgrftisrdnskntlylqmnsdraed tavyycahdysnpyfydywgqgtlvtvss ggggsgggsggggseivltqspgtlslsp geratlsccrasqsirsnylawyqqkpgqap rlliygassratgipdrfsgsgsgtdftlt isrlepedfavyyccqygsspftfgpgtkv eiksggggsevqlvesggglvqpggslkls caasgftfnkyamnwwrqapgkglewvari rskynnyatyyadsvkdrftisrddsknta ylqmnlktdtavyycvrhgnfgnsyisy waywgqgtlvtvssggggsgggsgggsgq tvvtqepsltvspggtvtltcgsstgavts gnypnwqqkpgqaprgliggtkflapgt arfsgslggkaaltlsgvqpedeaeyycv lwysnrwvfgggtkltvlgggdkthtcpp

			cpapellggpsvflfppkpkdtlmisrtpe vtcvvvdvshedpevkfnwyvdgvevhnak tkpceeegystyrcvsvltvlhqdwlngke ykckvsnkalspapektiskakgqprepqv ytlppsreemtknqvsltclvkgfypsdi vewesngqpennykttppvldsdsfflys kltvdksrwqqgnvfscsvmhealhhnytq kslslspgKggggsgggsgggsgggsg ggsgggsgskthtcppcpapellggpsvf lfppkpkdtlmisrtpevtcvvvdvshedp evkfnwyvdgvevhnaktkpeeegysty cvsvltvlhqdwlngkeykckvsnkalsp apektiskakgqprepqvtytlppsreemtk nqvsltclvkgfypsdiavewesngqpenny kttppvldsdsfflyskltvdksrwqqgn vfscsvmhealhhnytqkslslspgk
808.	CD70_15_CCx CD3-scFc	VH CDR1	tyams
809.	CD70_15_CCx CD3-scFc	VH CDR2	lisgsggrtyyaesvkg
810.	CD70_15_CCx CD3-scFc	VH CDR3	hdysnypyfdy
811.	CD70_15_CCx CD3-scFc	VL CDR1	rasqsvrsnyla
812.	CD70_15_CCx CD3-scFc	VL CDR2	gasnrat
813.	CD70_15_CCx CD3-scFc	VL CDR3	qqygisppt
814.	CD70_15_CCx CD3-scFc	VH	evqllesggglvqpggslrlscaasgftfs tyamswvrqapgkclewvslisgsggrtyy aesvkgrftisrdnskntlylqmnsdraed tavyycahdysnypyfdywgqgtlvtvss
815.	CD70_15_CCx CD3-scFc	VL	eivltqspgtlspsgeratlsrasqsvr snylawyqqkpgqaprlliygasnratgip drfsgsgsgtdftltisrlepedfavyscq

			qygispptfgcgtkveik
816.	CD70_15_CCx CD3-scFc	scFv	evqllesggglvqpggslrlscaasgftfs tyamswvrqapgkclewvslisgsggrtyy aesvkgrftisrdnskntlylqmnsraed tavyycahdysnpyfydywgqgtlvtvss ggggsgggsggggseivltqspgtlslsp geratlscrasqsvrsnylawyqqkpgqap rlliygasnratgipdrfsgsgsgtdftlt isrlepedfavyscqyqygispptfgcgtkv eik
817.	CD70_15_CCx CD3-scFc	биспецифи ческая молекула	evqllesggglvqpggslrlscaasgftfs tyamswvrqapgkclewvslisgsggrtyy aesvkgrftisrdnskntlylqmnsraed tavyycahdysnpyfydywgqgtlvtvss ggggsgggsggggseivltqspgtlslsp geratlscrasqsvrsnylawyqqkpgqap rlliygasnratgipdrfsgsgsgtdftlt isrlepedfavyscqyqygispptfgcgtkv eiksggggsevqlvesggglvqpggslkls caasgftfnkyamnvwvrqapgkglewvari rskynnyatyyadvkdrftisrddsanta ylqmnlktdtavyycvrhgnfgnsyisy waywgqgtlvtvssggggsgggsgggsgq tvvtqepsltvspggtvtltcgsstgavts gnypnwvqqkpgqaprgliggtkflapgtp arfgsllggkaaltlsgvqpdeaeeycv lwysnrwvfgggtklvtl
818.	CD70_15_CCx CD3-scFc	биспецифи ческая HLE молекула	evqllesggglvqpggslrlscaasgftfs tyamswvrqapgkclewvslisgsggrtyy aesvkgrftisrdnskntlylqmnsraed tavyycahdysnpyfydywgqgtlvtvss ggggsgggsggggseivltqspgtlslsp geratlscrasqsvrsnylawyqqkpgqap rlliygasnratgipdrfsgsgsgtdftlt isrlepedfavyscqyqygispptfgcgtkv

			<p>eiksggggsevqlvesggglvqpggslkls caasgftfnkyamnvrqapgglewvari rskynnyatyyadsvkdrftisrddsknta ylqmnlnktdtavyycvrhgnfgnsyisy waywgqgtltvtvssgggsgggsgggsgq tvvtqepsltvspggtvtltcgsstgavts gnypnwqqkpgqaprgliggtkflapgtp arfgsllggkaaltlsgvqpedeaeyycv lwysnrwvfgggtklvtlvgggdkthtcpp cpapellggpsvflfppkpkdtlmisrtpe vtcvvvdvshedpevkfnwyvdgvevhnak tkpceeegystyrcvsvltvlhqdwlngke ykckvsnkalpapiektiskakgqprepqv ytlppsreemtknqvsltclvkgfypsdi vewesngqpennykttppvldsdsffly kltvdksrwqqgnvfscvmhealhnhytq kslsispgKgggsgggsgggsgggsg ggsgggsgdkthtcppcpapellggpsv lfppkpkdtlmisrtpevtcvvvdvshedp evkfnwyvdgvevhnaktkpeeegysty cvsvltvlhqdwlngkeykckvsnkalp iektiskakgqprepqvtytlppsreemtk qvsltclvkgfypsdiavewesngqpenny kttppvldsdsfflyskltvdksrwqqgn vfscvmhealhnhytqkslsispgk</p>
819.	CD70_15xCD3 -scFc	VH	<p>evqllesggglvqpggslrlscaasgftfs tyamswvrqapgglewvslisgsggrtyy aesvkgrftisrdnskntlylqmnsraed tavyycahdysnpyfydywgqgtltvtvss</p>
820.	CD70_15xCD3 -scFc	VL	<p>eivltqspgtlsispggeratlsccrasqsvr snylawyqqkpgqaprlliygasnratgip drfsgsgsgtdftltisrlepedfavyscq qygispptfgggtkveik</p>
821.	CD70_15xCD3 -scFc	scFv	<p>evqllesggglvqpggslrlscaasgftfs tyamswvrqapgglewvslisgsggrtyy</p>

			<p>aesvkgrftisrdnskntlylqmnsraed tavyycahdysnpyfdywgqgtlvtvss ggggsgggsgggseivltqspgtlslsp geratlscrasqsvrsnylawyqqkpgqap rlliygasnratgipdrfsgsgsgtdftlt isrlepedfavyscqyqgispptfgggtkv eik</p>
822.	CD70_15xCD3 -scFc	биспецифическая молекула	<p>evqllesggglvqpggsrlscaasgftfs tyamswvrqapgkglewslisgsggrtyy aesvkgrftisrdnskntlylqmnsraed tavyycahdysnpyfdywgqgtlvtvss ggggsgggsgggseivltqspgtlslsp geratlscrasqsvrsnylawyqqkpgqap rlliygasnratgipdrfsgsgsgtdftlt isrlepedfavyscqyqgispptfgggtkv eiksgggsevqlvesggglvqpggskls caasgftfnkyamnvrqapgkglewvari rskynnyatyyadsvkdrftisrddsknta ylqmnlktdtavyycvrhgnfgnsyisy waywgqgtlvtvssggggsgggsgggsgq tvvtqepsltvspggtvtlctgsstgavts gnypnwvqqkpgqaprgliggtkflapgtp arfgsllggkaaltlsgvqpedeaeyycv lwysnrwvfgggtklvtl</p>
823.	CD70_15xCD3 -scFc	биспецифическая HLE молекула	<p>evqllesggglvqpggsrlscaasgftfs tyamswvrqapgkglewslisgsggrtyy aesvkgrftisrdnskntlylqmnsraed tavyycahdysnpyfdywgqgtlvtvss ggggsgggsgggseivltqspgtlslsp geratlscrasqsvrsnylawyqqkpgqap rlliygasnratgipdrfsgsgsgtdftlt isrlepedfavyscqyqgispptfgggtkv eiksgggsevqlvesggglvqpggskls caasgftfnkyamnvrqapgkglewvari rskynnyatyyadsvkdrftisrddsknta</p>

			ylmnnlktedtavyycvrhgnfgnsyisy waywgggtlvtvssggggsgggsgggsgq tvvtqepsltvspggtvtltcgsstgavts gnypnwvqqkpgqaprgliggtkflapgtp arfsgsllggkaaltlsgvqpedeaeeycv lwysnrwvfgggtklvtlvgggdkthtcpp cpapellggpsvflfppkpkdtlmisrtp vtcvvdvshedpevkfnwyvdgvevhnak tkpceeegystyrcvsvltvlhqdwlngke ykckvsnkalspapektiskakgqprepqv ytlppsreemtknqvsltclvkgfypsdi vewesngqpennykttppvldsdsfflys kltvdksrwqqgnvfscsvmhealhnhytq kslslspgKggggsgggsgggsgggsg gggsgggsgdkthtcppcpapellggpsv flfppkpkdtlmisrtpvtecvvvdvshedp evkfnwyvdgvevhnaktkpceeegysty cvsvltvlhqdwlngkeykckvsnkalsp apektiskakgqprepqvtytlppsreemtk nqvsltclvkgfypsdiavewesngqpenny kttppvldsdsfflyskltvdksrwqqgn vfscsvmhealhnhytqkslslspgk
824.	CD70_16_CCx CD3-scFc	VH CDR1	syams
825.	CD70_16_CCx CD3-scFc	VH CDR2	aisgsggraqaesvqg
826.	CD70_16_CCx CD3-scFc	VH CDR3	hdysnypyfdy
827.	CD70_16_CCx CD3-scFc	VL CDR1	rasqsvssnla
828.	CD70_16_CCx CD3-scFc	VL CDR2	gsssrat
829.	CD70_16_CCx CD3-scFc	VL CDR3	qqygssppp
830.	CD70_16_CCx	VH	evqllesggglvqpggsrlrlscaasgftfs

	CD3-scFc		syamswvrqspgkclewvsaisgsggraqy aesvqgrftvsrdnskntlylqmnsltraed tavyycahdysnpyfydywgqgtlvtvss
831.	CD70_16_CCx CD3-scFc	VL	eivltqspatlsvspgeratlsctasqsvs snlawyqqkpgqaprlliygsssratgipd rfsgsgsgtdftltisrlepedfavyyccq ygsspppfgcgtkveik
832.	CD70_16_CCx CD3-scFc	scFv	evqllesggglvqpggslrlscaasgftfs syamswvrqspgkclewvsaisgsggraqy aesvqgrftvsrdnskntlylqmnsltraed tavyycahdysnpyfydywgqgtlvtvss ggggsgggsggggseivltqspatlsvsp geratlsctasqsvssnlawyqqkpgqapr lliygsssratgipdrfsgsgsgtdftlti srlepedfavyyccqygsspppfgcgtkve ik
833.	CD70_16_CCx CD3-scFc	биспецифи ческая молекула	evqllesggglvqpggslrlscaasgftfs syamswvrqspgkclewvsaisgsggraqy aesvqgrftvsrdnskntlylqmnsltraed tavyycahdysnpyfydywgqgtlvtvss ggggsgggsggggseivltqspatlsvsp geratlsctasqsvssnlawyqqkpgqapr lliygsssratgipdrfsgsgsgtdftlti srlepedfavyyccqygsspppfgcgtkve iksggggsevqlvesggglvqpggslklsc aasgftfnkyamnwvrqapgkglewvarir skynnyatyadsvkdrftisrddskntay lqmnlktdtavyycvrhgnfgnsyisyw aywgqgtlvtvssggggsgggsgggsgt vvtqepsiltvspggtvtltcgsstgavtsg nypnwvqqkpgqaprgliggtkflapgtpa rfsgslggkaaltlsgvqpedaeeycvl wysnrwvfgggtklvtl
834.	CD70_16_CCx CD3-scFc	биспецифи ческая	evqllesggglvqpggslrlscaasgftfs syamswvrqspgkclewvsaisgsggraqy

		HLE молекула	<p>aesvqgrftvsrdnskntlylqmnsraed tavyycakhdysnpyfdywgqgtlvtvss ggggsgggsgggseivltqspatlsvsp geratlscrasqsvssnlawyqqkpgqapr llygsssratgipdrfsgsgsgtdftlti srlepedfavyyccqygsspppfgcgtkve iksggggsevqlvesggglvqpggslklsc aasgftfnkyamnvrqapgkglewvarir skynnyatyyadvkdrftisrddskntay lqmnlnktdtavyycvrhgnfgnsyisyw aywgqgtlvtvssggggsgggsgggsgt vvtqepsltvspggtvtltcgsstgavtsg nypnwvqqkpgqaprgliggtkflapgtpa rfsgslggkaaltlsgvqpedeaeycvl wysnrwvfgggtklvtlvggggdkthtcppc papellggpsvflfppkpkdtlmisrtpev tcvvdvshedpevkfnwydgvevhnakt kpceezygstyrcvsvltvlhqdwlngkey kckvsnkalpapiektiskakgpprepqvy tlppsreemtknqvsltclvkgfypsdiav ewesngqpennyktppvldsdsfflysk ltvdksrwqqgnvfscsvmhealhnhytqk slslspgKggggsgggsgggsgggsgg ggsgggsgdkthtcppcpapellggpsvfl fppkpkdtlmisrtpevtcvvdvshedpe vkfnwydgvevhnaktkpceezygstyrc vsvltvlhqdwlngkeykckvsnkalpapi ektiskakgpprepqvytlppsreemtknq vsltclvkgfypsdiavewesngqpennyk tppvldsdsfflyskltvdksrwqqgnv fscsvmhealhnhytqkslslspgk</p>
835.	CD70_16xCD3 -scFc	VH	<p>evqllesggglvqpggslrlscaasgftfs syamswvrqspgkglewvsaisgsggraqy aesvqgrftvsrdnskntlylqmnsraed tavyycakhdysnpyfdywgqgtlvtvss</p>

836.	CD70_16xCD3 -scFc	VL	eivltqspatlsvspgeratlsctasqsvs snlawyqqkpgqaprlliygssratgipd rfsgsgsgtdftltisrlepedfavyyccq ygsspppfgggtkveik
837.	CD70_16xCD3 -scFc	scFv	evqllesggglvqpggslrlscaasgftfs syamswvrqspgkglewvsaisgsggraqy aesvqgrftvsrdnskntlylqmnsraed tavyycahdysnpyfydywgqgtltvss ggggsgggsggggseivltqspatlsvsp geratlsctasqsvssnlawyqqkpgqapr lliygssratgipdrfsgsgsgtdftlti srlepedfavyyccqygsspppfgggtkve ik
838.	CD70_16xCD3 -scFc	биспецифи ческая молекула	evqllesggglvqpggslrlscaasgftfs syamswvrqspgkglewvsaisgsggraqy aesvqgrftvsrdnskntlylqmnsraed tavyycahdysnpyfydywgqgtltvss ggggsgggsggggseivltqspatlsvsp geratlsctasqsvssnlawyqqkpgqapr lliygssratgipdrfsgsgsgtdftlti srlepedfavyyccqygsspppfgggtkve iksggggsevqlvesggglvqpggslklsc aasgftfnkyamnwvrqapgkglewvarir skynnyatyadsvkdrftisrddskntay lqmnnlktedtavyycvrhgnfgnsyisyw aywgqgtltvssggggsgggsgggsgt vvtqepsiltvspggtvtltcgssstgavtsg nypnwvqqkpgqaprgliggtkflapgtpa rfsgsllggkaaltlsgvqpedeaeyycvl wysnrwvfgggtkltvl
839.	CD70_16xCD3 -scFc	биспецифи ческая HLE молекула	evqllesggglvqpggslrlscaasgftfs syamswvrqspgkglewvsaisgsggraqy aesvqgrftvsrdnskntlylqmnsraed tavyycahdysnpyfydywgqgtltvss ggggsgggsggggseivltqspatlsvsp

			<p>geratlscrasqsvssnlawyqqkpgqapr llygsssratgipdrfsgsgsgtdftlti srlepedfavyyccqygsspppfgggtkve iksggggsevqlvesggglvqpggslklsc aasgftfnkyamnvrqapgkglewvarir skynnyatyyadsvkdrftisrddskntay lqmnlnktdtavyycvrhgnfgnsyisyw aywgggtlvtvssggggsgggsgggsgt vvtqepsltvspggtvtltcgsstgavtsg nypnwvqqkpgqaprgliggtkflapgtpa rfsgsllggkaaltlsgvqpedeaeeycvl wysnrwvfgggtklvtlvggggdkthtcppc papellggpsvflfppkpkdtlmisrtpev tcvvdvshedpevkfnwyvdgvevhnakt kpceeegystyrcvsvltvlhqdwlngkey kckvsnkalpapiektiskakgqprepqv tlppsreemtknqvsltclvkgfypsdiav ewesngqpennyktppvldsdsfflysk ltvdksrwqqgnvfscsvmhealhhhtqk slslspgKggggsgggsgggsgggsgg ggsgggsgdkthtcppcpapellggpsvfl fppkpkdtlmisrtpevtcvvdvshedpe vkfnwyvdgvevhnaktkpceeegystyrc vsvltvlhqdwlngkeykckvsnkalpapi ektiskakgqprepqvylppsreemtknq vsltclvkgfypsdiavewesngqpennyk tppvldsdsfflyskltvdksrwqqgnv fscsvmhealhhhtqkslslspgk</p>
840.	CD70_17_CCx CD3-scFc	VH CDR1	syams
841.	CD70_17_CCx CD3-scFc	VH CDR2	aigsggrtfyaesveg
842.	CD70_17_CCx CD3-scFc	VH CDR3	hdysnypyfdy
843.	CD70_17_CCx	VL CDR1	rasqgvrsdyla

	CD3-scFc		
844.	CD70_17_CCx CD3-scFc	VL CDR2	gassrat
845.	CD70_17_CCx CD3-scFc	VL CDR3	qqygstppt
846.	CD70_17_CCx CD3-scFc	VH	evqllesgggmvpqpggslrlscaasgftfs syamswvrqapgkclewvsaisgsggrtfy aesvegrftisrdnskntlylqmnsraed tavyyctkhdysnpyfdywgqgtlvtvss
847.	CD70_17_CCx CD3-scFc	VL	eivltqspgtlslspgeratlscrasqgvr sdylawyqqkpgqaprlliygassratgip drfsgsgsgtdftltisrlepedfavyhq qygstpptfgcgtkveik
848.	CD70_17_CCx CD3-scFc	scFv	evqllesgggmvpqpggslrlscaasgftfs syamswvrqapgkclewvsaisgsggrtfy aesvegrftisrdnskntlylqmnsraed tavyyctkhdysnpyfdywgqgtlvtvss ggggsgggsggggseivltqspgtlslsp geratlscrasqgvr sdylawyqqkpgqap rlliygassratgipdrfsgsgsgtdftlt isrlepedfavyhq qygstpptfgcgtkv eik
849.	CD70_17_CCx CD3-scFc	биспецифическая молекула	evqllesgggmvpqpggslrlscaasgftfs syamswvrqapgkclewvsaisgsggrtfy aesvegrftisrdnskntlylqmnsraed tavyyctkhdysnpyfdywgqgtlvtvss ggggsgggsggggseivltqspgtlslsp geratlscrasqgvr sdylawyqqkpgqap rlliygassratgipdrfsgsgsgtdftlt isrlepedfavyhq qygstpptfgcgtkv eiksggggsevqlvesggglvqpggslkls caasgftfnkyamnvrqapkglewvari rskynnyatyadsvkdrftisrddsknta ylqmnlktdtavyycvrhgnfgnsyisy waywgqgtlvtvssggggsgggsgggsg

			<p>tvvtqepsltvspggtvtltcgsstgavts gnypnwvqqkpgqaprgliggtkflapgtp arfsgslggkaaltlsgvqpedeaeeycv lwysnrwvfgggtklvtl</p>
850.	<p>CD70_17_CCx CD3-scFc</p>	<p>биспецифи ческая HLE молекула</p>	<p>evqllesgggmvpqggsrlrlscaasgftfs syamswvrqapgkclewvsaisgsggrtfy aesvegrftisrdnskntlylqmnsraed tavyyctkhdysnpyfydywggtlvtvss ggggsgggsggggseivltqspgtlslsp geratlscrasqgvrsdylawyqqkpgqap rlliygassratgipdrfsgsgsgtdftlt isrlepedfavyhccqygstpptfgcgtkv eiksggggsevqlvesggglvqpggslkls caasgftfnkyamnvrqapgkglewvari rskynnyatyadsvkdrftisrddsknta ylqmnlktdtavyycvrhgnfgnsyisy waywggtlvtvssggggsgggsgggsgq tvvtqepsltvspggtvtltcgsstgavts gnypnwvqqkpgqaprgliggtkflapgtp arfsgslggkaaltlsgvqpedeaeeycv lwysnrwvfgggtklvtlvgggdkthtcpp cpapellggpsvflfppkpkdtlmisrtpe vtcvvdvshedpevkfnwyvdgvevhnak tkpceeegystyrcvsvltvlhqdwlngke ykckvsnkalpapiektiskakgqprepqv ytlppsreemtknqvsltclvkgfypsdi vewesngqpennykttppvldsdfsfllys kltdksrwqqgnvfscsvmhealhnytq kslslspgKggggsgggsgggsgggsgg ggsgggsgskthtcppcpapellggpsvf lfppkpkdtlmisrtpevtcvvdvshedp evkfnwyvdgvevhnaktkpceeegystyr cvsvltvlhqdwlngkeykckvsnkalpap iektiskakgqprepqvtylppsreemtkn qvsltclvkgfypsdiavewesngqpenny</p>

			ktppvldsdgsfflyskltvdksrwqqgn vfscsvmhealthhnytqkslslspgk
851.	CD70_17xCD3 -scFc	VH	evqllesgggmvpqpgslrlscaasgftfs syamswvrqapggkglewvsaisgsggrtfy aesvegrftisrdnskntlylqmnsraed tavyyctkhdysnpyfdywgqgtlvtvss
852.	CD70_17xCD3 -scFc	VL	eivltqspgtlslspgeratlscrasqgvr sdylawyqqkpgqaprlliygassratgip drfsgsgsgtdftltisrlepedfavyhqcq qygstpptfgggtkveik
853.	CD70_17xCD3 -scFc	scFv	evqllesgggmvpqpgslrlscaasgftfs syamswvrqapggkglewvsaisgsggrtfy aesvegrftisrdnskntlylqmnsraed tavyyctkhdysnpyfdywgqgtlvtvss gggsgggsggggseivltqspgtlslsp geratlscrasqgvrdsylawyqqkpgqap rlliygassratgipdrfsgsgsgtdftlt isrlepedfavyhqcqygstpptfgggtkv eik
854.	CD70_17xCD3 -scFc	биспецифи ческая молекула	evqllesgggmvpqpgslrlscaasgftfs syamswvrqapggkglewvsaisgsggrtfy aesvegrftisrdnskntlylqmnsraed tavyyctkhdysnpyfdywgqgtlvtvss gggsgggsggggseivltqspgtlslsp geratlscrasqgvrdsylawyqqkpgqap rlliygassratgipdrfsgsgsgtdftlt isrlepedfavyhqcqygstpptfgggtkv eiksggggsevqlvesggglvqpggslkls caasgftfnkyamnvrqapggkglewvari rskynnyatyyadsvkdrftisrddsknta ylqmnlktdtavyycvrhgnfgnsyisy waywgqgtlvtvssgggsgggsgggsgq tvvtqepsltvspggtvtltcgsstgavts gnypnwvqqkpgqaprgliggtkflapgtp arfgsllggkaaltlsgvqpedeaeyycv

			lwysnrwvfgggtklvtl
855.	CD70_17xCD3 -scFc	биспецифическая HLE молекула	evqllesgggmvgpggslrlscaasgftfs syamswvrqapggkglewvsaisgsggrtfy aesvegrftisrdnskntlylqmnsdraed tavyyctkhdysnpyfdywgqgtlvtvss ggggsgggsggggseivltqspgtlslsp geratlscrasqgvrsdylawyqqkpgqap rlliygassratgipdrfsgsgsgtdftlt isrlepedfavyhccqygstpptfgggtkv eiksggggsevqlvesggglvqpggslkls caasgftfnkyamnvrqapggkglewvari rskynnyatyadsvkdrftisrddsknta ylqmnlktdtavyycvrhgnfgnsyisy waywgqgtlvtvssggggsgggsgggsgq tvvtqepsltvspggtvtltcgsstgavts gnypnwqqkpgqaprgliggtkflapgtp arfgslggkaaltlsgvqpedeaeyycv lwysnrwvfgggtklvtlvgggdkthtcpp cpapellggpsvflfppkpkdtlmisrtp vtcvvdvshedpevkfnwyvdgvevhnak tkpceeegystyrcvsvltvlhqdwlngke ykckvsnkalpapiektiskakgqprepqv ytlppsreemtknqvsltclvkgfypsdi vewesngqpennykttpvldsdsffly kltvdksrwqqgnvfscsvmhealhnhytq kslslspgKggggsgggsgggsgggsg ggsgggsgdkthtcppcpapellggpsvf lfppkpkdtlmisrtpvtcvvdvshedp evkfnwyvdgvevhnaktkpeeegysty cvsvltvlhqdwlngkeykckvsnkalpap iektiskakgqprepqvtylppsreemtkn qvsltclvkgfypsdiavewesngqpenny kttpvldsdsfflyskltvdksrwqqgn vfscsvmhealhnhytqkslslspgk
856.	CD70_18_CCx	VH CDR1	syams

	CD3-scFc		
857.	CD70_18_CCx CD3-scFc	VH CDR2	aigeggytyyaesvkg
858.	CD70_18_CCx CD3-scFc	VH CDR3	hdysnpyfydy
859.	CD70_18_CCx CD3-scFc	VL CDR1	rasqgvrssyfa
860.	CD70_18_CCx CD3-scFc	VL CDR2	gastrat
861.	CD70_18_CCx CD3-scFc	VL CDR3	qyqgssppt
862.	CD70_18_CCx CD3-scFc	VH	evqllesggglvqpggslrlscaasgftfs syamswvrqapgkclewvsiaigeggytyy aesvkgrftisrdnskntslilmnslraed tavyyarhdysnpyfydywgqgltvtvs
863.	CD70_18_CCx CD3-scFc	VL	eivltqspgtlslspgeratlsccrasqgvr ssyfawyqqkpgqaprlliygastratgip arfsgsgsgtdftltisrlepedfavyycq qyqgsspptfgcgtkveik
864.	CD70_18_CCx CD3-scFc	scFv	evqllesggglvqpggslrlscaasgftfs syamswvrqapgkclewvsiaigeggytyy aesvkgrftisrdnskntslilmnslraed tavyyarhdysnpyfydywgqgltvtvss ggggsgggsggggseivltqspgtlslsp geratlsccrasqgvrssyfawyqqkpgqap rlliygastratgiparfsgsgsgtdftlt isrlepedfavyycqyqgsspptfgcgtkv eik
865.	CD70_18_CCx CD3-scFc	биспецифическая молекула	evqllesggglvqpggslrlscaasgftfs syamswvrqapgkclewvsiaigeggytyy aesvkgrftisrdnskntslilmnslraed tavyyarhdysnpyfydywgqgltvtvss ggggsgggsggggseivltqspgtlslsp geratlsccrasqgvrssyfawyqqkpgqap rlliygastratgiparfsgsgsgtdftlt

			<p>isrlepedfavyyccqygspsptfgcgtkv eiksggggsevqlvesggglvqpggslkls caasgftfnkyamnvrqapgglewvari rskynnyatyyadsvkdrftisrddsknta ylqmnlktdtavyycvrhgnfgnsyisy waywgqgtlvtvssgggsgggsgggsgq tvvtqepsltvspggtvtltcgsstgavts gnypnwvqqkpgqaprgliggtkflapgtp arfgsllggkaaltlsgvqpedeaeeycv lwysnrwvfgggtklvtl</p>
866.	<p>CD70_18_CCx CD3-scFc</p>	<p>биспецифи ческая HLE молекула</p>	<p>evqllesggglvqpggslrlscaasgftfs syamswvrqapgkclewvsaiegggytyy aevkgrftisrdnskntslmnsraed tavyycarhdysnpyfdywgqgtlvtvss gggsgggsggggseivltqspgtlslsp geratlscrasqgvrssyfawyqqkpgqap rlliygastratgiparfsgsgsgtdftlt isrlepedfavyyccqygspsptfgcgtkv eiksggggsevqlvesggglvqpggslkls caasgftfnkyamnvrqapgglewvari rskynnyatyyadsvkdrftisrddsknta ylqmnlktdtavyycvrhgnfgnsyisy waywgqgtlvtvssgggsgggsgggsgq tvvtqepsltvspggtvtltcgsstgavts gnypnwvqqkpgqaprgliggtkflapgtp arfgsllggkaaltlsgvqpedeaeeycv lwysnrwvfgggtklvtlvgggdkthtcpp cpapellggpsvflfppkpkdtlmsrtpe vtcvvdvshedpevkfnwyvdgvevhnak tkpceeqqgstyrcvsvltvlhqdwlngke ykckvsnkalpapiektiskakgpprepqv ytlppsreemtknqvsltclvkgfypsdia vewesngqpennykttppvldsdgsfflys kltvdksrwqqgnvfscsvmhealhnytq kslsislpgKgggsgggsgggsgggsg</p>

			ggsgggsgskthtcppcpapellggpsvf lfppkpkdtlmsirtpevtcvvvdvshedp evkfnwyvdgvevhnaktkpceeeggstyr cvsvltvlhqdwlngkeykckvsnkalpap iektiskakggpprepqvvtlppsreemtkn qvsltclvkgfypsdiavewesngqpenny kttpvldsdsfflyskltvdksrwqqgn vfscsvmhealhnhytqkslslspgk
867.	CD70_18xCD3 -scFc	VH	evqllesggglvqpggslrlscaasgftfs syamswvrqapgkglewvsaiegggytyy aesvkgrftisrdnskntlsllmnsraed tavyycarhdysnpyfydywgqgtlvtvss
868.	CD70_18xCD3 -scFc	VL	eivltqspgtlslspgeratlsccrasqgvr ssyfawyqqkpgqaprlliygastratgip arfsgsgsgtdftltisrlepedfavyycq qygsspptfgqgtkveik
869.	CD70_18xCD3 -scFc	scFv	evqllesggglvqpggslrlscaasgftfs syamswvrqapgkglewvsaiegggytyy aesvkgrftisrdnskntlsllmnsraed tavyycarhdysnpyfydywgqgtlvtvss ggsgggggsgggseivltqspgtlslsp geratlsccrasqgvrssyfawyqqkpgqap rlliygastratgiparfsgsgtdftlt isrlepedfavyycqygsspptfgqgtkv eik
870.	CD70_18xCD3 -scFc	биспецифи ческая молекула	evqllesggglvqpggslrlscaasgftfs syamswvrqapgkglewvsaiegggytyy aesvkgrftisrdnskntlsllmnsraed tavyycarhdysnpyfydywgqgtlvtvss ggsgggggsgggseivltqspgtlslsp geratlsccrasqgvrssyfawyqqkpgqap rlliygastratgiparfsgsgtdftlt isrlepedfavyycqygsspptfgqgtkv eiksggggsevqlvesggglvqpggslkls caasgftfnkyamnvrqapgkglewvari

			<p>rskynnyatyadsvkdrftisrddsanta ylmnlnktdtavyycvrhgnfgnsyisy waywgqgtlvtvssggggsgggsgggsgq tvvtqepsltvspggtvltcgsstgavts gnypnwvqqkpgqaprgliggtkflapgt arfsgslggkaaltlsgvqpedeaeeycv lwysnrwvfgggtklvtl</p>
871.	CD70_18xCD3 -scFc	биспецифи ческая HLE молекула	<p>evqllesggglvqpggslrlscaasgftfs syamswvrqapgkglewvsaiegggytyy aesvkgrftisrdnskntslmnsraed tavyycarhdysnpyfydwqgtlvtvss gggsgggsggggseivltqspgtlslsp geratlsccrasqgvrssyfawyqqkpgqap rlliygastratgiparfsgsgtdftlt isrlepedfavyyccqygsspptfgggtkv eiksggggsevqlvesggglvqpggslkls caasgftfnkyamnvrqapgkglewvari rskynnyatyadsvkdrftisrddsanta ylmnlnktdtavyycvrhgnfgnsyisy waywgqgtlvtvssggggsgggsgggsgq tvvtqepsltvspggtvltcgsstgavts gnypnwvqqkpgqaprgliggtkflapgt arfsgslggkaaltlsgvqpedeaeeycv lwysnrwvfgggtklvtlvggdkthtcpp cpapellgppsflfpkpkdtlmsrtpe vtcvvdvshedpevkfnwyvdgvevhnak tkpceeegystyrcvsvltvlhqdwlngke ykckvsnkalpapiektiskakgqprepqv ytlppsreemtknqvsltclvkgfydia vewesngqpennyktppvldsdfsfllys kltdksrwqggnvfscsvmhealhhytq kslslspgKggggsgggsgggsgggsgg gggsgggsgdkthtcppcpapellgppsfl fpkpkdtlmsrtpevtcvvdvshedp evkfnwyvdgvevhnaktkpceeegystyr</p>

			cvsvltvlhqdwlngkeykckvsnkalpap iektiskakggpprepqvvtlppsreemtkn qvsltclvkgfypsdiavewesngqpenny kttppvldsdsfflyskltvdksrwqqgn vfscsvmhealhnhytqkslslspgk
872.	CD70_19_CCx CD3-scFc	VH CDR1	syams
873.	CD70_19_CCx CD3-scFc	VH CDR2	aisgsggrtfaesveg
874.	CD70_19_CCx CD3-scFc	VH CDR3	hdysnypyfdy
875.	CD70_19_CCx CD3-scFc	VL CDR1	rasqsirsnyla
876.	CD70_19_CCx CD3-scFc	VL CDR2	gassrat
877.	CD70_19_CCx CD3-scFc	VL CDR3	qqygsspps
878.	CD70_19_CCx CD3-scFc	VH	evqllesgggvvqpgrslrlscaasgftfs syamswvrqapgkclewvsaisgsggrtfa esvegrftisrdnskntlylqmnsraed tavyycahdysnypyfdywgggtlvtvss
879.	CD70_19_CCx CD3-scFc	VL	eivltqspgtlslspgeratlscrasqsir snylawyqqkpgqaprlliygassratgip drfsgsgsgtdftltisrlepedfavyycq qygssppsfgcgkveik
880.	CD70_19_CCx CD3-scFc	scFv	evqllesgggvvqpgrslrlscaasgftfs syamswvrqapgkclewvsaisgsggrtfa esvegrftisrdnskntlylqmnsraed tavyycahdysnypyfdywgggtlvtvss ggggsgggsgggseivltqspgtlslsp geratlscrasqsirsnylawyqqkpgqap rlliygassratgipdrfsgsgsgtdftlt isrlepedfavyycqygssppsfgcgkve eik
881.	CD70_19_CCx	биспецифи	evqllesgggvvqpgrslrlscaasgftfs

	CD3-scFc	чешская молекула	<p>syamswvrqapgkclewvsaisgsggrtfy aesvegrftisrdnskntlylqmnsdraed tavyycahdysnypyfdywgqgtlvtvss ggggsgggsggggseivltqspgtlslsp geratlscrasqsirsnylawyqqkpggap rlliygassratgipdrfsgsgsgtdftlt isrlepedfavyyccqygssppsfgcgtkv eiksggggsevqlvesggglvqpggslkls caasgftfnkyamnvrqapgkglewvari rskynnyatyyadsvkdrftisrddsknta ylqmnlktdtavyycvrhgnfgnsyisy waywgqgtlvtvssggggsgggsgggsgq tvvtqepsltvspggtvtltcgsstgavts gnypnwvqqkpggaprgliggtkflapgtp arfgsllggkaaltlsgvqpedeaeyycv lwysnrwvfgggtkltvl</p>
882.	CD70_19_CCx CD3-scFc	биспецифи чешская HLE молекула	<p>evqllesgggvqpgrslrlscaasgftfs syamswvrqapgkclewvsaisgsggrtfy aesvegrftisrdnskntlylqmnsdraed tavyycahdysnypyfdywgqgtlvtvss ggggsgggsggggseivltqspgtlslsp geratlscrasqsirsnylawyqqkpggap rlliygassratgipdrfsgsgsgtdftlt isrlepedfavyyccqygssppsfgcgtkv eiksggggsevqlvesggglvqpggslkls caasgftfnkyamnvrqapgkglewvari rskynnyatyyadsvkdrftisrddsknta ylqmnlktdtavyycvrhgnfgnsyisy waywgqgtlvtvssggggsgggsgggsgq tvvtqepsltvspggtvtltcgsstgavts gnypnwvqqkpggaprgliggtkflapgtp arfgsllggkaaltlsgvqpedeaeyycv lwysnrwvfgggtkltvlgggdkthtcpp cpapellggpsvflfpkpkdtlmisrtpe vtcvvvdvshedpevkfnwyvdgvevhnak</p>

			tkpceezygstyrcvsvltvlhqdwlngke ykckvsnkalpapiektiskakgqprepqv ytlppsreemtknqvsltclvkgfypsdi vewesngqpennykttppvldsdsffly kltvdksrwqggnvfscsvmhealhnhytq kslsispgKgggsgggsgggsgggsg ggsgggsgdkthtppcpapellggpsvf lfppkpkdtlmisrtpevtcvvvdvshedp evkfnwyvdgvevhnaktkpceezygstyr cvsvltvlhqdwlngkeykckvsnkalpap iektiskakgqprepqvtytlppsreemtkn qvsltclvkgfypsdiavewesngqpenny kttppvldsdsfflyskltvdksrwqggn vfscsvmhealhnhytqkslsispgk
883.	CD70_19xCD3 -scFc	VH	evqllesgggvvqpgrslrlscaasgftfs syamswvrqapggkglewvsaisgsggrtfy aesvegrftisrdnskntlylqmnsraed tavyycahdysnypyfdywgqgtlvtvss
884.	CD70_19xCD3 -scFc	VL	eivltqspgtlsispggeratlscrasqsir snylawyqqkpgqaprlliygassratgip drfsgsgsgtdftltisrlepedfavyycq qygssppsfgqgtkveik
885.	CD70_19xCD3 -scFc	scFv	evqllesgggvvqpgrslrlscaasgftfs syamswvrqapggkglewvsaisgsggrtfy aesvegrftisrdnskntlylqmnsraed tavyycahdysnypyfdywgqgtlvtvss gggsgggsggggseivltqspgtlsispg geratlscrasqsirsnylawyqqkpgqap rlliygassratgipdrfsgsgsgtdftlt isrlepedfavyycqygssppsfgqgtkv eik
886.	CD70_19xCD3 -scFc	биспецифи ческая молекула	evqllesgggvvqpgrslrlscaasgftfs syamswvrqapggkglewvsaisgsggrtfy aesvegrftisrdnskntlylqmnsraed tavyycahdysnypyfdywgqgtlvtvss

		<p>ggggsgggsggggseivltqspgtlslsp geratlscrasqsirsnylawyqqkpgqap rlliygassratgipdrfsgsgtdftlt isrlepedfavyyccqygssppsfgggtkv eiksggggsevqlvesggglvqpggslkls caasgftfnkyamnvrqapgkglewvari rskynnyatyyadsvkdrftisrddsknta ylqmnlktdtavyycvrhgnfgnsyisy waywgqgtlvtvssggggsgggsggggsq tvvtqepsltvspggtvtltcgsstgavts gnypnwvqqkpgqaprgliggtkflapgtp arfsgslggkaaltlsgvqpedeaeyycv lwysnrwvfgggtklvtl</p>
<p>887.</p>	<p>CD70_19xCD3 -scFc</p>	<p>биспецифи ческая HLE молекула</p> <p>evqllesgggvvqgrslrlscaasgftfs syamswvrqapgkglewvsaisgsggrtfy aesvegrftisrdnskntlylqmnsraed tavyycahdysnypyfdywqgtlvtvss ggggsgggsggggseivltqspgtlslsp geratlscrasqsirsnylawyqqkpgqap rlliygassratgipdrfsgsgtdftlt isrlepedfavyyccqygssppsfgggtkv eiksggggsevqlvesggglvqpggslkls caasgftfnkyamnvrqapgkglewvari rskynnyatyyadsvkdrftisrddsknta ylqmnlktdtavyycvrhgnfgnsyisy waywgqgtlvtvssggggsgggsggggsq tvvtqepsltvspggtvtltcgsstgavts gnypnwvqqkpgqaprgliggtkflapgtp arfsgslggkaaltlsgvqpedeaeyycv lwysnrwvfgggtklvtlvgggdkthtcpp cpapellggpsvflfppkpkdtlmisrtpe vtcvvvdvshedpevkfnwyvdgvevhnak tkpceeqygstyrcvsvltvlhqdwlngke ykckvsnkalpapiektiskakgqprepqv ytlppsreemtknqvsltclvkgfypsdia</p>

			vewesngqpennykttppvldsdsfflyskltvdksrwqqgnvfscsvmhealhhnytqkslsislspgKggggsgggsgggsgggsgggsgggsgsdkthtcppcpapellggpsvflfppkpkdtlmisrtpevtcvvvdvshedpevkfnwyvdgvevhnaktkpceeaygstycvsvltvlhqdwlngkeykckvsnkalpapiektiskakgpprepqvytlppsreemtknqvsltclvkgfypsdiavewesngqpennykttppvldsdsfflyskltvdksrwqqgnvfscsvmhealhhnytqkslsislspgk
888.	CD70_20_CCx CD3-scFc	VH CDR1	syams
889.	CD70_20_CCx CD3-scFc	VH CDR2	aisgsgggtfyaesveg
890.	CD70_20_CCx CD3-scFc	VH CDR3	hdysnypyfdy
891.	CD70_20_CCx CD3-scFc	VL CDR1	rasqsvrssyla
892.	CD70_20_CCx CD3-scFc	VL CDR2	gassrat
893.	CD70_20_CCx CD3-scFc	VL CDR3	qqygdlpft
894.	CD70_20_CCx CD3-scFc	VH	evqllesgggvvqgrslrlscaasgftfsyamswvrqapgkclewvsaisgsgggtfy aesvegrftisrdnskntlylqmnsraed tavyyarhdysnypyfdywglgtlvtvss
895.	CD70_20_CCx CD3-scFc	VL	eivltqspgtlsislspgeratlscrasqsvr ssylawyqqkpgqaprlliygassratgip drfsgsgsgtdftltisrlepedfavyscq qygdlpftfgcgtkveik
896.	CD70_20_CCx CD3-scFc	scFv	evqllesgggvvqgrslrlscaasgftfsyamswvrqapgkclewvsaisgsgggtfy aesvegrftisrdnskntlylqmnsraed tavyyarhdysnypyfdywglgtlvtvss

			<p>ggggsgggsggggseivltqspgtlslsp geratlscrasqsvrsslawyqqkpgqap rlliygassratgipdrfsgsgsgtdftlt isrlepedfavyscqygdldpftfgcgtkv eik</p>
897.	CD70_20_CCx CD3-scFc	биспецифи ческая молекула	<p>evqllesgggvvqgrslrlscaasgftfs syamswvrqapgkclewvsaisgsgggtfy aesvegrftisrdnskntlylqmnsraed tavyycarhdysnpyfdywglgtlvtvss ggggsgggsggggseivltqspgtlslsp geratlscrasqsvrsslawyqqkpgqap rlliygassratgipdrfsgsgsgtdftlt isrlepedfavyscqygdldpftfgcgtkv eiksggggsevqlvesggglvqpggslkls caasgftfnkyamnvrqapgkglewvari rskynnyatyyadsvkdrftisrddsknta ylqmnlktdtavyycvrhgnfgnsyisy waywgqgtlvtvssggggsgggsgggsgq tvvtqepsltvspggtvtltcgsstgavts gnypnwvqqkpgqaprgliggtkflapgtp arfsgslggkaaltlsgvqpedeaeeycv lwysnrwvfgggtklvtl</p>
898.	CD70_20_CCx CD3-scFc	биспецифи ческая HLE молекула	<p>evqllesgggvvqgrslrlscaasgftfs syamswvrqapgkclewvsaisgsgggtfy aesvegrftisrdnskntlylqmnsraed tavyycarhdysnpyfdywglgtlvtvss ggggsgggsggggseivltqspgtlslsp geratlscrasqsvrsslawyqqkpgqap rlliygassratgipdrfsgsgsgtdftlt isrlepedfavyscqygdldpftfgcgtkv eiksggggsevqlvesggglvqpggslkls caasgftfnkyamnvrqapgkglewvari rskynnyatyyadsvkdrftisrddsknta ylqmnlktdtavyycvrhgnfgnsyisy waywgqgtlvtvssggggsgggsgggsgq</p>

			<p> tvvtqepsltvspggtvtltcgsstgavts gnypnwvqqkpgqaprgliggtkflapgtp arfsgsllggkaaltlsgvqpedeaeycv lwysnrwvfgggtkltvlgggdkthtcpp cpapellggpsvflfppkpkdtlmisrtpe vtcvvdvshedpevkfnwyvdgvevhnak tkpceeegystyrcvsvltvlhqdwlngke ykckvsnkalpapiektiskakgpprepqv ytlppsreemtknqvsltclvkgfypsdi vewesngqpennykttppvldsdsfflys kltvdksrwqqgnvfscsvmhealhnhytq ksllslspgKggggsgggsgggsgggsg gggsgggsgdkthtcppcpapellggpsvf lfppkpkdtlmisrtpevtcvvdvshedp evkfnwyvdgvevhnaktkpceeegystyr cvsvltvlhqdwlngkeykckvsnkalpap iektiskakgpprepqvtytlppsreemtkn qvsltclvkgfypsdiavewesngqpenny kttppvldsdsfflyskltvdksrwqqgn vfscsvmhealhnhytqksllslspgk </p>
899.	CD70_20xCD3 -scFc	VH	<p> evqllesgggvvqpgrslrlscaasgftfs syamswvrqapgkglewvsaisgsgggtfy aesvegrftisrdnskntlylqmnsraed tavyyicarhdysnypyfdywglgtlvtvss </p>
900.	CD70_20xCD3 -scFc	VL	<p> eivltqspgtlslspgeratlscrasqsvr ssylawyqqkpgqaprlliygassratgip drfsgsgsgtdftltisrlepedfavyscq qygdlpftfgpgtkveik </p>
901.	CD70_20xCD3 -scFc	scFv	<p> evqllesgggvvqpgrslrlscaasgftfs syamswvrqapgkglewvsaisgsgggtfy aesvegrftisrdnskntlylqmnsraed tavyyicarhdysnypyfdywglgtlvtvss gggsgggsggggseivltqspgtlslsp geratlscrasqsvrsslawyqqkpgqap rlliygassratgipdrfsgsgsgtdftlt </p>

			isrlepedfavyscqygdldpftfgpgtkv eik
902.	CD70_20xCD3 -scFc	биспецифическая молекула	evqllesgggvvqgrslrlscaasgftfs syamswvrqapgkglewvsaisgsgggtfy aesvegrftisrdnskntlylqmnsdraed tavyycarhdysnpyfdywglgtlvtvss ggggsgggsggggseivltqspgtlslsp geratlsctasqsvrsslawyqqkpgqap rlliygassratgipdrfsgsgsgtdftlt isrlepedfavyscqygdldpftfgpgtkv eiksggggsevqlvesggglvqpggskls caasgftfnkyamnvrqapgkglewvari rskynnyatyyadsvkdrftisrddsknta ylqmnlktdtavyycvrhgnfgnsyisy waywgqgtlvtvssggggsgggsgggsgq tvvtqepsltvspggtvtltcgsstgavts gnypnwqqkpgqaprgliggtkflapgtp arfgsllggkaaltlsgvqpedeaeeycv lwysnrwvfgggtklvtl
903.	CD70_20xCD3 -scFc	биспецифическая HLE молекула	evqllesgggvvqgrslrlscaasgftfs syamswvrqapgkglewvsaisgsgggtfy aesvegrftisrdnskntlylqmnsdraed tavyycarhdysnpyfdywglgtlvtvss ggggsgggsggggseivltqspgtlslsp geratlsctasqsvrsslawyqqkpgqap rlliygassratgipdrfsgsgsgtdftlt isrlepedfavyscqygdldpftfgpgtkv eiksggggsevqlvesggglvqpggskls caasgftfnkyamnvrqapgkglewvari rskynnyatyyadsvkdrftisrddsknta ylqmnlktdtavyycvrhgnfgnsyisy waywgqgtlvtvssggggsgggsgggsgq tvvtqepsltvspggtvtltcgsstgavts gnypnwqqkpgqaprgliggtkflapgtp arfgsllggkaaltlsgvqpedeaeeycv

			lwysnrwvfgggtklvtlvgggdkthtcpp cpapellggpsvflfppkpkdtlmisrtpe vtcvvvdvshedpevkfnwyvdgvevhnak tkpceeeygstyrcvsvltvlhqdwlngke ykckvsnkalpapiektiskakggpprepqv ytlppsreemtknqvsltclvkgfypsdi vewesngqpennykttppvldsdsffly kltvdksrwqqgnvfscsvmhealhnhytq kslsispgKgggsgggsgggsgggsg ggsgggsgdkthtcppcpapellggpsvf lfppkpkdtlmisrtpevtcvvvdvshedp evkfnwyvdgvevhnaktkpeeeygstyr cvsvltvlhqdwlngkeykckvsnkalpap iektiskakggpprepqvtylppsreemtkn qvsltclvkgfypsdiavewesngqpenny kttppvldsdsfflyskltvdksrwqqgn vfscsvmhealhnhytqkslsispgk
904.	CD70_21_CCx CD3-scFc	VH CDR1	syams
905.	CD70_21_CCx CD3-scFc	VH CDR2	aigsgggrtfaesveg
906.	CD70_21_CCx CD3-scFc	VH CDR3	hdysnpyfydy
907.	CD70_21_CCx CD3-scFc	VL CDR1	rasqsvrssyla
908.	CD70_21_CCx CD3-scFc	VL CDR2	gassrat
909.	CD70_21_CCx CD3-scFc	VL CDR3	qqygdlpft
910.	CD70_21_CCx CD3-scFc	VH	evqllesgggmvpqpgslrlscaasgftfs syamswvrqapgkclewvsaisgsggrtfa aesvegrftisrdnskntlylqmnsraed tavyyctkhysnpyfydywgqgtltvss
911.	CD70_21_CCx CD3-scFc	VL	eivltqspgtlsispgeratlsbrasqsvr ssylawyqqkpgqaprlliygassratgip

			drfsgsgsgtdftltisrlepedfavyyccq qygdlpftfgcgtkvdik
912.	CD70_21_CCx CD3-scFc	scFv	evqllesgggmvpqggsrlrlscaasgftfs syamswvrqapgkclewvsaisgsggrtfy aesvegrftisrdnskntlylqmnsraed tavyyctkhdysnpyfdywgqgtlvtvss ggggsgggsggggseivltqspgtlslsp geratlscrasqsvrsslawyqqkpgqap rlliygassratgipdrfsgsgsgtdftlt isrlepedfavyyccqygdlpftfgcgtkv dik
913.	CD70_21_CCx CD3-scFc	биспецифи ческая молекула	evqllesgggmvpqggsrlrlscaasgftfs syamswvrqapgkclewvsaisgsggrtfy aesvegrftisrdnskntlylqmnsraed tavyyctkhdysnpyfdywgqgtlvtvss ggggsgggsggggseivltqspgtlslsp geratlscrasqsvrsslawyqqkpgqap rlliygassratgipdrfsgsgsgtdftlt isrlepedfavyyccqygdlpftfgcgtkv diksggggsevqlvesggglvqpggslkls caasgftfnkyamnvrqapgkglewvari rskynnyatyyadsvkdrftisrddsnta ylqmnlktdtavyycvrhgnfgnsyisy waywgqgtlvtvssggggsgggsgggsgq tvvtqepsltvspggtvtltcgsstgavts gnypnwvqqkpgqaprgliggtkflapgtp arfgsllggkaaltlsgvqpedeaeeycv lwysnrwvfgggtkltvl
914.	CD70_21_CCx CD3-scFc	биспецифи ческая HLE молекула	evqllesgggmvpqggsrlrlscaasgftfs syamswvrqapgkclewvsaisgsggrtfy aesvegrftisrdnskntlylqmnsraed tavyyctkhdysnpyfdywgqgtlvtvss ggggsgggsggggseivltqspgtlslsp geratlscrasqsvrsslawyqqkpgqap rlliygassratgipdrfsgsgsgtdftlt

			<p>isrlepedfavyyccqygdlpftfgcgtkv diksggggsevqlvesggglvqpggslkls caasgftfnkyamnvrqapgglewvari rskynnyatyadsvkdrftisrddsknta ylqmnlktdtavyycvrhgnfgnsyisy waywgqgtlvtvssggggsgggsgggsgq tvvtqepsltvspggtvtltcgsstgavts gnypnwqqkpgqaprgliggtkflapgtp arfgslggkaaltlsgvqpedeaeeycv lwysnrwvfgggtklvtlvgggdkthtcpp cpapellggpsvflfppkpkdtlmisrtpe vtcvvdvshedpevkfnwyvdgvevhnak tkpceezygstyrcvsvltvlhqdwlngke ykckvsnkalspapektiskakgqprepqv ytlppsreemtknqvsltclvkgfypsdi vewesngqpennykttppvldsdsffly kltdksrwqqgnvfscsvmhealhnhtq kslslspgKggggsgggsgggsgggsg ggsgggsgdkthtcppcpapellggpsv lfppkpkdtlmisrtpevtcvvdvshedp evkfnwyvdgvevhnaktkpceezygstyr cvsvltvlhqdwlngkeykckvsnkalsp apektiskakgqprepqvtytlppsreemtkn qvsltclvkgfypsdiavewesngqpenny kttppvldsdsfflyskltdksrwqqgn vfscsvmhealhnhtqkslslspgk</p>
915.	CD70_21xCD3 -scFc	VH	<p>Evqllesgggmvpqpggslrlscaasgftfs syamswvrqapgglewvsaisgsggrtfy aesvegrftisrdnskntlylqmnsiraed tavyyctkhdysnpyfydywgqgtlvtvss</p>
916.	CD70_21xCD3 -scFc	VL	<p>eivltqspgtlslspgeratlsctasqsvr ssylawyqqkpgqaprlliygassratgip drfsgsgsgtdftltisrlepedfavyycc qygdlpftfgpgtkvdik</p>
917.	CD70_21xCD3	scFv	<p>Evqllesgggmvpqpggslrlscaasgftfs</p>

	-scFc		<p>syamswvrqapggkglewvsaisgsggrtfy aesvegrftisrdnskntlylqmnsraed tavyyctkhdysnpyfydywgqgtlvtvss ggggsgggsggggseivltqspgtlslsp geratlscrasqsvrsslawyqqkpgqap rlliygassratgipdrfsgsgsgtdftlt isrlepedfavyyccqygdlpftfgpgtkv dik</p>
918.	CD70_21xCD3 -scFc	биспецифическая молекула	<p>evqllesgggmvpqgslrlscaasgftfs syamswvrqapggkglewvsaisgsggrtfy aesvegrftisrdnskntlylqmnsraed tavyyctkhdysnpyfydywgqgtlvtvss ggggsgggsggggseivltqspgtlslsp geratlscrasqsvrsslawyqqkpgqap rlliygassratgipdrfsgsgsgtdftlt isrlepedfavyyccqygdlpftfgpgtkv diksggggsevqlvesggglvqpggslkls caasgftfnkyamnvrqapggkglewvari rskynnyatyyadsvkdrftisrddsknta ylqmnkktedtavyycvrhgnfgnsyisy waywgqgtlvtvssggggsgggsgggsgq tvvtqepsltvspggtvtlctgsstgavts gnypnwqqkpgqaprgliggtkflapgtp arfgsllggkaaltlsgvqpedeaeeycv lwysnrwvfgggtklvtl</p>
919.	CD70_21xCD3 -scFc	биспецифическая HLE молекула	<p>evqllesgggmvpqgslrlscaasgftfs syamswvrqapggkglewvsaisgsggrtfy aesvegrftisrdnskntlylqmnsraed tavyyctkhdysnpyfydywgqgtlvtvss ggggsgggsggggseivltqspgtlslsp geratlscrasqsvrsslawyqqkpgqap rlliygassratgipdrfsgsgsgtdftlt isrlepedfavyyccqygdlpftfgpgtkv diksggggsevqlvesggglvqpggslkls caasgftfnkyamnvrqapggkglewvari</p>

			rskynnyatyyadsvkdrftisrddsknta ylqmnlnktdtavyyvvrhgnfgnsyisy waywgggtlvtvssggggsgggsgggsgq tvvtqepsltvspggtvtltcgsstgavts gnypnwvqqkpgqaprgliggkflapgtp arfgslggkaaltlsgvqpedeaeeycv lwysnrwvfgggtklvtlvgggdkthtcpp cpapellggpsvflfppkpkdtlmisrtpe vtcvvdvshedpevkfnwyvdgvevhnak tkpceezygstyrcvsvltvlhqdwlngke ykckvsnkalspapektiskakgpprepqv ytlppsreemtknqvsltclvkgfypsdi vewesngqpennykttppvldsdgsfflys kltdksrwqqgnvfscsvmhealhnhytq kslsispgKggggsgggsgggsgggsg ggsgggsgskthtcppcpapellggpsvf lfppkpkdtlmisrtpevtcvvdvshedp evkfnwyvdgvevhnaktkpceezygsty cvsvltvlhqdwlngkeykckvsnkalsp apektiskakgpprepqvtytlppsreemtkn qvsltclvkgfypsdiavewesngqpenny kttppvldsdgsfflyskltdksrwqqgn vfscsvmhealhnhytqkslsispgk
920.	CD70_22_CCx CD3-scFc	VH CDR1	tyams
921.	CD70_22_CCx CD3-scFc	VH CDR2	lisgsggrtyyaesvkg
922.	CD70_22_CCx CD3-scFc	VH CDR3	hdysnypyfdy
923.	CD70_22_CCx CD3-scFc	VL CDR1	rasqgvrssyla
924.	CD70_22_CCx CD3-scFc	VL CDR2	gassrat
925.	CD70_22_CCx CD3-scFc	VL CDR3	qqygspspt

926.	CD70_22_CCx CD3-scFc	VH	evqllesggglvqpggslrlscaasgftfs tyamswvrqapgkclewvslisgsggrtyy aesvkgrftisrdnskntlylqmnsraed tavyycahdysnpyfdywgqgtlvtvss
927.	CD70_22_CCx CD3-scFc	VL	eivltqspgtlslspgeratlscrasqgvr ssylawyqqkpgqaprlliygassratgip drfsgsgsgtdftltinrlepedfavyycq qygsspptfgcgtkvdik
928.	CD70_22_CCx CD3-scFc	scFv	evqllesggglvqpggslrlscaasgftfs tyamswvrqapgkclewvslisgsggrtyy aesvkgrftisrdnskntlylqmnsraed tavyycahdysnpyfdywgqgtlvtvss ggggsgggsggggseivltqspgtlslsp geratlscrasqgvrssylawyqqkpgqap rlliygassratgipdrfsgsgsgtdftlt inrlepedfavyycqygsspptfgcgtkv dik
929.	CD70_22_CCx CD3-scFc	биспецифи ческая молекула	evqllesggglvqpggslrlscaasgftfs tyamswvrqapgkclewvslisgsggrtyy aesvkgrftisrdnskntlylqmnsraed tavyycahdysnpyfdywgqgtlvtvss ggggsgggsggggseivltqspgtlslsp geratlscrasqgvrssylawyqqkpgqap rlliygassratgipdrfsgsgsgtdftlt inrlepedfavyycqygsspptfgcgtkv diksggggsevqlvesggglvqpggslkls caasgftfnkyamnvrqapgkglewvari rskynnyatyadsvkdrftisrddsknta ylqmnlktdtavyycvrhgnfgnsyisy waywgqgtlvtvssggggsgggsggggsq tvvtqepsltvspggtvtltcgsstgavts gnypnwvqqkpgqaprgliggtkflapgtp arfsgslggkaaltlsgvqpedeaeyycv lwysnrwvfgggtklvtl
930.	CD70_22_CCx	биспецифи	evqllesggglvqpggslrlscaasgftfs

	CD3-scFc	чешская HLE молекула	<p>tyamswvrqapgkclewvslisgsggrtyy aesvkgrftisrdnskntlylqmnsraed tavyycahdysnypyfdywgqgtlvtvss ggggsgggsggggseivltqspgtlslsp geratlscrasqgvrssylawyqqkpgqap rlliygassratgipdrfsgsgsgtdftlt inrlepedfavyyccqygsspptfgcgtkv diksggggsevqlvesggglvqpggslkls caasgftfnkyamnvrqapgkglewvari rskynnyatyyadsvkdrftisrddsknta ylqmnlktedtavyycvrhgnfgnsyisy waywgqgtlvtvssggggsgggsgggsgq tvvtqepsltvspggtvtltcgsstgavts gnypnwvqqkpgqaprgliggtkflapgtp arfgsllggkaaltlsgvqpedeaeeycv lwysnrwvfgggtklvtlvgggdkthtcpp cpapellggpsvflfppkpkdtlmisrtpe vtcvvdvshedpevkfnwyvdgvevhnak tkpceezygstyrcvsvltvlhqdwlngke ykckvsnkalpapiektiskakgpprepqv ytlppsreemtknqvsltclvkgfypsdia vewesngqpennykttpvldsdsffly kltdksrwqqgnvfscsvmhealhnhytq kslsispgKggggsgggsgggsgggsg ggsgggsgdkthtcppcpapellggpsvf lfppkpkdtlmisrtpevtcvvdvshedp evkfnwyvdgvevhnaktkpceezygstyr cvsvltvlhqdwlngkeykckvsnkalpap iektiskakgpprepqvtytlppsreemtkn qvsltclvkgfypsdiavewesngqpenny kttpvldsdsfflyskltdksrwqqgn vfscsvmhealhnhytqkslsispgk</p>
931.	CD70_22xCD3 -scFc	VH	<p>evqllesggglvqpggslrlscaasgftfs tyamswvrqapgkglewvslisgsggrtyy aesvkgrftisrdnskntlylqmnsraed</p>

			tavyycakhdysnypyfdywgqggtlvtvss
932.	CD70_22xCD3 -scFc	VL	eivltqspgtlslspgeratlscrasqgvr ssylawyqqkpgqaprlliygassratgip drfsgsgsgtdftltinrlepedfavyycc qygsspptfgggtkvdik
933.	CD70_22xCD3 -scFc	scFv	evqllesggglvqpggslrlscaasgftfs tyamswvrqapgkglewvslisgsggrtyy aesvkgrftisrdnskntlylqmnsraed tavyycakhdysnypyfdywgqggtlvtvss ggggsgggsggggseivltqspgtlslsp geratlscrasqgvrssylawyqqkpgqap rlliygassratgipdrfsgsgsgtdftlt inrlepedfavyyccqygsspptfgggtkv dik
934.	CD70_22xCD3 -scFc	биспецифи ческая молекула	evqllesggglvqpggslrlscaasgftfs tyamswvrqapgkglewvslisgsggrtyy aesvkgrftisrdnskntlylqmnsraed tavyycakhdysnypyfdywgqggtlvtvss ggggsgggsggggseivltqspgtlslsp geratlscrasqgvrssylawyqqkpgqap rlliygassratgipdrfsgsgsgtdftlt inrlepedfavyyccqygsspptfgggtkv diksggggsevqlvesggglvqpggslkls caasgftfnkyamnvrqapgkglewvari rskynnyatyadsvkdrftisrddsknta ylqmnlktdtavyycvrhgnfgnsyisy waywgqgtlvtvssggggsgggsgggsgq tvvtqepsltvspggtvtltcgsstgavts gnypnwvqqkpgqaprgliggtkflapgtp arfgsllggkaaltlsgvqpedeaeyycv lwysnrwvfgggtkltvl
935.	CD70_22xCD3 -scFc	биспецифи ческая HLE молекула	evqllesggglvqpggslrlscaasgftfs tyamswvrqapgkglewvslisgsggrtyy aesvkgrftisrdnskntlylqmnsraed tavyycakhdysnypyfdywgqggtlvtvss

			<p> ggggsgggsggggseivltqspgtlslsp geratlscrasqgvrssylawyqqkpgqap rlliygassratgipdrfsgsgtdftlt inrlepedfavyyccqygsspptfgggtkv diksggggsevqlvesggglvqpggslkls caasgftfnkyamnvrqapkglewvari rskynnyatyyadsvkdrftisrddsknta ylqmnlnktdtavyycvrhgnfgnsyisy waywgqgtlvtvssggggsgggsgggsgq tvvtqepsltvspggtvtltcgsstgavts gnypnwvqqkpgqaprgliggtkflapgtp arfgsllggkaaltlsgvqpedeaeyycv lwysnrwvfgggtklvtlvgggdkthtcpp cpapellgppsflfpkpkdtlmisrtpe vtcvvdvshedpevkfnwyvdgvevhnak tkpceeeygstyrcvsvltvlhqdwlngke ykckvsnkalpapiektiskakgqprepqv ytlppsreemtknqvsltclvkgfypsdi vewesngqpennykttpvldsdsfflys kltvdksrwqqgnvfscsvmhealhnhytq kslslspgKggggsgggsgggsgggsgg ggsgggsgdkthtcppcpapellgppsfl fpkpkdtlmisrtpevtcvvdvshedp evkfnwyvdgvevhnaktkpeeeygstyr cvsvltvlhqdwlngkeykckvsnkalpap iektiskakgqprepqvtylppsreemtkn qvsltclvkgfypsdiavewesngqpenny kttpvldsdsfflyskltvdksrwqqgn vfscsvmhealhnhytqkslslspgk </p>
936.	CD70_23_CCx CD3-scFc	VH CDR1	syams
937.	CD70_23_CCx CD3-scFc	VH CDR2	aigsgggrtfaesveg
938.	CD70_23_CCx CD3-scFc	VH CDR3	hdysnypyfdy

939.	CD70_23_CCx CD3-scFc	VL CDR1	rasqsvrsnyla
940.	CD70_23_CCx CD3-scFc	VL CDR2	gassrat
941.	CD70_23_CCx CD3-scFc	VL CDR3	qyygssppt
942.	CD70_23_CCx CD3-scFc	VH	evqllesgggvvqpgrslrlscaasgftfs syamswvrqapgkclewvsaisgsggrtfy aesvegrftisrdnskntlylqmnsraed tavyycahdysnpyfydywgqgtlvtvss
943.	CD70_23_CCx CD3-scFc	VL	eivltqspgtlslspgeratlsccrasqsvr snylawyqqkpgqaprlliygassratgip drfsgsgsgtdftltinrlepedfavyycq qygsspptfgcgtkvdik
944.	CD70_23_CCx CD3-scFc	scFv	evqllesgggvvqpgrslrlscaasgftfs syamswvrqapgkclewvsaisgsggrtfy aesvegrftisrdnskntlylqmnsraed tavyycahdysnpyfydywgqgtlvtvss ggggsgggsggggseivltqspgtlslsp geratlsccrasqsvrsnylawyqqkpgqap rlliygassratgipdrfsgsgsgtdftlt inrlepedfavyycqygsspptfgcgtkv dik
945.	CD70_23_CCx CD3-scFc	биспецифическая молекула	evqllesgggvvqpgrslrlscaasgftfs syamswvrqapgkclewvsaisgsggrtfy aesvegrftisrdnskntlylqmnsraed tavyycahdysnpyfydywgqgtlvtvss ggggsgggsggggseivltqspgtlslsp geratlsccrasqsvrsnylawyqqkpgqap rlliygassratgipdrfsgsgsgtdftlt inrlepedfavyycqygsspptfgcgtkv diksggggsevqlvesggglvqpggslkls caasgftfnkyamnwwvrqapgkglewvari rskynnyatyyadvkdrftisrddsknta ylqmnlktedtavyycvrhgnfgnsyisy

			<p>waywgqgtlvtvssgggsgggsgggsgq tvvtqepsltvspggtvtltcgsstgavts gnypnwvqqkpgqaprgliggtkflapgtp arfgsllggkaaltlsgvqpedeaeeycv lwysnrwvfgggtklvtl</p>
946.	<p>CD70_23_CCx CD3-scFc</p>	<p>биспецифи ческая HLE молекула</p>	<p>evqllesgggvvqgrslrlscaasgftfs syamswvrqapgkclewvsaisgsggrtfy aesvegrftisrdnskntlylqmnsdraed tavyycahhdysnypyfdywgqgtlvtvss gggsgggsggggseivltqspgtlslsp geratlscrasqsvrsnylawyqqkpgqap rlliygassratgipdrfsgsgsgtdftlt inrlepedfavyyccqygsspptfgcgtkv diksgggsevqlvesggglvqpggskls caasgftfnkyamnwrqapgkglewvari rskynnyatyyadsvkdrftisrddsknta ylqmnkktedtavyycvrhgnfgnsyisy waywgqgtlvtvssgggsgggsgggsgq tvvtqepsltvspggtvtltcgsstgavts gnypnwvqqkpgqaprgliggtkflapgtp arfgsllggkaaltlsgvqpedeaeeycv lwysnrwvfgggtklvtlvgggdkthtcpp cpapellggpsvflfppkpkdtlmisrtpe vtcvvvdvshedpevkfnwyvdgvevhnak tkpceeegystyrcvsvltvlhqdwlngke ykckvsnkalpapiektiskakgqprepqv ytlppsreemtknqvsltclvkgfypsdia vewesngqpennyktppvldsdsfflys kltvdksrwqggnvfscsvmhealhnhytq kslslspgKgggsgggsgggsgggsgg ggsgggsgdkthtcppcpapellggpsvf lfppkpkdtlmisrtpevtcvvvdvshedp evkfnwyvdgvevhnaktkpeeegystyr cvsvltvlhqdwlngkeykckvsnkalpap iektiskakgqprepqvylppsreemtkn</p>

			qvsltclvkgfypsdiavewesngqpenny kttpvldsdsfflyskltvdksrwqqgn vfscsvmhealhnhytqkslslspgk
947.	CD70_23xCD3 -scFc	VH	evqllesgggvvqpgrslrlscaasgftfs syamswvrqapgkglewvsaisgsggrtfy aesvegrftisrdnskntlylqmnsraed tavyycahdysnpyfdywgqgtlvtvss
948.	CD70_23xCD3 -scFc	VL	eivltqspgtlslspgeratlscrasqsvr snylawyqqkpgqaprlliygassratgip drfsgsgsgtdftltinrlepedfavyycq qygsspptfgggtkvdk
949.	CD70_23xCD3 -scFc	scFv	evqllesgggvvqpgrslrlscaasgftfs syamswvrqapgkglewvsaisgsggrtfy aesvegrftisrdnskntlylqmnsraed tavyycahdysnpyfdywgqgtlvtvss ggggsgggsgggseivltqspgtlslsp geratlscrasqsvrsnylawyqqkpgqap rlliygassratgipdrfsgsgsgtdftlt inrlepedfavyycqygsspptfgggtkv dik
950.	CD70_23xCD3 -scFc	биспецифи ческая молекула	evqllesgggvvqpgrslrlscaasgftfs syamswvrqapgkglewvsaisgsggrtfy aesvegrftisrdnskntlylqmnsraed tavyycahdysnpyfdywgqgtlvtvss ggggsgggsgggseivltqspgtlslsp geratlscrasqsvrsnylawyqqkpgqap rlliygassratgipdrfsgsgsgtdftlt inrlepedfavyycqygsspptfgggtkv diksggggsevqlvesggglvqpggslkls caasgftfnkyamnvrqapgkglewvari rskynnyatyadsvkdrftisrddsknta ylqmnlktdtavyycvrhgnfgnsyisy waywgqgtlvtvssggggsgggsgggsgq tvvtqepsltvspggtvtltcgsstgavts gnypnwvqqkpgqaprgliggtkflapgtp

			arfgsllggkaaltlsgvqpedeaeyycv lwysnrwvfgggtklvtl
951.	CD70_23xCD3 -scFc	биспецифи ческая HLE молекула	evqllesgggvvqgrsrlrscasgftfs syamswvrqapgglewvsaisgsggrtfy aesvegrftisrdnskntlylqmnsraed tavyycahdysnpyfydywgqgtlvtvss ggggsgggsggggseivltqspgtlslsp geratlsctasqsvrsnylawyqqkpggap rlliygassratgipdrfsgsgsgtdftlt inrlepedfavyyccqygsspptfgggtkv diksggggsevqlvesggglvqpggsikls caasgftfnkyamnwrqapgglewvari rskynnyatyyadvkdrftisrddsknta ylqmnlktdtavyycvrhgnfgnsyisy waywgqgtlvtvssggggsgggsgggsgq tvvtqepsltvspggtvtltcgsstgavts gnypnwvqqkpgqaprgliggtkflapgtp arfgsllggkaaltlsgvqpedeaeyycv lwysnrwvfgggtklvtlvgggdkthtcpp cpapellggpsvflfppkpkdtlmisrtpe vtcvvvdvshedpevkfnwyvdgvevhnak tkpceezygstyrsvltvlhqdwlngke ykckvsnkalpapiektiskakgqprepqv ytlppsreemtknqvsltclvkgfypsdia vewesngqpennykttpvldsdsfflys kltvdksrwqqgnvfscsvmhealhnhytq kslslspgKggggsgggsgggsgggsgg ggsgggsgdkthtcppcpapellggpsvf lfppkpkdtlmisrtpevtcvvvdvshedp evkfnwyvdgvevhnaktkpceezygstyr cvsvltvlhqdwlngkeykckvsnkalpap iektiskakgqprepqvytlppsreemtkn qvsltclvkgfypsdiavewesngqpenny kttpvldsdsfflyskltvdksrwqqgn vfscsvmhealhnhytqkslslspgk

952.	CD70_24_CCx CD3-scFc	VH CDR1	syams
953.	CD70_24_CCx CD3-scFc	VH CDR2	visgsggitdfaesvkg
954.	CD70_24_CCx CD3-scFc	VH CDR3	hdysnyfffdy
955.	CD70_24_CCx CD3-scFc	VL CDR1	rasqgisnyla
956.	CD70_24_CCx CD3-scFc	VL CDR2	aasilqs
957.	CD70_24_CCx CD3-scFc	VL CDR3	qqyfaypit
958.	CD70_24_CCx CD3-scFc	VH	evqllesggglvqpggslrlscaasgftfs syamswvrqapgkclewsvvisgsggitdf aesvkgrftisrdnsrntlylqmnsraed tavyfcarhdysnyfffdywgqgtlvtvss
959.	CD70_24_CCx CD3-scFc	VL	diqmtqspsslsasvgrvtitcrasqgis nylawyqqkpgkvpklliyaasilqsgvps kfsqsgsgtdftltisslqpedfaiyyccq yfaypitfgcgrleik
960.	CD70_24_CCx CD3-scFc	scFv	evqllesggglvqpggslrlscaasgftfs syamswvrqapgkclewsvvisgsggitdf aesvkgrftisrdnsrntlylqmnsraed tavyfcarhdysnyfffdywgqgtlvtvss ggggsgggsggggsdiqmtqspsslsasv gdrvtitcrasqgisnylawyqqkpgkvpk lliyaasilqsgvpskfsqsgsgtdftlti sslqpedfaiyyccqyfaypitfgcgrle ik
961.	CD70_24_CCx CD3-scFc	биспецифи ческая молекула	evqllesggglvqpggslrlscaasgftfs syamswvrqapgkclewsvvisgsggitdf aesvkgrftisrdnsrntlylqmnsraed tavyfcarhdysnyfffdywgqgtlvtvss ggggsgggsggggsdiqmtqspsslsasv gdrvtitcrasqgisnylawyqqkpgkvpk

			<p>lliyaasilqsgvpskfsqsgsgtdftlti sslqpedfaiyyccqyfaypitfgcgrle iksggggsevqlvesggglvqpggslklsc aasgftfnkyamnwvrqapgkglewvarir skynnyatyyadsvkdrftisrddskntay lqmnlnktdtavyycvrhgnfgnsyisyw aywqggtlvtvssggggsgggsgggsgt vvtqepsiltvspggtvtltcgsstgavtsg nypnwvqqkpgqaprgliggtkflapgtpa rfsgslggkaaltlsgvqpedaeeycvl wysnrwvfgggtklvtl</p>
962.	<p>CD70_24_CCx CD3-scFc</p>	<p>биспецифи ческая HLE молекула</p>	<p>evqllesggglvqpggslrlscaasgftfs syamswvrqapgkclewvsvisgsggitdf aesvkgrftisrdsrntlylqmnsraed tavyfcarhdysnyfffdywgqgtlvtvss gggsgggsgggsggdiqmtqspsslsasv gdrvtitcrasqgisnylawyqqkpkvpk lliyaasilqsgvpskfsqsgsgtdftlti sslqpedfaiyyccqyfaypitfgcgrle iksggggsevqlvesggglvqpggslklsc aasgftfnkyamnwvrqapgkglewvarir skynnyatyyadsvkdrftisrddskntay lqmnlnktdtavyycvrhgnfgnsyisyw aywqggtlvtvssggggsgggsgggsgt vvtqepsiltvspggtvtltcgsstgavtsg nypnwvqqkpgqaprgliggtkflapgtpa rfsgslggkaaltlsgvqpedaeeycvl wysnrwvfgggtklvtlvgggdkthtcppc papellggpsvflfppkpkdtlmisrtpev tcvvdvshedpevkfnwyvdgvevhnakt kpceeqgstyrcvsvltvlhqdwlngkey kckvsnkalpapiektiskakgqprepvy tlppsreemtkqvsltclvkgfypsdiav ewesngqpennykttpvltdsdgsfflysk ltvdksrwqqgnvfscsvmhealhnhytqk</p>

			<p>sllslspgKggggsgggsgggsgggsgggsgg ggsgggsgdkthtccppcpapellggpsvfl fppkpkdtlmsrtpevtcvvvdvshedpe vkfnwyvdgvevhnaktkpceeaygstyrc vsvltvlhqdwlngkeykckvsnkalpapi ektiskakgqpprepqvytlppsreemtknq vsltclvkgyfypsdiavewesngqpennyk tppvldsdsfflyskltvdksrwqqgnv fscsvmhealthhnytqksllslspgk</p>
963.	CD70_24xCD3 -scFc	VH	<p>evqllesggglvqpggslrlscaasgftfs syamswvrqapggkglewsvvisgsggitdf aevkgrftisrdnsrntlylqmnsraed tavyfcarhdysnyfffdywgqgtlvtvss</p>
964.	CD70_24xCD3 -scFc	VL	<p>diquqspsslsasvdrvtitcrasqgis nylawyqqkpgkvpklliyaasilqsgvps kfgsgsgtdftltisslqpedfaiyyccq yfaypitfgqgtrleik</p>
965.	CD70_24xCD3 -scFc	scFv	<p>evqllesggglvqpggslrlscaasgftfs syamswvrqapggkglewsvvisgsggitdf aevkgrftisrdnsrntlylqmnsraed tavyfcarhdysnyfffdywgqgtlvtvss ggggsgggsgggsgdiqmtqspsslsasv gdrvtitcrasqgisnylawyqqkpgkvpk lliyaasilqsgvpskfgsgsgtdftlti sslqpedfaiyyccqyfaypitfgqgtrle ik</p>
966.	CD70_24xCD3 -scFc	биспецифическая молекула	<p>evqllesggglvqpggslrlscaasgftfs syamswvrqapggkglewsvvisgsggitdf aevkgrftisrdnsrntlylqmnsraed tavyfcarhdysnyfffdywgqgtlvtvss ggggsgggsgggsgdiqmtqspsslsasv gdrvtitcrasqgisnylawyqqkpgkvpk lliyaasilqsgvpskfgsgsgtdftlti sslqpedfaiyyccqyfaypitfgqgtrle iksggggsevqlvesggglvqpggslklsc</p>

			<p>aasgftfnkyamnvrqapgkglewvarir skynnyatyadsvkdrftisrddskntay lqmnlnktdtavyycvrhgnfgnsyisyw aywgggtlvtvssgggsgggsgggsgqt vvtqepsiltvspggtvtltcgsstgavtsg nypnwvqqkpgqaprgliggtkflapgtpa rfsgsllggkaaltlsgvqpedaeeycvl wysnrwvfgggtklvtl</p>
967.	CD70_24xCD3 -scFc	биспецифическая HLE молекула	<p>evqllesggglvqpggslrlscaasgftfs syamswvrqapgkglewsvvisgsggitdf aesvkgrftisrdsrntlylqmnslraed tavyfcarhdysnyffdywgggtlvtvss gggsgggsgggsgggsdiqmtqspsslsasv gdrvtitcrasqgisnylawyqqkpgkvpk lliyaasilqsgvpskfsqsgsgtdftlti sslqpedfaiyycqyfyaypitfgqtrle iksggggsevqlvesggglvqpggslklsc aasgftfnkyamnvrqapgkglewvarir skynnyatyadsvkdrftisrddskntay lqmnlnktdtavyycvrhgnfgnsyisyw aywgggtlvtvssgggsgggsgggsgqt vvtqepsiltvspggtvtltcgsstgavtsg nypnwvqqkpgqaprgliggtkflapgtpa rfsgsllggkaaltlsgvqpedaeeycvl wysnrwvfgggtklvtlvgggdkthtcppc papellggpsvflfppkpkdtlmisrtpev tcvvdvshedpevkfnwyvdgvevhnakt kpceeystyrsvlvtlqhgdwlngkey kckvsnkalpapiektiskakgqprepvy tlppsreemtknqvsltclvkgfypsdiav ewesngqpennyktppvldsdsfflysk ltvdksrwqqgnvfscsvmhealhnhytk sllspgKgggsgggsgggsgggsgg ggsgggskthtcppcpapellggpsvfl fppkpkdtlmisrtpevtcvvdvshedpe</p>

			vkfnwyvdgvevhnaktkpceeaygstyrc vsvltvlhqdwlngkeykckvsnkalpapi ektiskakgqpprepqvvtlppsreemtknq vsltclvkgyfypsdiavewesngqpennyk tppvldsdsqsflyskltvdksrwqqgnv fscsvmhealhhnytqkslsispk
968.	CD70_25_CCx CD3-scFc	VH CDR1	syams
969.	CD70_25_CCx CD3-scFc	VH CDR2	aigsgggrtfyaesveg
970.	CD70_25_CCx CD3-scFc	VH CDR3	hdysnypyfdy
971.	CD70_25_CCx CD3-scFc	VL CDR1	rasqsvrssyla
972.	CD70_25_CCx CD3-scFc	VL CDR2	gassrat
973.	CD70_25_CCx CD3-scFc	VL CDR3	qqygssppt
974.	CD70_25_CCx CD3-scFc	VH	evqllesgggmvpqggslrlscaasgftfs syamswvrqapgkclewvsaisgsggrtfy aesvegrftisrdnskntlylqmnsraed tavyycahdysnypyfdywgqgtlvtvss
975.	CD70_25_CCx CD3-scFc	VL	eivltqspgtlslspgeratlscrasqsvr ssylawyqqkpggaprlliygassratgip drfsgsgsgtdftltisrlepedfavyfcq qygsspptfgcgtrleik
976.	CD70_25_CCx CD3-scFc	scFv	evqllesgggmvpqggslrlscaasgftfs syamswvrqapgkclewvsaisgsggrtfy aesvegrftisrdnskntlylqmnsraed tavyycahdysnypyfdywgqgtlvtvss ggggsgggsgggseivltqspgtlslsp geratlscrasqsvrssylawyqqkpggap rlliygassratgipdrfsgsgsgtdftlt isrlepedfavyfcqqygsspptfgcgtrl eik

977.	CD70_25_CCx CD3-scFc	биспецифическая молекула	evqllesgggmvpqggsrlrlscaasgftfs syamswvrqapgkclewvsaisgsggrtfy aesvegrftisrdnskntlylqmnsraed tavyycahdysnpyfdywgqgtlvtvss ggggsgggsggggseivltqspgtlslsp geratlscrasqsvrsslawyqqkpgqap rlliygassratgipdrfsgsgsgtdftlt isrlepedfavyfcqqygsspptfgcgrtl eiksggggsevqlvesggglvqpggslkls caasgftfnkyamnvrqapgkglewvari rskynnyatyyadsvkdrftisrddsanta ylqmnlktdtavyycvrhgnfgnsyisy waywgqgtlvtvssggggsgggsgggsgq tvvtqepsltvspggtvtltcgsstgavts gnypnwvqqkpgqaprgliggtkflapgtp arfgsllggkaaltlsgvqpedeaeeycv lwysnrwvfgggtkltlvl
978.	CD70_25_CCx CD3-scFc	биспецифическая HLE молекула	evqllesgggmvpqggsrlrlscaasgftfs syamswvrqapgkclewvsaisgsggrtfy aesvegrftisrdnskntlylqmnsraed tavyycahdysnpyfdywgqgtlvtvss ggggsgggsggggseivltqspgtlslsp geratlscrasqsvrsslawyqqkpgqap rlliygassratgipdrfsgsgsgtdftlt isrlepedfavyfcqqygsspptfgcgrtl eiksggggsevqlvesggglvqpggslkls caasgftfnkyamnvrqapgkglewvari rskynnyatyyadsvkdrftisrddsanta ylqmnlktdtavyycvrhgnfgnsyisy waywgqgtlvtvssggggsgggsgggsgq tvvtqepsltvspggtvtltcgsstgavts gnypnwvqqkpgqaprgliggtkflapgtp arfgsllggkaaltlsgvqpedeaeeycv lwysnrwvfgggtkltlvlgggdkthtcpp cpapellggpsvflfppkpkdtlmisrtpe

			vtcvvvdvshedpevkfnwyvdgvevhnak tkpceezygstyrcvsvltvlhqdwlngke ykckvsnkalpapiektiskakgqprepqv ytlppsreemtknqvsltclvkgfypsdi vewesngqpennykttppvldsdsfflys kltvdksrwqqgnvfscsvmhealhhytq kslsispqKggggsgggsgggsgggsg ggsgggsgskthtcppcpapellggpsvf lfppkpkdtlmisrtpevtcvvvdvshedp evkfnwyvdgvevhnaktkpceezygstyr cvsvltvlhqdwlngkeykckvsnkalpap iektiskakgqprepqvtytlppsreemtkn qvsltclvkgfypsdiavewesngqpenny kttppvldsdsfflyskltvdksrwqqgn vfscsvmhealhhytqkslsispqk
979.	CD70_25xCD3 -scFc	VH	evqllesgggmvpqpgslrlscaasgftfs syamswvrqapgkglewvsaisgsggrtfy aesvegrftisrdnskntlylqmnsraed tavyycahdysnypyfdywgggtlvtvss
980.	CD70_25xCD3 -scFc	VL	eivltqspgtlsispgeratlsccrasqsvr ssylawyqqkpgqaprlliygassratgip drfsgsgsgtdftltisrlepedfavyfcq qygsspptfgggtrleik
981.	CD70_25xCD3 -scFc	scFv	evqllesgggmvpqpgslrlscaasgftfs syamswvrqapgkglewvsaisgsggrtfy aesvegrftisrdnskntlylqmnsraed tavyycahdysnypyfdywgggtlvtvss ggggsgggsggggseivltqspgtlsisp geratlsccrasqsvrssylawyqqkpgqap rlliygassratgipdrfsgsgsgtdftlt isrlepedfavyfcqqygsspptfgggtrl eik
982.	CD70_25xCD3 -scFc	биспецифи ческая молекула	evqllesgggmvpqpgslrlscaasgftfs syamswvrqapgkglewvsaisgsggrtfy aesvegrftisrdnskntlylqmnsraed

			<p>tavyycakhdysnpyfydywgqgtlvtvss gggsgggsggggseivltqspgtlslsp geratlsctasqsvrsslawyqqkpggap rlliygassratqipdrfsgsgsgtdftlt isrlepedfavyfcqqygsppptfggtrl eiksggggsevqlvesggglvqpggskls caasgftfnkyamnvrqapkgglewvari rskynnyatyyadsvkdrftisrddsknta ylmnnlktedtavyycvrhgnfgnsyisy waywgqgtlvtvssggggsgggsgggsgq tvvtqepsltvspggtvtltcgsstgavts gnypnwvqqkpgqaprgliggtkflapgt arfsgsllggkaaltlsgvqpedeaeeycv lwysnrwvfgggtklvtl</p>
<p>983.</p>	<p>CD70_25xCD3 -scFc</p>	<p>биспецифи ческая HLE молекула</p>	<p>evqllesgggmvpqpgslrlscaasgftfs syamswvrqapkgglewvsaisgsggrtfy aesvegrftisrdnskntlylmnslraed tavyycakhdysnpyfydywgqgtlvtvss gggsgggsggggseivltqspgtlslsp geratlsctasqsvrsslawyqqkpggap rlliygassratqipdrfsgsgsgtdftlt isrlepedfavyfcqqygsppptfggtrl eiksggggsevqlvesggglvqpggskls caasgftfnkyamnvrqapkgglewvari rskynnyatyyadsvkdrftisrddsknta ylmnnlktedtavyycvrhgnfgnsyisy waywgqgtlvtvssggggsgggsgggsgq tvvtqepsltvspggtvtltcgsstgavts gnypnwvqqkpgqaprgliggtkflapgt arfsgsllggkaaltlsgvqpedeaeeycv lwysnrwvfgggtklvtlvgggdkthtcpp cpapellgqpsvflfppkpkdtlmisrtpe vtcvvdvshedpevkfnwyvdgvevhnak tkpceeaygstyrcvsvltvlhqdwlngke ykckvsnkalpapiektiskakgqprepqv</p>

			ytlppsreemtknqvsltclvkgfypsdi vewesngqpennykttppvldsdsfflys kltvdksrwqggnvfscsvmhealhhytq kslslspgKggggsgggsgggsgggsgg gggsgggsgdkthtcppcpapellggpsvf lfppkpkdtlmisrtpevtcvvvdvshedp evkfnwyvdgvevhnaktkpcceygstyr cvsvltvlhqdwlngkeykckvsnkalpap iektiskakgqprepqvtylppsreemtkn qvsltclvkgfypsdiavewesngqpenny kttppvldsdsfflyskltvdksrwqggn vfscsvmhealhhytqkslslspgk
984.	CD70_26_CCx CD3-scFc	VH CDR1	iyams
985.	CD70_26_CCx CD3-scFc	VH CDR2	aiggsggstfyaesvkg
986.	CD70_26_CCx CD3-scFc	VH CDR3	hdysnypyfdy
987.	CD70_26_CCx CD3-scFc	VL CDR1	rasqsvrssyva
988.	CD70_26_CCx CD3-scFc	VL CDR2	gassrat
989.	CD70_26_CCx CD3-scFc	VL CDR3	qqygdlpft
990.	CD70_26_CCx CD3-scFc	VH	evqllesggglvqpggslrlscaasgftfs iyamswvrqapgkclewvsaiaggsggstfy aesvkgrftisrdnskntlylqmnsraed tavyycahdysnypyfdywqggtlvtvss
991.	CD70_26_CCx CD3-scFc	VL	eivltqspgtlslspgeratlscrasqsvr ssyvawyqqkpgqaprlliygassratgip drfsgsgsgtdftltisrlepedfavyycq qygdlpftfgcgrleik
992.	CD70_26_CCx CD3-scFc	scFv	evqllesggglvqpggslrlscaasgftfs iyamswvrqapgkclewvsaiaggsggstfy aesvkgrftisrdnskntlylqmnsraed

			tavyycakhdysnypyfdywgqgtlvtvss ggggsgggsggggseivltqspgtlslsp geratlscrasqsvrssyvawyqqkpgqap rlliygassratgipdrfsgsgsgtdftlt isrlepedfavyyccqygdlpftfgcctrl eik
993.	CD70_26_CCx CD3-scFc	биспецифи ческая молекула	evqllesggglvqpqgslrlscaasgftfs iyamswvrqapgkclewvsaiaggsggstfy aesvkgrftisrdnskntlylqmnsraed tavyycakhdysnypyfdywgqgtlvtvss ggggsgggsggggseivltqspgtlslsp geratlscrasqsvrssyvawyqqkpgqap rlliygassratgipdrfsgsgsgtdftlt isrlepedfavyyccqygdlpftfgcctrl eiksggggsevqlvesggglvqpqgslkls caasgftfnkyamnvrqapkglewvari rskynnyatyyadsvkdrftisrddsknta ylqmnlktdtavyycvrhgnfgnsyisy waywgqgtlvtvssggggsgggsgggsgq tvvtqepsltvspggtvtltcgsstgavts gnypnwvqqkpgqaprgliggtkflapgtp arfsgslggkaaltlsgvqpedeaeyycv lwysnrwvfgggtkltvl
994.	CD70_26_CCx CD3-scFc	биспецифи ческая HLE молекула	evqllesggglvqpqgslrlscaasgftfs iyamswvrqapgkclewvsaiaggsggstfy aesvkgrftisrdnskntlylqmnsraed tavyycakhdysnypyfdywgqgtlvtvss ggggsgggsggggseivltqspgtlslsp geratlscrasqsvrssyvawyqqkpgqap rlliygassratgipdrfsgsgsgtdftlt isrlepedfavyyccqygdlpftfgcctrl eiksggggsevqlvesggglvqpqgslkls caasgftfnkyamnvrqapkglewvari rskynnyatyyadsvkdrftisrddsknta ylqmnlktdtavyycvrhgnfgnsyisy

			waywgqgtlvtvssggggsgggsgggsgq tvvtqepsltvspggtvtltcgsstgavts gnypnwvqqkpgqaprgliggtkflapgtp arfgsllggkaaltlsgvqpedeaeeycv lwysnrwvfgggtklvtlvggggdkthtcpp cpapellggpsvflfppkpkdtlmisrtp vtcvvdvshedpevkfnwyvdgvevhnak tkpceezygstyrcvsvltvlhqdwlngke ykckvsnkalpapiektiskakgqprepqv ytlppsreemtknqvsltclvkgfypsdi vewesngqpennykttpvldsdsfflys kltvdksrwqqgnvfscsvmhealhhytq kslsispkKggggsgggsgggsgggsg ggsgggsgdkthtcppcpapellggpsvf lfppkpkdtlmisrtpvtcvvdvshedp evkfnwyvdgvevhnaktkpceezygstyr cvsvltvlhqdwlngkeykckvsnkaldpap iektiskakgqprepqvtytlppsreemtkn qvsltclvkgfypsdiavewesngqpenny kttpvldsdsfflyskltvdksrwqqgn vfscsvmhealhhytqkslsispk
995.	CD70_26xCD3 -scFc	VH	evqllesggglvqpggsrlrlscaasgftfs iyamswvrqapggkglewvsaiggsggstfy aesvkgrftisrdnskntlylqmnsraed tavyycahdysnypyfdywgqgtlvtvss
996.	CD70_26xCD3 -scFc	VL	eivltqspgtlslspgeratlscrasqsvr ssyvawyqqkpgqaprlliygassratgip drfsgsgsgtdftltisrlepedfavyycq qygdlpftfpggtrleik
997.	CD70_26xCD3 -scFc	scFv	evqllesggglvqpggsrlrlscaasgftfs iyamswvrqapggkglewvsaiggsggstfy aesvkgrftisrdnskntlylqmnsraed tavyycahdysnypyfdywgqgtlvtvss ggggsgggsggggseivltqspgtlslsp geratlscrasqsvrssyvawyqqkpgqap

			rlliygassratgipdrfsgsgsgtdftlt isrlepedfavyyccqygdldpftfgpgtrl eik
998.	CD70_26xCD3 -scFc	биспецифи ческая молекула	evqllesggglvqpggslrlscaasgftfs iyamswvrqapgkglewvsaiaggsggstfy aevkgrftisrdnskntlylqmnsraed tavyycahdysnypyfdywgqgtlvtvss ggggsgggsggggseivltqspgtlslsp geratlscrasqsvrissyvawyqqkpgqap rlliygassratgipdrfsgsgsgtdftlt isrlepedfavyyccqygdldpftfgpgtrl eiksggggsevqlvesggglvqpggslkls caasgftfnkyamnvrqapgkglewvari rskynnyatyyadsvkdrftisrddsknta ylqmnlktdtavyycvrhgnfgnsyisy waywgqgtlvtvssggggsgggsgggsgq tvvtqepsltvspggtvtltcgsstgavts gnypnwqqkpgqaprgliggtkflapgtp arfgsllggkaaltlsgvqpedeaeycv lwysnrwvfgggtklvtl
999.	CD70_26xCD3 -scFc	биспецифи ческая HLE молекула	evqllesggglvqpggslrlscaasgftfs iyamswvrqapgkglewvsaiaggsggstfy aevkgrftisrdnskntlylqmnsraed tavyycahdysnypyfdywgqgtlvtvss ggggsgggsggggseivltqspgtlslsp geratlscrasqsvrissyvawyqqkpgqap rlliygassratgipdrfsgsgsgtdftlt isrlepedfavyyccqygdldpftfgpgtrl eiksggggsevqlvesggglvqpggslkls caasgftfnkyamnvrqapgkglewvari rskynnyatyyadsvkdrftisrddsknta ylqmnlktdtavyycvrhgnfgnsyisy waywgqgtlvtvssggggsgggsgggsgq tvvtqepsltvspggtvtltcgsstgavts gnypnwqqkpgqaprgliggtkflapgtp

			arfgsllggkaaltlsgvqpedeaeycv lwysnrwvfgggtklvtlvgggdkthtcpp cpapellggpsvflfppkpkdtlmisrtpe vtcvvdvshedpevkfnwyvdgvevhnak tkpceeegystyrcvsvltvlhqdwlngke ykckvsnkalpapiektiskakgpprepqv ytlppsreemtknqvsltclvkgfypsdi vewesngqpennykttppvldsdsfflys kltvdksrwqqgnvfscsvmhealhnhytq kslsispgKggggsgggsgggsgggsg ggsgggsgdkthtcppcpapellggpsvf lfppkpkdtlmisrtpevtcvvdvshedp evkfnwyvdgvevhnaktkpeeegystyr cvsvltvlhqdwlngkeykckvsnkalpap iektiskakgpprepqvtytlppsreemtkn qvsltclvkgfypsdiavewesngqpenny kttppvldsdsfflyskltvdksrwqqgn vfscsvmhealhnhytqkslsispgk
1000.	CD70_27_CCx CD3-scFc	VH CDR1	sssyywg
1001.	CD70_27_CCx CD3-scFc	VH CDR2	siyhsggtyfnpslks
1002.	CD70_27_CCx CD3-scFc	VH CDR3	hyeiltgyypdvfdi
1003.	CD70_27_CCx CD3-scFc	VL CDR1	rasqsissyln
1004.	CD70_27_CCx CD3-scFc	VL CDR2	aasnlqs
1005.	CD70_27_CCx CD3-scFc	VL CDR3	qqsfssprt
1006.	CD70_27_CCx CD3-scFc	VH	qvqlqesgpglvkpsqtlsltctvsggsis sssyywgwirppgkclewigsiyhsggty fnpslksrvtisvdtksnqfslklssvtaa dtavyycarhyeiltgyypdvfdiwigqgtm vtvss

1007.	CD70_27_CCx CD3-scFc	VL	diqmtqspsslsasvqdrvtitcrasqsis sylvnyqqkpgkapklliyaasnlgsgvss rfsgsgsgtdftltisslqpedfatyyccqg sfssprtfgcgtkveik
1008.	CD70_27_CCx CD3-scFc	scFv	qvqlqesgpglvkpsqtlsltctvsqsis sssywgwirqppgkclewigsiyhsggty fnpslksrvtisvdtsknqfslklssvtaa dtavyycarhyeiltgyypdvfdiwgggtm vtvssggggsgggsgggsgdiqmtqspss lsasvqdrvtitcrasqsisylvnyqqk gkapklliyaasnlgsgvssrfsgsgsgtd ftltisslqpedfatyyccqgsfssprtfgc gtkveik
1009.	CD70_27_CCx CD3-scFc	биспецифи ческая молекула	qvqlqesgpglvkpsqtlsltctvsqsis sssywgwirqppgkclewigsiyhsggty fnpslksrvtisvdtsknqfslklssvtaa dtavyycarhyeiltgyypdvfdiwgggtm vtvssggggsgggsgggsgdiqmtqspss lsasvqdrvtitcrasqsisylvnyqqk gkapklliyaasnlgsgvssrfsgsgsgtd ftltisslqpedfatyyccqgsfssprtfgc gtkveiksggggsevqlvesggglvqpggs lklscasgftfnkyamnvrqapgkglew varirskynnyatyadsvkdrftisrdds kntaylqmnnkktedavyycvrhngfngs yisywaywqggtlvtvssggggsgggsgg ggsqvtvtqepsltvspggtvtltcgssstg avtsgnypnwvqqkpgqaprgliggtkfla pgtparfsgsllggkaaltlsgvqpedeae yycvlwysnrwvfgggtkltvl
1010.	CD70_27_CCx CD3-scFc	биспецифи ческая HLE молекула	qvqlqesgpglvkpsqtlsltctvsqsis sssywgwirqppgkclewigsiyhsggty fnpslksrvtisvdtsknqfslklssvtaa dtavyycarhyeiltgyypdvfdiwgggtm vtvssggggsgggsgggsgdiqmtqspss

			<p>lsasvgdrvtitcrasqsissylwnwyqqkpgkapklliyaasnlqsgvssrfsgsgsgtdftltisslqpedfatyycqqsfsprtfgcgtkveiksggggseqlvesggglvqpggslklscaasgftfnkyamnvrqapgkglewvarirskynnyatyadsvkdrftisrdds kntaylqmnlnktdtavyycvrhgnfgnsyisywaywqggtlvtvssggggsgggsgggsgqtvtqepsltvspggtvtltcgstgavtsgnypnwvqqkpgqaprgliggtkflapgtparfsgslggkaaltlsgvqpedeae yycvlwysnrwvfgggtklvtlvgggdkthtcppcpapellggpsvflfppkpkdtlmisrtpevtcvvvdvshedpevkfnwyvdgvevhnaktkpceezygstyrcsvlvtlhqdlngkeykckvsnkalpapiektiskakgqprepqvylppsreemtknqvsltclvkgfypsdiavewesngqpennykttppvldsdsfflyskltvdksrwqgnvfscsvmhealhnhytqkslsispkKggggsgggsgggsgggsgggsgggsgggsgdkthtcppcpapellggpsvflfppkpkdtlmisrtpevtcvvvdshedpevkfnwyvdgvevhnaktkpceezygstyrcsvlvtlhqdlngkeykckvsnkalpapiektiskakgqprepqvylppsreemtknqvsltclvkgfypsdiavewesngqpennykttppvldsdsfflyskltvdksrwqgnvfscsvmhealhnhytqkslsispk</p>
1011.	CD70_27xCD3 -scFc	VH	<p>qvqlqesgpglvkpsqtlsltctvsggsissyywgwirppgkglewigsyhsqgtyfnpslksrvtisvdtsknqfslkssvtaadtavyycarhyeiltgyypdvfdiwqggtmvtvss</p>
1012.	CD70_27xCD3 -scFc	VL	<p>diqmtqspsslsasvgdrvtitcrasqsissylwnwyqqkpgkapklliyaasnlqsgvss</p>

			rfsgsgsgtdftltisslqpedfatyyccqqs sfssprtfgggtkveik
1013.	CD70_27xCD3 -scFc	scFv	qvqlqesgpglvkpsqtlsltctvsggsis sssywgwirppgkglewigsyihsggty fnpslksrvtisvdtksnqfslklssvtaa dtavyycarhyeiltgyypdvfdiwgggtm vtvssggggsgggsggggsdiqmtqspss lsasvqdrvtitcrasqsissylnwyqqkp gkapklliyaasnlgsgvssrfsgsgsgtd ftltisslqpedfatyyccqqsfsprtfgg gtkveik
1014.	CD70_27xCD3 -scFc	биспецифи ческая молекула	qvqlqesgpglvkpsqtlsltctvsggsis sssywgwirppgkglewigsyihsggty fnpslksrvtisvdtksnqfslklssvtaa dtavyycarhyeiltgyypdvfdiwgggtm vtvssggggsgggsggggsdiqmtqspss lsasvqdrvtitcrasqsissylnwyqqkp gkapklliyaasnlgsgvssrfsgsgsgtd ftltisslqpedfatyyccqqsfsprtfgg gtkveiksggggseqlvesggglvppggs lklscasgftfnkyamnwvrqapggkglew varirskynnyatyadsvkdrftisrdds kntaylqmnlnktdtavyycvrhgnfgns yisywaywgggtlvtvssggggsgggsgg ggsqvtvtqepsltvspggtvtltcgssstg avtsgnypnwvqqkpgqaprgliggtkfla pgtparfsgslggkaaltlsgvqpedeae yycvlwysnrwvfgggtklvtl
1015.	CD70_27xCD3 -scFc	биспецифи ческая HLE молекула	qvqlqesgpglvkpsqtlsltctvsggsis sssywgwirppgkglewigsyihsggty fnpslksrvtisvdtksnqfslklssvtaa dtavyycarhyeiltgyypdvfdiwgggtm vtvssggggsgggsggggsdiqmtqspss lsasvqdrvtitcrasqsissylnwyqqkp gkapklliyaasnlgsgvssrfsgsgsgtd

			ftltisslqpedfatyycqqsfsprtfgq gtkveiksggggsevglvesggglvqpggs klkscaasgftfnkyamnwwrqapgglew varirskynnyatyadsvkdrftisrdds kntaylqmnlnktedtavyycvrhgnfgns yisywaywqggtlvtvssgggsgggsgg ggsqvtvtqepsltvspggtvtltcgsstg avtsgnypnwvqqkpgqaprgligntkfla pgtparfsgslggkaaltlsgvqpedeae yycvlwysnrwvfgggtklvtlvgggdkth tcppcpapellggsfvflfppkpkdtlmis rtpevtcvvvdvshedpevkfnwyvdgvev hnaktkpceeegygstyrcvsvltvlhqdl ngkeykckvsnkalpapiektiskakgqpr epqvylppsreemtknqvsltclvkgyfyp sdiavewesngqpennykttpvldsdfs flyskltvdksrwqgnvfscsvmhealhn hytqkslslspgKggggsgggsgggsgg ggsgggsgggsgdkthtcppcpapellgg psvflfppkpkdtlmisrtpevtcvvvdvs hedpevkfnwyvdgvevhnaktkpceeegy styrcvsvltvlhqdlngkeykckvsnka lpapiektiskakgqprepqvylppsree mtknqvsltclvkgyfypsdiavewesngqp ennykttpvldsdfsfflyskltvdksrw qgnvfscsvmhealhnhytqkslslspgk
1016.	CD70_28_CCx CD3-scFc	VH CDR1	sysmn
1017.	CD70_28_CCx CD3-scFc	VH CDR2	yisssggyiyyaesvkg
1018.	CD70_28_CCx CD3-scFc	VH CDR3	gdysnyayfdy
1019.	CD70_28_CCx CD3-scFc	VL CDR1	rasqgisnyla
1020.	CD70_28_CCx	VL CDR2	aastlqs

	CD3-scFc		
1021.	CD70_28_CCx CD3-scFc	VL CDR3	qqyystp1t
1022.	CD70_28_CCx CD3-scFc	VH	evqlvesggglvkgpgslrlscaasgftfs sysmnwvrqapgkclewvsyisssggyiyy aesvkgrftisrdnaknslylqmns1raed aavyycsrgdysnyayfdywgggtlvtvss
1023.	CD70_28_CCx CD3-scFc	VL	Diqmtqspsslsasvdrvtitcrasqgis nylawyqqkpgkvpklliyaastlqsgvps rfsgsgsgtdftltisslqaedvavyycq yystp1tfgcgtkveik
1024.	CD70_28_CCx CD3-scFc	scFv	evqlvesggglvkgpgslrlscaasgftfs sysmnwvrqapgkclewvsyisssggyiyy aesvkgrftisrdnaknslylqmns1raed aavyycsrgdysnyayfdywgggtlvtvss ggggsgggsgggsgdiqmtqspsslsasv gdrvtitcrasqgisnylawyqqkpgkvpk lliyaastlqsgvpsrfsgsgsgtdftlti sslqaedvavyycqyystp1tfgcgtkve ik
1025.	CD70_28_CCx CD3-scFc	биспецифи ческая молекула	evqlvesggglvkgpgslrlscaasgftfs sysmnwvrqapgkclewvsyisssggyiyy aesvkgrftisrdnaknslylqmns1raed aavyycsrgdysnyayfdywgggtlvtvss ggggsgggsgggsgdiqmtqspsslsasv gdrvtitcrasqgisnylawyqqkpgkvpk lliyaastlqsgvpsrfsgsgsgtdftlti sslqaedvavyycqyystp1tfgcgtkve iksggggsevqlvesggglvkgpgslklsc aasgftfnkyamnvrqapgkglewvarir skynnyatyyadvkdrftisrddskntay lqmnnlktedvavyycvrhgnfgnsyisw aywgggtlvtvssggggsgggsgggsgt vvtqeps1tvspggtvtltcgsstgavtsg nypnwvqqkpgqaprgliggtkflapgtpa

			rfsgsllggkaaltlsgvqpedaeeycvl wysnrwvfgggtkltlvl
1026.	CD70_28_CCx CD3-scFc	Биспецифическая HLE молекула	evqlvesggglvkpggsrlrlscaasgftfs sysmnwvrqapgkclewvsyisssggyiyy aesvkgrftisrdnaknsllylqmnsdraed aavyycsrgdysnyayfdywgqgtlvtvss ggggsgggsggggsdiqmtqspsslsasv gdrvtitcrasqgisnylawyqqkpgkvpk lliyaastlqsgvpsrfsqsgsgtdftlti sslqaedvavyycqqyystpltfgcgtkve iksggggsevqlvesggglvqpggsklsc aasgftfnkyamnwrqapkglewvarir skynnyatyyadsvkdrftisrddskntay lqmnlnktedtavyycvrhgnfgnsyisyw aywgqgtlvtvssggggsgggsgggsgt vvtqepsiltvspggtvtltcgsstgavtsg nypnwvqqkpgqaprgliggtkflapgtpa rfsgsllggkaaltlsgvqpedaeeycvl wysnrwvfgggtkltlvlggggdkthtcppc papellggpsvflfppkpkdtlmisrtpev tcvvdvshedpevkfnwyvdgvevhnakt kpceeeygstyrcvsvltvlhqdwlngkey kckvsnkalpapiektiskakgqprepvy tlppsreemtknqvsltclvkgfypsdiav ewesngqpennyktppvldsdsfflysk ltvdksrwqqgnvfscsvmhealhnhytqk slslspgKggggsgggsgggsgggsgg ggsgggsgdkthtcppcpapellggpsvfl fppkpkdtlmisrtpevtcvvdvshedpe vkfnwyvdgvevhnaktkpceeeygstyrc vsvltvlhqdwlngkeykckvsnkalpapi ektiskakgqprepvytlppsreemtknq vsltclvkgfypsdiavewesngqpennyk tppvldsdsfflyskltvdksrwqqgnv fscsvmhealhnhytqkslslspgk

1027.	CD70_28xCD3 -scFc	VH	evqlvesggglvkpggslrlscaasgftfs sysmnwvrqapgglewvsiyssgggiyy aesvkgrftisrdnaknsllylqmnsraed aavyycsrgdysnyayfdywgqgtlvtvss
1028.	CD70_28xCD3 -scFc	VL	diqmtqspsslsasvqdrvtitcrasqgis nylawyqqkpgkvpklliyaastlqsgvps rfsgsgsgtdftltisslqaedvavyyccq yystpltfgggtkveik
1029.	CD70_28xCD3 -scFc	scFv	evqlvesggglvkpggslrlscaasgftfs sysmnwvrqapgglewvsiyssgggiyy aesvkgrftisrdnaknsllylqmnsraed aavyycsrgdysnyayfdywgqgtlvtvss ggggsgggsgggsgdiqmtqspsslsasv gdrvtitcrasqgisnylawyqqkpgkvpk lliyaastlqsgvpsrfsgsgsgtdftlti sslqaedvavyyccqyystpltfgggtkve ik
1030.	CD70_28xCD3 -scFc	биспецифи ческая молекула	evqlvesggglvkpggslrlscaasgftfs sysmnwvrqapgglewvsiyssgggiyy aesvkgrftisrdnaknsllylqmnsraed aavyycsrgdysnyayfdywgqgtlvtvss ggggsgggsgggsgdiqmtqspsslsasv gdrvtitcrasqgisnylawyqqkpgkvpk lliyaastlqsgvpsrfsgsgsgtdftlti sslqaedvavyyccqyystpltfgggtkve iksggggsevqlvesggglvkpggslklsc aasgftfnkyamnwvrqapgglewvarir skynnyatyyadvkdrftisrddskntay lqmnlnktedtavyycvrhgnfgnsyisyw aywgqgtlvtvssggggsgggsgggsgt vvtqepsltvspggtvtltcgsstgavtsg nypnwvqqkpgqaprgliggtkflapgtpa rfsgsllggkaaltlsgvqpedeaeyyvcvl wysnrwvfgggtklvtl
1031.	CD70_28xCD3	биспецифи	evqlvesggglvkpggslrlscaasgftfs

	-scFc	чешская HLE молекула	<p> sysmnwvrqapgkglewvsyisssggyiy aesvkgrftisrdnaknslylqmnsraed aavyycsrgdysnyayfdywgqgtlvtvss gggsgggsgggsgggdiqmtqspsslsasv gdrvtitcrasqgisnylawyqqkpgkvpk lliyaastlqsgvpsrfsqsgsgtdftlti sslqaedvavyycqqyytpltfgggtkve iksggggsevqlvesggglvqpggsklsc aasgftfnkyamnvrqapgkglewvarir skynnyatyyadsvkdrftisrddskntay lqmnlnktedtavyycvrhgnfgnsyisw aywgqgtlvtvssgggsgggsgggsggt vvtqepsiltvspggtvtltcgsstgavtsg nypnwvqqkpgqaprgliggtkflapgtpa rfsqslggkaaltlsgvqpedaeeycvl wysnrwvfgggtklvtlvggggkthtccpc papellggpsvflfppkpkdtlmisrtpev tcvvvdvshedpevkfnwyvdgvevhnakt kpceeaygstyrcvsvltvlhqdwlngkey kckvsnkalpapiektiskakgqprepvy tlppsreemtknqvsltclvkgfypsdiav ewesngqpennyktppvldsdsfflysk ltvdksrwqqgnvfscsvmhealhnhytqk slslspgKgggsgggsgggsgggsgggsgg ggsgggsgdkthtccpppapellggpsvfl fppkpkdtlmisrtpevtcvvvdvshedpe vkfnwyvdgvevhnaktkpceeaygstyrc vsvltvlhqdwlngkeykckvsnkalpapi ektiskakgqprepvytlppsreemtknq vsltclvkgfypsdiavewesngqpennyk tppvldsdsfflyskltvdksrwqqgnv fscsvmhealhnhytqkslslspgk </p>
1032.	CD70_29_CCx CD3-scFc	VH CDR1	vyams
1033.	CD70_29_CCx	VH CDR2	tisgsggstfyaesvkg

	CD3-scFc		
1034.	CD70_29_CCx CD3-scFc	VH CDR3	hdysnyayfdy
1035.	CD70_29_CCx CD3-scFc	VL CDR1	rasqsvrssyla
1036.	CD70_29_CCx CD3-scFc	VL CDR2	gassrat
1037.	CD70_29_CCx CD3-scFc	VL CDR3	qqygdlpft
1038.	CD70_29_CCx CD3-scFc	VH	evqllesggglvqpggslrlscaasgftfs vyamswvrqapgkclewvstisgsggstfy aevkgrftisrdnskntlylqmnrlraed tavyyicarhdysnyayfdywgqggtlvtvss
1039.	CD70_29_CCx CD3-scFc	VL	eivltqspgtlslspgeratlscrasqsvr ssylawyqqkpgqaprlliygassratgip drfsgsgsgtdftltisrlepedfavyycq qygdlpftfgcgtkveik
1040.	CD70_29_CCx CD3-scFc	scFv	evqllesggglvqpggslrlscaasgftfs vyamswvrqapgkclewvstisgsggstfy aevkgrftisrdnskntlylqmnrlraed tavyyicarhdysnyayfdywgqggtlvtvss ggggsgggsggggseivltqspgtlslsp geratlscrasqsvrssylawyqqkpgqap rlliygassratgipdrfsgsgsgtdftlt isrlepedfavyyccqygdlpftfgcgtkv eik
1041.	CD70_29_CCx CD3-scFc	биспецифи ческая молекула	evqllesggglvqpggslrlscaasgftfs vyamswvrqapgkclewvstisgsggstfy aevkgrftisrdnskntlylqmnrlraed tavyyicarhdysnyayfdywgqggtlvtvss ggggsgggsggggseivltqspgtlslsp geratlscrasqsvrssylawyqqkpgqap rlliygassratgipdrfsgsgsgtdftlt isrlepedfavyyccqygdlpftfgcgtkv eiksggggsevqlvesggglvqpggskls

			<p>caasgftfnkyamnvrqapgglewvari rskynnyatyyadsvkdrftisrddsknta ylqmnlnktdtavyycvrhgnfgnsyisy waywgggtlvtvssgggsgggsgggsgq tvvtqepsltvspggtvtltcgsstgavts gnypnwqqkpgqaprgliggtkflapgtp arfgsllggkaaltlsgvqpedeaeeycv lwysnrwvfgggtklvtl</p>
1042.	<p>CD70_29_CCx CD3-scFc</p>	<p>биспецифи ческая HLE молекула</p>	<p>evqllesggglvqpggslrlscaasgftfs vyamswvrqapgkclewvstisgsggstfy aesvkgrftisrdnskntlylqmnrlraed tavyycarhdysnyayfdywggtlvtvss gggsgggsggggseivltqspgtlslsp geratlscrasqsvrsslwayqqkpgqap rlliygassratgipdrfsgsgsgtdftlt isrlepedfavyyccqygdlpftfgcgtkv eiksggggsevqlvesggglvqpggslkls caasgftfnkyamnvrqapgglewvari rskynnyatyyadsvkdrftisrddsknta ylqmnlnktdtavyycvrhgnfgnsyisy waywgggtlvtvssgggsgggsgggsgq tvvtqepsltvspggtvtltcgsstgavts gnypnwqqkpgqaprgliggtkflapgtp arfgsllggkaaltlsgvqpedeaeeycv lwysnrwvfgggtklvtlvgggdkthtcpp cpapellggpsvflfppkpkdtlmisrtpe vtcvvvdvshedpevkfnwyvdgvevhnak tkpceeqqgstyrcvsvltvlhqdwlngke ykckvsnkalpapiektiskakgqprepqv ytlppsreemtknqvsltclvkgfypsdia vewesngqpennyktppvldsdgsfflys kltvdksrwqqgnvfscsvmhealhnhytq kslslspgKgggsgggsgggsgggsg gggsgggsgdkthtcppcpapellggpsvf lfppkpkdtlmisrtpevtcvvvdvshedp</p>

			evkfnwyvdgvevhnaktkpceeeygstyr cvsvltvlhqdwlngkeykckvsnkalpap iektiskakgpprepqvvtlppsreemtkn qvsltclvkgfypsdiavewesngqpenny kttppvldsdsfflyskltvdksrwqqgn vfscsvmhealhhhtqkslslspgk
1043.	CD70_29xCD3 -scFc	VH	evqllesggglvqpggslrlscaasgftfs vyamswvrqapgkglewstisgsggstfy aesvkgrftisrdnskntlylqmnrlraed tavyycarhdysnyayfdywgqgtlvtvss
1044.	CD70_29xCD3 -scFc	VL	eivltqspgtlslspgeratlscrasqsvr ssylawyqqkpgqaprlliygassratgip drfsgsgsgtdftltisrlepedfavyycq qygdlpftfgpgtkveik
1045.	CD70_29xCD3 -scFc	scFv	evqllesggglvqpggslrlscaasgftfs vyamswvrqapgkglewstisgsggstfy aesvkgrftisrdnskntlylqmnrlraed tavyycarhdysnyayfdywgqgtlvtvss ggggsgggsgggseivltqspgtlslsp geratlscrasqsvrsslawyqqkpgqap rlliygassratgipdrfsgsgsgtdftlt isrlepedfavyyccqygdlpftfgpgtkv eik
1046.	CD70_29xCD3 -scFc	биспецифическая молекула	evqllesggglvqpggslrlscaasgftfs vyamswvrqapgkglewstisgsggstfy aesvkgrftisrdnskntlylqmnrlraed tavyycarhdysnyayfdywgqgtlvtvss ggggsgggsgggseivltqspgtlslsp geratlscrasqsvrsslawyqqkpgqap rlliygassratgipdrfsgsgsgtdftlt isrlepedfavyyccqygdlpftfgpgtkv eiksggggsevqlvesggglvqpggskls caasgftfnkyamnvrqapgkglewvari rskynnyatyadsvkdrftisrddsknta ylqmnlktedtavyycvrhgnfgnsyisy

			<p>waywgqgtlvtvssgggsgggsgggsgq tvvtqepsltvspggtvtltcgsstgavts gnypnwvqqkpgqaprgliggtkflapgtp arfgsllggkaaltlsgvqpedeaeeycv lwysnrwvfgggtklvtl</p>
1047.	CD70_29xCD3 -scFc	биспецифи ческая HLE молекула	<p>evqllesggglvqpggslrlscaasgftfs vyamswvrqapgkglewstisgsggstfy aesvkgrftisrdnskntlylqmnrlraed tavyycarhdysnyayfdywqgtlvtvss gggsgggsggggseivltqspgtlslsp geratlscrasqsvrsslawyqqkpggap rlliygassratgipdrfsgsgsgtdftlt isrlepedfavyyccqygdlpftfgpgtkv eiksggggsevqlvesggglvqpggslkls caasgftfnkyamnvwvrqapgkglewvari rskynnyatyyadsvkdrftisrddsknta ylqmnlktedtavyycvrhgnfgnsyisy waywgqgtlvtvssgggsgggsgggsgq tvvtqepsltvspggtvtltcgsstgavts gnypnwvqqkpgqaprgliggtkflapgtp arfgsllggkaaltlsgvqpedeaeeycv lwysnrwvfgggtklvtlvgggdkthtcpp cpapellggpsvflfppkpkdtlmsrtpe vtcvvvdvshedpevkfnwyvdgvevhnak tkpceezygstyrcvsvltvlhqdwlngke ykckvsnkalpapiektiskakgqprepqv ytlppsreemtknqvsltclvkgfypsdia vewesngqpennyktppvldsdsfflys kltvdksrwqggnvfscsvmhealhnhytq kslslspgkgggsgggsgggsgggsg ggsgggsgdkthtcppcpapellggpsvf lfppkpkdtlmsrtpevtcvvvdvshedp evkfnwyvdgvevhnaktkpceezygstyr cvsvltvlhqdwlngkeykckvsnkalpap iektiskakgqprepqvtytlppsreemtkn</p>

			qvsltclvkgfypsdiavewesngqpenny kttpvldsdgsfflyskltvdksrwqqgn vfscsvmhealthnhytqkslslspgk
1048.	CD70_30_CCx CD3-scFc	VH CDR1	sygmh
1049.	CD70_30_CCx CD3-scFc	VH CDR2	visyegsnkyyaesvkg
1050.	CD70_30_CCx CD3-scFc	VH CDR3	gryygsnynhgmdv
1051.	CD70_30_CCx CD3-scFc	VL CDR1	rasqsissyln
1052.	CD70_30_CCx CD3-scFc	VL CDR2	aasslqs
1053.	CD70_30_CCx CD3-scFc	VL CDR3	qqsytpft
1054.	CD70_30_CCx CD3-scFc	VH	qvqlvesgggvqpgrslrlscaasgfmfs sygmhwvrqapgkclewvavisyegsnkyy aesvkgrftisrdnskntlylqmnsraed tavyycargryygsnynhgmdvwgqgttv tvss
1055.	CD70_30_CCx CD3-scFc	VL	diqmtqspsslsasvgdrvtitcrasqsis sylvnyqqkpgkapklliyaasslqsgvps rfsgrgsqtdftltisslqpedfatyyccq sytpftfgcgtkveik
1056.	CD70_30_CCx CD3-scFc	scFv	qvqlvesgggvqpgrslrlscaasgfmfs sygmhwvrqapgkclewvavisyegsnkyy aesvkgrftisrdnskntlylqmnsraed tavyycargryygsnynhgmdvwgqgttv tvssggggsgggsgggsgdiqmtqspssl sasvgdrvtitcrasqsisylvnyqqkpg kapklliyaasslqsgvpsrfsgrgsqtdf tltisslqpedfatyyccqsytpftfgcg tkveik
1057.	CD70_30_CCx CD3-scFc	биспецифи ческая	qvqlvesgggvqpgrslrlscaasgfmfs sygmhwvrqapgkclewvavisyegsnkyy

		молекула	<p>aesvkgrftisrdnskntlylqmnsraed tavyycargryygsngynhgmdvwgqgttv tvssggggsgggsggggsdiqmtqspssl sasvgdrvtitcrasqsissylnwyqqkpg kapklliyaasslqsgvpsrfsgrgsqtdf tltisslqpedfatyyccqqsystpftfgcg tkveiksggggsevqlvesggglvqpggsl klscaasgftfnkyamnwrqapgkglewv arirskynnyatyadsvkdrftisrddsk ntaylqmnlktedtavyycvrhgnfgnsy isywaywqggtlvtvssggggsgggsggg gsqvtvtqepsltvspggtvtltcgsstga vtsgnypnwvqqkpgqaprgliggtkflap gtparfsgsllggkaaltlsgvqpedeae ycvlwysnrwvfgggtkltvl</p>
1058.	CD70_30_CCx CD3-scFc	биспецифическая HLE молекула	<p>qvqlvesgggvvqgrslrlscaasgfmfs sygmhwrqapgkclewvavisyegsnkyy aesvkgrftisrdnskntlylqmnsraed tavyycargryygsngynhgmdvwgqgttv tvssggggsgggsggggsdiqmtqspssl sasvgdrvtitcrasqsissylnwyqqkpg kapklliyaasslqsgvpsrfsgrgsqtdf tltisslqpedfatyyccqqsystpftfgcg tkveiksggggsevqlvesggglvqpggsl klscaasgftfnkyamnwrqapgkglewv arirskynnyatyadsvkdrftisrddsk ntaylqmnlktedtavyycvrhgnfgnsy isywaywqggtlvtvssggggsgggsggg gsqvtvtqepsltvspggtvtltcgsstga vtsgnypnwvqqkpgqaprgliggtkflap gtparfsgsllggkaaltlsgvqpedeae ycvlwysnrwvfgggtkltvlgggdktht cppcpapellggpsvflfppkpkdtlmisr tpevtcvvvdvshedpevkfnwyvdgvevh naktkpceeogygstyrcvsvltvlhqdwn</p>

			gkeykckvsnkalpapiektiskakgpre pqvytlppsreemtknqvsltclvkgfyps diavewesngqpennykttppvldsdsff lyskltvdksrwqggnvfscsvmhealhh ytqkslslspgKggggsgggsgggsggg gsgggsgggsgdkthtppcpapellggp svflfpkpkdtlmisrtpevtcvvvdvsh edpevkfnwyvdgvevhnaktkpeeys tyrcvsltvlhqdwlngkeykckvsnk apiektiskakgprepqvytlppsreem tknqvsltclvkgfypsdiavewesngq nnykttppvldsdsfflyskltvdksrw qgnvfscsvmhealhhnytqkslslspgk
1059.	CD70_30xCD3 -scFc	VH	qvqlvesgggvvqgrslrlscaasgfmfs sygmhwvrqapkgglewvavisyegsnkyy aesvkgrftisrdnskntlylqmnsraed tavyycargryygsnynhgmdivwgggttv tvss
1060.	CD70_30xCD3 -scFc	VL	diqmtqspsslsasvgdrvtitcrasqsis sylvnyqqkpgkapklliyaasslqsgvps rfsgrsgtdftlttisslqpedfatyyccq systpftfgpgtkveik
1061.	CD70_30xCD3 -scFc	scFv	qvqlvesgggvvqgrslrlscaasgfmfs sygmhwvrqapkgglewvavisyegsnkyy aesvkgrftisrdnskntlylqmnsraed tavyycargryygsnynhgmdivwgggttv tvssggggsgggsgggsgdiqmtqspssl sasvgdrvtitcrasqsisylvnyqqkpg kapklliyaasslqsgvpsrfsgrsgtdf tltisslqpedfatyyccqsystpftfgpg tkveik
1062.	CD70_30xCD3 -scFc	биспецифическая молекула	qvqlvesgggvvqgrslrlscaasgfmfs sygmhwvrqapkgglewvavisyegsnkyy aesvkgrftisrdnskntlylqmnsraed tavyycargryygsnynhgmdivwgggttv

		<p>tvssggggsgggsgggsgggsgggdiqmtqspssl sasvgdrvtitcrasqsissylnwyqqkpg kapklliyaasslqsgvpsrfsgrgsgrtdf tltisslqpedfatyyccqsystpftfgpg tkveiksggggsevqlvesggglvqpggsl klscaasgftfnkyamnwrqapgkglewv arirskynnyatyadsvkdrftisrddsk ntaylqmnnlktedavyycvrhgnfgnsy isywaywgggtlvtvssggggsgggsggg gsqvtvtqepsltvspggtvltcgsstga vtsgnypnwvqqkpgqaprgliggtkflap gtparfsgsllggkaaltlsgvqpedeae ycvlwysnrwvfgggtkltvl</p>
<p>1063.</p>	<p>CD70_30xCD3 -scFc</p>	<p>биспецифическая HLE молекула</p> <p>qvqlvesgggvvqgrslrlscaasgfmfs sygmhwrqapgkglewvavisyegsnkyy aevkgrftisrdnskntlylqmnsraed tavyycargryygsnyhgmdivwggttv tvssggggsgggsgggsgggsgggdiqmtqspssl sasvgdrvtitcrasqsissylnwyqqkpg kapklliyaasslqsgvpsrfsgrgsgrtdf tltisslqpedfatyyccqsystpftfgpg tkveiksggggsevqlvesggglvqpggsl klscaasgftfnkyamnwrqapgkglewv arirskynnyatyadsvkdrftisrddsk ntaylqmnnlktedavyycvrhgnfgnsy isywaywgggtlvtvssggggsgggsggg gsqvtvtqepsltvspggtvltcgsstga vtsgnypnwvqqkpgqaprgliggtkflap gtparfsgsllggkaaltlsgvqpedeae ycvlwysnrwvfgggtkltvlgggdktht cppcpapellggpsvflfppkpkdtlmisr tpevtcvvvdvshedpevkfnwyvdgvevh naktkpceeegystyrcvsvltvlhqdwln gkeykckvsnkalpapiektiskakgpre pqvytlppsreemtknqvsltclvkgfyps</p>

			diavewesngqpennykttppvldsdsff lyskltvdksrwqqgnvfscsvmhealthnh ytqkslslspgkggggsgggsgggsggg gsggggsgggsgdkthtppcpapellggp svflfppkpkdtlmsrtpevtcvvvdvsh edpevkfnwyvdgvevhnaktkpeeegys tyrcvsvltvlhqdwlngkeykckvsnkal papiektiskakgpprepqvylppsreem tknqvsltclvkgfypsdiavewesnggpe nnykttppvldsdsfflyskltvdksrwq qgnvfscsvmhealthnhytqkslslspgk
1064.	CD70_31_CCx CD3-scFc	VH CDR1	sygmh
1065.	CD70_31_CCx CD3-scFc	VH CDR2	vtwydasnkyygdavkg
1066.	CD70_31_CCx CD3-scFc	VH CDR3	dllrgvkgyamd
1067.	CD70_31_CCx CD3-scFc	VL CDR1	rasqslrriyla
1068.	CD70_31_CCx CD3-scFc	VL CDR2	dvfdrat
1069.	CD70_31_CCx CD3-scFc	VL CDR3	qqysespft
1070.	CD70_31_CCx CD3-scFc	VH	qvqlvesgggvvqgrslrlscaasgftfs sygmhvrqapgkclewvavtwydasnkyy gdavkgrftisrdnskntlylqmnsraed tavyyocardllrgvkgyamdvwgqgttvv ss
1071.	CD70_31_CCx CD3-scFc	VL	eivltqspgtlslspgeratlscrasqlr riylawyqqkpgqaprlliydvfdratgip drfsgggsgtdftltisrlepedfavyyq qysespftfgcgtkvdk
1072.	CD70_31_CCx CD3-scFc	scFv	qvqlvesgggvvqgrslrlscaasgftfs sygmhvrqapgkclewvavtwydasnkyy gdavkgrftisrdnskntlylqmnsraed

			tavyycardllrgvkgyamdvwgqgtttvtv ssgggsgggsgggsgggseivltqspgtlsl spgeratlscrasqslrriylawyqqkpgq aprlliydvfdratgipdrfsgggsgtdft ltisrlepedfavyyccqysespftfgcgt kvdik
1073.	CD70_31_CCx CD3-scFc	биспецифи ческая молекула	qvqlvesgggvvqpgrslrlscaasgftfs sygmhwrqapgkclewvavtwydasnkyy gdavkgrftisrdnskntlylqmnsraed tavyycardllrgvkgyamdvwgqgtttvtv ssgggsgggsgggsgggseivltqspgtlsl spgeratlscrasqslrriylawyqqkpgq aprlliydvfdratgipdrfsgggsgtdft ltisrlepedfavyyccqysespftfgcgt kvdiksgggsevqlvesggglvqpggslk lscaasgftfnkyamnwrqapgkglewva rirskynnyatyadsvkdrftisrddskn taylqmnnlktedtavyycvrhgnfgnsyi sywaywgqgtlvtvssgggsgggsgggg sqtvtqepsltvspggtvtltcgsstgav tsgnypnwvqqkpgqaprgliggtkflapg tparfsgsllggkaaltlsgvqpedeaeey cvlwysnrwvfgggtklvtl
1074.	CD70_31_CCx CD3-scFc	биспецифи ческая HLE молекула	qvqlvesgggvvqpgrslrlscaasgftfs sygmhwrqapgkclewvavtwydasnkyy gdavkgrftisrdnskntlylqmnsraed tavyycardllrgvkgyamdvwgqgtttvtv ssgggsgggsgggsgggseivltqspgtlsl spgeratlscrasqslrriylawyqqkpgq aprlliydvfdratgipdrfsgggsgtdft ltisrlepedfavyyccqysespftfgcgt kvdiksgggsevqlvesggglvqpggslk lscaasgftfnkyamnwrqapgkglewva rirskynnyatyadsvkdrftisrddskn taylqmnnlktedtavyycvrhgnfgnsyi

			<p>sywaywgqgtlvtvssgggsgggsgggg sqtvtvtqepsltvspggtvtltcgsstgav tsgnypnwvqqkpgqaprgligngkflapg tparfsgsllggkaaltlsgvqpedeaeey cvlwysnrwvfgggtklvtlvggggdkthtc ppcpapellggpsvflfppkpkdtlmisrt pevtcvvvdvshedpevkfnwyvdgvevhn aktkpceeegystyrcvsvltvlhqdwlng keykckvsnkalpapiektiskakgqprep qvytlppsreemtknqvsltclvkgyfyps iaawesngqpennykttppvldsdsffl yskltvdksrwqgnvfscsvmhealhnhy tqkslslspgKggggsgggsgggsgggg sgggsgggsgdkthtcppcpapellggps vflfppkpkdtlmisrtpevtcvvvdvshe dpevkfnwyvdgvevhnaktkpceeegyst yrcvsvltvlhqdwlngkeykckvsnkalp apiektiskakgqprepqvytlppsreemt knqvsltclvkgyfypsdiawesngqpen nykttppvldsdsfflyskltvdksrwqq gnvfscsvmhealhnhytqkslslspgk</p>
1075.	CD70_31xCD3 -scFc	VH	<p>qvqlvesgggvvqgrslrlscaasgftfs sygmhwrqapggkglewvavtwydasnkyy gdavkgrftisrdnskntlylqmnsraed tavyycardllrgvkgyamdvwggttvtv ss</p>
1076.	CD70_31xCD3 -scFc	VL	<p>eivltqspgtlslspgeratlscrasqslr riylawyqqkpgqaprlliydvfdratgip drfsgggsgtdftltisrlepedfavyycq qysespftfgpgtkvdik</p>
1077.	CD70_31xCD3 -scFc	scFv	<p>qvqlvesgggvvqgrslrlscaasgftfs sygmhwrqapggkglewvavtwydasnkyy gdavkgrftisrdnskntlylqmnsraed tavyycardllrgvkgyamdvwggttvtv ssggggsgggsggggseivltqspgtlsl</p>

			spgeratlscrasqslrriylawyqqkpgq aprlliydvfdratgipdrfsggsgtdft ltisrlepedfavyyccqysespftfgpgt kvdik
1078.	CD70_31xCD3 -scFc	биспецифи ческая молекула	qvqlvesgggvvqgrslrlscaasgftfs sygmhwrqapgkglewvavtwydasnkyy gdavkgrftisrdnskntlylqmnsraed tavyycardllrgvkgyamdvwgqgttvtv ssgggsgggsggggseivltqspgtlsl spgeratlscrasqslrriylawyqqkpgq aprlliydvfdratgipdrfsggsgtdft ltisrlepedfavyyccqysespftfgpgt kvdiksggggsevqlvesggglvqpggslk lscaasgftfnkyamnvrqapgkglewva rirskynnyatyadsvkdrftisrddskn taylqmnnlktedtavyycvrhgnfgnsyi sywaywgqgtlvtvssgggsgggsgggg sqtvtqepsltvspggtvtltcgsstgav tsgnypnwvqqkpgqaprgliggtkflapg tparfsgsllggkaaltlsgvqpedaeey cvlwysnrwvfgggtklvtl
1079.	CD70_31xCD3 -scFc	биспецифи ческая HLE молекула	qvqlvesgggvvqgrslrlscaasgftfs sygmhwrqapgkglewvavtwydasnkyy gdavkgrftisrdnskntlylqmnsraed tavyycardllrgvkgyamdvwgqgttvtv ssgggsgggsggggseivltqspgtlsl spgeratlscrasqslrriylawyqqkpgq aprlliydvfdratgipdrfsggsgtdft ltisrlepedfavyyccqysespftfgpgt kvdiksggggsevqlvesggglvqpggslk lscaasgftfnkyamnvrqapgkglewva rirskynnyatyadsvkdrftisrddskn taylqmnnlktedtavyycvrhgnfgnsyi sywaywgqgtlvtvssgggsgggsgggg sqtvtqepsltvspggtvtltcgsstgav

			<p>tsgnypnwvqqkpgqaprgliggtkflapg tparfsgsllggkaaltlsgvqpedeaeey cvlwysnrwvfgggtkltvlgggdkthtc ppcpapellggpsvflfppkpkdtlmisrt pevtcvvvdvshedpevkfnwyvdgvevhn aktkpceeegystyrcvsvltvlhqdwlng keykckvsnkalpapiektiskakgqprep qvytlppsreemtknqvsltclvkgyfypsd iavewesngqpennykttppvldsdgsffl yskltvdksrwqqgnvfscsvmhealhnhy tqkslslspgKggggsgggsgggsgggg sgggsgggsgdkthtcppcpapellggps vflfppkpkdtlmisrtpevtcvvvdvshe dpevkfnwyvdgvevhnaktkpceeegyst yrcvsvltvlhqdwlngkeykckvsnkalp apiektiskakgqprepqvytlppsreemt knqvsltclvkgyfypsdiaewesngqpen nykttppvldsdgsfflyskltvdksrwqq gnvfscsvmhealhnhytqkslslspgk</p>
1080.	CD70_32_CCx CD3-scFc	VH CDR1	sygis
1081.	CD70_32_CCx CD3-scFc	VH CDR2	wisayqgythyaqklqg
1082.	CD70_32_CCx CD3-scFc	VH CDR3	dyggndyygmdv
1083.	CD70_32_CCx CD3-scFc	VL CDR1	sgsssniginyvy
1084.	CD70_32_CCx CD3-scFc	VL CDR2	rsdqrps
1085.	CD70_32_CCx CD3-scFc	VL CDR3	aafdeslsgvv
1086.	CD70_32_CCx CD3-scFc	VH	<p>qvqlvqsgaevkkpgasvkvscasgytft sygiswvrqapggclewmgisayqgythy aqklqgrvtmttdtststaymelrslrsdd tavyycardyggndyygmdvwgqgtvtvs</p>

			s
1087.	CD70_32_CCx CD3-scFc	VL	qsvltqppsasgtpgqrvtiscsgsssnig inyvywyqqlpgtapklliyrsdqrpsgvp drfsgsksgtsaslaslsglrsedeaddyca afdeslsgvvfgcgtkltvl
1088.	CD70_32_CCx CD3-scFc	scFv	qvqlvqsgaevkkpgasvkvscasgytft sygiswvrqapggqclewmgisayqgythy aqklqgrvtmtdtststaymelrslrsdd tavyycardyggndyygmdvwwgqgttvtvs sgggsgggsgggsgggsgsvltqppsasgtp gqrvtiscsgsssnigininyvywyqqlpgt apklliyrsdqrpsgvpdrfsgsksgtsasl alsglrsedeaddycaafdeslsgvvfgcg tkltvl
1089.	CD70_32_CCx CD3-scFc	биспецифи ческая молекула	qvqlvqsgaevkkpgasvkvscasgytft sygiswvrqapggqclewmgisayqgythy aqklqgrvtmtdtststaymelrslrsdd tavyycardyggndyygmdvwwgqgttvtvs sgggsgggsgggsgggsgsvltqppsasgtp gqrvtiscsgsssnigininyvywyqqlpgt apklliyrsdqrpsgvpdrfsgsksgtsasl alsglrsedeaddycaafdeslsgvvfgcg tkltvlsggggsevqlvesggglvqpggsl klscaasgftfnkyamnwwrqpapkgleww arirskynnyatyadsvkdrftisrddsk ntaylqmnlnktdtavyycvrhgnfgnsy isywaywgggtlvtvssggsgggsgggsggg gsqtvtqepsltvspggtvtltcgsstga vtsgnypnwvqqkpgqaprgliggtkflap gtparfsgsllggkaaltlsgvqpedeae ycvlwysnrwvfgggtkltvl
1090.	CD70_32_CCx CD3-scFc	биспецифи ческая HLE молекула	qvqlvqsgaevkkpgasvkvscasgytft sygiswvrqapggqclewmgisayqgythy aqklqgrvtmtdtststaymelrslrsdd tavyycardyggndyygmdvwwgqgttvtvs

			<p>sgggsgggsgggsgggsgsvltqppsasgtp gqrvtiscsgsssniginvywyqqlpgta pklliyrdsqrpsgvpdrfsgsksgtsasl alsglrsedeaddycaafdeslsgvfvfgcg tkltvlsggggsevqlvesggglvqpggsl klscaasgftfnkyamnwvrqapkgglewv arirskynnyatyadsvkdrftisrddsk ntaylqmnlnktdtavyycvrhgnfgnsy isywaywgqgtlvtvssggggsgggsggg gsqtvvtqepsltvspggtvtltcgsstga vtsgnypnwvqkpgqaprgliggtkflap gtparfsgsllggkaaltlsgvqpedeae ycvlwysnrwvfgggtklvtlvggggdkht cppcpapellggpsvflfppkpkdtlmisr tpevtcvvvdvshdpevkfnwyvdgvevh naktkpceezygstyrcsvltvlhqdwln gkeykckvsnkalpapiektiskakgpre pqvytlppsreemtknqvsltclvkgyfyps diavewesngqpennyktppvldsdsff lyskltvdksrwqgnvfscsvmhealhh ytqkslslspgKggggsgggsgggsggg gsgggsgggsgsdkthtcppcpapellggp svflfppkpkdtlmisrtpevtcvvvdvsh edpevkfnwyvdgvevhnaktkpceezygs tyrcsvltvlhqdwlngkeykckvsnk apiektiskakgprepqvytlppsreem tknqvsltclvkgyfypsdiavewesngqpe nnyktppvldsdsfflyskltvdksrwq qgnvfscsvmhealhhytqkslslspgk</p>
1091.	CD70_32xCD3 -scFc	VH	<p>qvqlvqsgaevkkgasvkvscasgytft sygiswvrqapggglewmwisayqgythy aqklqgrvtmtdtststaymelrslrdd tavyycardyggndyygmdvwwggtvtvs s</p>
1092.	CD70_32xCD3	VL	qsvltqppsasgtpgqrvtiscsgssnig

	-scFc		inyvywyqqlpgtapklliyrsdqrpsgvp drfsgsksgtsaslsalsglrsedeaddyca afdeslsgvvfgggtkltvl
1093.	CD70_32xCD3 -scFc	scFv	qvqlvqsgaevkkpgasvkvscasgytft sygiswvrqapggglewmgisayqgythy aqklqgrvtmtdtststaymelrslrsdd tavyycardyggndyygmdvwgqgttvtvs sgggsgggsgggsgggsgsvltqppsasgtp gqrvtisccsgssniginyvywyqqlpgta pklliyrsdqrpsgvpdrfsgsksgtsasl alsglrsedeaddycaafdeslsgvvfgg tkltvl
1094.	CD70_32xCD3 -scFc	биспецифи ческая молекула	qvqlvqsgaevkkpgasvkvscasgytft sygiswvrqapggglewmgisayqgythy aqklqgrvtmtdtststaymelrslrsdd tavyycardyggndyygmdvwgqgttvtvs sgggsgggsgggsgggsgsvltqppsasgtp gqrvtisccsgssniginyvywyqqlpgta pklliyrsdqrpsgvpdrfsgsksgtsasl alsglrsedeaddycaafdeslsgvvfgg tkltvlsggggsevqlvesggglvqpggsl klscaasgftfnkyamnvrqapgkglewv arirskynnyatyadsvkdrftisrddsk ntaylqmnlnktdtavyycvrhgnfgnsy isywaywgqgtlvtvssggggsgggsggg gsqvtvtqepsltvspggtvtltcgsstga vtsgnypnwqqkpgqaprgliggtkflap gtparfsgsllggkaaltlsgvqpedeaey ycvlwysnrwvfgggtkltvl
1095.	CD70_32xCD3 -scFc	биспецифи ческая HLE молекула	qvqlvqsgaevkkpgasvkvscasgytft sygiswvrqapggglewmgisayqgythy aqklqgrvtmtdtststaymelrslrsdd tavyycardyggndyygmdvwgqgttvtvs sgggsgggsgggsgggsgsvltqppsasgtp gqrvtisccsgssniginyvywyqqlpgta

			<p>pklliyrdsqrpsgvprdfsgsksgtsasl alsglrsedeaddycaafdeslsgvvfggg tkltvlsggggsevqlvesggglvqpggsl klscaasgftfnkyamnvrqapggglewv arirskynnyatyadsvkdrftisrddsk ntaylqmnlnktdtavyycvrhgnfgnsy isywaywgqgtlvtvssggggsgggsggg gsqvtvtqepsltvspggtvltcgsstga vtsgnypnwvqqkpgqaprgliggtkflap gtparfsgsllggkaaltlsgvqpedeae ycvlwysnrwvfgggtkltvlggggdktht cppcpapellggpsvflfppkpkdtlmisr tpevtcvvvdvshdepvkfnwyvdgvevh naktkpceeaygstyrcvsvltvlhqdwln gkeykckvsnkalspapiektiskakgpre pqvytlppsreemtknqvsltclvkgfyps diavewesngqpennyktppvldsdgsff lyskltvdksrwqqgnvfscsvmhealnhh ytqkslslspgKggggsgggsgggsggg gsgggsgggsgdkthtcppcpapellggp svflfppkpkdtlmisrtpevtcvvvdvsh edpevkfnwyvdgvevhnaktkpceeaygs tyrcvsvltvlhqdwlngkeykckvsnkals papiektiskakgprepqvytlppsreem tknqvsltclvkgfypsdiavewesngqpe nnyktppvldsdgsfflyskltvdksrwq qgnvfscsvmhealnhhnytqkslslspgk</p>
1096.	CD70_33_CCx CD3-scFc	VH CDR1	yygmh
1097.	CD70_33_CCx CD3-scFc	VH CDR2	viwydasnkyyadavkg
1098.	CD70_33_CCx CD3-scFc	VH CDR3	dremgsrgdfdy
1099.	CD70_33_CCx CD3-scFc	VL CDR1	rasqginnyla

1100.	CD70_33_CCx CD3-scFc	VL CDR2	avsilqs
1101.	CD70_33_CCx CD3-scFc	VL CDR3	qqynfypfs
1102.	CD70_33_CCx CD3-scFc	VH	qaqlvesgggvvqpgrslrlscaasgftfs yygmhwrqapgkclewvaviwydasnkyy adavkgrftisrdnskntlylqmnsraed tavyyocardremgsrgdfdywgqgtlvts s
1103.	CD70_33_CCx CD3-scFc	VL	diquqtqspsslsasvgdrvtitcrasqgin nylawfqkpgkapksliyavsilqsgvps kfsqsgsgtdftltisnlqpedfatyycqq ynfypfsfgcgtkvdik
1104.	CD70_33_CCx CD3-scFc	scFv	qaqlvesgggvvqpgrslrlscaasgftfs yygmhwrqapgkclewvaviwydasnkyy adavkgrftisrdnskntlylqmnsraed tavyyocardremgsrgdfdywgqgtlvts sgggsgggsgggsgdiqmtqspsslsas vgdrvtitcrasqginnylawfqkpgkap ksliyavsilqsgvpskfsqsgsgtdftlt isnlqpedfatyycqqynfypfsfgcgtkv dik
1105.	CD70_33_CCx CD3-scFc	биспецифи ческая молекула	qaqlvesgggvvqpgrslrlscaasgftfs yygmhwrqapgkclewvaviwydasnkyy adavkgrftisrdnskntlylqmnsraed tavyyocardremgsrgdfdywgqgtlvts sgggsgggsgggsgdiqmtqspsslsas vgdrvtitcrasqginnylawfqkpgkap ksliyavsilqsgvpskfsqsgsgtdftlt isnlqpedfatyycqqynfypfsfgcgtkv diksggggsevqlvesggglvqpggslkls caasgftfnkyamnvrqapgglewvari rskynnyatyadsvkdrftisrddsknta ylqmnlktdtavyycvrhgnfgnsyisy waywgqgtlvtsvsgggsgggsgggsg

			<p>tvvtqepsltvspggtvtltcgsstgavts gnypnwvqqkpgqaprgliggtkflapgtp arfgsllggkaaltlsgvqpedeaeeycv lwysnrwvfgggtklvtl</p>
1106.	<p>CD70_33_CCx CD3-scFc</p>	<p>биспецифи ческая HLE молекула</p>	<p>qaqlvesgggvvqgrslrlscaasgftfs yygmhwrqapgkclewvaviwydasnkyy adavkgrftisrdnskntlylqmnsraed tavyycardremgsrgdfdywggtlvtvs sgggsgggsgggsgdiqmtqspsslsas vgdrvtitcrasqginnylawfqkpgkap ksliyavsilqsgvpskfsqsgsgtdftlt isnlqpedfatyycqynfyfsgcgtkv diksggggsevqlvesggglvqpggslkls caasgftfnkyamnwrqapgkglewvari rskynnyatyadsvkdrftisrddsknta ylqmnlktdtavyycvrhgnfgnsyisy waywggtlvtvssggsgggsgggsg tvvtqepsltvspggtvtltcgsstgavts gnypnwvqqkpgqaprgliggtkflapgtp arfgsllggkaaltlsgvqpedeaeeycv lwysnrwvfgggtklvtlvgggdkthtcpp cpapellggpsvflfppkpkdtlmsrtpe vtcvvdvshedpevkfnwyvdgvevhnak tkpceeystyrcvsvltvlhqdwlngke ykckvsnkalspapektiskakgqprepqv ytlppsreemtknqvsltclvkgfypsdi vewesngqpennyktppvldsdfsflys kltdksrwqqgnvfscsvmhealhhytq kslslspgKggggsgggsgggsgggsg ggsgggsgdkthtcppcpapellggpsvf lfppkpkdtlmsrtpevtcvvdvshedp evkfnwyvdgvevhnaktkpceeystyr cvsvltvlhqdwlngkeykckvsnkalsp iektiskakgqprepqvtylppsreemtkn qvsltclvkgfypsdiavewesngqpenny</p>

			ktppvldsdgsfflyskltvdksrwqqgn vfscsvmhealthhnytqkslsispkg
1107.	CD70_33xCD3 -scFc	VH	qaqlvesgggvvqgrslrlscaasgftfs yygmhwrqapgkglewvaviwydasnkyy adavkgrftisrdnskntlylqmnsraed tavyycardremgsrgdfdywgggtlvts s
1108.	CD70_33xCD3 -scFc	VL	diqmtqspsslsasvgdrvtitcrasqgin nylawfqkpgkapksliyavsilqsgvps kfsrgsgsgtdftltisnlqpedfatyycqq ynfypfsfgggtkvdik
1109.	CD70_33xCD3 -scFc	scFv	qaqlvesgggvvqgrslrlscaasgftfs yygmhwrqapgkglewvaviwydasnkyy adavkgrftisrdnskntlylqmnsraed tavyycardremgsrgdfdywgggtlvts sgggsgggsgggsgdiqmtqspsslsas vgdrvtitcrasqginnylawfqkpgkap ksliyavsilqsgvpskfsrgsgtdftlt isnlqpedfatyycqqynfypfsfgggtk dik
1110.	CD70_33xCD3 -scFc	биспецифи ческая молекула	qaqlvesgggvvqgrslrlscaasgftfs yygmhwrqapgkglewvaviwydasnkyy adavkgrftisrdnskntlylqmnsraed tavyycardremgsrgdfdywgggtlvts sgggsgggsgggsgdiqmtqspsslsas vgdrvtitcrasqginnylawfqkpgkap ksliyavsilqsgvpskfsrgsgtdftlt isnlqpedfatyycqqynfypfsfgggtk diksggggsevqlvesggglvqpggskls caasgftfnkyamnwrqapgkglewvari rskynnyatyadsvkdrftisrddsknta ylqmnlktdtavyyvrhgnfgnsyisy waywgggtlvtssgggsgggsgggsgq tvvtqepsltvspggtvtltcgsstgavts gnypnwvqqkpgqaprgliggtkflapgtp

			arfgslggkaaltlsgvqpedeaeyycv lwysnrwvfgggtkltvl
1111.	CD70_33xCD3 -scFc	биспецификационная HLE молекула	qaqlvesgggvvqgrslrlscaasgftfs yygmhwrqapggglewvaviwydasnkyy adavkgrftisrdnskntlylqmnsraed tavyycardremgrgdfdywgggtlvtvs sgggsgggsgggsggdiqmtqspsslsas vgdrvtitcrasqginnylawfqkpgkap ksliyavsilqsgvpskfsqsgsgtdftlt isnlqpedfatyycqqynfypfsfgggtkv diksggggsevqlvesggglvqpggskls caasgftfnkyamnwrqapggglewvari rskynnyatyyadsvkdrftisrddsanta ylqmnlktdtavyycvrhgnfgnsyisy waywgggtlvtvssggggsgggsgggsgq tvvtqepsltvspggtvtltcgsstgavts gnypnwqqkpgqaprgliggtkflapgtp arfgslggkaaltlsgvqpedeaeyycv lwysnrwvfgggtkltvlgggdkthtcpp cpapellggpsvflfppkpkdtlmisrtpe vtcvvvdvshedpevkfnwyvdgvevhnak tkpceezygstyrcvsvltvlhqdwlngke ykckvsnkalpapiektiskakgqprepqv ytlppsreemtknqvsltclvkgfypsdi vewesngqpennykttpvldsdsffly kltvdksrwqggvfvscsvmhealhnhytq kslslspgKggggsgggsgggsgggsg ggsgggsgdkthtcppcpapellggpsvf lfppkpkdtlmisrtpevtcvvvdvshedp evkfnwyvdgvevhnaktkpceezygstyr cvsvltvlhqdwlngkeykckvsnkalpap iektiskakgqprepqvtytlppsreemtkn qvsltclvkgfypsdiavewesngqpenny kttpvldsdsfflyskltvdksrwqggv vfscsvmhealhnhytqkslslspgk

1112.	CD70_34_CCx CD3-scFc	VH CDR1	gfyws
1113.	CD70_34_CCx CD3-scFc	VH CDR2	eiyhsghatnnp slks
1114.	CD70_34_CCx CD3-scFc	VH CDR3	ggns gyifdy
1115.	CD70_34_CCx CD3-scFc	VL CDR1	rtsqyigryln
1116.	CD70_34_CCx CD3-scFc	VL CDR2	gastlqq
1117.	CD70_34_CCx CD3-scFc	VL CDR3	qqtystprt
1118.	CD70_34_CCx CD3-scFc	VH	qvqlqqwgagllkpsetlsltcavyggsfs gfywswirpppgkclewigeiyhsghatnn pslksrvtisldtsknqfslklnsvtaadt avyyccarggns gyifdywgqgtlvtvss
1119.	CD70_34_CCx CD3-scFc	VL	dvqmtqspsslsasvqdrvtitcrtsqyig rylnwyqqkpgkapkvllygastlqqgvps rfsgsgsgtdftltitslqpedfasyyccq tystprtfgcgtkveik
1120.	CD70_34_CCx CD3-scFc	scFv	qvqlqqwgagllkpsetlsltcavyggsfs gfywswirpppgkclewigeiyhsghatnn pslksrvtisldtsknqfslklnsvtaadt avyyccarggns gyifdywgqgtlvtvssgg ggsgggsgggsgdvqmtqspsslsasvqd rvtitcrtsqyigrylnwyqqkpgkapkvl iygastlqqgvpsrfsgsgsgtdftltits lqpedfasyyccqqtystprtfgcgtkveik
1121.	CD70_34_CCx CD3-scFc	биспецифи ческая молекула	qvqlqqwgagllkpsetlsltcavyggsfs gfywswirpppgkclewigeiyhsghatnn pslksrvtisldtsknqfslklnsvtaadt avyyccarggns gyifdywgqgtlvtvssgg ggsgggsgggsgdvqmtqspsslsasvqd rvtitcrtsqyigrylnwyqqkpgkapkvl iygastlqqgvpsrfsgsgsgtdftltits

			<p>lqpedfasyyccqqtystprtfgcgtkveik sggggsevqlvesggglvqpggslklscaa sgftfnkyamnwwrqapgglewvarirsk ynnyatyadsvkdrftisrddskntaylq mnnlktedavyycvrhgnfgnsyisyway wgggtlvtvssggggsgggsgggsgqtvv tqepsltvspggtvtltcgsstgavtsqny pnwvqqkpgqaprgliggtkflapgtparf sgsllggkaaltlsgvqpedeaeyycvlwy snrwwfgggtkltvl</p>
1122.	<p>CD70_34_CCx CD3-scFc</p>	<p>биспецифи ческая HLE молекула</p>	<p>qvqlqwgagllkpsetlsltcavyggsfs gfywswirppgkclewigeiyhsghatnn pslksrvtisldtsknqfslklnsvtaadt avyycargngsyyifdywgggtlvtvssgg ggsgggsgggsgdvqmtqspsslsasvgd rvtitcrtsqyigrlynwyqqkpgkapkvl iygastlqqgvpsrfsqsgsgtdftlits lqpedfasyyccqqtystprtfgcgtkveik sggggsevqlvesggglvqpggslklscaa sgftfnkyamnwwrqapgglewvarirsk ynnyatyadsvkdrftisrddskntaylq mnnlktedavyycvrhgnfgnsyisyway wgggtlvtvssggggsgggsgggsgqtvv tqepsltvspggtvtltcgsstgavtsqny pnwvqqkpgqaprgliggtkflapgtparf sgsllggkaaltlsgvqpedeaeyycvlwy snrwwfgggtkltvlggggdkthtppcpa pellggpsvflfppkpkdtlmisrtpevtc vvvdvshedpevkfnwyvdgvevhnaktkp ceeqygstyrcvsvltvlhqdwlngkeykc kvsnkalpapiektiskakgqprepvytl ppsreemtknqvslclvkgfypsdiavew esngqpennykttppvldsdsqsflysklt vdksrwqqgnvfscsvmhealhhnytqksl slspgKggggsgggsgggsgggsgggsgggg</p>

			sggggsdkthtccppcapellggpsvflfp pkpkdtlmsrtpevtcvvvdvshedpevk fnwyvdgvevhnaktkpceezygstyrcvs vltvlhqdwlngkeykckvsnkalpapie tiskakgqprepqvytlppsreemtknqvs ltclvkgfypsdiavewesngqpennyktt ppvldsdgsfflyskltvdksrwqqgnvfs csvmhealthhnytqkslslspgk
1123.	CD70_34xCD3 -scFc	VH	qvqlqqwgagllkpsetlsltcavyggsfs gfywswirpppgkglewigeiyhsgatnn pslksrvtisldtsknqfslklnsvtaadt avyyccargngsyyifdywgqgtlvtvss
1124.	CD70_34xCD3 -scFc	VL	dvqmtqspsslsasvqdrvtitcrtsqyig rylnwyqqkpgkapkvliyastlqqgvps rfsgsgsgtdftltitlqpedfasyyccq tystprtfgqgtkveik
1125.	CD70_34xCD3 -scFc	scFv	qvqlqqwgagllkpsetlsltcavyggsfs gfywswirpppgkglewigeiyhsgatnn pslksrvtisldtsknqfslklnsvtaadt avyyccargngsyyifdywgqgtlvtvssgg ggsgggsggggsdvqmtqspsslsasvq drvtitcrtsqyigrylnwyqqkpgkapkv liyastlqqgvpsrfsgsgsgtdftltits lqpedfasyyccqtystprtfgqgtkveik
1126.	CD70_34xCD3 -scFc	биспецифи ческая молекула	qvqlqqwgagllkpsetlsltcavyggsfs gfywswirpppgkglewigeiyhsgatnn pslksrvtisldtsknqfslklnsvtaadt avyyccargngsyyifdywgqgtlvtvssgg ggsgggsggggsdvqmtqspsslsasvq drvtitcrtsqyigrylnwyqqkpgkapkv liyastlqqgvpsrfsgsgsgtdftltits lqpedfasyyccqtystprtfgqgtkveik sggggsevlvesggglvqpggslklsc aa sgftfnkyamnwvrqapggkglewvarir sk ynnyatyadsvkdrftisrddskntaylq

			<p>mnnlktedtavyycvrhgnfgnsyisyway wgqgtlvtvssggggsgggsgggsgqtvv tqepsltvspggtvtltcgsstgavtsgny pnwvqqkpgqaprgliggtkflapgtparf sgsllggkaaltlsgvqpedeaeyycvlwy snrwwfgggtklvtl</p>
1127.	CD70_34xCD3 -scFc	биспецифи ческая HLE молекула	<p>qvqlqqwgagllkpsetlsitcavyggsfs gfywswirppgkglewigeiyhsghatnn pslksrvtisldtsknqfslklnsvtaadt avyyccargngsyyifdywgqgtlvtvssgg ggsgggsgggsgdvqmtqspsslsasvgd rvtitcrtsqyigrlynwyqqkpgkapkvl iygastlqqgvpsrfsqsgsgtdftlits lqpedfasyyccqtystprtfgggtkveik sggggsevqlvesggglvqpggsklkscaa sgftfnkyamnwwrqapgkglewvarirsk ynnyatyadsvkdrftisrddskntaylq mnnlktedtavyycvrhgnfgnsyisyway wgqgtlvtvssggggsgggsgggsgqtvv tqepsltvspggtvtltcgsstgavtsgny pnwvqqkpgqaprgliggtkflapgtparf sgsllggkaaltlsgvqpedeaeyycvlwy snrwwfgggtklvtlvgggdkthtcppcpa pellggpsvflfppkpkdtlmisrtpevtc vvvdvshedpevkfnwyvdgvevhnaktkp ceeqygstyrcvsvltvlhqdwlngkeykc kvsnkalspapiektiskakgqprepvytl ppsreemtknqvsltclvkgfypsdiavew esngqpennykttppvldsdgsfflysklt vdksrwqqgnvfscsvmhealthnhtqksl slspgkggggsgggsgggsgggsgggg sggggskthtcppcpapellggpsvflfp pkpkdtlmisrtpevtcvvvdvshedpevk fnwyvdgvevhnaktkpceeqygstyrcvs vltvlhqdwlngkeykcvsnkalspapie</p>

			tiskakgqprepqvylppsreemtknqvs ltclvkgyfypsdiavewesngqpennyktt ppvldsdgsfflyskltvdksrwqqgnvfs csvmhealthnhytqkslslspgk
1128.	CD70_35_CCx CD3-scFc	VH CDR1	tygmh
1129.	CD70_35_CCx CD3-scFc	VH CDR2	viwyegsnkyygesvkg
1130.	CD70_35_CCx CD3-scFc	VH CDR3	dnshyyygmdv
1131.	CD70_35_CCx CD3-scFc	VL CDR1	tgsssnigagydvn
1132.	CD70_35_CCx CD3-scFc	VL CDR2	vnnnrps
1133.	CD70_35_CCx CD3-scFc	VL CDR3	qsydtslsasv
1134.	CD70_35_CCx CD3-scFc	VH	qvqlvesgggvvqpgrslrlscaasgftfs tygmhwvrqapgkclewvaviwyegsnkyy gesvkgrftisrdnskntlylqmnsraed tavyycardnshyyygmdvwgqggttvtvss
1135.	CD70_35_CCx CD3-scFc	VL	qsvltqppsvsgapgrvtisctgsssnig agydvnwyqqfpgtapklliyvnnnrpsgv pdrfsgstsgtsaslaaitglqaedeayyc qsydtslsasvfgcgtrltvl
1136.	CD70_35_CCx CD3-scFc	scFv	qvqlvesgggvvqpgrslrlscaasgftfs tygmhwvrqapgkclewvaviwyegsnkyy gesvkgrftisrdnskntlylqmnsraed tavyycardnshyyygmdvwgqggttvtvss ggggsgggsgggsgsvltqppsvsgapg qrvtisctgsssnigagydvnwyqqfpgta pklliyvnnnrpsgvpdrfsgstsgtsasl aitglqaedeayycqsydtslsasvfgcg trltvl
1137.	CD70_35_CCx CD3-scFc	биспецифи ческая	qvqlvesgggvvqpgrslrlscaasgftfs tygmhwvrqapgkclewvaviwyegsnkyy

		молекула	gesvkgrftisrdnskntlylqmnsraed tavyycardnshyyygmdvwgqgttvtvss gggsgggsgggsgggsqsvltqppsvsgapg qrvtisctgsssniagaydnwyqqfpgta pklliyvnnnrpsgvprdfsgstsgtsasl aitglqaeadyycqsydtslsasvfgcg trltvlsggggsevqlvesggglvqpggs1 klscaasgftfnkyamnwrqapgkglewv arirskynnyatyadsvkdrftisrddsk ntaylqmnlktedtavyycvrhgnfgnsy isywaywqggtlvtvssgggsgggsggg gsqvtvtqeps1tvspggtvltcgsstga vtsgnypnwvqqkpgqaprgliggtkflap gtparfsgsllggkaaltlsgvqpedeae ycvlwysnrwvfgggtkltvl
1138.	CD70_35_CCx CD3-scFc	биспецифическая HLE молекула	qvqlvesgggvvqpgsrslrlscaasgftfs tygmhwrqapgkclewvaviwyeysnkyy gesvkgrftisrdnskntlylqmnsraed tavyycardnshyyygmdvwgqgttvtvss gggsgggsgggsgggsqsvltqppsvsgapg qrvtisctgsssniagaydnwyqqfpgta pklliyvnnnrpsgvprdfsgstsgtsasl aitglqaeadyycqsydtslsasvfgcg trltvlsggggsevqlvesggglvqpggs1 klscaasgftfnkyamnwrqapgkglewv arirskynnyatyadsvkdrftisrddsk ntaylqmnlktedtavyycvrhgnfgnsy isywaywqggtlvtvssgggsgggsggg gsqvtvtqeps1tvspggtvltcgsstga vtsgnypnwvqqkpgqaprgliggtkflap gtparfsgsllggkaaltlsgvqpedeae ycvlwysnrwvfgggtkltvlgggdktht cppcpapellggpsvflfppkpkdtlmsr tpevtcvvdvshedpevkfnwyvdgvevh naktkpceeaygstyrcvsvltvlhqdwln

			gkeykckvsnkalpapiektiskakgpre pqvytlppsreemtknqvsltclvkgyfyps diavewesngqpennykttppvldsdsff lyskltvdksrwqgnvfscsvmhealhh ytqkslslspgKggggsgggsgggsggg gsgggsgggsgskthtcppcpapellggp svflfppkpdltlmisrtpvctvvdvsh edpevkfnwyvdgvevhnaktkpceeqygs tyrcvsltlvhqdwlngkeykckvsnk papiektiskakgprepqvytlppsreem tknqvsltclvkgyfypsdiavewesngqpe nnykttppvldsdsfflyskltvdksrwq qgnvfscsvmhealhhytqkslslspgk
1139.	CD70_35xCD3 -scFc	VH	qvqlvesgggvqpgrslrlscaasgftfs tygmhwvrqapgkglewvaviweyegsnkyy gesvkgrftisrdnskntlylqmnsraed tavyycardnshyyygmdvwgqggttvtvss
1140.	CD70_35xCD3 -scFc	VL	qsvltqppsvsgapqrvtisctgsssnig agydnwyqqfpgtapklliyvnnnrpsgv pdrfsgstsgtsaslaigtlaeadeadyyc qsydtslsasvfggtrltvl
1141.	CD70_35xCD3 -scFc	scFv	qvqlvesgggvqpgrslrlscaasgftfs tygmhwvrqapgkglewvaviweyegsnkyy gesvkgrftisrdnskntlylqmnsraed tavyycardnshyyygmdvwgqggttvtvss ggggsgggsgggsgsvltqppsvsgapg qrvtisctgsssnigagydnwyqqfpgta pklliyvnnnrpsgvpdrfsgstsgtsasl aitglqaadeadyycqsydtslsasvfgg trltvl
1142.	CD70_35xCD3 -scFc	биспецифическая молекула	qvqlvesgggvqpgrslrlscaasgftfs tygmhwvrqapgkglewvaviweyegsnkyy gesvkgrftisrdnskntlylqmnsraed tavyycardnshyyygmdvwgqggttvtvss ggggsgggsgggsgsvltqppsvsgapg

			<p>qrvtisctgsssniagaydvnwyqqfpgta pklliyvnnnrpsgvpdrfsgstsgtsasl aitglqaeadyycqsydtslsasvfggg trltvlsggggsevqlvesggglvqpggs1 klscaasgftfnkyamnwrqapggglewv arirskynnyatyyadsvkdrftisrddsk ntaylqmnlnktdtavyycvrhgnfgnsy isywaywgggtlvtvssggggsgggsggg gsqvtvtqepsltvspggtvtltcgsstga vtsgnypnwvqqkpgqaprgliggtkflap gtparfsgsllggkaaltlsgvqpedeae ycvlwysnrwvfgggtkltvl</p>
1143.	CD70_35xCD3 -scFc	биспецифическая HLE молекула	<p>qvqlvesgggvvqpgsrslrlscaasgftfs tygmhwrqapggglewvaviwyeysnkyy gesvkgrftisrdnskntlylqmnsraed tavyycardnshyyygmdvwgqgtvtvss ggggsgggsgggsgsqsylvtppsvsgapg qrvtisctgsssniagaydvnwyqqfpgta pklliyvnnnrpsgvpdrfsgstsgtsasl aitglqaeadyycqsydtslsasvfggg trltvlsggggsevqlvesggglvqpggs1 klscaasgftfnkyamnwrqapggglewv arirskynnyatyyadsvkdrftisrddsk ntaylqmnlnktdtavyycvrhgnfgnsy isywaywgggtlvtvssggggsgggsggg gsqvtvtqepsltvspggtvtltcgsstga vtsgnypnwvqqkpgqaprgliggtkflap gtparfsgsllggkaaltlsgvqpedeae ycvlwysnrwvfgggtkltvlgggdktht cppcpapellggpsvflfppkpkdtlmisr tpevtcvvvdvshedpevkfnwyvdgvevh naktkpceeaygstyrcvsvltvlhqdwln gkeykckvsnkalpapiektiskakgpre pqvytlppsreemtknqvsltclvkgyfyps diavewesngqpennykttppvldsdgsff</p>

			lyskltvdksrwqqgnvfscsvmhealhh ytqkslslspgKggggsgggsgggsggg gsgggsgggsgdkthtcppcpapellggp svflfpkpkdtlmisrtpevtcvvvdvsh edpevkfnwyvdgvevhnaktkpeeeygs tyrcvsvltvlhqdwlngkeykckvsnk papiektiskakgqprepqvvtlppsreem tknqvsltclvkgfypsdiavewesnggpe nnykttppvldsdgsfflyskltvdksrwq qgnvfscsvmhealhhytqkslslspgk
1144.	CD70_36_CCx CD3-scFc	VH CDR1	tygmh
1145.	CD70_36_CCx CD3-scFc	VH CDR2	viwyegsnkyygesvkg
1146.	CD70_36_CCx CD3-scFc	VH CDR3	dnshyyygmdv
1147.	CD70_36_CCx CD3-scFc	VL CDR1	tgsssnigagydv
1148.	CD70_36_CCx CD3-scFc	VL CDR2	vnnnrps
1149.	CD70_36_CCx CD3-scFc	VL CDR3	qsyetslsasv
1150.	CD70_36_CCx CD3-scFc	VH	qvqlvesgggvvqgrslrlscaasgftfs tygmhwrqapgkclewvaviwyegsnkyy gesvkgrftisrdnskntlylqmnsraed tavyycardnshyyygmdvwgqgltvtvss
1151.	CD70_36_CCx CD3-scFc	VL	qsvltqppsvsgapgrvtisctgsssnig agydvwnyqqlpgtapklliyvnnnrpsgv pdrfsgsksgtsaslaigtqlaedeayyc qsyetslsasvfgcgtrltvl
1152.	CD70_36_CCx CD3-scFc	scFv	qvqlvesgggvvqgrslrlscaasgftfs tygmhwrqapgkclewvaviwyegsnkyy gesvkgrftisrdnskntlylqmnsraed tavyycardnshyyygmdvwgqgltvtvss ggggsgggsgggsgsvltqppsvsgapg

			<p>qrvtisctgsssniqagydvnyqqppta pklliyvnnrpsgvpdrfsgsksgtsasl aitglqaeadyycqsyetslsasvfgcg trltvl</p>
1153.	CD70_36_CCx CD3-scFc	биспецифи ческая молекула	<p>qvqlvesgggvvqgrslrlscaasgftfs tygmhwrqapgkclewvaviwiegskyy gesvkgrftisrdnskntlylqmnsraed tavyycardnshyyygmdvwgqgtlvtvss ggggsgggsgggsgsvltqppsvsgapg qrvtisctgsssniqagydvnyqqppta pklliyvnnrpsgvpdrfsgsksgtsasl aitglqaeadyycqsyetslsasvfgcg trltvlsggggsevqlvesggglvqpggsl klscaasgftfnkyamnwvrqapgkglewv arirskynnyatyadsvkdrftisrddsk ntaylqmnnkctedavyyvrhgnfgnsy isywaywqgtlvtvssggggsgggsggg gsqvtvtqepsltvspggtvltcgsstga vtsgnypnwvqqkpgqaprgliggtkflap gtparfsgsllggkaaltlsgvqpedeaey ycvlwysnrwvfgggtkltvl</p>
1154.	CD70_36_CCx CD3-scFc	биспецифи ческая HLE молекула	<p>qvqlvesgggvvqgrslrlscaasgftfs tygmhwrqapgkclewvaviwiegskyy gesvkgrftisrdnskntlylqmnsraed tavyycardnshyyygmdvwgqgtlvtvss ggggsgggsgggsgsvltqppsvsgapg qrvtisctgsssniqagydvnyqqppta pklliyvnnrpsgvpdrfsgsksgtsasl aitglqaeadyycqsyetslsasvfgcg trltvlsggggsevqlvesggglvqpggsl klscaasgftfnkyamnwvrqapgkglewv arirskynnyatyadsvkdrftisrddsk ntaylqmnnkctedavyyvrhgnfgnsy isywaywqgtlvtvssggggsgggsggg gsqvtvtqepsltvspggtvltcgsstga</p>

			vtsgnypnwvqqkpgqaprgliggtkflap gtparfsgsllggkaaltlsgvqpedeae ycvlwysnrwvfgggtklvtlvgggdktht cppcpapellggpsvflfppkpkdtlmisr tpevtcvvvdvshedpevkfnwyvdgvevh naktkpceeegystyrcvsvltvlhqdwn gkeykckvsnkalpapiektiskakgqpre pqvytlppsreemtknqvsltclvkgfyps diavewesngqpennykttpvldsdsff lyskltvdksrwqqgnvfscsvmhealnh ytqkslslspgKggggsgggsgggsggg gsgggsgggsgdkthtcppcpapellggp svflfppkpkdtlmisrtpevtcvvvdvsh edpevkfnwyvdgvevhnaktkpceeegys tyrcvsvltvlhqdwlngkeykckvsnk apiektiskakgqprepqvytlppsreem tknqvsltclvkgfypsdiavewesngqpe nnykttpvldsdsfflyskltvdksrwq qgnvfscsvmhealnhhtqkslslspgk
1155.	CD70_36xCD3 -scFc	VH	qvqlvesgggvvqpgrslrlscaasgftfs tygmhwrqapggkglewvaviwyegsnkyy gesvkgrftisrdnskntlylqmnsraed tavyycardnshyyygmdvwgqgtlvtvss
1156.	CD70_36xCD3 -scFc	VL	qsvltqppsvsgapqgrvtisctgssnig agydnwyqqlpgtapklliyvnnnrpsgv pdrfsgsksgtsaslaaitglqaedeayyc qsyetslsasvfggtrltvl
1157.	CD70_36xCD3 -scFc	scFv	qvqlvesgggvvqpgrslrlscaasgftfs tygmhwrqapggkglewvaviwyegsnkyy gesvkgrftisrdnskntlylqmnsraed tavyycardnshyyygmdvwgqgtlvtvss ggggsgggsgggsgsvltqppsvsgapq grvtisctgssnigagydnwyqqlpgta pklliyvnnnrpsgvpdrfsgsksgtsasl aitglqaedeayycqsyetslsasvfggg

			trltvl
1158.	CD70_36xCD3 -scFc	биспецифическая молекула	qvqlvesgggqvqgrslrlscaasgftfs tygmhwrqapgkglewvaviwyeysnkyy gesvkgrftisrdnskntlylqmnsdraed tavyycardnshyyygmdvwgqgtlvtvss ggggsgggsgggsgsvltqppsvsgapg qrvtisctgsssnigagydnwyqqlpgta pklliyvnnnrpsgvprdfsgsksgtsasl aitglqaeadyycqsyetslsasvfggg trltvlsggggsevqlvesggglvqpggsl klscaasgftfnkyamnwrqapgkglewv arirskynnyatyadsvkdrftisrddsk ntaylqmnnlktedtavyycvrhgnfgnsy isywaywgqgtlvtvssggggsgggsggg gsqvtvtqepsltvspggtvltcgsstga vtsgnypnwvqqkpgqaprgliggtkflap gtparfsgsllggkaaltlsgvqpedeaey ycvlwysnrwvfgggtkltvl
1159.	CD70_36xCD3 -scFc	биспецифическая HLE молекула	qvqlvesgggqvqgrslrlscaasgftfs tygmhwrqapgkglewvaviwyeysnkyy gesvkgrftisrdnskntlylqmnsdraed tavyycardnshyyygmdvwgqgtlvtvss ggggsgggsgggsgsvltqppsvsgapg qrvtisctgsssnigagydnwyqqlpgta pklliyvnnnrpsgvprdfsgsksgtsasl aitglqaeadyycqsyetslsasvfggg trltvlsggggsevqlvesggglvqpggsl klscaasgftfnkyamnwrqapgkglewv arirskynnyatyadsvkdrftisrddsk ntaylqmnnlktedtavyycvrhgnfgnsy isywaywgqgtlvtvssggggsgggsggg gsqvtvtqepsltvspggtvltcgsstga vtsgnypnwvqqkpgqaprgliggtkflap gtparfsgsllggkaaltlsgvqpedeaey ycvlwysnrwvfgggtkltvlgggdktht

			cppcpapellggpsvflfppkpkdtlmisr tpevtcvvvdvshdepvkfnwyvdgvevh naktkpceeeygstyrcvsvltvlhqdwln gkeykckvsnkalpapiektiskakggpre pqvytlppsreemtknqvsltclvkgfyps diavewesngqpennykttppvldsdsff lyskltvdksrwqqgnvfscsvmhealnhh ytqkslslspgKggggsgggsgggsggg gsgggsgggsgdkthtcppcpapellggp svflfppkpkdtlmisrtpetvcvvdvsh edpevkfnwyvdgvevhnaktkpceeeygs tyrcvsvltvlhqdwlngkeykckvsnkal papiektiskakggprepqvytlppsreem tknqvsltclvkgfypsdiavewesngqpe nnykttppvldsdsfflyskltvdksrwq qgnvfscsvmhealnhhytqkslslspgk
1160.	CD70_37_CCx CD3-scFc	VH CDR1	sgvyyws
1161.	CD70_37_CCx CD3-scFc	VH CDR2	yiiysgstsynpslks
1162.	CD70_37_CCx CD3-scFc	VH CDR3	sgysyalfdy
1163.	CD70_37_CCx CD3-scFc	VL CDR1	rasqsvdryfn
1164.	CD70_37_CCx CD3-scFc	VL CDR2	aasslqs
1165.	CD70_37_CCx CD3-scFc	VL CDR3	qqsytpwt
1166.	CD70_37_CCx CD3-scFc	VH	qmqlqesgpglvkpssetlsltctvsggsie sgvyywswirqppgkclewigyiyysgsts ynpslksrltmsvdtksnqfslklssvtaa dtavyycarsgysyalfdywgqgtlvtvss
1167.	CD70_37_CCx CD3-scFc	VL	diqmtqspsslsaslgdrvtitcrasqsvd ryfnwyqqkpgkapkvlifaasslqsgvps rfsgsgsgtdftltisslqpedfatyyccq

			systpwtfgcgtkvevk
1168.	CD70_37_CCx CD3-scFc	scFv	qmqlqesgpglvkpssetlsltctvsggsie sgvyywswirqppgkclewigyiyysgsts ynpslksrltmsvdtsknqfslklssvtaa dtavyycarsgysyalfdywgqgtlvtvss ggggsgggsgggsgdiqmtqspsslsasl gdrvtitcrasqsvdryfnwyqqkpgkapk vlifaasslqsgvpsrfsqsgsgtdftlti sslqpedfatyycqqsystpwtfgcgtkve vk
1169.	CD70_37_CCx CD3-scFc	биспецифи ческая молекула	qmqlqesgpglvkpssetlsltctvsggsie sgvyywswirqppgkclewigyiyysgsts ynpslksrltmsvdtsknqfslklssvtaa dtavyycarsgysyalfdywgqgtlvtvss ggggsgggsgggsgdiqmtqspsslsasl gdrvtitcrasqsvdryfnwyqqkpgkapk vlifaasslqsgvpsrfsqsgsgtdftlti sslqpedfatyycqqsystpwtfgcgtkve vksggggsevqlvesggglvqpggslklsc aasgftfnkyamnwvrqapkglewvarir skynnyatyyadvkdrftisrddskntay lqmnlnktedtavyycvrhgnfgnsyisyw aywgqgtlvtvssggggsgggsgggsgt vvtqepsiltvspggtvtltcgsstgavtsg nypnwvqqkpgqaprgliggtkflapgtpa rfgsllggkaaltlsgvqpedeaeycvl wysnrwvfgggtklvtl
1170.	CD70_37_CCx CD3-scFc	биспецифи ческая HLE молекула	qmqlqesgpglvkpssetlsltctvsggsie sgvyywswirqppgkclewigyiyysgsts ynpslksrltmsvdtsknqfslklssvtaa dtavyycarsgysyalfdywgqgtlvtvss ggggsgggsgggsgdiqmtqspsslsasl gdrvtitcrasqsvdryfnwyqqkpgkapk vlifaasslqsgvpsrfsqsgsgtdftlti sslqpedfatyycqqsystpwtfgcgtkve

			<p> vksggggsevqlvesggglvqpggsklsc aasgftfnkyamnvrqapgkglewvarir skynnyatyyadsvkdrftisrddskntay lqmnlnktdtavyycvrhgnfgnsyisyw aywgqgtlvtvssggggsgggsgggsgqt vvtqepsiltvspggtvtltcgsstgavtsg nypnwvqqkpgqaprgliggtkflapgtpa rfsgsllggkaaltlsgvqpedaeeycvl wysnrwvfgggtklvtlvggggdkthtcppc papellggpsvflfppkpkdtlmisrtpev tcvvdvshedpevkfnwyvgvevhnakt kpceeegystyrcvsvltvlhqdwlngkey kckvsnkalpapiektiskakgqprepvy tlppsreemtknqvsltclvkgfypsdiav ewesngqpennykttpvldsdsfflysk ltvdksrwqqgnvfscsvmhealhnhytqk slslspgKggggsgggsgggsgggsgg ggsgggsgdkthtcppcpapellggpsvfl fppkpkdtlmisrtpevtcvvdvshedpe vkfnwyvgvevhnaktkpceeegystyrc vsvltvlhqdwlngkeykckvsnkalpapi ektiskakgqprepvytlppsreemtknq vsltclvkgfypsdiavewesngqpennyk tppvldsdsfflyskltvdksrwqqgnv fscsvmhealhnhytqkslslspgk </p>
1171.	CD70_37xCD3 -scFc	VH	<p> qmqlqespgglvlpsetlsltctvsggsie sgvyywswirpppgkglewigyiyysgsts ynpslksrlltmsvdtsknqfslklssvtaa dtavyycarsgysyalfdywgqgtlvtvss </p>
1172.	CD70_37xCD3 -scFc	VL	<p> diqmtqspsslsaslgdrvtitcrasqsvd ryfnwyqqkpgkapkvlifaasslqsgvps rfsgsgsgtdftltisslqpedfatyyccq systpwtfgggtkvevk </p>
1173.	CD70_37xCD3 -scFc	scFv	<p> qmqlqespgglvlpsetlsltctvsggsie sgvyywswirpppgkglewigyiyysgsts </p>

			<p>ynpslksrltmsvdtstknqfslklssvtaa dtavyycarsgysyalfdywgqgtlvtvss ggggsgggsgggsgdiqmtqspsslsasl gdrvtitcrasqsvdryfnwyqqkpgkapk vlifaasslqsgvpsrfsqsgsgtdftlti sslqpedfatyycqqsystpwtfgqgtkve vk</p>
1174.	CD70_37xCD3 -scFc	биспецифическая молекула	<p>qmqlqesgpglvkpsetlsltctvsggsie sgvyywswirqppgkglewigyiyysgsts ynpslksrltmsvdtstknqfslklssvtaa dtavyycarsgysyalfdywgqgtlvtvss ggggsgggsgggsgdiqmtqspsslsasl gdrvtitcrasqsvdryfnwyqqkpgkapk vlifaasslqsgvpsrfsqsgsgtdftlti sslqpedfatyycqqsystpwtfgqgtkve vksggggsevqlvesggglvqpggslklsc aasgftfnkyamnvrqapgkglewvarir skynnyatyyadsvkdrftisrddskntay lqmnlnktedtavyycvrhgnfgnsyisyw aywgqgtlvtvssggggsgggsgggsgt vvtqepsiltvspggtvtltcgsstgavtsg nypnwvqqkpgqaprgliggtkflapgtpa rfsgsllggkaaltlsgvqpedaeaycyl wysnrwvfgggtkltvl</p>
1175.	CD70_37xCD3 -scFc	биспецифическая HLE молекула	<p>qmqlqesgpglvkpsetlsltctvsggsie sgvyywswirqppgkglewigyiyysgsts ynpslksrltmsvdtstknqfslklssvtaa dtavyycarsgysyalfdywgqgtlvtvss ggggsgggsgggsgdiqmtqspsslsasl gdrvtitcrasqsvdryfnwyqqkpgkapk vlifaasslqsgvpsrfsqsgsgtdftlti sslqpedfatyycqqsystpwtfgqgtkve vksggggsevqlvesggglvqpggslklsc aasgftfnkyamnvrqapgkglewvarir skynnyatyyadsvkdrftisrddskntay</p>

			lqmnlnktdtavyycvrhgnfgnsyisyw aywgggtlvtvssggggsgggsgggsgt vvtqepsiltvspggtvtltcgsstgavtsg nypnwvqqkpgqaprgliggtkflapgtpa rfsgsllggkaaltlsgvqpedeaeeycvl wysnrwvfgggtklvtlvgggdkthtcppc papellggpsvflfppkpkdtlmisrtpev tcvvdvshedpevkfnwyvdgvevhnakt kpceeeygstyrcvsvltvlhqdwlngkey kckvsnkalpapiektiskakgqprepqv tlppsreemtknqvsltclvkgfyfypsdiav ewesngqpennyktppvldsdsfflysk ltvdksrwqqgnvfscsvmhealhhhtqk slslspgKggggsgggsgggsgggsgg ggsgggsgdkthtcppcpapellggpsvfl fppkpkdtlmisrtpevtcvvdvshedpe vkfnwyvdgvevhnaktkpceeeygstyrc vsvltvlhqdwlngkeykckvsnkalpapi ektiskakgqprepqvylppsreemtknq vsltclvkgfyfypsdiavewesngqpennyk tppvldsdsfflyskltvdksrwqqgnv fscsvmhealhhhtqkslslspgk
1176.	CD70_38_CCx CD3-scFc	VH CDR1	sggyyws
1177.	CD70_38_CCx CD3-scFc	VH CDR2	yifysgstdynpslks
1178.	CD70_38_CCx CD3-scFc	VH CDR3	sgysyallda
1179.	CD70_38_CCx CD3-scFc	VL CDR1	rasqfigryfn
1180.	CD70_38_CCx CD3-scFc	VL CDR2	aesslqs
1181.	CD70_38_CCx CD3-scFc	VL CDR3	qqsytpwt

1182.	CD70_38_CCx CD3-scFc	VH	qvqlqesgpglvkpsqtlsltctvsgdsii sggyywswirqppgkclewigyifysgstd ynpslksrvtisvdtstknqfslklssvtaa dtavyycarsgysyalfdawgggtlvtvss
1183.	CD70_38_CCx CD3-scFc	VL	diqmtqspsslsasvqdrvtiscrasqfig ryfnwyqqkpgkapkvliyaesslqsgvps rfsgsgsgteftltiisslqpedfatyycqq systpwtfgcgtkveik
1184.	CD70_38_CCx CD3-scFc	scFv	qvqlqesgpglvkpsqtlsltctvsgdsii sggyywswirqppgkclewigyifysgstd ynpslksrvtisvdtstknqfslklssvtaa dtavyycarsgysyalfdawgggtlvtvss ggggsgggsgggsgdiqmtqspsslsasv gdrvtiscrasqfigryfnwyqqkpgkapk vliyaesslqsgvpsrfsgsgsgteftlti sslqpedfatyycqqssystpwtfgcgtkve ik
1185.	CD70_38_CCx CD3-scFc	биспецифи ческая молекула	qvqlqesgpglvkpsqtlsltctvsgdsii sggyywswirqppgkclewigyifysgstd ynpslksrvtisvdtstknqfslklssvtaa dtavyycarsgysyalfdawgggtlvtvss ggggsgggsgggsgdiqmtqspsslsasv gdrvtiscrasqfigryfnwyqqkpgkapk vliyaesslqsgvpsrfsgsgsgteftlti sslqpedfatyycqqssystpwtfgcgtkve iksggggsevqlvesggglvqpggslklsc aasgftfnkyamnvrqapgkglewvarir skynnyatyadsvkdrftisrddskntay lqmnlnktedavyycvrhgnfgnsyisyw aywggtlvtvssggggsgggsgggsgt vvtqepsltvspggtvtltcgsstgavtsg nypnwvqqkpgqaprgliggtkflapgtpa rfsgsllggkaaltlsgvqpedeaeyycvl wysnrwvfgggtklvtl
1186.	CD70_38_CCx	биспецифи	qvqlqesgpglvkpsqtlsltctvsgdsii

	CD3-scFc	чешская HLE молекула	sggyywswirqppgkclewigyifysgstd ynpslksrvtisvdtsknqfslklssvtaa dtavyycarsgysyalfdawgggtlvtvss ggggsgggsggggsdiqmtqspsslsasv gdrvtiscrasqfigryfnwyqqkpgkapk vliyaesslqsgvpsrfsqsgsgteftlti sslqpedfatyycqqsystpwtfgcgtkve iksggggsevqlvesggglvqpggslklsc aasgftfnkyamnvrqapkgglewvarir skynnyatyyadvkdrftisrddskntay lqmnlnktedtavyycvrhgnfgnsyisyw aywgggtlvtvssggggsgggsgggsgt vvtqepsiltvspggtvtltcgsstgavtsg nypnwvqqkpgqaprgliggtkflapgtpa rfsgslggkaaltlsgvqpedaeeycvl wysnrwvfgggtklvtlvggggkthtcppc papellggpsvflfppkpkdtlmisrtpev tcvvvdvshedpevkfnwyvdgvevhnakt kpceezygstyrcvsvltvlhqdwlngkey kckvsnkalpapiektiskakgqprepvy tlppsreemtknqvsltclvkgfypsdiav ewesngqpennykttpvltdsgsflysk ltvdksrwqqgnvfscsvmhealhnhytqk slslspgKggggsgggsgggsgggsgg ggsggggskthtcppcpapellggpsvfl fppkpkdtlmisrtpevtcvvvvdvshedpe vkfnwyvdgvevhnaktkpceezygstyrc vsvltvlhqdwlngkeykckvsnkalpapi ektiskakgqprepvytlppsreemtknq vsltclvkgfypsdiavewesngqpennyk ttpvltdsgsflyskltvdksrwqqgnv fscsvmhealhnhytqkslslspgk
1187.	CD70_38xCD3 -scFc	VH	qvqlqesgpglvkpsqtlsltctvsgdsii sggyywswirqppgkglewigyifysgstd ynpslksrvtisvdtsknqfslklssvtaa

			dtavyycarsgysyalfdawgggtlvtvss
1188.	CD70_38xCD3 -scFc	VL	diqmtqspsslsasvqdrvtiscrasqfig ryfnwyqqkpgkapkvliyaesslqsgvps rfsqsgsgteftltisslqpedfatyycqq systpwtfgggtkveik
1189.	CD70_38xCD3 -scFc	scFv	qvqlqesgpglvkpsqtlsltctvsgdsii sggyywswirqppgkglewigyifysgstd ynpslksrvtisvdtstknqfslklssvtaa dtavyycarsgysyalfdawgggtlvtvss ggggsgggsggggsdiqmtqspsslsasv gdrvtiscrasqfigryfnwyqqkpgkapk vliyaesslqsgvpsrfsqsgsgteftlti sslqpedfatyycqqssystpwtfgggtkve ik
1190.	CD70_38xCD3 -scFc	биспецифи ческая молекула	qvqlqesgpglvkpsqtlsltctvsgdsii sggyywswirqppgkglewigyifysgstd ynpslksrvtisvdtstknqfslklssvtaa dtavyycarsgysyalfdawgggtlvtvss ggggsgggsggggsdiqmtqspsslsasv gdrvtiscrasqfigryfnwyqqkpgkapk vliyaesslqsgvpsrfsqsgsgteftlti sslqpedfatyycqqssystpwtfgggtkve iksggggsevqlvesggglvqpggslklsc aasgftfnkyamnvrqapgkglewvarir skynnyatyyadsvkdrftisrddskntay lqmnlnktdtavyycvrhgnfgnsyisyw aywgggtlvtvssggggsgggsgggsgqt vvtqepsltvspggtvtltcgsstgavtsg nypnwvqqkpgqaprgliggtkflapgtpa rfsqslggkaaltlsgvqpedeaeycyl wysnrwvfgggtklvtl
1191.	CD70_38xCD3 -scFc	биспецифи ческая HLE молекула	qvqlqesgpglvkpsqtlsltctvsgdsii sggyywswirqppgkglewigyifysgstd ynpslksrvtisvdtstknqfslklssvtaa dtavyycarsgysyalfdawgggtlvtvss

			<p>ggggsgggsgggsgdiqmtqspsslsasv gdrvtiscrasqfigryfnwyqqkpgkapk vliyaesslqsgvpsrfsqsggteftlti sslqpedfatyycqqsystpwtfgqgtkve iksggggsevqlvesggglvqpggsklsc aasgftfnkyamnvrqapgkglewvarir skynnyatyyadsvkdrftisrddskntay lqmnlnktedtavyycvrhgnfgnsyisyw aywqgtlvtvssggggsgggsgggsgt vvtqepsiltvspggtvtltcgsstgavtsg nypnwvqqkpgqaprgliggtkflapgtpa rfsgslggkaaltlsgvqpedaeaycvl wysnrwvfgggtklvtlvgggdkthtppc papellggpsvflfppkpkdtlmisrtpev tcvvdvshedpevkfnwyvdgvevhnakt kpceeaygstyrcvsvltvlhqdwlngkey kckvsnkalpapiektiskakgqprepqvy tlppsreemtknqvsltclvkgfypsdiav ewesngqpennykttppvldsdsfflysk ltvdksrwqqgnvfscsvmhealhnhytqk slslspgKggggsgggsgggsgggsgg ggsggggskthtppcpapellggpsvfl fppkpkdtlmisrtpevtcvvdvshedpe vkfnwyvdgvevhnaktkpceeaygstyrc vsvltvlhqdwlngkeykckvsnkalpapi ektiskakgqprepqvytlppsreemtknq vsltclvkgfypsdiavewesngqpennyk tppvldsdsfflyskltvdksrwqqgnv fscsvmhealhnhytqkslslspgk</p>
1192.	CD70_1_CCxC D3- scFc_delGK	биспецифи ческая HLE молекула	<p>evqllesggglvqpggslrlscaasgftfs syamswvrqapgkclewsvvisgsggrpny aesvkgrftisrdnskntlylqmnsrlded tavyycakvdysnylffdywqgtlvtvss ggggsgggsggggseivltqspgtlslsp gegatlscragqsvrssylgwyqqkpgqap</p>

			<p>rlliygassratgipdrfsgsgsgtdftlt isrlepedfavyyccqygyspptfgcgtkl eiksggggsevqlvesggglvqpggslkls caasgftfnkyamnvrqapgkglewvari rskynnyatyyadsvkdrftisrddsanta ylqmnlktdtavyycvrhgnfgnsyisy waywgggtlvtvssggggsgggsgggsgq tvvtqepsltvspggtvtltcgsstgavts gnypnwvqqkpgqaprgliggtkflapgtp arfgsllggkaaltlsgvqpedeaeeycv lwysnrwvfgggtklvtlvgggdkthtcpp cpapellggpsvflfppkpkdtlmisrtpe vtcvvvdvshedpevkfnwyvdgvevhnak tkpceeegystyrcvsvltvlhqdwlngke ykckvsnkalspapektiskakgqprepqv ytlppsreemtknqvsltclvkgfypsdi vewesngqpennyktppvldsdsfflys kltvdksrwqggnvfscsvmhealhhnytq kslspsggggsgggsgggsgggsgggsgg gsggggskthtcppcpapellggpsvflf ppkpkdtlmisrtpevtcvvvdvshedpev kfnwyvdgvevhnaktkpceeegystyrcv svltvlhqdwlngkeykckvsnkalspape ktiskakgqprepqvtytlppsreemtknq sltclvkgfypsdiavewesngqpennykt tpvldsdsfflyskltvdksrwqggnvf scsvmhealhhnytqkslspsgk</p>
1193.	CD70_1xCD3- scFc_delGK	биспецифи ческая HLE молекула	<p>evqllesggglvqpggslrlscaasgftfs syamswvrqapgkglewsvvisgsggrpny aesvkgrftisrdnsantllylqmnsrlded tavyyakvdysnylffdywgggtlvtvss ggggsgggsggggseivltqspgtlsisp gegatlscragqsvrssylgwyqqkpgqap rlliygassratgipdrfsgsgsgtdftlt isrlepedfavyyccqygyspptfgggtkl</p>

			<p>eiksggggsevqlvesggglvqpggslkls caasgftfnkyamnvrqapgglewvari rskynnyatyyadsvkdrftisrddsknta ylqmnlnktdtavyycvrhgnfgnsyisy waywgqgtlvtvssggggsgggsgggsgq tvvtqepsltvspggtvtltcgsstgavts gnypnwqqkpgqaprgliggtkflapgtp arfgsllggkaaltlsgvqpedeaeeycv lwysnrwvfgggtklvtlvgggdkthtcpp cpapellggpsvflfppkpkdtlmisrtpe vtcvvvdvshedpevkfnwyvdgvevhnak tkpceeeygstyrcvsvltvlhqdwlngke ykckvsnkalspapektiskakgqprepqv ytlppsreemtknqvsltclvkgfypsdi vewesngqpennyktppvldsdsfflys kltvdksrwqqgnvfscsvmhealhnhytq kslsispgggsgggsgggsgggsgggsgg gsgggsgdkthtcppcpapellggpsvflf ppkpkdtlmisrtpevtcvvvdvshedpev kfnwyvdgvevhnaktkpceeeygstyrcv svltvlhqdwlngkeykckvsnkalspape ktiskakgqprepqvtytlppsreemtknqv sltclvkgfypsdiavewesngqpennykt tppvldsdsfflyskltvdksrwqqgnvf scsvmhealhnhytqkslsispgk</p>
1194.	CD70_2_CCxC D3- scFc_delGK	биспецифи ческая HLE молекула	<p>evqllesggglvqpggslklscaasgftfs iyamswvrqapgkclewvsaisgggstfy aesvkgrftisrdnskntlylqmnslraed tavyycahdysnypyfdywgqgtlvtvss ggggsgggsggggseivltqspgtlslsp geratlscrasqsvrsslawyqqkpgqap rlliygassratqipdrfsgsgtdftlt isrlepedfavyyccqygdlpftfgcgtkl eiksggggsevqlvesggglvqpggslkls caasgftfnkyamnvrqapgglewvari</p>

			<p>rskynnyatyyadsvkdrftisrddsanta ylqmnlnktdtavyycvrhgnfgnsyisy waywgqgtlvtvssggggsgggsgggsgq tvvtqepsltvspggtvtltcgsstgavts gnypnwvqqkpgqaprgliggtkflapgtp arfgsllggkaaltlsgvqpedeaeeycv lwysnrwvfgggtkltvlgggdkthtcpp cpapellggpsvflfppkpkdtlmsrtpe vtcvvdvshedpevkfnwyvdgvevhnak tkpceeegystyrcvsvltvlhqdwlngke ykckvsnkalspapektiskakgqprepqv ytlppsreemtknqvsltclvkgfypsdi vewesngqpennyktppvldsdsfflys kltvdksrwqgnvfscsvmhealhnhytq kslsispggggsgggsgggsgggsggg gsgggsgdkthtcppcpapellggpsvflf ppkpkdtlmsrtpevtcvvdvshedpev kfnwyvdgvevhnaktkpeeegystyrcv svltvlhqdwlngkeykckvsnkalspape ktiskakgqprepvytlppsreemtknqv sltclvkgfypsdiavewesngqpennykt tppvldsdsfflyskltvdksrwqgnvf scsvmhealhnhytqkslsispk</p>
1195.	CD70_2xCD3- scFc_delGK	биспецифи ческая HLE молекула	<p>evqllesggglvqpggslklscaasgftfs iyamswvrqapggglewvsaisgsggstfy aevkgrftisrdnskntlylqmnsraed tavyycahdysnpyfydywgqgtlvtvss ggggsgggsggggseivltqspgtlsisp geratlscrasqsvrsslwayqqkpgqap rlliygassratgipdrfsgsgsgtdftlt isrlepedfavyyccqygdlpftfgpgtkl eiksggggsevqlvesggglvqpggslkls caasgftfnkyamnvrqapggglewvari rskynnyatyyadsvkdrftisrddsanta ylqmnlnktdtavyycvrhgnfgnsyisy</p>

		<p>waywgqgtlvtvssggggsgggsgggsgq tvvtqepsltvspggtvtltcgsstgavts gnypnwvqqkpgqaprgliggtkflapgtp arfgsllggkaaltlsgvqpedeaeyycv lwysnrwvfgggtklvtlvggggdkthtcpp cpapellggpsvflfppkpkdtlmisrtpe vtcvvvdvshedpevkfnwyvdgvevhnak tkpceezygstyrcvsvltvlhqdwlngke ykckvsnkalpapiektiskakgqprepqv ytlppsreemtknqvsltclvkgfypsdi vewesngqpennyktppvldsdsfflys kltvdksrwqqgnvfscsvmhealhnhytq kslslsppggsgggsgggsgggsgggsgg gsgggsgdkthtcppcpapellggpsvflf ppkpkdtlmisrtpevtcvvvdvshedpev kfnwyvdgvevhnaktkpeezygstyrcv svltvlhqdwlngkeykckvsnkalpapie ktiskakgqprepvytlppsreemtknqv sltclvkgfypsdiavewesngqpennykt tppvldsdsfflyskltvdksrwqqgnvf scsvmhealhnhytqkslslsppgk</p>
<p>1196.</p>	<p>CD70_3_CCxC D3- scFc_delGK</p>	<p>биспецифи ческая HLE молекула</p> <p>evqllesgggmvpqggsrlrlscaasgftfs syamswvrqapgkclewvsaisgsggrtfy aesvegrftisrdnskntlflqmnsraed tavyycahdysnypyfdywgqgtlvtvss ggggsgggsggggseivltqspgtlsisp geratlscrasqsvrssylawyqqkpgqap rlliygassratgipdrfsgsgsgtdftlt isrlepedfavyyccqygsspftfgcgtkl eiksggggsevqlvesggglvqpggskls caasgftfnkyamnvrqapkglewvari rskynnyatyyadsvkdrftisrddsknta ylqmnlktdtavyycvrhgnfgnsyisy waywgqgtlvtvssggggsgggsgggsgq tvvtqepsltvspggtvtltcgsstgavts</p>

			<p>gnypnwvqqkpgqaprgliggtkflapgtp arfgsllggkaaltlsgvqpedeaeeycv lwysnrwvfgggtklvtlvgggdkthtcpp cpapellggpsvflfppkpkdtlmisrtp vtcvvvdvshedpevkfnwyvdgvevhnak tkpceezygstyrcvsvltvlhqdwlngke ykckvsnkalspapektiskakggprepqv ytlppsreemtknqvsltclvkgfypsdi vewesngqpennyktppvldsdsffly kltvdksrwqgnvfscsvmhealhhnytq kslspsggggsgggsgggsgggsggg gsgggsgdkthtcppcpapellggpsvflf ppkpkdtlmisrtpvtcvvvdvshedpev kfnwyvdgvevhnaktkpceezygstyrcv svltvlhqdwlngkeykckvsnkalspape ktiskakggprepqvytlppsreemtknqv sltclvkgfypsdiavewesngqpennykt tppvldsdsfflykltvdksrwqgnvf scsvmhealhhnytqkslspsgk</p>
<p>1197.</p>	<p>CD70_3xCD3- scFc_delGK</p>	<p>биспецифи ческая HLE молекула</p>	<p>evqllesggmvqpggsrlscaasgftfs syamswvrqapkglewvsaisgsggrtfy aesvegrftisrdnskntlflqmnsraed tavyycahdysnpyfydywgqgtlvtvss ggggsgggsggggseivltqspgtlslsp geratlscrasqsvrsslawyqqkpgqap rlliygassratgipdrfsgsgsgtdftlt isrlepedfavyyccqygsspftfgpgtkl eiksgggsevqlvesggglvqpggslkls caasgftfnkyamnvwvrqapkglewvari rskynnyatyyadsvkdrftisrddsanta ylqmnlktdtavyycvrhgnfgnsyisy waywgqgtlvtvssggggsgggsgggsgq tvvtqepsltvspggtvtltcgsstgavts gnypnwvqqkpgqaprgliggtkflapgtp arfgsllggkaaltlsgvqpedeaeeycv</p>

			<p>lwysnrwvfgggtklvlggggdkthtcpp cpapellggpsvflfppkpkdtlmisrtpe vtcvvvdvshedpevkfnwyvdgvevhnak tkpceeegystyrcvsvltvlhqdwlngke ykckvsnkalspapektiskakgqprepqv ytlppsreemtknqvsltclvkgfypsdi vewesngqpennyktppvldsdsfflys kltvdksrwqqgnvfscsvmhealhnhtq kslspsggggsgggsgggsgggsggg gsgggsgdkthtcppcpapellggpsvflf ppkpkdtlmisrtpevtcvvvdvshedpev kfnwyvdgvevhnaktkpceeegystyrcv svltvlhqdwlngkeykckvsnkalspape ktiskakgqprepqvtylppsreemtknqv sltclvkgfypsdiavewesngqpennykt tppvldsdsfflyskltvdksrwqqgnvf scsvmhealhnhtqkslspsgk</p>
<p>1198.</p>	<p>CD70_4_CCxC D3- scFc_delGK</p>	<p>биспецифи ческая HLE молекула</p>	<p>evqllesgggmvpqggsrlrlscaasgftfs syamswvrqapgkclewvsaisgsggrtfy aesvegrftisrdnskntlylqmnsraed tavyycahhdysnpyfdywqggtlvtvss ggggsgggsgggseivltqspgtlsisp geratlscrasqsirssylawyqqkpgqap rlliygassratgipdrfsgsgsgtdftlt isrlepedfavyyccqygdlpftfgcgtkl eiksggggsevqlvesggglvqpggskls caasgftfnkyamnvrqapgglewvari rskynnyatyyadsvkdrftisrddsanta ylqmnlktdtavyycvrhgnfgnsyisy waywggtlvtvssggggsgggsgggsgq tvvtqepsltvspggtvtltcgsstgavts gnypnwvqqkpgqaprgliggtkflapgtp arfgsllggkaaltlsgvqpedeaeeycv lwysnrwvfgggtklvlggggdkthtcpp cpapellggpsvflfppkpkdtlmisrtpe</p>

			<p>vtcvvvdvshedpevkfnwyvdgvevhnak tkpceezygstyrcvsvltvlhqdwlngke ykckvsnkalpapiektiskakgqprepqv ytlppsreemtknqvsltclvkgfypsdi vewesngqpennyktppvldsdsfflys kltvdksrwqggnvfscsvmhealhnhytq kslsislpgggsgggsgggsgggsgggsggg gsgggsgdkthtcppcpapellggpsvflf ppkpkdtlmsrtpevtcvvvdvshedpev kfnwyvdgvevhnaktkpceezygstyrcv svltvlhqdwlngkeykckvsnkalpapie ktiskakgqprepqvtylppsreemtknqv sltclvkgfypsdiavewesngqpennykt tppvldsdsfflyskltvdksrwqggnvf scsvmhealhnhytqkslsislpgk</p>
<p>1199.</p>	<p>CD70_4xCD3- scFc_delGK</p>	<p>биспецифи ческая HLE молекула</p>	<p>evqllesgggmvgpqqslrlscaasgftfs syamswvrqapgkglewvsaisgsggrtfy aesvegrftisrdnskntlylqmnsraed tavyycahdysnpyfydywgqgtlvtvss ggggsgggsgggseivltqspgtlslsp geratlscrasqsirssylawyqqkpgqap rlliygassratgipdrfsgsgsgtdftlt isrlepedfavyyccqygdlpftfgpgtkl eiksggggsevqlvesggglvqpggslkls caasgftfnkyamnvrqapgkglewvari rskynnyatyadsvkdrftisrddsknta ylqmnlktdtavyycvrhgnfgnsyisy waywgqgtlvtvssggggsgggsgggsgq tvvtqepsltvspggtvtltcgsstgavts gnypnwvqqkpgqaprgliggtkflapgtp arfgsllggkaaltlsgvqpedeaeyycv lwysnrwvfgggtkltvlgggdkthtcpp cpapellggpsvflfppkpkdtlmsrtpe vtcvvvdvshedpevkfnwyvdgvevhnak tkpceezygstyrcvsvltvlhqdwlngke</p>

			<p>ykckvsnkalspapiektiskakgqprepqv ytlppsreemtknqvsltclvkgfypsdi vewesngqpennykttppvldsdsfflys kltvdksrwqqgnvfscsvmhealhnhytq kslslspggggsgggsgggsgggsggg gsgggsgdkthtccppapellggpsvflf ppkpkdtlmisrtpevtcvvvdvshedpev kfnwyvdgvevhnaktkpceezygstyrcv svltvlhqdwlngkeykckvsnkalspapie ktiskakgqprepqvtytlppsreemtknqv sltclvkgfypsdiavewesngqpennyk tppvldsdsfflyskltvdksrwqqgnvf scsvmhealhnhytqkslslspgk</p>
<p>1200.</p>	<p>CD70_5_CCxC D3- scFc_delGK</p>	<p>биспецифи ческая HLE молекула</p>	<p>evqllesggglvqsggsrlrlscaasgftfs syamswvrqapgkclewvsaisgsggrthy aevkgrftisrdnskntlylqmnsraed tavyycahdysnpyfydywgqgtlvtvss gggsgggsggggseivltqspgtlslsp geratlscrasqsvrsslawyqqkpgqap rlliygassratgipdrfsgsgtdftlt isrlepedfavyyccqygsspftfgcgtkl eiksggggsevqlvesggglvqpggskls caasgftfnkyamnvwvrqapgkglewvari rskynnyatyyadsvkdrftisrddsanta ylqmnlktdtavyycvrhgnfgnsyisy waywgqgtlvtvssggggsgggsgggsgq tvvtqepsltvspggtvtltcgsstgavts gnypnwvqqkpgqaprgliggtkflapgt arfsgsllggkaaltlsgvqpedeaeeycv lwysnrwvfgggtklvtlvgggdkthtccp cpapellggpsvflfppkpkdtlmisrtpe vtcvvdvshedpevkfnwyvdgvevhnak tkpceezygstyrcvsvltvlhqdwlngke ykckvsnkalspapiektiskakgqprepqv ytlppsreemtknqvsltclvkgfypsdi</p>

			<p>vewesngqpennykttppvldsdsfflys kltvdksrwqqgnvfscsvmhhealhhnytq kslslsppggsgggsgggsgggsgggsggg gsgggsgdkthtppcpapellggpsvflf ppkpkdtlmisrtpevtcvvvdvshedpev kfnwyvdgvevhnaktkpceeegystyrcv svltvlhqdwlngkeykckvsnkalspapie ktiskakgqprepqvylppsreemtknqv sltclvkgfypsdiavewesngqpennykt tppvldsdsfflyskltvdksrwqqgnvf scsvmhhealhhnytqkslslsppgk</p>
1201.	CD70_5xCD3- scFc_delGK	биспецифи ческая HLE молекула	<p>evqllesggglvqsgslrlscaasgftfs syamswvrqapggglewvsaisgsggrthy aesvkgrftisrdnskntlylqmnsraed tavyycahdysnpyfydywgqgtlvtvss ggggsgggsgggseivltqspgtlsisp geratlscrasqsvrsslawyqqkpgqap rlliygassratgipdrfsgsgsgtdftlt isrlepedfavyyccqygsspftfgpgtkl eiksgggsevqlvesggglvqpggskls caasgftfnkyamnvwvrqapggglewvari rskynnyatyyadsvkdrftisrddsknta ylqmnnkktedtavyycvrhgnfgnsyisy waywgqgtlvtvssggggsgggsgggsgq tvvtqepsltvspggtvtltcgsstgavts gnypnwvqqkpgqaprgliggtkflapgtp arfgsllggkaaltlsgvqpedeaeeycv lwysnrwvfgggtkltvlgggdkthtpp cpapellggpsvflfppkpkdtlmisrtpe vtcvvvdvshedpevkfnwyvdgvevhnak tkpceeegystyrcvsvltvlhqdwlngke ykckvsnkalspapiektiskakgqprepqv ytlppsreemtknqvsltclvkgfypsdiav ewesngqpennykttppvldsdsfflys kltvdksrwqqgnvfscsvmhhealhhnytq</p>

			kslslsppgggsgggsgggsgggsgggsggg gsggggsdkthtcppcpapellggpsvflf ppkpkdtlmisrtpevtcvvvdvshedpev kfnwyvdgvevhnaktkpceeegystyrcv svltvlhqdwlngkeykckvsnkalpapie ktiskakgqprepvytlppsreemtknqv sltclvkgfypsdiavewesngqpennykt tppvldsdgsfflyskltvdksrwqggnvf scsvmhealhhnytqkslslspgk
1202.	CD70_6_CCxC D3- scFc_delGK	биспецифи ческая HLE молекула	evqllesggglvqpggslrlscaasgftfs syamswvrqapgkclewslisgsggrthy aevkgrftisrdnsntlylqmnsraed tavyycahdysnpyfydywgqgtlvtvss ggggsgggsggggseivltqspgtlslsp geratlscrasqsvrstylawyqqkpgqap rlliydassratgipdrfsgsgsgtdftlt isrlepedfavyfcqqygsspptfgcgtkl eiksggggsevqlvesggglvqpggslkls caasgftfnkyamnvrqapgkglewvari rskynnyatyadsvkdrftisrddsknta ylqmnlktdtavyycvrhgnfgnsyisy waywgqgtlvtvssggggsgggsgggsgq tvvtqepsltvspggtvtltcgsstgavts gnyprnwqqkpgqaprgliggtkflapgtp arfgsllggkaaltlsgvqpedeaeyycv lwysnrwvfgggtkltvlgggdkthtcpp cpapellggpsvflfppkpkdtlmisrtpe vtcvvvdvshedpevkfnwyvdgvevhnak tkpceeegystyrcvsvltvlhqdwlngke ykckvsnkalpapiektiskakgqprepqv ytlppsreemtknqvsltclvkgfypsdi vewesngqpennyktppvldsdgsfflys kltvdksrwqggnvfscsvmhealhhnytq kslslsppgggsgggsgggsgggsgggsggg gsggggsdkthtcppcpapellggpsvflf

			<p>ppkpkdtlmsirtpevtcvvvdvshedpev kfnwyvdgvevhnaktkpceeeygstyrcv svltvlhqdwlngkeykckvsnkalpapie ktiskakgqprepqvylppsreemtknqv sltclvkgfypsdiavewesngqpennykt tppvldsdgsfflyskltvdksrwqqgnvf scsvmhealhhnytqkslslspgk</p>
1203.	CD70_6xCD3- scFc_delGK	<p>биспецифи ческая HLE молекула</p>	<p>evqllesggglvqpggsrlscaasgftfs syamswvrqapgkglewvslisgsggrthy aesvkgrftisrdnskntlylqmnsraed tavyycahdysnpyfydywgqgtlvtvss ggggsgggsggggseivltqspgtlslsp geratlscrasqsvrstylawyqqkpgqap rlliydassratgipdrfsgsgsgtdftlt isrlepedfavyfcqqygspsptfgggtkl eiksggggsevqlvesggglvqpggsllks caasgftfnkyamnvrqapgkglewvari rskynnyatyadsvkdrftisrddsknta ylqmnlktdtavyycvrhgnfgnsyisy waywgqgtlvtvssggggsgggsgggsgq tvvtqepsltvspggtvltlcsstgavts gnypnwvqqkpgqaprgliggtkflapgtp arfsgslggkaaltlsgvqpedeaeeycv lwysnrwvfgggtklvtlvgggdkthtcpp cpapellggpsvflfppkpkdtlmsirtpe vtcvvvdvshedpevkfnwyvdgvevhnak tkpceeeygstyrcvsvltvlhqdwlngke ykckvsnkalpapiektiskakgqprepqv ytlppsreemtknqvsltclvkgfypsdiav ewesngqpennyktppvldsdgsfflysk ltvdksrwqqgnvfscsvmhealhhnytq kslslspgggsgggsgggsgggsgggsggg gsgggsgdkthtcppcpapellggpsvflf ppkpkdtlmsirtpevtcvvvdvshedpev kfnwyvdgvevhnaktkpceeeygstyrcv</p>

			svltvlhqdwlngkeykckvsnkalpapie ktiskakgqprepqvvtlppsreemtknqv sltclvkgfypsdiavewesngqpennykt tppvldsdgsfflyskltvdksrwqgnvf scsvmhealhhnytqkslsispqk
1204.	CD70_7_CCxC D3- scFc_delGK	биспецифи ческая HLE молекула	evqllesggglvqpggslrlscaasgftfs tyamswvrqapgkclewvsaisgggstfy aesvkgrftisrdnskntlsiqmnsraed tavyycahdysnpyfydywgqgtlvtvss ggggsgggsggggseivltqspgtlsisp geratlscrasqsvrsslawyqqkpgqap rlliygassratgipdrfsgsgsgtdftlt isrlepedfavyyccqygdlpftfgcgtkl eiksggggsevqlvesggglvqpggslkls caasgftfnkyamnwrqapgkglewvari rskynnyatyyadsvkdrftisrddsanta ylqmnkktedtavyycvrhgnfgnsyisy waywgqgtlvtvssggggsgggsgggsgq tvvtqepsltvspggtvtltcgsstgavts gnypnwvqqkpgqaprgliggtkflapgtp arfgsllggkaaltlsgvqpedeaeeycv lwysnrwvfgggtklvtlvgggdkthtcpp cpapellggpsvflfppkpkdtlmisrtpe vtcvvdvshedpevkfnwyvdgvevhnak tkpceeegystyrcvsvltvlhqdwlngke ykckvsnkalpapiektiskakgqprepqv ytlppsreemtknqvsltclvkgfypsdi vewesngqpennyktppvldsdgsfflys kltvdksrwqgnvfscsvmhealhhnytq kslsispggggsgggsgggsgggsggg gsgggsgdkthtcppcpapellggpsvflf ppkpkdtlmisrtpevtcvvdvshedpev kfnwyvdgvevhnaktkpceeegystyrcv svltvlhqdwlngkeykckvsnkalpapie ktiskakgqprepqvvtlppsreemtknqv

			sltclvkgfypsdiavewesngqpennykt tppvldsdgsfflyskltvdksrwqqgnvf scsvmhealhhnytqkslslspgk
1205.	CD70_7xCD3- scFc_delGK	биспецифи ческая HLE молекула	evqllesggglvqpggslrlscaasgftfs tyamswvrqapgkglewvsaisgsggstfy aesvkgrftisrdnskntlsiqmnsraed tavyycahhdysnpyfydywgqgtlvtvss ggggsgggsgggseivltqspgtlsisp geratlscrasqsvrsslawyqqkpggap rlliygassratgipdrfsgsgsgtdftlt isrlepedfavyyccqygdlpftfgpgtkl eiksggggsevqlvesggglvqpggskls caasgftfnkyamnvrqapgkglewvari rskynnyatyyadsvkdrftisrddsknta ylqmnkktedtavyycvrhgnfgnsyisy waywgqgtlvtvssggggsgggsgggsgq tvvtqepsltvspggtvtltcgsstgavts gnypnwvqqkpgqaprgliggtkflapgtp arfgsllggkaaltlsgvqpedeaeeycv lwysnrwvfgggtklvtlvgggdkthtcpp cpapellggpsvflfppkpkdtlmisrtpe vtcvvvdvshedpevkfnwyvdgvevhnak tkpceezygstyrcvsvltvlhqdwlngke ykckvsnkalspapektiskakgqprepqv ytlppsreemtknqvsltclvkgfypsdi vewesngqpennykttppvldsdgsfflys kltvdksrwqqgnvfscsvmhealhhnytq kslslspgggsgggsgggsgggsgggsgg gsgggsgdkthtcppcpapellggpsvflf ppkpkdtlmisrtpevtcvvvdvshedpev kfnwyvdgvevhnaktkpceezygstyrcv svltvlhqdwlngkeykckvsnkalspape ktiskakgqprepqvtytlppsreemtknqv sltclvkgfypsdiavewesngqpennykt tppvldsdgsfflyskltvdksrwqqgnvf

			scsvmhealhnhytqkslsispk
1206.	CD70_8_CCxC D3- scFc_delGK	биспецифи ческая HLE молекула	evqllesgggmvpqpggslrlscaasgftfs tyamswvrqapgkclewvsaisgsggrtfy aesvegrftisrdnskntlylqmnsraed tavyycahdysnpyfydywgqgtlvtvss ggggsgggsggggseivltqspgtlslsp geratlscrasqsvrstylawyqqkpgqap rlliygassratgipdrfsgsgsgtdftlt isrlepedfavyscqygdlpftfgcgtkl eiksggggsevqlvesggglvqpggskls caasgftfnkyamnvrqapkglewvari rskynnyatyadsvkdrftisrddsknta ylqmnlktdtavyycvrhgnfgnsyisy waywgqgtlvtvssggggsgggsgggsgq tvvtqepsltvspggtvtltcgsstgavts gnypnwqqkpgqaprgliggtkflapgtp arfgslggkaaltlsgvqpedeaeaycv lwysnrwvfgggtklvtlvgggdkthtcpp cpapellggpsvflfppkpkdtlmsrtpe vtcvvdvshedpevkfnwyvdgvevhnak tkpceeegystyrcvsvltvlhqdwlngke ykckvsnkalpapiektiskakgqprepqv ytlppsreemtknqvsltclvkgfypsdi vewesngqpennyktppvldsdsfflys kltvdksrwqqgnvfscsvmhealhnhytq kslsispggggsgggsgggsgggsggg gsgggsgdkthtcppcpapellggpsvflf ppkpkdtlmsrtpevtcvvdvshedpev kfnwyvdgvevhnaktkpeeegystyrcv svltvlhqdwlngkeykckvsnkalpie ktiskakgqprepqvtylppsreemtknqv sltclvkgfypsdiavewesngqpennykt tppvldsdsfflyskltvdksrwqqgnvf scsvmhealhnhytqkslsispk
1207.	CD70_8xCD3-	биспецифи	evqllesgggmvpqpggslrlscaasgftfs

	scFc_delGK	чешская HLE молекула	<p>tyamswvrqapggklewvsaisgsggrtfy aesvegrftisrdnskntlylqmnsltraed tavyycahdysnypyfdywgqgtlvtvss ggggsgggsggggseivltqspgtlslsp geratlscrasqsvrstylawyqqkpgqap rlliygassratgipdrfsgsgsgtdftlt isrlepedfavyscqygdlpftfgpgtkl eiksggggsevqlvesggglvqpggskls caasgftfnkyamnvrqapggklewvari rskynnyatyyadsvkdrftisrddsknta ylqmnlktedtavyycvrhgnfgnsyisy waywgqgtlvtvssggggsgggsgggsgq tvvtqepsltvspggtvtltcgsstgavts gnypnwvqqkpgqaprgliggtkflapgtp arfgsllggkaaltlsgvqpedeaeeycv lwysnrwvfgggtkltvlgggdkthtcpp cpapellggpsvflfppkpkdtlmisrtpe vtcvvvdvshedpevkfnwyvdgvevhnak tkpceezygstyrcvsvltvlhqdwlngke ykckvsnkalpapiektiskakgqprepqv ytlppsreemtknqvsltclvkgfypsdiav ewesngqpennyktppvldsdsfflysk kltvdksrwqqgnvfscsvmhealhhhtq kslspsggggsgggsgggsgggsgggsgg gsgggsgdkthtcppcpapellggpsvflf ppkpkdtlmisrtpevtcvvvdvshedpev kfnwyvdgvevhnaktkpeezygstyrcv svltvlhqdwlngkeykckvsnkalpapie ktiskakgqprepqvtytlppsreemtknqv sltclvkgfypsdiavewesngqpennykt ppvldsdsfflyskltvdksrwqqgnvf scsvmhealhhhtqkslspsgk</p>
1208.	CD70_9_CCxC D3- scFc_delGK	биспецифи чешская HLE	<p>evqllesggglvqpggslrlscaasgftfs syamswvrqapggklewvsaisgsggytyy aesvkgrftisrdnskntlylqmnsltraed</p>

		молекула	tavyycakhdysnpyfydywgqgtlvtvss ggggsgggsggggseivltqspgtlslsp geratlscrasqsvrsnylawyqqkpggap rlliygassratgipdrfsgsgsgtdftlt isrlepedfavyyccqygdlpftfgcgtkv eiksggggsevqlvesggglvqpggslkls caasgftfnkyamnvrqapgkglewvari rskynnyatyyadsvkdrftisrddsknta ylqmnlnktdtavyycvrhgnfgnsyisy waywgqgtlvtvssggggsgggsgggsgq tvvtqepsltvspggtvtltcgsstgavts gnypnwqqkpgqaprgliggtkflapgtp arfgsllggkaaltlsgvqpdeaeeycv lwysnrwvfgggtkltvlgggdkthtcpp cpapellggpsvflfppkpkdtlmisrtpe vtcvvvdvshedpevkfnwyvdgvevhnak tkpceezygstyrcsvltvlhqdwlngke ykckvsnkalspapektiskakgqprepqv ytlppsreemtknqvsltclvkgfypsdi vewesngqpennyktppvldsdsffly kltvdksrwqgnvfscsvmhealhhnytq kslslspggggsgggsgggsgggsggg gsgggsgdkthtcppcpapellggpsvflf ppkpkdtlmisrtpevtcvvvdvshedpev kfnwyvdgvevhnaktkpceezygstyrcv svltvlhqdwlngkeykckvsnkalspape ktiskakgqprepqvtytlppsreemtknq sltclvkgfypsdiavewesngqpennykt ppvldsdsfflyskltvdksrwqgnvf scsvmhealhhnytqkslslspgk
1209.	CD70_9xCD3- scFc_delGK	биспецифи ческая HLE молекула	evqllesggglvqpggslrlscaasgftfs syamswvrqapgkglewvsaisgsggytyy aesvkgrftisrdnskntlylqmnslraed tavyycakhdysnpyfydywgqgtlvtvss ggggsgggsggggseivltqspgtlslsp

			<p>geratlscrasqsvrsnylawyqqkpgqap rlliygassratgipdrfsgsgsgtdftlt isrlepedfavyyccqygdlpftfgpgtkv eiksggggsevqlvesggglvqpggslkls caasgftfnkyamnvrqapgkglewvari rskynnyatyyadsvkdrftisrddsanta ylqmnlnktdtavyycvrhgnfgnsyisy waywgqgtlvtvssggggsgggsgggsgq tvvtqepsltvspggtvtltcgsstgavts gnypnwvqqkpgqaprgliggtkflapgtp arfgsllggkaaltlsgvqpedeaeeycv lwysnrwvfgggtkltvlgggdkthtcpp cpapellggpsvflfppkpkdtlmsrtpe vtcvvvdvshedpevkfnwyvdgvevhnak tkpceeeygstyrcvsvltvlhqdwlngke ykckvsnkalspapiektiskakgqprepqv ytlppsreemtknqvsltclvkgfypsdi vewesngqpennyktppvldsdsfflys kltvdksrwqgnvfscsvmhealhnhytq kslslsppggggsgggsgggsgggsggg gsgggsgdkthtcppcpapellggpsvflf ppkpkdtlmsrtpevtcvvvdvshedpev kfnwyvdgvevhnaktkpceeeygstyrcv svltvlhqdwlngkeykckvsnkalspapie ktiskakgqprepqvtytlppsreemtknqv sltclvkgfypsdiavewesngqpennykt tppvldsdsfflyskltvdksrwqgnvf scsvmhealhnhytqkslslspgk</p>
1210.	CD70_10_CCx CD3- scFc_delGK	биспецифи ческая HLE молекула	<p>evqllesggglaqpggslrlscaasgftfs syamswvrqapgkclewvsaisgsggstfy aesvkgrftisrdnskntlylqmnslraed tavycakhdysnpyfydywgqgtlvtvss ggggsgggsggggseivltqspgtlsfsp geratlscrasqsvrsslawayqqkpgqap rlliygassratgipdrfsgsgsgtdftlt</p>

			<p>isrlepedfavyyccqygdlpftfgcgtkv eiksggggsevqlvesggglvqpggslkls caasgftfnkyamnvrqapgglewvari rskynnyatyyadsvkdrftisrddsknta ylqmnlktdtavyycvrhgnfgnsyisy waywgqgtlvtvssgggsgggsgggsgq tvvtqepsltvspggtvltlcsstgavts gnypnwvqqkpgqaprgliggtkflapgtp arfgslggkaaltlsgvqpedeaeeycv lwysnrwvfgggtklvtlvgggdkthtcpp cpapellggpsvflfppkpkdtlmisrtp vtcvvvdvshedpevkfnwyvdgvevhnak tkpceeegystyrcsvltvlhqdwlngke ykckvsnkalpapiektiskakgqprepqv ytlppsreemtknqvsltclvkgfypsdi vewesngqpennyktppvldsdsfflys kltvdksrwqqgnvfscsvmhealhnhtq kslslspgggsgggsgggsgggsgggsgg gsgggsgdkthtcppcpapellggpsvflf ppkpkdtlmisrtpvtevcvvdvshedpev kfnwyvdgvevhnaktkpeeegystyrcv svltvlhqdwlngkeykckvsnkalapie ktiskakgqprepqvtytlppsreemtknq sltclvkgfypsdiavewesngqpennykt tppvldsdsfflyskltvdksrwqqgnvf scsvmhealhnhtqkslslspgk</p>
1211.	CD70_10xCD3 -scFc_delGK	биспецифи ческая HLE молекула	<p>evqllesggglaqpggslrlscaasgftfs syamswvrqapgglewvsaisgggstfy aesvkgrftisrdnsntlylqmnsiraed tavyfcahdysnypyfdywgqgtlvtvss ggggsgggsggggseivltqspgtlslsp geratlscrasqsvrsslawyqqkpgqap rlliygassratgipdrfsgsgsgtdftlt isrlepedfavyyccqygdlpftfgpgtkv eiksggggsevqlvesggglvqpggslkls</p>

			<p>caasgftfnkyamnvrqapgkglewvari rskynnyatyyadsvkdrftisrddsknta ylqmnlktdtavyycvrhgnfgnsyisy waywgggtlvtvssgggsgggsgggsgq tvvtqepsltvspggtvtltcgsstgavts gnypnwqqkpgqaprgliggtkflapgtp arfsqslggkaaltlsgvqpedeaeyycv lwysnrwvfgggtklvtlvgggdkthtcpp cpapellggpsvflfppkpkdtlmisrtp vtcvvvdvshedpevkfnwyvdgvevhnak tkpceezygstyrcvsvltvlhqdwlngke ykckvsnkalpapiektiskakgqprepqv ytlppsreemtknqvsltclvkgfypsdi vewesngqpennyktppvldsdsfflys kltvdksrwqggvfvscsvmhealhnhytq kslsispgggsgggsgggsgggsggg gsgggsgdkthtcppcpapellggpsvflf ppkpkdtlmisrtpvvtcvvvdvshedpev kfnwyvdgvevhnaktkpceezygstyrcv svltvlhqdwlngkeykckvsnkalpapie ktiskakgqprepqvtytlppsreemtknqv sltclvkgfypsdiavewesngqpennykt tppvldsdsfflyskltvdksrwqggvfv scsvmhealhnhytqkslsispgk</p>
1212.	CD70_11_CCx CD3- scFc_delGK	биспецифи ческая HLE молекула	<p>evqllesgggmvgpggsrlscaasgftfs syamswvrqapgkclewvsaisgsggrtfy aesvegrftisrdnskntlylqmnsdraed tavyycahdysnypyfdywgggtlvtvss ggggsgggsggggseivltqspgtlslsp geratlscrasqsvrsnylawyqqkpgqap rlliygassratgipdrfsgsgtdftlt isrlepedfavyyccqygdlpftfgcgtkv eiksggggsevqlvesggglvqpggslkls caasgftfnkyamnvrqapgkglewvari rskynnyatyyadsvkdrftisrddsknta</p>

			<p>ylqmnlnktdtavyycvrhgnfgnsyisy waywgqgtlvtvssggggsgggsgggsgq tvvtqepsltvspggtvtltcgsstgavts gnypnwvqqkpgqaprgliggtkflapgtp arfgsllggkaaltlsgvqpedeaeeycv lwysnrwvfgggtklvtlvgggdkthtcpp cpapellggpsvflfppkpkdtlmisrtp vtcvvvdvshedpevkfnwyvdgvevhnak tkpceezygstyrcsvltvlhqdwlngke ykckvsnkalspapektiskakgqprepqv ytlppsreemtknqvsltclvkgfypsdi vewesngqpennyktppvldsdsfflys kltdksrwqgnvfscsvmhealhhnytq kslspsggggsgggsgggsgggsggg gsgggsgdkthtcppcpapellggpsvflf ppkpkdtlmisrtpvtcvvvdvshedpev kfnwyvdgvevhnaktkpceezygstyrcv svltvlhqdwlngkeykckvsnkalspape ktiskakgqprepqvtytlppsreemtknq sltclvkgfypsdiavewesngqpennykt ppvldsdsfflyskltdksrwqgnvf scsvmhealhhnytqkslspsgk</p>
<p>1213.</p>	<p>CD70_11xCD3 -scFc_delGK</p>	<p>биспецифи ческая HLE молекула</p>	<p>evqllesgggmvpqgslrlscaasgftfs syamswvrqapggkglewvsaisgsggrtfy aesvegrftisrdnskntlylqmnsraed tavyycahdysnypfydywgqgtlvtvss ggggsgggsgggseivltqspgtlslsp geratlscrasqsvrsnylawyqqkpgqap rlliygassratgipdrfsgsgtdftlt isrlepedfavyyccqygdlpftfgpgtkv eiksgggsevqlvesggglvqpggslkls caasgftfnkyamnvrqapggkglewvari rskynnyatyyadsvkdrftisrddsknta ylqmnlnktdtavyycvrhgnfgnsyisy waywgqgtlvtvssggggsgggsgggsgq</p>

			<p>tvvtqepsltvspggtvtltcgsstgavts gnypnwvqqkpgqaprgliggtkflapgtp arfgsllggkaaltlsgvqpedeaeeycv lwysnrwvfgggtkltvlgggdkhtcpp cpapellggpsvflfppkpkdtlmisrtp vtcvvvdvshedpevkfnwyvdgvevhnak tkpceeegystyrcvsvltvlhqdwlngke ykckvsnkalpapiektiskakgqprepqv ytlppsreemtknqvsltclvkgfypsdi vewesngqpennyktppvldsdsfflys kltvdksrwqqgnvfscsvmhealhnhytq kslslsppggggsgggsgggsgggsggg gsgggsgdkhtcppcpapellggpsvflf ppkpkdtlmisrtpvtcvvvdvshedpev kfnwyvdgvevhnaktkpceeegystyrcv svltvlhqdwlngkeykckvsnkalpapie ktiskakgqprepqvylppsreemtknqv sltclvkgfypsdiavewesngqpennykt tppvldsdsfflyskltvdksrwqqgnvf scsvmhealhnhytqkslslspgk</p>
<p>1214.</p>	<p>CD70_12_CCx CD3- scFc_delGK</p>	<p>биспецифи ческая HLE молекула</p>	<p>evqllesgggmvpqgslrlscaasgftfs syamswvrqapgkclewvsaisgsggrtfy aesvegrftisrdnskntlylqmnsraed tavyycahdysnpyfydywqggtlvtvss ggggsgggsggggseivltqspgtlsisp geratlscrasqsvrsslwayyqqkpgqap rlliygassratgipdrfsgsgsgtdftlt isrlepedfavyyccqygsspftfgcgtkv eiksggggsevqlvesggglvqpggslkls caasgftfnkyamnvrqapkglewvari rskynnyatyadsvkdrftisrddsknta ylqmnlktdtavyycvrhgnfgnsyisy waywqggtlvtvssggggsgggsgggsgq tvvtqepsltvspggtvtltcgsstgavts gnypnwvqqkpgqaprgliggtkflapgtp</p>

			<p>arfsgsl1ggkaaltlsgvqpedeaeycv lwysnrwvfgggtklvlggggdkthtcpp cpapellggpsvflfpkpkdtlmisrtpe vtcvvdvshedpevkfnwyvdgvevhnak tkpceezygstyrcvsvltvlhqdwlngke ykckvsnkalpapiektiskakgqprepqv ytlppsreemtknqvsiltclvkgfypsdi vewesngqpennyktppvldsdsfflys kltvdksrwqggnvfscsvmhealhhnytq kslslspggggsgggsgggsgggsggg gsgggsgdkthtcppcpapellggpsvflf ppkpkdtlmisrtpevtcvvdvshedpev kfnwyvdgvevhnaktkpeezygstyrcv svltvlhqdwlngkeykckvsnkalpie ktiskakgqprepqvtytlppsreemtknq siltclvkgfypsdiavewesngqpennykt tppvldsdsfflyskltvdksrwqggnvf scsvmhealhhnytqkslslspgk</p>
1215.	CD70_12xCD3 -scFc_delGK	биспецифи ческая HLE молекула	<p>evqllesgggmvpqgslrlscaasgftfs syamswvrqapgkglewvsaisgsggrtfy aesvegrftisrdnskntlylqmnsraed tavyycahdysnpyfydywgggtlvtvss gggsgggsggggseivltqspgtlslsp geratlscrasqsvrsslawyqqkpgqap rlliygassratgipdrfsgsgsgtdftlt isrlepedfavyycqygsspftfgpgtkv eiksggggsevqlvesggglvqpggslkls caasgftfnkyamnvwvrqapgkglewvari rskynnyatyadsvkdrftisrddsknta ylqmnlktdtavyycvrhgnfgnsyisy waywgggtlvtvssggggsgggsgggsgq tvvtqepsiltvspggtvtltcgsstgavts gnypnwvqqkpgqaprgliggtkflapgtp arfsgsl1ggkaaltlsgvqpedeaeycv lwysnrwvfgggtklvlggggdkthtcpp</p>

			<p>cpapellggpsvflfppkpkdtlmsirtpe vtcvvvdvshedpevkfnwyvdgvevhnak tkpceeegystyrcvsvltvlhqdwlngke ykckvsnkalpapiektiskakgqprepqv ytlppsreemtknqvsltclvkgfypsdi vewesngqpennyktppvldsdsfflys kltvdksrwqggnvfscsvmhealhhnytq kslslsppggsgggsgggsgggsgggsggg gsgggsgdkthtcppcpapellggpsvflf ppkpkdtlmsirtpevtcvvvdvshedpev kfnwyvdgvevhnaktkpceeegystyrcv svltvlhqdwlngkeykckvsnkalpapie ktiskakgqprepqvtytlppsreemtknq sltclvkgfypsdiavewesngqpennykt tppvldsdsfflyskltvdksrwqggnvf scsvmhealhhnytqkslslsppgk</p>
<p>1216.</p>	<p>CD70_13_CCx CD3- scFc_delGK</p>	<p>биспецифи ческая HLE молекула</p>	<p>evqllesggglvqpggsrlscaasgftfs syamswvrqapgkclewvsaisgggstfy aesvqgrftisrdnskntlylqvnsraed tavyycarhdysnpyfydywgqgtlvtvss ggggsgggsggggseivltqspgtlsisp geratlsccrasqsvrgnylawyqqkpgqap rlliygassratgipdrfsgsgsgtdftlt isrlepedfavyyccqygygspftfgcgtkv eiksggggsevqlvesggglvqpggskls caasgftfnkyamnvwvrqapgkglewvari rskynnyatyyadsvkdrftisrddsanta ylqmnlnktdtavyycvrhgnfgnsyisy waywgqgtlvtvssggggsgggsgggsgq tvvtqepsltvspggtvtltcgsstgavts gnypnwvqqkpgqaprgliggtkflapgtp arfgsllggkaaltlsgvqpedeaeyycv lwysnrwvfgggtkltvlgggdkthtcpp cpapellggpsvflfppkpkdtlmsirtpe vtcvvvdvshedpevkfnwyvdgvevhnak</p>

			<p>tkpceezygstyrcvsvltvlhqdwlngke ykckvsnkalspapektiskakgqprepqv ytlppsreemtknqvsltclvkgfypsdi vewesngqpennyktppvldsdsfflys kltvdksrwqqgnvfscsvmhealhhnytq kslspspgggsgggsgggsgggsgggsggg gsgggsgdkthtppcpapellggpsvflf ppkpkdtlmisrtpevtcvvvdvshedpev kfnwyvdgvevhnaktkpceezygstyrcv svltvlhqdwlngkeykckvsnkalspape ktiskakgqprepqvylppsreemtknqv sltclvkgfypsdiavewesngqpennykt ppvldsdsfflyskltvdksrwqqgnvf scsvmhealhhnytqkslspspgk</p>
<p>1217.</p>	<p>CD70_13xCD3 -scFc_delGK</p>	<p>биспецифи ческая HLE молекула</p>	<p>evqllesggglvqpggslrlscaasgftfs syamswvrqapggglewvsaisgsggstfy aesvqgrftisrdnskntlylqvnsraed tavyycarhdysnpyfydywgqgtlvtvss ggggsgggsggggseivltqspgtlslsp geratlscrasqsvrgnylawyqqkpggap rlliygassratqipdrfsgsgsgtdftlt isrlepedfavyyccqyyspftfgpgtkv eiksggggsevqlvesggglvqpggslkls caasgftfnkyamnvrqapggglewvari rskynnyatyyadsvkdrftisrddsknta ylqmnlnktdtavyycvrhgnfgnsyisy waywgqgtlvtvssggggsgggsgggsgq tvvtqepsltvspggtvtltcgsstgavts gnypnwvqqkpgqaprgliggtkflapgtp arfgslggkaaltlsgvqpedeaeeycv lwysnrwvfgggtklvtlvgggdkthtcpp cpapellggpsvflfppkpkdtlmisrtpe vtcvvvdvshedpevkfnwyvdgvevhnak tkpceezygstyrcvsvltvlhqdwlngke ykckvsnkalspapektiskakgqprepqv</p>

			<p> ytlppsreemtknqvsltclvkgfypsdiavewesngqpennykttppvldsdsfflyskltvdksrwqqgnvfscsvmhealthhnytqkslslsppggggsgggsgggsgggsgggsgggsgggsgdkthtcppcpapellggpsvflfppkpkdtlmisrtpevtcvvvdvshedpevkfnwyvdgvevhnaktkpceezygstyrcvsvltvlhqdwlngkeykckvsnkalpapiektiskakgqprepvytlppsreemtknqvsltclvkgfypsdiavewesngqpennykttppvldsdsfflyskltvdksrwqqgnvfscsvmhealthhnytqkslslsppgk </p>
1218.	<p> CD70_14_CCx CD3- scFc_delGK </p>	<p> биспецифическая HLE молекула </p>	<p> evqllesggglvqpggslrlscaasgftfstyamswvrqapgkclewvsaisgsggtfy aevkgrftisrdnskntlylqmnsraedtavyycahdysnpyfydywgqgtlvtvssggggsgggsggggseivltqspgtlsispgeratlscrasqsirsnylawyqqkpgqaprlliYGassratgipdrfsgsgtdftltisrlepedfavyyccqygsspftfgcgtkveiksggggsevqlvesggglvqpggslklscaasgftfnkyamnvrqapkglewvari rskynnyatyadsvkdrftisrddskntaylqmnlktdtavyycvrhgnfgnsyisywaywgqgtlvtvssggggsgggsgggsgqtvvtqepsltvspggtvtltcgsstgavts gnypnwvqqkpgqaprgliggtkflapgtparfsgslggkaaltlsgvqpedeaeeycvlwysnrwvfgggtkltvlgggdkthtcppcpapellggpsvflfppkpkdtlmisrtpevtcvvvdvshedpevkfnwyvdgvevhnaktkpceezygstyrcvsvltvlhqdwlngkeykckvsnkalpapiektiskakgqprepvytlppsreemtknqvsltclvkgfypsdiavewesngqpennykttppvldsdsfflys </p>

			<p>kltvdksrwqqgnvfscsvmhealthhnytq ksls slspggggsgggsgggsgggsgggsggg gsgggsgdkthtccppcpapellggpsvflf ppkpkdtlmisrtpevtcvvvdvshedpev kfnwyvdgvevhnaktkpcee qygstyrcv svltvlhqdwlngkeykckvsnkalpapie ktiskakgqprepqvytlppsreemtknqv sltclvkgfypsdiavewesngqpennykt tppvldsdgsfflyskltvdksrwqqgnvf scsvmhealthhnytqksls slspgk</p>
1219.	CD70_14xCD3 -scFc_delGK	биспецифи ческая HLE молекула	<p>evqllesggglvqpggsrlrlscaasgftfs tyamswvrqapgkglewvsaisgsgggtfy aevkgrftisrdnskntlylqmnsraed tavyycahdysnypyfdywgqgtlvtvss ggggsgggsggggseivltqspgtlslsp geratls crasqsirsnylawyqqkpgqap rlliygassratgipdrfsgsgsgtdftlt isrlepedfavyyccqygsspftfgpgtkv eiksggggsevqlvesggglvqpggskls caasgftfnkyamnwwvrqapgkglewvari rskynnyatyyadsvkdrftisrddsknta ylqmnlktedtavyycvrhgnfgnsyisy waywgqgtlvtvssggggsgggsgggsgq tvvtqeps ltvspggtvtltcgsstgavts gnypnwvqqkpgqaprgliggtkflapgtp arfgsllggkaaltlsgvqpedeaeyycv lwysnrwvfgggtklvtlvgggdkthtccp cpapellggpsvflfppkpkdtlmisrtpe vtcvvvdvshedpevkfnwyvdgvevhnak tkpcee qygstyrcvsvltvlhqdwlngke ykckvsnkalpapiektiskakgqprepqv ytlppsreemtknqvsltclvkgfypsdiav ewesngqpennykttppvldsdgsfflys kltvdksrwqqgnvfscsvmhealthhnytq ksls slspggggsgggsgggsgggsgggsggg</p>

			<p>gsggggskthtccppapellggpsvflf ppkpkdtlmsrtpevtcvvvdvshedpev kfnwyvdgvevhnaktkpceegygstyrcv svltvlhqdwlngkeykckvsnkalspapie ktiskakgqpprepqvvtlppsreemtknqv sltclvkgfypsdiavewesngqpennykt tppvldsdgsfflyskltvdksrwqqgnvf scsvmhealhhnytqkslslspgk</p>
1220.	<p>CD70_15_CCx CD3- scFc_delGK</p>	<p>биспецифи ческая HLE молекула</p>	<p>evqllesggglvqpggslrlscaasgftfs tyamswvrqapgkclewvslisgsggrtyy aesvkgrftisrdnskntlylqmnsraed tavyycahdysnpyfydywgqgtlvtvss gggsgggsggggseivltqspgtlsisp geratlscrasqsvrsnylawyqqkpgqap rlliygasnratgipdrfsgsgsgtdftlt isrlepedfavyscqyqgisptfgcgtkv eiksggggsevqlvesggglvqpggskls caasgftfnkyamnvwvrqapkglewvari rskynnyatyyadsvkdrftisrddsknta ylqmnlktdtavyycvrhgnfgnsyisy waywgqgtlvtvssggggsgggsgggsgq tvvtqepsltvspggtvtlctgsstgavts gnypnwvqqkpgqaprgliggtkflapgtp arfsgsllggkaaltlsgvqpedeaeeycv lwysnrwvfgggtkltvlgggdkthtccp cpapellggpsvflfppkpkdtlmsrtpe vtcvvdvshedpevkfnwyvdgvevhnak tkpceegygstyrcvsvltvlhqdwlngke ykckvsnkalspapiektiskakgqpprepqv ytlppsreemtknqvsltclvkgfypsdi vewesngqpennyktppvldsdgsffly kltvdksrwqqgnvfscsvmhealhhnytq kslslspgggsgggsgggsgggsgggsgg gsggggskthtccppapellggpsvflf ppkpkdtlmsrtpevtcvvvdvshedpev</p>

			kfnwyvdgvevhnaktkpceezygstyrcv svltvlhqdwlngkeykckvsnkalpapie ktiskakgqprepvytlppsreemtknqv sltclvkgfypsdiavewesngqpennykt tppvldsdgsfflyskltvdksrwqggnvf scsvmhealhhnytqkslsispkg
1221.	CD70_15xCD3 -scFc_delGK	биспецифи ческая HLE молекула	evqllesggglvqpggslrlscaasgftfs tyamswvrqapggglewvslisgsggrtyy aesvkgfrftisrdnskntlylqmnsraed tavyycahdysnpyfdywgqgtlvtvss ggggsgggsggggseivltqspgtlslsp geratlscrasqsvrsnylawyqqkpgqap rlliygasnratgipdrfsgsgsgtdftlt isrlepedfavyscqyqgispptfgggtkv eiksggggsevqlvesggglvqpggslkls caasgftfnkyamnvrqapggglewvari rskynnyatyyadsvkdrftisrddsknta ylqmnlktdtavyycvrhgnfgnsyisy waywgqgtlvtvssggggsgggsgggsgq tvvtqepsltvspggtvtltcgsstgavts gnypnwvqqkpgqaprgliggtkflapgtp arfgslggkaaltlsgvqpedeaeeycv lwysnrwvfgggtkltvlgggdkthtcpp cpapellggpsvflfppkpkdtlmisrtpe vtcvvdvshedpevkfnwyvdgvevhnak tkpceezygstyrcvsvltvlhqdwlngke ykckvsnkalpapiektiskakgqprepqv ytlppsreemtknqvsltclvkgfypsdi vewesngqpennykttppvldsdgsffly kltvdksrwqggnvfscsvmhealhhnytq kslsispggggsgggsgggsgggsgggsgg gsgggsgdkthtcppcpapellggpsvflf ppkpkdtlmisrtpevtcvvdvshedpev kfnwyvdgvevhnaktkpceezygstyrcv svltvlhqdwlngkeykckvsnkalpapie

			<p>ktiskakgqprepqvylppsreemtknqv sltclvkgfypsdiavewesngqpennykt tppvldsdgsfflyskltvdksrwqqgnvf scsvmhealthhnytqkslsispgk</p>
1222.	<p>CD70_16_CCx CD3- scFc_delGK</p>	<p>биспецифи ческая HLE молекула</p>	<p>evqllesggglvqpggsrlrlscaasgftfs syamswvrqspgkclewvsaisgsggraqy aevqgrftvsrdnsntlylqmnsraed tavyycahdysnypyfdywgggtlvtvss ggggsgggsggggseivltqspatlsvsp geratlscrasqsvssnlawyqqkpgqapr llygsssratgipdrfsgsgsgtdftlti srlepedfavyyccqygsspppfgcgtkve iksggggsevqlvesggglvqpggsklsc aasgftfnkyamnvrqapgkglewvarir skynnyatyyadvkdrftisrddskntay lqmnlktedtavyycvrhgnfgnsyisyw aywgggtlvtvssggggsgggsgggsgqt vvtqepsiltvspggtvtltcgsstgavtsg nypnwvqqkpgqaprgliggtkflapgtpa rfsgsllggkaaltlsgvqpedeaeyycvl wysnrwvfgggtklvtlvggggdkthtcppc papellggpsvflfppkpkdtlmisrtpev tcvvdvshedpevkfnwyvdgvevhnakt kpceezygstyrcvsvltvlhqdwlngkey kckvsnkalpapiektiskakgqprepqvyl tlppsreemtknqvsltclvkgfypsdiav ewesngqpennykttppvldsdgsfflysk ltvdksrwqqgnvfscsvmhealthhnytqk slslspggggsgggsgggsgggsgggsggg sggggskthtcppcpapellggpsvflfp pkpkdtlmisrtpevtcvvdvshedpevk fnwyvdgvevhnaktkpceezygstyrcvs vltvlhqdwlngkeykckvsnkalpapie kiskakgqprepqvylppsreemtknqvs ltclvkgfypsdiavewesngqpennykt</p>

			ppvldsdgsfflyskltvdksrwqqgnvfs csvmhealhnhytqkslsispkg
1223.	CD70_16xCD3 -scFc_delGK	биспецифическая HLE молекула	evqllesggglvqpggsrlscaasgftfs syamswvrqspgkglewvsaisgsggraqy aesvqgrftvsrdnskntlylqmnsraed tavyycahdysnpyfydwgggtlvtvss ggggsgggsggggseivltqspatlsvsp geratlscrasqsvsnlawyqqkpgqapr llygsssratgipdrfsgsgsgtdftlti srlepedfavyyccqygsspppfgggtkve iksggggsevqlvesggglvqpggslklsc aasgftfnkyamnvrqapgkglewvarir skynnyatyyadvkdrftisrddskntay lqmnlktedtavyycvrhgnfgnsyisyw aywgggtlvtvssggggsgggsgggsgt vvtqepsiltvspggtvtltcgsstgavtsg nypnwvqqkpgqaprgliggtkflapgtpa rfsgslggkaaltlsgvqpedeaeeycvl wysnrwvfgggtklvtlvggggdkthtcppc papellggpsvflfpkpkdtlmisrtpev tcvvdvshedpevkfnwyvdgvevhnakt kpceezygstyrcvsvltvlhqdwlngkey kckvsnkalpapiektiskakgqprepvy tlppsreemtknqvsltclvkgfypsdiav ewesngqpennyktppvldsdgsfflysk ltvdksrwqqgnvfscsvmhealhnhytqk slslspggggsgggsgggsgggsgggg sggggskthtcppcpapellggpsvflfp pkpkdtlmisrtpevtcvvdvshedpevk fnwyvdgvevhnaktkpceezygstyrcvs vltvlhqdwlngkeykckvsnkalpapie tiskakgqprepvytlppsreemtknqvs ltclvkgfypsdiavewesngqpennykt ppvldsdgsfflyskltvdksrwqqgnvfs csvmhealhnhytqkslsispkg

1224.	CD70_17_CCx CD3- scFc_delGK	биспецифическая HLE молекула	evqllesgggmvpqpgslrlscaasgftfs syamswvrqapgkclewvsaisgsggrtfy aesvegrftisrdnskntlylqmnsraed tavyyctkhdysnpyfydywgqgtltvsvs ggggsgggsgggseivltqspgtlslsp geratlscrasqgvrsdylawyqqkpgqap rlliygassratgipdrfsgsgsgtdftlt isrlepedfavyhccqygstpptfgcgtkv eiksggggsevqlvesggglvqpggslkls caasgftfnkyamnvrqapgkglewvari rskynnyatyyadsvkdrftisrddsknta ylqmnlktdtavyycvrhgnfgnsyisy waywgqgtltvsvsgggsgggsgggsgq tvvtqepsltvspggtvtltcgsstgavts gnypnwvqqkpgqaprgliggtkflapgtp arfgsllggkaaltlsgvpedeaeeyycv lwysnrwvfgggtkltvlgggdkthtcpp cpapellggpsvflfppkpkdtlmsirtpe vtcvvvdvshedpevkfnwyvdgvevhnak tkpceeegystyrcvsvltvlhqdwlngke ykckvsnkalspapektiskakgqprepqv ytlppsreemtknqvsltclvkgfypsdi vewesngqpennyktppvldsdgsfflys kltvdksrwqqgnvfscsvmhealhhnytq kslspsggggsgggsgggsgggsggg gsgggsgdkthtcppcpapellggpsvflf ppkpkdtlmsirtpevtcvvvdvshedpev kfnwyvdgvevhnaktkpceeegystyrcv svltvlhqdwlngkeykckvsnkalspape ktiskakgqprepqvtytlppsreemtknqv sltclvkgfypsdiavewesngqpennykt tppvldsdgsfflyskltvdksrwqqgnvf scsvmhealhhnytqkslspsgk
1225.	CD70_17xCD3 -scFc_delGK	биспецифическая	evqllesgggmvpqpgslrlscaasgftfs syamswvrqapgkglewvsaisgsggrtfy

		HLE молекула	<p>aesvegrftisrdnskntlylqmnsltraed tavyyctkhdysnypyfdywgqgtltvtvss ggggsgggsggggseivltqspgtlslsp geratlscrasqgvrsdylawyqqkpgqap rlliygassratgipdrfsgsgsgtdftlt isrlepedfavyhccqygstpptfgggtkv eiksggggsevqlvesggglvqpggslkls caasgftfnkyamnvrqapgglewvari rskynnyatyyadsvkdrftisrddsknta ylqmnlktdtavyycvrhgnfgnsyisy waywgqgtltvtvssggggsgggsgggsgq tvvtqepsltvspggtvtltcgsstgavts gnypnwvqqkpgqaprgliggtkflapgtp arfgslggkaaltlsgvqpedeaeyycv lwysnrwvfgggtkltvlgggdkthtcpp cpapellggpsvflfppkpktlmsrtpe vtcvvvdvshedpevkfnwyvdgvevhnak tkpceezygstyrcvsvltvlhqdwlngke ykckvsnkalspapektiskakgqprepqv ytlppsreemtknqvsltclvkgfypsdi vewesngqpennyktppvldsdsffly kltvdksrwqqgnvfscsvmhealhnhytq kslslspggggsgggsgggsgggsggg gsgggsgdkthtcppcpapellggpsvflf ppkpktlmsrtpevtcvvvdvshedpev kfnwyvdgvevhnaktkpceezygstyrcv svltvlhqdwlngkeykckvsnkalspape ktiskakgqprepqvtytlppsreemtknqv sltclvkgfypsdiavewesngqpennykt tppvldsdsfflyskltvdksrwqqgnvf scsvmhealhnhytqkslslspgk</p>
1226.	CD70_18_CCx CD3- scFc_delGK	биспецифи ческая HLE молекула	<p>evqllesggglvqpggslrlscaasgftfs syamswvrqapgkclewvsaigeggytyy aesvkgrftisrdnskntlslmnsltraed tavyycarhdysnypyfdywgqgtltvtvss</p>

			<p>ggggsgggsggggseivltqspgtlslsp geratlscrasqgvrssyfawyqqkpgqap rlliygastratgiparfsgsgtdftlt isrlepedfavyyccqygsspptfgcgtkv eiksggggsevqlvesggglvqpggslkls caasgftfnkyamnvrqapkglewvari rskynnyatyadsvkdrftisrddsknta ylqmnlktedtavyycvrhgnfgnsyisy waywgqgtlvtvssggggsgggsgggsgq tvvtqepsltvspggtvtltcgsstgavts gnypnwvqqkpgqaprgliggtkflapgtp arfgslggkaaltlsgvqpedeaeeycv lwysnrwvfgggtklvtlvgggdkthtcpp cpapellggpsvflfppkpkdtlmisrtpe vtcvvdvshedpevkfnwyvdgvevhnak tkpceeegystyrcsvltvlhqdwlngke ykckvsnkalpapiektiskakgqprepqv ytlppsreemtknqvsltclvkgfypsdi vewesngqpennyktppvldsdsfflys kltvdksrwqqgnvfscsvmhealhnhtq kslslspggggsgggsgggsgggsgggsgg gsgggsgdkthtcppcpapellggpsvflf ppkpkdtlmisrtpevtcvvdvshedpev kfnwyvdgvevhnaktkpeeegystyrcv svltvlhqdwlngkeykckvsnkalpapie ktiskakgqprepqvtytlppsreemtknv sltclvkgfypsdiavewesngqpennykt tppvldsdsfflyskltvdksrwqqgnvf scsvmhealhnhtqkslslspgk</p>
1227.	CD70_18xCD3 -scFc_delGK	биспецифи ческая HLE молекула	<p>evqllesggglvqpggslrlscaasgftfs syamswvrqapkglewsaigeggytyy aesvkgrftisrdnskntslmnsraed tavyycarhdysnypyfdywgqgtlvtvss ggggsgggsggggseivltqspgtlslsp geratlscrasqgvrssyfawyqqkpgqap</p>

			<p>rlliygastratgiparfsgsgsgtdftlt isrlepedfavyyccqygsspptfgqgkv eiksggggsevqlvesggglvqpggslkls caasgftfnkyamnvrqapgkglewvari rskynnyatyyadsvkdrftisrddsanta ylqmnkktedtavyycvrhgnfgnsyisy waywgqgtlvtvssggggsgggsgggsgq tvvtqepsltvspggtvtltcgsstgavts gnypnwvqqkpgqaprgliggtkflapgtp arfgsllggkaaltlsgvqpedeaeeycv lwysnrwvfgggtkltvlgggdkthtcpp cpapellggpsvflfppkpkdtlmisrtpe vtcvvvdvshedpevkfnwyvdgvevhnak tkpceezygstyrcvsvltvlhqdwlngke ykckvsnkalpapiektiskakgqprepqv ytlppsreemtknqvsltclvkgfypsdi vewesngqpennyktppvldsdsfflys kltvdksrwqgnvfscsvmhealhhnytq kslspsggggsgggsgggsgggsgggsgg gsgggsgdkthtcppcpapellggpsvflf ppkpkdtlmisrtpevtcvvvdvshedpev kfnwyvdgvevhnaktkpceezygstyrcv svltvlhqdwlngkeykckvsnkalpapie ktiskakgqprepqvtytlppsreemtknq sltclvkgfypsdiavewesngqpennykt tppvldsdsfflyskltvdksrwqgnvf scsvmhealhhnytqkslspsgk</p>
1228.	CD70_19_CCx CD3- scFc_delGK	биспецифи ческая HLE молекула	<p>evqllesgggvvqgrslrlscaasgftfs syamswvrqapgkclewvsaisgsggrtfy aesvegrftisrdnskntlylqmnsraed tavyycakhdysnypyfdywgqgtlvtvss ggggsgggsggggseivltqspgtlsisp geratlscrasqsirsnylawyqqkpgqap rlliygassratgipdrfsgsgsgtdftlt isrlepedfavyyccqygssppsfgcgtkv</p>

			<p>eiksggggsevqlvesggglvqpggslkls caasgftfnkyamnvrqapgglewvari rskynnyatyyadsvkdrftisrddsknta ylqmnlnktdtavyycvrhgnfgnsyisy waywgqgtlvtvssgggsgggsgggsgq tvvtqepsltvspggtvtlctgsstgavts gnypnwvqqkpgqaprgliggtkflapgtp arfgsllggkaaltlsgvqpedeaeeycv lwysnrwvfgggtklvtlvgggdkthtcpp cpapellggpsvflfppkpkdtlmisrtpe vtcvvvdvshedpevkfnwyvdgvevhnak tkpceeegystyrcvsvltvlhqdwlngke ykckvsnkalspapektiskakgqprepqv ytlppsreemtknqvsltclvkgfypsdi vewesngqpennyktppvldsdsffly kltvdksrwqqgnvfscsvmhealhnhtq kslslspgggsgggsgggsgggsggg ggggsgdkthtcppcpapellggpsvflf ppkpkdtlmisrtpevtcvvvdvshedpev kfnwyvdgvevhnaktkpceeegystyrcv svltvlhqdwlngkeykckvsnkalspape ktiskakgqprepqvtytlppsreemtknq sltclvkgfypsdiavewesngqpennykt ppvldsdsfflyskltvdksrwqqgnvf scsvmhealhnhtqkslslspgk</p>
<p>1229.</p>	<p>CD70_19xCD3 -scFc_delGK</p>	<p>биспецифи ческая HLE молекула</p>	<p>evqllesgggvvqgrslrlscaasgftfs syamswvrqapgglewvsaisgsggrtfy aesvegrftisrdnskntlylqmnsraed tavyycahdysnpyfydywgqgtlvtvss ggggsgggsggggseivltqspgtlslsp geratlscrasqsirsnylawyqqkpgqap rlliygassratgipdrfsgsgsgtdftlt isrlepedfavyyccqygsppsfggqtkv eiksggggsevqlvesggglvqpggslkls caasgftfnkyamnvrqapgglewvari</p>

			<p>rskynnyatyyadsvkdrftisrddsknta ylmnlnktdtavyycvrhgnfgnsyisy waywgqgtlvtvssgggsgggsgggsgq tvvtqepsltvspggtvtltcgsstgavts gnypnwvqqkpgqaprgliggtkflapgtp arfsgslggkaaltlsgvqpedeaeeycv lwysnrwvfgggtkltvlgggdkthtcpp cpapellggpsvflfppkpkdtlmisrtp vtcvvdvshedpevkfnwyvdgvevhnak tkpceeegstycvsvltvlhqdwlngke ykckvsnkalpapiektiskakgqprepqv ytlppsreemtknqvsltclvkgfypsdi vewesngqpennyktppvldsdsfflys kltvdksrwqgnvfscsvmhealhnhytq kslslspgggsgggsgggsgggsgggsgg gsgggsgdkthtcppcpapellggpsvflf ppkpkdtlmisrtpvctcvvdvshedpev kfnwyvdgvevhnaktkpeeegstycv svltvlhqdwlngkeykckvsnkalpie ktiskakgqprepvytlppsreemtknqv sltclvkgfypsdiavewesngqpennykt tppvldsdsfflyskltvdksrwqgnvf scsvmhealhnhytqkslslspgk</p>
<p>1230.</p>	<p>CD70_20_CCx CD3- scFc_delGK</p>	<p>биспецифи ческая HLE молекула</p>	<p>evqllesgggvvqgrslrlscaasgftfs syamswvrqapgkclewvsaisgsggtfy aesvegrftisrdnskntlylmnslraed tavyycarhdysnpyfydywglgtlvtvss gggsgggsggggseivltqspgtlslsp geratlscrasqsvrsslawyqqkpgqap rlliygassratgipdrfsgsgtdftlt isrlepedfavyscqygdlpftfgcgtkv eiksggggsevqlvesggglvqpggslkls caasgftfnkyamnvrqapkglewvari rskynnyatyyadsvkdrftisrddsknta ylmnlnktdtavyycvrhgnfgnsyisy</p>

		<p>waywgqgtlvtvssgggsgggsgggsgq tvvtqepsltvspggtvtltcgsstgavts gnypnwvqqkpgqaprgliggtkflapgtp arfgsllggkaaltlsgvqpedeaeyycv lwysnrwvfgggtklvtlvggggdkthtcpp cpapellggpsvflfppkpkdtlmisrtp vtcvvdvshedpevkfnwyvdgvevhnak tkpceezygstyrcvsvltvlhqdwlngke ykckvsnkalpapiektiskakgqprepqv ytlppsreemtknqvsltclvkgfypsdi vewesngqpennyktppvldsdsfflys kltvdksrwqqgnvfscsvmhealhnhytq kslslsppggsgggsgggsgggsggg gsgggsgdkthtcppcpapellggpsvflf ppkpkdtlmisrtpvvtcvvdvshedpev kfnwyvdgvevhnaktkpeezygstyrcv svltvlhqdwlngkeykckvsnkalpie ktiskakgqprepvytlppsreemtknq sltclvkgfypsdiavewesngqpennykt tppvldsdsfflyskltvdksrwqqgnvf scsvmhealhnhytqkslslspgk</p>
<p>1231.</p>	<p>CD70_20xCD3 -scFc_delGK</p>	<p>биспецифическая HLE молекула</p> <p>evqllesgggvqpgrslrlscaasgftfs syamswvrqapgkglewvsaisgsgggtfy aesvegrftisrdnskntlylqmnsraed tavyycarhdysnypyfdywlgltlvtvss ggggsgggsggggseivltqspgtlsisp geratlscrasqsvrsslwayyqqkpgqap rlliygassratgipdrfsgsgsgtdftlt isrlepedfavyscqqygdlpftfgpgtkv eiksggggsevqlvesggglvqpggslkls caasgftfnkyamnvrqapgkglewvari rskynnyatyyadsvkdrftisrddsknta ylqmnlktdtavyycvrhgnfgnsyisy waywgqgtlvtvssgggsgggsgggsgq tvvtqepsltvspggtvtltcgsstgavts</p>

			<p>gnypnwvqqkpgqaprgliggtkflapgtp arfgsllggkaaltlsgvqpedeaeeycv lwysnrwvfgggtklvtlvgggdkthtcpp cpapellggpsvflfppkpkdtlmisrtp vtcvvvdvshedpevkfnwyvdgvevhnak tkpceezygstyrcvsvltvlhqdwlngke ykckvsnkalspapektiskakggprepqv ytlppsreemtknqvsltclvkgfypsdi vewesngqpennyktppvldsdsffly kltvdksrwqgnvfscsvmhhealhhhtq kslspsggggsgggsgggsgggsgggsgg gsgggsgdkthtcppcpapellggpsvflf ppkpkdtlmisrtpvtcvvvdvshedpev kfnwyvdgvevhnaktkpceezygstyrcv svltvlhqdwlngkeykckvsnkalspape ktiskakggprepqvytlppsreemtknqv sltclvkgfypsdiavewesngqpennykt ppvldsdsfflyskltvdksrwqgnvf scsvmhhealhhhtqkslspsgk</p>
<p>1232.</p>	<p>CD70_21_CCx CD3- scFc_delGK</p>	<p>биспецифи ческая HLE молекула</p>	<p>evqllesggmvqpggsrlscaasgftfs syamswvrqapgkclewvsaisgsggrtfy aesvegrftisrdnskntlylqmnsraed tavyyctkhdysnpyfydywgqgtlvtvss ggggsgggsggggseivltqspgtlslsp geratlscrasqsvrsslawyqqkpgqap rlliygassratgipdrfsgsgsgtdftlt isrlepedfavyyccqygdlpftfgcgtkv diksggggsevqlvesggglvqpggslkls caasgftfnkyamnvwvrqapgkglewari rskynnyatyyadsvkdrftisrddsanta ylqmnlktdtavyycvrhgnfgnsyisy waywgqgtlvtvssggggsgggsgggsgq tvvtqepsltvspggtvtltcgsstgavts gnypnwvqqkpgqaprgliggtkflapgtp arfgsllggkaaltlsgvqpedeaeeycv</p>

		<p>lwysnrwvfgggtklvtlvgggdkthtcpp cpapellggpsvflfppkpkdtlmisrtpe vtcvvdvshedpevkfnwyvdgvevhnak tkpceeegystyrcvsvltvlhqdwlngke ykckvsnkalspapektiskakgqprepqv ytlppsreemtknqvsltclvkgfypsdi vewesngqpennyktppvldsdsfflys kltvdksrwqqgnvfscsvmhealhnhtq kslspsggggsgggsgggsgggsgggsggg gsgggsgdkthtcppcpapellggpsvflf ppkpkdtlmisrtpevtcvvdvshedpev kfnwyvdgvevhnaktkpceeegystyrcv svltvlhqdwlngkeykckvsnkalspape ktiskakgqprepqvtylppsreemtknqv sltclvkgfypsdiavewesngqpennykt tpvldsdsfflyskltvdksrwqqgnvf scsvmhealhnhtqkslspsgk</p>
<p>1233.</p>	<p>CD70_21xCD3 -scFc_delGK</p>	<p>биспецифи ческая HLE молекула</p> <p>evqllesgggmvpqggsrlrlscaasgftfs syamswvrqapgkglewvsaisgsggrtfy aesvegrftisrdnskntlylqmnsraed tavyyctkhdysnpyfdywgqgtlvtvss ggggsgggsgggseivltqspgtlsisp geratlscrasqsvrsslawyqqkpgqap rlliygassratgipdrfsgsgsgtdftlt isrlepedfavyyccqygdlpftfgpgtkv diksggggsevqlvesggglvqpggslkls caasgftfnkyamnvrqapgkglewvari rskynnyatyadsvkdrftisrddsanta ylqmnlktdtavyycvrhgnfgnsyisy waywgqgtlvtvssggggsgggsgggsgq tvvtqepsltvspggtvtltcgsstgavts gnypnwvqqkpgqaprgliggtkflapgtp arfgsllggkaaltlsgvqpedeaeeycv lwysnrwvfgggtklvtlvgggdkthtcpp cpapellggpsvflfppkpkdtlmisrtpe</p>

			<p>vtcvvvdvshedpevkfnwyvdgvevhnak tkpceezygstyrcvsvltvlhqdwlngke ykckvsnkalpapiektiskakgqprepqv ytlppsreemtknqvsltclvkgfypsdi vewesngqpennyktppvldsdsfflys kltvdksrwqqgnvfscsvmhealhnhytq kslsislpgggsgggsgggsgggsgggsggg gsgggsgdkthtcppcpapellggpsvflf ppkpkdtlmsrtpevtcvvvdvshedpev kfnwyvdgvevhnaktkpceezygstyrcv svltvlhqdwlngkeykckvsnkalpapie ktiskakgqprepqvtytlppsreemtknq sltclvkgfypsdiavewesngqpennykt tppvldsdsfflyskltvdksrwqqgnvf scsvmhealhnhytqkslsislpgk</p>
<p>1234.</p>	<p>CD70_22_CCx CD3- scFc_delGK</p>	<p>биспецифи ческая HLE молекула</p>	<p>evqllesggglvqpggsrlrlscaasgftfs tyamswvrqapgkclewvslisgsggrtyy aevkgrftisrdnskntlylqmnsraed tavyycahdysnpyfydywgqgtlvtvss ggggsgggsgggseivltqspgtlslsp geratlscrasqgvrssylawyqqkpgqap rlliygassratgipdrfsgsgsgtdftlt inrlepedfavyyccqygspsptfgcgtkv diksggggsevqlvesggglvqpggs1kls caasgftfnkyamnvrqapkglewvari rskynnyatyadsvkdrftisrddsknta ylqmnlktdtavyycvrhgnfgnsyisy waywgqgtlvtvssggggsgggsgggsgq tvvtqepsltvspggtvtltcgsstgavts gnypnwvqqkpgqaprgliggtkflapgtp arfgsllggkaaltlsgvqpedeaeyycv lwysnrwvfgggtkltvlgggdkthtcpp cpapellggpsvflfppkpkdtlmsrtpe vtcvvvdvshedpevkfnwyvdgvevhnak tkpceezygstyrcvsvltvlhqdwlngke</p>

			<p>ykckvsnkalspapiektiskakgqprepqv ytlppsreemtknqvsltclvkgfypsdi vewesngqpennykttpvltdsgsfly kltvdksrwqqgnvfscsvmhealhnhytq kslslspggggsgggsgggsgggsggg gsgggsgdkthtccppapellggpsvflf ppkpkdtlmisrtpevtcvvvdvshedpev kfnwyvdgvevhnaktkpceezygstyrcv svltvlhqdwlngkeykckvsnkalspapie ktiskakgqprepqvtytlppsreemtknq vsltclvkgfypsdiavewesngqpennyk ttpvltdsgsflyskltvdksrwqqgnvf scsvmhealhnhytqkslslspgk</p>
<p>1235.</p>	<p>CD70_22xCD3 -scFc_delGK</p>	<p>биспецифи ческая HLE молекула</p>	<p>evqllesggglvqpggslrlscaasgftfs tyamswvrqapgkglewvslisgsggrtyy aesvkgrftisrdnskntlylqmnsraed tavyycahdysnypyfdywgqgtlvtvss gggsgggsggggseivltqspgtlslsp geratlsctasqgvrssylawyqqkpgqap rlliygassratgipdrfsgsgsgtdftlt inrlepedfavyyccqygsspftfgggtkv diksggggsevqlvesggglvqpggskls caasgftfnkyamnwvrqapgkglewvari rskynnyatyyadsvkdrftisrddsknta ylqmnlktdtavyycvrhgnfgnsyisy waywgqgtlvtvssggggsgggsgggsgq tvvtqepsltvspggtvtltcgsstgavts gnypnwvqqkpgqaprgliggtkflapgt arfsgsllggkaaltlsgvqpedeaeyycv lwysnrwvfgggtkltvlgggdkthtccp cpapellggpsvflfppkpkdtlmisrtpe vtcvvdvshedpevkfnwyvdgvevhnak tkpceezygstyrcvsvltvlhqdwlngke ykckvsnkalspapiektiskakgqprepqv ytlppsreemtknqvsltclvkgfypsdi</p>

			<p>vewesngqpennykttppvldsdsfflys kltvdksrwqqgnvfscsvmhealhnhytq kslspspgggsgggsgggsgggsggg gsgggsgdkthtcppcpapellggpsvflf ppkpkdtlmsrtpevtcvvvdvshedpev kfnwyvdgvevhnaktkpcceeqgstyrcv svltvlhqdwlngkeykckvsnkalpapie ktiskakgqprepqvylppsreemtknqv sltclvkgfypsdiavewesngqpennykt tppvldsdsfflyskltvdksrwqqgnvf scsvmhealhnhytqkslspsgk</p>
1236.	<p>CD70_23_CCx CD3- scFc_delGK</p>	<p>биспецифи ческая HLE молекула</p>	<p>evqllesgggvvqgrslrlscaasgftfs syamswvrqapgkclewvsaisgsggrtfy aesvegrftisrdnskntlylqmnsraed tavyycahdysnpyfydywgqgtlvtvss ggggsgggsgggseivltqspgtlsps geratlscrasqsvrsnylawyqqkpgqap rlliygassratgipdrfsgsgsgtdftlt inrlepedfavyyccqygsspftgctkv diksgggsevqlvesggglvqpggslkls caasgftfnkyamnwwrqapgglewvari rskynnyatyyadsvkdrftisrddsknta ylqmnlktdtavyycvrhgnfgnsyisy waywgqgtlvtvssggggsgggsgggsgq tvvtqepsltvspggtvtltcgsstgavts gnypnwvqqkpgqaprgliggtkflapgtp arfgsllggkaaltlsgvqpedeaeeycv lwysnrwvfgggtklvtlvgggdkthtcpp cpapellggpsvflfppkpkdtlmsrtpe vtcvvvdvshedpevkfnwyvdgvevhnak tkpcceeqgstyrcvsvltvlhqdwlngke ykckvsnkalpapiektiskakgqprepqv ytlppsreemtknqvsltclvkgfypsdiavewesngqpennykttppvldsdsfflys kltvdksrwqqgnvfscsvmhealhnhytq</p>

			kslslsppgggsgggsgggsgggsgggsggg gsggggsdkthtcppcpapellggpsvflf ppkpkdtlmisrtpevtcvvvdvshedpev kfnwyvdgvevhnaktkpceeegystyrcv svltvlhqdwlngkeykckvsnkalpapie ktiskakgqprepvytlppsreemtknqv sltclvkgfypsdiavewesngqpennykt tppvldsdgsfflyskltvdksrwqqgnvf scsvmhealhnhytqkslslspgk
1237.	CD70_23xCD3 -scFc_delGK	биспецифи ческая HLE молекула	evqllesgggvvqgrslrlscaasgftfs syamswvrqapgkglewvsaisgsggrtfy aesvegrftisrdnsntlylqmnsraed tavyycahdysnpyfydywqggtlvtvss ggggsgggsggggseivltqspgtlslsp geratlscrasqsvrsnylawyqqkpgqap rlliygassratgipdrfsgsgsgtdftlt inrlepedfavyyccqygsspptfgggtkv diksggggsevqlvesggglvqpggslkls caasgftfnkyamnvrqapgkglewvari rskynnyatyadsvkdraftisrddsanta ylqmnlktdtavyycvrhgnfgnsyisy waywgqgtlvtvssggggsgggsgggsgq tvvtqepsltvspggtvtltcgsstgavts gnypnwvqqkpgqaprgliggtkflapgtp arfgsllggkaaltlsgvqpedeaeeycv lwysnrwvfgggtkltvlgggdkthtcpp cpapellggpsvflfppkpkdtlmisrtpe vtcvvvdvshedpevkfnwyvdgvevhnak tkpceeegystyrcvsvltvlhqdwlngke ykckvsnkalpapiektiskakgqprepqv ytlppsreemtknqvsltclvkgfypsdiav ewesngqpennyktppvldsdgsfflysk ltvdksrwqqgnvfscsvmhealhnhytq kslslsppgggsgggsgggsgggsgggsggg gsggggsdkthtcppcpapellggpsvflf

			<p>ppkpkdtlmisrtpevtcvvvdvshedpev kfnwyvdgvevhnaktkpceeeygstyrcv svltvlhqdwlngkeykckvsnkalpapie ktiskakgqprepqvvtlppsreemtknqv sltclvkgfypsdiavewesngqpennykt tppvldsdgsfflyskltvdksrwqggnvf scsvmhealhhnytqkslsispgk</p>
1238.	<p>CD70_24_CCx CD3- scFc_delGK</p>	<p>биспецифи ческая HLE молекула</p>	<p>evqllesggglvqpggslrlscaasgftfs syamswvrqapgkclewsvvisgsggitdf aesvkgrftisrdnsrntlylqmnsraed tavyfcarhdysnyfffdywgqgtlvtvss ggggsgggsggggsdiqmtqspsslsasv gdrvtitcrasqgisnylawyqqkpgkvpk lliyaasilqsgvpskfsqsgsgtdftlti sslqpedfaiyycqyfyaypitfgcgrle iksggggsevqlvesggglvqpggsklsc aasgftfnkyamnvrqapgkglewvarir skynnyatyadsvkdrftisrddskntay lqmnlnktedtavyycvrhgnfgnsyisyw aywgqgtlvtvssggggsgggsgggsgqt vvtqepsltvspggtvtltcgsstgavtsg nypnwvqqkpgqaprgliggtkflapgtpa rfsgsllggkaaltlsgvqpedaeayyvcvl wysnrwvfgggtklvtlvgggdkthtcppc papellggpsvflfpkpkdtlmisrtpev tcvvdvshedpevkfnwyvdgvevhnakt kpceeeygstyrcvsvltvlhqdwlngkey kckvsnkalpapiektiskakgqprepqvy tlppsreemtknqvsltclvkgfypsdiav ewesngqpennyktppvldsdgsfflysk ltvdksrwqggnvfscsvmhealhhnytqk sllspsggggsgggsgggsgggsgggsggg sggggsdkthtcppcpapellggpsvflfp pkpkdtlmisrtpevtcvvvdvshedpevk fnwyvdgvevhnaktkpceeeygstyrcvs</p>

			ltclvkgfypsdiavewesngqpennyktt ppvldsdsfflyskltvdksrwqqgnvfs csvmhealhnhytqkslspspgk
1240.	CD70_25_CCx CD3- scFc_delGK	биспецифи ческая HLE молекула	evqllesgggmvpqpgslrlscaasgftfs syamswvrqapgkclewvsaisgsggrtfy aesvegrftisrdnskntlylqmnsraed tavyycahdysnpyfydywgqgtlvtvss ggggsgggsgggseivltqspgtlslsp geratlscrasqsvrsslawyqqkpgqap rlliygassratgipdrfsgsgsgtdftlt isrlepedfavyfcqqygsppftfgcgrl eiksggggsevqlvesggglvqpggskls caasgftfnkyamnvrqapgkglewvari rskynnyatyadsvkdrftisrddsknta ylqmnnktdtavyycvrhgnfgnsyisy waywgqgtlvtvssggggsgggsgggsgq tvvtqepsltvspggtvtltcgsstgavts gnyrnwvqqkpgqaprgliggtkflapgtp arfgsllggkaaltlsgvqpedeaeeycv lwysnrwvfgggtkltvlgggdkthtcpp cpapellggpsvflfppkpkdtlmisrtp vtcvvvdvshedpevkfnwyvdgvevhnak tkpceeegystyrcvsvltvlhqdwlngke ykckvsnkalpapiektiskakgqprepqv ytlppsreemtknqvsltclvkgfypsdi vewesngqpennykttppvldsdsffly skltvdksrwqqgnvfscsvmhealhnhytq kslspspgggsgggsgggsgggsggg gsgggsgdkthtcppcpapellggpsvflf ppkpkdtlmisrtpvtcvvvdvshedpev kfnwyvdgvevhnaktkpceeegystyrcv svltvlhqdwlngkeykckvsnkalpapie ktiskakgqprepqvtytlppsreemtknv sltclvkgfypsdiavewesngqpennykt tppvldsdsfflyskltvdksrwqqgnvf

			scsvmhealhnhytqkslsispgk
1241.	CD70_25xCD3 -scFc_delGK	биспецифическая HLE молекула	evqllesgggmvpqpggslrlscaasgftfs syamswvrqapgkglewvsaisgsggrtfy aesvegrftisrdnskntlylqmnsiraed tavyycahdysnpyfydywgqgtlvtvss ggggsgggsgggseivltqspgtlsisp geratlscrasqsvrsslwawyqqkpgqap rlliygassratgipdrfsgsgsgtdftlt isrlepedfavyfcqqygspsptfgggrl eiksggggsevqlvesggglvqpggslkls caasgftfnkyamnvrqapgkglewvari rskynnyatyadsvkdrftisrddsknta ylqmnlktedtavyycvrhgnfgnsyisy waywgqgtlvtvssggggsgggsgggsgq tvvtqepsltvspggtvltlcsstgavts gnypnwvqqkpgqaprgliggtkflapgtp arfgslggkaaltlsgvpedeaeayycv lwysnrwvfgggtklvtlvgggdkthtcpp cpapellggpsvflfppkpkdtlmsrtpe vtcvvdvshedpevkfnwyvdgvevhnak tkpceezygstyrcvsvltvlhqdwlngke ykckvsnkalpapiektiskakgqprepqv ytlppsreemtknqvsltclvkgfypsdi vewesngqpennyktppvldsdgsfflys kltvdksrwqqgnvfscsvmhealhnhytq kslsispgggsgggsgggsgggsgggsggg gsgggsgdkthtcppcpapellggpsvflf ppkpkdtlmsrtpevtcvvdvshedpev kfnwyvdgvevhnaktkpeezygstyrcv svltvlhqdwlngkeykckvsnkalpapie ktiskakgqprepqvtytlppsreemtknqv sltclvkgfypsdiavewesngqpennykt tpvldsdgsfflyskltvdksrwqqgnvf scsvmhealhnhytqkslsispgk
1242.	CD70_26_CCx	биспецифическая	evqllesggglvqpggslrlscaasgftfs

	CD3- scFc_delGK	чешская HLE молекула	iyamswvrqapgkclewvsaiggsggstfy aesvkgrftisrdnskntlylqmnsltraed tavyycahdysnpyfydywgqgtlvtvss ggggsgggsggggseivltqspgtlslsp geratlscrasqsvrssyvawyqqkpgqap rlliygassratgipdrfsgsgsgtdftlt isrlepedfavyyccqygdlpftfgcgtrl eiksggggsevqlvesggglvqpggslkls caasgftfnkyamnvrqapgkglewvari rskynnyatyyadsvkdrftisrddsknta ylqmnlktedtavyycvrhgnfgnsyisy waywgqgtlvtvssggggsgggsgggsgq tvvtqepsltvspggtvtltcgsstgavts gnypnwvqqkpgqaprgliggtkflapgtp arfsgslggkaaltlsgvqpedeaeyycv lwysnrwvfgggtklvtlvggggdkthtcpp cpapellggpsvflfppkpkdtlmisrtpe vtcvvvdvshedpevkfnwyvdgvevhnak tkpceeqqgstyrcsvsvltvlhqdwlngke ykckvsnkalpapiektiskakgpprepqv ytlppsreemtknqvsltclvkgfypsdi vewesngqpennyktppvldsdsffly kltdksrwqqgnvfscsvmhealhhnytq kslsislpgggsgggsgggsgggsgggsgg gsgggsgdkthtcppcpapellggpsvflf ppkpkdtlmisrtpevtcvvvdvshedpev kfnwyvdgvevhnaktkpeeqqgstyrcv svltvlhqdwlngkeykckvsnkalpapie ktiskakgpprepqvtytlppsreemtknq sltclvkgfypsdiavewesngqpennykt tppvldsdsfflyskltdksrwqqgnvf scsvmhealhhnytqkslsislpgk
1243.	CD70_26xCD3 -scFc_delGK	биспецифи чешская HLE	evqllesggglvqpggslrlscaasgftfs iyamswvrqapgkglewvsaiggsggstfy aesvkgrftisrdnskntlylqmnsltraed

		молекула	tavyycakhdysnpyfydywgqgtlvtvss ggggsgggsggggseivltqspgtlslsp geratlscrasqsvrissyvawyqkpggap rlliygassratgipdrfsgsgsgtdftlt isrlepedfavyyccqygdlpftfgpgtrl eiksggggsevqlvesggglvqpggslkls caasgftfnkyamnwwrqapgglewvari rskynnyatyyadsvkdrftisrddsknta ylqmnlnktdtavyycvrhgnfgnsyisy waywgqgtlvtvssggggsgggsgggsgq tvvtqepsltvspggtvltlctgsstgavts gnypnwvqkpgqaprgliggtkflapgtp arfgsllggkaaltlsgvqpdeaeeycv lwysnrwvfgggtklvlgggdkthtcpp cpapellggpsvflfppkpkdtlmisrtp vtcvvvdvshedpevkfnwyvdgvevhnak tkpceezygstyrcvsvltvlhqdwlngke ykckvsnkalspapektiskakgqprepqv ytlppsreemtknqvsltclvkgfypsdi vewesngqpennyktppvldsdsfflys kltvdksrwqggnvfscsvmhealhhnytq kslslspggggsgggsgggsgggsggg gsgggsgdkthtcppcpapellggpsvflf ppkpkdtlmisrtpvvtcvvvdvshedpev kfnwyvdgvevhnaktkpceezygstyrcv svltvlhqdwlngkeykckvsnkalspape ktiskakgqprepqvtytlppsreemtknq sltclvkgfypsdiavewesngqpennykt ppvldsdsfflyskltvdksrwqggnvf scsvmhealhhnytqkslslspgk
1244.	CD70_27_CCx CD3- scFc_delGK	биспецифи ческая HLE молекула	qvqlqesgpglvkpsqtlsltctvsggsis sssyywgwirqppgkclewigsiyhsggty fnpslksrvtisvdtksnqfslklssvtaa dtavyycarhyeiltgyypdvfdiwgggtm vtvssggggsgggsgggsgggsgdiqmtqspss

			<p>lsasvgdrvtitcrasqsissylnwyqqkp gkapklliyaasnlgsgvssrfsgsgsgtd ftltisslqpedfatyyccqqsfsprtfgc gtkveiksggggseqlvesggglvqpggs lklscasgftfnkyamnwvrqapgglew varirskynnyatyyadsvkdrftisrdds kntaylqmnlktedtavyycvrhgnfgns yisywaywgggtlvtvssggggsgggsgg ggsqvtvtqepsltvspggtvtltcgsstg avtsgnypnwvqqkpgqaprgliggtkfla pgtparfsgslggkaaltlsgvqpedeae yycvlwysnrwvfgggtklvtlvgggdkth tcppcpapellggpsvflfppkpkdtlmis rtpvtcvvvdvshedpevkfnwyvdgvev hnaktkpceeqgstyrcvsvltvlhqdl ngkeykckvsnkalspapiektiskakgqpr epqvtylppsreemtknqvsltclvkgfyp sdiavewesngqpennykttppvldsdfs flyskltvdksrwqgnvfscsvmhealhn hytqkslslspggggsgggsgggsgggg sgggsgggsgdkthtcppcpapellggps vflfppkpkdtlmisrtpvtcvvvdvshe dpevkfnwyvdgvevhnaktkpceeqgst yrcvsvltvlhqdlngkeykckvsnkalsp apiektiskakgqprepvtylppsreemt knqvsltclvkgfypsdiavewesngqpen nykttppvldsdfsfflyskltvdksrwq gnvfscsvmhealhnhytqkslslspgk</p>
1245.	CD70_27xCD3 -scFc_delGK	биспецифи ческая HLE молекула	<p>qvqlqesgpglvkpsqtlsltctvsgggis ssyywgwirqppgkglewigsyhsqgty fnpslksrvtisvdtsknqfslkssvtaa dtavyycarhyeiltgyypdvfdiwggqtm vtvssggggsgggsgggsgggsgggsggg lsasvgdrvtitcrasqsissylnwyqqkp gkapklliyaasnlgsgvssrfsgsgsgtd</p>

			<p>ftltisslqpedfatyycqqsfsprtfgq gtkveiksggggsevqlvesggglvqpggs klkscaasgftfnkyamnwwrqapgglew varirskynnyatyadsvkdrftisrdds kntaylqmnlnktdtavyycvrhgnfgns yisywaywqgtlvtvssggggsgggsgg ggsqvtvtqepsltvspggtvtltcgsstg avtsgnypnwvqqkpgqaprgliggtkfla pgtparfsgsllggkaaltlsgvqpedeae yycvlwysnrwvfgggtklvtlvgggdkth tcppcpapellggpsvflfppkpkdtlms rtpevtcvvvdvshedpevkfnwyvdgvev hnaktkpceeogygstyrcvsvltvlhqdl ngkeykckvsnkalpapiektiskakgqpr epqvylppsreemtknqvsltclvkgyfyp sdiavewesngqpennykttpvldsdsf flyskltvdksrwqgnvfscsvmhealhn hytqkslslspggggsgggsgggsgggg sgggsgggsgdkthtcppcpapellggps vflfppkpkdtlmsrtpevtcvvvdvshe dpevkfnwyvdgvevhnaktkpceeogygst yrcvsvltvlhqdlngkeykckvsnkalp apiektiskakgqprepqvylppsreemt knqvsltclvkgyfypsdiavewesngqpen nykttpvldsdsf flyskltvdksrwqq gnvfscsvmhealhnhytqkslslspgk</p>
1246.	CD70_28_CCx CD3- scFc_delGK	биспецифи ческая HLE молекула	<p>evqlvesggglvkpggslrlkscaasgftfs sysmnwwrqapgkclewvsiyssgyiyy aevkgrftisrdnaknsllylqmnsraed aavyycsrgdysnyayfdywggtlvtvss ggggsgggsgggsgdiqmtqspsslsasv gdrvtitcrasqgisnylawyqqkpgkvpk lliyaastlqsgvpsrfsqsgsgtdftlti sslqaedvavyycqyystpltfgcgkve iksggggsevqlvesggglvqpggslklsc</p>

			<p>aasgftfnkyamnvrqapgkglewvarir skynnyatyyadsvkdrftisrddskntay lqmnlnktdtavyycvrhgnfgnsyisyw aywgggtlvtvssgggsgggsgggsgt vvtqepsiltvspggtvtltcgsstgavtsg nypnwvqqkpgqaprgliggtkflapgtpa rfsgslggkaaltlsgvqpedaeeycvl wysnrwvfgggtklvtlvggggdkthtcppc papellggpsvflfppkpkdtlmisrtpev tcvvdvshedpevkfnwyvdgvevhnakt kpceezygstyrcvsvltvlhqdwlngkey kckvsnkalpapiektiskakgqprepvy tlppsreemtknqvsltclvkgfypsdiav ewesngqpennyktppvldsdsfflysk ltvdksrwqqgnvfscsvmhealhhnytqk slslspgggsgggsgggsgggsgggg sgggsgdkthtcppcpapellggpsvflfp pkpkdtlmisrtpevtcvvdvshedpevk fnwyvdgvevhnaktkpceezygstyrcvs vltvlhqdwlngkeykckvsnkalpapie tiskakgqprepvytlppsreemtknqv ltclvkgfypsdiavewesngqpennykt ppvldsdsfflyskltvdksrwqqgnv fscsvmhealhhnytqkslslspgk</p>
1247.	CD70_28xCD3 -scFc_delGK	биспецифическая HLE молекула	<p>evqlvesggglvkpggslrlscaasgftfs sysmnvrqapgkglewvsyisssgyiyy aevkgrftisrdnaknsllylqmnsraed aavyycsrgdysnyayfdywgggtlvtvss ggggsgggsgggsgggsgggsgggsgt gdrvtitcrasqgisnylawyqqkpgkvpk lliyaastlqsgvpsrfsqsgsgtdftlti sslqaedvavyycqyytpltfgggtkve iksggggsevqlvesggglvqpggslklsc aasgftfnkyamnvrqapgkglewvarir skynnyatyyadsvkdrftisrddskntay</p>

			<p>lqmnlnktdtavyycvrhgnfgnsyisyw aywgggtlvtvssgggsgggsgggsgqt vvtqepsiltvspggtvltlctgsstgavtsg nypnwvqqkpgqaprgliggtkflapgtpa rfsgsllggkaaltlsgvqpedeaeyycvl wysnrwvfgggtklvtlvgggdkthtccpc papellggpsvflfppkpkdtlmisrtpev tcvvdvshedpevkfnwyvdgvevhnakt kpceeystyrcvsvltvlhqdwlngkey kckvsnkalpapiektiskakgqprepvy tlppsreemtknqvsltclvkgfypsdiav ewesngqpennyktppvldsdsfflysk ltvdksrwqqgnvfscsvmhealhnhytqk sllspgggsgggsgggsgggsgggsggg sgggsgdkthtccpcpapellggpsvflfp pkpkdtlmisrtpevtcvvdvshedpevk fnwyvdgvevhnaktkpceeystyrcvs vltvlhqdwlngkeykckvsnkalpapie tiskakgqprepvytlppsreemtknqvs ltclvkgfypsdiavewesngqpennykt ppvldsdsfflyskltvdksrwqqgnvfc svmhealhnhytqksllspgk</p>
1248.	CD70_29_CCx CD3- scFc_delGK	биспецифи ческая HLE молекула	<p>evqllesggglvqpggslrlscaasgftfs vyamswvrqapgkclewvstisgsggstfy aevkgrftisrdnskntlylqmnrlraed tavyycarhdysnyayfdywggtlvtvss ggggsgggsggggseivltqspgtlslsp geratlscrasqsvrsslawayqqkpgqap rlliygassratgipdrfsgsgsgtdftlt isrlepedfavyyccqygdlpftfgcgtkv eiksggggsevqlvesggglvqpggslkls caasgftfnkyamnvrqapgkglewvari rskynnyatyyadsvkdrftisrddsknta ylqmnlnktdtavyycvrhgnfgnsyisy waywgggtlvtvssgggsgggsgggsgq</p>

			<p> tvvtqepsltvspggtvtltcgsstgavts gnypnwvqqkpgqaprgliggtkflapgtp arfsgslggkaaltlsgvqpedeaeeycv lwysnrwvfgggtkltvlgggdkhtcpp cpapellggpsvflfppkpkdtlmisrtp vtcvvdvshedpevkfnwyvdgvevhnak tkpceeegystyrcvsvltvlhqdwlngke ykckvsnkalpapiektiskakgqprepqv ytlppsreemtknqvsltclvkgfypsdi vewesngqpennyktppvldsdsfflys kltvdksrwqqgnvfscsvmhealhnhytq kskslspggggsgggsgggsgggsggg gsgggsgdkhtcppcpapellggpsvflf ppkpkdtlmisrtpvctcvvdvshedpev kfnwyvdgvevhnaktkpceeegystyrcv svltvlhqdwlngkeykckvsnkalpapie ktiskakgqprepqvylppsreemtknqv sltclvkgfypsdiavewesngqpennykt tppvldsdsfflyskltvdksrwqqgnvf scsvmhealhnhytqkskslspgk </p>
1249.	CD70_29xCD3 -scFc_delGK	биспецифическая HLE молекула	<p> evqllesggglvqpggslrlscaasgftfs vyamswvrqapgkglewvstisgsggstfy aesvkgrftisrdnskntlylqmnrlraed tavyycarhdysnyayfdywqggtlvtvss gggsgggsggggseivltqspgtlsisp geratlscrasqsvrsslawyqqkpgqap rlliygassratgipdrfsgsgsgtdftlt isrlepedfavyyccqygdlpftfgpgtkv eiksggggsevqlvesggglvqpggslkls caasgftfnkyamnwwrqapgkglewvari rskynnyatyadsvkdrftisrddsknta ylmnlnktdtavyycvrhgnfgnsyisy waywggtlvtvssggggsgggsgggsgq tvvtqepsltvspggtvtltcgsstgavts gnypnwvqqkpgqaprgliggtkflapgtp </p>

			<p>arfsgsllggkaaltlsgvqpedeaeeycv lwysnrwvfgggtklvtlvgggdkthtcpp cpapellggpsvflfpkpkdtlmisrtpe vtcvvdvshedpevkfnwyvdgvevhnak tkpceezygstyrcvsvltvlhqdwlngke ykckvsnkalpapiektiskakgpprepqv ytlppsreemtknqvsiltclvkgfypsdi vewesngqpennyktppvldsdsfflys kltvdksrwqgnvfscsvmhealhnhytq kslslspgggsgggsgggsgggsgggsggg gsgggsgdkthtcppcpapellggpsvflf ppkpkdtlmisrtpevtcvvdvshedpev kfnwyvdgvevhnaktkpeezygstyrcv svltvlhqdwlngkeykckvsnkalpie ktiskakgpprepqvtytlppsreemtknq siltclvkgfypsdiavewesngqpennykt tppvldsdsfflyskltvdksrwqgnvf scsvmhealhnhytqkslslspgk</p>
1250.	<p>CD70_30_CCx CD3- scFc_delGK</p>	<p>биспецифи ческая HLE молекула</p>	<p>qvqlvesgggvvqgrslrlscaasgfmfs sygmhwvrqapgkclewvavisyegsnkyy aevkgrftisrdnskntlylqmnsraed tavyycargryygsngynhgmdvwgqgttv tvssgggsgggsgggsgggsgggsgggsggg sasvgdrvtitcrasqsissylnwyqqkpg kapklliyaasslqsgvpsrfsgrgsqtdf tltisslqpedfatyycqqsystpftfgcg tkveiksggggsevqlvesggglvqpggsl klscaasgftfnkyamnwrqapgglewv arirskynnyatyadsvkdrftisrddsk ntaylqmnnlktedtavyycvrhgnfgnsy isywaywgqgtlvtvssgggsgggsgggsggg gsqtvvtqepsiltvspggtvltcgsstga vtsgnypnwvqqkpgqaprgliggtkflap gtparfsgsllggkaaltlsgvqpedeaeey ycvlwysnrwvfgggtklvtlvgggdktht</p>

		<p>cppcpapellggpsvflfppkpkdtlmisr tpevtcvvvdvshedpevkfnwyvdgvevh naktkpceeeggstyrcvsvltvlhqdwln gkeykckvsnkalpapiektiskakgqpre pqvytlppsreemtknqvsltclvkgfyps diavewesngqpennykttppvldsdsff lyskltvdksrwqqgnvfscsvmhealnhh ytqkslslspggggsgggsgggsgggsgggs ggggsgggsgdkthtcppcpapellggpsv flfppkpkdtlmisrtpevtcvvvdvshed pevkfnwyvdgvevhnaktkpceeeggsty rcvsvltvlhqdwlngkeykckvsnkalpa piektiskakgqprepvytlppsreemtk nqvsltclvkgfypsdiavewesngqpenn ykttppvldsdsfflyskltvdksrwqqg nvfscsvmhealnhhtqkslslspgk</p>
<p>1251.</p>	<p>CD70_30xCD3 -scFc_delGK</p>	<p>биспецифическая HLE молекула</p> <p>qvqlvesgggvqpgrslrlscaasgfms sygmhwrqapgkglewvavisyegsnkyy aevkgrftisrdnskntlylqmnsraed tavyycargryygsnynhgmdvwgggttv tvssggggsgggsgggsgdiqmtqspssl sasvgdrvtitcrasqsissylwnyqqkpg kapklliyaasslqsgvpsrfsgrgsqtdf tltisslqpedfatyyccqqsystpftfgpg tkveiksggggsevqlvesggglvqpggsl klscaasgftfnkyamnwrqapgkglewv arirskynnyatyadsvkdrftisrddsk ntaylqmnnkktedtavyycvrhgnfgnsy isywaywgqgtlvtvssggggsgggsggg gsqtvvtqepsltvspggtvltcgsstga vtsgnypnwvqkpgqaprgliggtkflap gtparfsgsllggkaaltlsgvqpedeaey ycvlwysnrwvfgggtklvtlggggdktht cppcpapellggpsvflfppkpkdtlmisr tpevtcvvvdvshedpevkfnwyvdgvevh</p>

			<p>naktkpceezygstyrcvsvltvlhqdwlngkeykckvsnkalpapiektiskakgqprepqvvtlppsreemtknqvsltclvkgyfypsdiavewesngqpennykttpvldsdsfflyskltvdksrwqqgnvfscsvmhealnhnytqkslslspggggsgggsgggsgggsgggsgggsgggsgdkthtcppcpapellggpsvflfppkpkdtlmisrtpevtcvvvdvshedpevkfnwyvdgvevhnaktkpceezygstyrcvsvltvlhqdwlngkeykckvsnkalpapiektiskakgqprepqvvtlppsreemtknqvsltclvkgyfypsdiavewesngqpennykttpvldsdsfflyskltvdksrwqqgnvfscsvmhealnhnytqkslslspgk</p>
1252.	CD70_31_CCx CD3- scFc_delGK	биспецифическая HLE молекула	<p>qvqlvesgggvvqpgrslrlscaasgftfsygmhwvrqapgkclewvavtwydasnkyygdavkgrftisrdnskntlylqmnsraedtavyycardllrgvkgyamdvwgggtvtvssggggsgggsggggseivltqspgtlslspgeratlsbrasqlrriylawyqkpgqaprlliydvfdratgipdrfsgggsgtdftltisrlepedfavyyccqysespftfgcgtkvdiksggggsevqlvesggglvqpggslklscasgftfnkyamnwvrqapgkglewvarirskynnyatyadsvkdrftisrddskntaylqmnlktdtavyycvrhgnfgnsyisywaywgqgtlvtvssggggsgggsgggsgggsgqtvvtqepsltvspggtvtlctgsstgavtsgnypnwvqqkpgqaprgliggtkflapgtparfsgsllggkaaltlsgvqpedeaeeycvlwysnrwvfgggtklvtlvgggdkthtcppcpapellggpsvflfppkpkdtlmisrtpevtcvvvdvshedpevkfnwyvdgvevhnaktkpceezygstyrcvsvltvlhqdwlngkeykckvsnkalpapiektiskakgqpre</p>

			<p>qvytlppsreemtknqvsltclvkgfy-psd iavewesngqpennykttpvlds-dgsffl yskltvdksrwqggnvfscsvmheal-hnhy tqkslsislspgggsggggsggggsggggsg gggsggggskthtcppcpapellggpsvf lfppkpkdtlmisrtpevtcvvvdvshedp evkfnwyvdgvevhnaktkpc-eeqygstyr cvsvltvlhqdwlngkeykckvsnkalpap iektiskakgqprep-qvytlppsreemtkn qvsltclvkgfy-psdiavewesngqpenny kttpvlds-dgsfflyskltvdksrwqggn vfscsvmheal-hnhytqkslsislspgk</p>
1253.	CD70_31xCD3 -scFc_delGK	биспецифическая HLE молекула	<p>qvqlvesgggqvqpgrslrlscaasgftfs sygmhwrqapgkglewvavtwydasnkyy gdavkgrftisr-dns-kntlylqmns-lraed tavyy-cardllrgvkgyamdvwgqgtvtv ssgggsggggsggggseivltqspgtlsl spgeratlscrasqslrriylawyqqkpgq aprllydvfdratgipdrfsgggsgtdft ltisrlepedfavyyccqyses-pftfgpgt kvdiksggggsevqlvesggglvqpggslk lscaasgftfnkyamn-wvrqapgkglewva rirskynnyatyadsvkdrftisrdds-kn taylqmn-lk-tedtavyy-cvrhgnfgnsyi sywaywgqgtlvtvssgggsggggsgggg sqtvvtqeps-ltvsppggtvltcgsstgav tsgny-pnwvqqkpgqaprgliggtkflapg tparfsgsllggkaaltlsgvqpedeae-yy cvlwysnrwvfgggtkl-tvlggg-gdkthtc ppcpapellggpsvf-lfppkpkdtlmisrt pevtcvvvdvshedpevkfnwyvdgvevhn aktkpc-eeqygstyr-cvsvltvlhqdwlng keykckvsnkalpapiektiskakgqprep qvytlppsreemtknqvsltclvkgfy-psd iavewesngqpennykttpvlds-dgsffl</p>

			<p>yskltvdksrwqqgnvfscsvmhealthny tqkslslspggggsgggsgggsgggsg ggsgggsgskthtcppcpapellggpsvf lfppkpkdtlmsirtpevtcvvvdvshedp evkfnwyvdgvevhnaktkpcceeqgstyr cvsvltvlhqdwlngkeykckvsnkalpap iektiskakggpprepqvvtlppsreemtkn qvsltclvkgfypsdiavewesngqpenny kttpvldsdsfflyskltvdksrwqqgn vfscsvmhealthnytqkslslspgk</p>
1254.	<p>CD70_32_CCx CD3- scFc_delGK</p>	<p>биспецифи ческая HLE молекула</p>	<p>qvqlvqsgaevkpkpgasvksckasytft sygiswvrqapggclewmwisayqgythy aqklqgrvtmttdtststaymelrslrsdd tavyycardyggndyygmdvwwqgttvtvs sgggsgggsgggsggsqsvltqppsasgtp ggrvtiscsgsssniginvywyqqlpgta pklliyrsdqrpqgvpdrfsgsksgtsasl alsglrsedeaddycaafdeslsgvfgcg tkltvlsggggsevqlvesggglvqpggsl klscaasgftfnkyamnvrqapgkglewv arirskynnyatyadsvkdrftisrddsk ntaylqmnlnktdtavyycvrhgnfgnsy isywaywgggtlvtvssggggsgggsggg gsqtvvtqepsltvspggtvltcgsstga vtsgnypnwvqqkpgqaprgliggtkflap gtparfsgslggkaaltlsgvqpedeaey ycvlwysnrwvfgggtklvtlvgggdktht cppcpapellggpsvflfppkpkdtlmsir tpevtcvvvdvshedpevkfnwyvdgvev naktkpcceeqgstyrcvsvltvlhqdwln gkeykckvsnkalpapiektiskakggpre pqvvtlppsreemtknqvsltclvkgfyps diavewesngqpennykttpvldsdsff lyskltvdksrwqqgnvfscsvmhealthnh ytqkslslspggggsgggsgggsgggsg</p>

			<p>ggggsgggsgdkthtcppcpapellggpsv flfppkpkdtlmsirtpevtcvvvdvshed pevkfnwyvdgvevhnaktkpceeegysty rcvsvltvlhqdwlngkeykckvsnkalpa piektiskakggpprepqvvtlppsreemtk nqvsltclvkgfypsdiavewesngqpenn ykttppvldsdgsfflyskltvdksrwqqg nvfscsvmhealhhnytqkslslspgk</p>
1255.	CD70_32xCD3 -scFc_delGK	биспецифи ческая HLE молекула	<p>qvqlvqsgaevkkgasvkvscasgytft sygiswvrqapggglewmgwisayqgythy aqklqgrvtmtdtststaymelrslrsdd tavyycardyggndyygmdvwgqgtvtvs sgggsgggsgggsggsqsvltqppsasgtp gqrvtiscsgsssniginvywyqqlpgta pklliyrsdqrpqsgvprdfsgsksgtsasl alsglrsedeaddycaafdeslsgvvfggg tkltvlsggggsevqlvesggglvqpggsl klscaasgftfnkyamnvrqapgkglewv arirskynnyatyadsvkdrftisrddsk ntaylqmnnlktedtavyycvrhgnfgnsy isywaywgggtlvtvssggggsgggsggg gsqvtvtqepsltvspggtvtltcgsstga vtsgnypnwvqkpgqaprgliggtkflap gtparfsgsllggkaaltlsgvqpedeaey ycvlwysnrwvfgggtklvtlvgggdktht cppcpapellggpsvflfppkpkdtlmsir tpevtcvvvdvshedpevkfnwyvdgvev naktkpceeegystyrcvsvltvlhqdwln gkeykckvsnkalpapiektiskakggpre ppqvvtlppsreemtknqvsltclvkgfyps diavewesngqpennykttppvldsdgsff lyskltvdksrwqqgnvfscsvmhealhh ytqkslslspggggsgggsgggsggggs ggggsgggsgdkthtcppcpapellggpsv flfppkpkdtlmsirtpevtcvvvdvshed</p>

			pevkfnwyvdgvevhnaktkpceeegsty rcvsvltvlhqdwlngkeykckvsnkalpa piektiskakgqprepqvtylppsreemtk nqvsltclvkgfypsdiavewesngqpenn ykttppvldsdgsfflyskltvdksrwqgg nvfscsvmhealhnhytqkslsispkg
1256.	CD70_33_CCx CD3- scFc_delGK	биспецифи ческая HLE молекула	qaqlvesgggvvqgrslrlscaasgftfs yygmhvrqapgkclewvaviwydasnkyy adavkgrftisrdnskntlylqmnsraed tavyycardremgsrgdfdywgqgtlvtvs sgggsgggsgggsgggdiqmtqspsslsas vgdrvtitcrasqginnylawfqkpgkap ksliyavsilqsgvpskfsqsgsgtdftlt isnlqpedfatyycqynfyfsgcgtkv diksgggsevqlvesggglvqpggskls caasgftfnkyamnvrqapgglewvari rskynnyatyadsvkdrftisrddsknta ylqmnlktedtavyycvrhgnfgnsyisy waywgqgtlvtvssggsgggsgggsgq tvvtqepsltvspggtvtlctgsstgavts gnypnwvqqkpgqaprgliggtkflapgtp arfgsllggkaaltlsgvqpedaeayycv lwysnrwvfgggtklvtlvgggdkthtcpp cpapellggpsvflfppkpkdtlmisrtpe vtcvvvdvshedpevkfnwyvdgvevhnak tkpceeegstyrcvsvltvlhqdwlngke ykckvsnkalpapektiskakgqprepqv ytlppsreemtknqvsltclvkgfypsdiav ewesngqpennykttppvldsdgsfflys kltvdksrwqggnvfscsvmhealhnhytq kslsispggsgggsgggsgggsgggsggg gsgggsgdkthtcppcpapellggpsvflf ppkpkdtlmisrtpevtcvvvdvshedpev kfnwyvdgvevhnaktkpceeegstyrcv svltvlhqdwlngkeykckvsnkalpapie

			<p>ktiskakgqprepqvvtlppsreemtknqv sltclvkgfypsdiavewesngqpennykt tppvldsdgsfflyskltvdksrwqqgnvf scsvmhealhhnytqkslsispgk</p>
1257.	CD70_33xCD3 -scFc_delGK	биспецифическая HLE молекула	<p>qaqlvesgggvvqgrslrlscaasgftfs yygmhwrqapgkglewvaviwydasnkyy adavkgrftisrdnskntlylqmnsraed tavyycardremgsrgdfdywgqgtlvtvs sgggsgggsgggsgggdiqmtqspsslsas vgdrvtitcrasqginnylawfqkpgkap ksliyavsilqsgvpskfsqsgsgtdftlt isnlqpedfatyycqynfyfysfgqgtkv diksggggsevqlvesggglvqpggslkls caasgftfnkyamnvrqapgkglewvari rskynnyatyadsvkdrftisrddsknta ylqmnlktdtavyycvrhgnfgnsyisy waywgqgtlvtvssggggsgggsgggsgq tvvtqepsltvspggtvtltcgsstgavts gnypnwvqqkpgqaprgliggtkflapgtp arfsqslggkaaltlsgvqpedaeeycv lwysnrwvfgggtklvtlvgggdkthtcpp cpapellggpsvflfppkpkdtlmisrtpe vtcvvvdvshedpevkfnwyvdgvevhnak tkpceeegystyrcvsvltvlhqdwlngke ykckvsnkalpapiektiskakgqprepqv ytlppsreemtknqvsltclvkgfypsdiavewesngqpennykt tppvldsdgsfflyskltvdksrwqqgnvfscsvmhealhhnytq kslsispgggsgggsgggsgggsgggsggg gsgggsgdkthtcppcpapellggpsvflf ppkpkdtlmisrtpevtcvvvdvshedpev kfnwyvdgvevhnaktkpceeegystyrcv svltvlhqdwlngkeykckvsnkalpapie ktiskakgqprepqvvtlppsreemtknqv sltclvkgfypsdiavewesngqpennykt</p>

			<p>tppvldsdgsfflyskltvdksrwqqgnvf scsvmhealthhnytqkslsispgk</p>
1258.	<p>CD70_34_CCx CD3- scFc_delGK</p>	<p>биспецифи ческая HLE молекула</p>	<p>qvqlqqwgagllkpsetlsltcavyggsfs gfywswirpppgkclewigeiyhsghatnn pslksrvtisldtsknqfslklnsvtaadt avyyccarggnsyifdywgqgtlvtvssgg ggsgggsggggsdvqmtqspsslsasvqd rvtitcrtsqyigrlynwyqqkpgkapkvl iygastlqqgvpsrfsqsgsgtdftlits lqpedfasyyccqqtystprtfgcgtkveik sggggsevqlvesggglvqpggslklscaa sgftfnkyamnvrqapgkglewvarirsk ynnyatyadsvkdrftisrddskntaylq mnnlktedtavyycvrhgnfgnsyisyway wgqgtlvtvssggsgggsgggsgggsgqtvv tqepsltvspggtvtlctgsstgavtsgny pnwvqqkpgqaprgliggtkflapgtparf sgslggkaaltlsgvqpedaeeycvlwy snrwvfgggtklvtlvggggdkthtccppca pellggpsvflfppkpkdtlmsrtpevtc vvvdvshedpevkfnwyvdgvevhnaktkp ceeqygstyrcsvlvtvlhqdwlngkeykc kvsnkalpapiektiskakgqprepvytl ppsreemtknqvsltclvkgfypsdiavew esngqpennykttppvldsdgsfflysklt vdksrwqqgnvfscsvmhealthhnytqksl slspggggsgggsgggsgggsgggsg gggskthtccppcapellggpsvflfppk pkdtlmsrtpevtcvvdvshedpevkfn wyvdgvevhnaktkpceeqygstyrcsvl tvlhqdwlngkeyckvsnkalpapiekti skakgqprepvytlppsreemtknqvslt clvkgfypsdiavewesngqpennykttpp vldsdgsfflyskltvdksrwqqgnvfscs vmhealthhnytqkslsispgk</p>

1259.	CD70_34xCD3 -scFc_delGK	биспецифическая HLE молекула	qvqlqqwgagllkpsetlsltcavyggsfs gfywswirpppgkglewigeiyhsghatnn pslksrvtisldtsknqfslklnsvtaadt avyyccargngsyifdywgqgtlvtvssgg ggsgggsggggsdvqmtqspsslsasvqd rvtitcrtsqyigrlynwyqqkpgkapkvl iygastlqqgvpsrfsqsgsgtdftlits lqpedfasyyccqtystprtfgggtkveik sggggsevlvesggglvqpggsklscaa sgftfnkyamnvrqapgkglewvarirsk ynnyatyadsvkdrftisrddskntaylq mnnlktedavyycvrhgnfgnsyisyway wgqgtlvtvssggggsgggsgggsgqtvv tqepsltvspggtvtltcgsstgavtsgny pnwvqqkpgqaprgliggtkflapgtparf sgslggkaaltlsgvqpedeaeyycvlwy snrwvfgggtklvtlvgggdkthtccppca pellggpsvflfppkpkdtlmsrtpevtc vvvdvshedpevkfnwyvdgvevhnaktkp ceeeygstyrcvsvltvlhqdwlngkeykc kvsnkalpapiektiskakqpprepqvvtl ppsreemtknqvsltclvkgfypsdiavew esngqpennykttppvldsdgsfflysklt vdksrwqqgnvfscsvmhealhnhytqksl slspggggsgggsgggsgggsgggsgg gggskthtccppcapellggpsvflfppk pkdtlmsrtpevtcvvvdvshedpevkfn wyvdgvevhnaktkpceeeygstyrcvsvl tvlnhdwlngkeyckvsnkalapiekti skakqpprepqvvtlppsreemtknqvslt clvkgfypsdiavewesngqpennykttpp vldsdgsfflyskltvdksrwqqgnvfscs vmhealhnhytqkslslspgk
1260.	CD70_35_CCx CD3-	биспецифическая	qvqlvesgggvvqgrslrlscaasgftfs tygmhvrqapgkclewvaviwyegsnkyy

	scFc_delGK	HLE молекула	gesvkgrftisrdnskntlylqmnsraed tavyycardnshyyygmdvwgqgttvtvss ggggsgggsgggsgsylvlqppsvsgapg qrvtisctgsssniagaydnwyqqfpgta pklliyvnnrpsgvprdfsgstsgtsasl aitglqaedeaddyccsydtslsasvfgcg trltvlsggggsevqlvesggglvqpgsl klscaasgftfnkyamnvrqapgkglewv arirskynnyatyadsvkdrftisrddsk ntaylqmnlnktdtavyycvrhgnfgnsy isywaywqggtlvtvssggggsgggsggg gsqvtvtqepsiltvspggtvtltcgsstga vtsgnypnwqqkpgqaprgliggtkflap gtparfsgsllggkaaltlsgvqpedeaey ycvlwysnrwvfgggtklvtlvgggdktht cppcpapellggpsvflfppkpkdtlmisr tpevtcvvvdvshedpevkfnwyvdgvevh naktkpceeegygstyrcvsvltvlhqdwln gkeykckvsnkalpapiektiskakgqpre pqvytlppsreemtknqvsltclvkgfyps diavewesngqpennykttpvl dsdgsff lyskltvdksrwqqgnvfscsvmhealhh ytqkslslspggggsgggsgggsgggsg ggggsgggsgdkthtcppcpapellggpsv flfppkpkdtlmisrtpevtcvvvdvshed pevkfnwyvdgvevhnaktkpceeegysty rcvsvltvlhqdwlngkeykckvsnkalpa piektiskakgqprepvytlppsreemtk nqvsltclvkgfypsdiavewesngqpenn ykttpvl dsdgsfflyskltvdksrwqqg nvfscsvmhealhhnytqkslslspgk
1261.	CD70_35xCD3 -scFc_delGK	биспецифи ческая HLE молекула	qvqlvesgggvqpgrslrlscaasgftfs tygmhvrqapgkglewvaviweysnky gesvkgrftisrdnskntlylqmnsraed tavyycardnshyyygmdvwgqgttvtvss

			<p>ggggsgggsgggsgqsvltqppsvsgapg qrvtisctgsssniagaydnwyqqfpgta pklliyvnnnrpsgvpdrfsgstsgtsasl aitglqaeadyycqsydtslsasvfggg trltvlsggggsevqlvesggglvqpggs1 klscaasgftfnkyamnwvrqapgkglewv arirskynnyatyadsvkdrftisrddsk ntaylqmnnlktedtavyycvrhgnfgnsy isywaywgqgtlvtvssggggsgggsggg gsqtvtqeps1tvspggtvltlctgsstga vtsgnypnwvqqkpgqaprgligntkflap gtparfsgsllggkaaltlsgvqpedeae ycvlwysnrwvfgggtkltvlggggdktht cppcpapellggpsvflfppkpkdtlmsr tpevtcvvvdvshedpevkfnwyvdgvevh naktkpceeegystyrcsvltvlhqdwln gkeykckvsnkalpapiektiskakgpre pqvytlppsreemtknqvs1tclvkgyfyps diavewesngqpennyk1tppvlds1dgsff lyskltvdksrwqqgnvfscsvmhealhh ytqks1slspggsgggsgggsgggsgggsg ggggsgggsgdktht1cppcpapellggpsv flfppkpkdtlmsrtpevtcvvvdvshed pevkfnwyvdgvevhnaktkpceeegysty rcsvltvlhqdwlngkeykckvsnkalpa piektiskakgprepqvytlppsreemtk nqvs1tclvkgyfypsdiavewesngqpenn ykt1tppvlds1dgsfflyskltvdksrwqqg n1vfscsvmhealhh1y1tqks1slspgk</p>
1262.	CD70_36_CCx CD3- scFc_delGK	биспецифи ческая HLE молекула	<p>qvqlvesgggvvqpggrslrlscaasgftfs tygmhvwvrqapgkc1ewvaviw1yegsnkyy gesvkgrftisrdnskntlylqmnslraed tavyycardnshyyygmdvwgqgtlvtvss ggggsgggsgggsgqsvltqppsvsgapg qrvtisctgsssniagaydnwyqq1pgta</p>

			<p>pklliyvnnnrpsgvpdrfsgsksgtsasl aitglqaeadyycqsyetslsasvfgcg trltvlsggggsevqlvesggglvqpggsl klscaasgftfnkyamnvrqapggglewv arirskynnyatyadsvkdrftisrddsk ntaylqmnnkktedtavyycvrhgnfgnsy isywaywgqgtlvtvssggggsgggsggg gsqtvvtqepsltvspggtvltlcsstga vtsgnypnwvqqkpgqaprgliggtkflap gtparfsgsllggkaaltlsgvqpedeaey ycvlwysnrwvfgggtklvtlggggdktht cppcpapellggpsvflfppkpkdtlmisr tpevtcvvvdvshedpevkfnwyvdgvevh naktkpceezygstyrcvsvltvlhqdwln gkeykckvsnkalpapiektiskakgqpre pqvytlppsreemtknqvsltclvkgfyys diavewesngqpennykttppvldsdsff lyskltdksrwqqgnvfscsvmhealnhh ytqkslslspggggsgggsgggsggggs ggggsgggsgdkthtcppcpapellggpsv flfppkpkdtlmisrtpevtcvvvdvshed pevkfnwyvdgvevhnaktkpceezygsty rcvsvltvlhqdwlngkeykckvsnkalpa piektiskakgqprepvytlppsreemtk nqvsltclvkgfyysdiavewesngqpenn yktppvldsdsfflyskltdksrwqqg nfvscsvmhealnhhytqkslslspgk</p>
1263.	CD70_36xCD3 -scFc_delGK	биспецифи ческая HLE молекула	<p>qvqlvesgggvvqgrslrlscaasgftfs tygmhwvrqapggglewvaviwyegsnkyy gesvkgrftisrdnskntlylqmnsraed tavyycardnshyyygmdvwgqgtlvtvss ggggsgggsgggsgqsvltqppsvsgapg qrvtisctgsssniagaydnwyqqlpgta pklliyvnnnrpsgvpdrfsgsksgtsasl aitglqaeadyycqsyetslsasvfggg</p>

			<p>trltvlsggggsevqlvesggglvqpggs1 klscasgftfnkyamnwwrqapgkglew arirskynnyatyadsvkdrftisrddsk ntaylqmnlnktdtavyycvrhgnfgnsy isywaywqggtlvtvssggggsgggsggg gsqvtvtqepsltvspggtvtltcgsstga vtsgnypnwvqqkpgqaprgliggtkflap gtparfsgsllggkaaltlsgvqpedeaey ycvlwysnrwvfgggtkltvlgggdktht cppcpapellggpsvflfppkpkdtlmisr tpevtcvvvdvshedpevkfnwyvdgvevh naktkpceezygstyrcvsvltvlhqdwln gkeykckvsnkalspapiektiskakgqpre pqvytlppsreemtknqvsltclvkgyfyps diavewesngqpennyktppvldsdgsff lyskltvdksrwqqgnvfscsvmhealhh ytqkslslspggggsgggsgggsgggsggs ggggsgggsgdkthtcppcpapellggpsv flfppkpkdtlmisrtpevtcvvvdvshed pevkfnwyvdgvevhnaktkpceezygsty rcvsvltvlhqdwlngkeykckvsnkalspa piektiskakgqprepvytlppsreemtk nqvsltclvkgyfypsdiavewesngqpenn yktppvldsdgsfflyskltvdksrwqqg nvfscsvmhealhhnytqkslslspgk</p>
1264.	CD70_37_CCx CD3- scFc_delGK	биспецифи ческая HLE молекула	<p>qmqlqesgpglvkpseltlctctvsggsie sgvyywswirppgkclewigyiyysgsts ynpslksrlltmsvdtksnqfslklssvtaa dtavyycarsgysyalfdywggtlvtvss ggggsgggsgggsgggdiqmtqspsslsasl gdrvtitcrasqsvdryfnwyqqkpgkapk vlifaasslqsgvpsrfsqsgsgtdftlti sslqpedfatyyccqqsystpwtfgcgtkve vksgggsevqlvesggglvqpggs1klsc aasgftfnkyamnwwrqapgkglewvarir</p>

			<p>skynnyatyyadsvkdrftisrddskntay lqmnlnktdtavyycvrhgnfgnsyisyw aywgqgtlvtvssgggsgggsgggsgqt vvtqepsltvspggtvtltcgsstgavtsg nypnwvqqkpgqaprgliggtkflapgtpa rfsgsllggkaaltlsgvqpedaeeycvl wysnrwvfgggtklvtlvgggdkthtcppc papellggpsvflfppkpkdtlmisrtpev tcvvdvshedpevkfnwyvdgvevhnakt kpceezygstyrcvsvltvlhqdwlngkey kckvsnkalpapiektiskakgqprepvy tlppsreemtknqvsltclvkgfypsdiav ewesngqpennyktppvldsdsfflysk ltvdksrwqqgnvfscsvmhealhhhtqk sllspgggsgggsgggsgggsgggsggg sgggsgdkthtcppcpapellggpsvflfp pkpkdtlmisrtpevtcvvdvshedpevk fnwyvdgvevhnaktkpceezygstyrcvs vltvlhqdwlngkeykckvsnkalpapie tiskakgqprepvytlppsreemtknqvs ltclvkgfypsdiavewesngqpennykt ppvldsdsfflyskltvdksrwqqgnvfs csmhealhhhtqksllspgk</p>
<p>1265.</p>	<p>CD70_37xCD3 -scFc_delGK</p>	<p>биспецифи ческая HLE молекула</p>	<p>qmqlqesgpglvkpsletlslctvsggsie sgvyywswirppgkglewigyiyysgsts ynpslksrltmsvdtksnqfslklssvtaa dtavyycarsgysyalfdywgqgtlvtvss ggggsgggsgggsgdiqmtqspsslsasl gdrvtitcrasqsvdryfnwyqqkpgkapk vlifaasslqsgvpsrfsqsgsgtdftlti sslqpedfatyycqqsystpwtfgqgtkve vksgggsevqlvesggglvqpggslklsc aasgftfnkyamnvrqapgkglewvarir skynnyatyyadsvkdrftisrddskntay lqmnlnktdtavyycvrhgnfgnsyisyw</p>

			aywgggtlvtvssggggsgggsgggsgt vvtqepsiltvspggtvltlctgsstgavtsg nypnwvqqkpgqaprgliggtkflapgtpa rfsgsllggkaaltlsgvqpedaeeycvl wysnrwvfgggtklvtlvggggdkthtcppc papellggpsvflfppkpkdtlmisrtpev tcvvdvshedpevkfnwyvdgvevhnakt kpceeegystyrcvsvltvlhqdwlngkey kckvsnkalpapiektiskakgqprepvy tlppsreemtknqvsltclvkgfypsdiav ewesngqpennyktppvldsdsfflysk ltvdksrwqqgnvfscsvmhealhhnytqk slslspggggsgggsgggsgggsgggg sggggskthtcppcpapellggpsvflfp pkpkdtlmisrtpevtcvvdvshedpevk fnwyvdgvevhnaktkpceeegystyrcvs vltvlhqdwlngkeykckvsnkalpapie tiskakgqprepvytlppsreemtknqvs ltclvkgfypsdiavewesngqpennykt ppvldsdsfflyskltvdksrwqqgnvfs csvmhealhhnytqkslslspgk
1266.	CD70_38_CCx CD3- scFc_delGK	биспецифи ческая HLE молекула	qvqlqesgpglvkpsqtlsltctvsgdsii sggyywswirqppgkclewigyifysgstd ynpslksrvtisvdtksnqfslklssvtaa dtavyycarsgysyalfdawgggtlvtvss ggggsgggsgggsgggdiqmtqspsslsasv gdrvtiscrasqfigryfnwyqqkpgkapk vliyaesslqsgvpsrfsqsgsgteftlti sslqpedfatyycqqsystpwtfgcgtkve iksggggsevqlvesggglvqpggslklsc aasgftfnkyamnvrqapgkglewvarir skynnyatyyadvkdrftisrddskntay lqmnlnktedtavyycvrhgnfgnsyisyw aywgggtlvtvssggggsgggsgggsgt vvtqepsiltvspggtvltlctgsstgavtsg

			<p>nypnwvqqkpgqaprgliggtkflapgtpa rfsgsllggkaaltlsgvqpedeaeyycvl wysnrwvfgggtklvtlvgggdkthtccppc papellggpsvflfpkpkdtlmisrtpev tcvvvdvshedpevkfnwyvdgvevhnakt kpceezygstyrcvsvltvlhqdwlngkey kckvsnkalpapiektiskakgqprepvy tlppsreemtknqvsltclvkgfypsdiav ewesngqpennyktppvldsdsfflysk ltvdksrwqqgnvfscsvmhealhnhytqk sllspggggsgggsgggsgggsgggsgggg sgggsgdkthtccppcpapellggpsvflfp pkpkdtlmisrtpevtcvvvdvshedpevk fnwyvdgvevhnaktkpceezygstyrcvs vltvlhqdwlngkeykckvsnkalpapie ktiskakgqprepvytlppsreemtknqv sltclvkgfypsdiavewesngqpennykt ppvldsdsfflyskltvdksrwqqgnvf scsvmhealhnhytqksllspgk</p>
1267.	CD70_38xCD3 -scFc_delGK	биспецифическая HLE молекула	<p>qvqlqesgpglvkpsqtlstctvsgdsii sggyywswirqppgkglewigyifysgstd ynpslksrvtisvdtsknqfslklssvtaa dtavyycarsgysyalfdawgggtlvtvss ggggsgggsgggsgggsgggsgggsgggsg gdrvtiscrasqfigryfnwyqqkpgkapk vliyaesslqsgvpsrfsqsgsgteftlti sslqpedfatyycqqsystpwtfgqgtkve iksggggsevqlvesggglvpggslklsc aasgftfnkyamnvrqapkgglewvarir skynnyatyadsvkdrftisrddskntay lqmnlnktedtavyycvrhgnfgnsyisyw aywgggtlvtvssggggsgggsgggsggt vvtqepsiltvspggtvtltcgsstgavtsg nypnwvqqkpgqaprgliggtkflapgtpa rfsgsllggkaaltlsgvqpedeaeyycvl</p>

			<p>wysnrwvfgggtkltvlggggdkthtcppc papellggpsvflfppkpkdtlmisrtpev tcvvdvshedpevkfnwyvdgvevhnakt kpceeqygstyrcvsvltvlhqdwlngkey kckvsnkalpapiektiskakgqprepqv tlppsreemtknqvsltclvkgfypsdiav ewesngqpennykttppvlds dgsfflysk ltvdksrwqqgnvfscsvmhealhhnytqk sllspggggsgggsgggsgggsgggsggg sggggskthtcppcpapellggpsvflf pkpkdtlmisrtpevtcvvdvshedpevk fnwyvdgvevhnaktkpceeqygstyrcv svltvlhqdwlngkeykckvsnkalpapie ktiskakgqprepqvylppsreemtknqvs ltclvkgfypsdiavewesngqpennyktt ppvlds dgsfflyskltvdksrwqqgnvf scsvmhealhhnytqksllspgk</p>
1268.	CD20-HLE	scFc	<p>qvqlvqsgaevkpkpgssvkvscasgyafs yswinwvrqapggglewmgrifpgdgdtdy ngkfkgrvtitadkststaymelsslrsed tavyyarnvfdgywlvwygqgtlvtvssg ggsgggsgggsgggdivmtqtplslpvtpg epasiscrssksllhsngitylywylqkpg qspqlliyqmsnlvsgvpdrfsgsgsgtdf tlkisirveaedvgvycaqnlelpytfggg tkveiksggggsevqlvesggglvqpggsl klscaasgftfnkyamnwrqapggglewv arirskynnyatyadsvkdrftisrddsk ntaylqmnlnktdtavyycvrhgnfgnsy isywaywgqgtlvtvssggggsgggsggg gsqvtvtqepsltvspggtvltcgsstga vtsgnypnwvqqkpgqaprgliggtkflap gtparfsgsllggkaaltlsgvqpedeae ycvlwysnrwvfgggtkltvl</p>
1269.	CD19 9-B7	VH CDR1	NYGMH

	CC x I2C0- scFc		
1270.	CD19 9-B7 CC x I2C0- scFc	VH CDR2	AIGWEGSNKYAEPVKG
1271.	CD19 9-B7 CC x I2C0- scFc	VH CDR3	DRGTIFGYGMDV
1272.	CD19 9-B7 CC x I2C0- scFc	VL CDR1	RSSQSLLSNRFNLYD
1273.	CD19 9-B7 CC x I2C0- scFc	VL CDR2	LGSNRAS
1274.	CD19 9-B7 CC x I2C0- scFc	VL CDR3	MQALQTPLT
1275.	CD19 9-B7 CC x I2C0- scFc	VH	QVQLVESGGGVVQPGRSLRLSCEASGFIVS NYGMHWVRQAPGKCLEWVAAIGWEGSNKYY AEPVKGRFTISRDKSKNTLSLQMSSLRAED TALYYCARDRGTIFGYGMDVWVGQTTVTV SS
1276.	CD19 9-B7 CC x I2C0- scFc	VL	DIVMTQSPLSLPVTPEGEPASISCRSSQSLL HSNRFNLYLDWYLQKPGQSPQLLIYLGSNRA SGVPDRFSGSGGTDFTLKISRVEAEDVGV YYCMQALQTPLTFACGKVEIK
1277.	CD19 9-B7 CC x I2C0- scFc	scFv	DIVMTQSPLSLPVTPEGEPASISCRSSQSLL HSNRFNLYLDWYLQKPGQSPQLLIYLGSNRA SGVPDRFSGSGGTDFTLKISRVEAEDVGV YYCMQALQTPLTFACGKVEIKGGGSGGG GSGGGGSQVQLVESGGGVVQPGRSLRLSCE ASGFIVSNYGMHWVRQAPGKCLEWVAAIGW EGSNKYAEPVKGRFTISRDKSKNTLSLQM SSLRAEDTALYYCARDRGTIFGYGMDVWVG QTTTVTVSS

1278.	CD19 9-B7 CC x I2C0- scFc	биспецифи ческая молекула	DIVMTQSPFLSLPVTPEEPASISCRSSQSLL HSNRFNYLDWYLQKPGQSPQLLIYLGSNRA SGVPDRFSGSGSGTDFTLKISRVEAEDVGV YYCMQALQTPLTFACGKVEIKGGGSGGG GSGGGGSQVQLVESGGGVVQPGRSLRLSCE ASGFIVSNYGMHWVRQAPGKCLEWVAIGW EGSNKYAEPVKGRFTISRDKSKNTLSLQM SSLRAEDTALYYCARDRTIFGYGMDVWG QGTITVTVSSGGGSEVQLVESGGGLVQPGG SLKLSCAASGFTFNKYAMNWRQAPGKGLE WVARIRSKYNNYATYYADSVKDRFTISRDD SKNTAYLQMNLLKTEDTAVYYCVRHGNFGN SYISYWAYWGQGLTVTVSSGGGSGGGGSG GGGSQTVVTQEPSLTVSPGGTVTLTCGSST GAVTSGNYPNWVQKPGQAPRGLIGGTKFL APGTPARFSGSLLGGKAALTLSGVQPEDEA EYYCVLWYSNRWVFGGGTKLTVL
1279.	CD19 9-B7 CC x I2C0- scFc	биспецифи ческая молекула HLE	DIVMTQSPFLSLPVTPEEPASISCRSSQSLL HSNRFNYLDWYLQKPGQSPQLLIYLGSNRA SGVPDRFSGSGSGTDFTLKISRVEAEDVGV YYCMQALQTPLTFACGKVEIKGGGSGGG GSGGGGSQVQLVESGGGVVQPGRSLRLSCE ASGFIVSNYGMHWVRQAPGKCLEWVAIGW EGSNKYAEPVKGRFTISRDKSKNTLSLQM SSLRAEDTALYYCARDRTIFGYGMDVWG QGTITVTVSSGGGSEVQLVESGGGLVQPGG SLKLSCAASGFTFNKYAMNWRQAPGKGLE WVARIRSKYNNYATYYADSVKDRFTISRDD SKNTAYLQMNLLKTEDTAVYYCVRHGNFGN SYISYWAYWGQGLTVTVSSGGGSGGGGSG GGGSQTVVTQEPSLTVSPGGTVTLTCGSST GAVTSGNYPNWVQKPGQAPRGLIGGTKFL APGTPARFSGSLLGGKAALTLSGVQPEDEA EYYCVLWYSNRWVFGGGTKLTVLGGGDKT HTCPPCPAPPELLGGPSVFLFPPKPKDTLMI

			<p>SRTPEVTCVVVDVSHEDPEVKFNWYVDGVE VHNAKTKPCEEQYGSTYRCVSVLTVLHQDW LNGKEYKCKVSNKALPAPIEKTISKAKGQP REPQVYTLPPSREEMTKNQVSLTCLVKGFY PSDIAVEWESNGQPENNYKTTPVLDSGGS FFLYSKLTVDKSRWQQGNVFCFSVMHEALH NHYTQKSLSLSPGKGGGSGGGGSGGGGSG GGGSGGGGSGGGGSDKHTHTCPPCPAPELLG GPSVFLFPPKPKDTLMI SRTPEVTCVVVDV SHEDPEVKFNWYVDGVEVHNAKTKPCEEQY GSTYRCVSVLTVLHQDWLNGKEYKCKVSNK ALPAPIEKTISKAKGQPREPQVYTLPPSRE EMTKNQVSLTCLVKGFYPSDIAVEWESNGQ PENNYKTTPVLDSGGSFFLYSKLTVDKSR WQQGNVFCFSVMHEALHNHYTQKSLSLSPG K</p>
<p>1280.</p>	<p>CD19 9-B7 CC x I2C0- scFc_delGK</p>	<p>биспецифи ческая молекула HLE</p>	<p>DIVMTQSPFLSLPVTPEPASISCRSSQSLL HSNRFNYLDWYLQKPGQSPQLLIYLGSNRA SGVDPDRFSGSGSGTDFTLKISRVEAEDVGV YYCMQALQTPLTFCAGTKVEIKGGGSGGG GSGGGGQVQLVESGGGVVQPGRSLRLSCE ASGFIVSNYGMHWVRQAPGKCLEWVAAI GW EGSNKYAEPVKGRFTISRDKSKNTLSLQM SSLRAEDTALYYCARDRTIFGYGMDVWG QGTTVTVSSGGGSEVQLVESGGGLVQPGG SLKLSCAASGFTFNKYAMNWRQAPGKGL WVARIRSKYNNYATYYADSVKDRFTISRDD SKNTAYLQMNLLKTEDTAVYYCVRHGNFGN SYISYWAYWGQGLVTVSSGGGSGGGGSG GGGSQTVVTEPESLTVSPGGTVTLTCGSST GAVTSGNYPNWVQKPGQAPRGLIGTKFL APGTPARFSGSLLGGKAALTLSGVQPEDEA EYYCVLWYSNRWVFGGKLTVLGGGDKT HTCPPCPAPELLGGPSVFLFPPKPKDTLMI SRTPEVTCVVVDVSHEDPEVKFNWYVDGVE</p>

			VHNAKTKPCEEQYGSTYRCVSVLTVLHQDW LNGKEYKCKVSNKALPAPIEKTISKAKGQP REPQVYTLPPSREEMTKNQVSLTCLVKGFY PSDIAVEWESNGQPENNYKTTPPVLDSDGS FFLYSKLTVDKSRWQQGNVFCSCVMHEALH NHYTQKSLSLSPGGGGSGGGSGGGSGGG GSGGGSGGGGSDKTHTCPPCPAPELLGGP SVFLFPPKPKDTLMI SRTPEVTCVVVDVSH EDPEVKFNWYVDGVEVHNAKTKPCEEQYGS TYRCVSVLTVLHQDWLNGKEYKCKVSNKAL PAPIEKTISKAKGQPREPQVYTLPPSREEM TKNQVSLTCLVKGFYPSDIAVEWESNGQPE NNYKTTPPVLDSDGSFFLYSKLTVDKSRWQ QGNVFCSCVMHEALHNHYTQKSLSLSPGK
1281.	CD19 8-C2 CC x I2C0- scFc	VH CDR1	SYGIH
1282.	CD19 8-C2 CC x I2C0- scFc	VH CDR2	LTSYEGGNKYAESVKG
1283.	CD19 8-C2 CC x I2C0- scFc	VH CDR3	DRGTIFGDYGM DV
1284.	CD19 8-C2 CC x I2C0- scFc	VL CDR1	RSSQSL LHKNAFNYLD
1285.	CD19 8-C2 CC x I2C0- scFc	VL CDR2	LGSNRAS
1286.	CD19 8-C2 CC x I2C0- scFc	VL CDR3	MQALQTPFT
1287.	CD19 8-C2 CC x I2C0- scFc	VH	QVQLVESGGGVVQPGRSLRLSCAASGFTFS SYGIHWVRQAPGKCLEWVALTSYEGGNKY AESVKG RFTISRDN SKNTLYLQMNSLRAED

			TAVYYCAKDRGTIFGDYGMVWGQGTTVTVSS
1288.	CD19 8-C2 CC x I2C0- scFc	VL	DIVMTQSPLSLPVTPEPASISCRSSQSLL HKNAFNLDWYLQKPGQSPQLLIYLGSNRA SGVPDRFSGSGSGTDFTLKISRVEAEDVGV YYCMQALQTPFTFGCGTKVEIK
1289.	CD19 8-C2 CC x I2C0- scFc	scFv	DIVMTQSPLSLPVTPEPASISCRSSQSLL HKNAFNLDWYLQKPGQSPQLLIYLGSNRA SGVPDRFSGSGSGTDFTLKISRVEAEDVGV YYCMQALQTPFTFGCGTKVEIKGGGGSGGG GSGGGGSQVQLVESGGGVVQPRSLRLSCA ASGFTFSSYGIHWVRQAPGKCLEWVALTSY EGGNKYAESVKGRFTISRDNKNTLYLQM NSLRAEDTAVYYCAKDRGTIFGDYGMVWG QGTTVTVSS
1290.	CD19 8-C2 CC x I2C0- scFc	биспецифическая молекула	DIVMTQSPLSLPVTPEPASISCRSSQSLL HKNAFNLDWYLQKPGQSPQLLIYLGSNRA SGVPDRFSGSGSGTDFTLKISRVEAEDVGV YYCMQALQTPFTFGCGTKVEIKGGGGSGGG GSGGGGSQVQLVESGGGVVQPRSLRLSCA ASGFTFSSYGIHWVRQAPGKCLEWVALTSY EGGNKYAESVKGRFTISRDNKNTLYLQM NSLRAEDTAVYYCAKDRGTIFGDYGMVWG QGTTVTVSSGGGGSEVQLVESGGGLVQPGG SLKLSCAASGFTFNKYAMNWRQAPGKGLE WVARIRSKYNNYATYYADSVKDRFTISRDD SKNTAYLQMNLLKTEDTAVYYCVRHGNFGN SYISYWAYWGQGLTVTVSSGGGGSGGGSG GGGSQTVVTQEPSLTVSPGGTVTLTCSST GAVTSGNYPNWVQKPGQAPRGLIGGTKFL APGTPARFSGSLLGGKAALTLSGVQPEDEA EYYCVLWYSNRWVFGGGTKLTVL
1291.	CD19 8-C2 CC x I2C0- scFc	биспецифическая молекула	DIVMTQSPLSLPVTPEPASISCRSSQSLL HKNAFNLDWYLQKPGQSPQLLIYLGSNRA SGVPDRFSGSGSGTDFTLKISRVEAEDVGV

		HLE	<p> Y Y C M Q A L Q T P F T F G C G T K V E I K G G G S G G G G S G G G S Q V Q L V E S G G G V V Q P G R S L R L S C A A S G F T F S S Y G I H W V R Q A P G K C L E W V A L T S Y E G G N K Y Y A E S V K G R F T I S R D N S K N T L Y L Q M N S L R A E D T A V Y Y C A K D R G T I F G D Y G M D V W G Q G T T V T V S S G G G S E V Q L V E S G G G L V Q P G G S L K L S C A A S G F T F N K Y A M N W V R Q A P G K G L E W V A R I R S K Y N N Y A T Y Y A D S V K D R F T I S R D D S K N T A Y L Q M N N L K T E D T A V Y Y C V R H G N F G N S Y I S Y W A Y W G Q G T L V T V S S G G G S G G G G S G G G G S Q T V V T Q E P S L T V S P G G T V T L T C G S S T G A V T S G N Y P N W V Q Q K P G Q A P R G L I G G T K F L A P G T P A R F S G S L L G G K A A L T L S G V Q P E D E A E Y Y C V L W Y S N R W V F G G G T K L T V L G G G G D K T H T C P P C P A P E L L G G P S V F L F P P K P K D T L M I S R T P E V T C V V V D V S H E D P E V K F N W Y V D G V E V H N A K T K P C E E Q Y G S T Y R C V S V L T V L H Q D W L N G K E Y K C K V S N K A L P A P I E K T I S K A K G Q P R E P Q V Y T L P P S R E E M T K N Q V S L T C L V K G F Y P S D I A V E W E S N G Q P E N N Y K T T P P V L D S D G S F F L Y S K L T V D K S R W Q Q G N V F S C S V M H E A L H N H Y T Q K S L S L S P G K G G G S G G G S G G G G S G G G G S G G G S G G G S D K T H T C P P C P A P E L L G G P S V F L F P P K P K D T L M I S R T P E V T C V V V D V S H E D P E V K F N W Y V D G V E V H N A K T K P C E E Q Y G S T Y R C V S V L T V L H Q D W L N G K E Y K C K V S N K A L P A P I E K T I S K A K G Q P R E P Q V Y T L P P S R E E M T K N Q V S L T C L V K G F Y P S D I A V E W E S N G Q P E N N Y K T T P P V L D S D G S F F L Y S K L T V D K S R W Q Q G N V F S C S V M H E A L H N H Y T Q K S L S L S P G K </p>
1292.	CD19 8-C2 CC x I2C0- scFc_delGK	биспецифическая молекула HLE	<p> D I V M T Q S P L S L P V T P G E P A S I S C R S S Q S L L H K N A F N Y L D W Y L Q K P G Q S P Q L L I Y L G S N R A S G V P D R F S G S G S G T D F T L K I S R V E A E D V G V Y Y C M Q A L Q T P F T F G C G T K V E I K G G G S G G G </p>

			<p>GSGGGGSQQLVESGGGVVQPGRSLRLSCA ASGFTFSSYGIHWVRQAPGKCLEWVALTSY EGGNKYYAESVKGRFTISRDNKNTLYLQM NSLRAEDTAVYYCAKDRGTIFGDYGMVWVG QGTTVTVSSGGGGSEVQLVESGGGLVQPGG SLKLSCAASGFTFNKYAMNWVRQAPGKGLE WVARIRSKYNNYATYYADSVKDRFTISRDD SKNTAYLQMNLLKTEDTAVYYCVRHGNFGN SYISYWAYWGQGLTVTVSSGGGGSGGGGSG GGGSQTVVTQEPSLTVSPGGTVTLTCGSST GAVTSGNYPNWVQQKPGQAPRGLIGGTFKL APGTPARFSGSLLGKKAALTLSGVQPEDEA EYYCVLWYSNRWVFGGGTKLTVLGGGGDKT HTCPCCPAPELLGGPSVFLFPPKPKDTLMI SRTPEVTCVVVDVSHEDPEVKFNWYVDGVE VHNAKTKPCEEQYGSTYRCVSVLTVLHQDW LNGKEYKCKVSNKALPAPIEKTISKAKGQP REPQVYTLPPSREEMTKNQVSLTCLVKGFY PSDIAVEWESNGQPENNYKTTPPVLDSDGS FFLYSKLTVDKSRWQQGNVFCFSVMHEALH NHYTQKSLSLSPGGGGSGGGGGSGGGGGGG GSGGGGGSGGGGDKTHTCPCCPAPELLGGP SVFLFPPKPKDTLMI SRTPEVTCVVVDVSH EDPEVKFNWYVDGVEVHNAKTKPCEEQYGS TYRCVSVLTVLHQDWLNGKEYKCKVSNKAL PAPIEKTISKAKGQPREPQVYTLPPSREEM TKNQVSLTCLVKGFYPSDIAVEWESNGQPE NNYKTTPPVLDSDGSFFLYSKLTVDKSRWQ QGNVFCFSVMHEALHNHYTQKSLSLSPGK</p>
1293.	CD19 8-C8 CC x I2C0- scFc	VH CDR1	SYGIH
1294.	CD19 8-C8 CC x I2C0- scFc	VH CDR2	LTSYEGGNKYYAESVKG

1295.	CD19 8-C8 CC x I2C0- scFc	VH CDR3	DRGTIFGDYGMDV
1296.	CD19 8-C8 CC x I2C0- scFc	VL CDR1	RSSQSLHQNRFNYLD
1297.	CD19 8-C8 CC x I2C0- scFc	VL CDR2	LGSNRAS
1298.	CD19 8-C8 CC x I2C0- scFc	VL CDR3	MQALQTPFT
1299.	CD19 8-C8 CC x I2C0- scFc	VH	QVQLVESGGGVVQPGRSLRLSCAASGFTFS SYGIHWVRQAPGKCLEWVALTSYEGGNKYY AESVKGRFTISRDNKNTLYLQMNSLRAED TAVYYCAKDRGTIFGDYGMDVWVGQTTVTV SS
1300.	CD19 8-C8 CC x I2C0- scFc	VL	DIVMTQSPLSLPVTPEPASISCRSSQSL HQNRFNYLDWYLQKPGQSPQLLIYLG SNRASGVPDRFSGSGSDFTLKISRVEAEDVGV YYCMQALQTPFTFGCGTKVEIK
1301.	CD19 8-C8 CC x I2C0- scFc	scFv	DIVMTQSPLSLPVTPEPASISCRSSQSL HQNRFNYLDWYLQKPGQSPQLLIYLG SNRASGVPDRFSGSGSDFTLKISRVEAEDVGV YYCMQALQTPFTFGCGTKVEIKGGGSGGG GSGGGGSQVQLVESGGGVVQPGRSLRLSCA ASGFTFSYGIHWVRQAPGKCLEWVALTSY EGGNKYYAESVKGRFTISRDNKNTLYLQM NSLRAEDTAVYYCAKDRGTIFGDYGMDVWVG QTTVTVSS
1302.	CD19 8-C8 CC x I2C0- scFc	биспецифи ческая молекула	DIVMTQSPLSLPVTPEPASISCRSSQSL HQNRFNYLDWYLQKPGQSPQLLIYLG SNRASGVPDRFSGSGSDFTLKISRVEAEDVGV YYCMQALQTPFTFGCGTKVEIKGGGSGGG GSGGGGSQVQLVESGGGVVQPGRSLRLSCA

			<p>ASGFTFSSYGIHWVRQAPGKCLEWVALTSY EGGNKYAESVKGRFTISRDNKNTLYLQM NSLRAEDTAVYYCAKDRGTIFGDYGMVDWG QGTTVTVSSGGGGSEVQLVESGGGLVQPGG SLKLSCAASGFTFNKYAMNWVRQAPGKGLE WVARIRSKYNNYATYYADSVKDRFTISRDD SKNTAYLQMNNLKTEDTAVYYCVRHGNFGN SYISYWAYWGQGLVTVSSGGGGSGGGGSG GGGSQTVVTQEPSLTVSPGGTVTLTCGSST GAVTSGNYPNWVQKPGQAPRGLIGGTKFL APGTPARFSGSLLGGKAALTLSGVQPEDEA EYYCVLWYSNRWVFGGGTKLTVL</p>
1303.	<p>CD19 8-C8 CC x I2C0- scFc</p>	<p>биспецифи ческая молекула HLE</p>	<p>DIVMTQSPLSLPVTPEPASI SCRSSQSL HQNRFNYLDWYLQKPGQSPQLLIYLGSNRA SGVPDRFSGSGGTDFTLKISRVEAEDVGV YYCMQALQTPFTFGCGTKVEIKGGGGSGG GGGGGSQVQLVESGGGVVQPRSLRLS CAASGFTFSSYGIHWVRQAPGKCLEWVALTSY EGGNKYAESVKGRFTISRDNKNTLYLQM NSLRAEDTAVYYCAKDRGTIFGDYGMVDWG QGTTVTVSSGGGGSEVQLVESGGGLVQPGG SLKLSCAASGFTFNKYAMNWVRQAPGKGLE WVARIRSKYNNYATYYADSVKDRFTISRDD SKNTAYLQMNNLKTEDTAVYYCVRHGNFGN SYISYWAYWGQGLVTVSSGGGGSGGGGSG GGGSQTVVTQEPSLTVSPGGTVTLTCGSST GAVTSGNYPNWVQKPGQAPRGLIGGTKFL APGTPARFSGSLLGGKAALTLSGVQPEDEA EYYCVLWYSNRWVFGGGTKLTVLGGGDKT HTCPPCPAPELLGGPSVFLFPPKPKDTLMI SRTPEVTCVVVDVSHEDPEVKFNWYVDGVE VHNAKTKPCEEQYGSTYRCVSVLTVLHQDW LNGKEYKCKVSNKALPAPIEKTISKAKGQP REPQVYTLPPSREEMTKNQVSLTCLVKGFY PSDIAVEWESNGQPENNYKTTPVLDSDGS</p>

			FFLYSKLTVDKSRWQQGNVFSCSVMHEALH NHYTQKSLSLSPGKGGGGSGGGGGSGGGGSG GGGSGGGGGSGGGSDKHTHTCPPCPAPPELLG GPSVFLFPPKPKDTLMISRTPEVTCVVVDV SHEDPEVKFNWYVDGVEVHNAKTKPCEEQY GSTYRCVSVLTVLHQDWLNGKEYKCKVSNK ALPAPIEKTISKAKGQPREPQVYTLPPSRE EMTKNQVSLTCLVKGFYPSDIAVEWESNGQ PENNYKTTPVLDSDGSFFLYSKLTVDKSR WQQGNVFSCSVMHEALHNHYTQKSLSLSPG K
1304.	CD19 8-C8 CC x I2C0- scFc_delGK	биспецифи ческая молекула HLE	DIVMTQSPLSLPVTPEPASISCRSSQSL HQNRFNYLDWYLQKPGQSPQLLIYLGSNRA SGVPDRFSGSGSDTFTLTKISRVEADVGV YYCMQALQTPFTFGCGTKVEIKGGGSGGG GSGGGGSQVQLVESGGGVVQPGRSLRLSCA ASGFTFSSYGIHWVRQAPGKCLEWVALTSY EGGNKYYAESVKGRFTISRDNKNTLYLQM NSLRAEDTAVYYCAKDRGTIFGDYGMVWG QGTTVTVSSGGGSEVQLVESGGGLVQPGG SLKLSCAASGFTFNKYAMNWRQAPGKGLE WVARIRSKYNNYATYYADSVKDRFTISRDD SKNTAYLQMNNLKTEDTAVYYCVRHGNFGN SYISYWAYWGQGLVTVSSGGGGSGGGGSG GGGSTVVTQEPSTVSPGGTVTLTCSST GAVTSGNYPNWVQQKPGQAPRGLIGGTFKL APGTPARFSGSLLGGKAALTLSGVQPEDEA EYYCVLWYSNRWVFGGGTKLTVLGGGGDKT HTPCPAPPELLGGPSVFLFPPKPKDTLMI SRTPEVTCVVVDVSHEDPEVKFNWYVDGVE VHNAKTKPCEEQYGSTYRCVSVLTVLHQDW LNGKEYKCKVSNKALPAPIEKTISKAKGQ REPQVYTLPPSREEMTKNQVSLTCLVKGFY PSDIAVEWESNGQPENNYKTTPVLDSDGS FFLYSKLTVDKSRWQQGNVFSCSVMHEALH

			NHYTQKSLSLSPGGGGSGGGGSGGGGSGGG GSGGGGSGGGGSDKTHTCPPCPAPELLGGP SVFLFPPKPKDTLMI SRTPEVTCVVVDVSH EDPEVKFNWYVDGVEVHNAKTKPCEEQYGS TYRCVSVLTVLHQDWLNGKEYKCKVSNKAL PAPIEKTISKAKGQPREPQVYTLPPSREEM TKNQVSLTCLVKGFYPSDIAVEWESNGQPE NNYKTTTPVLDSDGSFFLYSKLTVDKSRWQ QGNVFSCSVMEALHNHYTQKSLSLSPGK
1305.	CD19 8-C9 CC x I2C0- scFc	VH CDR1	SYGIH
1306.	CD19 8-C9 CC x I2C0- scFc	VH CDR2	LTSYEGGNKYAESVKG
1307.	CD19 8-C9 CC x I2C0- scFc	VH CDR3	DRGTIFGDYGMEV
1308.	CD19 8-C9 CC x I2C0- scFc	VL CDR1	RSSQSLHHPNKLNYLD
1309.	CD19 8-C9 CC x I2C0- scFc	VL CDR2	LGSNRAS
1310.	CD19 8-C9 CC x I2C0- scFc	VL CDR3	MQALQTPFT
1311.	CD19 8-C9 CC x I2C0- scFc	VH	QVQLVESGGGVVQGRSLRLSCAASGFTFS SYGIHWVRQAPGKCLEWVALTSYEGGNKYY AESVKGRFTISRDN SKNTLYLQMNSLRAED TAVYYCAKDRGTIFGDYGMEVWGQTTVTV SS
1312.	CD19 8-C9 CC x I2C0- scFc	VL	DIVMTQSPLSLPVTPEPASISCRSSQSLL HPNKLNYLDWYMQKPGQSPQLLIYLGSNRA SGVPDRFSGSGGTDFTLKISRVEAEDVGV

			YYCMQALQTPFTFGCGTKVEIK
1313.	CD19 8-C9 CC x I2C0- scFc	scFv	DIVMTQSPLSLPVTPEPASISCRSSQSLL HPNKLNYLDWYMQPGQSPQLLIYLGSNRA SGVPDRFSGSGSGTDFTLKISRVEAEDVGV YYCMQALQTPFTFGCGTKVEIKGGGSGGG GSGGGGSQVQLVESGGGVVQPGRSLRLSCA ASGFTFSSYGIHWVRQAPGKCLEWVALTSY EGGNKYAESVKGRFTISRDNKNTLYLQM NSLRAEDTAVYYCAKDRGTIFGDYGMVWVG QGTTVTVSS
1314.	CD19 8-C9 CC x I2C0- scFc	биспецифи ческая молекула	DIVMTQSPLSLPVTPEPASISCRSSQSLL HPNKLNYLDWYMQPGQSPQLLIYLGSNRA SGVPDRFSGSGSGTDFTLKISRVEAEDVGV YYCMQALQTPFTFGCGTKVEIKGGGSGGG GSGGGGSQVQLVESGGGVVQPGRSLRLSCA ASGFTFSSYGIHWVRQAPGKCLEWVALTSY EGGNKYAESVKGRFTISRDNKNTLYLQM NSLRAEDTAVYYCAKDRGTIFGDYGMVWVG QGTTVTVSSGGGSEVQLVESGGGLVQPGG SLKLSCAASGFTFNKYAMNWRQAPGKLE WVARIRSKYNNYATYYADSVKDRFTISRDD SKNTAYLQMNKLTEDTAVYYCVRHGNFGN SYISYWAYWQGTLVTVSSGGGSGGGGSG GGGSQTVVTQEPSLTVSPGGTVTLTCGSST GAVTSGNYPNWVQKPGQAPRGLIGGTKFL APGTPARFSGSLLGGKAALTLSGVQPEDEA EYYCVLWYSNRWVFGGGTKLTVL
1315.	CD19 8-C9 CC x I2C0- scFc	биспецифи ческая молекула HLE	DIVMTQSPLSLPVTPEPASISCRSSQSLL HPNKLNYLDWYMQPGQSPQLLIYLGSNRA SGVPDRFSGSGSGTDFTLKISRVEAEDVGV YYCMQALQTPFTFGCGTKVEIKGGGSGGG GSGGGGSQVQLVESGGGVVQPGRSLRLSCA ASGFTFSSYGIHWVRQAPGKCLEWVALTSY EGGNKYAESVKGRFTISRDNKNTLYLQM NSLRAEDTAVYYCAKDRGTIFGDYGMVWVG

			<p> QGTTVTVSSGGGGSEVQLVESGGGLVQPGG SLKLSCAASGFTFNKYAMNWVRQAPGKGLE WVARIRSKYNNYATYYADSVKDRFTISRDD SKNTAYLQMNNLKTEDTAVYYCVRHGNFGN SYISYWAYWGQGLVTVSSGGGGSGGGGSG GGGSQTVVTQEPSTLTVSPGGTVTLTCGSST GAVTSGNYPNWVQKPGQAPRGLIGGTKFL APGTPARFSGSLLGGKAALTLSGVQPEDEA EYYCVLWYSNRWVFGGGTKLTVLGGGDKT HTCPPCPAPELLGGPSVFLFPPKPKDTLMI SRTPEVTCVVDVSHEDPEVKFNWYVDGVE VHNAKTKPCEEQYGSTYRCVSVLTVLHQDW LNGKEYCKVSNKALPAPIEKTISKAKGQP REPQVYTLPPSREEMTKNQVSLTCLVKGFY PSDIAVEWESNGQPENNYKTTPPVLDSDGS FFLYSKLTVDKSRWQQGNVFCSCVMHEALH NHYTQKLSLSLSPGKGGGGSGGGGGSGGGG GGGGGGGGGGGGSDKHTHTCPPCPAPELLG GPSVFLFPPKPKDTLMI SRTPEVTCVVDV SHEDPEVKFNWYVDGVEVHNAKTKPCEEQY GSTYRCVSVLTVLHQDWLNGKEYCKVSNK ALPAPIEKTISKAKGQPREPQVYTLPPSRE EMTKNQVSLTCLVKGFYPSDIAVEWESNGQ PENNYKTTPPVLDSDGSFFLYSKLTVDKSR WQQGNVFCSCVMHEALHNHYTQKLSLSLSPG K </p>
1316.	<p> CD19 8-C9 CC x I2C0- scFc_delGK </p>	<p> биспецифи ческая молекула HLE </p>	<p> DIVMTQSPLSLPVTPEPASISCRSSQSL HPNKLNYLDWYMQKPGQSPQLLIYLGSNRA SGVPDRFSGSGSGTDFTLKISRVEAEDVGV YYCMQALQTPFTFGCGTKVEIKGGGGSGGG GSGGGGSQVQLVESGGGVVQGRSLRLS ASGFTFSSYGIHWVRQAPGKCLEWVALTSY EGGNKYAESVKGRFTISRDNKNTLYLQ NSLRAEDTAVYYCAKDRGTIFGDYGMVW QGTTVTVSSGGGGSEVQLVESGGGLVQPGG </p>

			SLKLSCAASGFTFNKYAMNWVRQAPGKGLE WVARIRSKYNNYATYYADSVKDRFTISRDD SKNTAYLQMNNLKTEDTAVYYCVRHGNFGN SYISYWAYWGQGLVTVSSGGGGSGGGGSG GGGSQTVVTQEPSLTVSPGGTVTLTCGSST GAVTSGNYPNWVQQKPGQAPRGLIGGKFL APGTPARFSGSLLGGKAALTLSGVQPEDEA EYYCVLWYSNRWVFGGGTKLTVLGGGGDKT HTCPCCPAPELLGGPSVFLFPPKPKDTLMI SRTPEVTCVVVDVSHEDPEVKFNWYVDGVE VHNAKTKPCEEQYGSTYRCVSVLTVLHQDW LNGKEYKCKVSNKALPAPIEKTISKAKGQP REPQVYTLPPSREEMTKNQVSLTCLVKGFY PSDIAVEWESNGQPENNYKTTPPVLDSGDS FFLYSKLTVDKSRWQQGNVFCSCVMHEALH NHYTQKSLSLSPGGGGSGGGGSGGGGSGGG GSGGGSGGGGSDKTHTCPCCPAPELLGGP SVFLFPPKPKDTLMI SRTPEVTCVVVDVSH EDPEVKFNWYVDGVEVHNAKTKPCEEQYGS TYRCVSVLTVLHQDWLNGKEYKCKVSNKAL PAPIEKTISKAKGQPREPQVYTLPPSREEM TKNQVSLTCLVKGFYPSDIAVEWESNGQPE NNYKTTPPVLDSGDSFFLYSKLTVDKSRWQ QGNVFCSCVMHEALHNHYTQKSLSLSPGK
1317.	CD19 8-D1 CC x I2C0- scFc	VH CDR1	SYGIH
1318.	CD19 8-D1 CC x I2C0- scFc	VH CDR2	LTSYEGGNKYAESVKG
1319.	CD19 8-D1 CC x I2C0- scFc	VH CDR3	DRGTIFGDYGM DV
1320.	CD19 8-D1 CC x I2C0-	VL CDR1	RSSQSLHKNRNFNYLD

	scFc		
1321.	CD19 8-D1 CC x I2C0- scFc	VL CDR2	LGSNRAS
1322.	CD19 8-D1 CC x I2C0- scFc	VL CDR3	MQALQTPFT
1323.	CD19 8-D1 CC x I2C0- scFc	VH	QVQLVESGGGVVQPGRSLRLSCAASGFTFS SYGIHWVRQAPGKCLEWVALTSYEGGNKYY AESVKGRFTISRDN SKNTLYLQMNSLRAED TAVYYCAKDRGTIFGDYGM DVWGQT TVTV SS
1324.	CD19 8-D1 CC x I2C0- scFc	VL	DIVMTQSPLSLPVT PGEPA SISRSSQSLL HKNRFNYLDWYVQKPGQSPQLLIYLG SNRA SGVPDRFSGSGSGTDFTL KISRVEAEDVGV YYCMQALQTPFTFGCGTKVEIK
1325.	CD19 8-D1 CC x I2C0- scFc	scFv	DIVMTQSPLSLPVT PGEPA SISRSSQSLL HKNRFNYLDWYVQKPGQSPQLLIYLG SNRA SGVPDRFSGSGSGTDFTL KISRVEAEDVGV YYCMQALQTPFTFGCGTKVEIKGGGSGGG GSGGGGSQVQLVESGGGVVQPGRSLRLSCA ASGFTFSSYGIHWVRQAPGKCLEWVALTSY EGGNKYAESVKGRFTISRDN SKNTLYLQM NSLRAEDTAVYYCAKDRGTIFGDYGM DVWG QGTTVTVSS
1326.	CD19 8-D1 CC x I2C0- scFc	биспецифи ческая молекула	DIVMTQSPLSLPVT PGEPA SISRSSQSLL HKNRFNYLDWYVQKPGQSPQLLIYLG SNRA SGVPDRFSGSGSGTDFTL KISRVEAEDVGV YYCMQALQTPFTFGCGTKVEIKGGGSGGG GSGGGGSQVQLVESGGGVVQPGRSLRLSCA ASGFTFSSYGIHWVRQAPGKCLEWVALTSY EGGNKYAESVKGRFTISRDN SKNTLYLQM NSLRAEDTAVYYCAKDRGTIFGDYGM DVWG QGTTVTVSSGGGGSEVQLVESGGGLVQPGG SLKLSCAASGFTFNKYAMNWRQAPGKGLE

			<p>WVARIRSKYNNYATYYADSVKDRFTISRDD SKNTAYLQMNLLKTEDTAVYYCVRHGNFGN SYISYWAYWGQGLVTVSSGGGGSGGGGSG GGGSQTVVTQEPSLTVSPGGTVTLTCGSST GAVTSGNYPNWVQQKPGQAPRGLIGGTKFL APGTPARFSGSLLGGKAALTLSGVQPEDEA EYYCVLWYSNRWVFGGGTKLTVL</p>
1327.	<p>CD19 8-D1 CC x I2C0- scFc</p>	<p>биспецифи ческая молекула HLE</p>	<p>DIVMTQSPLSLPVTGPASPISCRSSQSLL HKNRFNYLDWYVQKPGQSPQLLIYLGSNRA SGVPDRFSGSGSGTDFTLKISRVEAEDVGV YYCMQALQTPFTFGCGTKVEIKGGGSGGG GSGGGGSQVQLVESGGGVVQPGRSLRLSCA ASGFTFSSYGIHWVRQAPGKCLEWVALTSY EGGNKYAESVKGRFTISRDNKNTLYLQ NSLRAEDTAVYYCAKDRGTIFGDYGMVWV QGTTVTVSSGGGGSEVQLVESGGGLVQPGG SLKLSCAASGFTFNKYAMNWRQAPGKGLE WVARIRSKYNNYATYYADSVKDRFTISRDD SKNTAYLQMNLLKTEDTAVYYCVRHGNFGN SYISYWAYWGQGLVTVSSGGGGSGGGGSG GGGSQTVVTQEPSLTVSPGGTVTLTCGSST GAVTSGNYPNWVQQKPGQAPRGLIGGTKFL APGTPARFSGSLLGGKAALTLSGVQPEDEA EYYCVLWYSNRWVFGGGTKLTVLGGGGDKT HTCPPCPAPELLGGPSVFLFPPKPKDTLMI SRTPEVTCVVVDVSHEDPEVKFNWYVDGVE VHNAKTKPCEEQYGYSTYRCVSVLTVLHQDW LNGKEYCKVSNKALPAPIEKTKSKAKGQP REPQVYTLPPSREEMTKNQVSLTCLVKGFY PSDIAVEWESNGQPENNYKTTPPVLDSDGS FFLYSKLTVDKSRWQQGNVFCFSVMHEALH NHYTQKSLSLSPGKGGGGSGGGGSGGGGSG GGGSGGGGGSGGGGDKHTHTCPPCPAPELLG GPSVFLFPPKPKDTLMISRTPEVTCVVVDV SHEDPEVKFNWYVDGVEVHNAKTKPCEEQY</p>

			<p>GSTYRCVSVLTVLHQDWLNGKEYKCKVSNK ALPAPIEKTISKAKGQPREPQVYTLPPSRE EMTKNQVSLTCLVKGFYPSDIAVEWESNGQ PENNYKTTTPVLDSGSAFLYSLKLTVDKSR WQQGNVFSCSVMHEALHNHYTQKSLSLSPG K</p>
1328.	CD19 8-D1 CC x I2C0- scFc_delGK	биспецифи ческая молекула HLE	<p>DIVMTQSPVLSLPTVTPGEPASISCRSSQSL HKNRFNYLDWYVQKPGQSPQLLIYLGSNRA SGVPRFRSGSGSGTDFTLKISRVEAEDVGV YYCMQALQTPFTFGCGTKVEIKGGGSGGG GSGGGGSQVQLVESGGGVVQPGRSLRLSCA ASGFTFSSYGIHWVRQAPGKCLEWVALTSY EGGNKYAESVKGRFTISRDNSKNTLYLQM NSLRAEDTAVYYCAKDRGTFYFDYGMVWG QGTITVTVSSGGGSEVQLVESGGGLVQPGG SLKLSCAASGFTFNKYAMNWRQAPGKGLE WVARIRSKYNNYATYYADSVKDRFTISRDD SKNTAYLQMNLLKTEDTAVYYCVRHGNFGN SYISYWAYWGQGLVTVSSGGGSGGGGSGG GGGQTVVTVQEPSTVSPGGTVTLTCSST GAVTSGNYPNWVQKPGQAPRGLIGGTFKL APGTPARFSGSLLGGKAALTLVSGVPEDEA EYYCVLWYSNRWVFGGGTKLTVLGGGDKT HTCPPCPAPELLGGPSVFLFPPKPKDTLMI SRTPEVTCVVVDVSHEDPEVKFNWYVDGVE VHNAKTKPCEEQYGSTYRCVSVLTVLHQDW LNGKEYKCKVSNKALPAPIEKTISKAKGQ REPQVYTLPPSREEMTKNQVSLTCLVKGFY PSDIAVEWESNGQPENNYKTTTPVLDSGSA FFLYSLKLTVDKSRWQGNVFSCSVMHEALH NHYTQKSLSLSPGGGSGGGGSGGGGSGGG GSGGGGSGGGSDKTHHTCPPCPAPELLGGP SVFLFPPKPKDTLMI SRTPEVTCVVVDVSH EDPEVKFNWYVDGVEVHNAKTKPCEEQYGS TYRCVSVLTVLHQDWLNGKEYKCKVSNKAL</p>

			PAPIEKTISKAKGQPREPQVYTLPPSREEM TKNQVSLTCLVKGFYPSDIAVEWESNGQPE NNYKTTTPVLDSDGSFFLYSKLTVDKSRWQ QGNVFSCSVMHEALHNHYTQKSLSLSPGK
1329.	CD19 9-A8 CC x I2C0- scFc	VH CDR1	SYGIH
1330.	CD19 9-A8 CC x I2C0- scFc	VH CDR2	LTSYEGGNKYAESVKG
1331.	CD19 9-A8 CC x I2C0- scFc	VH CDR3	DRGTIFGDYGM DV
1332.	CD19 9-A8 CC x I2C0- scFc	VL CDR1	RSSQSLHRNSWNYLD
1333.	CD19 9-A8 CC x I2C0- scFc	VL CDR2	LGSNRAS
1334.	CD19 9-A8 CC x I2C0- scFc	VL CDR3	MQALQTPFT
1335.	CD19 9-A8 CC x I2C0- scFc	VH	QVQLVESGGGVVQPGRSLRLSCAASGFTFS SYGIHWVRQAPGKCLEWVALTSYEGGNKYY AESVKGRTISRDN SKNTLYLQMNSLRAED TAVYYCAKDRGTIFGDYGM DVWGQTTVTV SS
1336.	CD19 9-A8 CC x I2C0- scFc	VL	DIVMTQSPLSLPVTPEPASISCRSSQSLL HRNSWNYLDWYLQKPGQSPQLLIYLGSNRA SGVPDRFSGSGGTDFTLKISRVEAEDVGV YYCMQALQTPFTFGCGTKVEIK
1337.	CD19 9-A8 CC x I2C0- scFc	scFv	DIVMTQSPLSLPVTPEPASISCRSSQSLL HRNSWNYLDWYLQKPGQSPQLLIYLGSNRA SGVPDRFSGSGGTDFTLKISRVEAEDVGV YYCMQALQTPFTFGCGTKVEIKGGGSGGG

			GSGGGGSQVQLVESGGGVVQPGRSLRLSCA ASGFTFSSYGIHWVRQAPGKCLEWVALTSY EGGNKYAESVKGRFTISRDNKNTLYLQM NSLRAEDTAVYYCAKDRGTIFGDYGMVDVWG QGTTVTVSS
1338.	CD19 9-A8 CC x I2C0- scFc	биспецифи ческая молекула	DIVMTQSPFLSLPVTPEPASISCRSSQSLL HRNSWNYLDWYLQKPGQSPQLLIYLGSNRA SGVPDRFSGSGSGTDFTLKISRVEAEDVGV YYCMQALQTPFTFGCGTKVEIKGGGSGGG GSGGGGSQVQLVESGGGVVQPGRSLRLSCA ASGFTFSSYGIHWVRQAPGKCLEWVALTSY EGGNKYAESVKGRFTISRDNKNTLYLQM NSLRAEDTAVYYCAKDRGTIFGDYGMVDVWG QGTTVTVSSGGGGSEVQLVESGGGLVQPGG SLKLSCAASGFTFNKYAMNWVRQAPGKGLE WVARIRSKYNNYATYYADSVKDRFTISRDD SKNTAYLQMNLLKTEDTAVYYCVRHGNFGN SYISYWAYWGQGLVTVSSGGGGSGGGGSG GGGSQTVVTQEPSLTVSPGGTVTLTCGSST GAVTSGNYPNWVQKPGQAPRGLIGTKFL APGTPARFSGSLLGGKAALTLSGVQPEDEA EYYCVLWYSNRWVFGGGTKLTVL
1339.	CD19 9-A8 CC x I2C0- scFc	биспецифи ческая молекула HLE	DIVMTQSPFLSLPVTPEPASISCRSSQSLL HRNSWNYLDWYLQKPGQSPQLLIYLGSNRA SGVPDRFSGSGSGTDFTLKISRVEAEDVGV YYCMQALQTPFTFGCGTKVEIKGGGSGGG GSGGGGSQVQLVESGGGVVQPGRSLRLSCA ASGFTFSSYGIHWVRQAPGKCLEWVALTSY EGGNKYAESVKGRFTISRDNKNTLYLQM NSLRAEDTAVYYCAKDRGTIFGDYGMVDVWG QGTTVTVSSGGGGSEVQLVESGGGLVQPGG SLKLSCAASGFTFNKYAMNWVRQAPGKGLE WVARIRSKYNNYATYYADSVKDRFTISRDD SKNTAYLQMNLLKTEDTAVYYCVRHGNFGN SYISYWAYWGQGLVTVSSGGGGSGGGGSG

			GGGSQTVVTQEPSTLVSPGGTVTLTCGSST GAVTSGNYPNWVQQKPGQAPRGLIGGTKFL APGTPARFSGSLLGGKAALTLSGVQPEDEA EYYCVLWYSNRWVFGGGTKLTVLGGGGDKT HTCPPCPAPELLGGPSVFLFPPKPKDTLMI SRTPEVTCVVVDVSHEDPEVKFNWYVDGVE VHNAKTKPCEEQYGSTYRCVSVLTVLHQDW LNGKEYKCKVSNKALPAPIEKTISKAKGQP REPQVYTLPPSREEMTKNQVSLTCLVKGFY PSDIAVEWESNGQPENNYKTTPPVLDSGDS FFLYSKLTVDKSRWQQGNVFSCSVMHEALH NHYTQKLSLSLSPGKGGGGSGGGGGSGGGGSG GGGGGGGGGGGGDKTHTCPPCPAPELLG GPSVFLFPPKPKDTLMISRTPEVTCVVVDV SHEDPEVKFNWYVDGVEVHNAKTKPCEEQY GSTYRCVSVLTVLHQDWLNGKEYKCKVSNK ALPAPIEKTISKAKGQPREPQVYTLPPSRE EMTKNQVSLTCLVKGFYPSDIAVEWESNGQ PENNYKTTPPVLDSGDSFFLYSKLTVDKSR WQQGNVFSCSVMHEALHNHYTQKLSLSLSPG K
1340.	CD19 9-A8 CC x I2C0- scFc_delGK	биспецифи ческая молекула HLE	DIVMTQSPLSLPVTGPASPISCRSSQSL HRNSWNYLDWYLQKPGQSPQLLIYLGSNRA SGVPDRFSGSGGTDFTLKISRVEAEDVGV YYCMQALQTPFTFGCGTKVEIKGGGGSGGG GSGGGGSQVLVESGGGVVQGRSLRLSCA ASGFTFSSYGIHWVRQAPGKCLEWVALTSY EGGNKYAESVKGRFTISRDNKNTLYLQM NSLRAEDTAVYYCAKDRGTIFGDYGMVWVG QGTTVTVSSGGGGSEVQLVESGGGLVQPGG SLKLSCAASGFTFNKYAMNWRQAPGKGLE WVARIRSKYNNYATYYADSVKDRFTISRDD SKNTAYLQMNLLKTEDTAVYYCVRHGNFGN SYISYWAYWGQGLTVTVSSGGGGSGGGGGSG GGGSQTVVTQEPSTLVSPGGTVTLTCGSST

			<p>GAVTSGNYPNWVQQKPGQAPRGLIGGTKFL APGTPARFSGSLLGGKAALTLSGVQPEDEA EYYCVLWYSNRWVFGGGTKLTVLGGGGDKT HTCPPCPAPELLGGPSVFLFPPKPKDTLMI SRTPEVTCVVVDVSHEDPEVKFNWYVDGVE VHNAKTKPCEEQYGSTYRCVSVLTVLHQDW LNGKEYCKVSNKALPAPIEKTISKAKGQP REPQVYTLPPSREEMTKNQVSLTCLVKGFY PSDIAVEWESNGQPENNYKTTPVLDSGGS FFLYSKLTVDKSRWQQGNVFCSCVMHEALH NHYTQKLSLSLSPGGGGSGGGSGGGSGGG GSGGGSGGGGSDKTHTCPPCPAPELLGGP SVFLFPPKPKDTLMI SRTPEVTCVVVDVSH EDPEVKFNWYVDGVEVHNAKTKPCEEQYGS TYRCVSVLTVLHQDWLNGKEYCKVSNKAL PAPIEKTISKAKGQPREPQVYTLPPSREEM TKNQVSLTCLVKGFYPSDIAVEWESNGQPE NNYKTTPVLDSGGSFFLYSKLTVDKSRWQ QGNVFCSCVMHEALHNHNTQKLSLSLSPGK</p>
1341.	CD19 9-C1 CC x I2C0- scFc	VH CDR1	SYGIH
1342.	CD19 9-C1 CC x I2C0- scFc	VH CDR2	LTSYEGGNKYAESVKG
1343.	CD19 9-C1 CC x I2C0- scFc	VH CDR3	DRGTIFGDYGM DV
1344.	CD19 9-C1 CC x I2C0- scFc	VL CDR1	RSSQSLLHPNHFNYLD
1345.	CD19 9-C1 CC x I2C0- scFc	VL CDR2	LGSNRAS
1346.	CD19 9-C1	VL CDR3	MQALQTPFT

	CC x I2C0- scFc		
1347.	CD19 9-C1 CC x I2C0- scFc	VH	QVQLVESGGGVVQPGRSLRLSCAASGFTFS SYGIHWVRQAPGKCLEWVALTSYEGGNKYY AESVKGRFTISRDNKNTLYLQMNSLRAED TAVYYCAKDRGTIFGDYGMVWVGQTTVTV SS
1348.	CD19 9-C1 CC x I2C0- scFc	VL	DIVMTQSPLSLPVTPEPASISCRSSQSLL HPNHFNLDWYLQKPGQSPQLLIYLGSNRA SGVPDRFSGSGSGTDFTLKISRVEAEDVGV YYCMQALQTPFTFGCGTKVEIK
1349.	CD19 9-C1 CC x I2C0- scFc	scFv	DIVMTQSPLSLPVTPEPASISCRSSQSLL HPNHFNLDWYLQKPGQSPQLLIYLGSNRA SGVPDRFSGSGSGTDFTLKISRVEAEDVGV YYCMQALQTPFTFGCGTKVEIKGGGSGGG GSGGGGSQVQLVESGGGVVQPGRSLRLS CAASGFTFSSYGIHWVRQAPGKCLEWVALTSY EGGNKYYAESVKGRFTISRDNKNTLYLQ MNSLRAEDTAVYYCAKDRGTIFGDYGMVW VGQTTVTVSS
1350.	CD19 9-C1 CC x I2C0- scFc	биспецифи ческая молекула	DIVMTQSPLSLPVTPEPASISCRSSQSLL HPNHFNLDWYLQKPGQSPQLLIYLGSNRA SGVPDRFSGSGSGTDFTLKISRVEAEDVGV YYCMQALQTPFTFGCGTKVEIKGGGSGGG GSGGGGSQVQLVESGGGVVQPGRSLRLS CAASGFTFSSYGIHWVRQAPGKCLEWVALTSY EGGNKYYAESVKGRFTISRDNKNTLYLQ MNSLRAEDTAVYYCAKDRGTIFGDYGMVW VGQTTVTVSSGGGGSEVQLVESGGGLVQ PGGSLKLSCAASGFTFNKYAMNWRQAPGK GLEWVARIRSKYNNYATYYADSVKDRFTI SRDDSKNTAYLQMNKLTEDTAVYYCVRH GNFGNSYISYWAYWGQGLVTVSSGGGG SGGGSGGGGSGGGSQT VVTQEPSLTVSP GGTVTLTCGSSTGAVTSGNYPNWVQK KPGQAPRGLIGGTKFL

			APGTPARFSGSLLGGKAALTLSGVQPEDEA EYYCVLWYSNRWVFGGGTKLTVL
1351.	CD19 9-C1 CC x I2C0- scFc	биспецифи- ческая молекула HLE	DIVMTQSPLSLPVTPEPASISCRSSQSLL HPNHFNLDWYLQKPGQSPQLLIYLGSNRA SGVPDRFSGSGSGTDFTLKISRVEAEDVGV YYCMQALQTPFTFGCGTKVEIKGGGSGGG GSGGGGSQVQLVESGGGVVQPGRSLRLSCA ASGFTFSSYGIHWVRQAPGKCLEWVALTSY EGGNKYAESVKGRFTISRDNKNTLYLQM NSLRAEDTAVYYCAKDRGTIFGDYGMVWG QGTTVTVSSGGGGSEVQLVESGGGLVQPGG SLKLSCAASGFTFNKYAMNWVRQAPGKGLE WVARIRSKYNNYATYYADSVKDRFTISRDD SKNTAYLQMNLLKTEDTAVYYCVRHGNFGN SYISYWAYWGQGLTVTVSSGGGGSGGGGSG GGGSQTVVTQEPSLTVSPGGTVTLTCGSST GAVTSGNYPNWVQKPGQAPRGLIGGTFKL APGTPARFSGSLLGGKAALTLSGVQPEDEA EYYCVLWYSNRWVFGGGTKLTVLGGGDKT HTCPPCPAPELLGGPSVFLFPPKPKDTLMI SRTPEVTCVVVDVSHEDPEVKFNWYVDGVE VHNAKTKPCEEQYGSTYRCVSVLTVLHQDW LNGKEYKCKVSNKALPAPIEKTISKAKGQP REPQVYTLPPSREEMTKNQVSLTCLVKGFY PSDIAVEWESNGQPENNYKTTPPVLDSDGS FFLYSKLTVDKSRWQQGNVFSCSVMHEALH NHYTQKSLSLSPGKGGGGSGGGGSGGGGSG GGGSGGGSGGGGSDKHTHTCPPCPAPELLG GPSVFLFPPKPKDTLMISRTPEVTCVVVDV SHEDPEVKFNWYVDGVEVHNAKTKPCEEQY GSTYRCVSVLTVLHQDWLNGKEYKCKVSNK ALPAPIEKTISKAKGQPREPQVYTLPPSRE EMTKNQVSLTCLVKGFYPSDIAVEWESNGQ PENNYKTTPPVLDSDGSFFLYSKLTVDKSR WQQGNVFSCSVMHEALHNHYTQKSLSLSPG

			K
1352.	CD19 9-C1 CC x I2C0- scFc	биспецифи ческая молекула HLE	<p> DIVMTQSPLSLPVTPEPASI SCRSSQSLL HPNHFNYLDWYLQKPGQSPQLLIYLGSNRA SGVPDRFSGSGSGTDFTLKI SRVEAEDVGV YYCMQALQTPFTFGCGTKVEIKGGGSGGG GSGGGGSQVQLVESGGGVVQPGRSLRLSCA ASGFTFSSYGIHWVRQAPGKCLEWVALTSY EGGNKYYAESVKGRFTISRDNKNTLYLQM NSLRAEDTAVYYCAKDRGTIFGDYGMVDWVG QGTTVTVSSGGGGSEVQLVESGGGLVQPGG SLKLSCAASGFTFNKYAMNWVRQAPGKGLE WVARIRSKYNNYATYYADSVKDRFTISRDD SKNTAYLQMNLLKTEDTAVYYCVRHGNFGN SYISYWAYWGQGLTVTVSSGGGGSGGGGSG GGGSQTVVTQEPSLTVSPGGTVTLTCSST GAVTSGNYPNWVQKPGQAPRGLIGGTKFL APGTPARFSGSLLGGKAALTLSGVQPEDEA EYYCVLWYSNRWVFGGGTKLTVLGGGDKT HTCPCPAPELLGGPSVFLFPPKPKDTLMI SRTPEVTCVVVDVSHEDPEVKFNWYVDGVE VHNAKTKPCEEQYGSTYRCVSVLTVLHQDW LNGKEYKCKVSNKALPAPIEKTISKAKGQP REPQVYTLPPSREEMTKNQVSLTCLVKGFY PSDIAVEWESNGQPENNYKTTPPVLDSDGS FFLYSKLTVDKSRWQQGNVFSCSVMHEALH NHYTQKLSLSLSPGGGGSGGGGSGGGGSGGG GSGGGGSGGGGDKTHTCPCPAPELLGGP SVFLFPPKPKDTLMISRTPEVTCVVVDVSH EDPEVKFNWYVDGVEVHNAKTKPCEEQYGS TYRCVSVLTVLHQDWLNGKEYKCKVSNKAL PAPIEKTISKAKGQPREPQVYTLPPSREEM TKNQVSLTCLVKGFYPSDIAVEWESNGQPE NNYKTTPPVLDSDGSFFLYSKLTVDKSRWQ QGNVFSCSVMHEALHNHYTQKLSLSLSPGK </p>
1353.	CD19 0-B6	VH CDR1	SYGIH

	CC x I2C0- scFc		
1354.	CD19 0-B6 CC x I2C0- scFc	VH CDR2	LTSYEGGNKYAESVKG
1355.	CD19 0-B6 CC x I2C0- scFc	VH CDR3	DRGTIFGDYGMDV
1356.	CD19 0-B6 CC x I2C0- scFc	VL CDR1	RSSQSLHKNFNYLD
1357.	CD19 0-B6 CC x I2C0- scFc	VL CDR2	LGSNRAS
1358.	CD19 0-B6 CC x I2C0- scFc	VL CDR3	MQALQTPFT
1359.	CD19 0-B6 CC x I2C0- scFc	VH	QVQLVESGGGVVQPGRSLRLSCAASGFTFS SYGIHWVRQAPGKCLEWVALTSYEGGNKYY AESVKGRTISRDNKNTLYLQMNSLRAED TAVYYCAKDRGTIFGDYGMDVWGQGTTVTV SS
1360.	CD19 0-B6 CC x I2C0- scFc	VL	DIVMTQSPLSLPVTPEPASISCRSSQSL HKNSFNYLDWYLQKPGQSPQLLIYLG SNRASGVPDRFSGSGSDFTLKISRVEA EDVGVYYCMQALQTPFTFGCGTKVEIK
1361.	CD19 0-B6 CC x I2C0- scFc	scFv	DIVMTQSPLSLPVTPEPASISCRSSQSL HKNSFNYLDWYLQKPGQSPQLLIYLG SNRASGVPDRFSGSGSDFTLKISRVEA EDVGVYYCMQALQTPFTFGCGTKVEIK GGGGGGGSGGGGSQVQLVESGGGVV QPGRSLRLSCAASGFTFSYGIHWVRQ APGKCLEWVALTSYEGGNKYAESVKG RTISRDNKNTLYLQMNSLRAEDTAVY YCAKDRGTIFGDYGMDVWGQGTTVTV SS

1362.	CD19 0-B6 CC x I2C0- scFc	биспецифическая молекула	DIVMTQSPFLSLPVTPEPASI SCRSSQSLL HKNSFNLDWYLQKPGQSPQLLIYLGSNRA SGVPDRFSGSGSGTDFTLKISRVEAEDVGV YYCMQALQTPFTFGCGTKVEIKGGGSGGG GSGGGGSQVQLVESGGGVVQPGRSLRLSCA ASGFTFSSYGIHWVRQAPGKCLEWVALTSY EGGNKYAESVKGRFTISRDN SKNTLYLQM NSLRAEDTAVYYCAKDRGTIFGDYGM DVWG QGT TVTVSSGGGSEVQLVESGGGLVQPGG SLKLSCAASGFTFNKYAMNWRQAPGKGLE WVARIRSKYNNYATYYADSVKDRFTISRDD SKNTAYLQMN NLKTEDTAVYYCVRHGNFGN SYISYWAYWGQGLTVTVSSGGGSGGGGSG GGGSQTVVTQEPSLTVSPGGTVTLTCGSST GAVTSGNYPNWVQKPGQAPRGLIGGTKFL APGTPARFSGSLLGGKAALTL SGVQPEDEA EYYCVLWYSNRWVFGGGTKLTVL
1363.	CD19 0-B6 CC x I2C0- scFc	биспецифическая молекула HLE	DIVMTQSPFLSLPVTPEPASI SCRSSQSLL HKNSFNLDWYLQKPGQSPQLLIYLGSNRA SGVPDRFSGSGSGTDFTLKISRVEAEDVGV YYCMQALQTPFTFGCGTKVEIKGGGSGGG GSGGGGSQVQLVESGGGVVQPGRSLRLSCA ASGFTFSSYGIHWVRQAPGKCLEWVALTSY EGGNKYAESVKGRFTISRDN SKNTLYLQM NSLRAEDTAVYYCAKDRGTIFGDYGM DVWG QGT TVTVSSGGGSEVQLVESGGGLVQPGG SLKLSCAASGFTFNKYAMNWRQAPGKGLE WVARIRSKYNNYATYYADSVKDRFTISRDD SKNTAYLQMN NLKTEDTAVYYCVRHGNFGN SYISYWAYWGQGLTVTVSSGGGSGGGGSG GGGSQTVVTQEPSLTVSPGGTVTLTCGSST GAVTSGNYPNWVQKPGQAPRGLIGGTKFL APGTPARFSGSLLGGKAALTL SGVQPEDEA EYYCVLWYSNRWVFGGGTKLTVLGGGDKT HTCPPCPAPPELLGGPSVFLFPPKPKDTLMI

			<p>SRTPEVTCVVVDVSHEDPEVKFNWYVDGVE VHNAKTKPCEEQYGSTYRCVSVLTVLHQDW LNGKEYKCKVSNKALPAPIEKTISKAKGQP REPQVYTLPPSREEMTKNQVSLTCLVKGFY PSDIAVEWESNGQPENNYKTTPVLDSGDG FFLYSKLTVDKSRWQQGNVFSCSVMHEALH NHYTQKSLSLSPGKGGGGGGGGGGGGGGG GGGGGGGGGGGGSDKHTHTCPPCPAPELLG GPSVFLFPPKPKDTLMI SRTPEVTCVVVDV SHEDPEVKFNWYVDGVEVHNAKTKPCEEQY GSTYRCVSVLTVLHQDWLNGKEYKCKVSNK ALPAPIEKTISKAKGQPREPQVYTLPPSRE EMTKNQVSLTCLVKGFYPSDIAVEWESNGQ PENNYKTTPVLDSGDGFFLYSKLTVDKSR WQQGNVFSCSVMHEALHNHYTQKSLSLSPG K</p>
1364.	CD19 0-B6 CC x I2C0- scFc_delGK	биспецифи ческая молекула HLE	<p>DIVMTQSPFLSLPVTGPGEPAISCRSSQSLL HKNSFNLDWYLQKPGQSPQLLIYLGSNRA SGVDPDRFSGSGSDFTLKISRVEAEDVGV YYCMQALQTPFTFGCGTKVEIKGGGGGGG GSGGGGSQVQLVESGGGVVQPGRSLRLSCA ASGFTFSSYGIHWVRQAPGKCLEWVALTSY EGGNKYAESVKGRFTISRDNKNTLYLQM NSLRAEDTAVYYCAKDRGTIFGDYGMVWVG QGTTVTVSSGGGGSEVQLVESGGGLVQPGG SLKLSCAASGFTFNKYAMNWVRQAPGKGL WVARIRSKYNNYATYYADSVKDRFTISRDD SKNTAYLQMNLLKTEDTAVYYCVRHGNFGN SYISYWAYWGQGLVTVSSGGGGGGGGGGG GGGSQTVVTQEPSTLVSPGGTVTLTCGSST GAVTSGNYPNWVQKPGQAPRGLIGTKFL APGTPARFSGSLLGGKAALTLSGVQPEDEA EYYCVLWYSNRWVFGGGTKLTVLGGGGDKT HTCPPCPAPELLGGPSVFLFPPKPKDTLMI SRTPEVTCVVVDVSHEDPEVKFNWYVDGVE</p>

			VHNAKTKPCEEQYGSTYRCVSVLTVLHQDW LNGKEYKCKVSNKALPAPIEKTISKAKGQP REPQVYTLPPSREEMTKNQVSLTCLVKGFY PSDIAVEWESNGQPENNYKTTPPVLDSDGS FFLYSKLTVDKSRWQQGNVFCSCVMHEALH NHYTQKSLSLSPGGGGSGGGSGGGSGGG GSGGGSGGGGSDKTHTCPPCPAPELLGGP SVFLFPPKPKDTLMI SRTPEVTCVVVDVSH EDPEVKFNWYVDGVEVHNAKTKPCEEQYGS TYRCVSVLTVLHQDWLNGKEYKCKVSNKAL PAPIEKTISKAKGQPREPQVYTLPPSREEM TKNQVSLTCLVKGFYPSDIAVEWESNGQPE NNYKTTPPVLDSDGSFFLYSKLTVDKSRWQ QGNVFCSCVMHEALHNHYTQKSLSLSPGK
1365.	CD19 0-C12 CC x I2C0- scFc	VH CDR1	SYGIH
1366.	CD19 0-C12 CC x I2C0- scFc	VH CDR2	LTSYEGGNKYAESVKG
1367.	CD19 0-C12 CC x I2C0- scFc	VH CDR3	DRGTIFGDYGM DV
1368.	CD19 0-C12 CC x I2C0- scFc	VL CDR1	RSSQSL LHKNHFNYLD
1369.	CD19 0-C12 CC x I2C0- scFc	VL CDR2	LGSNRAS
1370.	CD19 0-C12 CC x I2C0- scFc	VL CDR3	MQALQTPFT
1371.	CD19 0-C12 CC x I2C0- scFc	VH	QVQLVESGGGVVQPGRSLRLSCAASGFTFS SYGIHWVRQAPGKCLEWVALTSYEGGNKY AESVKG RFTISRDN SKNTLYLQMNSLRAED

			TAVYYCAKDRGTIFGDYGMVWVGQTTVTVSS
1372.	CD19 0-C12 CC x I2C0- scFc	VL	DIVMTQSPLSLPVTPEPASISCRSSQSLL HKNHFNYLDWYLQKPGQSPQLLIYLGSNRA SGVPDRFSGSGSGTDFTLKISRVEAEDVGV YYCMQALQTPFTFGCGTKVEIK
1373.	CD19 0-C12 CC x I2C0- scFc	scFv	DIVMTQSPLSLPVTPEPASISCRSSQSLL HKNHFNYLDWYLQKPGQSPQLLIYLGSNRA SGVPDRFSGSGSGTDFTLKISRVEAEDVGV YYCMQALQTPFTFGCGTKVEIKGGGGSGGG GSGGGGSQVQLVESGGGVVQPRSLRLSCA ASGFTFSSYGIHWVRQAPGKCLEWVALTSY EGGNKYAESVKGRFTISRDNKNTLYLQM NSLRAEDTAVYYCAKDRGTIFGDYGMVWVG QTTVTVSS
1374.	CD19 0-C12 CC x I2C0- scFc	биспецифическая молекула	DIVMTQSPLSLPVTPEPASISCRSSQSLL HKNHFNYLDWYLQKPGQSPQLLIYLGSNRA SGVPDRFSGSGSGTDFTLKISRVEAEDVGV YYCMQALQTPFTFGCGTKVEIKGGGGSGGG GSGGGGSQVQLVESGGGVVQPRSLRLSCA ASGFTFSSYGIHWVRQAPGKCLEWVALTSY EGGNKYAESVKGRFTISRDNKNTLYLQM NSLRAEDTAVYYCAKDRGTIFGDYGMVWVG QTTVTVSSGGGGSEVQLVESGGGLVQPGG SLKLSCAASGFTFNKYAMNWRQAPGKGLE WVARIRSKYNNYATYYADSVKDRFTISRDD SKNTAYLQMNKLTEDTAVYYCVRHGNFGN SYISYWAYWGQGLTVTVSSGGGGSGGGSG GGGSQTVVTQEPSLTVSPGGTVTLTCSST GAVTSGNYPNWVQKPGQAPRGLIGTKFL APGTPARFSGSLLGKAALTLQVQPEDEA EYYCVLWYSNRWVFGGGTKLTVL
1375.	CD19 0-C12 CC x I2C0- scFc	биспецифическая молекула	DIVMTQSPLSLPVTPEPASISCRSSQSLL HKNHFNYLDWYLQKPGQSPQLLIYLGSNRA SGVPDRFSGSGSGTDFTLKISRVEAEDVGV

		HLE	<p> Y Y C M Q A L Q T P F T F G C G T K V E I K G G G S G G G G S G G G S Q V Q L V E S G G G V V Q P G R S L R L S C A A S G F T F S S Y G I H W V R Q A P G K C L E W V A L T S Y E G G N K Y Y A E S V K G R F T I S R D N S K N T L Y L Q M N S L R A E D T A V Y Y C A K D R G T I F G D Y G M D V W G Q G T T V T V S S G G G S E V Q L V E S G G G L V Q P G G S L K L S C A A S G F T F N K Y A M N W V R Q A P G K G L E W V A R I R S K Y N N Y A T Y Y A D S V K D R F T I S R D D S K N T A Y L Q M N N L K T E D T A V Y Y C V R H G N F G N S Y I S Y W A Y W G Q G T L V T V S S G G G S G G G G S G G G G S Q T V V T Q E P S L T V S P G G T V T L T C G S S T G A V T S G N Y P N W V Q Q K P G Q A P R G L I G G T K F L A P G T P A R F S G S L L G G K A A L T L S G V Q P E D E A E Y Y C V L W Y S N R W V F G G G T K L T V L G G G G D K T H T C P P C P A P E L L G G P S V F L F P P K P K D T L M I S R T P E V T C V V V D V S H E D P E V K F N W Y V D G V E V H N A K T K P C E E Q Y G S T Y R C V S V L T V L H Q D W L N G K E Y K C K V S N K A L P A P I E K T I S K A K G Q P R E P Q V Y T L P P S R E E M T K N Q V S L T C L V K G F Y P S D I A V E W E S N G Q P E N N Y K T T P P V L D S D G S F F L Y S K L T V D K S R W Q Q G N V F S C S V M H E A L H N H Y T Q K S L S L S P G K G G G G S G G G G S G G G G S G G G G S G G G S G G G S D K T H T C P P C P A P E L L G G P S V F L F P P K P K D T L M I S R T P E V T C V V V D V S H E D P E V K F N W Y V D G V E V H N A K T K P C E E Q Y G S T Y R C V S V L T V L H Q D W L N G K E Y K C K V S N K A L P A P I E K T I S K A K G Q P R E P Q V Y T L P P S R E E M T K N Q V S L T C L V K G F Y P S D I A V E W E S N G Q P E N N Y K T T P P V L D S D G S F F L Y S K L T V D K S R W Q Q G N V F S C S V M H E A L H N H Y T Q K S L S L S P G K </p>
1376.	CD19 0-C12 CC x I2C0- scFc_delGK	биспецифи- ческая молекула HLE	<p> D I V M T Q S P L S L P V T P G E P A S I S C R S S Q S L L H K N H F N Y L D W Y L Q K P G Q S P Q L L I Y L G S N R A S G V P D R F S G S G S G T D F T L K I S R V E A E D V G V Y Y C M Q A L Q T P F T F G C G T K V E I K G G G S G G G </p>

			<p>GSGGGGSQVQLVESGGGVVQPGRSLRLSCA ASGFTFSSYGIHWVRQAPGKCLEWVALTSY EGGNKYYAESVKGRFTISRDNKNTLYLQM NSLRAEDTAVYYCAKDRGTIFGDYGMVWVG QGTTVTVSSGGGGSEVQLVESGGGLVQPGG SLKLSCAASGFTFNKYAMNWRQAPGKGLE WVARIRSKYNNYATYYADSVKDRFTISRDD SKNTAYLQMNLLKTEDTAVYYCVRHGNFGN SYISYWAYWGQGLTVTVSSGGGGSGGGGSG GGGSQTVVTQEPSLTVSPGGTVTLTCGSST GAVTSGNYPNWVQQKPGQAPRGLIGGTFKL APGTPARFSGSLLGGKAALTLSGVQPEDEA EYYCVLWYSNRWVFGGGTKLTVLGGGGDKT HTCPCPAPELLGGPSVFLFPPKPKDTLMI SRTPEVTCVVVDVSHEDPEVKFNWYVDGVE VHNAKTKPCEEQYGSTYRCVSVLTVLHQDW LNGKEYKCKVSNKALPAPIEKTISKAKGQP REPQVYTLPPSREEMTKNQVSLTCLVKGFY PSDIAVEWESNGQPENNYKTTPPVLDSGGS FFLYSKLTVDKSRWQQGNVFCFSVMHEALH NHYTQKLSLSLSPGGGGSGGGGSGGGGSGGG GSGGGGSGGGGSDKTHHTCPCPAPELLGGP SVFLFPPKPKDTLMI SRTPEVTCVVVDVSH EDPEVKFNWYVDGVEVHNAKTKPCEEQYGS TYRCVSVLTVLHQDWLNGKEYKCKVSNKAL PAPIEKTISKAKGQPREPQVYTLPPSREEM TKNQVSLTCLVKGFYPSDIAVEWESNGQPE NNYKTTPPVLDSGGSFFLYSKLTVDKSRWQ QGNVFCFSVMHEALHNHYTQKLSLSLSPGK</p>
1377.	CD19 4- C1RE-B10 CC x I2C0-scFc	VH CDR1	NYGMH
1378.	CD19 4- C1RE-B10 CC x I2C0-scFc	VH CDR2	VMSWEGSNKYYAEPVKG

1379.	CD19 4- C1RE-B10 CC x I2C0-scFc	VH CDR3	DRGTIFGYYGMDV
1380.	CD19 4- C1RE-B10 CC x I2C0-scFc	VL CDR1	RSSQSLLHKNNFNLYD
1381.	CD19 4- C1RE-B10 CC x I2C0-scFc	VL CDR2	LGSNRAS
1382.	CD19 4- C1RE-B10 CC x I2C0-scFc	VL CDR3	MQALQTPLT
1383.	CD19 4- C1RE-B10 CC x I2C0-scFc	VH	QVQLVESGGGVVQPGRSLRLSCEASGFIVS NYGMHWVRQAPGKCLEWVAVMSWEGSNKYY AEPVKGRFTISRDKSKNTLSLQMSLRAED TALYYCARDRGTIFGYYGMDVWVGQTTVTV SS
1384.	CD19 4- C1RE-B10 CC x I2C0-scFc	VL	DIVMTQSPLSLPVTPEPASISCRSSQSLL HKNNFNLYLDWYLQKPGQSPQLLIYLGSNRA SGVPDRFSGSGSGTDFTLKISRVEAEDVGV YYCMQALQTPLTFACGKVEIK
1385.	CD19 4- C1RE-B10 CC x I2C0-scFc	scFv	DIVMTQSPLSLPVTPEPASISCRSSQSLL HKNNFNLYLDWYLQKPGQSPQLLIYLGSNRA SGVPDRFSGSGSGTDFTLKISRVEAEDVGV YYCMQALQTPLTFACGKVEIKGGGSGGG GSGGGGSQVQLVESGGGVVQPGRSLRLSCE ASGFIVSNYGMHWVRQAPGKCLEWVAVMSW EGSNKYAEPVKGRFTISRDKSKNTLSLQM SSLRAEDTALYYCARDRGTIFGYYGMDVWVG QTTVTVSS
1386.	CD19 4- C1RE-B10 CC x I2C0-scFc	биспецифи ческая молекула	DIVMTQSPLSLPVTPEPASISCRSSQSLL HKNNFNLYLDWYLQKPGQSPQLLIYLGSNRA SGVPDRFSGSGSGTDFTLKISRVEAEDVGV YYCMQALQTPLTFACGKVEIKGGGSGGG GSGGGGSQVQLVESGGGVVQPGRSLRLSCE

			<p>ASGFIVSNYGMHWVRQAPGKCLEWVAVMSW EGSNKYAEPVKGRFTISRDKSKNTLSLQM SSLRAEDTALYYCARDRTIFGYYGMDVWG QGTTVTVSSGGGGSEVQLVESGGGLVQPGG SLKLSCAASGFTFNKYAMNWRQAPGKGLE WVARIRSKYNNYATYYADSVKDRFTISRDD SKNTAYLQMNNLKTEDTAVYYCVRHGNFGN SYISYWAYWGQGLTVTVSSGGGGSGGGGSG GGGSQTVVTQEPSLTVSPGGTVTLTCGSST GAVTSGNYPNWVQKPGQAPRGLIGGTKFL APGTPARFSGSLLGGKAALTLSGVQPEDEA EYYCVLWYSNRWVFGGGTKLTVL</p>
1387.	CD19 4- C1RE-B10 CC x I2C0-scFc	биспецифи- ческая молекула HLE	<p>DIVMTQSPLSLPVTPEPASICRSSQSLL HKNNFNLDWYLQKPGQSPQLLIYLGSNRA SGVPDRFSGSGSDFTLTKISRVEAEDVGV YYCMQALQTPPLTFACGKVEIKGGGSGGG GSGGGGSQVQLVESGGGVQPGRSLRLSCE ASGFIVSNYGMHWVRQAPGKCLEWVAVMSW EGSNKYAEPVKGRFTISRDKSKNTLSLQM SSLRAEDTALYYCARDRTIFGYYGMDVWG QGTTVTVSSGGGGSEVQLVESGGGLVQPGG SLKLSCAASGFTFNKYAMNWRQAPGKGLE WVARIRSKYNNYATYYADSVKDRFTISRDD SKNTAYLQMNNLKTEDTAVYYCVRHGNFGN SYISYWAYWGQGLTVTVSSGGGGSGGGGSG GGGSQTVVTQEPSLTVSPGGTVTLTCGSST GAVTSGNYPNWVQKPGQAPRGLIGGTKFL APGTPARFSGSLLGGKAALTLSGVQPEDEA EYYCVLWYSNRWVFGGGTKLTVLGGGDKT HTCPPCPAPELLGGPSVFLFPPKPKDTLMI SRTPEVTCVVDVSHEDPEVKFNWYVDGVE VHNAKTKPCEEQYGSYRCVSVLTVLHQDW LNGKEYKCKVSNKALPAPIEKTISKAKGQP REPQVYTLPPSREEMTKNQVSLTCLVKGFY PSDIAVEWESNGQPENNYKTTPPVLDSDGS</p>

			<p>FFLYSKLTVDKSRWQQGNVFSCSVMHEALH NHYTQKSLSLSPGKGGGSGGGGSGGGGSG GGGSGGGGSGGGSDKHTHTCPPCPAPPELLG GPSVFLFPPKPKDTLMI SRTPEVTCVVVDV SHEDPEVKFNWYVDGVEVHNAKTKPCEEQY GSTYRCVSVLTVLHQDWLNGKEYKCKVSNK ALPAPIEKTISKAKGQPREPQVYTLPPSRE EMTKNQVSLTCLVKGFYPSDIAVEWESNGQ PENNYKTPPVLDSDGSFFLYSKLTVDKSR WQQGNVFSCSVMHEALHNHYTQKSLSLSPG K</p>
1388.	<p>CD19 4- C1RE-B10 CC x I2C0- scFc_delGK</p>	<p>биспецифи ческая молекула HLE</p>	<p>DIVMTQSPLSLPVTPEPASISCRSSQSLL HKNNFNLDWYLQKPGQSPQLLIYLGSNRA SGVPDRFSGSGSGTDFTLTKISRVEAEDVGV YYCMQALQTPLTFACGKVEIKGGGSGGG GSGGGGQVQLVESGGGVVQPGRSLRLSCE ASGFIVSNYGMHWVRQAPGKCLEWVAVMSW EGSNKYAEPVKGRFTISRDKSKNTLSLQM SSLRAEDTALYYCARDRTIFGYGMDVWG QGTITVTVSSGGGSEVQLVESGGGLVQPGG SLKLSCAASGFTFNKYAMNWRQAPGKGLE WVARIRSKYNNYATYYADSVKDRFTISRDD SKNTAYLQMNLLKTEDTAVYYCVRHGNFGN SYISYWAYWGQGLVTVSSGGGSGGGGSG GGGSQTVVTQEPSLTVSPGGTVTLTCGSST GAVTSGNYPNWVQKPGQAPRGLIGTKFL APGTPARFSGSLLGGKAALTLSGVQPEDEA EYYCVLWYSNRWVFGGGTKLTVLGGGGDKT HTCPPCPAPPELLGGPSVFLFPPKPKDTLMI SRTPEVTCVVVDVSHEDPEVKFNWYVDGVE VHNAKTKPCEEQYGSTYRCVSVLTVLHQDW LNGKEYKCKVSNKALPAPIEKTISKAKGQ REPQVYTLPPSREEMTKNQVSLTCLVKGFY PSDIAVEWESNGQPENNYKTPPVLDSDGS FFLYSKLTVDKSRWQQGNVFSCSVMHEALH</p>

			NHYTQKSLSLSPGGGGSGGGGSGGGGSGGG GSGGGGSGGGGSDKTHTCPPELGGP SVFLFPPKPKDTLMI SRTPEVTCVVVDVSH EDPEVKFNWYVDGVEVHNAKTKPCEEQYGS TYRCVSVLTVLHQDWLNGKEYKCKVSNKAL PAPIEKTISKAKGQPREPQVYTLPPSREEM TKNQVSLTCLVKGFYPSDIAVEWESNGQPE NNYKTTTPVLDSDGSFFLYSKLTVDKSRWQ QGNVFSCSVMEALHNHYTQKSLSLSPGK
1389.	CD19 97- G1RE CC x I2C0-scFc	VH CDR1	SYGMH
1390.	CD19 97- G1RE CC x I2C0-scFc	VH CDR2	VISYEGSNKYAESVKG
1391.	CD19 97- G1RE CC x I2C0-scFc	VH CDR3	DRGTIFGNYGLEV
1392.	CD19 97- G1RE CC x I2C0-scFc	VL CDR1	RSSQSLHGNRFNYLD
1393.	CD19 97- G1RE CC x I2C0-scFc	VL CDR2	LGSNRAS
1394.	CD19 97- G1RE CC x I2C0-scFc	VL CDR3	MQALQTPFT
1395.	CD19 97- G1RE CC x I2C0-scFc	VH	QVQLVESGGGVVQGRSLRLS CAASGFTFS SYGMHWVRQAPGKCLEWVAVISYEGSNKYY AESVKGRFTISRDN SKNTLYLQMNSLRDED TAVYYCARDRGTIFGNYGLEWVGQTTVTV SS
1396.	CD19 97- G1RE CC x I2C0-scFc	VL	DIVMTQSPLSLPVISGEPASISCRSSQSLL HG NRFNYLDWYLQKPGQSPQLLIYLGSNRA SGVPDRFSGSGGTDFTLKISRVEAEDVGV

			YYCMQALQTPFTFGCGTKVDIK
1397.	CD19 97- G1RE CC x I2C0-scFc	scFv	DIVMTQSPLSLPVISGEPASISCRSSQSLL HG N R F N Y L D W Y L Q K P G Q S P Q L L I Y L G S N R A S G V P D R F S G S G S G T D F T L K I S R V E A E D V G V Y Y C M Q A L Q T P F T F G C G T K V D I K G G G G S G G G G S G G G S Q V Q L V E S G G G V V Q P G R S L R L S C A A S G F T F S S Y G M H W R Q A P G K C L E W V A V I S Y E G S N K Y Y A E S V K G R F T I S R D N S K N T L Y L Q M N S L R D E D T A V Y Y C A R D R G T I F G N Y G L E V W G Q G T T V T V S S
1398.	CD19 97- G1RE CC x I2C0-scFc	биспецифи- ческая молекула	DIVMTQSPLSLPVISGEPASISCRSSQSLL HG N R F N Y L D W Y L Q K P G Q S P Q L L I Y L G S N R A S G V P D R F S G S G S G T D F T L K I S R V E A E D V G V Y Y C M Q A L Q T P F T F G C G T K V D I K G G G G S G G G G S G G G S Q V Q L V E S G G G V V Q P G R S L R L S C A A S G F T F S S Y G M H W R Q A P G K C L E W V A V I S Y E G S N K Y Y A E S V K G R F T I S R D N S K N T L Y L Q M N S L R D E D T A V Y Y C A R D R G T I F G N Y G L E V W G Q G T T V T V S S G G G S E V Q L V E S G G G L V Q P G G S L K L S C A A S G F T F N K Y A M N W R Q A P G K G L E W V A R I R S K Y N N Y A T Y Y A D S V K D R F T I S R D D S K N T A Y L Q M N N L K T E D T A V Y Y C V R H G N F G N S Y I S Y W A Y W G Q G T L V T V S S G G G S G G G G S G G G G S Q T V V T Q E P S L T V S P G G T V T L T C G S S T G A V T S G N Y P N W V Q Q K P G Q A P R G L I G G T K F L A P G T P A R F S G S L L G G K A A L T L S G V Q P E D E A E Y Y C V L W Y S N R W V F G G G T K L T V L
1399.	CD19 97- G1RE CC x I2C0-scFc	биспецифи- ческая молекула HLE	DIVMTQSPLSLPVISGEPASISCRSSQSLL HG N R F N Y L D W Y L Q K P G Q S P Q L L I Y L G S N R A S G V P D R F S G S G S G T D F T L K I S R V E A E D V G V Y Y C M Q A L Q T P F T F G C G T K V D I K G G G G S G G G G S G G G S Q V Q L V E S G G G V V Q P G R S L R L S C A A S G F T F S S Y G M H W R Q A P G K C L E W V A V I S Y E G S N K Y Y A E S V K G R F T I S R D N S K N T L Y L Q M N S L R D E D T A V Y Y C A R D R G T I F G N Y G L E V W G

			<p> QGTTVTVSSGGGGSEVQLVESGGGLVQPGG SLKLSCAASGFTFNKYAMNWVRQAPGKGLE WVARIRSKYNNYATYYADSVKDRFTISRDD SKNTAYLQMNNLKTEDTAVYYCVRHGNFGN SYISYWAYWGQGTTLVTVSSGGGGSGGGGSG GGGSQTVVTQEPSTLVSPGGTVTLTCGSST GAVTSGNYPNWVQKPGQAPRGLIGGTKFL APGTPARFSGSLLGGKAALTLSGVQPEDEA EYYCVLWYSNRWVFGGKTLTVLGGGDKT HTCPPCPAPPELLGGPSVFLFPPKPKDTLMI SRTPEVTCVVDVSHEDPEVKFNWYVDGVE VHNAKTKPCEEQYGSTYRCVSVLTVLHQDW LNGKEYCKVSNKALPAPIEKTISKAKGQP REPQVYTLPPSREEMTKNQVSLTCLVKGFY PSDIAVEWESNGQPENNYKTTPPVLDSDGS FFLYSKLTVDKSRWQQGNVFCSCVMHEALH NHYTQKLSLSLSPGKGGGGSGGGGGSGGGGSG GGGGGGGGGGGGSDKTHTCPPCPAPELLG GPSVFLFPPKPKDTLMISRTPEVTCVVDV SHEDPEVKFNWYVDGVEVHNAKTKPCEEQY GSTYRCVSVLTVLHQDWLNGKEYCKVSNK ALPAPIEKTISKAKGQPREPQVYTLPPSRE EMTKNQVSLTCLVKGFYPSDIAVEWESNGQ PENNYKTTPPVLDSDGSFFLYSKLTVDKSR WQQGNVFCSCVMHEALHNHYTQKLSLSLSPG K </p>
1400.	<p> CD19 97- G1RE CC x I2C0- scFc_delGK </p>	<p> биспецифи ческая молекула HLE </p>	<p> DIVMTQSPLSLPVISGEPASISCRSSQSL HGSRFNLDWYLQKPGQSPQLLIYLGSR SGVPDRFSGSGGTDFTLKISRVEAEDVGV YYCMQALQTPFTFGCGTKVDIKGGGGSGGG GSGGGGSQVQLVESGGGVVQPRSLRLS ASGFTFSSYGMHWVRQAPGKCLEWVAVISY EGSNKYAESVKGRFTISRDNKNTLYLQ NSLRDEDTAVYYCARDRTIFGNYLEVWG QGTTVTVSSGGGGSEVQLVESGGGLVQPGG </p>

			SLKLSCAASGFTFNKYAMNWVRQAPGKGLE WVARIRSKYNNYATYYADSVKDRFTISRDD SKNTAYLQMNNLKTEDTAVYYCVRHGNFGN SYISYWAYWGQGLVTVSSGGGGSGGGGSG GGGSQTVVTQEPSLTVSPGGTVTLTCGSST GAVTSGNYPNWVQQKPGQAPRGLIGGTKFL APGTPARFSGSLLGGKAALTLSGVQPEDEA EYYCVLWYSNRWVFGGGTKLTVLGGGGDKT HTCPCCPAPELLGGPSVFLFPPKPKDTLMI SRTPEVTCVVVDVSHEDPEVKFNWYVDGVE VHNAKTKPCEEQYGSTYRCVSVLTVLHQDW LNGKEYKCKVSNKALPAPIEKTISKAKGQP REPQVYTLPPSREEMTKNQVSLTCLVKGFY PSDIAVEWESNGQPENNYKTTPPVLDSGGS FFLYSKLTVDKSRWQQGNVFCSCVMHEALH NHYTQKSLSLSPGGGGSGGGGSGGGGSGGG GSGGGSGGGGSDKTHTCPCCPAPELLGGP SVFLFPPKPKDTLMI SRTPEVTCVVVDVSH EDPEVKFNWYVDGVEVHNAKTKPCEEQYGS TYRCVSVLTVLHQDWLNGKEYKCKVSNKAL PAPIEKTISKAKGQPREPQVYTLPPSREEM TKNQVSLTCLVKGFYPSDIAVEWESNGQPE NNYKTTPPVLDSGGSFFLYSKLTVDKSRWQ QGNVFCSCVMHEALHNHYTQKSLSLSPGK
1401.	CD19 97- G1RE-C2 CC x I2C0-scFc	VH CDR1	SYGMH
1402.	CD19 97- G1RE-C2 CC x I2C0-scFc	VH CDR2	VISYEGSNKYAESVKG
1403.	CD19 97- G1RE-C2 CC x I2C0-scFc	VH CDR3	DRGTIFGNYGLEV
1404.	CD19 97- G1RE-C2 CC	VL CDR1	RSSQSLHKNAFNYLD

	x I2C0-scFc		
1405.	CD19 97- G1RE-C2 CC x I2C0-scFc	VL CDR2	LGSNRAS
1406.	CD19 97- G1RE-C2 CC x I2C0-scFc	VL CDR3	MQALQTPFT
1407.	CD19 97- G1RE-C2 CC x I2C0-scFc	VH	QVQLVESGGGVVQPGRSLRLSCAASGFTFS SYGMHWVRQAPGKCLEWVAIVSYEGSNKYY AESVKGRFTISRDN SKNTLYLQMSLRDED TAVYYCARDRTIFGNYGLEWVGQGT TVTV SS
1408.	CD19 97- G1RE-C2 CC x I2C0-scFc	VL	DIVMTQSPVLSLPVISGEPASISCRSSQSL HKNAFNLDWYLQKPGQSPQLLIYLG NSRSGVLPDRFSGSGSDFTLTKISR VEAEDVGVYYCMQALQTPFTFGCGTK VDIK
1409.	CD19 97- G1RE-C2 CC x I2C0-scFc	scFv	DIVMTQSPVLSLPVISGEPASISCRSSQSL HKNAFNLDWYLQKPGQSPQLLIYLG NSRSGVLPDRFSGSGSDFTLTKISR VEAEDVGVYYCMQALQTPFTFGCGTK VDIKGGGGSGGGSGGGGSQVQLV ESGGGVVQPGRSLRLSCAASGFTF SSYGMHWVRQAPGKCLEWVAIVSY EGSNKYAESVKGRFTISRDN SKNTLYLQ MSLRDEDTAVYYCARDRTIFGNYGLE WVGQGT TVTVSS
1410.	CD19 97- G1RE-C2 CC x I2C0-scFc	биспецифическая молекула	DIVMTQSPVLSLPVISGEPASISCRSSQSL HKNAFNLDWYLQKPGQSPQLLIYLG NSRSGVLPDRFSGSGSDFTLTKISR VEAEDVGVYYCMQALQTPFTFGCGTK VDIKGGGGSGGGSGGGGSQVQLV ESGGGVVQPGRSLRLSCAASGFTF SSYGMHWVRQAPGKCLEWVAIVSY EGSNKYAESVKGRFTISRDN SKNTLYLQ MSLRDEDTAVYYCARDRTIFGNYGLE WVGQGT TVTVSSGGGGSEVQLV ESGGGLVQPGGSLKLSAASGFTFNKY AMNWRQAPGKGLE

			<p>WVARIRSKYNNYATYYADSVKDRFTISRDD SKNTAYLQMNLLKTEDTAVYYCVRHGNFGN SYISYWAYWGQGLVTVSSGGGGSGGGGSG GGGSQTVVTQEPSLTVSPGGTVTLTCSST GAVTSGNYPNWVQKPGQAPRGLIGGTKFL APGTPARFSGSLLGGKAALTLSGVQPEDEA EYYCVLWYSNRWVFGGGTKLTVL</p>
1411.	<p>CD19 97- G1RE-C2 CC x I2C0-scFc</p>	<p>биспецифи- ческая молекула HLE</p>	<p>DIVMTQSPLSLPVISGEPASISCRSSQSLL HKNAFNLDWYLQKPGQSPQLLIYLGSNRA SGVPDRFSGSGSGTDFTLKISRVEAEDVGV YYCMQALQTPFTFGCGTKVDIKGGGSGGG GSGGGGQVQLVESGGGVVQPGRSLRLSCA ASGFTFSSYGMHWVRQAPGKCLEWVAVISY EGSNKYAESVKGRFTISRDNKNTLYLQM NSLRDEDTAVYYCARDRTIFGNYGLEVWG QGTTVTVSSGGGGSEVQLVESGGGLVQPGG SLKLSCAASGFTFNKYAMNWRQAPGKGLE WVARIRSKYNNYATYYADSVKDRFTISRDD SKNTAYLQMNLLKTEDTAVYYCVRHGNFGN SYISYWAYWGQGLVTVSSGGGGSGGGGSG GGGSQTVVTQEPSLTVSPGGTVTLTCSST GAVTSGNYPNWVQKPGQAPRGLIGGTKFL APGTPARFSGSLLGGKAALTLSGVQPEDEA EYYCVLWYSNRWVFGGGTKLTVLGGGGDKT HTCPPCPAPELLGGPSVFLFPPKPKDTLMI SRTPEVTCVVVDVSHEDPEVKFNWYVDGVE VHNAKTKPCEEQYGSTYRCVSLTVLHQDW LNGKEYKCKVSNKALPAPIEKTISKAKGQP REPQVYTLPPSREEMTKNQVSLTCLVKGFY PSDIAVEWESNGQPENNYKTTPPVLDSGGS FFLYSKLTVDKSRWQQGNVFCFSVMHEALH NHYTQKSLSLSPGKGGGGSGGGGGSGGGGSG GGGGGGGGGGGGDKTHTCPPCPAPELLG GPSVFLFPPKPKDTLMI SRTPEVTCVVVDV SHEDPEVKFNWYVDGVEVHNAKTKPCEEQY</p>

			GSTYRCVSVLTVLHQDWLNGKEYKCKVSNK ALPAPIEKTISKAKGQPREPQVYTLPPSRE EMTKNQVSLTCLVKGFYPSDIAVEWESNGQ PENNYKTTTPVLDSGDSFFLYSKLTVDKSR WQQGNVFSCSVMHEALHNHYTQKSLSLSPG K
1412.	CD19 97- G1RE-C2 CC x I2C0- scFc_delGK	биспецифи ческая молекула HLE	DIVMTQSPLSLPVISGEPASISCRSSQSL HKNAFNLDWYLQKPGQSPQLLIYLGSNRA SGVPDRFSGSGSGTDFTLKISRVEAEDVGV YYCMQALQTPFTFGCGTKVDIKGGGSGGG GSGGGGSQVQLVESGGGVVQPGRSLRLSCA ASGFTFSSYGMHWVRQAPGKCLEWVAVISY EGSNKYAESVKGRFTISRDNKNTLYLQM NSLRDEDTAVYYCARDRTIFGNYGLEVWG QGTTVTVSSGGGGSEVQLVESGGGLVQPGG SLKLSCAASGFTFNKYAMNWVRQAPGKGLE WVARIRSKYNNYATYYADSVKDRFTISRDD SKNTAYLQMNLLKTEDTAVYYCVRHGNFGN SYISYWAYWGQGLVTVSSGGGGSGGGGSG GGGSQTVVTQEPSTLTVSPGGTVTLTCSST GAVTSGNYPNWVQKPGQAPRGLIGGTFKL APGTPARFSGSLLGKKAALTLSGVQPEDEA EYYCVLWYSNRWVFGGGTKLTVLGGGDKT HTCPPCPAPELLGGPSVFLFPPKPKDTLMI SRTPEVTCVVVDVSHEDPEVKFNWYVDGVE VHNAKTKPCEEQYGSTYRCVSVLTVLHQDW LNGKEYKCKVSNKALPAPIEKTISKAKGQ REPQVYTLPPSREEMTKNQVSLTCLVKGFY PSDIAVEWESNGQPENNYKTTTPVLDSGDS FFLYSKLTVDKSRWQQGNVFSCSVMHEALH NHYTQKSLSLSPGGGGSGGGGSGGGGSGGG GSGGGGSGGGGSDKTHHTCPPCPAPELLGGP SVFLFPPKPKDTLMI SRTPEVTCVVVDVSH EDPEVKFNWYVDGVEVHNAKTKPCEEQYGS TYRCVSVLTVLHQDWLNGKEYKCKVSNKAL

			PAPIEKTISKAKGQPREPQVYTLPPSREEM TKNQVSLTCLVKGFYPSDIAVEWESNGQPE NNYKTTTPVLDSDGSFFLYSKLTVDKSRWQ QGNVFSCSVMHEALHNHYTQKSLSLSPGK
1413.	CD19 97- G1RE-B5 CC x I2C0-scFc	VH CDR1	SYGMH
1414.	CD19 97- G1RE-B5 CC x I2C0-scFc	VH CDR2	VISYEGSNKYAESVKG
1415.	CD19 97- G1RE-B5 CC x I2C0-scFc	VH CDR3	DRGTIFGNYGLEV
1416.	CD19 97- G1RE-B5 CC x I2C0-scFc	VL CDR1	RSSQSLHKNKWNLYD
1417.	CD19 97- G1RE-B5 CC x I2C0-scFc	VL CDR2	LGSNRAS
1418.	CD19 97- G1RE-B5 CC x I2C0-scFc	VL CDR3	MQALQTPFT
1419.	CD19 97- G1RE-B5 CC x I2C0-scFc	VH	QVQLVESGGGVVQPGRSLRLSCAASGFTFS SYGMHWVRQAPGKCLEWVAVISYEGSNKYY AESVKGRFTISRDNKNTLYLQMNSLRDED TAVYYCARDRGTIFGNYGLEVWGQTTVTV SS
1420.	CD19 97- G1RE-B5 CC x I2C0-scFc	VL	DIVMTQSPLSLPVISGEPASISCRSSQSLL HKNKWNLYLDWYLQKPGQSPQLLIYLGSNRA SGVPDRFSGSGGTDFTLKISRVEAEDVGV YYCMQALQTPFTFGCGTKVDIK
1421.	CD19 97- G1RE-B5 CC x I2C0-scFc	scFv	DIVMTQSPLSLPVISGEPASISCRSSQSLL HKNKWNLYLDWYLQKPGQSPQLLIYLGSNRA SGVPDRFSGSGGTDFTLKISRVEAEDVGV YYCMQALQTPFTFGCGTKVDIKGGGGSGGG

			GSGGGGSQVQLVESGGGVVQPGRSLRLSCA ASGFTFSSYGMHWVRQAPGKCLEWVAVISY EGSNKYAESVKGRFTISRDNKNTLYLQM NSLRDEDTAVYYCARDRTIFGNYGLEVWG QGT TVTVSS
1422.	CD19 97- G1RE-B5 CC x I2C0-scFc	биспецифи ческая молекула	DIVMTQSPVLSPLPVISGEPASISCRSSQSLL HKNKWNLYLDWYLQKPGQSPQLLIYLGSNRA SGVPDRFSGSGSGTDFTLKISRVEAEDVGV YYCMQALQTPFTFGCGTKVDIKGGGSGGG GSGGGGSQVQLVESGGGVVQPGRSLRLSCA ASGFTFSSYGMHWVRQAPGKCLEWVAVISY EGSNKYAESVKGRFTISRDNKNTLYLQM NSLRDEDTAVYYCARDRTIFGNYGLEVWG QGT TVTVSSGGGGSEVQLVESGGGLVQPGG SLKLSCAASGFTFNKYAMNWRQAPGKGLE WVARIRSKYNNYATYYADSVKDRFTISRDD SKNTAYLQMNKLTEDTAVYYCVRHGNFGN SYISYWAYWGQGLVTVSSGGGSGGGGSG GGGSQTVVTQEPSLTVSPGGTVTLTCGSST GAVTSGNYPNWVQKPGQAPRGLIGTKFL APGTPARFSGSLLGKKAALTLSGVQPEDEA EYYCVLWYSNRWVFGGGTKLTVL
1423.	CD19 97- G1RE-B5 CC x I2C0-scFc	биспецифи ческая молекула HLE	DIVMTQSPVLSPLPVISGEPASISCRSSQSLL HKNKWNLYLDWYLQKPGQSPQLLIYLGSNRA SGVPDRFSGSGSGTDFTLKISRVEAEDVGV YYCMQALQTPFTFGCGTKVDIKGGGSGGG GSGGGGSQVQLVESGGGVVQPGRSLRLSCA ASGFTFSSYGMHWVRQAPGKCLEWVAVISY EGSNKYAESVKGRFTISRDNKNTLYLQM NSLRDEDTAVYYCARDRTIFGNYGLEVWG QGT TVTVSSGGGGSEVQLVESGGGLVQPGG SLKLSCAASGFTFNKYAMNWRQAPGKGLE WVARIRSKYNNYATYYADSVKDRFTISRDD SKNTAYLQMNKLTEDTAVYYCVRHGNFGN SYISYWAYWGQGLVTVSSGGGSGGGGSG

			GGGSQTVVTQEPSLTVSPGGTVTLTCGSST GAVTSGNYPNWVQQKPGQAPRGLIGGTKFL APGTPARFSGSLLGGKAALTLSGVQPEDEA EYYCVLWYSNRWVFGGGTKLTVLGGGGDKT HTCPPCPAPPELLGGPSVFLFPPKPKDTLMI SRTPEVTCVVVDVSHEDPEVKFNWYVDGVE VHNAKTKPCEEQYGSTYRCVSVLTVLHQDW LNGKEYKCKVSNKALPAPIEKTISKAKGQP REPQVYTLPPSREEMTKNQVSLTCLVKGFY PSDIAVEWESNGQPENNYKTTPVLDSGDS FFLYSKLTVDKSRWQQGNVFSCSVMHEALH NHYTQKSLSLSPGKGGGGSGGGGGSGGGGGSG GGGGGGGGGGGGDKTHTCPPCPAPELLG GPSVFLFPPKPKDTLMISRTPEVTCVVVDV SHEDPEVKFNWYVDGVEVHNAKTKPCEEQY GSTYRCVSVLTVLHQDWLNGKEYKCKVSNK ALPAPIEKTISKAKGQPREPQVYTLPPSRE EMTKNQVSLTCLVKGFYPSDIAVEWESNGQ PENNYKTTPVLDSGDSFFLYSKLTVDKSR WQQGNVFSCSVMHEALHNHYTQKSLSLSPG K
1424.	CD19 97- G1RE-B5 CC x I2C0- scFc_delGK	биспецифи ческая молекула HLE	DIVMTQSPLSLPVISGEPASISCRSSQSL HKKNWNYLDWYLQKPGQSPQLLIYLGSNRA SGVPPDRFSGSGGTDFTLKISRVEAEDVGV YYCMQALQTPFTFGCGTKVDIKGGGGSGGG GSGGGGSQVQLVESGGGVVQPGRSLRLSCA ASGFTFSSYGMHWVRQAPGKCLEWVAIVSY EGSNKYAESVKGRFTISRDNKNTLYLQ NSLRDEDTAVYYCARDRTIFGNYGLEVWG QGTTVTVSSGGGGSEVQLVESGGGLVQPGG SLKLSCAASGFTFNKYAMNWRQAPGKGLE WVARIRSKYNNYATYYADSVKDRFTISRDD SKNTAYLQMNLLKTEDTAVYYCVRHGNFGN SYISYWAYWGQGLTVTVSSGGGGSGGGGGSG GGGSQTVVTQEPSLTVSPGGTVTLTCGSST

			<p>GAVTSGNYPNWVQQKPGQAPRGLIGGTKFL APGTPARFSGSLLGGKAALTLSGVQPEDEA EYYCVLWYSNRWVFGGKTLTVLGGGGDKT HTCPPCPAPELLGGPSVFLFPPKPKDTLMI SRTPEVTCVVVDVSHEDPEVKFNWYVDGVE VHNAKTKPCEEQYGSTYRCVSVLTVLHQDW LNGKEYKCKVSNKALPAPIEKTISKAKGQP REPQVYTLPPSREEMTKNQVSLTCLVKGFY PSDIAVEWESNGQPENNYKTPPVLDSDGS FFLYSKLTVDKSRWQQGNVFCSCVMHEALH NHYTQKLSLSLSPGGGGSGGGGGSGGGGG GSGGGGGSGGGSDKTHTCPPCPAPELLGGP SVFLFPPKPKDTLMI SRTPEVTCVVVDVSH EDPEVKFNWYVDGVEVHNAKTKPCEEQYGS TYRCVSVLTVLHQDWLNGKEYKCKVSNKAL PAPIEKTISKAKGQPREPQVYTLPPSREEM TKNQVSLTCLVKGFYPSDIAVEWESNGQPE NNYKTPPVLDSDGSFFLYSKLTVDKSRWQ QGNVFCSCVMHEALHNHNTQKLSLSLSPGK</p>
1425.	CD19 97- G1RE-B10 CC x I2C0-scFc	VH CDR1	SYGMH
1426.	CD19 97- G1RE-B10 CC x I2C0-scFc	VH CDR2	VISYEGSNKYAESVKG
1427.	CD19 97- G1RE-B10 CC x I2C0-scFc	VH CDR3	DRGTIFGNYLEV
1428.	CD19 97- G1RE-B10 CC x I2C0-scFc	VL CDR1	RSSQSLHKNFNLYD
1429.	CD19 97- G1RE-B10 CC x I2C0-scFc	VL CDR2	LGSNRAS
1430.	CD19 97-	VL CDR3	MQALQTPFT

	G1RE-B10 CC x I2C0-scFc		
1431.	CD19 97- G1RE-B10 CC x I2C0-scFc	VH	QVQLVESGGGVVQPGRSLRLSCAASGFTFS SYGMHWVRQAPGKCLEWVAVISYEGSNKYY AESVKGRFTISRDNKNTLYLQMNSLRDED TAVYYCARDRGTIFGNYGLEVWGQGTTVTV SS
1432.	CD19 97- G1RE-B10 CC x I2C0-scFc	VL	DIVMTQSPLSLPVISGEPASISCRSSQSLL HKNNFNLDWYLQKPGQSPQLLIYLGSNRA SGVPDRFSGSGSGTDFTLKISRVEAEDVGV YYCMQALQTPFTFGCGTKVDIK
1433.	CD19 97- G1RE-B10 CC x I2C0-scFc	scFv	DIVMTQSPLSLPVISGEPASISCRSSQSLL HKNNFNLDWYLQKPGQSPQLLIYLGSNRA SGVPDRFSGSGSGTDFTLKISRVEAEDVGV YYCMQALQTPFTFGCGTKVDIKGGGGSGGG GSGGGGSQVQLVESGGGVVQPGRSLRLS CAASGFTFSSYGMHWVRQAPGKCLEWVA VISYEGSNKYAESVKGRFTISRDNKNTLY LQMNSLRDEDTAVYYCARDRGTIFGNYG LEWVGQGTTVTVSS
1434.	CD19 97- G1RE-B10 CC x I2C0-scFc	биспецифи ческая молекула	DIVMTQSPLSLPVISGEPASISCRSSQSLL HKNNFNLDWYLQKPGQSPQLLIYLGSNRA SGVPDRFSGSGSGTDFTLKISRVEAEDVGV YYCMQALQTPFTFGCGTKVDIKGGGGSGGG GSGGGGSQVQLVESGGGVVQPGRSLRLS CAASGFTFSSYGMHWVRQAPGKCLEWVA VISYEGSNKYAESVKGRFTISRDNKNTLY LQMNSLRDEDTAVYYCARDRGTIFGNYG LEWVGQGTTVTVSSGGGGSEVQLVESGG GLVQPGGSLKLSCAASGFTFNKYAMN WVRQAPGKLEWVARIRSKYNNYATYYAD SVKDRFTISRDDSKNTAYLQMNNLKT EDTAVYYCVRHGNFGNSYISYWAYWGQ GTLVTVSSGGGGSGGGSGGGGSGG GGSQTVVVTQEPSLTVSPGGTVTLT CGSSTGAVTSGNYPNWVQKPGQAPRGL IGGTKFL

			APGTPARFSGSLLGGKAALTLSGVQPEDEA EYYCVLWYSNRWVFGGGTKLTVL
1435.	CD19 97- G1RE-B10 CC x I2C0-scFc	биспецифи- ческая молекула HLE	DIVMTQSPLSLPVISGEPASISCRSSQSLL HKNNFNLDWYLQKPGQSPQLLIYLGSNRA SGVPDRFSGSGSDFTLTKISRVEAEDVGV YYCMQALQTPFTFGCGTKVDIKGGGGSGG GSGGGGSQVQLVESGGGVQPGRSLRLSCA ASGFTFSSYGMHWVRQAPGKCLEWVAVISY EGSNKYAESVKGRFTISRDNKNTLYLQM NSLRDEDTAVYYCARDRTIFGNYGLEVWG QGTTVTVSSGGGSEVQLVESGGGLVQPGG SLKLSCAASGFTFNKYAMNWVRQAPGKLE WVARIRSKYNNYATYYADSVKDRFTISRDD SKNTAYLQMNKLTEDTAVYYCVRHGNFGN SYISYWAYWGQGLVTVSSGGGGSGGGGSG GGGSQTVVTQEPSLTVSPGGTVTLTCGSST GAVTSGNYPNWVQKPGQAPRGLIGGKFL APGTPARFSGSLLGGKAALTLSGVQPEDEA EYYCVLWYSNRWVFGGGTKLTVLGGGDKT HTCPPCPAPPELLGGPSVFLFPPKPKDTLMI SRTPEVTCVVVDVSHEDPEVKFNWYVDGVE VHNAKTKPCEEQYGSTYRCVSVLTVLHQDW LNGKEYKCKVSNKALPAPIEKTISKAKGQP REPQVYTLPPSREEMTKNQVSLTCLVKGFY PSDIAVEWESNGQPENNYKTTPPVLDSGDS FFLYSKLTVDKSRWQQGNVFSCSVMHEALH NHYTQKSLSLSPGKGGGGSGGGGGSGGGGSG GGGSGGGGGSGGSDKTHTCPPCPAPPELLG GPSVFLFPPKPKDTLMISRTPEVTCVVVDV SHEDPEVKFNWYVDGVEVHNAKTKPCEEQY GSTYRCVSVLTVLHQDWLNGKEYKCKVSNK ALPAPIEKTISKAKGQPREPQVYTLPPSRE EMTKNQVSLTCLVKGFYPSDIAVEWESNGQ PENNYKTTPPVLDSGDSFFLYSKLTVDKSR WQQGNVFSCSVMHEALHNHNTQKSLSLSPG

			K
1436.	CD19 97- G1RE-B10 CC x I2C0- scFc_delGK	биспецифи- ческая молекула HLE	<p> DIVMTQSPFLSLPVISGEPASISCRSSQSLL HKNNFNLDWYLQKPGQSPQLLIYLGSNRA SGVPDRFSGSGGTDFTLKISRVEAEDVGV YYCMQALQTPFTFGCGTKVDIKGGGSGGG GSGGGGSQVQLVESGGGVVQPGRSLRLSCA ASGFTFSSYGMHWVRQAPGKCLEWVAVISY EGSNKYYAESVKGRFTISRDNKNTLYLQM NSLRDEDTAVYYCARDRTIFGNYGLEVWG QGTTVTVSSGGGGSEVQLVESGGGLVQPGG SLKLSCAASGFTFNKYAMNWVRQAPGKGLE WVARIRSKYNNYATYYADSVKDRFTISRDD SKNTAYLQMNLLKTEDTAVYYCVRHGNFGN SYISYWAYWGQGLVTVSSGGGGSGGGGSG GGGSQTVVTQEPSTLVSPGGTVTLTCSST GAVTSGNYPNWVQKPGQAPRGLIGGTFKL APGTPARFSGSLLGGAALTLSGVQPEDEA EYYCVLWYSNRWVFGGGTKLTVLGGGDKT HTCPCPAPELLGGPSVFLFPPKPKDTLMI SRTPEVTCVVVDVSHEDPEVKFNWYVDGVE VHNAKTKPCEEQYGSYRCVSVLTVLHQDW LNGKEYKCKVSNKALPAPIEKTISKAKGQP REPQVYTLPPSREEMTKNQVSLTCLVKGFY PSDIAVEWESNGQPENNYKTTPPVLDSDGS FFLYSKLTVDKSRWQQGNVFCFSVMHEALH NHYTQKLSLSLSPGGGGSGGGGSGGGGSGGG GSGGGGSGGGGDKTHTCPCPAPELLGGP SVFLFPPKPKDTLMISRTPEVTCVVVDVSH EDPEVKFNWYVDGVEVHNAKTKPCEEQYGS TYRCVSVLTVLHQDWLNGKEYKCKVSNKAL PAPIEKTISKAKGQPREPQVYTLPPSREEM TKNQVSLTCLVKGFYPSDIAVEWESNGQPE NNYKTTPPVLDSDGSFFLYSKLTVDKSRWQ QGNVFCFSVMHEALHNHYTQKLSLSLSPGK </p>
1437.	CD19 1-C3-	VH CDR1	NYGMH

	B10 CC x I2C0-scFc		
1438.	CD19 1-C3- B10 CC x I2C0-scFc	VH CDR2	AIGWEGSNKYAEPVKG
1439.	CD19 1-C3- B10 CC x I2C0-scFc	VH CDR3	DRGTIFGYGMDV
1440.	CD19 1-C3- B10 CC x I2C0-scFc	VL CDR1	RSSQSLHKNFNFLD
1441.	CD19 1-C3- B10 CC x I2C0-scFc	VL CDR2	LGSNRAS
1442.	CD19 1-C3- B10 CC x I2C0-scFc	VL CDR3	MQALSEPLT
1443.	CD19 1-C3- B10 CC x I2C0-scFc	VH	QVQLVESGGGVVQPGRSLRLSCEASGFIVS NYGMHWVRQAPGKCLEWVAAIGWEGSNKYY AEPVKGRFTISRDKSKNTLSLQMSLRAED TALYYCARDRGTIFGYGMDVWVGQTTVTV SS
1444.	CD19 1-C3- B10 CC x I2C0-scFc	VL	DIVMTQSPLSLPVTGPGEPAISCRSSQSLL HKNNFNFLDWYLQKPGQSPQLLIYLGSNRA SGVPDRFSGSGGTDFTLKISRVEAEDVGV YYCMQALSEPLTFACGKVEIK
1445.	CD19 1-C3- B10 CC x I2C0-scFc	scFv	DIVMTQSPLSLPVTGPGEPAISCRSSQSLL HKNNFNFLDWYLQKPGQSPQLLIYLGSNRA SGVPDRFSGSGGTDFTLKISRVEAEDVGV YYCMQALSEPLTFACGKVEIKGGGSGGG GSGGGGSQVQLVESGGGVVQPGRSLRLSCE ASGFIVSNYGMHWVRQAPGKCLEWVAAIGW EGSNKYAEPVKGRFTISRDKSKNTLSLQM SSLRAEDTALYYCARDRGTIFGYGMDVWVG QGTTVTVSS

1446.	CD19 1-C3- B10 CC x I2C0-scFc	биспецифическая молекула	DIVMTQSPPLSLPVTPEGPASISCRSSQSLL HKNNFNLDWYLQKPGQSPQLLIYLGSNRA SGVPDRFSGSGSGTDFTLKISRVEAEDVGV YYCMQALSEPLTFACGKVEIKGGGSGGG GSGGGGSQVQLVESGGGVVQPGRSLRLSCE ASGFIVSNYGMHWVRQAPGKCLEWVAIGW EGSNKYAEPVKGRFTISRDKSKNTLSLQM SSLRAEDTALYYCARDRTIFGYGMDVWG QGTTVTSSGGGGSEVQLVESGGGLVQPGG SLKLSCAASGFTFNKYAMNWVRQAPGKLE WVARIRSKYNNYATYYADSVKDRFTISRDD SKNTAYLQMNKLTEDTAVYYCVRHGNFGN SYISYWAYWGQGLVTVSSGGGGSGGGGSG GGGSQTVVTQEPSLTVSPGGTVTLTCGSST GAVTSGNYPNWVQKPGQAPRGLIGGTKFL APGTPARFSGSLLGGKAALTLSGVQPEDEA EYYCVLWYSNRWVFGGGTKLTVL
1447.	CD19 1-C3- B10 CC x I2C0-scFc	биспецифическая молекула HLE	DIVMTQSPPLSLPVTPEGPASISCRSSQSLL HKNNFNLDWYLQKPGQSPQLLIYLGSNRA SGVPDRFSGSGSGTDFTLKISRVEAEDVGV YYCMQALSEPLTFACGKVEIKGGGSGGG GSGGGGSQVQLVESGGGVVQPGRSLRLSCE ASGFIVSNYGMHWVRQAPGKCLEWVAIGW EGSNKYAEPVKGRFTISRDKSKNTLSLQM SSLRAEDTALYYCARDRTIFGYGMDVWG QGTTVTSSGGGGSEVQLVESGGGLVQPGG SLKLSCAASGFTFNKYAMNWVRQAPGKLE WVARIRSKYNNYATYYADSVKDRFTISRDD SKNTAYLQMNKLTEDTAVYYCVRHGNFGN SYISYWAYWGQGLVTVSSGGGGSGGGGSG GGGSQTVVTQEPSLTVSPGGTVTLTCGSST GAVTSGNYPNWVQKPGQAPRGLIGGTKFL APGTPARFSGSLLGGKAALTLSGVQPEDEA EYYCVLWYSNRWVFGGGTKLTVLGGGDKT HTCPPCPAPPELLGGPSVFLFPPKPKDTLMI

			<p>SRTPEVTCVVVDVSHEDPEVKFNWYVDGVE VHNAKTKPCEEQYGSTYRCVSVLTVLHQDW LNGKEYKCKVSNKALPAPIEKTISKAKGQP REPQVYTLPPSREEMTKNQVSLTCLVKGFY PSDIAVEWESNGQPENNYKTTPVLDSGDG FFLYSKLTVDKSRWQQGNVFCSCVMHEALH NHYTQKSLSLSPGKGGGGGGGGGGGGGG GGGGGGGGGGGGSDKHTHTCPPCPAPELLG GPSVFLFPPKPKDTLMI SRTPEVTCVVVDV SHEDPEVKFNWYVDGVEVHNAKTKPCEEQY GSTYRCVSVLTVLHQDWLNGKEYKCKVSNK ALPAPIEKTISKAKGQPREPQVYTLPPSRE EMTKNQVSLTCLVKGFYPSDIAVEWESNGQ PENNYKTTPVLDSGDGFFLYSKLTVDKSR WQQGNVFCSCVMHEALHNHYTQKSLSLSPG K</p>
1448.	<p>CD19 1-C3- B10 CC x I2C0- scFc_delGK</p>	<p>биспецифи ческая молекула HLE</p>	<p>DIVMTQSPFLSLPVTPEPASISCRSSQSLL HKNNFNLDWYLQKPGQSPQLLIYLGSNRA SGVDPDRFSGSGSGTDFTLKISRVEAEDVGV YYCMQALSEPLTFACGTKVEIKGGGGGGGG GSGGGGSQVQLVESGGGVVQPGRSLRLSCE ASGFIVSNYGMHWVRQAPGKCLEWVAAIGW EGSNKYAEPVKGRFTISRDKSKNTLSLQM SSLRAEDTALYYCARDRTIFGYGMVWVG QGTITVTVSSGGGGSEVQLVESGGGLVQPGG SLKLSCAASGFTFNKYAMNWRQAPGKGLE WVARIRSKYNNYATYYADSVKDRFTISRDD SKNTAYLQMNLLKTEDTAVYYCVRHGNFGN SYISYWAYWGQGLVTVVSSGGGGGGGGGG GGGSQTVVTVQEPSTLVSPGGITVTLTCGSST GAVTSGNYPNWVQKPGQAPRGLIGTKFL APGTPARFSGSLLGGKAALTLSGVQPEDEA EYYCVLWYSNRWVFGGGTKLTVLGGGGDKT HTCPPCPAPELLGGPSVFLFPPKPKDTLMI SRTPEVTCVVVDVSHEDPEVKFNWYVDGVE</p>

			VHNAKTKPCEEQYGSTYRCVSVLTVLHQDW LNGKEYKCKVSNKALPAPIEKTISKAKGQP REPQVYTLPPSREEMTKNQVSLTCLVKGFY PSDIAVEWESNGQPENNYKTTPPVLDSDGS FFLYSKLTVDKSRWQQGNVFSCSVMHEALH NHYTQKLSLSLSPGGGGSGGGSGGGSGGG GSGGGSGGGGSDKTHTCPPELGGP SVFLFPPKPKDTLMI SRTPEVTCVVVDVSH EDPEVKFNWYVDGVEVHNAKTKPCEEQYGS TYRCVSVLTVLHQDWLNGKEYKCKVSNKAL PAPIEKTISKAKGQPREPQVYTLPPSREEM TKNQVSLTCLVKGFYPSDIAVEWESNGQPE NNYKTTPPVLDSDGSFFLYSKLTVDKSRWQ QGNVFSCSVMHEALHNHYTQKLSLSLSPGK
1449.	шарнир IgG1		DKTHTCPPCP
1450.	шарнир IgG2		ERKCCVECPCP
1451.	шарнир IgG3		ELKTPLDTHTCPRCP
1452.	шарнир IgG4		ESKYGPPCPSCP
1453.	EGFRvIIIcсх I2C-шарнир- CH2-CH3- линкер- шарнир-CH2- CH3 (DF9)	биспецифи ческая молекула HLE	QVQLVESGGGVVQSGRSLRLSCAASGFTFR NYGMHWVRQAPGKCLEWVAVIWDGSDKYY ADSVRGRFTISRDNKNTLYLQMNSLRAED TAVYYCARDGYDILTG NPRDFDYWGQTLV TVSSGGGGSGGGSGGGSDTVMQTPLSS HVTLGQPASISCRSSQSLVHSDGNTYLSWL QQRPGQPPELLIYRISRFRSGVPDRFSGSG AGTDFTLEISRVEAEDVGVYVCMQSTHVP TFGCGTKVEIKSGGGSEVQLVESGGGLVQ PGGSLKLSCAASGFTFNKYAMNWRQAPGK GLEWVARIRSKYNNYATYYADSVKDRFTIS RDDSKNTAYLQMNNLKTEDTAVYYCVRHGN FGNSYISYWAYWGQTLVTVSSGGGGSGGG GSGGGGSQTVVTQEPSTLTVSPGGTVTLTCG SSTGAVTSGNYPNWVQKPGQAPRGLIGGT KFLAPGTPARFSGSLGGAALTLGKQPE DEAEYYCVLWYSNRWVFGGGTKLTVLGGGG

			<p>DKTHTCPCPAPELLGGPSVFLFPPKPKDT LMISRTPEVTCVVVDVSHEDPEVKFNWYVD GVEVHNAKTKPCEEQYGSTYRCVSVLTVLH QDWLNGKEYKCKVSNKALPAPIEKTISKAK GQPREPQVYTLPPSREEMTKNQVSLTCLVK GFYPSDIAVEWESNGQPENNYKTTPVLDS DGSFFLYSKLTVDKSRWQQGNVFCSSVMHE ALHNHYTQKSLSLSPGKGGGGSGGGSGGG GSGGGSGGGSGGGSGDKTHTCPCPAPE LLGGPSVFLFPPKPKDTLMISRTPEVTCVV VDVSHEDPEVKFNWYVDGVEVHNAKTKPCE EQYGSTYRCVSVLTVLHQDWLNGKEYKCKV SNKALPAPIEKTISKAKGQPREPQVYTLPP SREEMTKNQVSLTCLVKGFYPSDIAVEWES NGQPENNYKTTPVLDSGSGFFLYSKLTV KSRWQQGNVFCSSVMHEALHNHYTQKSLSL SPGK</p>
1454.	EGFRvIIIссх I2C-шарнир- CH2-CH3- линкер-CH2- CH3 (T2G)	биспецифи- ческая молекула HLE	<p>QVQLVESGGGVVQSGRSLRLSCAASGFTFR NYGMHWVRQAPGKCLEWVAVIWYDGS DKYY ADSVRGRFTISRDNKNTLYLQMNSLRAED TAVYYCARDGYDILTGNPRDFYWGQGLV TVSSGGGGSGGGSGGGSDTVMQTPLSS HVTLGQPASISCRSSQSLVHSDGNTYLSWL QQRPGQPPRLLIYRISRFRSGVDPDRFSGSG AGTDFLEISRVEAEDVGVYYCMQSTHVP TFGCGTKVEIKSGGGSEVQLVESGGGLVQ PGGSLKLSCAASGFTFNKYAMNWVRQAPGK GLEWVARIRSKYNNYATYYADSVKDRFTIS RDDSKNTAYLQMNNLKTEDTAVYYCVRHGN FGNSYISYWAYWGQGLVTVSSGGGGSGGG GSGGGGSQTVVTQEPLSLTVSPGGTVTLTCG SSTGAVTSGNYPNWVQKPGQAPRGLIGGT KFLAPGTPARFSGSLGGKAALTLSGVQPE DEAEYYCVLWYSNRWVFGGKTLTVLGGGG DKTHTCPCPAPELLGGPSVFLFPPKPKDT</p>

			<p> L M I S R T P E V T C V V V D V S H E D P E V K F N W Y V D G V E V H N A K T K P C E E Q Y G S T Y R C V S V L T V L H Q D W L N G K E Y K C K V S N K A L P A P I E K T I S K A K G Q P R E P Q V Y T L P P S R E E M T K N Q V S L T C L V K G F Y P S D I A V E W E S N G Q P E N N Y K T T P P V L D S D G S F F L Y S K L T V D K S R W Q Q G N V F S C S V M H E A L H N H Y T Q K S L S L S P G K G G G G S G G G S G G G G S G G G S G G G S G G G S A P E L L G G P S V F L F P K P K D T L M I S R T P E V T C V V V D V S H E D P E V K F N W Y V D G V E V H N A K T K P C E E Q Y G S T Y R C V S V L T V L H Q D W L N G K E Y K C K V S N K A L P A P I E K T I S K A K G Q P R E P Q V Y T L P P S R E E M T K N Q V S L T C L V K G F Y P S D I A V E W E S N G Q P E N N Y K T T P P V L D S D G S F F L Y S K L T V D K S R W Q Q G N V F S C S V M H E A L H N H Y T Q K S L S L S P G K </p>
1455.	<p> EGFRvIIIcсх I2C-шарнир- CH2-линкер- шарнир-CH2- CH3-линкер- CH3 (D3L) </p>	<p> биспецифи- ческая молекула HLE </p>	<p> Q V Q L V E S G G G V V Q S G R S L R L S C A A S G F T F R N Y G M H W V R Q A P G K C L E W V A V I W Y D G S D K Y Y A D S V R G R F T I S R D N S K N T L Y L Q M N S L R A E D T A V Y Y C A R D G Y D I L T G N P R D F D Y W G Q G T L V T V S S G G G S G G G S G G G S D T V M T Q T P L S S H V T L G Q P A S I S C R S S Q S L V H S D G N T Y L S W L Q Q R P G Q P P R L L I Y R I S R R F S G V P D R F S G S G A G T D F T L E I S R V E A E D V G V Y Y C M Q S T H V P R T F G C G T K V E I K S G G G S E V Q L V E S G G G L V Q P G G S L K L S C A A S G F T F N K Y A M N W V R Q A P G K G L E W V A R I R S K Y N N Y A T Y Y A D S V K D R F T I S R D D S K N T A Y L Q M N N L K T E D T A V Y Y C V R H G N F G N S Y I S Y W A Y W G Q G T L V T V S S G G G S G G G G S G G G S Q T V V T Q E P S L T V S P G G T V T L T C G S S T G A V T S G N Y P N W V Q Q K P G Q A P R G L I G G T K F L A P G T P A R F S G S L L G G K A A L T L S G V Q P E D E A E Y Y C V L W Y S N R W V F G G G T K L T V L G G G D K T H T C P P C A P E L L G G P S V F L F P P K P K D T L M I S R T P E V T C V V V D V S H E D P E V K F N W Y V D G V E V H N A K T K P C E E Q Y G S T Y R C V S V L T V L H </p>

			<p>QDWLNGKEYKCKVSNKALPAPIEKTISKAK GGGGSGGGSGGGSGGGSGGGSDKHTCPCP APELLGGPSVFLFPPKPKDTLMISRTPEVT CVVVDVSHEDPEVKFNWYVDGVEVHNAKTK PCEEQYGSTYRCVSVLTVLHQDWLNGKEYK CKVSNKALPAPIEKTISKAKGQPREPQVY LPPSREEMTKNQVSLTCLVKGFYPSDIAVE WESNGQPENNYKTTPPVLDSGDSFFLYSKL TVDKSRWQQGNVFSCSVMHEALHNHYTQKS LSLSPGKGGGGSGGGSGGGSGGGSGQP REPQVYTLPPSREEMTKNQVSLTCLVKGFY PSDIAVEWESNGQPENNYKTTPPVLDSGDS FFLYSKLTVDKSRWQQGNVFSCSVMHEALH NHYTQKSLSLSPGK</p>
1456.	<p>EGFRvIIIcсх I2C-шарнир- CH2-линкер- CH2-CH3- линкер-CH3 (T7I)</p>	<p>биспецифи ческая молекула HLE</p>	<p>QVQLVESGGGVVQSGRSLRLSCAASGFTFR NYGMHWVRQAPGKCLEWVAVIWYDGS ADSVRGRFTISRDNKNTLYLQMNSLRAED TAVYYCARDGYDILGTGNPRDFDYWGQTLV TVSSGGGGSGGGSGGGSDTVMQTPLSS HVTLGQPASISCRSSQSLVHSDGNTYLSWL QQRPGQPPRLLIYRISRFRSGVPRDRFSGSG AGTDFTLEISRVEAEDVGVYYCMQSTHVP TFGCGTKVEIKSGGGSEVQLVESGGGLVQ PGGSLKLSCAASGFTFNKYAMNWRQAPGK GLEWVARIRSKYNNYATYYADSVKDRFTIS RDSKNTAYLQMNNLKTEDTAVYYCVRHGN FGNSYISYWAYWGQTLVTVSSGGGGSGGG GSGGGGSQTVVVTQEPSTLTVSPGGTVTLTCG SSTGAVTSGNYPNWWQKPGQAPRGLIGGT KFLAPGTPARFSGSLGGKAALTLGSGVQPE DEAEYYCVLWYSNRWVFGGKTLTVLGGGG DKHTHTCPCPAPELLGGPSVFLFPPKPKDT LMISRTPEVTCVVVDVSHEDPEVKFNWYVD GVEVHNAKTKPCEEQYGSTYRCVSVLTVLH QDWLNGKEYKCKVSNKALPAPIEKTISKAK</p>

			GGGGSGGGSGGGSGGGGSAPELLGGPSV FLFPPKPKDTLMISRTPEVTCVVVDVSHED PEVKFNWYVDGVEVHNAKTKPCEEQYGSTY RCVSVLTVLHQDWLNGKEYKCKVSNKALPA PIEKTISKAKGQPREPQVYTLPPSREEMTK NQVSLTCLVKGFYPSDIAVEWESNGQPENN YKTTTPVLDSDGSFFLYSKLTVDKSRWQQG NVFSCVMHEALHNHYTQKSLSLSPGKGGG GSGGGSGGGSGGGSGQPREPQVYTLPP SREEMTKNQVSLTCLVKGFYPSDIAVEWES NGQPENNYKTTTPVLDSDGSFFLYSKLTV KSRWQQGNVFCVMHEALHNHYTQKSLSL SPGK
1457.	EGFRvIIIcсх I2C-CH2- линкер-CH2- CH3-линкер- CH3 (K6C)	биспецифи ческая молекула HLE	QVQLVESGGGVVQSGRSLRLSCAASGFTFR NYGMHWVRQAPGKCLEWVAVIWDGSDKYY ADSVRGRFTISRDNKNTLYLQMNSLRAED TAVYYCARDGYDILGTGNPRDFDYWGQGLV TVSSGGGGSGGGSGGGSDTVMTQTPLSS HVTLGQPASISCRSSQSLVHSDGNTYLSWL QQRPGQPRLLIYRISRFRSGVPDRFSGSG AGTDFLEISRVEAEDVGVYCMQSTHVPR TFGCGTKVEIKSGGGGSEVQLVESGGGLVQ PGGSLKLSCAASGFTFNKYAMNWRQAPGK GLEWVARIRSKYNNYATYYADSVKDRFTIS RDDSKNTAYLQMNLLKTEDTAVYYCVRHGN FGNSYISYWAYWGQGLVTVSSGGGGSGGG GSGGGGQTVVTVQEPSTVSPGGTVTLTCG SSTGAVTSGNYPNWVQKPGQAPRGLIGGT KFLAPGTPARFSGSLGGAALTLGSGVQPE DEAEYCVLWYSNRWVFGGKTLTVLGGGG APELLGGPSVFLFPPKPKDTLMISRTPEVT CVVVDVSHEDPEVKFNWYVDGVEVHNAKTK PCEEQYGSTYRCVSVLTVLHQDWLNGKEYK CKVSNKALPAPIEKTISKAKGSGGGSGGGG GGGGSGGGSAPELLGGPSVFLFPPKPKDT
			LMISRTPEVTCVVVDVSHEDPEVKFNWYVD GVEVHNAKTKPCEEQYGSTYRCVSVLTVLH QDWLNGKEYKCKVSNKALPAPIEKTISKAK GQPREPQVYTLPPSREEMTKNQVSLTCLVK GFYPSDIAVEWESNGQPENNYKTTTPVLD DGSFFLYSKLTVDKSRWQQGNVFCVMHE ALHNHYTQKSLSLSPGKGGGGSGGGGGGG GSGGGGQPREPQVYTLPPSREEMTKNQV SLTCLVKGFYPSDIAVEWESNGQPENNYKT TPPVLDSDGSFFLYSKLTVDKSRWQQGNV FCVMHEALHNHYTQKSLSLSPGK
1458.	шарнир IgG3		ELKTPLDGTHHTCPRCP
1459.	шарнир IgG1		EPKSCDKTHHTCPPCP

ФОРМУЛА ИЗОБРЕТЕНИЯ

1. Конструкция одноцепочечного биспецифического антитела с повышенным периодом полужизни, содержащая по меньшей мере три домена в порядке от amino до карбокси-конца, где первый домен связывается с антигеном на поверхности клетки-мишени, где антиген на поверхности клетки-мишени является опухолевым антигеном;

второй домен связывается с внеклеточным эпитопом цепи CD3ε человека и/или Macasa; и

третий домен содержит два полипептидных мономера, каждый из которых содержит шарнир, домен CH2 и домен CH3, где указанные два полипептидных мономера слиты друг с другом посредством пептидного линкера, где указанный третий домен содержит в порядке от amino до карбокси-конца:

шарнир-CH2-CH3-линкер-шарнир-CH2-CH3,

где домен CH2 содержит внутридоменный цистеиновый дисульфидный мостик, и

где первый и второй домены слиты с третьим доменом посредством пептидного линкера.

2. Конструкция антитела по п.1, где каждый из указанных полипептидных мономеров имеет аминокислотную последовательность, которая по меньшей мере на 90% идентична последовательности, выбранной из группы, состоящей из SEQ ID NO: 17-24.

3. Конструкция антитела по п.2, где каждый из указанных полипептидных мономеров имеет аминокислотную последовательность, выбранную из SEQ ID NO: 17-24.

4. Конструкция антитела по пп.1-3, где конструкция антитела содержит в порядке от amino до карбокси-конца:

(a) первый домен;

(b) пептидный линкер с аминокислотной последовательностью, выбранной из группы, состоящей из SEQ ID NO: 1-3;

(c) второй домен;

(d) пептидный линкер с аминокислотной последовательностью, выбранной из группы, состоящей из SEQ ID NO: 1, 2, 3, 9, 10, 11 и 12;

(e) первый полипептидный домен третьего домена;

(f) пептидный линкер с аминокислотной последовательностью, выбранной из группы, состоящей из SEQ ID NO: 5, 6, 7 и 8; и

(g) второй полипептидный домен третьего домена.

5. Конструкция антитела по п.1, где опухолевый антиген выбран из группы, состоящей из CDH19, MSLN, DLL3, FLT3, EGFRvIII, CD33, CD19, CD20 и CD70.

6. Конструкция антитела по любому из предыдущих пунктов, где конструкция антитела содержит в порядке от amino до карбокси-конца:

(a) первый домен с аминокислотной последовательностью, выбранной из группы, состоящей из SEQ ID NO: 52, 70, 58, 76, 88, 106, 124, 94, 112, 130, 142, 160, 178, 148, 166, 184, 196, 214, 232, 202, 220, 238, 250, 266, 282, 298, 255, 271, 287, 303, 322, 338, 354, 370, 386, 402, 418, 434, 450, 466, 482, 498, 514, 530, 546, 327, 343, 359, 375, 391, 407, 423, 439, 455, 471, 487, 503, 519, 353, 551, 592, 608, 624, 640, 656, 672, 688, 704, 720, 736, 752, 768, 784, 800, 816, 832, 848, 864, 880, 896, 912, 928, 944, 960, 976, 992, 1008, 1024, 1040, 1056, 1072, 1088, 1104, 1120, 1136, 1152, 1168, 1184, 597, 613, 629, 645, 661, 677, 693, 709, 725, 741, 757, 773, 789, 805, 821, 837, 853, 869, 885, 901, 917, 933, 949, 965, 981, 997, 1013, 1029, 1045, 1061, 1077, 1093, 1109, 1125, 1141, 1157, 1173, 1189, 1277, 1289, 1301, 1313, 1325, 1337, 1349, 1361, 1373, 1385, 1397, 1409, 1421, 1433, 1445;

(b) пептидный линкер с аминокислотной последовательностью, выбранной из группы, состоящей из SEQ ID NO: 1-3;

(c) второй домен с аминокислотной последовательностью, выбранной из группы, состоящей из SEQ ID NO: 23, 25, 41, 43, 59, 61, 77, 79, 95, 97, 113, 115, 131, 133, 149, 151, 167, 169, 185 или 187 из WO 2008/119567 или SEQ ID NO: 15;

(d) пептидный линкер с аминокислотной последовательностью, выбранной из группы, состоящей из SEQ ID NO: 1, 2, 3, 9, 10, 11 и 12;

(e) первый полипептидный домен третьего домена с полипептидной последовательностью, выбранной из группы, состоящей из SEQ ID NO: 17-24;

(f) пептидный линкер с аминокислотной последовательностью, выбранной из группы, состоящей из SEQ ID NO: 5, 6, 7 и 8; и

(g) второй полипептидный домен третьего домена с полипептидной последовательностью, выбранной из группы, состоящей из SEQ ID NO: 17-24.

7. Конструкция антитела по п.6 с аминокислотной последовательностью, выбранной из группы, состоящей из:

(a) SEQ ID NO: 54, 55, 60 и 61 для нацеливания на CD33;

(b) SEQ ID NO: 72, 73, 78 и 79 для нацеливания на EGFRvIII;

(c) SEQ ID NO: 90, 91, 96, 97, 108, 109, 114 и 115 для нацеливания на MSLN;

(d) SEQ ID NO: 144, 145, 150, 151, 162, 163, 168, 169, 180, 181, 186 и 187;

(e) SEQ ID NO: 198, 199, 204, 205, 216, 217, 222, 223, 234, 235, 240 и 241 для нацеливания на DLL3;
 (f) SEQ ID NO: 252, 306, 257, 307, 268, 308, 273, 309, 284, 310, 289, 311, 300, 312, 305 и 313 для нацеливания на CDH19;

(g) SEQ ID NO: 324, 554, 329, 555, 340, 556, 345, 557, 356, 558, 361, 559, 372, 560, 377, 561, 388, 562, 393, 563, 404, 564, 409, 565, 420, 566, 425, 567, 436, 568, 441, 569, 452, 570, 457, 571, 468, 572, 473, 573, 484, 574, 489, 575, 500, 576, 505, 577, 516, 578, 521, 579, 532, 580, 537, 581, 548, 582, 553 и 583 для нацеливания на FLT3;

(h) SEQ ID NO: 594, 610, 626, 642, 658, 674, 690, 706, 722, 738, 754, 77, 786, 802, 818, 834, 850, 866, 882, 898, 914, 930, 946, 962, 978, 994, 1010, 1026, 1042, 1058, 1074, 1090, 1106, 1122, 1138, 1154, 1170, 1186, 599, 615, 631, 647, 663, 679, 695, 711, 727, 743, 759, 775, 791, 807, 823, 839, 855, 871, 887, 903, 919, 935, 951, 967, 983, 999, 1015, 1031, 1047, 1063, 1079, 1095, 1111, 1127, 1143, 1159, 1175, 1191 и 1192-1267 для нацеливания на CD70;

(i) SEQ ID NO: 43 для нацеливания на CD20; и

(j) SEQ ID NO: 1279, 1280, 1291, 1292, 1303, 1304, 1315, 1316, 1327, 1328, 1339, 1340, 1351, 1352, 1363, 1364, 1375, 1376, 1387, 1388, 1399, 1400, 1411, 1412, 1423, 1424, 1435, 1436, 1447, 1448 для нацеливания на CD19.

8. Полинуклеотид, кодирующий конструкцию антитела, определенную в любом из пп.1-7.

9. Клетка-хозяин, трансформированная или трансфицированная полинуклеотидом, определенным в п.8.

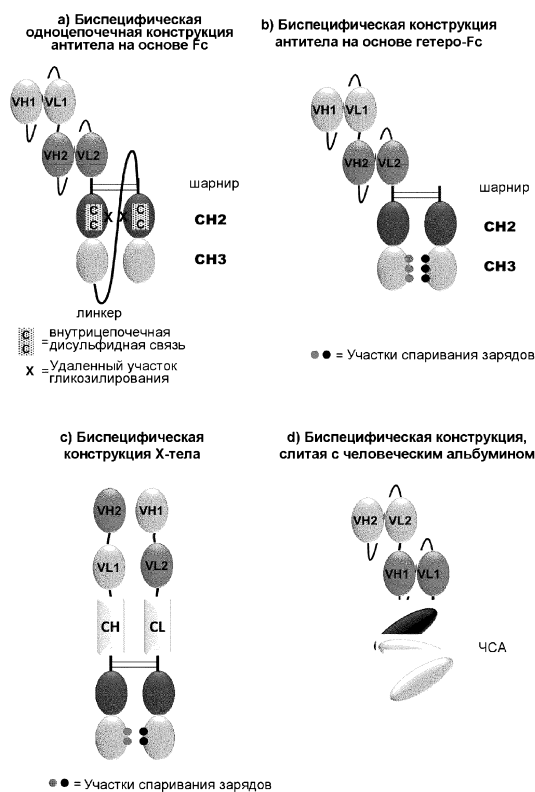
10. Способ получения конструкции антитела по любому из пп.1-7, включающий культивирование клетки-хозяина по п.9, в условиях, обеспечивающих экспрессию конструкции антитела по любому из пп.1-7, и выделение полученной конструкции антитела из культуры.

11. Фармацевтическая композиция, содержащая конструкцию антитела по любому из пп.1-7 или полученную способом по п.10 и один или несколько носителей, стабилизаторов, вспомогательных веществ, разбавителей, поверхностно-активных веществ, эмульгаторов, консервантов и/или адъювантов.

12. Фармацевтическая композиция по п.11, которая является стабильной в течение по меньшей мере четырех недель приблизительно при -20°C .

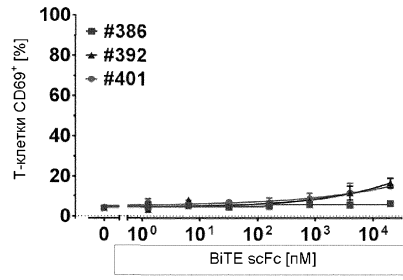
13. Применение конструкции антитела по любому из пп.1-7 или полученной способом по п.10 для получения лекарственного средства для лечения заболевания, выбранного из опухолевого заболевания, вирусного заболевания или иммунологического нарушения.

14. Способ лечения или уменьшения интенсивности опухолевого заболевания, включающий стадию введения пациенту конструкции антитела по любому из пп.1-7 или полученной способом по п.10.

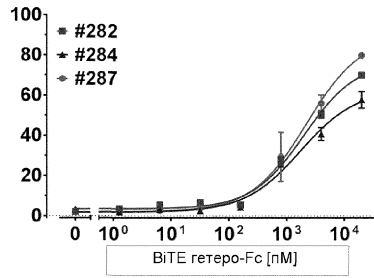


Фиг. 1

2(a)

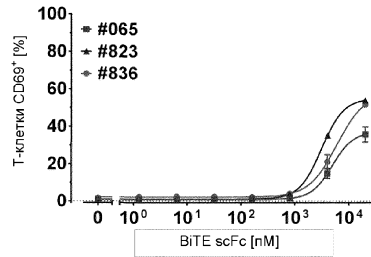


2(b)

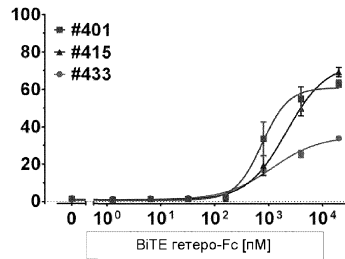


Фиг. 2

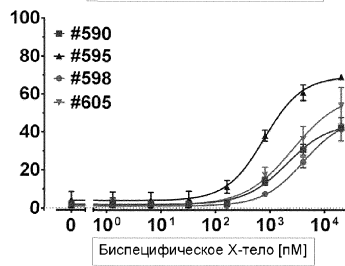
3(a)



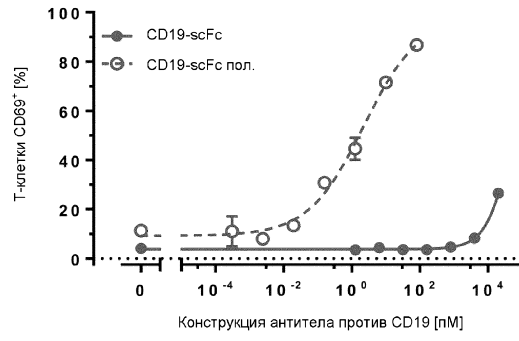
3(b)



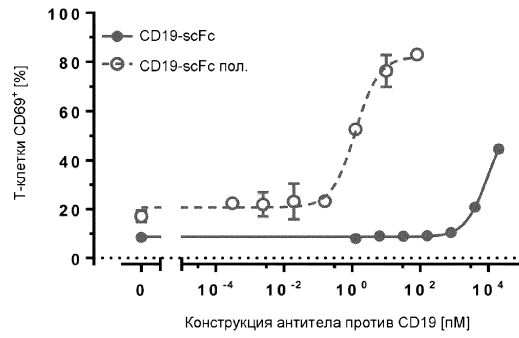
3(c)



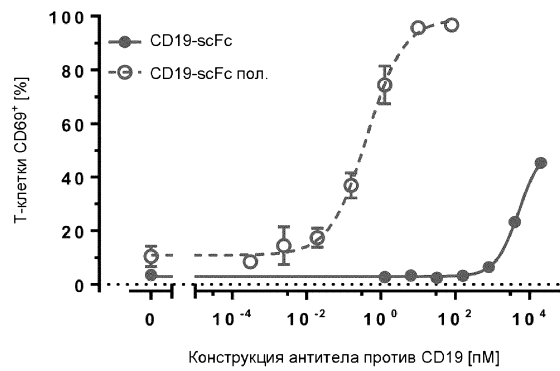
3(д) Донор 1



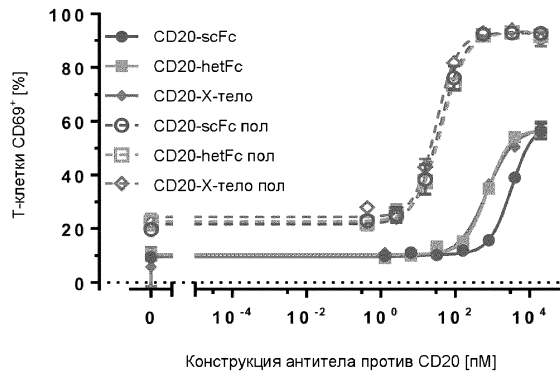
3(е) Донор 2



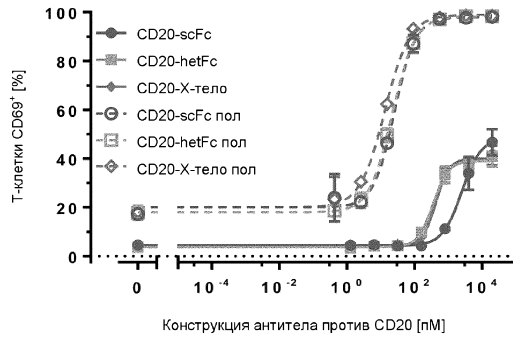
3(ф) Донор 3



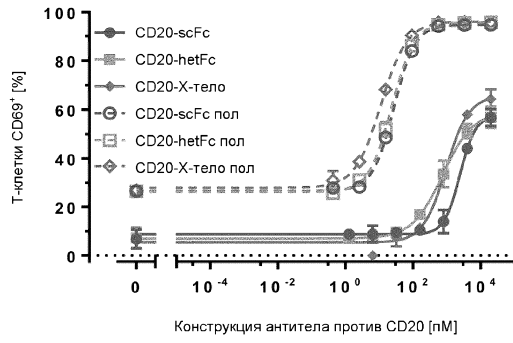
3(г) Донор 1



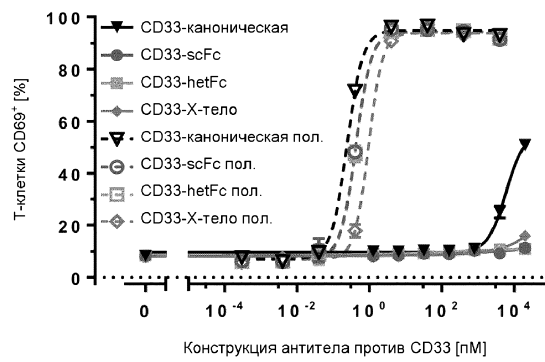
3(h) Донор 2



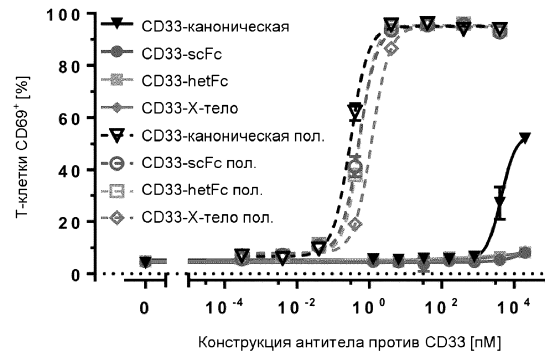
3(i) Донор 3



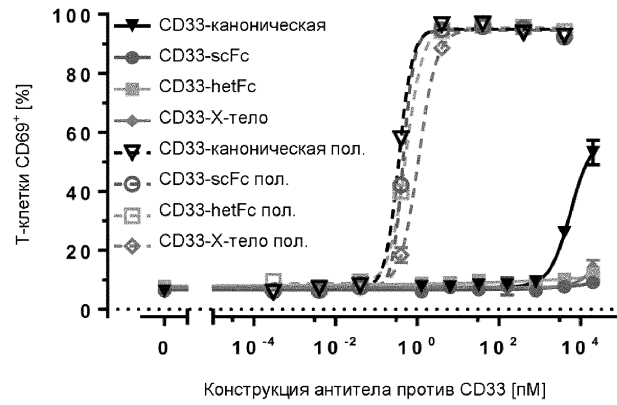
3(j) Донор 1



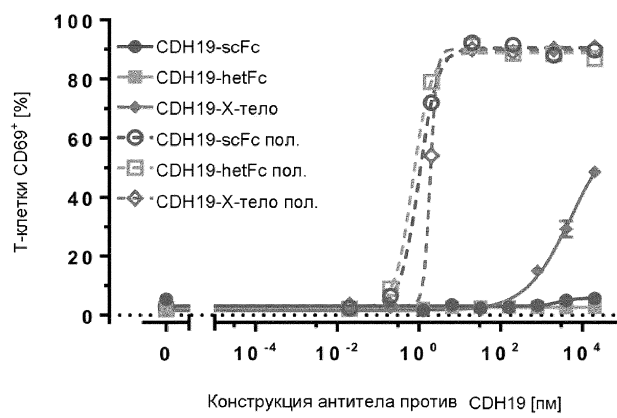
3(k) Донор 2



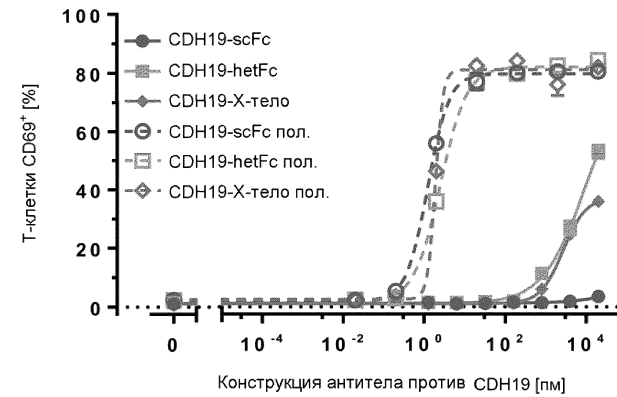
3(l) Донор 3



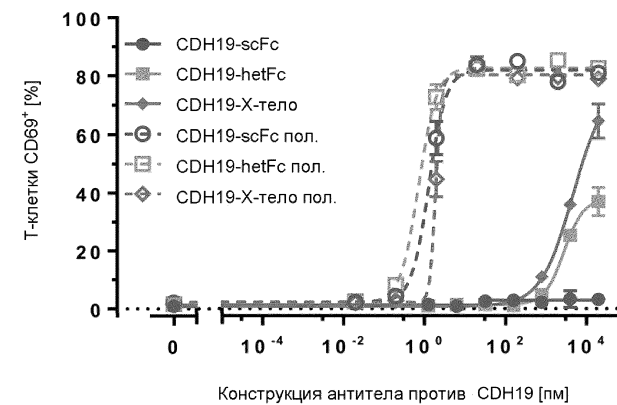
3(м) Донор 1



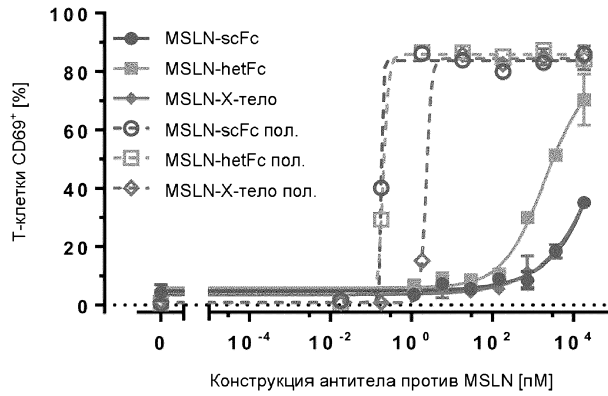
3(н) Донор 2



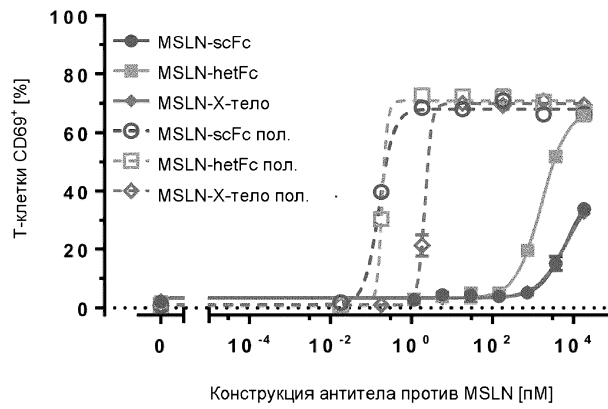
3(о) Донор 3



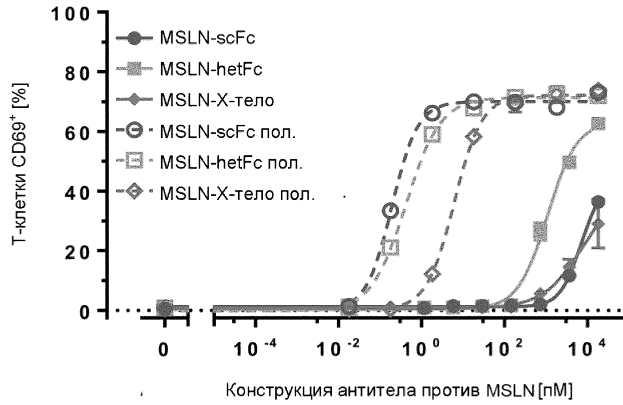
3(p) Донор 1



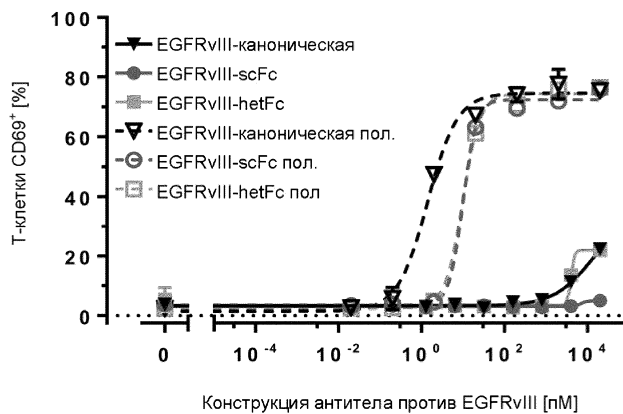
3(q) Донор 2



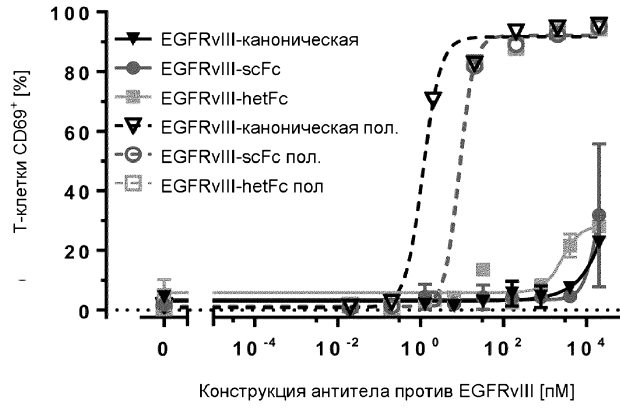
3(r) Донор 3



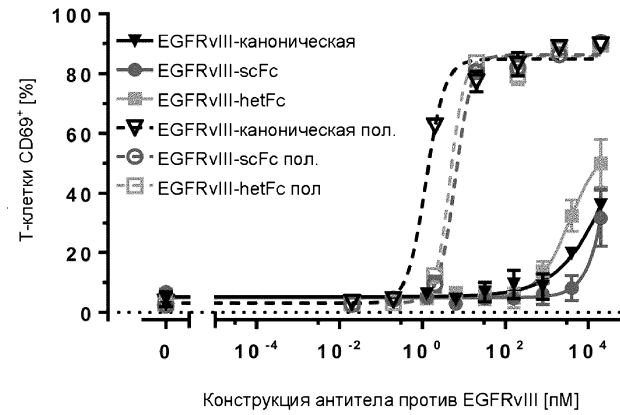
3(s) Донор 1



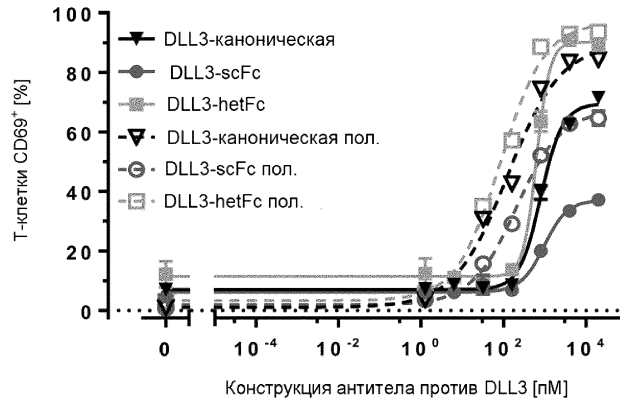
3(t) Донор 2



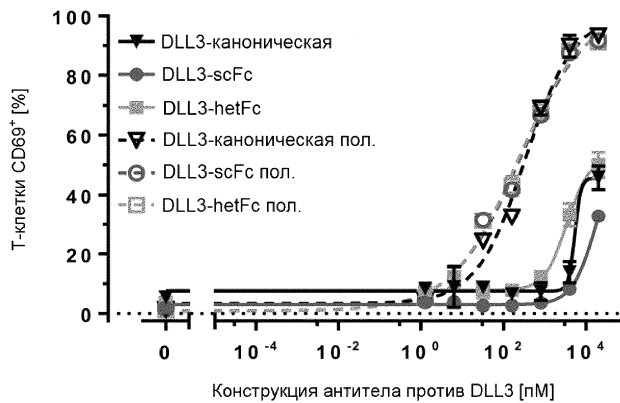
3(у) Донор 3



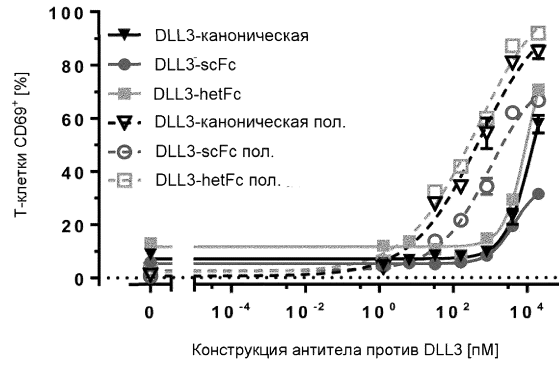
3(v) Донор 1



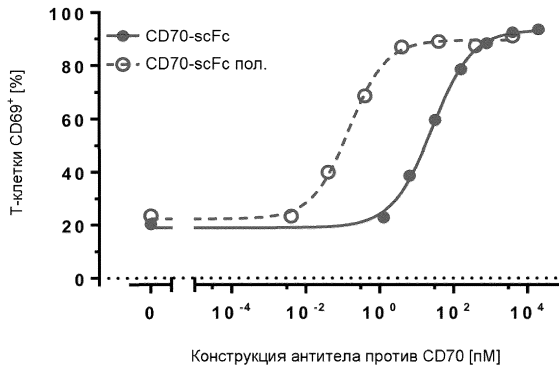
3(w) Донор 2



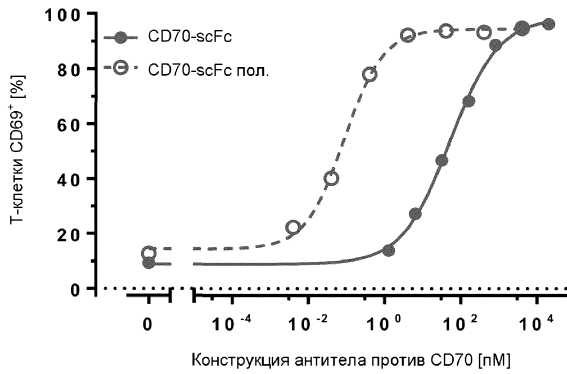
3(x) Донор 3



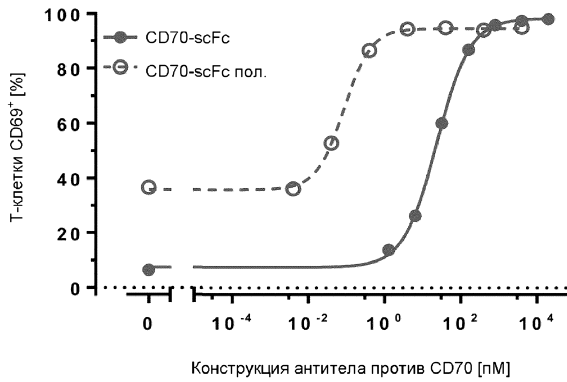
3(y) Донор 1

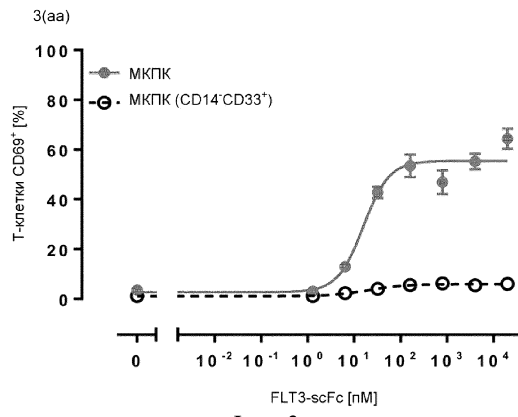


3(z(1)) Донор 2

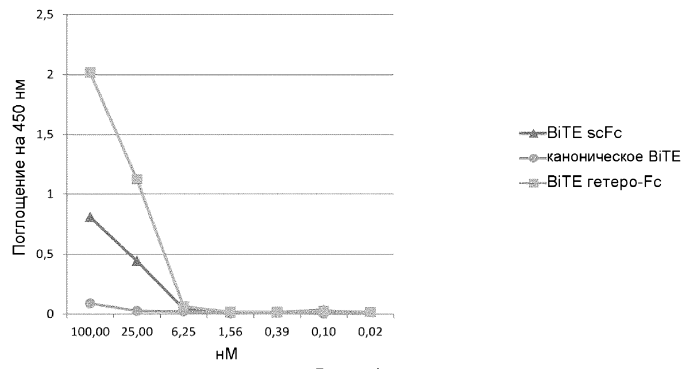


3(z(2)) Донор 3

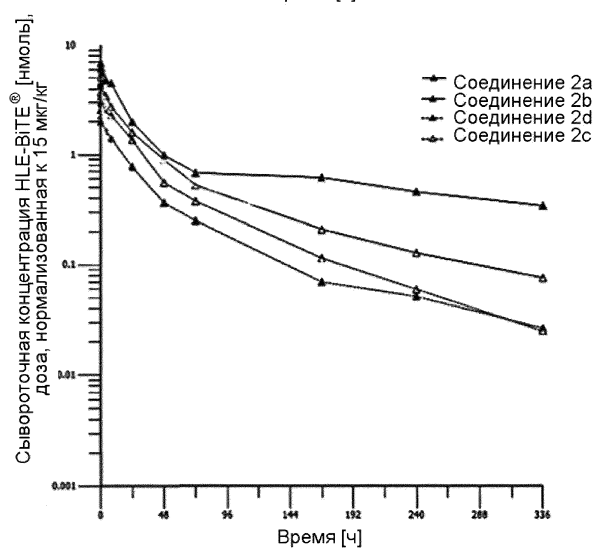
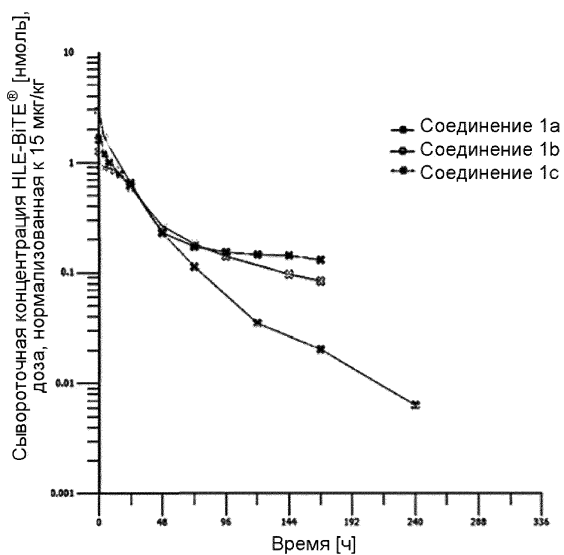


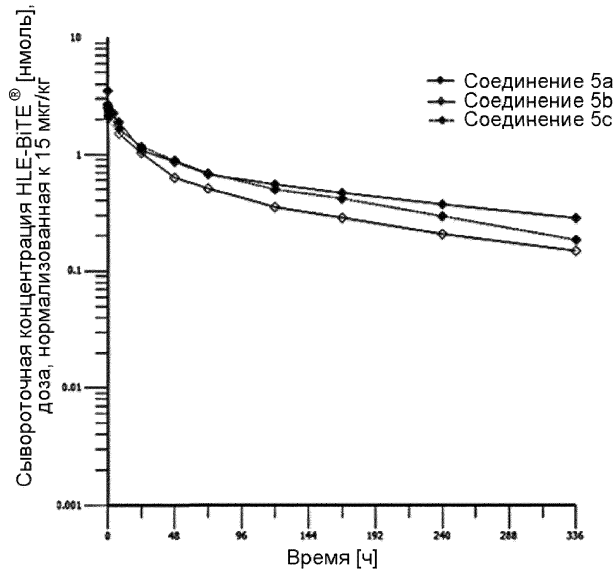
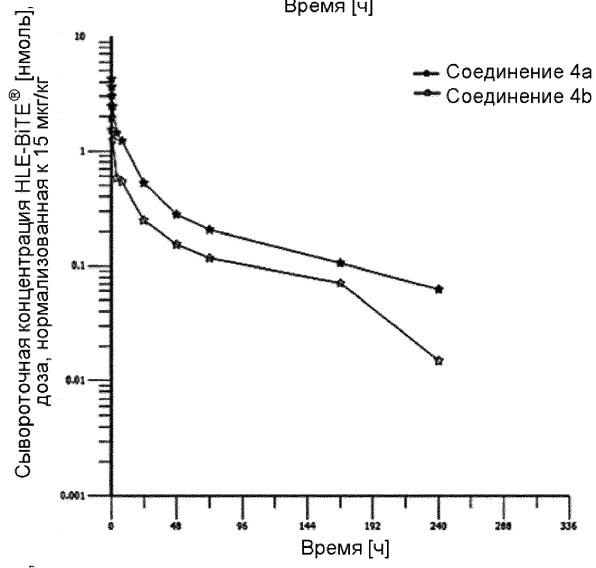
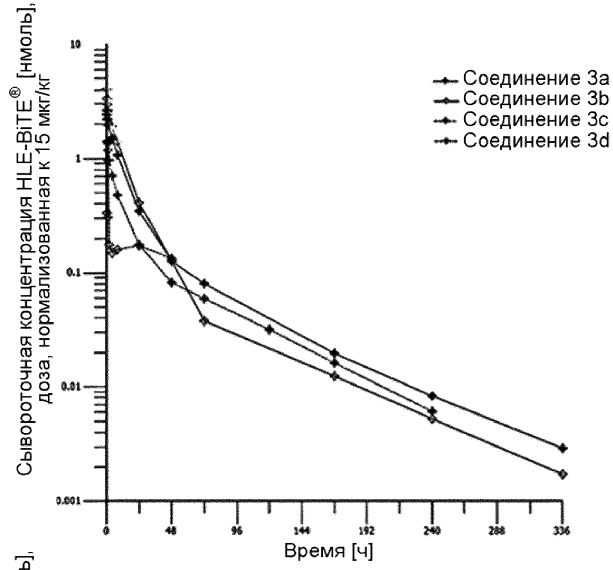


Фиг. 3

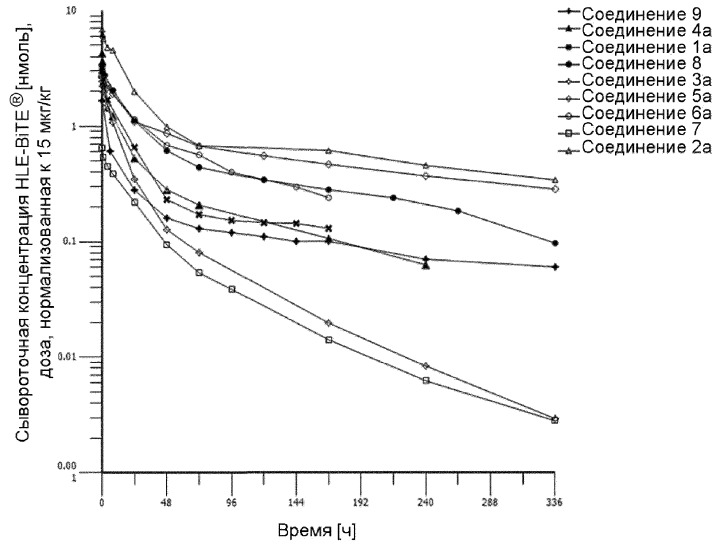


Фиг. 4

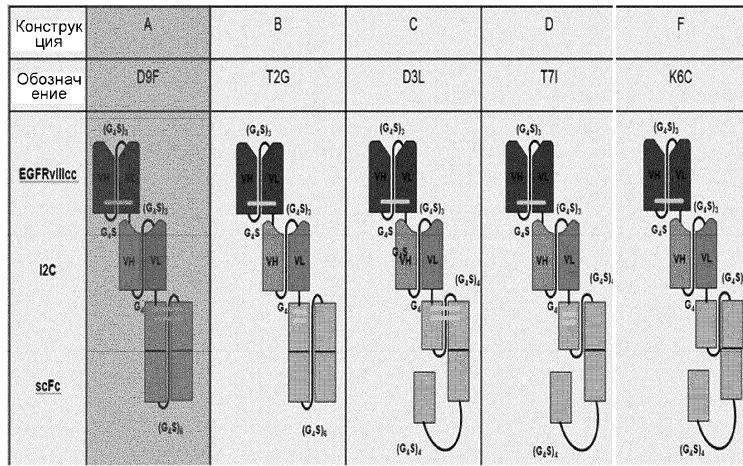




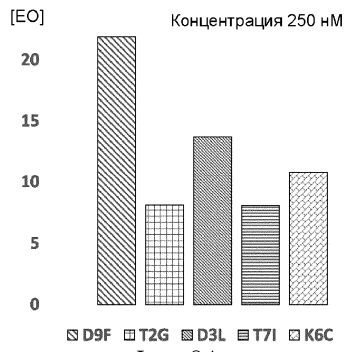
Фиг. 5



Фиг. 6



Фиг. 7



Фиг. 8А

